

АКАДЕМИЯ НАУК СССР



# ЖУРНАЛ ФИЗИЧЕСКОЙ ХИМИИ

ТОМ  
XXXII



43

ВЫПУСК 6

ИЮНЬ

---

ИЗДАТЕЛЬСТВО АКАДЕМИИ НАУК СССР  
МОСКВА • 1958

# ЖУРНАЛ ФИЗИЧЕСКОЙ ХИМИИ

*Редакционная коллегия:*

В. Я. АНОСОВ, К. В. АСТАХОВ, А. И. БРОДСКИЙ, Г. К. БОРЕСКОВ,  
Я. И. ГЕРАСИМОВ, С. В. ГОРБАЧЕВ, Г. С. ЖДАНОВ,  
Л. А. НИКОЛАЕВ, Н. Н. СЕМЕНОВ, А. Н. ТЕРЕНИН, А. Н. ФРУМКИН,  
К. В. ЧМУТОВ

*Главный редактор* Я. И. ГЕРАСИМОВ

*Заместители главного редактора* С. В. ГОРБАЧЕВ, К. В. ЧМУТОВ

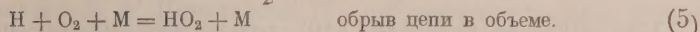
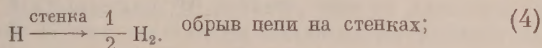
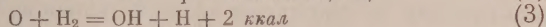
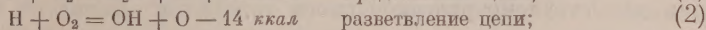
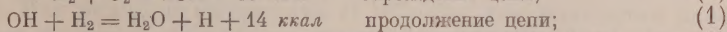
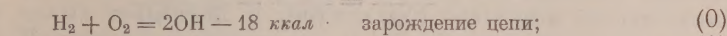
*Отв. секретарь* Л. А. НИКОЛАЕВ



# ИССЛЕДОВАНИЕ КИНЕТИКИ ГОРЕНИЯ ВОДОРОДА С КИСЛОРОДОМ НАД НИЖНИМ ПРЕДЕЛОМ САМОВОСПЛАМЕНЕНИЯ

Л. В. Кармилова, А. Б. Налбандян и Н. Н. Семенов

Пределы низкотемпературного самовоспламенения и кинетика горения водорода между этими пределами хорошо описываются следующей совокупностью элементарных реакций:



Реакция (2) ввиду ее большой эндотермичности протекает наиболее медленно. Ее энергия активации не может быть меньше 14 ккал. Энергии активации процессов (1) и (3) равны соответственно 10 и ~6 ккал. Суммарная скорость горения водорода, очевидно, будет определяться в конечном счете скоростью изменения концентрации атомарного водорода.

Следуя Н. Н. Семенову [1], для изменения концентрации атомарного водорода и убыли молекулярного кислорода можно написать следующие дифференциальные уравнения:

$$\frac{d\xi}{d\tau} = [2(1 - \eta) - R]\xi, \quad (6)$$

$$\frac{d\eta}{d\tau} = (1 - \eta)\xi, \quad (7)$$

где  $\xi = [\text{H}]/[\text{O}_2]_0$  — относительная концентрация атомарного водорода;  
 $\eta = \frac{(\text{O}_2)_n - (\text{O}_2)}{(\text{O}_2)_0}$  — относительная концентрация кислорода, израсходованного в реакции;

$$\tau = k_2 (\text{O}_2)_0 t, \quad (8)$$

$k_2 = k'_2 e^{-E_2/RT}$  — константа скорости реакции (2);  $E_2$  — ее энергия активации;  $R = 2p_1/p_0$ , где  $p_1$  — давление на нижнем пределе,  $p_0$  — начальное давление.

Разделив левую и правую части уравнения (6) на левую и правую части уравнения (7) и проинтегрировав результат, получим выражение, связывающее  $\xi$  и  $\eta$

$$\xi = 2\eta + R \ln(1 - \eta). \quad (9)$$

Зависимость  $\xi$  от  $\eta$ , вычисленная по формуле (9), приведена на рис. 1. Из рисунка видно, что в ходе реакции относительная концентрация атомарного водорода достигает очень больших значений (80%). В связи с этим нарушается соответствие между падением давления  $\Delta p$  и расходом веществ. Изменение давления в ходе реакции, регистрируемое

чувствительным манометром, будет связано как с падением давления в результате реакции  $2\text{H}_2 + \text{O}_2 = 2\text{H}_2\text{O}$ , так и с увеличением давления в результате образования атомарного водорода. Для вычисления истинного падения давления, которое пропорционально уменьшению общего числа молекул в ходе реакции, имеем

$$\Delta(M) = \Delta(\text{O}_2) + \Delta(\text{H}_2) - (\text{H}_2\text{O}) - (\text{H}).$$

Но

$$\Delta(\text{O}_2) = \frac{1}{2}(\text{H}_2\text{O})$$

и

$$\Delta(\text{H}_2) = (\text{H}_2\text{O}) + \frac{(\text{H})}{2}.$$

Отсюда

$$\frac{\Delta(M)}{(\text{O}_2)_0} = \frac{\Delta(\text{O}_2)}{(\text{O}_2)_0} - \frac{1}{2} \frac{(\text{H})}{(\text{O}_2)_0}$$

или для стехиометрической смеси

$$\frac{\Delta p}{p_0/3} = \pi = \eta - \frac{1}{2} \xi. \quad (1)$$

Как видно из уравнения (10), только при малом  $\xi$  падение давления пропорционально выгоранию. Для нахождения связи между  $\pi$  и  $\eta$  вычтем

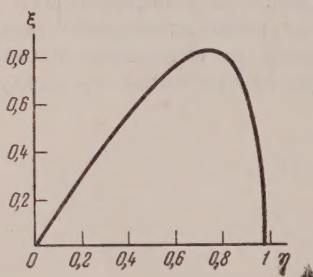


Рис. 1. Зависимость относительной концентрации  $\xi$  атомов водорода от выгорания

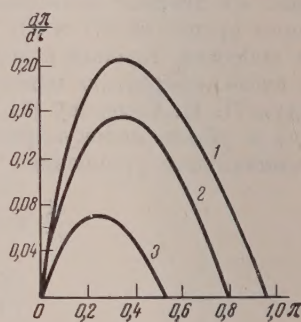


Рис. 2. Теоретические кривые  $d\pi/d\tau - f(\pi)$  при различных  $R$ :  
1 —  $R = 0,5$ ; 2 —  $R = 1$ ;  
3 —  $R = 1,4$

из уравнения (7) уравнение (6), разделив предварительно левую и правую части уравнения (6) на два:

$$\frac{d\left(\eta - \frac{\xi}{2}\right)}{d\tau} = \frac{d\pi}{d\tau} = \frac{R}{2} \xi, \quad (1)$$

или, подставляя выражение для  $\xi$  из уравнения (9), получим

$$\frac{d\pi}{d\tau} = \frac{R}{2} [2\eta + R \ln(1 - \eta)]. \quad (1)$$

Используя уравнения (9) и (10), выразим  $\eta$  через  $\pi$ :

$$R \ln(1 - \eta) = \xi - 2\eta = -2\pi + 2\eta - 2\eta = -2\pi.$$



Отсюда  $\ln(1 - \eta) = -\frac{2\pi}{R}$  и  $\eta = 1 - e^{-2\pi/R}$ . Подставляя значения  $\eta$  и  $R \ln(1 - \eta)$  в уравнение (12), получим окончательно

$$\frac{d\pi}{d\tau} = R(1 - e^{-2\pi/R} - \pi). \quad (13)$$

На рис. 2 приведены теоретические кривые  $d\pi/d\tau - \pi$ , построенные Н. Н. Семеновым для различных  $R$  в 1944 г. по формуле, аналогичной формуле (13). Из кривых видно, что при больших  $R$  максимум безразмерной скорости реакции находится на 50% превращения. Это означает, что скорость расходования исходных веществ в зависимости от степени выгорания подчиняется автокаталитическому закону. При малых  $R$  наблюдается отклонение от этого закона. С уменьшением  $R$  максимум смещается в область малых превращений. Экспериментально этот вывод теории проверке не подвергался, очевидно, ввиду того, что исследование кинетики реакции при малых значениях  $R$  сопряжено с большими методическими трудностями. Как видно из выражения  $R = 2p_1/p_0$ , для получения малых  $R$  можно идти по линии увеличения  $p_0$  или уменьшения  $p_1$ . Увеличение  $p_0$  приводит к сильному сокращению периода индукции и реагирующая смесь при вплеске в сосуд воспламеняется раньше, чем ее давление доходит до заданного значения. Кроме того, при больших начальных давлениях, как показал А. А. Ковальский [2], наблюдается переход цепного воспламенения в тепловое. Таким образом увеличение  $p_0$  не приводит к желаемому результату. Остается снизить  $p_1$ ; этот путь является наиболее реальным, хотя при этом возникают трудности, связанные с измерением кинетики реакции при малых начальных давлениях. Воспользовавшись формулой (13), а также экспериментальными кинетическими кривыми падения давления со временем, перестроенными в форме зависимости  $\frac{d(\Delta p)}{dt} - \pi \left( = \frac{\Delta p}{p_0/3} \right)$ , можно путем трансформации экспериментальных кривых по оси ординат совместить последние с теоретическими (см. ниже). В случае, если такое совмещение удастся, не трудно из коэффициентов трансформации  $\alpha$  определить абсолютное значение константы разветвления  $k_2$ .

В самом деле для стехиометрической смеси имеем

$$\frac{d\pi}{d\tau} = \frac{d\left(\frac{\Delta p}{p_0/3}\right)}{d(k_2 O_2 t)} = \frac{9}{p_0^2 k_2} \frac{d\Delta p}{dt}.$$

Откуда

$$\alpha = \frac{d\Delta p/dt}{d\pi/d\tau} = \frac{k_2 p_0^2}{9}. \quad (14)$$

Зная  $\alpha$ , легко вычислить  $k_2 = 9\alpha/p_0^2$  и энергию активации  $E_2$ .

Целью настоящего исследования является проверка на основе кинетических измерений, проведенных в широком интервале температур и давлений, механизма горения водорода внутри пределов воспламенения и более точное определение константы реакции разветвления  $k_2$  и ее энергии активации  $E_2$ .

Очевидно, точное значение константы разветвления и ее энергии активации будет иметь существенное значение как для расчетов скоростей окисления водорода в зависимости от различных параметров, так и для расчета скоростей других реакций, осуществляемых с участием реакции (2).

Рассмотрение литературных данных, касающихся энергии активации реакции (2)  $\dot{H} + O_2 = \dot{OH} + \dot{O}$ , свидетельствует о существовании большого разбоя между значениями  $E_2$ , определенными различными исследователями в разное время, главным образом из температурной зави-

симости верхнего или нижнего предела воспламенения. Иллюстрацией сказанному может служить таблица, приведенная Варреном [3] в его работе. Из этой таблицы видно, что для  $E_2$  в различное время получены значения лежащие в интервале от 29 000 до 17 000 кал.

Большое исследование в значении  $E_2$ , определенной в разное время различными исследователями, в основном из температурной зависимости верхнего предела воспламенения в интервале температур 450—550° С связано, по-видимому, с методикой измерения  $p_2$  и влиянием на него паров воды, образующихся в ходе определения предела. Более точно  $E_2$  определяется из данных по кинетике горения водорода внутри полуострова воспламенения. Кинетика горения водорода над нижним пределом впервые была изучена А. А. Ковальским [2]. Воспользовавшись этими данными, Н. Н. Семенов [4, 5] еще в 1938 г. вычислил значения константы реакции (2) для двух температур. Из температурной зависимости константы им было получено  $E_2 = 18\,000$  кал/моль. Значение  $E_2 = 17\,000$  кал было найдено из температурной зависимости  $p_2$  Б. Льюисом и Г. Эльбе [6]. В 1942 г. Этими авторами впервые для обработки реакционного сосуда был применен тетраборат калия, позволивший понизить нижний предел и переместить полуостров самовоспламенения в область низких температур (340° С). Снижение температуры самовоспламенения позволило свети до минимума образование воды и, следовательно, ее влияние на предел.

В 1944 г. В. В. Воеводский [7], на основании анализа большого количества экспериментальных данных по положению мыса полуострова воспламенения, получил для  $E_2$  значение 18 000 кал. Энергию активации для процесса разветвления можно определить также из данных по зависимости периода индукции от давления и температуры, если исходить из предположения, что в ходе периода индукции соблюдается равенство [8]

$$\phi'_{\text{инд}} \approx \text{const},$$

откуда

$$t_{\text{инд}} = \frac{c}{k_2 p_{\text{O}_2} \left(1 - \frac{p_1}{p}\right)}. \quad (15)$$

Пользуясь этой формулой, один из авторов [9] в 1942 г. определил  $E_2$  на основании экспериментальных данных, лежащих в довольно узком температурном интервале 23° С. В то время для  $E_2$  была получена величина, равная 23 000 кал/моль.

Краткий и неполный обзор литературы, связанный с определением энергии активации реакции разветвления, показывает, насколько необходима постановка новых кинетических исследований, осуществленных в более широком интервале температур и давлений, в условиях большей изотермичности реакции. В настоящее время для постановки таких опытов имеются все возможности.

Исследователи научились получать значения нижнего предела, лежащие в несколько десятков раз ниже соответствующих значений, полученных прежде. При таких малых значениях  $p_1$  становится возможным более глубокое, по сравнению с нижним пределом, проникновение в область воспламенения. Имея дело с такими низкими значениями  $p_1$ , по температуре сравнительно легко охватить интервал в 100—200° С. Ввиду низких давлений скорость реакции мала, мало и количество тепла, выделяемое реакцией в единицу времени. Следовательно, можно вовсе не опасаться разогрева реагирующей смеси.

### Экспериментальная часть

Методика эксперимента. Опыты по изучению кинетики горения водорода над нижним пределом проводились в кварцевом сосуде диаметром 58 мм длиной 100 мм. Сосуд был последовательно промыт плавиковой кислотой, а затем тетраборатом калия.



Перед опытами реактор обрабатывался многократными вспышками эквимолекулярной смеси водорода с кислородом. Обработка считалась законченной, когда последующие вспышки не приводили к снижению положения нижнего предела. Как предел, так и выгорание реагирующей смеси измерялись при помощи мембранного манометра чувствительностью 0,007 мм рт. ст. на 1 мм шкалы. Кинетические измерения проводились мембранным манометром чувствительностью 0,014 мм рт. ст. на 1 мм шкалы. Следуя А. А. Ковальскому [2], падение давления со временем мы регистрировали на движущейся фотобумаге при помощи луча, отраженного последовательно от зеркала, прикрепленного к иглке звукописателя, и от зеркала мембранного манометра. Звукописатель во всех опытах приводился в колебание с частотой 300 гц. Чтобы иметь возможность проследить наряду с кинетикой реакции и за периодом индукции в сравнительно широком интервале температур и давлений, было необходимо свести до минимума время вплеска и выравнивания давления в реакторе, а также устранить

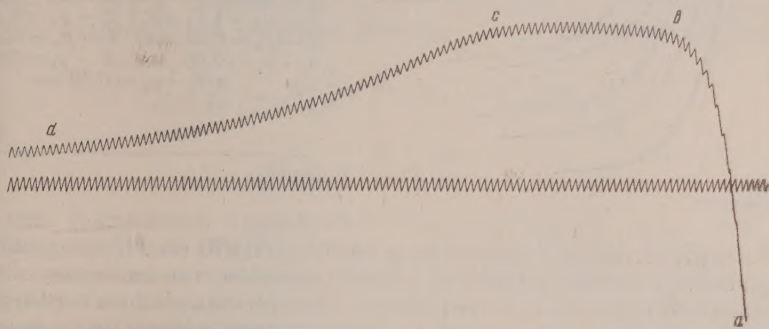


Рис. 3. Фотозапись кинетики горения водорода при 522° С,  $p_0 = 1,2$  мм рт. ст. и  $p_1 = 0,11$  мм рт. ст. Время между соседними пиками 1/300 сек.

начальный толчок газа о мембрану. От последнего легко удалось освободиться, осуществив двухсторонний вход газа в реактор [10]. Однако сократить время вплеска и выравнивания давления ниже 0,04—0,05 сек. в условиях, когда начальное давление смеси в реакторе не превышает 1,2 мм рт. ст., нам не удалось.

Недостатком методики было наличие устройства для двухстороннего впуска газа в реактор, несколько повысившего объем коммуникаций, что, даже при соответствующих поправках, вводит некоторую неточность в определении кинетических параметров. Для уменьшения ошибки, обычно вкрадывающейся при нахождении скорости реакции путем дифференцирования кинетических кривых  $\Delta p - t$ , опытные кривые, увеличенные предварительно при помощи эпидиаскопа около 10 раз, проектировались на миллиметровую бумагу, прикрепленную на экране.

На рис. 3 приведена фотозапись вплеска и, выравнивания давления в реакторе (участок *ab*), периода индукции (участок *bc*) и воспламенения газа, сопровождающегося падением давления (участок *cd*). Запись сделана при давлении реагирующей смеси, равном 1,2 мм рт. ст., и температуре 502° С. Нижний предел в этих условиях был равен 0,12 мм рт. ст. Угловая скорость вращения барабана 1 об/сек. Расстояние между пиками равно 1/300 сек. Периметр барабана  $l = 28$  см. Описанной методикой была измерена кинетика воспламенения водорода при восьми различных температурах, лежащих в интервале 460—600° С, и при различных давлениях от 0,3 до 1,2 мм рт. ст. при значениях нижнего предела, лежащих между 0,16 и 0,07 мм рт. ст.

На рис. 4 приведена зависимость нижнего предела  $p_1$  от температуры. Из температурной зависимости нижнего предела находим  $E_1 = 7200$  кал/моль.

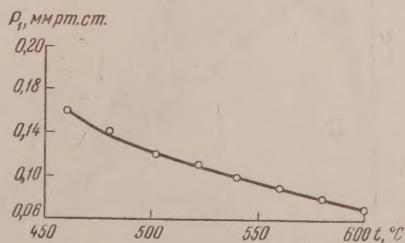


Рис. 4. Нижний предел воспламенения как функция температуры



На рис. 5 для примера приведены кривые падения во времени давления при  $522^\circ\text{C}$  для семи различных начальных давлений  $p_0$ . Из кривых видно, что все они имеют S-образную форму и сильно растянуты во времени. Периоды индукции с повышением начального давления от 0,38

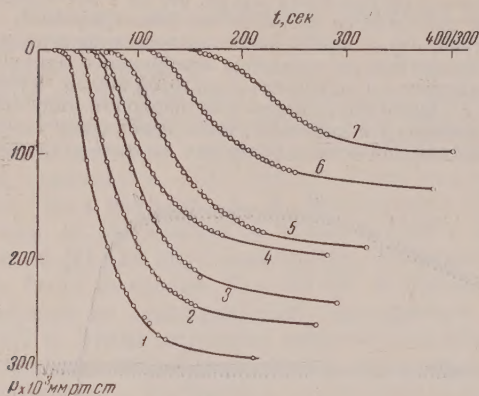


Рис. 5. Кинетические кривые окисления водорода, полученные при  $522^\circ\text{C}$  для различных начальных давлений: 1 —  $p_0 = 1,2$  мм; 2 —  $p_0 = 1,0$  мм; 3 —  $p_0 = 0,87$  мм; 4 —  $p_0 = 0,75$  мм; 5 —  $p_0 = 0,63$  мм; 6 —  $p_0 = 0,51$  мм; и 7 —  $p_0 = 0,38$  мм

до 1,2 мм рт. ст. резко сокращаются от 0,5 до 0,076 сек. Проведение опытов при более высоких давлениях не имело смысла, так как время вплеска и выравнивания давления в реакционном сосуде становилось соизмеримым с периодом индукции. Аналогичные кинетические кривые были получены и при других температурах.

### Обсуждение результатов

Рассмотрим вначале зависимость безразмерной скорости реакции  $d\pi/d\tau$  от выгорания  $\pi$  при  $522^\circ\text{C}$  для различных значений  $R = 2p_1/p_0$ . На рис. 6 сплошными линиями нанесены теоретические кривые, вычисленные по формуле (13) для  $R$ , соответствующих семи опытным значениям  $p_1$  и  $p_0$ . Для сопоставления опытных данных с теоретическими первые вначале,

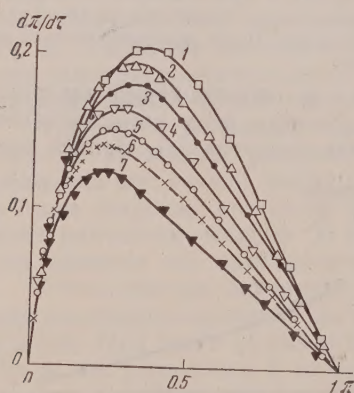


Рис. 6

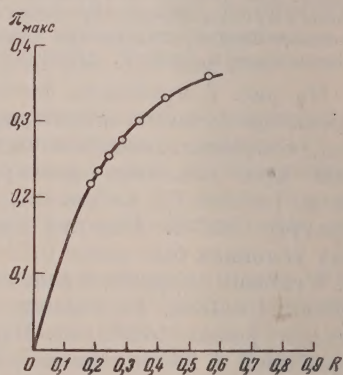


Рис. 7

Рис. 6. Зависимости  $d\pi/d\tau$  от  $\pi$  при  $R$ : 1—0,56; 2—0,42; 3—0,34; 4—0,28; 5—0,24; 6—0,21 и 7—0,18 соответственно, вычисленные по формуле (11). Различными знаками на сплошных кривых обозначены экспериментальные точки

Рис. 7. Зависимость  $\pi_{\text{макс}}$  от  $R$

как отмечалось выше, были перестроены в виде зависимости  $d\Delta p/dt - \pi$ , а затем полученные кривые, поскольку во всех случаях выгорание было полное, были трансформированы по оси абсцисс к  $\pi = 1$ . Затем каждая

в семи опытных кривых была трансформирована по оси ординат так, чтобы максимальное значение скорости реакции каждой опытной кривой совпало с максимумом теоретической кривой, вычисленной для данного  $R$ .

На рис. 6 различными значками нанесены опытные значения скорости реакции в зависимости от  $\pi$ , полученные для разных значений  $R$ . Как видно из рисунка, экспериментальные кривые очень хорошо совмещаются с соответствующими теоретическими кривыми. В полном соответствии с теоретическим заключением, по мере уменьшения  $R$  максимум скорости смещается в область малых выгораний. При  $R = 0,18$  скорость достигает максимального значения при 22% выгорания. Из уравнения (13) нетрудно найти зависимость  $\pi_{\text{макс}}$  — выгорания, соответствующего максимуму безразмерной скорости реакции, от  $R$ . Условием максимума является

$$\frac{d}{d\pi} \left( \frac{d\pi}{d\tau} \right) = R \left( \frac{2}{R} e^{-2\pi_{\text{макс}}/R} - 1 \right) = 0.$$

Отсюда

$$\pi_{\text{макс}} = \frac{R}{2} \ln \frac{2}{R}. \quad (16)$$

На рис. 7 сплошной кривой вычерчена зависимость  $\pi_{\text{макс}}$  от  $R$ , вычисленная по формуле (16). Кружочками нанесены опытные значения  $\pi_{\text{макс}}$ , соответствующие семи значениям  $R$ . Как видно из рисунка, опытные значения прекрасно укладываются на теоретическую кривую. Значения  $k_2$ , вычисленные из коэффициентов трансформации  $\alpha$  семи опытных кривых, приведены в табл. 1.

Таблица 1

Значение константы  $k_2$  скорости реакции разветвления  
при 522° С  $P = 0,106$  мм рт. ст.

№ опыта	$P_0$ , мм рт. ст.	$R = \frac{2p}{p_0}$	$k_2$ , мм <sup>-1</sup> сек <sup>-1</sup>
23	0,38	0,56	75
25	0,51	0,42	80
26	0,63	0,34	84
27	0,75	0,28	78
28	0,87	0,24	86
30	1,0	0,21	85
32	1,2	0,18	100

Среднее 84

Как видно из последнего столбца табл. 1, константа скорости реакции (12), за исключением опыта № 32, имеет для всех давлений практически одинаковое значение. В дальнейших расчетах мы пользуемся средним из семи значений  $k_2$ , а именно  $k_2 = 84$  мм<sup>-1</sup> сек<sup>-1</sup>. Результат сопоставления опытных значений скоростей реакции от глубины выгорания с вычисленными по формуле (13) для температур: 460, 480, 502, 540, 560, 580, и 600° С приведен на рис. 8. Как видно из рисунка, хорошее согласие между ними сохраняется и для других температур. В некоторых случаях, как это видно по кривой 7 (опыт 52) на рис. 8, максимум скорости достигается при 18–20%-ном превращении исходной смеси.

Аналогичным способом были определены значения  $k_2$  для других температур. Ниже приводится сводная таблица значений  $k_2$ , полученных для восьми температур.

Из температурной зависимости константы скорости реакции  $k_2 = k'_2 e^{-E_1/RT}$  можно вычислить энергии активации  $E_2$ .



На рис. 9 приведена зависимость  $\lg k_2$  от  $1/T$ . Как видно из рисунка, опытные данные хорошо укладываются на прямую линию. Из наклона этой прямой находим  $E_2 = 15100$  кал/моль. Имея  $E_2$  и  $k_2$ , можно вычислить величину предэкспоненциального множителя,  $k'_2$ , например для  $T = 522^\circ\text{C}$  и сравнить ее с соответствующим значением, полученным из числа столкновений. Для  $522^\circ\text{C}$ ,  $k_2 = 6,7 \cdot 10^{-15}$  см<sup>3</sup>/сек, отсюда

$$k'_2 = \frac{k_2}{e^{-E_2/RT}} = \frac{6,7 \cdot 10^{-16}}{10^{-\frac{15100}{4,6 \cdot 795}}} = 0,94 \cdot 10^{-10}.$$

Из числа столкновений имеем  $k'_2 = \pi \sigma^2 u$ . Принимая  $u \simeq 4,5 \cdot 10^5$  см/сек,  $\sigma = 10^{-15}$  см<sup>2</sup>, получим  $k'_2 \simeq 15 \cdot 10^{-10}$ . Это означает, что для реакции (1)

Таблица 2

Зависимость  $k_2$  от температуры

$t, ^\circ\text{C}$	$k_2, \text{м.м}^{-1} \text{сек}^{-1}$	$k_2, \frac{\text{см}^3}{\text{сек}} \cdot 10^{15}$
460	42,5	3,12
480	58,5	4,4
502	67,5	5,22
522	84	6,7
540	108	8,8
560	120	10,02
580	155	13,2
600	186	16,2

$\dot{\text{H}} + \text{O}_2 = \dot{\text{O}}\text{H} + \dot{\text{O}}$  стери́ческий мно-  
житель порядка 0,1. Выражение  
для константы скорости реакци  
в окончательном виде можно на-  
писать

$$k_2 \approx 0,94 \cdot 10^{-10} e^{-15100/RT} \text{ см}^3/\text{сек}. \quad (17)$$

Константа скорости реакции раз-  
ветвления  $k_2$ , вычисленная Н. Н.  
Семеновым [5],  $k_2 = 1 \cdot 10^{-15}$  см<sup>3</sup>/се-  
[на основании экспериментальных  
данных А. А. Ковальского [2] при  
 $T = 520^\circ\text{C}$ , близка к значению, полу-  
ченному выше ( $6,7 \cdot 10^{-15}$  см<sup>3</sup>/сек)].

В монографии [11], посвященной ме-

ханизму окисления и горения водорода, А. Б. Налбандян и В. В. Воеводский  
использовали  $k_2 = 4,25 \cdot 10^{-12} \sqrt{T} e^{-\frac{1800}{RT}}$ , почти в пять раз меньшую при-  
веденной выше. Сравнительно недавно появились две работы, в которых  
также вычислена  $k_2$ . В работе по ингибированию верхнего предела

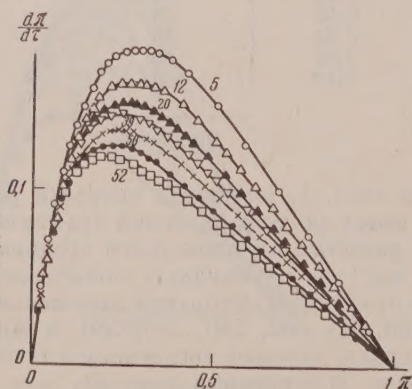


Рис. 8. Зависимость  $d\pi/d\tau$  от  $\pi$  для различных температур и разных  $R$  в опытах: 5 —  $460^\circ\text{C}$ ,  $R = 0,323$ ; 12 —  $480^\circ\text{C}$ ,  $R = 0,28$ ; 20 —  $552^\circ\text{C}$ ,  $R = 0,24$ ; 39 —  $540^\circ\text{C}$ ,  $R = 0,2$ ; 52 —  $560^\circ\text{C}$ ,  $R = 0,167$ ; 56 —  $580^\circ\text{C}$ ,  $R = 0,179$ ; 60 —  $600^\circ\text{C}$ ,  $R = 0,22$ . Сплошные кривые вычислены по формуле (11). Значками обозначены экспериментальные значения

воспламенения водородо-кислородных смесей небольшими добавками этана Болдуин, Корней и Симмонс [12] получили для  $T = 520^\circ\text{C}$ ,  $k_2 = 1,1 \cdot 10^{-15}$  см<sup>3</sup>/сек.

В работе, посвященной влиянию состава смеси на нижний предел воспламенения водорода с кислородом в сосудах, обработанных KCl, Болдуин [13] получил  $E_2 = 15,2$  ккал/моль, а также оценил  $k_2$  при  $T = 520^\circ\text{C}$ . По этим данным  $k_2 = 4,5 \cdot 10^{-15}$  см<sup>3</sup>/сек.



Воспользовавшись значением константы  $k_2$  разветвления, вычислим из условия нижнего предела вероятность  $\varepsilon$  гибели атомов H на стенках кварцевого реактора, промытого тетраборатом калия, при 522° С.

На нижнем пределе  $\varphi = 0$  или  $2k_2(\text{O}_2) - k_4 = 0$ .

Отсюда

$$(p_{\text{O}_2})_{\text{пред}} = \frac{k_4}{2k_2}, \quad (18)$$

$k_4$  — константа скорости гибели атомов H на стенках. Так как предел воспламенения чрезвычайно низок, можно считать, что реакция протекает в кинетической области. Ввиду чего можно положить

$$k_4 = \varepsilon u/d,$$

$u$  — тепловая скорость движения атомов H,  $d$  — диаметр сосуда. Подставляя значение  $k_4$  в формулу (19), получим  $(p_{\text{O}_2})_{\text{пред}} = \varepsilon u/2dk_2$ .

Откуда  $\varepsilon = \frac{2p_{\text{O}_2}dk_2}{u}$  при 522° С,  $p_1 = 0,106$  мм рт. ст. и  $p_{\text{O}_2} = 0,035$  мм рт. ст. или  $4,45 \cdot 10^{14}$  молекул/см<sup>3</sup>, принимая  $u = 4,5 \cdot 10^5$  см/сек, получим  $\varepsilon \cong 7,7 \cdot 10^{-5}$ .

Энергию активации  $E_2$  можно вычислить также из температурной зависимости коэффициентов трансформации по оси абсцисс кинетических кривых  $\pi - t$ , полученных при  $R = \text{const}$ . Уравнение (13) можно переписать в виде  $d\pi/d\tau' = 1 - e^{-2\pi/R} - \pi$ , где  $\tau' = \tau R = k_2(\text{O}_2) Rt$ . Интегрируя это уравнение, получим

$$\int_0^{\pi} \frac{d\pi}{1 - e^{-2\pi/R} - \pi} = \int_0^{\tau'} d\tau' = \tau' = k_2(\text{O}_2) Rt,$$

$\tau'$  является функцией  $R$  и  $\pi$ . При постоянном  $R$  —  $\tau'$  становится функцией лишь одной переменной  $\pi$ . Пересчитав опытные зависимости  $\Delta p - t$ , полученные при разных температурах и  $R \cong 0,23$  к зависимости  $\pi - t$ ,

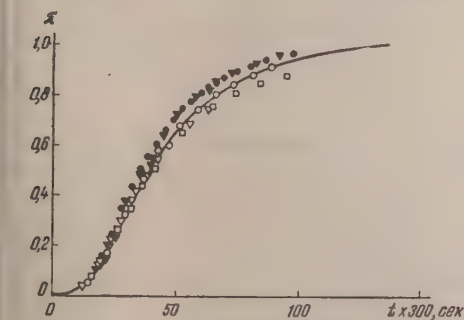


Рис. 10. Результат трансформации по времени кинетических кривых, полученных при 480, 502, 522, 540, 600° С и  $R = 0,23$  к кривой при 580° С

полученных при 480, 502, 522, 540 и 600° С, до 50%-ного превращения исходных веществ хорошо ложатся на нетрансформированную кривую. Некоторые отступления, наблюдаемые при больших выгораниях, возможно связаны с неточным постоянством  $R$ . В этих опытах  $R$ , как видно из табл. 3, несколько менялось.

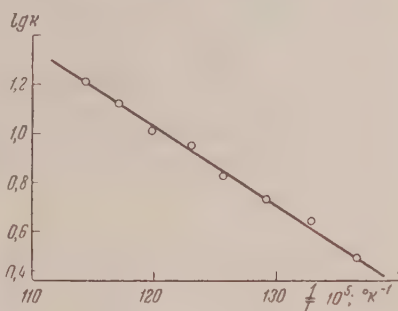


Рис. 9

и, начертив каждую из них, мы сначала трансформировали их по оси ординат (по  $\pi$ ) к одному значению, условно принятому за единицу (к кривой, полученной в опыте № 55). Такую операцию можно произвести, поскольку выгорание во всех рассмотренных ниже опытах полное.

Результаты трансформации этих кривых, по оси абсцисс, к кривой опыта № 55 приведены на рис. 10. Сплошной линией изображена основная нетрансформированная кинетическая кривая, полученная при 580° С. Остальные пять кинетических кривых,

Значения коэффициентов трансформации  $\alpha = t/\tau' = 1/k_2(\text{O}_2)R$ , для различных температур и давлений кислорода приведены в табл. 3 (столбец 3).

Таблица 3

Зависимость коэффициентов трансформации  $\alpha$  от температуры

№ опыта	$p_{\text{O}_2}$	$\alpha$	$\frac{1}{\alpha p_{\text{O}_2}} = k_2 R$	$T, ^\circ\text{K}$	$\alpha = k_2 RT \times 10^{16}$	$\lg \alpha$	$R = \frac{2p_1}{p_0}$
13	0,4	1,61	1,55	753	1,165	0,067	0,233
20	0,333	1,445	2,08	775	1,61	0,206	0,236
28	0,29	1,36	2,53	795	2,04	0,303	0,244
38	0,28	1,165	3,06	813	2,49	0,397	0,238
55	0,23	1	4,3	853	3,66	0,564	0,221
60	0,202	0,945	5,25	873	4,57	0,66	0,225

Из температурной зависимости  $\alpha$  находим искомую энергию активации  $E_2$ .

На рис. 11 приведена зависимость  $\lg \alpha$  от  $1/T$ . Из этого рисунка видно, что экспериментальные точки хорошо укладываются на прямую, из наклона которой находим  $E_2 = 1530$  кал/моль. Энергию активации  $E$  можно определить еще одним способом из температурной зависимости

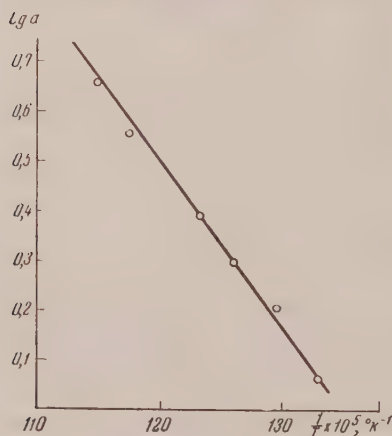


Рис. 11

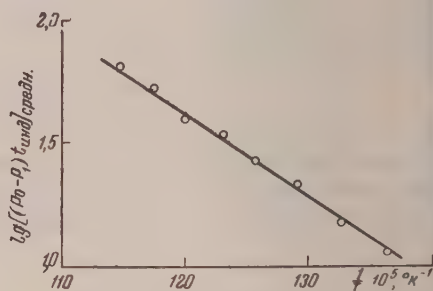


Рис. 12

периодов индукции, предшествующих воспламенению. Для этой цели воспользуемся уравнением (15). Так как для стехиометрической смеси  $p_{\text{O}_2} = 1/3 p_0$  уравнение (15) можем переписать

$$t_{\text{инд}}(p_0 - p_1) = b, \quad (19)$$

где  $b = 3c/k_2$  есть величина, пропорциональная  $k_2 = k'_2 e^{-E_2/RT}$ . Из уравнения (19) следует, что при постоянной температуре произведение периода индукции на разность  $(p_0 - p_1)$  при изменении начального давления должно сохраняться постоянным.

Ниже представлена табл. 4 по зависимости периода индукции от начального давления для восьми различных температур.

В четвертом столбце таблицы приведены значения  $(p_0 - p_1) t_{\text{инд}}$ . В табл. 4 не приведены данные, относящиеся к периодам индукции, измеримым со временем всплеска и выравнивания давления в реакторе, так как в этом случае относительная погрешность в определении  $t_{\text{инд}}$  слишком велика.

Таблица 4

$p$ мм рт. ст.	$p - p_1$ мм рт. ст.	$t_{\text{инд}}$ сек.	$(p - p_1) t_{\text{инд}}$ мм рт. ст. сек.	$p$ мм рт. ст.	$p - p_1$ мм рт. ст.	$t_{\text{инд}}$ сек.	$(p - p_1) t_{\text{инд}}$ мм рт. ст. сек.
$T = 460^\circ \text{ C}; p_1 = 0,16 \text{ мм рт. ст.}$				$T = 480^\circ \text{ C}; p_1 = 0,14 \text{ мм рт. ст.}$			
0,61	0,45	0,72	0,32	0,55	0,41	0,56	0,23
0,81	0,65	0,43	0,27	0,73	0,59	0,37	0,22
1,0	0,84	0,35	0,295	0,88	0,74	0,29	0,215
1,2	1,04	0,26	0,27	1,0	0,86	0,22	0,19
				1,2	1,06	0,18	0,19
Среднее 0,29				Среднее 0,21			
$T = 502^\circ \text{ C}; p_1 = 0,12 \text{ мм рт. ст.}$				$T = 540^\circ \text{ C}; p_1 = 0,1 \text{ мм рт. ст.}$			
0,45	0,33	0,5	0,165	0,38	0,28	0,35	0,099
0,57	0,45	0,38	0,17	0,5	0,4	0,26	0,104
0,73	0,61	0,26	0,16	0,61	0,51	0,19	0,097
0,85	0,73	0,18	0,13	0,73	0,63	0,16	0,1
				0,84	0,74	0,13	0,093
Среднее 0,16				Среднее 0,1			
$T = 560^\circ \text{ C}; p_1 = 0,09 \text{ мм рт. ст.}$				$T = 580^\circ \text{ C}; p_1 = 0,08 \text{ мм рт. ст.}$			
0,33	0,24	0,4	0,096	0,42	0,34	0,21	0,072
0,45	0,36	0,23	0,083	0,58	0,5	0,14	0,07
0,55	0,46	0,18	0,083	0,7	0,62	0,1	0,062
0,69	0,6	0,14	0,085				
0,81	0,72	0,11	0,08				
Среднее 0,085				Среднее 0,068			
$T = 522^\circ \text{ C}; p_1 = 0,11 \text{ мм рт. ст.}$				$T = 600^\circ \text{ C}; p_1 = 0,07 \text{ мм рт. ст.}$			
0,38	0,27	0,51	0,138	0,39	0,32	0,18	0,05
0,51	0,4	0,35	0,14	0,52	0,45	0,10	0,045
0,63	0,52	0,23	0,12	0,61	0,54	0,08	0,044
0,75	0,64	0,18	0,116				
0,87	0,76	0,16	0,125				
Среднее 0,128				Среднее 0,046			

Как видно из таблицы, произведения  $(p_0 - p_1)t_{\text{инд}}$  при изменении давления, в пределах ошибок измерений остаются постоянными для каждой температуры. Таким образом опыт полностью подтверждает теоретический вывод  $\varphi_{\text{инд}} = \text{const.}$  Поскольку

$$b = b'e^{-E_2/Rt} = (p_0 - p_1) t_{\text{инд}},$$

строая зависимость

$$\lg [(p_0 - p_1) t_{\text{инд}}]_{\text{сред}} \text{ от } 1/T,$$

мы должны получить прямую линию.

Зависимость

$$\lg [(p_0 - p_1) t_{\text{инд}}]_{\text{сред}} - 1/T$$

приведена на рис. 12. Из рисунка видно, что опытные точки хорошо ложатся на прямую линию. Из наклона этой прямой получаем  $E_2 = 15\,400 \text{ кал/моль.}$



Таким образом все три метода определения энергии активации акции (2) приводят нас практически к одинаковому значению.

После того как определено сравнительно точное значение констант скорости реакции (2) и энергия активации этого процесса, становится возможным постановка новых задач, связанных с выяснением природы процессов разветвления в других реакциях; например, в реакции низкотемпературного горения окиси углерода в присутствии примесей водорода или паров воды. Кроме того, становится возможным вычисление по кинетике воспламенения и по смещению нижнего предела, констант элементарных реакций и энергии активации атомного водорода с различными углеводородами, добавленными к смеси водорода с кислородом. В этом случае образующийся в ходе реакции атомный водород наряду с вступлением в реакцию (2) и гибелью на стенках будет реагировать с углеводородом по реакции  $H + RH = R + H_2$ , что приведет к повышению предела воспламенения и изменению кинетики реакции.

Исследование кинетики горения водорода в богатых кислородом смесях позволит вычислить константу скорости реакции и энергию активации реакции (1)  $OH + H_2 = H_2O + H$ . Так как в этих условиях концентрация радикалов  $[OH]$  становится сравнимой с концентрацией атомов  $[H]$ , суммарная скорость будет определяться изменением концентрации атомов водорода, так и радикалов  $[OH]$ . Дальнейшее развитие работы будет связано с решением поставленных выше задач.

### Выводы

1. Изучена кинетика горения водорода над его нижним пределом самовоспламенения в широком интервале температур от 460 до 600°.

2. В том же интервале температур измерена зависимость периода индукции, предшествующего воспламенению, от давления.

3. Показано, что в полном соответствии с теоретическими представлениями Н. Н. Семенова, высказанными еще в 1944 г., максимум скорости реакции с уменьшением  $R = 2p_1/p_0$  смещается в область малых выгораний. Тем самым подтвержден вывод об образовании над нижним пределом самовоспламенения водорода с кислородом, больших концентраций атомного водорода, нарушающих пропорциональность между скоростью реакции и падением давления в реагирующей системе.

4. Из полученных кинетических данных вычислены значения константы скорости реакции разветвления (2) для различных температур.

5. Тремя различными, не зависящими друг от друга, способами определена энергия активации реакции разветвления (2)  $H + O_2 = OH + O$ . Все три способа приводят практически к одинаковому значению  $E_2$ .

Академия наук СССР  
Институт химической физики  
Москва

Поступила  
30.XII.1957

### ЛИТЕРАТУРА

1. Н. Н. Семенов, Докл. АН СССР, 44, 265, 1944.
2. А. А. Ковальский, Phys. Z. Sowjetun., 4, 723, 1933.
3. D. R. Warren, Proc. Roy. Soc., 211, 96, 1952.
4. Я. Б. Зельдович и Н. Н. Семенов, Ж. теор. и эксперим. физики, 10, 142, 1940.
5. Н. Н. Семенов, Acta Physicoch. URSS, 20, 291, 1945.
6. G. E. L. E and B. Lewis, J. Chem. Phys., 10, 366, 1942.
7. В. В. Воеводский, Кандидатская диссертация, ИХФ, 1944.
8. Н. Н. Семенов, Цепные реакции, ОНТИ, 1934.
9. А. Б. Налбандян, Докторская диссертация, ИХФ, 1942; Ж. физ. химии, 19, 210, 218, 1945.
10. А. Б. Налбандян, Phys. Z. Sowjetun., 4, 747, 1933.
11. А. Б. Налбандян и В. В. Воеводский, Механизм окисления и горения водорода, Изд-во АН СССР, 1949.
12. R. R. Baldwin, N. S. Corney, R. E. Simmons, Fifth symposium Combustion, 1954, стр. 502.
13. R. R. Baldwin, Trans Faraday Soc., 52, 1344, 1956.

## АНОМАЛЬНЫЙ СЛУЧАЙ КАТАЛИЗА В ЖИДКОЙ ФАЗЕ. II

Г. А. Богданов и Г. Л. Петрова

В предыдущей статье [1] было описано влияние соотношения концентраций катализаторов  $\text{Na}_2\text{Cr}_2\text{O}_7$  и  $\text{NiSO}_4$ , а также влияние температуры на скорость каталитического распада перекиси водорода.

Главное внимание в настоящей статье сосредоточено на исследовании электропроводности и криоскопии раствора, а также влиянии ионов водорода на скорость катализа; особенно много опытов посвящено поискам изучению промежуточных соединений.

## Экспериментальная часть

Влияние концентрации ионов  $\text{H}^+$  на скорость катализа. Концентрация ионов водорода сильно влияет на скорость данной каталитической реакции. В нейтральной среде скорость катализа незначительна, а в кислой среде она резко увеличивается.

Концентрация серной кислоты изменялась от  $6,25 \cdot 10^{-4}$  до  $50,00 \cdot 10^{-4}$  моль/л. Опыты проводились при  $15^\circ\text{C}$ ;  $c_{\text{Cr}} = 0,005$ ;  $c_{\text{Ni}} = 0,01$ ;  $c_{\text{H}_2\text{O}_2} = 0,17$  моль/л. Кинетические кривые 1, 2, 3, 4 на рис. 1 отвечают концентрациям серной кислоты, равным соответственно  $6,25 \cdot 10^{-4}$ ;  $25,00 \cdot 10^{-4}$ ;  $50,00 \cdot 10^{-4}$  моль/л. Анализ кинетических кривых, представленных на рис. 1, приводит к необходимости строго различать катализ при  $c_{\text{H}^+} < c_{\text{Cr}}$  и  $c_{\text{H}^+} \geq c_{\text{Cr}}$ .

При любой концентрации ионов водорода скорость реакции при начальной концентрации  $\text{H}_2\text{O}_2$  либо незначительно изменяется, либо остается постоянной (пунктирное продолжение кривых 1 и 2 рис. 1).

В пределах концентрации кислоты от  $6,25 \cdot 10^{-4}$  до  $25,00 \cdot 10^{-4}$  моль/л, как передают кривые 1, 2, 3, возрастание скорости имеет место весьма непродолжительное время, затем скорость катализа по наличной концентрации субстрата падает по прямой линии, соответствующей уравнению первого порядка. Рост скорости в самом начале процесса, очевидно, связан с формированием промежуточного комплекса.

В указанных пределах концентраций  $\text{H}_2\text{SO}_4$  отношение  $v/c_{\text{H}^+}$  сохраняется на всем протяжении процесса достаточно постоянным; следовательно, влияние концентрации кислоты выражается правильностью, по которой скорость катализа прямо пропорциональна концентрации ионов водорода  $v = kc_{\text{H}^+}$ . Эта закономерность имеет место в условиях, когда  $c_{\text{H}^+} < c_{\text{Cr}}$ .

Совершенно иная картина наблюдается при  $c_{\text{Cr}} \leq c_{\text{H}^+}$ . Кинетическая кривая 4, отвечающая эквимоллярности, когда  $c_{\text{H}_2\text{SO}_4} = c_{\text{Na}_2\text{Cr}_2\text{O}_7} = 0,005$  моль/л, возрастает в начале процесса относительно медленно, вплоть до оставшейся наличной концентрации  $\text{H}_2\text{O}_2$ , равной 0,05 моль/л, затем она вдруг круто поднимается, достигая максимума при  $c_{\text{H}_2\text{O}_2} = 0,017$  моль/л, после которого сразу падает до нуля; кривые при  $c_{\text{H}^+} > c_{\text{Cr}}$  на рис. 1 не представлены.

Своеобразное течение катализа при  $c_{\text{H}^+} \geq c_{\text{Cr}}$ , явно отличное от каталитического процесса при  $c_{\text{H}^+} < c_{\text{Cr}}$ , связано с образованием надхромовых кислот и их доминирующей ролью в катализе.

В кислой области, когда  $c_{\text{H}^+} > c_{\text{Cr}}$ , скорость катализа в противоположность тем условиям, когда  $c_{\text{H}^+} < c_{\text{Cr}}$ , уменьшается с увеличением

концентрации кислоты, согласно уравнению  $v = k/c_{H^+}^n$ . В самом начале катализа на небольшом участке  $n = 0$ , затем значение  $n$  быстро достигает значения единицы, но после превращения приблизительно половины субстрата  $n > 1$ , и скорость реакции  $v$  убывает с увеличением  $c_{H^+}$  значительно больше, чем этого требует зависимость  $v < k/c_{H^+}$ .

Изменение величин  $n$  от 0 до  $n > 1$  по мере хода процесса согласуется с тем обстоятельством, что в кислой среде соединения шестивалентного хрома в присутствии  $H_2O_2$  переходят частично в трехвалентное состояние [1].

Е. И. Шнитальский изучал катализ  $H_2O_2$  бихроматом калия при носительно большой концентрации кислоты, а нами исследован катализ  $H_2O_2$  хроматом натрия при  $c_{H^+} < c_{Cr}$ . Существенное различие в кинети-

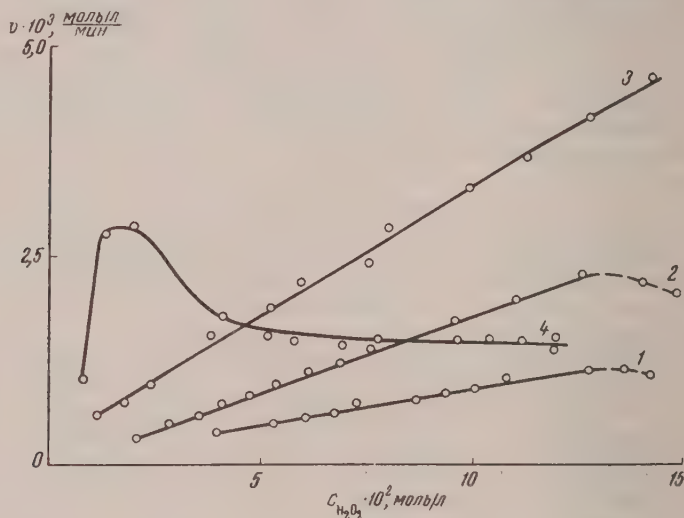


Рис. 1. Влияние концентрации ионов водорода на скорость катализа  $H_2O_2$

реакции при избытке и недостатке кислоты заставило предполагать, что она определяется, кроме всего прочего, катионами  $Na^+$  и  $K^+$ . Однако эту разницу в катализе следует прежде всего усматривать в различной концентрации ионов водорода.

Опыты, проведенные с хроматом калия\*, показали, что в каталитическом отношении он подобен хромату натрия. Зависимость кинетики реакции от концентрации ионов  $H^+$  побудила нас проследить изменения электропроводности реакционной смеси во время катализа.

Исследования электропроводности и температуры замедления раствора. Измерение электропроводности, во избежание разложения перекиси водорода платиновой чернью производилось в сосуде с гладкими платиновыми электродами [3].

Вначале приготавлился кислый водный раствор  $Na_2Cr_2O_7 + NiSO_4$  в количестве 24 мл и измерялась его электропроводность, затем к приготовленному кислому раствору катализаторов прибавлялось 0,3—0,5 мл концентрированной  $H_2O_2$  и измерялась электропроводность полученной реакционной смеси от момента внесения  $H_2O_2$  до практически полного ее превращения. Опыты проводились при  $15^\circ C$ .

Ход изменения электропроводности представлен на рис. 2. Точки  $a$  соответствуют электропроводности раствора без  $H_2O_2$ , точки  $z$  — полному разложению  $H_2O_2$ .

\* Опыты проделаны Р. В. Колобковой.



Как видно, электропроводность резко падает от прибавления субстрата, что отвечает участкам *аб* кривых.

Падение электропроводности от прибавления перекиси водорода подчиняется правильности, согласно которой, чем выше концентрация ионов  $H^+$  и больше концентрация  $Na_2Cr_2O_7$ , тем значительнее уменьшается электропроводность.

После первоначального резкого падения электропроводность далее за всем протяжении реакции остается постоянной,  $dx/dt = 0$ .

Неожиданным является то, что в принятых условиях в течение 20 суток электропроводность сохраняет постоянство, которое соответствует участкам кривых *бв*, и лишь после нагревания смеси до  $70-80^\circ C$  в течение

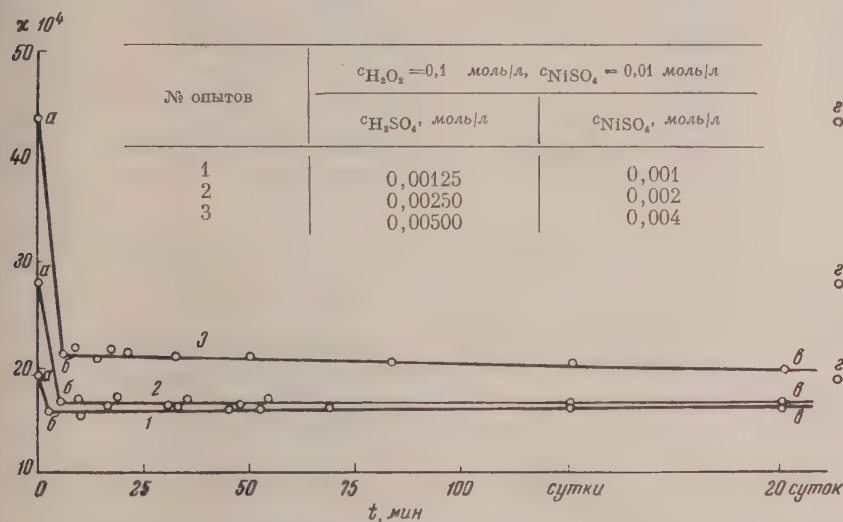


Рис. 2. Ход изменения электропроводности в процессе катализа. Нумерация кривых соответствует номерам опытов в таблице

20—25 мин., когда перекись целиком разложится, и последующего прибавления смеси к температуре опыта, электропроводность увеличивается и практически достигает своего первоначального значения, соответствующего точкам *г* на кривых.

В этих же условиях указанные закономерности сохраняются и при отсутствии в реакционной смеси сульфата никеля.

Если эти опыты проводить при относительно высоких температурах, то кривые в координатах  $\kappa - t$  после резкого первоначального падения возрастают в процессе катализа ( $dx/dt > 0$ ) вплоть до практически полного окончания реакции [4].

Проведенные опыты по изучению электропроводности позволяют высказать следующие положения:

Падение электропроводности в самом начале, сразу же после прибавления субстрата, обусловлено формированием сложных комплексов, состав которых определяется как ионами, находящимися в растворе, так и частицами субстрата.

Процесс образования комплексов совершается достаточно быстро, и последующий распад их определяет скорость катализа.

При взаимодействии субстрата с катализаторами возникает не менее двух промежуточных продуктов—активного, неустойчивого, и неактивного, относительно устойчивого.

Электропроводность определяется преимущественно образованием и

разложением неактивного комплекса, а активный продукт определяет скорость катализа.

Константа равновесия образования неактивного комплекса — достаточно большая величина.

Постоянное значение электропроводности на протяжении всего процесса после формирования комплексов обуславливается тем, что концентрация последних постоянная, т. е.  $m = \text{const}$  и  $dm/dt = 0$ .

Полное разрушение комплексов, в том числе и неактивного, и связанная с этим регенерация понов, послуживших для их образования, происходит только при достаточном нагревании.

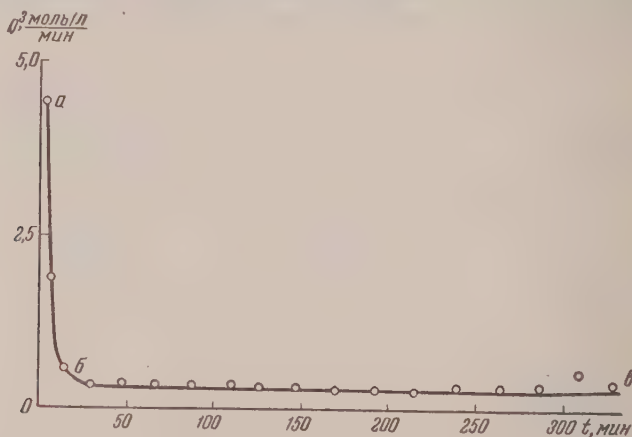


Рис. 3. Изменение скорости катализа во времени

Процесс формирования комплексов и их дальнейшее превращение состоит из нескольких макростадий:

- 1) Ионы + минимальное количество субстрата  $\rightleftharpoons$  неактивный комплекс.
- 2) Неактивный продукт + субстрат  $\rightleftharpoons$  активный комплекс.
- 3) Активный комплекс = неактивный комплекс +  $O_2$ .

Подтверждением высказанных положений служат результаты кинетических и криоскопических исследований, полученные в тех же условиях, в каких проводилось изучение электропроводности.

Кинетическая кривая, представленная на рис. 3, отвечает условиям опыта № 3 таблицы.

Как видно, в самом начале процесса, в первые 1—2 мин., скорость реакции резко падает (участок  $ab$ ), затем она сохраняет свое постоянное значение в течение приблизительно 6 час. (участок  $bc$ ), вплоть до почти полного разложения перекиси; последняя, как обычно, окончательно была разложена нагреванием до 70—80° С в течение 25 мин.

Перелом кривой указывает на образование двух комплексов с резко отличными константами распада [5], а последующий нулевой порядок реакции после перелома вполне соответствует постоянному значению электропроводности. Криоскопические исследования проводились в присутствии и в отсутствие сульфата никеля, при этом наблюдались одинаковые явления.

Концентрации катализаторов и кислоты для удобства наблюдения брались гораздо большие, чем для катализа, но отношения концентраций в точности соответствуют приведенным в таблице.

В одной из серий этих опытов реакционная смесь была составлена из следующих концентраций компонентов  $c_{Na_2CrO_4} = 0,20$ ;  $c_{H_2SO_4} = 0,25$ ;  $c_{H_2O_2} = 0,30$  моль/л.

Для завершения реакции смесь стояла при комнатной температуре 0 суток, затем в течение последующих 12 суток ежедневно изменялась температура замерзания смеси.

В согласии с данными электропроводности и кинетическими измерениями температура замерзания смеси за это время оставалась постоянной. Однако после нагревания смеси до  $70-80^{\circ}\text{C}$  в течение 25 мин. температура замерзания явно понизилась и оставалась неизменной при повторных нагреваниях.

Показания термометра Бекмана в среднем для бидистиллята—2,775 для реакционной смеси, наблюдавшиеся в течение 12 дней, до нагревания — 1,466, после нагревания и связанного с этим разрушения перекиси — 1,155. Как видно, изменения температуры замерзания смеси довольно большие, равные 1,309 и 1,620 C. Разница в измерениях температуры до и после разрушения неактивного комплекса составляет также значительную величину, равную  $0,311^{\circ}\text{C}$ . Наблюдаемые изменения температуры и электропроводности связаны с изменениями числа частиц, числа ионов и доказывают существование в растворе неактивного комплекса. Таким образом данные кинетики, криоскопии и электропроводности находятся в полном соответствии и подтверждают высказанные положения.

**Перхроматы никеля.** Перейдем теперь к изложению опытов, касающихся выделения промежуточных комплексов.

10 мл 80%-ной  $\text{H}_2\text{O}_2$  охлаждалось сухим льдом почти до температуры плавления и при энергичном перемешивании к ней прибавлялся слегка охлажденный свежеприготовленный хромат никеля.

Коричневый осадок хромата никеля получался реакцией обмена между хроматом натрия и сульфатом никеля. Осадок отфильтровывался при отсасывании вакуум-насосом, несколько раз промывался дистиллированной водой и анализировался на хром и никель. Состав его отвечал формуле  $\text{NiCrO}_4$ . Хромат никеля растворяется в перекиси водорода, поэтому реакционная смесь окрашивалась в коричневый цвет.

После 5—10-минутного перемешивания к ней добавлялось 60—70 мл охлажденного сухим льдом этилового спирта. После этого реакционная смесь хорошо перемешивалась и оставлялась для завершения реакции на 1—2 часа на сухом льду.

По истечении этого времени из раствора выпадал осадок коричневого цвета. Осадок отфильтровывался при охлаждении сухим льдом и отсасывании вакуум-насосом, промывался 5—6 раз охлажденным этиловым спиртом и анализировался на содержание в нем перекисного кислорода. Перекисный кислород анализировался газометрически.

Остатки после удаления из них перекисного кислорода высушивались до постоянного веса и анализировались на содержание в них хрома и никеля. Хром определялся персульфатно-серебряным методом, а никель — по методу Чугаева, путем осаждения его диметилглиоксимом [6]. Сухой остаток после удаления перекисного кислорода имел следующую формулу  $\text{NiCrO}_4$ .

Количество выделившегося кислорода рассчитывалось на 1 моль сухого остатка. В среднем на 1 моль  $\text{NiCrO}_4$  приходится 1 атом перекисного кислорода, это соответствует формуле  $\text{NiCrO}_5$ .

При более сильном охлаждении отношение числа молей  $\text{NiCrO}_4$  и  $\text{O}_2$  приблизительно равнялось 1 : 1, что дает повод допустить существование промежуточного комплекса состава  $\text{NiCrO}_6$ .

Полученные перхроматы никеля неустойчивы в воде и на воздухе особенно  $\text{NiCrO}_6$ . Они могут храниться только на сухом льду, а на воздухе и в воде перхроматы распадаются с выделением перекисного кислорода  $\text{NiCrO}_6$  значительно менее устойчив, чем  $\text{NiCrO}_5$ . На воздухе  $\text{NiCrO}_6$  вначале превращается в  $\text{NiCrO}_5$ , затем в  $\text{NiCrO}_4$ .

Вследствие большой разницы в устойчивости синтезированных перхроматов никеля кинетические кривые распада  $\text{NiCrO}_6$  в твердом состоянии имеют очень резкие переломы, которые указывают на то, что  $\text{NiCrO}_5$  является индивидуальным веществом, а не случайной смесью  $\text{NiCrO}_4$  с  $\text{NiCrO}_6$  в ходе разложения последнего\*.

\* При проведении опытов с более разбавленными растворами  $\text{H}_2\text{O}_2$  неоднократно получался продукт, в котором на 1 моль  $\text{NiCrO}_4$  приходилось 0,3 моля перекисного кислорода.



## Выводы

1. В условиях, когда  $c_{H^+} < c_{Cr}$ , скорость катализа  $H_2O_2$  в присутствии  $Na_2CrO_4$  и  $NiSO_4$  увеличивается прямо пропорционально концентрации ионов водорода  $v = kc_{H^+}$ , но при  $c_{H^+} > c_{Cr}$  имеет место обратная закономерность — скорость реакции тем меньше, чем больше концентрации ионов  $H^+$ :  $v < k/c_{H^+}$ .

При  $c_{H^+} < c_{Cr}$  кинетические кривые отвечают реакции первого порядка а при  $c_{H^+} \geq c_{Cr}$  они имеют максимум.

2. Электропроводность от прибавления субстрата вначале резко падает и при относительно небольших температурах она остается постоянно в течение многих суток, лишь после нагревания электропроводность увеличивается и достигает своего первоначального значения.

3. В согласии с изменениями электропроводности, температура замерзания реакционной смеси после завершения реакции в течение многих суток оставалась постоянной и лишь после нагревания она заметно понижалась.

Изменения электропроводности и температуры замерзания обусловлены изменениями числа частиц в ходе превращений.

4. Сделано предположение об образовании одного неактивного, довольно устойчивого комплекса, и двух активных, весьма неустойчивых комплексов. Существование неактивного комплекса доказано криоскопически и измерениями электропроводности. Активные продукты непосредственно синтезированы при взаимодействии субстрата с катализаторами.

Московский авиационный технологический институт

Поступила  
3.III.1956

## ЛИТЕРАТУРА

1. Г. А. Богданов и Г. Л. Петрова, Ж. физ. химии, **32**, 746, 1958.
2. Е. И. Шпитальский, Ж. Русск. физ.-хим. о-ва, часть хим., **42**, 1085, 1910.
3. Е. И. Шпитальский и Н. И. Кобозев, Z. phys. Chem., **127**, 129, 1927.
4. Г. А. Богданов и Г. Л. Петрова, Ж. физ. химии, **29**, 84, 1955.
5. Г. А. Богданов, Ж. физ. химии, **25**, 332, 1951.
6. А. М. Дымов, Технический анализ руд и металлов, Металлургиздат, 1949.

## AN ANOMALOUS CASE OF CATALYSIS IN THE LIQUID PHASE. II.

G. A. Bogdanov and G. L. Petrova

(Moscow)

## Summary

Within the region  $c_{H^+} > c_{Cr}$  the rate of reaction is directly proportional to the  $H^+$  ion concentration but at  $c_{H^+} < c_{Cr}$  the rate of catalysis falls with rise in the  $H^+$  concentration even with greater velocity than is required of an inverse proportionality relationship. The existence of two intermediate complexes has been proved by direct synthesis.

The presence of an inactive complex formed in small amounts has been demonstrated cryoscopically and by electrical conductivity measurements.

# РЕНТГЕНОСТРУКТУРНОЕ ИССЛЕДОВАНИЕ ГАЛЬВАНИЧЕСКИХ ЖЕЛЕЗО-НИКЕЛЕВЫХ СПЛАВОВ

*Н. С. Федорова*

Диаграмма состояния железо-никелевых сплавов хорошо изучена. Первое рентгеноструктурное исследование гальванических железо-никелевых сплавов было выполнено в работе [1], где было установлено, что все гальванические сплавы железа и никеля являются растворами; область существования двух фаз распространяется от 14 до 58% никеля. Области гомогенности в гальванических сплавах уже, чем в сплавах, полученных термическим способом. Параметры решетки сплавов отличаются от термических: сплавов с увеличенным параметром не было обнаружено.

Ф. Маршак и Д. Степанов [2] вторично исследовали структуру гальванических железо-никелевых сплавов. Они подтвердили, что все сплавы являются растворами, причем до 25—30% никеля сплав имеет решетку типа железа, с более высоким содержанием — типа никеля. В сплавах, содержащих 30—50% никеля, по их данным присутствие двух фаз обнаруживается очень слабо. В этом же интервале содержания никеля в сплаве авторами обнаружено увеличение параметра решетки одной фазы с увеличением до 3,5 Å. Параметров второй фазы авторам определить не удалось.

Таким образом, данные работы [1] не совпадают с результатами исследований Маршака и Д. Степанова. Последние [3] предполагают, что в сплаве с содержанием 50% никеля происходит образование соединения  $\text{Fe}_2\text{Ni}$ , которое растворяет избыток никеля и вызывает обнаруженную ими прерывность в свойствах сплавов при переменном составе компонентов.

Целью настоящей работы являлось исследование структуры гальванических железо-никелевых сплавов, содержащих 9, 18, 31, 52, 64 и 88% никеля.

## Экспериментальная часть

Сплавы получались электролизом водных растворов простых сернокислых солей железа и никеля, взятых в различных соотношениях, с добавкой лимонной кислоты и уксуснокислого натрия, при комнатной температуре и при перемешивании [4—6]. Рентгеноструктурное исследование гальванических сплавов проводилось на установке УРС-70-K1 по методу Дебая—Шеррера, в камере Дебая  $2R=57,3$  мм, без дифрактора. Рентгеновские лучи с длинами волн  $K_{\alpha_1}=1,936$  Å,  $K_{\alpha_2}=1,932$  Å и  $K_{\beta}=1,753$  Å получались на трубке марки БСВ 4 Fe.

Для получения порошков гальванических сплавов осадки наносились на необезжиренную, тщательно отполированную поверхность электрода из стали-3; покрытия отделялись от основы, и полученная пленка использовалась для анализа состава и для приготовления образца. Измельченная пленка набивалась в целлулоидный капиллярной 6—7 мм с внутренним диаметром 0,58 мм и в таком виде служила в качестве образца. Сплав, содержащий 88% никеля, исследовался в виде пленки толщиной 22 мм и шириной 1,5—2 мм, приклеенной цапон-лаком к стеклянному волоску.

Съемка производилась при силе тока в рентгеновской трубке 15 mA и напряжении 10 kV, время экспозиции — 6 час. Диаметр дебаевских колец на рентгенограмме измерялся на компараторе типа ИЗА-2.

Расчет рентгенограммы сплава с 9% Ni приведен в табл. 1.

Изложенным методом были рассчитаны рентгенограммы всех сплавов. Полученные данные о структуре гальванических Fe — Ni сплавов приведены в табл. 2.

Эти результаты лучше предыдущих согласуются с имеющимися данными о термических сплавах и подтверждают идентичность в строении железо-никелевых сплавов, полученных термическим и гальваническим путем.

Из табл. 2, видно, что, подобно термическим, гальванические железо-никелевые сплавы имеют различные параметры решетки в зависимости

Таблица

## Расчет рентгенограммы сплава с 9% Ni

Интенсивность линий	Тип излучения	$\theta_1$	$\Delta\theta$	$\theta'_2$	$\theta_2$	$\Delta\theta_0$	$\theta$	$\sin \theta$	$d, \text{\AA}$	$hkl$	$\alpha, \pm 0$
3	$\beta$	25,913	0,234	25,679	25°41'	7'	25°34'	0,431	2,031	011	2,
5	$\alpha$	28,642	0,224	28,418	28°32'	7'	28°25'	0,476	2,032	011	2,
1	$\alpha$	42,561	0,158	42,403	42°24'	5'	42°19'	0,673	1,436	002	2,
1	$\beta$	48,679	0,127	48,552	48°33'	4'	48°29'	0,749	1,171	112	2,
4	$\alpha$	55,631	0,093	55,538	55°32'	3'	55°29'	0,824	1,174	112	2,
1	$\alpha$	72,296	0,026	72,270	72°16'	1'	72°15'	0,952	1,015	022	2,

Примечание. Решетка объемноцентрированная.

Таблица 2

% Ni в сплаве	Параметр решетки $a \pm 0,005 \text{\AA}$	Структура сплава
9	2,87	Одна фаза — объемноцентрированный куб
18	2,88	То же
31	2,90	Две фазы — объемноцентрированный и гранецентрированный куб
	3,57	
52	3,58	Одна фаза — гранецентрированный куб
64	3,57	То же
88	3,50	» »

от состава. Это опровергает данные авторов работы [1], которые в гальванических железо-никелевых сплавах не обнаружили увеличения параметра решетки.

По нашим данным величина параметра гальванических сплавов несколько отличается от термических, что можно объяснить одновременным выделением водорода при получении гальванических сплавов и возможным внедрением его в кристаллическую решетку. Однако характер изменения параметра сохраняется в основном для обоих типов сплавов, независимо от метода получения.

По мере увеличения содержания никеля параметр решетки возрастает при достижении 31% в сплаве возникает вторая фаза, отвечающая раствору железа в никеле.

При этом, в противоположность Ф. Маршаку и Д. Степанову [3] в данной работе удалось установить параметры решетки обеих фаз, которые оказались равными 2,90 и 3,57 Å.

В сплаве с 52% никеля фаза, отвечающая объемноцентрированной решетке, исчезает, и остается одна фаза — гранецентрированный куб с параметром 3,58 Å, т. е. значительно большим того, который соответствует чистому никелю. По мере дальнейшего увеличения количества никеля в сплаве тип решетки сохраняется, а параметр ее уменьшается.

Предположение Д. Степанова и Ф. Маршака о том, что сплав с 30–50% никеля образует химическое соединение  $\text{Fe}_2\text{Ni}$ , данными рентгеноструктурного анализа не подтвердилось. Изучение микроструктуры гальванических сплавов также показало, что все они представляют собой раствор одного компонента в другом: на микрошлифах выявились только границы зерен и не было обнаружено какого-либо принципиального различия в поведении этих зерен при травлении.



Наличие границы устойчивости в свойствах сплавов, содержащих примерно 30—50% никеля, обнаруженное Ф. Маршаком и Д. Степановым можно объяснить присутствием в этих сплавах двух фаз с разной кристаллической структурой.

### Выводы

1. Выполнено рентгеноструктурное исследование гальванических железо-никелевых сплавов шести составов.
2. Установлено, что сплавы, содержащие 9 и 18% никеля, кристаллизуются в кубической объемноцентрированной решетке; сплавы, содержащие 52, 64 и 88% никеля, — в гранецентрированной кубической решетке; сплав с 31% никеля представляет собой смесь двух фаз — объемноцентрированной и гранецентрированной кубических решеток.
3. Параметр решетки сплава меняется в зависимости от состава.
4. В двухфазном сплаве определены параметры решеток обеих фаз.

Московский химико-технологический институт  
им. Д. И. Менделеева

Поступила  
29.V.1956

### ЛИТЕРАТУРА

- Reizo Ywasé u. Nobuyuki Nasy, Bull. Chem. Soc., Japan, 7, 305, 1932.  
Ф. Маршак и Д. Степанов, Z. Elektrochem., 41, 599, 1935.  
Ф. Маршак и Д. Степанов, Z. Elektrochem., 41, 597, 1935.  
Ф. Маршак, Д. Степанов и Л. Левин, Z. Elektrochem., 41, 595, 1935.  
S. Glasstone, Trans. Faraday. Soc., 23, 213, 1927; 24, 370, 1938.  
П. Фишер и М. Нигманходжаева, Докл. АН УзССР, № 5, 22, 1952.

## A ROENTGEN RAY ANALYSIS OF GALVANIC IRON-NICKEL ALLOYS

*N. S. Fedorova (Moscow)*

### Summary

A Roentgen ray analysis has been made of galvanic iron-nickel alloys of six different compositions.

Alloys containing 9 and 18% nickel have been found to crystallize in a cubic body centered lattice; alloys containing 52, 64 and 88% nickel—in a face centered lattice; the alloy with 31% nickel is a mixture of two phases, body centered and face centered ones.

The parameters of the alloy network change, depending upon the composition.

In a two phase system the lattice parameters of both phases have been determined.

## ЗАВИСИМОСТЬ АДсорбЦИОННЫХ СВОЙСТВ МЕТАЛЛОВ ПО ОТНОШЕНИЮ К ВОДОРОДУ ОТ ИХ ПОЛОЖЕНИЯ В ПЕРИОДИЧЕСКОЙ СИСТЕМЕ ЭЛЕМЕНТОВ Д. И. МЕНДЕЛЕЕВ

*Н. Н. Кавтарадзе*

Большинство свойств химических элементов является периодической функцией их атомного веса, а, точнее, — заряда ядра. Это особенно четко проявляется у свойств, определяющих химический характер элемента: валентность по отношению к водороду и кислороду, атомные радиусы и т. д. Периодическая повторяемость этих свойств связана со структурой электронных оболочек, последовательное развитие которых протекает с периодическим образованием сходных электронных структур.

Результаты наших исследований [1—5] показывают, что такого рода периодичность наблюдается и у адсорбционных свойств металлов по отношению к водороду. На основании полученных данных и литературных сведений [6] металлы можно разделить на две группы, резко отличающиеся по характеру взаимодействия с водородом: а) металлы 1—10 рядов и б) металлы 11—14 рядов развернутой формы Периодической системы элементов Д. И. Менделеева. Металлы первой группы (1—10 ряды) прочно адсорбируют водород даже при  $-195^{\circ}\text{C}$ . С повышением температуры отмечается обратимая адсорбция водорода. Она увеличивается с ростом температуры и представляет собой, по нашему мнению, слабую молекулярную хемосорбцию [1—5]. Металлы второй группы (11—14 рядов) при низких и умеренных температурах не адсорбируют водород прочно. Адсорбция мала и обратима. При температурах выше  $300^{\circ}$  она, по-видимому, приводит к диссоциации  $\text{H}_2$  на атомы, так как иначе нельзя объяснить ее растворение. Однако экспериментальные данные не подтверждают предположения о том, что при этом происходит прочная хемосорбция атомарного водорода.

Обсудим вопрос о периодической повторяемости адсорбционных свойств металлов 1—10 рядов подробнее, привлекая также сведения о растворении в них водорода. Металлы 1—5 рядов (аналоги Li, Ca, Sc, Ti, V) поглощают водород при низких и умеренных температурах [7—10]. Щелочные и щелочноземельные элементы при повышенных температурах образуют солеобразные гидриды, а металлы 3—5 рядов — металлообразные гидриды (по Н. Н. Кирияковичу и Е. Е. Черкашину [11] — интерметаллические соединения). Прочность химической связи водорода с этими металлами характеризуется теплотами образования соответствующих гидридов. Есть основания полагать, что они определяют и теплоты адсорбции водорода на этих металлах. Из сравнения теплот образования гидридов, приведенных в таблице, следует, что внутри каждого ряда аналогов они уменьшаются по мере увеличения атомного веса и радиуса атомов металлов. Так, теплоты образования гидридов щелочных и щелочноземельных элементов падают от Li к Rb, от Ca к Ba. Напротив, внутри периодов они растут от K к Ca, от Rb к Zr, от Cs к Ba, La. Учитывая способность металлов 4—5 рядов прочно удерживать поглощенный водород даже при  $700^{\circ}\text{C}$  [8—10], можно думать, что прочность связи  $\text{Me}-\text{H}$  достигает максимума у титана, ванадия и их аналогов.

Металлы 6—10 рядов прочно поглощают водород при низких и повышенных температурах, однако в отличие от элементов предыдущих рядов растворяют водород в тысячи раз меньше. Кроме того, растворимость с повышением температуры не уменьшается, а увеличивается. Составляя этот факт с уменьшением прочной адсорбции водорода при повышении температуры на Cr, Fe, Ni и т. п. металлах [1—6], можно утверждать, что у металлов 5—10 рядов объемные и поверхностные свойства по отношению к поглощению водорода противоположны: поверхностное поглощение является экзотермическим процессом, а объемное — эндотермическим.

Водород, необратимо адсорбированный металлами 6—10 рядов, связан с их поверхностными атомами весьма прочно, и для полного разложения поверхностного гидрида необходима температура, сравнимая с той, при которой наступает диссоциация солеобразных гидридов. О высокой прочности связи говорят и величины теплот адсорбции  $H_2$  при половинном заполнении поверхности металлов (таблица). Для металлов 6—10 рядо

Теплоты образования гидридов металлов 1—5 рядов и теплоты атомарной хемосорбции водорода при половинном заполнении поверхности на металлах 6—10 рядов, развернутой таблицы Периодической системы Д. И. Менделеева

Период	Ряды									
	1	2	3	4	5	6	7	8	9	10
I	$\uparrow$ H $Q_{обр}$									
II	Li 22					$\uparrow$ $Q_{адс}$	при	$\theta_n = \frac{1}{2}$		
III	Na 13,9		$Q_{обр}$				$Q_{адс}$	при	$\theta_n = \frac{1}{2}$	
IV	K 14,1	Ca 2,33	Sc	Ti 31,1	Y	Cr 39,8	Mn (36)	Fe 33,6	Co (30)	Ni 27,0
V	Rb 13,0	Sr 21,1	Y	Zr 38,9	Nb	Mo (36—37)	Tc (32)	Ru (30—28)	Rh 23	Pd (25—26)
VI	Cs 13,5	Ba 20,5	La 40,9	Hf	Ta	W 33—34	Re (30—31)	Os (28—29)	Ir (26—27)	Pt 25,5
VII		Ra	Ac	Th	Pa	U				

Примечание. В скобках поставлены предполагаемые величины адсорбции водорода при  $\theta_H = 1/2$ .

теплоты адсорбции  $H_2$  (при  $\theta_H = 1/2$ ) уменьшаются внутри каждого периода от легких к тяжелым элементам от 39,8 ккал/моль на хrome, до 27 ккал/моль на никеле, от 33—34 ккал/моль на вольфраме, до 25,5 ккал/моль на платине. Учитывая этот факт и увеличение прочности связи Me — H при переходе от элементов 1 ряда к металлам 4—5 рядов, очевидно, можно заключить, что внутри каждого периода прочность связи водорода с поверхностными атомами металлов проходит через максимум, соответствующий элементам 5 или 4 ряда. Внутри каждого ряда аналогов элемен-



тов 6—10 рядов значения теплот адсорбции при  $\theta_H = 1/2$  также уменьшаются от легких к тяжелым металлам: от 39,8 ккал/моль на хrome до 34—33 на вольфраме, от 27 ккал/моль на никеле до 25,5 на платине. Подобное падение теплот адсорбции аналогично уменьшению теплот образования гидридов щелочных и щелочноземельных элементов.

Если считать, что найденная Биком [12] теплота адсорбции  $H_2$  на родии — 23 ккал/моль правильна, то следует в этом случае констатировать отклонение от закономерного изменения теплот адсорбции как внутри периода, так и внутри одного и того же ряда. Характерно, что соседний с родием элемент—палладий—резко отличается от других элементов 6—10 рядов по растворению в нем водорода.

Закономерное изменение теплот адсорбции водорода на металлах 6—10 рядов позволяет оценить возможные величины теплот адсорбции водорода (при половинном заполнении) на тех из них, для которых в литературе не имеется сведений: на марганце — 36 ккал/моль, на кобальте — 30 ккал, на рении — 30—51 ккал/моль, на осмии — 28—29 ккал/моль и иридии — 26—27 ккал. Используя предполагаемые значения теплот адсорбции при  $\theta_H = 1/2$ , нетрудно по формуле (4), приведенной в нашей статье [6], рассчитать соответствующие им значения  $\alpha$ .

И, наконец, можно отметить, что при переходе от элементов 6—10 рядов к металлам 11—13 (14) рядов имеет место резкое изменение уже и поверхностных свойств.

Периодическая повторяемость адсорбционных свойств металлов наблюдается, по нашим данным [1—3], и для этилена. Литературные сведения [13—14] позволяют предполагать, что это имеет место и в отношении адсорбции окиси углерода и азота. Периодическая система элементов Д. И. Менделеева может служить основой систематики адсорбционных свойств металлов по отношению к водороду, а также, очевидно, и других газов (олефинов, окиси углерода, азота и т. п.).

### Выводы

1. Найдено, что адсорбционные свойства металлов по отношению к водороду находятся в периодической зависимости от их положения в Периодической системе элементов Д. И. Менделеева.

2. Отмечена связь максимума прочности связи  $Me - H$  (при переходе от элементов 1 ряда к элементам 10 ряда) с резким изменением объемных свойств металлов при переходе от элементов 1—5 рядов к элементам 6—10 рядов.

3. На основе периодической зависимости адсорбционных свойств металлов по отношению к водороду рассчитаны возможные теплоты атомарной хемосорбции водорода на марганце, кобальте, рении, осмии и иридии (при  $\theta_H = 1/2$ ).

4. На основании литературных и наших данных сделан вывод о существовании периодической зависимости адсорбционных свойств металлов также и по отношению к этилену, олефином, окиси углерода и азота от положения металла в Периодической системе.

Академия наук СССР  
Институт физической химии  
Москва

Поступила  
26.XI.1956

### ЛИТЕРАТУРА

1. Н. Н. Кавтарадзе, Гетерогенный катализ в химической промышленности. Материалы Всесоюзного совещания 1953 г. ГНТИХЛ, М., 1955, стр. 150.
2. Н. Н. Кавтарадзе, Электронные явления в катализе и адсорбции, Изд-во АН СССР, М., 1955, стр. 235.
3. Н. Н. Кавтарадзе, Конференция по каталитическому гидрированию и окислению; тезисы докладов, Алма-Ата, 1954, стр. 24.
4. Н. Н. Кавтарадзе, Докл. АН СССР, 114, 822, 1957.
5. Н. Н. Кавтарадзе, Ж. физ. химии, 32, 909, 1958.

- Н. Кавтарадзе, Ж. физ. химии, 32, 1055, 1958.  
 В. Некрасов, Курс общей химии, Госхимиздат, М., 1954.  
 Т. Хардт, Введение в химию гидридов. ИИЛ, М., 1955.  
 Дешман, Научные основы вакуумной техники, ИИЛ, М., 1950.  
 Л. Славинский, Физико-химические свойства элементов, Металлургиз-  
 ат, М., 1940.  
 И. Крипьякович, Е. Е. Черкашин, Изв. Сектора физ.-хим. анализа,  
 4, 59, 1954.  
 Веек, Disc. Faraday Soc., № 8, 118, 1950, Advances in Catalysis, 2, 151,  
 1950.  
 K. Rideal, B. M. W. Trapnell, J. Chem. Phys., 47, 126, 1950.  
 M. W. Trapnell, Proc. Roy. Soc., A218, 566, 1953.

## THE HYDROGEN ADSORPTION PROPERTIES OF METALS IN RELATION TO THEIR POSITION IN THE MENDELEEV PERIODIC SYSTEM

*N. N. Kavtaradze (Moscow)*

### Summary

On the basis of previously published experimental data and of the reports of other investigators it has been found that the chemisorption properties of metals with respect to hydrogen are a periodic function of their position in the Mendeleev system.

Making use of this relationship the possible heats of atomic adsorption of hydrogen ( $\Delta H_5 = 1/2$ ) on manganese, cobalt, rhenium, osmium and iridium have been calculated. It has been suggested that a periodic function of the adsorption properties of metals exists with respect to ethylene and other olefines, carbon monoxide and nitrogen.

## МЕТОД КОЛИЧЕСТВЕННОГО АНАЛИЗА ЦИКЛОГЕКСАНОНА И ЦИКЛОГЕКСАНОЛА В ПРОДУКТАХ ОКИСЛЕНИЯ ЦИКЛОГЕКСАНА ПО СПЕКТРАМ ПОГЛОЩЕНИЯ В ИНФРАКРАСНОЙ ОБЛАСТИ

*И. В. Березин, Н. Ф. Казанская и Г. Б. Мелузова*

Реакция жидкофазного окисления циклогексана кислородом воздуха под давлением представляет значительный как научный, так и практический интерес. При исследовании кинетических и химических закономерностей нужен удобный и быстрый метод анализа продуктов этой акции. Проведение анализа химическим путем занимает довольно много времени и требует значительного количества реактивов, так как приходится иметь дело с большим числом проб. Поэтому нами был разработан и применен для ряда кинетических исследований анализ при помощи инфракрасного спектрометра. Основными продуктами [1] реакции, содержащимися в окисленном циклогексане, являются гидроперекись циклогексила, циклогексанон, циклогексанол и эфиры адипиновой кислоты. Главное внимание было обращено на определение концентраций циклогексанона и циклогексанола, представляющих наибольший интерес в изучении кинетики этой реакции.

### Техника анализа

Анализ продуктов окисления циклогексана осуществлялся на инфракрасном спектрометре ИКС-11, приспособленном для автоматической записи спектра при помощи самописца ЭПП-09.

На рис. 1 показана схема усиления [2] сигнала от термоэлемента и подача его на самописец ЭПП-09.

Сигнал, усиленный фотоэлектродинамическим усилителем ФЭОУ-15, подается на чувствительный гальванометр, зайчик от которого распределяется при помощи оптической системы конденсоров и решеток между двумя фотоэлементами СЦВ-3, включенными в схему катодного повторителя с лампой 6Н8С. К выходу катодного повторителя подключен самописец ЭПП-09.

Механизм автоматического раскрытия щелей схематично изображен на рис. 2. На корпусе прибора укреплен втулка 1 с прорезью, в которую вставлен клин. Подвижный штырь с шариковым подшипником упирается в клин 2 и сообщает ему заданное раскрытие при помощи механизма, расположенного в корпусе прибора. С барабаном длин волн 3 жестко связан кулачок 4 так, что в зависимости от угла поворота меняется величина раскрытия щели. Кулачок 4 рассчитан по эмпирическим данным на значения изменения ширины щели, компенсирующим неравномерное распределение энергии излучения штифта.

Запись спектра при постоянном раскрытии щели можно осуществить, перемещая штангу 5 и пружину 6 в положение II (рис. 2). Отметка реперных линий осуществляется замыканием контакта 9. При этом на вход самописца подается через сопротивление в 200 кΩ кратковременный сигнал от батареи 4 В (рис. 1).

В качестве источника излучения применялся штифт Нернста, изготовленный непосредственно из окиси церия [3]. При хорошем разрешении\* прибора данная схема записи имеет ряд существенных преимуществ по сравнению с фотозаписью (быстрота работы, возможность непосредственного наблюдения спектра и т. д.).

Анализу по полосе поглощения  $1718\text{ см}^{-1}$  С=О группы кетонов мешают налагающиеся полосы поглощения атмосферной воды. Осушка воздуха в приборе осуществляется пропусканием струи воздуха через трубки с силикагелем и ангидроном.

Негерметичность прибора является главной причиной, затрудняющей осушку, поэтому скорость воздушной струи не должна быть слишком малой. При этом удае

\* Прибор хорошо разрешает полосы поглощения [4].  $\text{CO}_2$   $\nu = 2336\text{ см}^{-1}$ ,  $\nu = 2367\text{ см}^{-1}$ , атмосферной воды;  $\nu = 1624\text{ см}^{-1}$ ,  $\nu = 1618\text{ см}^{-1}$ .





выпадает в осадок и потому не проявляется в спектре окисленного циклогексана.

Сопоставлением спектров циклогексана, циклогексанона и циклогексанола были выявлены неналагающиеся полосы и прослежено их проявление в спектрах окисленного циклогексана (рис. 3, *a*, *b*, *c* и рис. 4).

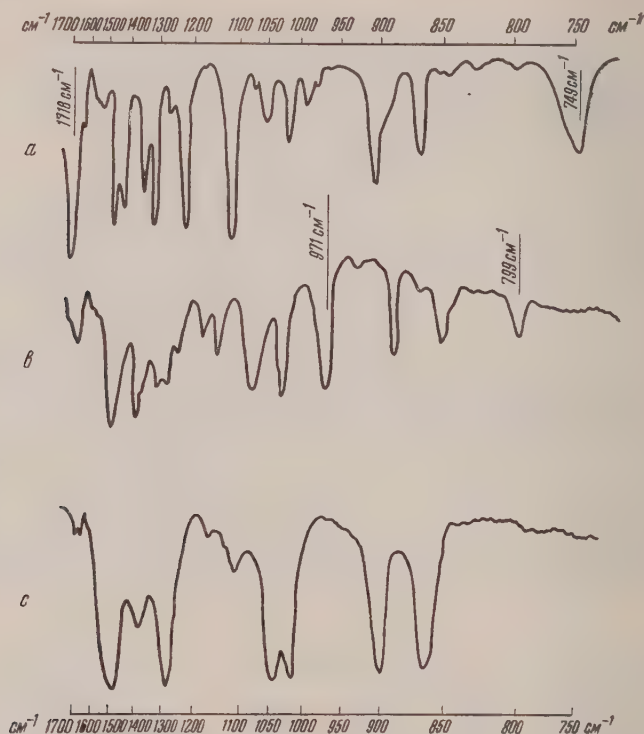


Рис. 3. Спектры поглощения: *a* — циклогексанон толщина слоя 0,01 мм; *b* — циклогексанол толщина слоя 0,01 мм; *c* — циклогексан толщина 0,3 мм

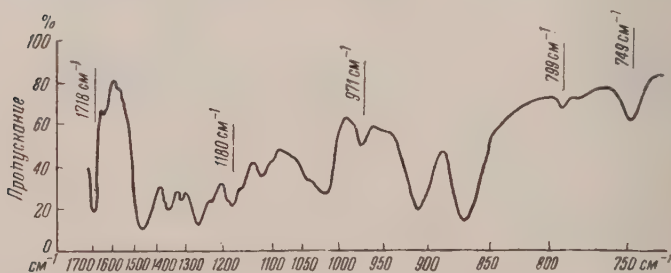


Рис. 4. Спектр поглощения окисленного циклогексана толщина 0,3 мм

Для записи этих спектров использованы хорошо очищенные препараты, константы которых совпадают с литературными данными. Циклогексан т. кип.  $80,6^{\circ}\text{C}$ ,  $n_D^{20}$  1,4262; циклогексанон т. кип.  $48^{\circ}\text{C}$  при 16 мм рт. ст.,  $n_D^{20}$  1,4505; циклогексанол т. кип.  $161^{\circ}\text{C}$ ,  $n_D^{20}$  1,4652.

Частоты выделенных полос следующие: циклогексанон  $1718\text{ см}^{-1}$ ,  $749\text{ см}^{-1}$ ; циклогексанол  $971\text{ см}^{-1}$ ,  $799\text{ см}^{-1}$ .

Используя полосы различной интенсивности, удалось построить анализ таким образом, что определение кетона и спирта осуществлялось одной кюветой, что особенно важно, так как объем пробы не превышал 0,5 мл.

В целях ускорения анализа и сведения к минимуму возможных ошибок из-за нестабильности схемы усиления во времени, интенсивность пучка лучей, прошедших через чистый растворитель (циклогексан), определялась из соотношения  $I_0/I_\phi = \alpha$ , где  $I_\phi$  — интенсивность пучка при записи спектра атмосферы без кюветы.

Запись спектра растворителя производилась один раз, и затем перед каждой записью анализируемой пробы записывался спектр фона без перекрывания пучка лучей кюветой, из которого по соотношению  $I_0/I_\phi = \alpha$  определяли величину  $I_0$ .

Было проверено соблюдение закона Ламберта — Бэра для оптических плотностей до 0,6 и из соотношения  $D = kcl$  (где  $D$  — оптическая плотность;  $c$  — концентрация в моль/л,  $l$  — толщина кюветы в сантиметрах;  $k$  — коэффициент погашения моль<sup>-1</sup> л см<sup>-1</sup>) найдены коэффициенты погашения  $k$  полос поглощения, выбранных для анализа.

Нами определялись так называемые кажущиеся коэффициенты погашения [6], которые отличаются от истинных, характеризующих вещество, на величину приборной поправки.

Для полос поглощения, использованных в анализе, было исследовано влияние ширины щели на коэффициент  $k$ .

В табл. 1 даны значения коэффициентов погашения  $k$ , ширины щели монохроматора  $s$ .

Таблица 1

Циклогексанон				Циклогексанол			
1718 см <sup>-1</sup>		749 см <sup>-1</sup>		971 см <sup>-1</sup>		799 см <sup>-1</sup>	
$k$ , моль <sup>-1</sup> л см <sup>-1</sup>	$s$ , см <sup>-1</sup>	$k$ , моль <sup>-1</sup> л см <sup>-1</sup>	$s$ , см <sup>-1</sup>	$k$ , моль <sup>-1</sup> л см <sup>-1</sup>	$s$ , см <sup>-1</sup>	$k$ , моль <sup>-1</sup> л см <sup>-1</sup>	$s$ , см <sup>-1</sup>
296	12	20	7	55	4,4	9,5	4,7
330	11			47,5	8,8		
380	9	19	4				

Из рассмотрения табл. 1 можно заметить, что для узкой и интенсивной полосы поглощения  $S = O$  группы 1718 см<sup>-1</sup> коэффициенты  $k$  для различных значений ширины щели монохроматора значительно отличаются. Для полос в области более низких частот изменение коэффициентов с изменением ширины щели весьма незначительно.

Это значит, что при анализе важно сохранять постоянство ширины щели, незначительные изменения которой внесут большую ошибку в оценку концентрации. При работе на другом приборе следует проверить градуировкой величины коэффициентов погашения.

Определение концентраций веществ проводилось по уравнению Ламберта — Бэра с использованием приведенных выше коэффициентов погашения. С кюветой толщиной 0,3 мм нами определялись концентрации спирта по полосе 971 см<sup>-1</sup> в пределах 0,02—0,4 моль/л. При больших концентрациях спирта наблюдается отклонение от закона Ламберта — Бэра, поэтому следует производить разбавление пробы до концентраций не выше 0,4 моль/л. Малые концентрации кетона (0,02—0,06 моль/л) при небольших глубинах окисления определялись по карбонильной полосе 1718 см<sup>-1</sup>, большие концентрации по полосе поглощения 749 см<sup>-1</sup>.

На рис. 5 приведена запись участка спектра полос поглощения циклогексанона,  $\nu = 1718$  см<sup>-1</sup> (рис. 5, а)  $\nu = 749$  см<sup>-1</sup> (рис. 5, с) и цикло-



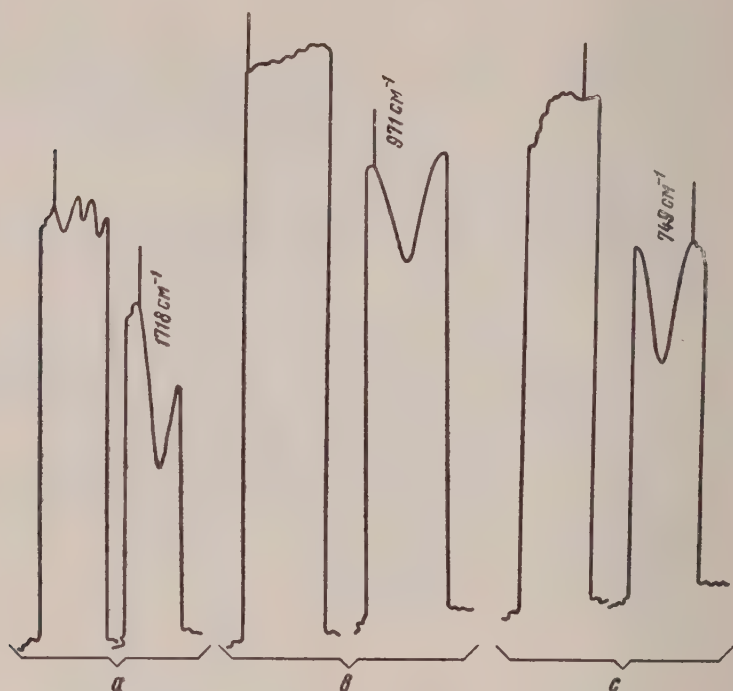


Рис. 5. Спектрограммы полос поглощения-циклогексанона и циклогексанола проб окисленного циклогексана: а — концентрация циклогексанола:  $c = 0,053$  моль/л; в — концентрация циклогексанола  $c = 0,026$  моль/л; с — концентрация циклогексанола  $c = 0,034$  моль/л; кювета 0,3 мм

Таблица 2

Наименование проб		Концентрация, моль/л			
		Анализ по ИКС		Анализ с гидроксиламином [7]	Содержание перекисей
		1718 $\text{см}^{-1}$	749 $\text{см}^{-1}$		
Раствор циклогексанола в циклогексане	0,103	0,102	0,099	—	—
Концентрация по навеске	0,598	—	0,600	—	—
Окисленный	№ 1	0,232	0,240	—	0,05
	№ 2	0,007	—	0,008	0,019
	№ 3	0,018	—	0,025	0,024
Циклогексан	№ 4	0,041	—	0,051	0,028
	№ 5	—	0,11	0,10	0,039
	№ 6	—	0,18	0,17	0,053
	№ 7	—	0,29	0,27	0,069

санола,  $\nu = 971 \text{ см}^{-1}$  (рис. 5, *b*) и, рядом с каждым из них, тот же участок спектра растворителя циклогексана. Воспроизводимость такой записи при нормальной работе прибора колеблется в пределах 1 мм. При  $d$  порядка 100 мм для оптической плотности 0,3 погрешность ее определения  $\sim \pm 0,01-0,005$  или соответствующая ей относительная погрешность в определении концентрации  $\sim \pm 2\%$ .

В табл. 2 приведены значения концентраций циклогексанона, определенные по инфракрасным спектрам и сопоставленные с результатами анализов тех же проб другим методом. Для окисленного циклогексана вводятся концентрации перекисей, определенные йодометрически.

Довольно близкое совпадение значений концентраций циклогексана по инфракрасным спектрам со значениями, найденными по гидроксиламинному методу, при наличии перекиси дает основание считать, что присутствие перекисей не мешает анализу их по спектрам поглощения. Кроме того, методика анализа содержит в себе как бы внутреннюю проверку — определение концентрации по двум полосам поглощения, в различных областях спектра. Совпадение значений концентраций по полосам поглощения  $\text{C}=\text{O}$  группы  $1718 \text{ см}^{-1}$  и по полосе поглощения циклогексана  $749 \text{ см}^{-1}$  дает основание считать, что в анализируемой пробе присутствует один кетон — циклогексанон — и что присутствие других продуктов окисления не мешает определению его концентрации. Нами многократно, подобным образом, производился контроль результатов анализа; замечено, что присутствие перекиси не мешает анализу и на циклогексанол.

В случае наличия в окисленной смеси большого количества эфиров кислот наблюдается значительное завышение в результатах анализа циклогексанон (до 20—25%). Для этого случая можно рекомендовать следующий способ удаления мешающих продуктов. К пробе добавляется 60-ный раствор  $\text{NaOH}$ , насыщенный поташом при комнатной температуре, встряхивается и оставляется на несколько часов. За это время эфиры успевают полностью гидролизироваться и в дальнейшем не мешают определению кетонов. Верхний слой отделяют и анализируют, как указано выше, на содержание кетона при соответствующем разбавлении. Данные анализов окисленного циклогексана, содержащего значительное количество кислот и эфиров, приведены в табл. 3.

Таблица 3

Проба	Концентрация, моль/л		
	Анализ, по ИКС		Анализ с 2,4-динитрофенилгидразином [8]
	$1718 \text{ см}^{-1}$	$749 \text{ см}^{-1}$	
До удаления кислот и эфиров	—	0,945	0,650
После удаления кислот и эфиров	0,655	0,670	0,653

**Полосы поглощения эфира.** Полосы поглощения эфиров в окисленном циклогексане проявляются в области  $1170-1180 \text{ см}^{-1}$  — деформационные колебания  $\text{C}-\text{O}$  связи эфира и при частоте  $1737 \text{ см}^{-1}$  — полоса карбонильной связи эфира. Но карбонильная полоса эфира частично налагается на полосу кетона  $1718 \text{ см}^{-1}$  и разрешение ее наблюдается только при оптической плотности, меньшей 0,3.

Чтобы оценить содержание эфира, нами были приближенно определены коэффициенты погашения карбонильной полосы, и полос в области  $1170-1180 \text{ см}^{-1}$  моно- и диклогексильных эфиров адипиновой кислоты. Значения их приведены в табл. 4.

Таблица

Дициклогексильный эфир адипиновой кислоты				Моноциклогексильный эфир адипиновой кислоты			
$\nu = 1737 \text{ см}^{-1}$		$\nu = 1176 \text{ см}^{-1}$		$\nu = 1737 \text{ см}^{-1}$		$\nu = 1180 \text{ см}^{-1}$	
$k, \text{ моль}^{-1} \text{ л см}^{-1}$	$s, \text{ см}^{-1}$	$k, \text{ моль}^{-1} \text{ л см}^{-1}$	$s, \text{ см}^{-1}$	$k, \text{ моль}^{-1} \text{ л см}^{-1}$	$s, \text{ см}^{-1}$	$k, \text{ моль}^{-1} \text{ л см}^{-1}$	$s, \text{ см}^{-1}$
1080	12	330	7	660	12	210	7
900	13						
768	18						

Карбонильная полоса эфиров частично налагается на полосу циклогексанона  $1718 \text{ см}^{-1}$ . Однако появление эфира в смеси происходит на глубинах окисления, когда циклогексанона накапливается уже значительное количество и анализ осуществляется по полосе  $749 \text{ см}^{-1}$ .

Анализ на кетоны и эфиры в окисленной смеси по полосам поглощения эфира  $1737 \text{ см}^{-1}$ , а циклогексанона  $1718 \text{ см}^{-1}$  при их совместном присутствии возможен, но для проведения его необходимо прибегать к разведению до оптических плотностей, меньших 0,3, при которых эти полосы разрешаются.

Полосы поглощения C — O связи эфиров в области  $1200 \text{ см}^{-1}$  для анализа мало благоприятны, так как там происходит дополнительное увеличение оптической плотности за счет слабых полос и крыльев полос других продуктов окисления.

### Выводы

1. Разработан метод определения концентрации циклогексанона циклогексанола в смеси продуктов окисления циклогексана по спектру поглощения в инфракрасной области.

2. При использовании кювет специальной конструкции [5] и прибора ИКС - 11, снабженного механизмом автоматического раскрытия щели и при записи спектра самописцем ЭПП-09, предложенный метод требует минимальных затрат времени (10 мин), небольших объемов проб (0,5 л) при относительной точности  $\pm 3\%$ .

3. Показана возможность определения нескольких компонентов с одной кюветой по полосам различной интенсивности.

Определены коэффициенты погашения некоторых полос поглощения циклогексанона и циклогексанола в растворе циклогексана и проследжено влияние ширины щели монохроматора на их величины.

Московский госуниверситет  
им. М. В. Ломоносова

Поступила  
14. IX. 1956

### ЛИТЕРАТУРА

- И. В. Березин и Е. Т. Денисов, Докл. АН СССР, 97, 273, 1954.
- В. А. Иогансен, Учет некоторой функции монохроматора, МГУ, Диссертация, 1954.
- Г. Б. Мелузова, Заводск. лаборатория (в печати №17, 1958 г.)
- A. R. Downie, M. C. Magoon, J. Opt. Soc. America, 43, 941, 1953.
- И. В. Березин и Г. Б. Мелузова, Ж. аналит. химии, 10, 262, 1955.
- D. A. Ramsay, J. Amer. Chem. Soc., 74, 72, 1952.
- W. M. Braunt, D. M. Smith, J. Amer. Chem. Soc., 57, 57, 1935.
- G. R. Larrin, L. C. Clark, Analyt. Chem., 23, 541, 1951.



THE QUANTITATIVE ANALYSIS OF CYCLOHEXANONE AND CYCLOHEXANOL  
IN THE OXIDATION PRODUCTS OF CYCLOHEXANE BY MEANS  
OF THE INFRARED ABSORPTION SPECTRA*I. V. Berezin, H. F. Kazanskaya and G. B. Meluzova (Moscow)*

## Summary

A method has been developed for the quantitative analysis of cyclohexanone and cyclohexanol in the mixture of products from the oxidation of cyclohexane, based on the infrared absorption spectra. Using specially devised cuvettes and the apparatus IKS-11, equipped with an automatically controlled variable slit and the means for operating in conjunction with the recorder EPP-09, the proposed method requires a minimum of time (10 min.) and little volumes of the specimens (0.5 ml), at the same time possessing good accuracy ( $\pm 3\%$ ).

It has been shown that a number of components may be determined with a single cuvette, from bands of differing intensity.

The extinction coefficients of some cyclohexanone and cyclohexanol absorption bands in cyclohexane solution have been determined and the effect of the width of the monochromator slit on these values have been followed over the region 700—1718  $\text{cm}^{-1}$ .

## ЗАКОНОМЕРНОСТИ В СТРОЕНИИ И ФИЗИКО-ХИМИЧЕСКИХ СВОЙСТВАХ АЛКАНОВ

В. М. Татевский

За последние годы разработаны методы расчета [1—5] различных физико-химических свойств углеводородов и проведены расчеты многих физико-химических свойств углеводородов, как изученных экспериментально, так и неизученных. Хорошая сходимость расчетных и экспериментальных данных для изученных углеводородов и ряд успешных предсказаний физико-химических свойств, сделанных при помощи указанных методов расчета, делает вполне возможным вычисление ряда физико-химических свойств сотен и тысяч высших углеводородов, не изученных экспериментально, с точностью, достаточной для многих практических целей.

Одной из трудностей, возникающих при массовом расчете физико-химических свойств высших углеводородов ( $C_{11} - C_{20}$ ), является быстрое возрастание числа изомеров с ростом числа углеродных атомов. Так, например, если для алканов  $C_8$  имеется 18 изомеров, то для алканов  $C_{12}$  их уже 355, а для алканов  $C_{20}$  366 319. Прямой расчет физико-химических свойств высших алканов  $C_{20}$  по формулам строения всех их изомеров потребовал бы составления 366 319 формул строения и соответствующих уравнений для расчета, что является очень трудоемкой работой. Кроме того, в том приближении, в каком развита нами расчетная схема [1—5], по существу и не требуется расчета физико-химических свойств каждого изомера, так как физико-химические свойства определенных семейств изомеров при расчете получаются идентичными, что приближенно соответствует имеющимся экспериментальным данным. Поэтому для массового расчета физико-химических свойств углеводородов каждого класса, например алканов, достаточно было бы разбить все алканы с данным числом атомов углерода на семейства, в которые объединяются углеводороды с близкими значениями основных физико-химических свойств и провести расчет не для каждого изомера, а сразу для всего семейства изомеров. На преимущества такого пути построения расчета свойств высших углеводородов автору указал А. П. Мещеряков. При таком пути расчета возникают два важных вопроса:

1. Определить, на какие семейства с близкими физико-химическими свойствами (по расчету тождественными) распадаются углеводороды каждого класса. Например, на какие семейства распадаются алканы с данным числом  $n$  атомов C и каковы коэффициенты,  $n_{ij}^{(k)}$  одного из расчетных уравнений\*:

$$P^{(k)} = \sum n_{ij}^{(k)} P_{ij} \quad (1)$$

нашей схемы для каждого, например  $k$ -го семейства. Поскольку  $n_{ij}^{(k)}$  есть числа связей  $C_i - C_j$ , в углеводородах  $k$ -го семейства, это

\* Здесь  $P^{(k)}$  — искомая физико-химическая величина для изомерных алканов  $k$ -го семейства,  $P_{ij}$  — постоянные, определенные из низших алканов (см. [1—5]).

второе сводится к тому, какие распределения связей  $C - C_j$  (первичный — вторичный, первичный — вторичный и т. д.) осуществляются в данном семействе алканов.

2. Определить число изомерных углеводородов (например алканов), принадлежащих каждому семейству. Этот вопрос важен потому, что если какое-либо семейство углеводородов имеет оптимальные свойства для практических целей, то одним из фактов, определяющих вероятность нахождения углеводородов данного семейства в нефти или синтетических продуктах, и возможность их выделения или обогащения этими углеводородами соответствующих фракций, является возможное число углеводородов данного семейства по отношению к общему числу углеводородов данного класса с заданным числом атомов  $C$ . Иными словами, число углеводородов семейства дает относительный вес всего этого семейства среди всех возможных изомеров углеводородов данного класса с заданным числом атомов углерода.

В настоящей работе и делается попытка подойти к решению первого и двух поставленных выше вопросов для парафиновых углеводородов (алканов). Решение этого вопроса мы разделяем на два этапа:

а) алканы с заданным числом  $n$  атомов  $C$  сначала разбиваются на такие группы, чтобы алканы одной группы имели одни и те же числа  $n_1, n_2, n_3, n_4$  — первичных, вторичных, третичных и четвертичных атомов  $C$ ; б) определяются возможные для каждой группы алканов распределения связей  $C_i - C_j$ , т. е. числа  $n_{ij}$  связей  $C_i - C_j$  каждого подтипа. Определение возможных чисел первичных, вторичных, третичных и четвертичных атомов  $C$  в алкане с заданным общим числом  $n$  атомов  $C$ . Рассмотрим сначала частные случаи. Для этого все возможные изомеры алканов разобьем на группы.

Если через  $C_1, C_2, C_3, C_4$  обозначить соответственно первичный, вторичный, третичный и четвертичный атомы углерода и ввести для алканов, содержащих атомы  $C_i, C_j$ , и только  $C_i, C_j$ , обозначение  $A(C_i, C_j)$ , содержащих атомы  $C_i, C_j, C_k$  и только  $C_i, C_j, C_k$ , обозначение  $A(C_i, C_j, C_k)$  и т. д., то все алканы распадутся на следующие группы:

- |   |                              |
|---|------------------------------|
| а) $A(C_0)$ — метан, (только при $n = 1$ ); | е) $A(C_1, C_2, C_3)$ ;      |
| б) $A(C_1)$ — этан, (только при $n = 2$ );  | ж) $A(C_1, C_2, C_4)$ ;      |
| в) $A(C_1, C_2)$ — нормальные;              | з) $A(C_1, C_3, C_4)$ ;      |
| г) $A(C_1, C_3)$ ;                          | и) $A(C_1, C_2, C_3, C_4)$ . |
| д) $A(C_1, C_4)$ ;                          |                              |
- (2)

Трудно найти важные соотношения между общим числом  $n$  атомов  $C$  в алкане каждой группы и числами  $n_1, n_2, n_3, n_4$  — первичных, вторичных и т. д. атомов  $C$  в алкане. Поскольку для первых двух групп, содержащих только метан и этан, этот вопрос ясен, разберем остальные семь случаев.

При этом мы будем исходить из двух очевидных соотношений:

$$n = n_1 + n_2 + n_3 + n_4; \quad (3)$$

$$n - 1 = \frac{1}{2} n_1 + n_2 + \frac{3}{2} n_3 + 2n_4. \quad (4)$$

Первое не требует пояснений. Второе есть результат разложения связей  $C - C$  в алкане по атомам углерода (см. [1]). Исходя из (3) и (4), будем иметь:

$$в) A(C_1, C_2); n_1 = 2; n_2 = n - 2; \quad (5)$$

$$г) A(C_1, C_3); n_1 = n_3 + 2; n = 2n_3 + 2 \quad (6)$$



ИЛИ

$$n_1 = \frac{n}{2} + 1; \quad n_3 = \frac{n}{2} - 1;$$

$$д) A(C_1, C_4); \quad n_1 = 2n_4 + 2; \quad n = 3n_4 + 2$$

ИЛИ

$$n_1 = \frac{2n+2}{3}; \quad n_4 = \frac{n-2}{3}; \quad (10)$$

$$е) A(C_1, C_2, C_3); \quad n_1 = n_3 + 2; \quad n = 2n_3 + n_2 + 2; \quad (11)$$

$$ж) A(C_1, C_2, C_4); \quad n_1 = 2n_4 + 2; \quad n = 3n_1 + n_2 + 2; \quad (12)$$

$$з) A(C_1, C_3, C_4); \quad n_1 = n_3 + 2n_4 + 2; \quad n = 2n_3 + 3n_4 + 2; \quad (13)$$

$$и) A(C_1, C_2, C_3, C_4); \quad n_1 = n_3 + 2n_4 + 2; \quad n = n_2 + 2n_3 + 3n_4 + 2^*. \quad (14)$$

Как видно из (5)–(14), для групп (в–д) числа атомов С каждого вида непосредственно и однозначно выражаются через общее число атомов С. Поэтому для этих групп уравнения (5)–(7) в явном виде решают задачу определения возможного числа  $n_i$  атомов С каждого вида по данному значению  $n$ . Для групп (е–и) таких простых и однозначных соотношений нет. Решение поставленной задачи сводится к решению в целых не отрицательных числах неопределенных уравнений (8)–(14). Такие методы известны (см., например, [7–8]) и решение уравнений (8)–(14) в не отрицательных целых числах не представляет большого труда.

Что касается групп (в–д), то из (5), (6) и (7) следует, что алканы группы (в) (нормальные) существуют при любом  $n$  (что, конечно, тривиально), а алканы группы (г) и (д) не при любом  $n$ . Именно, алканы  $A(C_1, C_3)$  существуют только при  $n$  — четном, алканы группы  $A(C_1, C_4)$  только если  $(n-2)/3$  целое число. Что касается алканов групп (е–и), то из (8)–(14) следует, что имеется нижний предел значения  $n$  для каждой группы. Для группы (е)  $n \geq 5$ , для группы (ж)  $n \geq 6$ , для группы (з)  $n \geq 7$ , для группы (и)  $n \geq 8$ . Поскольку нас интересуют прежде всего высшие алканы  $n > 10$ , эти ограничения в дальнейшем не будут играть роли. Таким образом задача определения возможных значений  $n_1, n_2, n_3, n_4$  при заданном  $n$  решается системой уравнений (5)–(14), причем решение может быть проведено или для каждой группы алканов (в–и) в отдельности из уравнений (5)–(14), или сразу для всех групп из уравнения (11) являющегося обобщающим всех предшествующих.

Определение возможных значений чисел  $n_{ij}$  при заданных значениях чисел  $n_i$ , т. е. определение всех возможных распределений связей по числам  $n_{ij}$  при заданных числах атомов  $C_1, C_2, C_3, C_4$  в алканах.

Рассмотрим этот вопрос также по группам алканов (в–и). Для первых трех групп (в–д) поставленная задача может быть решена весьма просто и без использования результатов предшествующего параграфа. Это может быть сделано на основании двух общих соотношений, имеющих место для любого алкана (см. [1]):

$$n = \frac{3}{2}n_{12} + \frac{4}{3}n_{13} + \frac{5}{4}n_{14} + n_{22} + \frac{5}{6}n_{23} + \frac{3}{4}n_{24} + \frac{2}{3}n_{33} + \frac{7}{12}n_{34} + \frac{1}{2}n_{44}; \quad (12)$$

$$n-1 = n_{12} + n_{13} + n_{14} + n_{22} + n_{23} + n_{24} + n_{33} + n_{34} + n_{44}. \quad (13)$$

\* Уравнения (11) другим путем были давно получены в работе [6].

И этих двух уравнений для групп (в—д) получим

$$\text{в) } A(C_1, C_2); n_{12} = 2; n_{22} = n - 3;$$

$$\text{г) } A(C_1, C_3); n_{13} = \frac{n+2}{2}; n_{33} = \frac{n-4}{2};$$

$$\text{д) } A(C_1, C_4); n_{14} = \frac{2n+2}{3}; n_{44} = \frac{n-5}{3}.$$

Таким образом возможные значения  $n_{ij}$  в алканах этой группы определяются непосредственно по значению  $n$ . Естественно, что для существования алканов  $A(C_1, C_3)$   $n$  должно быть четным, а для существования алканов группы  $A(C_1, C_4)$   $(n-2)/3$  должно быть целым. Для групп (е—и) таких простых соотношений между возможными значениями чисел  $n_{ij}$  и значением  $n$  нет. Для алканов этих групп мы решим поставленную задачу другим путем.

Легко сообразить, что общее число «валентностей», затрачиваемое атомами  $C_i$  на связи  $C-C$ , равно  $in_i$ , что число «валентностей», затрачиваемое атомом  $C_i$  на связь  $C_i-C_j$  ( $i \neq j$ ), равно единице, а на связь  $C_i-C_i$  равно двум. Из этих соображений следует система уравнений\*:

$$\begin{aligned} 2n_{11} + n_{12} + n_{13} + n_{14} &= n_1; \\ n_{21} + 2n_{22} + n_{23} + n_{24} &= 2n_2; \\ n_{31} + n_{32} + 2n_{33} + n_{34} &= 3n_3; \\ n_{41} + n_{42} + n_{43} + 2n_{44} &= 4n_4. \end{aligned} \quad (14)$$

В этой системе числа  $n_{ij}$  и  $n_{ji}$  имеют один и тот же смысл, т. е.  $n_{ij} = n_{ji}$ . Принятая нумерация делает систему более симметричной. Для всех алканов, кроме этана,  $n_{11} = 0$ , и мы можем всегда полагать в (14)  $n_{11} = 0$  для всех углеводородов, кроме этана.

Легко показать, что из системы (14) следуют все полученные до сих пор соотношения. Действительно, сложив все уравнения системы (14) и разделив на два, получим

$$n_{12} + n_{13} + n_{14} + n_{22} + n_{23} + n_{24} + n_{33} + n_{34} + n_{44} = \frac{n_1 + 2n_2 + 3n_3 + 4n_4}{2}.$$

Но левая часть этого равенства равна числу всех связей  $C-C$ , т. е. равна  $n-1$ . Отсюда получим уравнение (4). Разделив второе уравнение системы (14) на 2, третье на 3, четвертое на 4 и сложив все четыре уравнения, получим непосредственно уравнение (12).

Таким образом из системы (14) указанным путем получаются основные уравнения, из которых были получены все предшествующие результаты.

При помощи системы (14) решим поставленную задачу для групп алканов (е—и). Для групп (в—з) дело сводится к решению в неотрицательных целых числах систем уравнений, получающихся, если в (14) вычеркнуть четвертые, третьи или вторые строки и столбцы соответственно. Для группы (и) необходимо решить в целых неотрицательных числах систему (14). Методы решения таких систем известны и решение их не представляет большого труда [7—8]. Совокупности возможных решений системы (14) (или ее частных случаев) для групп (е—з) при заданных  $n_i$  и будут давать возможные распределения связей  $C-C$  по числам  $n_{ij}$ .

Следует только учесть, что на ее решение из очевидных соображений для рассматриваемых групп алканов должны быть наложены следующие

\* Примечание при корректуре. Уравнения эквивалентны системе (14), в связи с другой задачей были приведены в работе [9].

ограничения:

$$n_{12} < 2n_2; \quad n_{13} < 3n_3; \quad n_{14} < 4n_4,$$

а также не может быть

$$n_{ii} \neq 0, \text{ если все } n_{ij} (j \neq i) = 0.$$

Таким образом может быть решена задача определения всех возможных распределений связей по числам  $n_{ij}$  при определенных числах  $n$ .

Следует еще только заметить, что, как видно из (14), определенная система значений  $n_{ij}$ , удовлетворяющая (14) при каких-либо определенных значениях  $n_i$ , не будет удовлетворять системе (14) при изменении хотя бы одного  $n_i$ , т. е. нет одинаковых распределений связей С—С по числам  $n_{ij}$  для систем (14), отличающихся значениями  $n_i$ . Иными словами, одинаковые распределения связей С—С по числам  $n_{ij}$  могут встречаться только среди алканов с одинаковыми значениями  $n_i$ .

### Выводы

Выведены уравнения, связывающие общее число атомов углерода в алкане с возможными числами первичных  $n_1$ , вторичных  $n_2$ , третичных  $n_3$  и четвертичных  $n_4$  атомов углерода, позволяющие определить возможные числа атомов углерода, каждого сорта в алкане с заданным числом атомов углерода. Рассмотрен вопрос о связи чисел атомов углерода каждого сорта ( $n_1, n_2, n_3, n_4$ ) с возможными числами связей С—С разных подтипов (первичный — первичный, первичный — вторичный, первичный — третичный и т. д.), что позволяет определить при заданных  $n_1, n_2, n_3, n_4$  возможные числа связей С—С разных подтипов ( $C_1 - C_1, C_1 - C_2, C_1 - C_3, C_1 - C_4, C_2 - C_2, C_2 - C_3, C_2 - C_4, C_3 - C_3, C_3 - C_4, C_4 - C_4$ ).

Полученные результаты позволяют продвинуть вперед решение вопроса о массовом расчете физико-химических свойств высших алканов.

Московский государственный университет  
им. М. В. Ломоносова

Поступила  
17.X.1956

### ЛИТЕРАТУРА

1. В. М. Татевский, Химическое строение углеводородов и закономерности в их физико-химических свойствах., Изд-во МГУ, 1953.
2. В. М. Татевский, Уч. зап. МГУ, выпуск 174, Неорганическая и физическая химия, 235, 1956.
3. В. М. Татевский, Докл. АН СССР, 101, 131, 1956.
4. В. И. Зиборов, Ю. А. Пентини и В. М. Татевский, Ж. физ. химии, № 3, 1958 (в печати).
5. В. М. Татевский, Докл. АН СССР, 109, 131, 1956.
6. M. Delaunoy, Bull. Soc. Chem., [3], 11, 239, 1894.
7. А. Р. Сущевич, Теория чисел, Изд-во Харьковск. ун-та, 1954
8. T. Skolem, Diophantische Gleichungen, Berlin, 1938.
9. J. Jaylor J. M. Pignocco and T. D. Kossini, Journ. Res. Nat. Bur. Standards. 34, 413, 1945.

### REGULARITIES IN THE STRUCTURE AND PHYSICO-CHEMICAL PROPERTIES OF ALKANES

V. M. Tatevskii (Moscow)

#### Summary

Equations have been derived correlating in alkanes the total number ( $n$ ) of carbon atoms with the number of primary ( $n_1$ ), secondary ( $n_2$ ), tertiary ( $n_3$ ) and quaternary ( $n_4$ ) ones, permitting the possible number of each species in an alkane with a given number of carbon atoms to be determined. Other equations have been derived connecting the numbers of each group of carbon atoms ( $n_1, n_2, n_3$  and  $n_4$ ) with the possible number of bonds of the various subgroups (primary-primary, primary-secondary, primary-tertiary, etc.). Permitting the determination of the possible number of the various types of bonds ( $C_1 - C_1, C_1 - C_2, C_1 - C_3, C_1 - C_4, C_2 - C_2, C_2 - C_3, C_2 - C_4, C_3 - C_3, C_3 - C_4, C_4 - C_4$ ) for given values of  $n, n_1, n_2, n_3, n_4$ . The results obtained will aid in solving the problem of the mass calculation of physicochemical properties of higher alkanes.



## ФАЗОВЫЕ РАВНОВЕСИЯ В СИСТЕМАХ, СОДЕРЖАЩИХ ЭТИЛЕН И ТЕТРАХЛОРАЛКАНЫ

Г. Д. Ефремова и Р. Ф. Ковпакова

В последние годы разработан метод синтеза тетрахлоралканов общей формулы  $\text{Cl}(\text{C}_2\text{H}_4)_n\text{CCl}_3$  [1—3] из этилена и четыреххлористого углерода. Данные по фазовым равновесиям в системах этилен — тетрахлоралканы в литературе отсутствуют. Помимо практического интереса, эти данные представляют и теоретический интерес, так как на примере систем этилен — тетрахлоралканы можно проследить, как меняется картина фазовых равновесий в зависимости от длины углеродной цепи тетрахлоралкана.

### Экспериментальная часть

Исследование фазовых равновесий в системах, содержащих этилен и тетрахлоралканы, производили на установке с визуальным наблюдением. Схема установки и методика проведения опытов описаны в [4].

Для опытов употребляли баллонный этилен, содержащий: 97,5% —  $\text{C}_2\text{H}_4$ ; 0,3% —  $\text{H}_2$ ; 0,6% —  $\text{CH}_4$ ; 0,6% —  $\text{CO}$ ; 0,5% —  $\text{O}_2$  (объемных).

Индивидуальные тетрахлоралканы (тетрахлорпропан, тетрахлорпентан, тетрахлоргептан и тетрахлорнонан) получали вакуумной дистилляцией смеси тетрахлоралканов стеклянной роторной колонке [5].

Свойства применявшихся тетрахлоралканов представлены в табл. 1.

Таблица 1

Физикохимические свойства тетрахлоралканов

Тетрахлоралканы	$d_4^{20}$ , г/см <sup>3</sup>	Вязкость сантипуазы	$n_D^{20}$
Тетрахлорпропан	1,4325	1,63	1,4806
Тетрахлорпентан	1,3455	4,10	1,4879
Тетрахлоргептан	1,2509	6,26	1,4843
Тетрахлорнонан	1,1913	8,68	1,4827

Данные по фазовым равновесиям в системах этилен — тетрахлорпропан, этилен — тетрахлорпентан, этилен — тетрахлоргептан и этилен — тетрахлорнонан при температурах от 0,2 до 100°С представлены на рис. 1—4.

При 0,2°С кривая растворимости этилена в тетрахлорпропане охватывает всю область составов от 100% этилена до 100% тетрахлорпропана. Это значит, что жидкий этилен смешивается с тетрахлорпропаном во всех соотношениях. Состав газовой фазы, находящейся в равновесии с жидким раствором, определить не удалось, так как содержание тетрахлорпропана в газе ничтожно.

Растворимость этилена в тетрахлорпропане резко возрастает с повышением давления. Так, например, при 25° и давлении 18,5 атм молярная доля этилена в тетрахлорпропане равна 0,174, а при давлении 65,5 атм — 0,981. В газовой фазе растворимость тетрахлорпропана в этилене также растет с увеличением давления. При 25°С и давлении 65,7 атм составы

жидкой и газовой фаз становятся одинаковыми, и мы наблюдали критические явления между жидкой и газовой фазами. При повышении температуры критическое давление растет и при  $75^{\circ}\text{C}$  равно уже  $124\text{ атм}$ . При  $100^{\circ}\text{C}$  нам не удалось наблюдать критические явления в этой системе при давлениях до  $120\text{ атм}$ . Однако ход кривых растворимости этилен

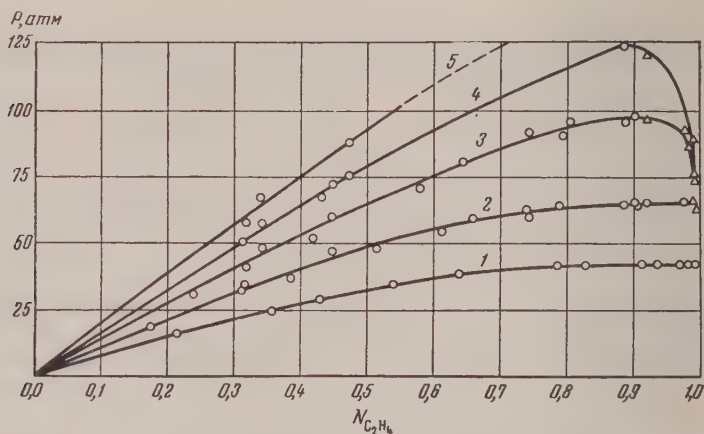


Рис. 1. Фазовые равновесия в системе этилен — тетрахлорпропан: 1—0,2; 2—25; 3—50; 4—75 и 5— $100^{\circ}\text{C}$

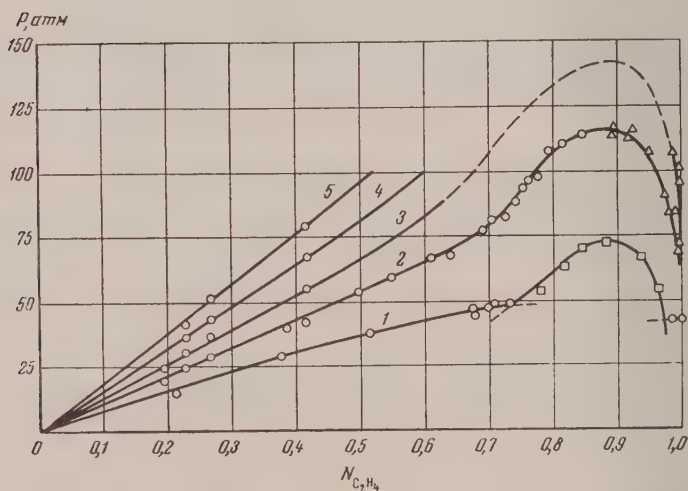


Рис. 2. Фазовые равновесия в системе этилен — тетрахлорпентан: 1—0,2; 2—25; 3—50; 4—75 и 5— $100^{\circ}\text{C}$

в тетрахлорпропане и тетрахлорпропана в этилене показывает, что и при  $100^{\circ}\text{C}$  и давлениях порядка  $150\text{--}160\text{ атм}$  должны наблюдаться критические явления.

При исследовании фазовых равновесий в системе этилен — тетрахлорпентан при  $0,2^{\circ}\text{C}$  мы заметили, что при составах системы  $0,70\text{--}0,99$  мольных долей этилена при давлении  $41\text{ атм}$  однородная жидкая фаза расслаивалась на два слоя, и в равновесии находились уже три фазы — две жидкие и газообразная. Трехфазное равновесие в двухкомпонентной системе при постоянной температуре может существовать только при одном

при определенном давлении. Мы наблюдали трехфазное равновесие в интервале давлений от 41 до 45 атм, так как этилен, с которым мы работали, содержал 2,5% примесей.

При увеличении давления составы жидких фаз сближаются. При давлении 72,5 атм и составе системы 0,909 мольных долей этилена мы наблюдали критические явления между двумя жидкими фазами.

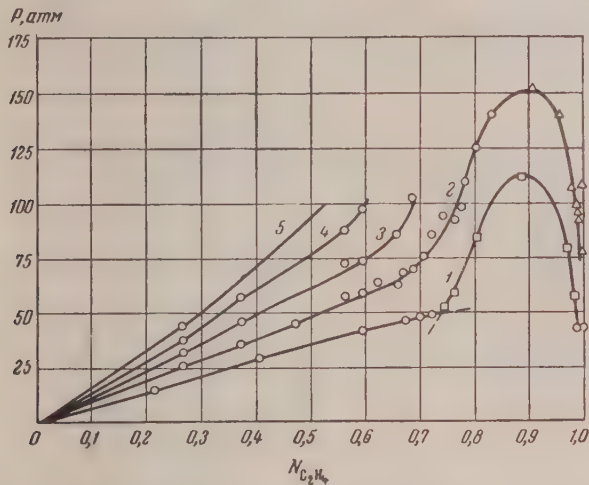


Рис. 3. Фазовые равновесия в системе этилен — тетра-хлорпропан: 1 — 0,2; 2 — 25; 3 — 50; 4 — 75 и 5 — 100° С

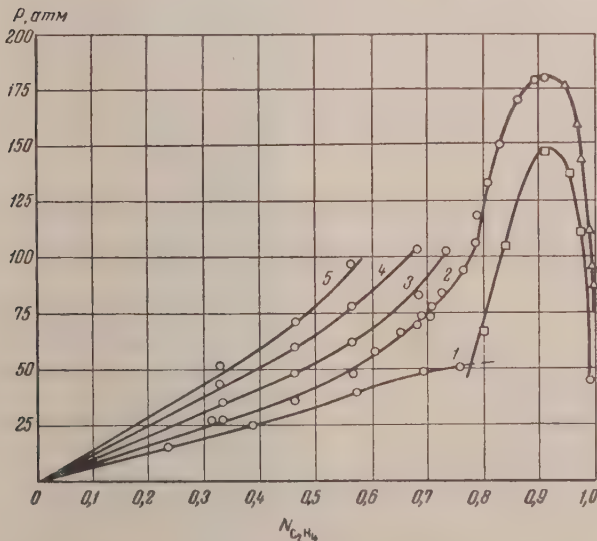


Рис. 4. Фазовые равновесия в системе этилен — тетра-хлор-нонан: 1 — 0,2; 2 — 25; 3 — 50; 4 — 75 и 5 — 100° С

Растворимость этилена в тетрахлорпентане при 25° С в интервале давлений до 50 атм мало отличается от растворимости этилена в тетрахлорпропане. При давлении около 75 атм (мольная доля этилена 0,69—0,70) кривая растворимости круто поворачивает в сторону более высоких



давлений. При давлении 116 атм мы наблюдали критические явления между жидкой и газообразной фазами. Пик на кривой растворимости этилена в тетрахлорпентане с повышением температуры становится все больше; следовательно, сильно растет критическое давление.

Кривые фазовых равновесий в системах этилен — тетрахлоргептан и этилен — тетрахлорнонан имеют тот же характер, что и в системе этилен — тетрахлорпентан. При 0,2°С мы также наблюдали трехфазное равновесие жидкость — жидкость — газ.

Критические параметры равновесия жидкость — газ и жидкость — жидкость в системах, содержащих этилен и тетрахлоралканы, представлены в табл. 2, 3.

Таблица 2

Критические параметры равновесия жидкость—газ

Система	25°		50°		75°	
	$p_{кр}, атм$	$N_{C_2H_4} \cdot 10$	$p_{кр}, атм$	$N_{C_2H_4} \cdot 10$	$p_{кр}, атм$	$N_{C_2H_4} \cdot 10$
Этилен — тетрахлорпропан	65,7	9,81	97,5	9,10	123,9	8,90
Этилен — тетрахлорпентан	115,7	8,92	—	—	—	—
Этилен — тетрахлоргептан	152,5	9,07	—	—	—	—
Этилен — тетрахлорнонан	180,1	9,10	—	—	—	—

Таблица 3

Критические параметры равновесия жидкость — жидкость при 0,2°С

Система	$p_{кр}, атм$	$N_{C_2H_4} \cdot 10$
Этилен — тетрахлорпентан	69,4	9,09
Этилен — тетрахлоргептан	112,3	8,85
Этилен — тетрахлорнонан	148	9,11

На рис. 5—8 представлены полученные нами данные для объемов насыщенных растворов этилена в тетрахлоралканах при 0,2°С. Кривые  $v - N_{C_2H_4}$ , как и следовало ожидать, для систем этилен — тетрахлорпентан, этилен — тетрахлоргептан и этилен — тетрахлорнонан имеют два перелома. Эти переломы соответствуют составам системы, при которых или начинается, или заканчивается образование второй жидкой фазы. Точки  $k$  обозначают критические точки равновесия жидкость — жидкость. На кривой  $v - N_{C_2H_4}$  для системы этилен — тетрахлорпропан переломов нет, так как в этой системе равновесие жидкость — жидкость не существует.

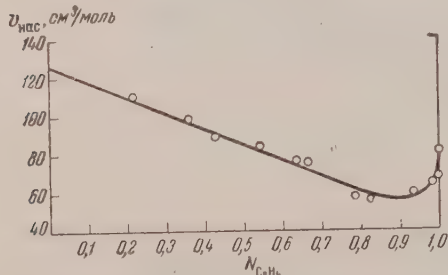


Рис. 5. Молярные объемы растворов этилена в тетрахлорпропане при 0,2°С

Представляло интерес проследить, как трехфазное равновесие жидкость — жидкость — газ переходит в двухфазное равновесие жидкость — газ при повышении температуры. Это исследование мы провели на примере системы этилен — тетрахлоргептан.

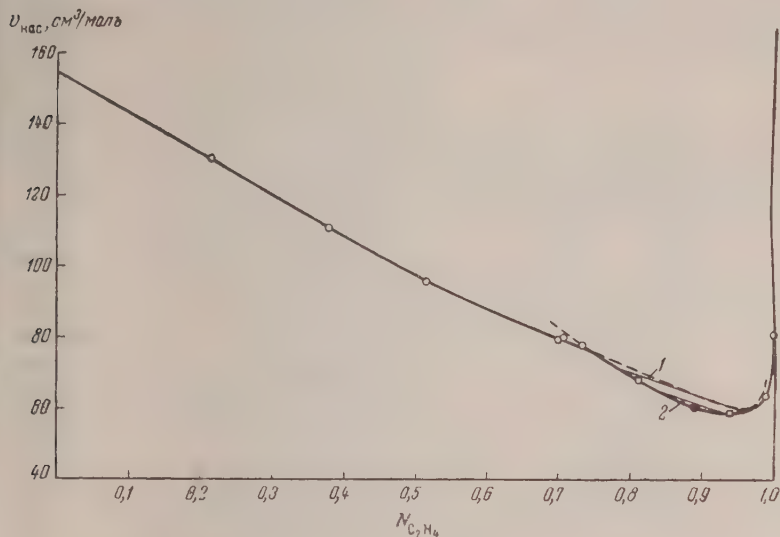


Рис. 6. Молярные объемы растворов этилена в тетрахлорэтане при  $0,2^\circ\text{C}$ : 1 — 55 2 — 70 атм ( $k$  — ●)

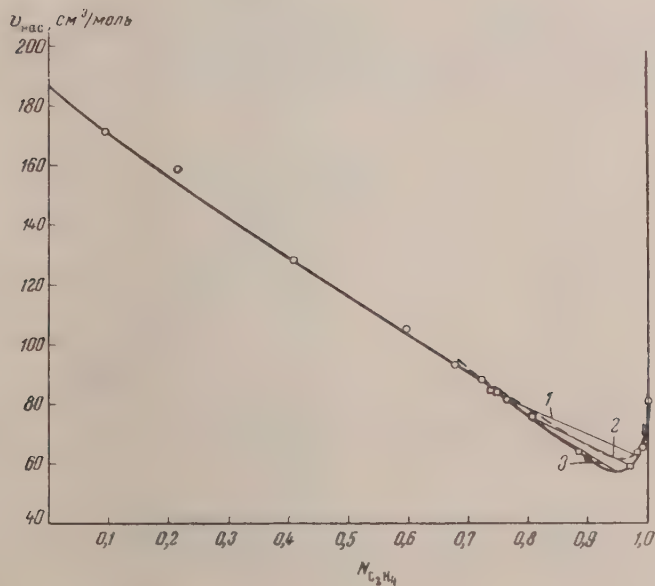


Рис. 7. Молярные объемы растворов этилена в тетрахлорэтане при  $0,2^\circ\text{C}$ : 1 — 55; 2 — 75 и 3 — 100 атм; ( $k$  — ●)

Для опытов употребляли очищенный этилен. Так как примесями при каждом этилена являлись более летучие газы — водород, метан, оксид углерода и кислород, то для очистки этилена мы конденсировали его в стеклянной трубке установки при температуре  $0,2^{\circ}\text{C}$  и при постоянном перемешивании выводили часть газовой фазы в атмосферу. Эта операция продолжалась до тех пор, пока давление в установке переставало меняться и соответствовало давлению насыщенного пара этилена при  $0,2^{\circ}\text{C}$ .

Таблица 4

Критические параметры равновесия жидкость — жидкость в системе этилен (очищенный) — тетрахлорэтан

$t, ^{\circ}\text{C}$	$p, \text{атм}$
0,2	102
5,0	109
10	114

Фазовые равновесия в системе тетрахлорэтан — этилен (очищенный) мы исследовали при 0, 2, 5, 10, и  $15^{\circ}\text{C}$ . Данные представлены на рис. 9.

Образование второй жидкой фазы мы наблюдали при строго определенном давлении. Это давление, при  $0,2^{\circ}\text{C}$  равное 41 атм, оставалось постоянным до тех пор, пока в равновесии находились три фазы — две жидких и газообразная. При повышении давления газообразная фаза исчезала, и в равновесии оставались две жидкие фазы. Равновесие жидкость — жидкость заканчивалось в критической точке.

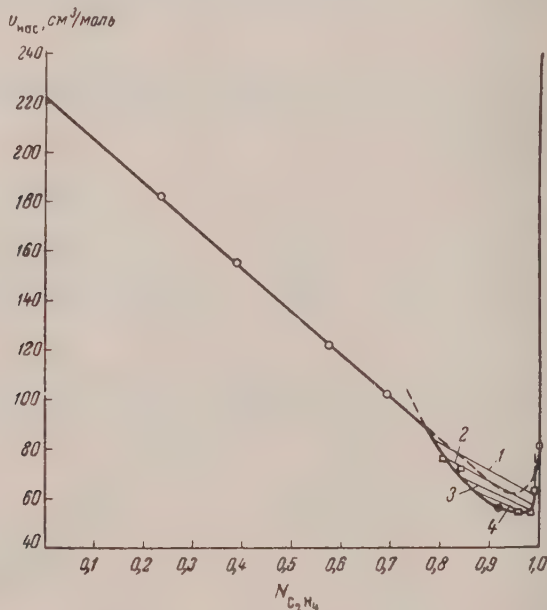


Рис. 8. Мольные объемы растворов этилена в тетра-хлорэтане при  $0,2^{\circ}\text{C}$ : 1 — 55; 2 — 75; 3 — 100 и 4 — 125 атм; (● — ●)

При 5 и  $10^{\circ}\text{C}$  мы также наблюдали равновесие жидкость — жидкость. При  $5^{\circ}\text{C}$  трехфазное равновесие существовало уже при давлении 45 атм. При  $10^{\circ}\text{C}$  при 50,5 атм. При  $15^{\circ}\text{C}$  равновесие жидкость — жидкость уже не существует.

Переход трехфазного равновесия жидкость — жидкость — газ в двухфазное равновесие жидкость — газ можно проследить визуально, наблюдая систему в установке при постепенном повышении температуры от



до  $15^{\circ}\text{C}$ . При температуре  $12,6^{\circ}\text{C}$  и составе системы 0,901 мольных долей этилена при давлении 53,6 атм наступают критические явления между нижней и верхней жидкой фазами, а затем при повышении давления до 53 атм критические явления между нижней жидкой и флюидной фазами.

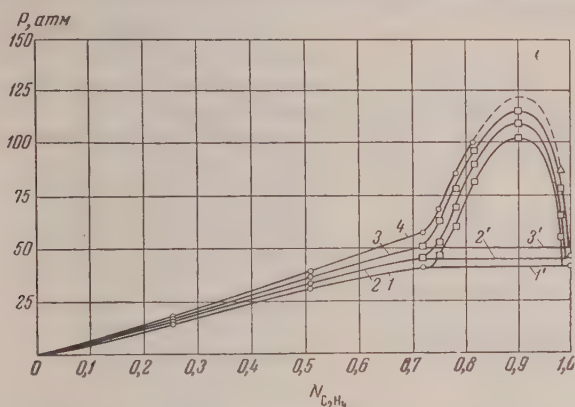


Рис. 9. Фазовые равновесия в системе тетрагидрогептан — этилен (очищенный): 1 —  $0,2$ ; 2 —  $5,5$ ; 3 —  $10$  и 4 —  $15^{\circ}\text{C}$ ; 1' —  $41$ ; 2' —  $45$ ; 3' —  $50$  атм

Наши наблюдения показывают, что трехфазное равновесие жидкость — жидкость — газ существует и при температурах, выше критической температуры этилена ( $9,9^{\circ}\text{C}$ )

### Обсуждение результатов

В литературе сведения о системах подобного рода очень немногочисленны. Известно, например, что трехфазное равновесие при температурах выше критической температуры наиболее летучего компонента наблю-

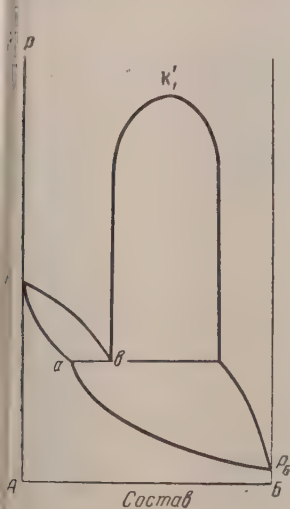


Рис. 10

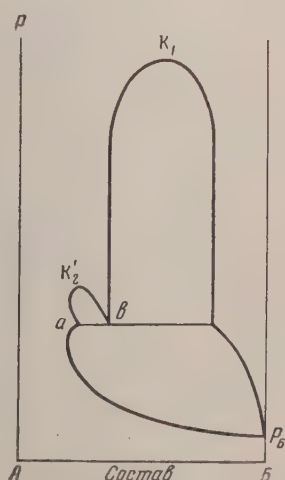


Рис. 11



Рис. 12

Рис. 10. Трехфазное равновесие жидкость — жидкость — газ в двойной системе

Рис. 11. Трехфазное равновесие жидкость — жидкость — газ в двойной системе при температуре выше критической одного из компонентов

Рис. 12. Переход трехфазного равновесия в двухфазное при температуре выше критической одного из компонентов

дается в системах вода—эфир [6], этан—органические спирты [7] и ряд других [8].

При температурах, ниже критических температур обоих компонентов диаграмма фазовых равновесий имеет вид, изображенный на рис. 10. Точка  $K'$  — критическая точка равновесия жидкость — жидкость. При повышении температуры выше критической температуры наиболее летучего компонента  $A$  кривая  $b p_{Aa}$  отходит от оси давлений (рис. 11). При увеличении давления (при постоянной температуре) равновесие жидкость — газ закапчивается в критической точке  $K'_2$ . При дальнейшем увеличении температуры трехфазное равновесие исчезает, так как состав одной из жидких фаз, более богатой летучим компонентом становится равным составу газообразной фазы, и между последней и верхней жидкой фазой наблюдаются критические явления (точка  $K_2$  на рис. 12).

Точка  $K_2$  отличается от других точек критической кривой тем, что в этой точке критические явления между жидкой и газовой фазами наблюдаются в присутствии второй жидкой фазы.

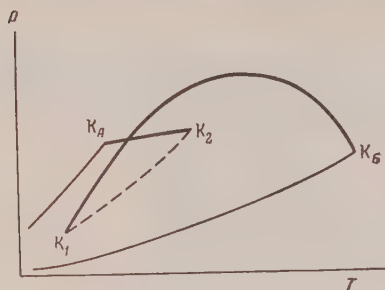


Рис. 13. Критическая кривая в двойной системе с трехфазным равновесием

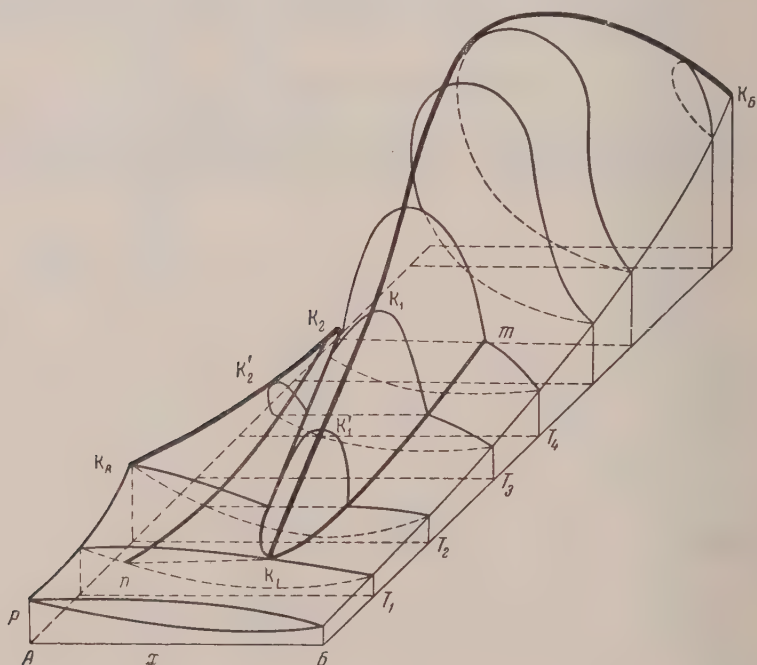


Рис. 14. Пространственная диаграмма фазовых равновесий в двойной системе с трехфазным равновесием

Критическая кривая для систем описанного типа представлена на рис. 13. Точки  $K_A$  и  $K_B$  — критические точки компонентов  $A$  и  $B$ . Критическая кривая имеет две ветви. Одна из ветвей критической кривой описывает равновесие жидкость — газ при температурах выше крити-

кой температуры наиболее летучего компонента. Эта ветвь начинается в критической точке компонента  $A$  ( $K_A$ ). В точке  $K_2$  критическая кривая пересекает кривую трехфазного равновесия и обрывается.

Вторая ветвь критической кривой может заходить в область температур, значительно меньших критической температуры компонента  $A$ , и поэтому описывает не только равновесие жидкость — газ, но и равновесие жидкость — жидкость. Вторая ветвь критической кривой берет начало в нижней критической точки равновесия жидкость — жидкость  $K_1$ . При температуре, при которой исчезает равновесие жидкость — жидкость, критическая кривая, которая до сих пор описывала это равнове-

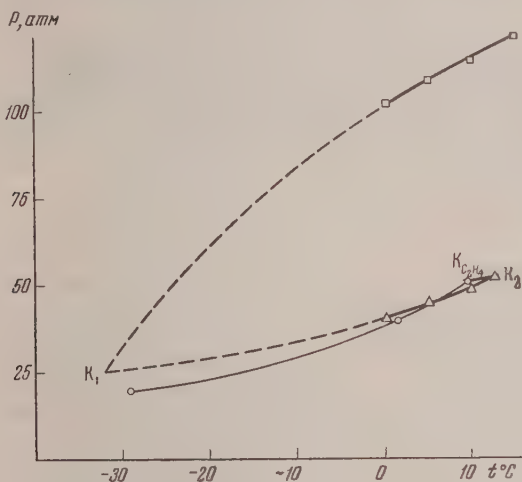


Рис. 15. Критическая кривая смесей этилена с тетрахлорпентаном

ие, непрерывно переходит в область равновесия жидкость — газ и заканчивается в критической точке компонента  $B$  ( $K_B$ ). Пунктирная кривая  $K_2 - K_1$  обозначает трехфазное равновесие.

На рис. 14 представлена пространственная диаграмма фазовых равновесий для указанного класса систем, заимствованная нами из литературы [9]. После всего вышесказанного в описании диаграммы нет необходимости. Система этилен — тетрахлорпентан принадлежит к классу систем, описанных выше.

Система этилен — тетрахлорпропан принадлежит к тому же типу, что и система этилен — четыреххлористый углерод [9].

На рис. 15 представлена критическая кривая для смесей этилена с тетрахлорпентаном, построенная по нашим экспериментальным данным. Предположительный ход кривой в области низких температур показан пунктиром. Мы, к сожалению, не имеем экспериментальных данных, необходимых для построения полной диаграммы фазовых равновесий.

Авторы выражают глубокую благодарность проф. И. Р. Кричевскому за ценные советы и постоянное внимание при проведении настоящей работы.

### Выводы

1. Исследована растворимость этилена в тетрахлорпропане, тетрахлорпентане, тетрахлоргептане и тетрахлорнонане и тетрахлоралканов этилене при температурах от 0,2 до 100° С. Во всех исследованных системах наблюдаются критические явления жидкость — газ. Критическое явление растет при повышении температуры. При одной и той же тем-



температуре критическое давление растет с увеличением углеродной цепи тетрачлоралканов.

2. Определены молярные объемы насыщенных растворов этилена в тетрачлоралканах.

3. При температуре 0,2°C в системах этилен — тетрачлорпентан, этилен — тетрачлоргептан и этилен — тетрачлорнонан существует не только равновесие жидкость — газ, но и равновесие жидкость — жидкость. Равновесие жидкость — жидкость также заканчивается в критической точке.

4. На примере системы этилен — тетрачлоргептан исследован переход системы из области трехфазного равновесия жидкость — жидкость — газ в область двухфазного равновесия жидкость — газ. Показано, что система этилен — тетрачлоргептан принадлежит к редкому классу систем, в которых трехфазное равновесие жидкость — жидкость — газ существует и при температурах выше критической температуры наиболее летучего компонента. Можно предположить, что и системы этилен — тетрачлорпентан и этилен — тетрачлорнонан также принадлежат к этому типу.

Поступила  
3.II.1957

#### ЛИТЕРАТУРА

1. R. M. Josse, W. E. Hanford, J. Harmon, J. Amer. Chem. Soc., **70**, 2526, 1948.
2. А. Н. Несмеянов, Ш. А. Карапетян, Р. Х. Фрейдлина, Докл. АН СССР, **109**, 791, 1956.
3. Г. В. Овакимян, А. А. Бээр, М. А. Беспрозванный, Хим. науки и пром-сть, **1**, 1957.
4. И. Р. Кричевский и Г. Д. Ефремова, Ж. физ. химии, **30**, 1877, 1956.
5. И. Ф. Голубев, Н. В. Мещеряков, В. М. Олевский, Тр. Гос. н.-и. и проектн. ин-та азотн. пром-сти, **5**, 316, 1956.
6. J. R. Kuennen, W. G. Robson, Z. phys. Chem., **28**, 342, 1899.
7. E. H. Buchner, Die heterogenen Gleichg. von roozeboom, **2**, (2), 1918.
8. D. B. Todd, J. G. Robson, Am. Inst. Chem. Eng., **1**, № 1, 20, 1955.
9. R. Vogel, Die heterogenen Gleichgewichte, Leipzig, 1937.
10. Г. Д. Ефремова, Г. Г. Леонтьева, Тр. Гос. н.-и. и проектн. ин-та азотн. пром-сти, **3**, 5, 1954.

#### PHASE EQUILIBRIA IN SYSTEMS CONTAINING ETHYLENE AND TETRACHLOROALKANES

*G. D. Efremova and P. F. Kovpakova (Moscow)*

#### Summary

The solubility of ethylene in tetrachloroalkanes (tetrachloropropane, tetrachloropentane, tetrachloroheptane and tetrachlorononane) and of the latter in ethylene has been studied at temperatures from 0.2 to 100° C. In all the systems studied critical liquid gas phenomena have been observed. The critical pressure grows with increasing temperature and the length of the tetrachloroalkane chain.

In the systems ethylene—tetrachloropentane, ethylene—tetrachloroheptane and ethylene—tetrachlorononane there exists not only liquid-gas but also liquid-liquid equilibrium. The liquid-liquid equilibrium also ends at the critical point.

As illustrated by the system ethylene—tetrachloroheptane a study has been made of the transition of the system from the region of the three phase liquid-liquid-gas equilibrium to the two phase liquid-gas. It has been shown that the system ethylene—tetrachloroheptane belongs to the rare class of systems in which the three phase liquid-liquid gas equilibrium exists also at temperatures above the critical for the most volatile component.

## ФОТОСОРБЦИЯ КИСЛОРОДА НА СИЛИКАГЕЛЕ И КРИСТАЛЛИЧЕСКОМ КВАРЦЕ

Ю. П. Солоницын

Одним из методов исследования молекул в состоянии адсорбции, применяющихся в нашей лаборатории, является фотоманометрический метод, который особенно ценен для исследования молекул, адсорбированных непрозрачными адсорбентами, когда применение других оптических методов становится затруднительным. Сущность метода в его первоначальном виде заключается в установлении спектра действия для фотосорбции или фотораспада адсорбированных молекул по изменению давления в замкнутом сосуде [1].

Опыт показывает, что в некоторых случаях чрезвычайно трудно отрегулировать рабочий сосуд так, чтобы при освещении кюветы, даже при отсутствии в ней какого-либо образца, в рабочем сосуде не наблюдалось повышения давления. Это обстоятельство заставляет сомневаться в том, следует ли всегда приписывать наблюдаемые «фотобарограммы» действию света на адсорбент, а не на стенки кюветы, учитывая, что при применении непрозрачных адсорбентов освещаемая поверхность в обоих случаях примерно одинакова. Поскольку материалом для изготовления кювет в большинстве случаев является плавленый кварц, то ввиду сказанного выше возникла задача изучения его поведения в условиях фотоманометрической методики. Результатам такого исследования, частично опубликованным [2], и посвящена настоящая статья.

### Экспериментальная часть

**Опыты с силикагелем.** Опыты проводились с образцами силикагеля различного изготовления на установке, схематически изображенной на рис. 1. Кювета представляет собой тонкостенную кварцевую пробирку, припаянную к рабочему сосуду при помощи перехода кварц — стекло.



рис. 1. Схема установки: 1 — кварцевая кювета; 2 — кран; 3 — отсос для анализа газов на вымораживаемость; 4 — манометр Пирани; 5 — сосуд для получения кислорода; 6 — ловушка для осушки кислорода

Рабочий сосуд объемом около 15 мл, отделенный от остальной вакуумной установки выходным краном 2, снабжен отсосом 3 для анализа газов на вымораживаемость манометром 4 типа Пирани с вольфрамовой нитью диаметром 11  $\mu$ , включенной в одно из плеч моста Уитстона.

Для непрерывной регистрации давления применялась запись зайчика зеркального гальванометра, включенного в диагональ моста, на движущуюся фотобумагу. Приводимые на рисунках кривые воспроизводит подлинные фотозаписи.

Чувствительность гальванометра  $1 \cdot 10^{-9}$  А; чувствительность всей схемы манометра для кислорода  $1 \cdot 10^{-4}$  тор/мм шкалы фотозаписи в интервале от  $5 \cdot 10^{-2}$  до  $1 \cdot 10^{-4}$  тор.

Использованный в качестве адсорбата кислород добывался нагреванием кристаллического  $\text{KMnO}_4$  в устройстве 5 с последующим пропусканием через ловушку 6, охлаждаемую жидким кислородом. В качестве источника света использован искровой разряд между электродами из различных металлов. В большинстве опытов применялась железная искра мощностью около 100 W, горящая на расстоянии 3—4 см от кюветы.

Первый же пробный опыт с образцом аэросиликагеля\* показал наличие резкой сорбции кислорода при облучении образца светом железной искры (рис. 2). Кроме того, наблюдается усиленная темновая сорбция кислорода впущенного в рабочий сосуд после предварительного освещения образца а также отсутствие излома на барограммах фотосорбции в момент прекращения облучения (рис. 3). Такое последствие и инерционность явления показывают, что активация газообразного кислорода либо вовсе не имеет места, либо не играет существенной роли.

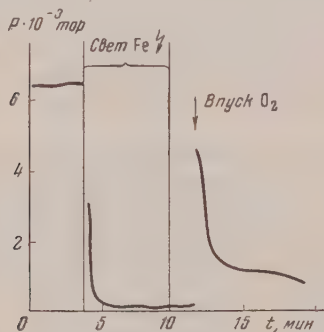


Рис. 2

Рис. 2. Сорбция кислорода на аэросиликагеле при облучении светом железной искры и после облучения

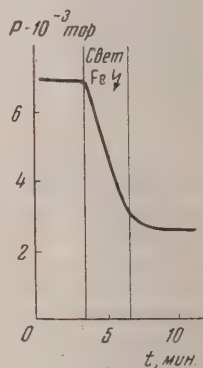


Рис. 3

Рис. 3. Типичная форма барограммы фотосорбции кислорода на аэросиликагеле

Обработка образца аэросиликагеля перед опытом состояла в прокалке в вакууме до  $600^\circ\text{C}$  в течение 5 час. Предварительной прокалки образца на воздухе не было сделано, и образец поэтому был не свободен от органических загрязнений. Возникло подозрение, что именно они, подвергаясь фотоокислению, обуславливают явление фотосорбции кислорода. Возможность такого объяснения следует прежде всего из необратимости явления. Кроме того, по мере накопления фотосорбированного кислорода при продолжающемся освещении образца в отсутствие кислорода появляется фотодесорбция (рис. 4).

Нагревание образца до  $80^\circ\text{C}$  после проведенной длительной фотосорбции приводит к выделению в объем газов, полностью вымерзающих при температуре жидкого кислорода. Между тем газ, десорбированный светом, вымерзает не полностью. Все эти обстоятельства заставляют предполагать участие в явлении фотосорбции кислорода какого-то постороннего вещества в адсорбенте.

Следует заметить, что после прекращения облучения образца видна голубая фосфоресценция длительностью 10—20 сек. Дальнейшие опыты показали, что как фотосорбция кислорода, так и фосфоресценция обусловлены длинами волн короче 250 мμ.

Действительно, при постановке между источником света и объектом желатинового фильтра, прозрачного в области длин волн более 250 мμ,

\* Аэросиликагель был изготовлен по методу Кистлера [3].



и другие явления становятся едва заметными, хотя максимум интенсивности в спектре испускания источника (железная искра) лежит в области 270  $\mu$ .

Для выяснения роли органических загрязнений образец аэросиликагеля, аналогичный первому, после аналогичной тренировки и контрольного опыта на наличие фотосорбции, был прокален в кислороде (давление около 500  $\text{тор}$ ) при 600°C в течение 10 час. Флуоресценция образца после прокалки в кислороде исчезла; можно думать, что она была обусловлена органическими загрязнениями. Фотосорбция кислорода, как видно из

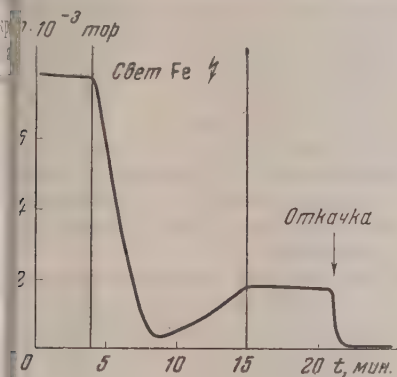


Рис. 4

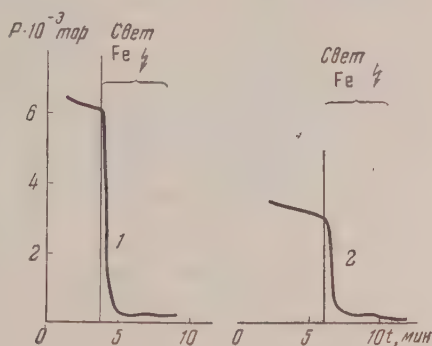


Рис. 5

рис. 4. Действие света на продукты фотосорбции кислорода (возрастание давления при освещении после окончания фотосорбции)

рис. 5. Влияние прокалки в кислороде на фотосорбцию кислорода аэросиликагелем: 1 — до прокалки; 2 — после прокалки (начальное давление кислорода взято меньше, чем в 1)

рис. 5, не только не исчезла, но даже существенно не уменьшилась. (Следует заметить, что вообще ни на одном из исследованных образцов прокалкой в кислороде или в вакууме не удалось полностью уничтожить явление фотосорбции.) Отсюда можно, по-видимому, заключить, что наличие органических загрязнений для явления фотосорбции кислорода не обязательно.

Для повышения чистоты опытов несколько образцов силикагеля было изготовлено вакуумной сушкой гидрогеля кремнекислоты (такого рода образцы имеют вид мелкого, весьма легкого белого порошка).

Возможность загрязнений, конечно, не исключена и здесь, поскольку опыты проводились в сосуде с краном, уплотненным замазкой, однако загрязнение образцов спиртом, возможное при применении аэрогелей, в данном случае полностью исключается. Фотосорбция кислорода наблюдалась также и на этих образцах, откуда с несомненностью следует, что, по крайней мере, такие загрязнения аэросиликагеля, как этиловый спирт, не играют в явлении фотосорбции решающей роли.

На одном из таких образцов был поставлен опыт с заведомым введением органического соединения — ацетона. Пары ацетона были впущены в рабочий сосуд при давлении около 20  $\text{тор}$  и находились там в течение 10 час. Перед опытом рабочий сосуд откачивался до достижения стационарного давления  $10^{-2}$ – $10^{-3}$   $\text{тор}$ . Опыт показал, что адсорбция паров ацетона полностью уничтожила явление фотосорбции кислорода.

Весьма незначительная фотосорбция появилась только после двухчасовой откачки образца при 300°C. После дополнительной получасовой откачки при 700°C образец слегка спекся и посерел (по-видимому, обуглились остатки ацетона), а фотосорбция кислорода снова исчезла. Отрицательный результат описанного опыта можно было бы объяснить филь-

тровым действием ацетона на активную радиацию (жидкий ацетон применяется в качестве светофильтра, поглощающего весь ультрафиолет начиная с 325 мμ; выделившаяся же в результате прокалки сажа поглощается в любой области спектра), однако, как будет видно из дальнейшего, есть и другая возможность объяснения наблюдаемого явления.

Известно, что ацетон в свободном, а также в адсорбированном состоянии испытывает фотораспад с первичным образованием радикалов  $\text{C}\cdot$  [4]. Таким образом есть все основания для реакции возбужденной молекулы ацетона или продуктов ее распада с кислородом. Однако отсутствие падения давления кислорода убеждает нас в том, что такой реакции не происходит.

Аналогично поставленный опыт с парами воды показал, что в их присутствии (давление около  $5 \cdot 10^{-3}$  тор) явление фотосорбции кислорода также исчезает. После удаления паров воды из объема откачкой в течение часа при комнатной температуре (и постоянным вымораживанием во время опыта) фотосорбция появляется вновь и становится даже несколько более эффективной. В этом случае объяснить отсутствие фотосорбции непроницаемостью образца нельзя, так как вода далеко прозрачна в ультрафиолетовой области спектра, и приходится предположить, что молекулы воды каким-то образом блокируют центры фотосорбции.

Одним из возможных способов блокировки активных центров [5] могут быть капиллярная конденсация, которая существенно уменьшает поверхность образца, доступную для газообразного кислорода. Однако о капиллярной конденсации воды не может быть и речи, поскольку она происходит при относительных давлениях, близких к единице, а опыт (как с водой, так и с ацетоном) проводился при относительном давлении около  $10^{-3}$ .

Наиболее полно исчезновение фотосорбции кислорода можно объяснить микроблокировкой активных центров. На основании исследования инфракрасных спектров поглощения установлено [6, 7], что центрами адсорбции силикагеля для ацетона являются поверхностные гидроксильные группы, причем ацетон при адсорбции весьма прочно связывается с ними и не может быть полностью удален откачкой при комнатной температуре. Считается, что для молекул воды центрами сорбции также являются поверхностные гидроксилы адсорбента [6—8], но вода связывается с ними не слишком прочно [7] и может быть удалена откачкой при комнатной температуре.

Аналогично, в наших опытах явление фотосорбции в присутствии паров воды в объеме не наблюдается, но после откачки их при комнатной температуре появляется вновь; ацетон же полностью подавляет фотосорбцию кислорода.

Эта аналогия позволяет предположить, что фотосорбция также связана с ОН группами поверхности. Заметим, что для объяснения появления фотосорбции после сравнительно слабой откачки образца с адсорбированной на нем водой, не обязательно предполагать слабую связь молекулы воды с гидроксильными группами; скорее следует допустить значительное увеличение их количества при обработке образца парами воды [8].

Весь изложенный материал позволяет предложить следующую схему фотосорбции кислорода на силикагеле.

Квант коротковолновой радиации ( $\lambda < 250$  мμ), поглощенный поверхностью адсорбента, приводит к отрыву гидроксила от поверхности, т. е. фотодиссоциации связи  $\text{Si} - \text{OH}$ . Оставшиеся на поверхности неспаренные электроны (ненасыщенные валентности) становятся центрами сорбции для газообразного кислорода, поскольку молекула кислорода сама представляет как бы бирадикал с двумя электронами с параллельными спинами и способна образовывать со свободными радикалами перекисный радикал типа  $\equiv \text{C} - \text{O} - \text{O}\cdot$ , а в данном случае  $\equiv \text{Si} - \text{O} - \text{O}\cdot$  [2].

Освобождаемые гидроксильные группы дают в дальнейшем на поверхности перекись водорода  $\text{HO} - \text{OH}$ . Вымерзающий продукт, который

деляется при нагревании образца после фотосорбции кислорода, и есть, видимо, перекись водорода. Фотолизом  $H_2O_2$  можно объяснить возрастание давления при освещении образца после фотосорбции кислорода (рис. 4).

Поскольку перекись водорода, а также предполагаемый перекисный радикал  $\equiv Si - O - O \cdot$  кислорода являются образованиями весьма неустойчивыми, то в системе возможны различные вторичные процессы, в том числе и окисление органических загрязнений.

В том случае, когда поверхностные гидроксилы заблокированы адсорбированными на них молекулами воды, ацетона или какого-либо другого вещества, их отрыв от поверхности не происходит, и фотосорбция кислорода не имеет места.

Объяснить все наблюдаемые явления тривиальным тепловым действием света нельзя, так как, во-первых, длительная и достаточно жесткая прокалка образца в кислороде не уничтожает явления фотосорбции кислорода; во-вторых, на образцах, дающих отглагольную фотосорбцию, темновая адсорбция (или реакция окисления загрязнений, сопровождающаяся падением давления кислорода) начинается лишь при  $-40$ — $-450^\circ C$  (рис. 6); в-третьих, скорость фотосорбции оказывается примерно пропорциональной интенсивности возбуждающей радиации.

Пробные опыты, проведенные с водородом, азотом и углекислым газом, показали, что эти газы на образцах силикагеля, дающих фотосорбцию кислорода, в темноте сколько-нибудь заметно не адсорбируются ни до, ни после освещения. Никакого действия света на эти системы обнаружить также не удалось; по-видимому, сорбционные центры, создаваемые светом, в какой-то мере специфичны для кислорода. Это обстоятельство может быть использовано для специфического микроанализа газов на присутствие кислорода.

Опыты с кристаллическим кварцем. Были проведены также проверочные опыты по фотосорбции кислорода в запаянном сосуде с толченым кристаллическим кварцем\* в качестве адсорбента. Образцы готовились толчением предварительно прокаленного кристаллического кварца в кварцевой ступке кварцевым пестиком с последующей прокалкой на воздухе и немедленной запайкой в стеклянные ампулы для предотвращения возможного загрязнения из воздуха. Задача состояла в том, чтобы повторить опыт в наиболее чистых условиях и по возможности выяснить роль воды в явлении. Для этого был изготовлен специальный рабочий сосуд (рис. 7) с тремя кюветками из увиолевого стекла, прозрачного до 220 м $\mu$ , имеющими форму полусфер.

Отдельными опытами, проведенными также в запаянных сосудах, было показано, что при недостаточной тренировке фотосорбция наблюдается даже с пустой увиолевой кюветкой, однако после двухчасовой тренировки при  $350^\circ C$  никакого изменения давления при освещении кюветки

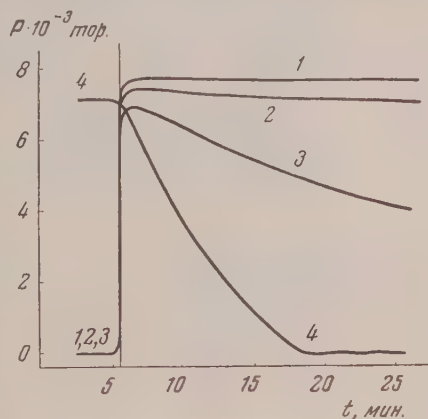


Рис. 6. Впуск и темновая сорбция кислорода силикагелем при разных температурах: 1 —  $+100^\circ C$ ; 2 —  $+300^\circ C$ ; 3 —  $+450^\circ C$ ; 4 — сорбция при облучении светом железной искры (контрольный опыт после темновой термосорбции)

\* На возможность фотосорбции кислорода толченым кварцем указывал Wegl [9].



ни до, ни после впуска кислорода не наблюдается. Более того, кюветка, потерявшая в результате вакуумной тренировки способность к фотосорбции, приобретает ее в дальнейшем только с большим трудом либо вовсе не приобретает.

Впуск кислорода в сосуд после отпайки и контрольного опыта осуществлялся разбиванием ампулы, которая представляет собой тонкостенный капилляр с капле стеклом на конце (рис. 7). Для разбивания ампулы несколькими сравнительно легкими ударами бойка вгоняется в изгиб центральной трубки и переламывается. Объем ампулы (около  $20 \text{ мм}^3$ ) и давление газа в них ( $5\text{--}10 \text{ тор}$ ) подбирались таким образом, чтобы при разбивании ампулы в рабочем сосуде установилось давление порядка  $10^{-2} \text{ тор}$ . Объем рабочего сосуда составлял около  $15 \text{ см}^3$ .

Вакуумная тренировка ампул перед наполнением всегда была более жесткой, чем тренировка всего рабочего сосуда перед отпайкой. Чувствительность манометра в опытах с запаянными сосудами повышена до  $1,5 \cdot 10^{-5} \text{ тор/мм}$ . Освещение производилось светом железной искры с конденсором из кристаллического кварца.

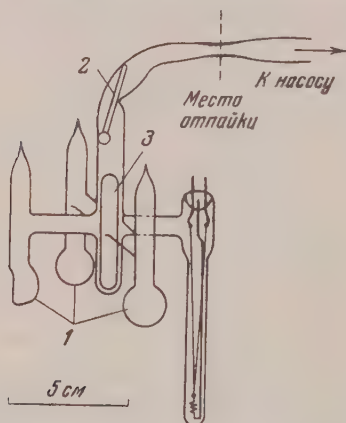


Рис. 7. Рабочий сосуд для опытов с толченым кристаллическим кварцем: 1 — кюветы из увиолевого стекла; 2 — ампула с кислородом; 3 — боек, приводимый в действие электромагнитом

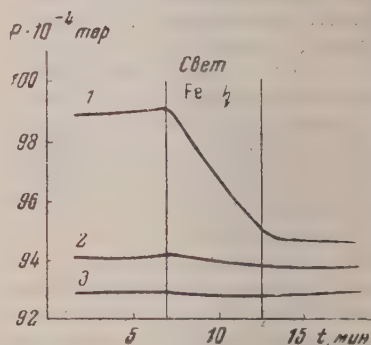


Рис. 8. Фотосорбция кислорода: 1 — на толченом кристаллическом кварце; 2 — на таком же кварце, обработанном парами воды; 3 — контрольный опыт с пустой кюветкой

Непосредственно перед насыпанием образцов в кюветы весь сосуд был откачан в течение 2 час. при  $350^\circ\text{C}$ . Затем в одну из кювет был насыпан толченый кристаллический кварц из ампулы\* (образец 1); в другую кювету — такой же кварц, предварительно обработанный водой (образец 2); третья кювета оставалась пустой.

Обработка образца 2 водой заключалась в конденсации ее на образце с последующей откачкой в течение 2 час. при  $200^\circ\text{C}$ .

Вакуумная тренировка сосуда после насыпания образцов в кюветы состояла в откачке в течение одного часа при  $150^\circ\text{C}$ . Более высокая температура не применялась, чтобы образец, обогащенный водой, не потерять ее, а необогащенный — приобрести.

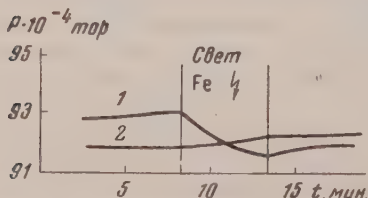


Рис. 9. Фотосорбция кислорода после нагревания образца

Рис. 8 показывает полученный результат. Фотосорбция кислорода имеет место только на образце, не обработанном водой (образец 1).

Попытка переместить адсорбированную воду из 2 в 1 нагреванием образца 2 не дала положительного результата, зато нагревание образца 1 привело к

появлению на 2 слабого повышения давления при освещении светом железной искры (рис. 9), которое можно объяснить тем, что продукты фотосорбции

\* См. сноску на стр. 1245.

сорбции с образца 1 при нагревании переместились на образец 2.

Итак, на толченом кристаллическом кварце были наблюдаемы все те явления, которые наблюдались ранее на силикагелях. Особое внимание, может быть, следует обратить на то, что на последних барограммах фотосорбции (рис. 9 кривая 1) имеется явный изгиб, как бы стремление к насыщению, а после прекращения освещения наблюдается незначительный обратный процесс (темновая десорбция), т. е. как будто бы появляется обратимость. Явление это не настолько отчетливо, чтобы ему можно было из дальнейших опытов придавать решающее значение, однако его нельзя недооценивать, поскольку оно наблюдается в специально созданных наиболее чистых условиях и не может быть объяснено, исходя из предложенной выше гипотезы отрыва гидроксильных групп.

Возможно [10], что фотосорбция кислорода обусловлена появлением при освещении кварца свободных электронов в поверхностной зоне, сама по себе вполне обратима. Наблюдаемые же на опыте необратимость и появление продуктов фотосорбции кислорода, отличных от кислорода, полностью обусловлены вторичными процессами.

Работа проведена под руководством академика А. Н. Теренина.

### Выводы

Обнаружена сорбция кислорода на силикагеле и толченом кристаллическом кварце при облучении длинами волн короче 250 мμ. Результаты опытов позволяют предполагать, что первичным процессом является отрыв гидроксильной группы от поверхности адсорбента, а образовавшаяся на поверхности свободная валентность становится центром сорбции для кислорода.

Ленинградский государственный университет  
им. А. А. Жданова

Поступила  
10.I.1957

### ЛИТЕРАТУРА

1. А. Н. Теренин, Уч. зап. ЛГУ, 17, 149, 1937; Сборник «Гетерогенный катализ», ГНТИ Хим. лит., 1955, стр. 188; П. Е. Вальнев, Научн. бюлл. ЛГУ, 23, 10, 1949; Ж. физ. химии, 30, 1308, 1956.
2. А. Н. Теренин, Сборник «Проблемы кинетики и катализа», 8, 17, 1955, Изд-во АН СССР.
3. Л. Н. Курбатов, Ж. физ. химии, 14, 1111, 1940.
4. А. Н. Теренин, Ж. физ. химии, 14, 1362, 1940.
5. С. З. Рогинский, Ж. физ. химии, 22, 655, 1948.
6. Л. Н. Курбатов и Г. Г. Неуймин, Докл. АН СССР, 68, 341, 1949.
7. А. Н. Сидоров, Ж. физ. химии, 30, 995, 1956.
8. С. П. Жданов, Докл. АН СССР, 68, 99, 1949; А. В. Киселев, К. Г. Крассильников, Л. Н. Соболева, Докл. АН СССР, 94, 85, 1954.
9. W. A. Weyl, Research, 3, 280, 1950.
10. Ф. Ф. Волькенштейн, Ж. физ. химии, 27, 167, 1953; Сборник «Проблемы кинетики и катализа», 8, 68, 1955, Изд-во АН СССР.

### THE PHOTOSORPTION OF OXYGEN ON SILICA GEL AND CRYSTALLINE QUARTZ

*Yu. P. Solonitsyn (Leningrad)*

#### Summary

On irradiating silica gel or powdered crystalline quartz at wave lengths shorter than 250 mμ, intense sorption of oxygen was found to take place. The experimental results lead to the assumption that the primary process is the liberation of hydroxyl from the surface of the adsorbent. The free valence of silicon formed at the surface becomes the site for the oxygen sorption.

ТЕМПЕРАТУРНАЯ ЗАВИСИМОСТЬ СКОРОСТИ МЕХАНИЧЕСКОЙ  
ДЕСТРУКЦИИ ВЫСОКОПОЛИМЕРОВ*Н. К. Барамбойм*

Зависимость скорости механической деструкции высокополимеров от температуры определена для случая вальцевания каучуков [1—3], полиизобутилена [4] размола целлюлозы и полистирола [5]. Было показано, что кривая зависимости степени пластикации НК от температуры имеет минимум при  $115^{\circ}\text{C}$ , соответствующий изменению преимущественного механизма деструкции, т. е. переходу от механической к термической деструкции. Для полиизобутилена, по литературным данным [4], этот минимум несколько сдвинут в сторону более высоких температур и соответствует примерно  $140^{\circ}\text{C}$ , что оправдывается отсутствием двойных связей в его структуре и соответственно большей устойчивостью к термоокислительному крекингу. Скорость деструкции целлюлозы и полистирола оказалась практически не зависимой от температуры в интервале  $20\text{--}60^{\circ}\text{C}$ . Для того чтобы внести ясность в этот вопрос, мы подвергли механической деструкции ряд стеклованных полимеров при различных температурах, в том числе и достаточно низких. Имеющиеся данные по вальцеванию полиизобутилена мы дополнили исследованием его поведения при температуре кипения жидкого азота, т. е. значительно ниже —  $100^{\circ}\text{C}$ .

Прежде чем анализировать экспериментальные данные, целесообразно оценить в целом возможную температурную зависимость механической деструкции.

Исходя из современных представлений о механических свойствах полимеров, можно предположить, что температурная зависимость механической деструкции будет определяться при прочих равных условиях, в первую очередь характером физического состояния полимера. Например, очевидно, что механическая деструкция полимера, находящегося в вязкотекучем состоянии, строго говоря, не должна иметь места, исходя из самого определения вязкотекучего состояния, как возможности взаимоперемещения цепей в целом. Если она и будет наблюдаться практически, то это отклонение можно объяснить либо полидисперсностью полимера и присутствием известного числа цепей, длина которых превышает величину, характерную для текучего состояния, либо достижением такой скорости деформации, при которой начнет проявляться высокая эластичность. Другими словами, деструкция начинается там, где кончается текучесть.

При понижении температуры, с ростом межмолекулярного взаимодействия, полимер переходит в область высокой эластичности. Взаимоперемещения цепей в целом здесь невозможны, и деформация приведет к возникновению критических напряжений, вызывающих разрыв макромолекул. Пределом деструкции, очевидно, явится отрезок цепи, реализующий механизм текучести при данной температуре. При дальнейшем понижении температуры деструкция будет продолжаться опять-таки до достижения текучести.

При понижении температуры до уровня, соответствующего переходу в стеклообразное состояние, когда межмолекулярное взаимодействие становится столь большим, что препятствует взаимоперемещению даже



тветков цепей, механическая деструкция должна предельно ускоряться. Дальнейшем существенных изменений скорости ожидать не имеется оснований, за исключением некоторых специальных случаев, о чем будет сказано ниже.

Справедливость этих предположений подтверждается экспериментальными данными.

На рис. 1, 2 представлены кинетические кривые деструкции полиизобутилена на вальцах и трех аморфных застеклованных полимеров в шаровой мельнице при различных температурах. Кривая 6 рис. 2 получена вальцеванием полиизобутилена, замороженного в жидком азоте.

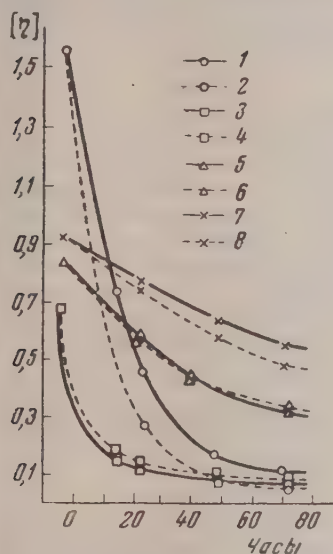


Рис. 1

Рис. 1. Изменение характеристической вязкости ( $\eta$ ) полимеров в результате механической деструкции при различной температуре: 1 — фото-желатина в азоте при  $-10^{\circ}$ ; 2 — то же при  $-70^{\circ}$ ; 3 — техническая желатина в кислороде при  $50^{\circ}$ ; 4 — то же при  $0^{\circ}$ ; 5 — поливиниловый спирт при  $50^{\circ}$ ; 6 — то же при  $0^{\circ}$ ; 7 — поливинилхлорид при  $50^{\circ}$ ; 8 — то же при  $0^{\circ}$  C

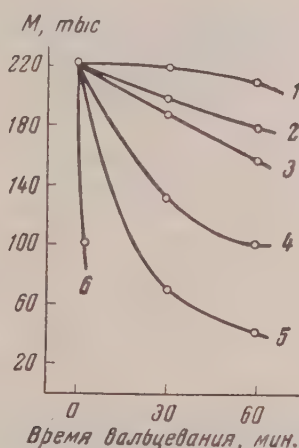


Рис. 2

Рис. 2. Снижение молекулярного веса полиизобутилена в результате вальцевания при различной температуре: 1 —  $140^{\circ}$ ; 2 —  $100^{\circ}$ ; 3 —  $210^{\circ}$ ; 4 —  $60^{\circ}$ ; 5 —  $20^{\circ}$ ; 6 —  $< -100^{\circ}$  C

При рассмотрении этих кривых обращает на себя внимание резкое различие в температурном коэффициенте деструкции полиизобутилена, одной стороны, и поливинилхлорида, желатины и поливинилового спирта, с другой стороны, являющееся отражением температурной зависимости механических свойств этих полимеров в данном интервале температур. Действительно, полиизобутилен в рассматриваемом интервале проходит при достаточно четко отграниченных состояниях: стеклообразное, высокоэластичное и вязкотекучее.

Если принять за температурный коэффициент деструкции  $dv/dt$ , т. е. скорость изменения скорости деструкции в зависимости от температуры, то в области высокой эластичности этот коэффициент будет значительно выше, чем в области стеклообразного состояния. Переход в стеклообразное состояние дает новый скачок роста эффективности деструкции и снижения величины предела деструкции. В этой области температурный коэффициент деструкции весьма незначителен, соответствуя относительному постоянству механических свойств. Следовательно, можно отметить, что

высокоэластичному состоянию соответствует высокий температурный коэффициент разрушения, практически близкий к нулю — для стеклообразного. Однако соотношение между ними, очевидно, зависит от природы полимера, величины молекулярного веса, среды, в которой проводится разрушение, частоты деформации и т. д.

В целом это влияние многочисленных взаимосвязанных и взаимовлияющих факторов весьма сложно и может быть рассмотрено в случае необходимости только для данного полимера. В дальнейшем мы вернемся к этому вопросу. Что касается температурного коэффициента механической разрушения полимеров, находящихся в стеклообразном состоянии, то данные рис. 1 свидетельствуют о том, что здесь имеются некоторые особенности, связанные с химической природой полимеров. Так, для ж

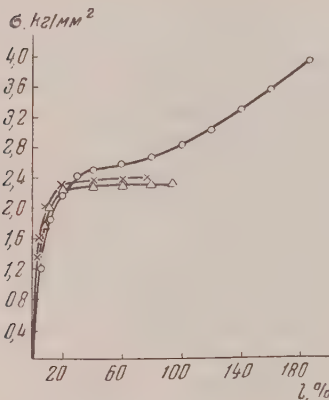


Рис. 3

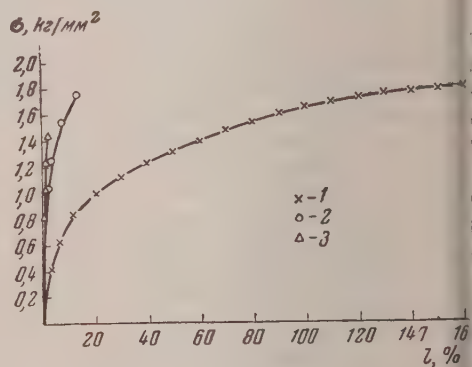


Рис. 4

Рис. 3. Механические свойства пленок поливинилового спирта, механически разрушенного при различной температуре: 1 — поливиниловый спирт исходный; 2 — то же разрушенный в воздухе при 0°С; 3 — то же при 50°С

Рис. 4. Механические свойства пленок поливинилхлорида, механически разрушенного при различной температуре: 1 — поливинилхлорид исходный; 2 — поливинилхлорид разрушенный при 0°С; 3 — то же при 50°С

латины температурная зависимость более существенна при низких температурах (—10; —70°). Это можно объяснить тем, что желатина хотя и не выходит за пределы стеклообразного состояния во всем интервале (—50, —70°), все же при низких температурах порядка —70° претерпевает существенное изменение механических свойств. Изучая механические свойства гетероцепных полимеров при низких температурах В. А. Каргин установил, что им свойственно резкое повышение хрупкости при температурах, соответствующих стеклованию неполярных углеводородных участков их цепей. Стеклование неполярных участков, имеющих высокую плотность упаковки, вызывает возникновение резких внутренних напряжений молекулярных цепочек, полимер становится весьма хрупким и легко разрушается. Весьма вероятно, что увеличение скорости разрушения желатины при —70° обязано именно этому эффекту.

В целом можно сделать вывод, что температурный коэффициент механической разрушения отрицателен, т. е. при прочих равных условиях разрушение тем меньше, чем выше температура. При высоких температурах, за пределами минимума, знак температурного коэффициента меняется в соответствии с изменением преимущественного механизма крекинга (термоокислительная разрушение). Крайне низкое значение температурного коэффициента для стеклованных полимеров и наличие минимума в области высокой эластичности определяются тем обстоятельством, что рост интенсивности тепловых колебаний при повышении тем-

температуры, при умеренных ее значениях, естественно, не окажет заметного влияния на прочность цепочки и не облегчит механического обрыва. Влияние тепловых колебаний сказывается только при достижении таких температур, за границей которых колебания способны привести к обрыву химической связи в основной цепи, т. е. термической деструкции. Но здесь, на границе термической деструкции, мы с одинаковым правом можем говорить как о механической активации термической деструкции, так и о тепловой активации механической деструкции. Этот случай для линейных полимеров не имеет практического значения и реализуется только при разрушении трехмерных пространственных систем в резино-регенеративном производстве.

Механические свойства пленок, полученных из продуктов деструкции рис. 3 и 4, также несколько различны в зависимости от температуры процесса.

Поливинилхлорид, деструктированный при  $+50^{\circ}\text{C}$ , дает более жесткие пленки, вероятно, за счет большей концентрации кислородных функций, возникающих в результате окисления и увеличивающих межмолекулярное взаимодействие. Жесткость пленок поливинилового спирта меняется незначительно, так как образование окисленных групп не меняет характера межмолекулярного взаимодействия.

Итак, можно заключить, что влияние температуры на интенсивность механической деструкции определяется степенью температурной зависимости механических свойств полимера, в целом незначительно и практически подлежит учету только для пластичных полимеров в интервале, ограниченном температурами переходов. Влияние же температуры на свойства продуктов деструкции проявляется косвенно в связи с особенностями вторичных реакций.

### Выводы

1. Показано, что зависимость скорости механической деструкции от температуры при прочих равных условиях определяется физическим состоянием полимера.
2. Температурный коэффициент скорости есть величина отрицательная и для стеклообразных полимеров практически равен нулю.

Академия наук СССР  
Институт физической химии  
Москва

Поступила  
13.XII.1956

Московский технологический  
институт легкой промышленности

### ЛИТЕРАТУРА

1. Б. А. Догадкин, Химия и физика каучука, Госхимиздат, 1947, стр. 282.
2. Б. Кармин и Б. Ветц, Исследования в области высокомолекулярных соединений, Изд-во АН СССР, 1949, стр. 129—137.
3. M. Pike and W. F. Watson, J. Polymer Sci., 9, 229, 1952.
4. А. П. Решетов и Е. Н. Макарова, Полиизобутилены и применение их в технике, Госхимиздат, 1952, стр. 31.
5. K. Hess, E. Steurer, H. Fromm, Kolloid-Z., 98, 148, 1942.

### THE TEMPERATURE DEPENDENCE OF THE MECHANICAL BREAKDOWN RATE OF HIGH POLYMERS

*N. K. Baramboim (Moscow)*

#### Summary

The temperature dependence of the rate of mechanical breakdown of polymers, other conditions being constant, was found to be determined by their physical state. The temperature coefficient of the rate is a negative quantity and for vitreous polymers is practically zero.



## ДОПОЛНИТЕЛЬНЫЕ МАТЕРИАЛЫ К ТЕОРИИ СОВМЕСТНОГО ДЕЙСТВИЯ КАТАЛИЗАТОРОВ В РАСТВОРЕ

### II. КИНЕТИКА КАТАЛИТИЧЕСКОГО РАЗЛОЖЕНИЯ ПЕРЕКИСИ ВОДОРОДА СОВМЕСТНЫМ ДЕЙСТВИЕМ СОЛЕЙ СТРОНЦИЯ И МОЛИБДЕНА

*В. А. Щербинин и Г. А. Богданов*

В данной работе исследована кинетика разложения перекиси водорода совместным влиянием молибдата натрия и хлорида стронция в нейтральной, кислой и щелочной среде с одновременным измерением электропроводности растворов, в которых происходил изучаемый процесс катализа.

Литература вопроса дана в статье [1]. Дополнительно необходимо указать на обстоятельные исследования превращения перекисей Е. А. Шилова с сотрудниками [2], а также оригинальные и весьма интересные работы Л. А. Николаева [3] по каталитической активности комплексных соединений.

#### Экспериментальная часть

**Методика исследования.** Исследование кинетики процесса производилось по количеству выделявшегося кислорода в единицу времени. Измерению электропроводности подвергались те же самые реакционные смеси, которые служили объектом для исследования кинетики катализа. С этой целью в реакционную колбу были впаяны гладкие платиновые электроды, и электропроводность смесей измерялась на протяжении всего процесса катализа при помощи мостика Кольрауша с электронным осциллографом марки ЭО-5, обеспечивающим достаточную скорость и точность измерений. Отсчеты времени и величины электропроводности фиксировались одновременно через каждые два миллилитра выделявшегося кислорода. Поэтому опытные точки на кривой скорости катализа и на кривой электропроводности соответствуют одним и тем же концентрациям перекиси водорода в реакционной смеси.

Влияние хлорида стронция на скорость разложения перекиси водорода молибдатом натрия. На рис. 1 приведены кинетические кривые, полученные в условно-нейтральной среде при  $25^{\circ}\text{C}$  и начальной концентрации перекиси водорода, равной  $0,18\text{ M}$ . Кривая 1 характеризует действие на распад перекиси одного молибдата натрия при концентрации его, равной  $0,016\text{ M}$ .

Кривые 2, 3, 4 отвечают совместному действию молибдата натрия и хлорида стронция при концентрациях: молибдата натрия —  $0,016\text{ M}$  и хлорида стронция соответственно —  $0,004$ ,  $0,008$  и  $0,016\text{ M}$ .

Из рис. 1 видно, что прибавление хлорида стронция к молибдату натрия резко уменьшает скорость разложения перекиси и тем сильнее, чем выше концентрация соли стронция; кривые, полученные в присутствии хлорида стронция, по своему характеру отличаются от кривой, полученной с одним молибдатом натрия: возрастание скорости в начале процесса (максимум), минимум, снова максимум — падение скорости по уравниванию первого порядка [4].

Необходимо отметить, что в некоторых опытах, проведенных почти при одних и тех же условиях, хотя в редких случаях, минимум на кинетических кривых — после достижения максимума скорости — не выявляется с достаточной определенностью, и тогда кривые приобретают характер,

сходный с характером кривой, полученной в отсутствие хлорида стронция. Этот факт отражен на кривых 2, 3, 4 пунктиром.

С целью объяснения характера влияния соли стронция на скорость катализа были поставлены опыты с различными концентрациями перекиси водорода, равными 0,18 и 0,36 М, и с концентрацией обоих катализаторов, равной 0,016 М, при 25° С. Оказалось, что начальная концентрация перекиси водорода не влияет на скорость реакции, и кривые имеют сходный характер: возрастание скорости в начале реакции (максимум), постепенный переход к уравнению первого порядка, которым завершается процесс. В начальном периоде процесса кинетические кривые не накладываются друг на друга, но в последующем ходе реакции все кривые практически совпадают. Этот факт указывает, что в обоих

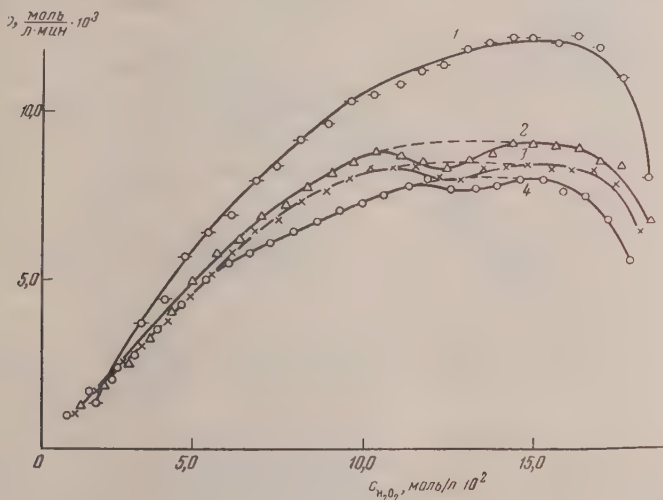


Рис. 1

случаях при одинаковых наличных концентрациях перекиси водорода, независимо от начальной ее концентрации, возникают одни и те же соединения, обуславливающие своим присутствием каталитическое разложение перекиси водорода, а независимость скорости реакции от начальной концентрации субстрата объясняется тем, что эти соединения возникают быстро и обратимо.

При внесении в колбу в конце опыта, когда реакционная смесь становится бесцветной, новой порции перекиси водорода в растворе восстанавливается красная окраска, и перекись водорода распадается так же, как и при первоначальном действии катализаторов.

Результаты опытов дают достаточно оснований для того, чтобы подойти к исследуемому процессу, как к истинному катализу, и рассмотреть его с точки зрения теории возникновения промежуточных соединений. Характер кинетических кривых заставляет признать, что в ходе катализа в системе возникает не менее трех промежуточных соединений, обладающих различными свойствами и составом и определяющих сложную картину изменений скорости разложения перекиси водорода.

Изменение кинетического хода катализа по мере изменения концентрации субстрата указывает на различное содержание перекисного кислорода в составе промежуточных перекисных продуктов. Максимумы и минимум кинетических кривых являются следствием различной каталитической активности промежуточных соединений. Возможность наблюдаемого минимума определяется соотношением констант распада образующихся продуктов:  $K_1 > K_2 < K_3$ .

Причину отрицательного влияния ионов стронция на скорость разложения перекиси молибдатом натрия следует искать в различии кинетических и термодинамических свойств промежуточных продуктов, возникающих в процессе катализа и обуславливающих его скорость. Из всякого сомнения, что промежуточные соединения, формирующиеся при участии ионов стронция, характеризуются прежде всего более низким значением констант распада, чем промежуточные соединения, возникающие в присутствии одного молибдата натрия.

Зависимость скорости катализа от pH среды. На рис. 2 показаны результаты опытов, проведенных с целью выяснения влияния концентрации ионов  $H^+$ , соответственно  $OH^-$ , на скорость катализа.

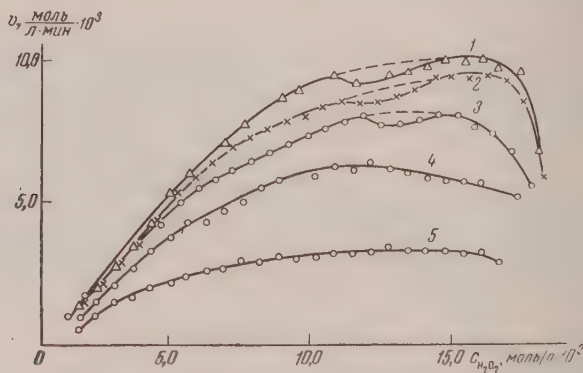


Рис. 2

Кривая 3 получена из опыта в нейтральной среде при концентрации катализаторов, равной 0,016 M, кривые 1 и 2 — в щелочной среде при концентрациях NaOH, равных соответственно 0,008 и 0,004 M, а кривые 4 и 5 — в кислой среде при концентрациях HCl, равных соответственно 0,004 и 0,008 M.

Из характера и относительного расположения кривых видно, что прибавление щелочи и увеличение ее концентрации не оказывают влияния на характер кривых, а лишь вызывают небольшое возрастание скорости реакции, а присутствие ионов водорода резко уменьшает скорость катализа и существенно изменяет характер кривых.

На кривой, полученной при  $C_{HCl} = 0,004 M$ , явно выражен максимум, но он более сдвинут к началу координат, чем на кривой, полученной в нейтральной среде, а поэтому падение скорости реакции по начальной концентрации субстрата после максимума происходит на меньшем протяжении. Кривая, полученная при  $C_{HCl} = 0,008 M$ , имеет почти плоский слабовыраженный максимум.

Повышение концентрации кислоты в реакционной смеси вызывает последовательное уменьшение скорости реакции: при  $C_{HCl} = 0,008 M$  скорость катализа уменьшается в 2,5 раза, а при  $C_{HCl} = 0,016 M$ , распад перекиси водорода не происходит совсем, и его не удалось вызвать даже нагреванием раствора до  $80^\circ C$ .

Следовательно, ионы  $H^+$  (соответственно  $OH^-$ ) влияют на скорость формирования промежуточных продуктов, их концентрацию и последующие превращения. Это влияние различно сказывается на каждом промежуточном продукте.

Визуальными наблюдениями над реакционными смесями установлено, что в присутствии щелочи процесс с самого начала и до конца протекает так же, как в нейтральной среде, с той лишь разницей, что максимум



инсивности красной окраски наступает быстрее, чем в нейтральной среде.

В присутствии кислоты в начале реакции возникает желтая окраска, которая медленно переходящая в красную, а последняя довольно скоро меняется желтой. В конце опыта раствор также становится бесцветным, из него выпадает белый осадок в меньшем количестве, чем из нейтральных и щелочных растворов. Эти наблюдения укрепляют предположение, что в кислой среде процесс катализа протекает иначе, чем в нейтральной и щелочной среде. Очевидно, ионы водорода задерживают процесс образования активного промежуточного продукта красного цвета.

При выполнении этой серии опытов смеси, в которых протекали описанные процессы, оттитровывались 0,1 *N* HCl и 0,1 *N* NaOH по нейтральному. Результаты приведены в таблице.

Исходные концентрации, моль/л				Концентрации в конце опыта, моль/л	
Na <sub>2</sub> MoO <sub>4</sub>	SrCl <sub>2</sub>	HCl	NaOH	HCl	NaOH
0,016	0,016	—	—	—	—
0,016	0,016	0,004 <i>M</i>	—	—	—
0,016	0,016	0,008 <i>M</i>	—	0,0041 <i>M</i>	—
0,016	0,016	0,016 <i>M</i>	—	0,00287 <i>M</i>	—
0,016	0,016	—	0,004 <i>M</i>	—	0,000125 <i>M</i>
0,016	0,016	—	0,008 <i>M</i>	—	0,00255 <i>M</i>

Следовательно, в процессе катализа уменьшается начальная концентрация ионов H<sup>+</sup> и ионов OH<sup>-</sup>, причем ионы H<sup>+</sup> расходуются в большей степени, чем ионы OH<sup>-</sup>.

Совокупность полученных в этих опытах фактов заставляет признать, что ионы OH<sup>-</sup> либо не нарушают условий формирования промежуточных продуктов и своим присутствием только повышают их каталитическую активность, либо они участвуют в их формировании, и возникающие при этом промежуточные соединения имеют более высокое значение константы распада, чем те, которые возникают в отсутствие ионов OH<sup>-</sup>.

Если более справедливо последнее предположение, то в результате полного распада перекисных соединений (в конце опытов) происходит освобождение ионов OH<sup>-</sup> и частичное восстановление их концентрации.

Что касается ионов H<sup>+</sup>, то с большей степенью вероятности можно считать, что они входят в состав возникающих в их присутствии промежуточных соединений, придавая последним свойства, отличные от свойств промежуточных соединений, образующихся при pH=7. Кислые промежуточные соединения, очевидно, обладают более низким значением константы распада и в меньшей степени склонны к формированию более богатых кислородом перекисных продуктов. По своему составу они представляют собою либо кислоты, либо кислые соли, каталитически менее активные, чем нормальные соли.

При помощи выражения

$$\frac{v}{v_1} = \frac{f}{f-f_1},$$

где  $v$  — скорость катализа в условно-нейтральной среде,  $v_1$  — скорость катализа в кислой среде,  $f$  — концентрация активного катализатора,  $f_1$  — концентрация менее активной формы катализатора, возникающей с участием ионов H<sup>+</sup>, легко вычислить концентрацию активной соли и неактивной формы катализатора, возникающей при участии ионов H<sup>+</sup>.

При  $c_{\text{HCl}} = 0,008 \text{ M}$  отношение скоростей  $v/v_1$  равно 2,5. Вычисления приводят к результату, что концентрация менее активной кислой формы

катализатора в условиях опыта достигает значения  $0,0096 M$ , а концентрация активного катализатора остается равной  $0,0064 M$ , т. е., по сравнению с начальной концентрацией, равной  $0,016 M$ , падает в 2,5 раза, столько же, во сколько уменьшилась скорость катализа.

Приняв во внимание формулы и числовые значения исходных концентраций катализаторов и кислоты, можно считать, что менее активная форма катализатора представляет собой кислую соль, потому что для перевода половины наличного количества нормальной соли  $Na_2MoO_4$  или  $SrMo$  в кислоту требуется в два раза больше соляной кислоты, чем было введено в реакционную смесь.

Влияние температуры на скорость катализа. Для выяснения зависимости катализа от температуры бы-

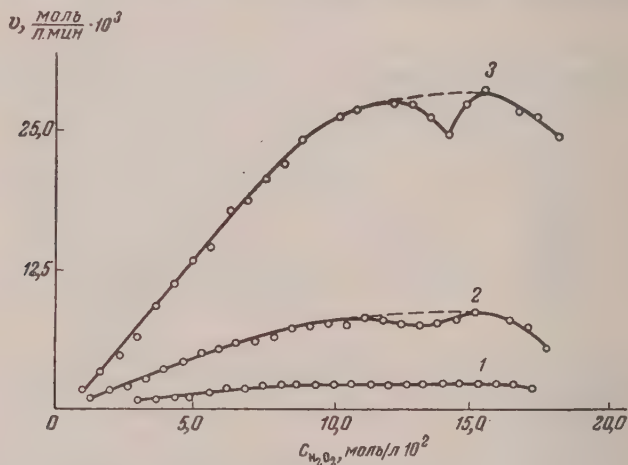


Рис. 3

проведены опыты в нейтральной, кислой и щелочной среде при постоянных концентрациях катализаторов и перекиси водорода, но при различных температурах.

На рис. 3 приведены кривые опытов в нейтральной среде при концентрации катализаторов, равной  $0,016 M$ . Кривые получены: 1 при  $15^\circ C$  и 2 при  $25^\circ C$  и 3 при  $35^\circ C$ .

Характер кривых в общем сходен, хотя максимум и минимум выражены тем отчетливей, чем выше температура; при понижении температуры кривые все более вытягиваются вдоль оси абсцисс, приближаясь к уравнению нулевого порядка.

Относительно небольшое изменение порядка реакций и сходство кривых указывают на то, что независимо от температуры, в границах которой были проведены опыты, на большом протяжении опытов возникают одни и те же промежуточные перекисные продукты.

Увеличение скорости реакции при повышении температуры приблизительно равномерно; отношение ординат скорости  $\gamma$  при повышении температуры на  $10^\circ$ , начиная от  $C_{H_2O_2} = 0,06 M$  и выше, остается постоянным и равным около 3,4. Энергия активации  $E$  равна  $19,0 \text{ ккал}$ . Однако несколько иной порядок реакции при  $15^\circ C$  заставляет признать, что температурный коэффициент  $\gamma$  и энергия активации  $E$  не сохраняют постоянного значения на всем протяжении опыта, и они заметно возрастают в области сравнительно небольших концентраций субстрата и особенно при переходе от  $15$  к  $25^\circ C$ . Это обстоятельство явно указывает на возникновение нескольких промежуточных соединений, отличающихся прежде всего различным содержанием кислорода и различной каталитической активностью, что находит свое полное соответствие с характером кинетических кривых.

На рис. 4 показаны кривые, характеризующие катализ в щелочной среде. Кривые 1, 2, 3 получены при температурах, равных соответственно 15, 25 и 35° С, при тех же концентрациях катализаторов и  $c_{\text{NaOH}} = 0,004 \text{ M}$ . Кривые по своему характеру аналогичны кривым, полученным в условно-нейтральной среде, и отличаются от последних несколько более высоким значением скорости реакции. Этот факт убеждает в справедливости выводов относительно роли ионов  $\text{OH}^-$  в механизме катализа, которые и сделаны выше.

Отношение величин ординат скоростей реакции  $\gamma$  при повышении температуры на 10° несколько изменяется на протяжении опыта.

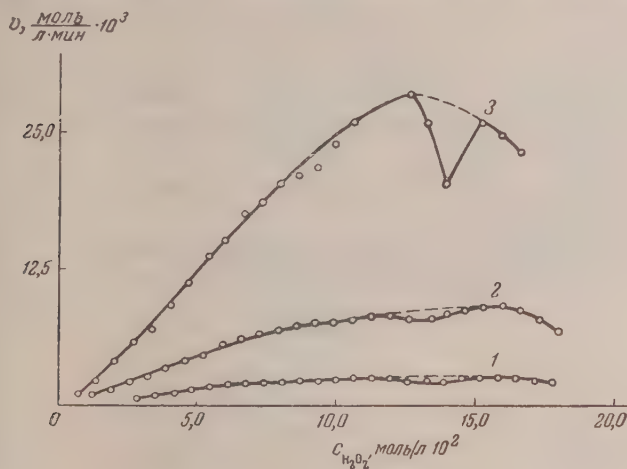


Рис. 4

В присутствии щелочи уменьшаются значения температурного коэффициента и энергии активации: они равны соответственно 3,02 и 17,7 ккал.

На рис. 5 изображены кривые, характеризующие зависимость скорости катализа от температуры в кислой среде. Кривые 1, 2 и 3 соответствуют температурам 15, 25 и 35° С, тем же концентрациям катализаторов и  $c_{\text{HCl}} = 0,004 \text{ M}$ ; кривые 4, 5, 6 получены в условно-нейтральной среде. Температурный коэффициент и энергия активации процесса в кислой среде имеют более высокие значения, чем в нейтральной среде. Они равны:  $\gamma = 3,6$ ,  $E = 20,6 \text{ ккал}$ .

Следовательно, изменение температуры реакционной смеси в присутствии кислоты в данном случае катализа вызывает небольшие изменения характера возникающих промежуточных соединений.

Зависимость скорости катализа от условий образования катализаторов. Исходя из предположения, что в состав промежуточных соединений входят стронций и молибдат-ион (или пермолибдат), были проведены параллельные опыты, в которых в одном случае в субстрат вносились порознь хлорид стронция и молибдат натрия, а в другом случае — готовый молибдат стронция, полученный реакцией обмена:



Результаты этих опытов представлены в виде кривых на рис. 6. Кривая 3 получена из опыта при раздельном внесении в субстрат — сначала хлорида стронция, а затем молибдата натрия; кривая 1 соответствует опыту, в котором в субстрат внесен предварительно полученный и тщательно промытый молибдат стронция; кривая 2 получена из опыта, в котором в субстрат, кроме молибдата стронция, внесен хлорид



натрия. Температура опытов  $35^\circ\text{C}$ ,  $c_{\text{Na}_2\text{MoO}_4} = c_{\text{SrCl}_2} = c_{\text{SrMoO}_4} = 0,008$ ,  $c_{\text{NaCl}} = 0,016\text{M}$ ,  $c_{\text{H}_2\text{O}_2} = 0,18\text{M}$ .

Кривые имеют одинаковый характер, но резко отличаются по абсолютному значению скорости реакции. Может возникнуть предположение, что резкое уменьшение скорости реакции в опыте, проведенном с одним молем стронция, связано с тем, что в растворе отсутствовали ионы натрия.

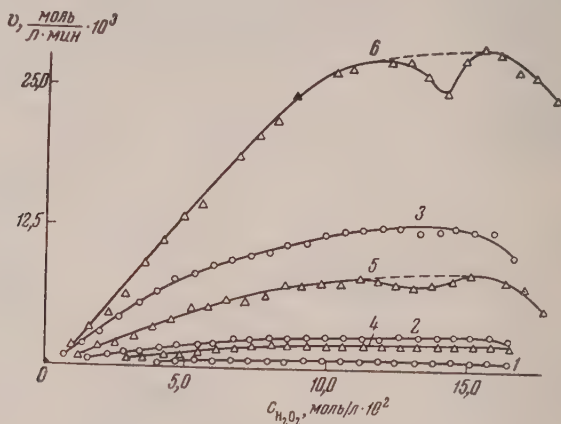


Рис. 5

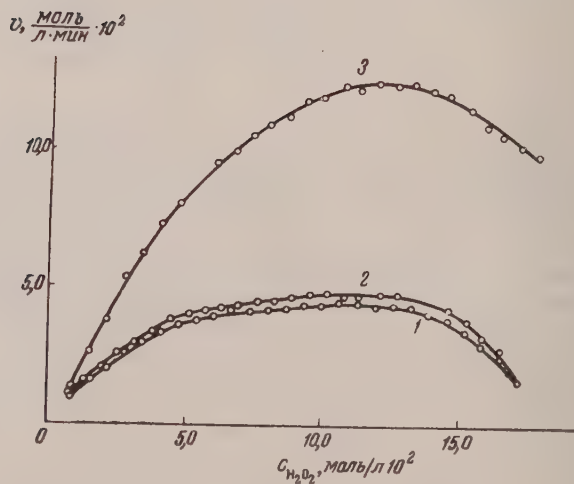


Рис. 6

и ионы хлора, вводимые в смесь в составе молибдата натрия и хлорида стронция. Однако контрольный опыт, которому соответствует кривая 3, проведенный с молибдатом стронция в присутствии хлорида натрия, устраивает это предположение, потому что кривые 1 и 2 практически совпадают.

Причина резкого уменьшения скорости реакции в опытах, проведенных с готовым молибдатом стронция, скрывается в том, что концентрации активных промежуточных перекисных соединений в условиях опыта гораздо меньше, чем та, которая имеет место в случаях внесения в сустрат раздельно хлорида стронция, а затем молибдата натрия. Визуальные колориметрические наблюдения приводят к такому же заключению.

Результаты измерения электропроводности. На рис. 7 показаны результаты измерения электропроводности растворов, в которых проводился катализ. Кривые 1—5 характеризуют скорость катализа при различных значениях pH реакционной смеси, а электропроводность растворов этой серии опытов передана кривыми 1', 2', 3', 4' и 5'. Кривые 3 и 3' получены из опыта в нейтральной среде, кривые 2 и 1 (2' и 1') — в кислой среде при концентрациях HCl, равных соответственно 0,004 и 0,008 М, кривые 4 и 5 (4' и 5') получены в щелочной среде при кон-

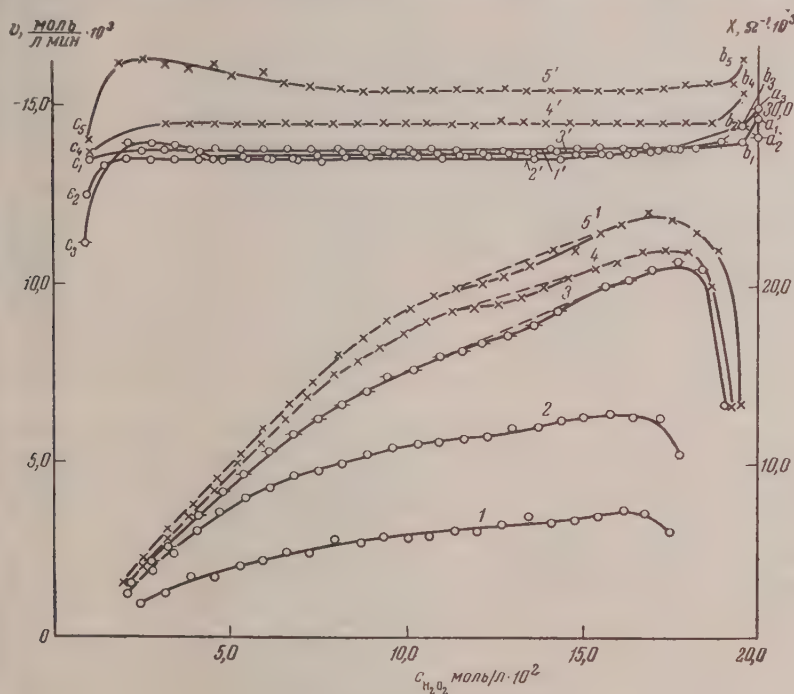


Рис. 7

центрациях NaOH, равных соответственно 0,004 и 0,008 М. Во всех опытах концентрация катализаторов равна 0,016 М, температура 25° С.

При выполнении этой серии опытов соблюдалась следующая последовательность операций:

В реакционную колбу, снабженную гладкими платиновыми электродами, вводились растворы катализаторов и кислоты; колба помещалась в термостат и, когда смесь принимала температуру опыта, измерялась электропроводность раствора (точки  $a_1, a_2, a_3$ ), прибавлялась к раствору концентрированная перекись водорода, нагретая той же температуры, быстро перемешивалась с раствором, и снова измерялась электропроводность смеси (точки  $b_1, b_2, b_3, b_4, b_5$ ) (щелочь вместе с молибдатом натрия прибавлялась к раствору, содержащему перекись водорода и хлорид стронция); затем при непрерывном перемешивании реакционной смеси производились отсчеты времени и электропроводности через каждые два миллилитра выделявшегося кислорода. Когда концентрация перекиси водорода оставалась незначительной, реакционная смесь — для завершения распада перекисей — выдерживалась 25—30 мин. в водной бане при 70—80°С, потом охлаждалась до 25°С, и производилось последнее измерение ее электропроводности (точки  $c_1, c_2, c_3, c_4, c_5$ ).

Таким образом, кривые 1', 2', 3', 4', 5' характеризуют изменение электропроводности растворов, в которых происходил изучаемый катализ, от самого начала процесса до полного его завершения.

Анализ этих кривых в совокупности с учетом условий, при которых они получены, приводит к выводам, что промежуточные перекисные соединения обладают более низким значением электропроводности, чем нор-

мальные соли, послужившие для их формирования; промежуточные соединения образуются с большой скоростью, а скорость их распада определяет собой скорость катализа; состав промежуточных продуктов, определяющих электропроводность, остается постоянным на всем протяжении процесса катализа, если, конечно, концентрация перекиси водорода достаточна для их возникновения и существования.

Электропроводность растворов, в которые была введена кислота имеет то же значение, которое характерно для условно-нейтральных растворов. Этот факт с несомненностью указывает на то, что ионы водорода поглощаются возникающими в процессе катализа соединениями и входят в их состав. Если бы ионы водорода оставались в растворе в свободном состоянии, то они, как обладающие наибольшей подвижностью, резко повысили бы электропроводность кислых растворов по сравнению с той, которой обладают условно-нейтральные растворы при одинаковых концентрациях других компонентов.

Электропроводность щелочных растворов выше электропроводности нейтральных растворов. На основе факта, что титрованием реакционной смеси после опытов, проведенных с участием щелочи, во всех случаях обнаруживались ионы гидроксидов, можно с некоторой степенью вероятности считать, что эти ионы не входят в состав промежуточных соединений, и их концентрация, по крайней мере частично, сохраняется в растворе в течение всего опыта. Тогда естественным будет повышение электропроводности щелочных растворов сравнительно с величиной электропроводности нейтральных растворов.

Однако присутствие в растворе ионов гидроксидов в конце опытов может найти свое объяснение и в том, что эти ионы, войдя в состав промежуточных продуктов в начале опыта, освобождаются и снова переходят в раствор в результате полного распада промежуточных перекисных соединений в конце процесса.

Затруднение решения вопроса о судьбе и роли ионов гидроксидов в данном электропроводности растворов увеличивается тем, что в растворе в составе щелочи вводятся ионы натрия. В самом деле, если даже признать, что ионы гидроксидов входят в состав промежуточных соединений и, как таковые, не участвуют в переносе электричества, то и в этом случае повышение электропроводности щелочных растворов неизбежно вследствие увеличения концентрации ионов натрия.

В конце опытов, проведенных в нейтральной и щелочной среде (кривые 3' и 5'), электропроводность растворов возрастала и почти достигала того значения, которое было зафиксировано в момент введения в реакционную смесь перекиси водорода. Эти участки кривых, по-видимому, соответствуют процессу распада перекисных ионов. В опыте, проведенном в присутствии щелочи, кроме этого, возможно, произошло повышение концентрации ионов гидроксидов в результате распада промежуточных перекисных соединений, если, конечно, справедливо предположение, что промежуточные соединения, возникающие в щелочной среде, содержат в своем составе ионы гидроксидов.

Резкое падение электропроводности растворов в конце опытов (точки  $c_1$ ,  $c_3$ ,  $c_4$ ,  $c_5$ ) являются неизбежным следствием образования плохо растворимой соли  $StMoO_4$  после разрушения перекисных соединений. Исключением является кривая, соответствующая опыту, проведенному при  $c_{HCl} = 0,008 M$ . В этом случае в процессе реакции образуется, по-видимому, кислая соль, лучше растворимая, чем соль нормальная. Действительно в конце этого опыта выпало значительно меньше осадка, чем в других опытах данной серии.

Таким образом, измерение электропроводности растворов в процессе изучения кинетики катализа является надежной опорой для большинства тех заключений, которые вытекают из анализа кинетических кривых. Точки зрения теории промежуточных соединений в гомогенном катализе



## Выводы

1. Исследовано газометрически и кондуктометрически влияние различных факторов на скорость каталитического разложения перекиси водорода в растворе при совместном действии молибдата натрия и хлорида стронция. Изученный катализ является гомогенным и обратимым. Скорость реакции уменьшается с увеличением концентрации ионов стронция и ионов водорода. Чем больше концентрация ионов гидроксила, тем отчетливей выражен максимум скорости и тем дальше он располагается от начала координат.

2. Электропроводность смеси вначале падет, затем в зависимости от pH либо остается постоянной, либо возрастает, почти достигая своего первоначального значения, и в конце процесса падает. При  $\text{pH} \leq 7$ ,  $\partial x / \partial c_{\text{OH}^+} = 0$ , при  $\text{pH} > 7$   $\partial x / \partial c_{\text{OH}^-} > 0$ .

3. Энергия активации  $E$  изменяется в пределах 17,7—20,6 ккал — в зависимости от pH и по мере хода процесса катализа. Характер изменения  $E$ , кинетических кривых приводит к предположению о возникновении в системе не менее трех промежуточных продуктов, различных по составу и свойствам.

Московский энергетический  
институт

Поступила  
12.I.1957

## ЛИТЕРАТУРА

- Г. А. Богданов, Т. И. Беркенгейм и В. А. Щербинин, Ж. физ. химии, **30**, 889, 1956.  
Г. В. Купинская и Е. А. Шилов, Тр. Ивановск. хим-технол. ин-та, Облгосиздат, Иваново, 1949; Е. А. Шилов и З. С. Степанова, Ж. физ. химии, **24**, 820, 1950; Е. А. Шилов, Ж. физ. химии, **27**, 1103, 1953.  
Л. А. Николаев, Вестн. Моск. ун-та, **2**, 105, 1946; **1**, 71, 1947; **7**, 147, 1947; **10**, 169, 1948; **8**, 83, 1948; Л. А. Николаев, Докл. АН СССР, **55**, 335, 1947; Л. А. Николаев, Ж. физ. химии, **25**, 1427, 1951; **25**, 1437, 1951; **27**, 1992, 1953.  
С. А. Валезин, Уч. зап. Моск. гос. пед. ин-та им. В. И. Ленина, **39**, 7, 1946.

# FURTHER MATERIAL ON THE THEORY OF THE JOINT ACTION OF CATALYSTS IN SOLUTION

## II. THE KINETICS OF THE CATALYTIC DECOMPOSITION OF HYDROGEN PEROXIDE BY THE JOINT ACTION OF STRONTIUM AND MOLYBDENUM SALTS

V. A. Shcherbinin and G. A. Bogdanov (Moscow)

### S u m m a r y

The kinetics of the  $\text{H}_2\text{O}_2$  catalysis in solution under the joint action of  $\text{Na}_2\text{MoO}_4$  and  $\text{SrCl}_2$  have been studied gasometrically and by electrical conductivity measurements.

Strontium ions lower the catalytic activity of sodium molybdate; the greater the concentration of strontium chloride, the less being the rate of reaction. The kinetic curves, of first order, have a maximum-minimum-maximum shape or a maximum only. The reaction rate and the character of the curve depend on the pH, the maximum being the lower, the less the pH value. As the pH increases, the maxima become more definitely expressed and shift further from the origin.

The electrical conductivity of mixtures first falls then remains constant or first increases and then falls.

As the catalysis proceeds and the pH changes, the activation energy varies within the limits 17.7—20.6 kg. cal.

The complexity of the reaction observed is explained by the formation of at least three intermediates differing in composition and properties.

# ЗАКОНОМЕРНОСТИ ЗАМЕЩЕНИЯ ВОДОРОДНЫХ АТОМОВ В БЕНЗОЛЬНОМ ЯДРЕ АЛКИЛЬНЫМИ ГРУППАМИ. IV

В. Г. Плюнин и А. П. Лысенко

При алкилировании бензола *n*-бутиленом в присутствии фтористого водорода образуются бутилбензолы с числом алкильных групп не больше двух. Таким образом если допустить, что реакция алкилирования бензола *n*-бутиленом идет последовательно, то ее можно представить идущей по схеме:



где  $k_i$  — константа скорости реакции.

В предыдущих статьях [1, 2] было показано, что реакция замещения водородных атомов в бензольном ядре является последовательной реакцией первого порядка. В этих же статьях приводятся уравнения состава продуктов алкилирования, откуда следует, что для последовательной реакции, идущей в две ступени, уравнения состава продуктов алкилирования представляются в следующем виде:

$$\begin{aligned} c_0 &= ce^{-kt}, \\ c_1 &= c \left[ \frac{1}{a_2-1} e^{-kt} \frac{1}{1-a_2} e^{-a_2 kt} \right], \\ c_2 = x_2 &= c \left[ 1 \frac{a_3}{(a_2-1)(a_3-1)} e^{-kt} - \frac{a_2}{(1-a_2)(a_3-a_2)} e^{-a_2 kt} - \frac{a_3}{(1-a_3)(a_2-a_3)} e^{-a_3 kt} \right], \end{aligned} \quad (1)$$

где  $C_i$  — молярные проценты;  $a = k_2/k_1$ ,  $k = k_1$ .

Для проверки применимости этих уравнений к случаю алкилирования бензола *n*-бутиленом и для установления соотношения констант скорости образования моно- и дибутилбензолов были использованы опытные данные, приведенные в табл. 1. Эти данные были получены при алкилирова-

Таблица 1

Состав продуктов алкилирования бензола *n*-бутиленом в весовых процентах ( $p_i$ ) в зависимости от молярного соотношения  $n$

Молярное соотношение $n$	Состав системы *			Баланс по олефину	
	$p_0$	$p_1$	$p_2$	исходя из $n$	по результатам разгонки
0,123	81,0	17,5	1,5	8,1	8,2
0,171	74,8	22,7	2,5	10,9	11,0
0,241	65,5	29,1	4,4	14,7	14,7
0,345	54,7	37,7	7,6	19,8	20,1
0,500	42,1	43,4	14,5	26,4	26,6
1,000	14,0	48,5	37,5	41,8	42,3
1,390	5,0	34,5	60,5	49,9	50,0

\* Индекс при  $p$  указывает на число алкильных групп в бензольном ядре.

нии бензола *n*-бутиленом в присутствии фтористого водорода, методом, описанным в [2] при поступлении *n*-бутилена в реактор с постоянной ско-

остью, равной 98 г *n*-бутилена на 1 л бензола в час. Было установлено, что эта скорость является оптимальной и обеспечивающей максимальные выходы бутилбензолов.

При разгонке продуктов алкилирования бензола *n*-бутиленом на колонке эффективностью в 28 теоретических тарелок были получены резко выраженные площадки на кривых разгонки для бензола, моно- и дибутилбензола. Выход промежуточных фракций колебался в пределах 1,5–2,5% и, как показали исследования, фракции состояли преимущественно из бензола или алкилбензола с более низкой температурой кипения.

Учитывая это, мы считали за содержание бензола в продуктах алкилирования фракцию 78–165°, за содержание монобутилбензола — фракцию 165–200°. Остаток выше 20° представлял собой дибутилбензол.

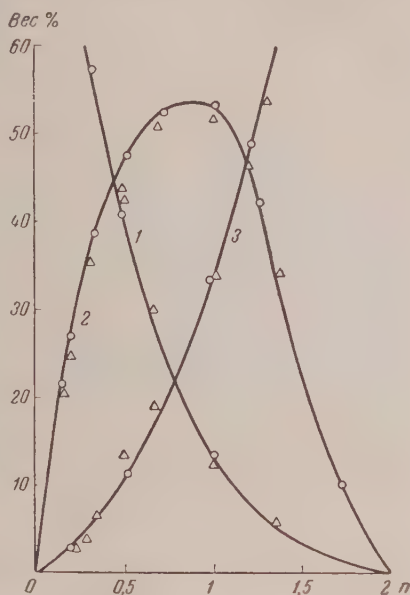
Насколько правильно было выбрано такое деление продуктов алкилирования, видно из табл. 1, где рассчитано количество олефина в смеси, исходя из молярного соотношения *n* и по результатам разгонки продуктов алкилирования. Сравняя эти результаты, можно видеть, что расхождение между ними невелико и находится в пределах ошибки эксперимента.

С другой стороны, учитывая, что расхождение в балансе по олефину колеблется примерно в одних и тех же пределах, независимо от молярного соотношения, можно считать, что заметной полимеризации *n*-бутилена в процессе алкилирования не было. Следовательно, можно полагать также, что все количество израсходованного олефина пошло на образование алкилбензолов. Такие условия алкилирования были названы нормальными, а выходы продуктов алкилирования в нормальном процессе — теоретическими.

Исследования показали, что при алкилировании бензола *n*-бутиленом, как и следовало ожидать, образуется моно-*втор*- и ди-*втор*-бутилбензолы. Методом окисления перманганатом и азотной кислотой было доказано, что ди-*втор*-бутилбензольная фракция содержит преимущественно пара-изомер с небольшим содержанием мета-изомера.

Как уже сообщалось [2], для нормальных условий алкилирования можно воспользоваться уравнениями (1) для установления соотношения констант скорости образования бутилбензолов. Определение постоянной *k* при различных молярных соотношениях дало величину, близкую к 0,5. При соотношении  $a = 0,5$  уравнения состава представляются в виде:

$$\begin{aligned} c_0 &= 100e^{-kt}, \\ c_1 &= 100(2e^{-0,5kt} - 2e^{-kt}), \\ c_2 &= 100(1 - 2e^{-0,5kt} + e^{-kt}). \end{aligned} \quad (2)$$



Кривые зависимости весового состава продуктов алкилирования бензола *n*-бутиленом от молярного соотношения реагирующих компонентов *n* [рассчитано по уравнениям (2) и (3)]: 1 — бензол; 2 — моно-*втор*-бутилбензол; 3 — ди-*втор*-бутилбензол



Молярные соотношения  $n$  при различных значениях  $kt$ , определенные по уравнению (3), приводятся в табл. 2.

$$n = \frac{c_1 + 2c_2}{100} = 2 - 2e^{-0,5kt} \quad (3)$$

Таблица 2

$kt$	0,1	0,2	0,4	0,8	1,0	2,0	4,0	6,0
$n$	0,078	0,156	0,310	0,625	0,780	1,263	1,730	1,900

На рисунке представлены кривые изменения состава продуктов алкилирования бензола  $n$ -бутиленом в весовых процентах в зависимости от молярного соотношения  $n$ . На этом же рисунке нанесены точки по экспериментальным данным, приведенным в табл. 1. Как видно по расположению экспериментальных точек около теоретических кривых, сходимость хорошая.

Учитывая, что в рассматриваемом процессе весь  $n$ -бутилен расходовался только на образование моно- и ди-*втор*-бутилбензолов, полученное соотношение между константами скорости характеризует реакционную способность бензола и моно-*втор*-бутилбензола. Из соотношения этих констант следует, что бензол в два раза более реакционноспособен в реакции замещения водородного атома в бензольном ядре вторичной бутильной группой, чем моно-*втор*-бутилбензол.

### Выводы

1. Установлено соотношение между константами скорости образования вторичных бутилбензолов.
2. Даются уравнения, позволяющие установить состав продуктов алкилирования бензола  $n$ -бутиленом в зависимости от молярного соотношения  $n$ -бутилен-бензол.

Уральский филиал Академии наук СССР  
Свердловск

Поступила  
20.I.1957

### ЛИТЕРАТУРА

1. В. Г. Плюснин и Н. М. Родигин, Ж. физ. химии, **31**, 2066, 1957.
2. В. Г. Плюснин, А. П. Лысенко и Е. П. Бабин, Ж. физ. химии, **31**, 2225, 1957.

### CORRELATIONS IN THE ALKYL SUBSTITUTION OF HYDROGEN IN THE BENZENE RING

#### IV. THE RATIO BETWEEN THE CONSTANTS OF THE RATES OF FORMATION OF BUTYLBENZENES AND THE EQUATIONS FOR THE COMPOSITION OF THE PRODUCTS OF BENZENE ALKYLATION BY $n$ -BUTYLENE IN THE PRESENCE OF HYDROGEN FLUORIDE

V. G. Plusnin and A. P. Lysenko (Sverdlovsk)

#### Summary

The ratio between the rate constants of formation of butylbenzenes has been established.

Equations are presented permitting the composition of the products of alkylation of benzene by  $n$ -butylene to be calculated in relation to the molar ratio of  $n$ -butylene to benzene.

ТЕПЛОТА ИСПАРЕНИЯ, ПОВЕРХНОСТНОЕ НАТЯЖЕНИЕ  
ОРТОБАРИЧЕСКИЕ ПЛОТНОСТИ СИСТЕМ ЖИДКОСТЬ — ПАР

С. Т. Бонден

Несколько лет назад нами было показано, что теплота испарения жидкостей  $\lambda$  и поверхностное натяжение  $\sigma$  связаны соотношением

$$\lambda = k\sigma^m, \quad (1)$$

где  $k$  и  $m$  — постоянные. Ту же зависимость недавно предложил Р.З. Магарил [2], причем он вычислил значения постоянных, пользуясь значениями  $\lambda$  и  $\sigma$  при нескольких температурах. Нами применен более точный метод, в котором значения этих величин брались в температурном интервале  $2^\circ$ , приравнивались логарифмы обеих частей выражения (1), и к системе полученных таким образом уравнений применялся метод наименьших квадратов. В табл. 1 приведены вычисленные указанным способом значения  $k$  и  $m$  для девяти жидкостей, для которых известно  $\sigma$  вблизи критической точки. При вычислении использовались данные Международных критических таблиц.

Взяв для неассоциированных веществ среднее значение  $m$ , получаем следующую зависимость

$$\lambda = k'\sigma^{1/4}. \quad (2)$$

Применимость уравнения (1) к четыреххлористому углероду и этиловому спирту и уравнения (2) к этиловому эфиру показана в табл. 2.

Предложенное нами уравнение, описывающее изменение теплоты испарения с изменением разности ортобарической плотности [3], такое же, какое дано Р. З. Магарилом в виде

$$\lambda = C(d_0 - d)^n, \quad (3)$$

где  $d_0$  — плотность жидкости,  $d$  — плотность насыщенного пара,  $C$  и  $n$  — постоянные для данного вещества. Используя данные Международных критических таблиц, вышеописанным способом нами вычислены значения постоянных ряда жидкостей. Результаты вычисления даны в табл. 3.

Применимость уравнения (3) к типичной неассоциированной жидкости к ассоциированному веществу показана в табл. 4.

Для неассоциированных жидкостей среднее значение  $n$  равно 1,237, т. е. приблизительно  $5/4$ , так что можно писать

$$\lambda = C_1(d_0 - d)^{5/4}, \quad (4)$$

где  $C_1$  — постоянная для данного вещества. Полезность этого уравнения при вычислении теплоты испарения показана на примере пентана ( $C_1 = 159,2$ ), данные для которого приведены в табл. 5.

Таблица 1

Вещество	$k$	$m$
Этиловый эфир	35,18	0,3196
Четыреххлористый углерод	18,29	0,3086
Бензол	36,57	0,3112
Хлорбензол	29,79	0,3067
Метилформиат	38,52	0,3427
Этилацетат	33,90	0,3308
Метиловый спирт	90,30	0,3621
Этиловый спирт	70,65	0,3661
Уксусная кислота	51,26	0,2147

Таблица 2

Т, °K	$\sigma$ , дин/см	$\lambda$ , кал/г	$\lambda_{\text{выч}}$ , кал/г
-------	-------------------	-------------------	--------------------------------

## Четыреххлористый углерод

273,16	29,49	51,9	52,0
353,16	19,62	46,0	45,8
373,16	17,27	44,2	44,1
393,16	14,98	42,1	42,2
413,16	22,76	39,9	40,1
433,16	10,60	38,0	37,9
453,16	8,53	35,4	35,4
473,16	6,55	32,6	32,7
493,16	4,67	29,5	29,4
513,16	2,93	25,6	25,5
533,16	1,36	20,1	20,1

## Этиловый спирт

293,16	22,3	220,6	220,1
353,16	18,0	206,4	203,5
383,16	14,5	190,3	188,0
413,16	11,3	171,1	171,9
443,16	7,9	148,4	150,2
473,16	4,3	116,6	120,1
503,16	1,0	70,6	69,3

Этиловый эфир  $\lambda = 35,68 \sigma^{5/4}$ 

293,16	17,3	87,5	87,0
333,16	12,5	78,4	78,6
373,16	8,1	68,4	68,5
413,16	4,03	55,3	55,2
453,16	0,74	31,9	32,5

Таблица 3

Вещество	$\Gamma$	$C$	$n$	Вещество	$C$	$n$
<i>n</i> -Пентан	157,7	1,237	Этилформиат	114,1	1,28	
Изопентан	151,4	1,241	<i>n</i> -Пропилформиат	107,7	1,22	
<i>n</i> -Гексан	146,6	1,247	Метилацетат	115,3	1,26	
Диизопропил	137,8	1,268	Этилацетат	109,6	1,26	
<i>n</i> -Гептан	138,8	1,237	<i>n</i> -Пропилацетат	106,8	1,26	
<i>n</i> -Октан	130,1	1,224	Метилпропионат	107,8	1,25	
Диизобутил	118,0	1,195	Этилпропионат	104,1	1,24	
Четыреххлористый углерод	29,0	1,177	Метилбутират	102,3	1,23	
Бензол	121,2	1,205	Метилизобутират	100,7	1,27	
Фторбензол	83,9	1,228	Четыреххлористое олово	13,2	1,23	
Хлорбензол	77,1	1,228	Вода	562,5	1,19	
Иодбензол	40,5	1,263	Метиловый спирт	393,6	1,38	
Этиловый эфир	28,9	1,241	Этиловый спирт	314,2	1,42	
Ацетон	127,7	1,174	<i>n</i> -Пропиловый спирт	266,4	1,60	
Метилформиат	175,2	1,106	Уксусная кислота	108,8	1,03	
Бромбензол	119,2	1,282				



Таблица 4

$t, ^\circ\text{K}$	$d_0 - d$	$\lambda, \text{кал/г}$	$\lambda_{\text{выч}}, \text{кал/г}$	$T, ^\circ\text{K}$	$d_0 - d$	$\lambda, \text{кал/г}$	$\lambda_{\text{выч}}, \text{кал/г}$
Хлорбензол				Вода			
3,16	1,1278	89,8	89,4	373,16	0,9578	537,5	534,5
3,16	0,9680	73,4	74,1	393,16	0,9423	523,0	524,0
3,16	0,9412	71,3	71,6	413,16	0,9244	508,5	512,1
3,16	0,9122	69,0	68,9	433,16	0,9042	494,2	498,8
3,16	0,8804	65,8	65,9	453,16	0,8814	479,7	483,9
3,16	0,8458	62,9	62,8	473,16	0,8549	465,3	466,5
3,16	0,8058	59,5	59,1	493,16	0,8254	449,5	447,4
3,16	0,7599	55,2	55,0	513,16	0,7922	429,5	426,0
3,16	0,7342	52,6	52,7	533,16	0,7553	402,5	402,4
				543,16	0,7369	390,3	390,3

Преобразуя уравнение (4) в

$$\frac{\lambda^{1/2}}{d_0 - d} = C_1$$

умножая обе стороны на значение молекулярного веса  $M$ , получаем

$$\frac{M\lambda^{1/2}}{d_0 - d} = MC_1 = L, \quad (5)$$

где  $L$  — величина, которую можно назвать липарахором. Подобно парахору [4],  $L$  является аддитивной величиной, и ее значение можно вычислить из следующих атомных и структурных констант:

C 1193,6	Bi 217,2	O (сложный эфир) 903,6
H 844,8	J -17,2	Разветвленная C цепь 132,7
N 112,7	O (эфир) 178,3	Связи бензольного кольца 5788,6
Cl 873,9	O (кетон) 2092,1	Циклогексановое кольцо 1166,1

Сегден [5] показал, что для неассоциированных веществ

$$d_0 - d = d_1 (1 - T/T_c)^{1/10},$$

где  $T$  — температура  $^\circ\text{K}$ ,  $T_c$  — критическая температура и  $d_1$  — постоянная для данного вещества. При нормальной точке кипения  $T_b$  плотностью пара можно пренебречь по сравнению с плотностью жидкости,

так что

$$(d_0)_b = d_1 \left(1 - \frac{T_b}{T_c}\right)^{1/10}$$

$$d_0 - d = (d_0)_b \left(\frac{T_c - T}{T_c - T_b}\right)^{1/10}. \quad (6)$$

Ранее мы показали [6], что

$$T_c = 3PT_b/4V_b,$$

где  $V_b$  — молярный объем жидкости при точке кипения и  $P$  — парахор, значение которого дается выражением  $M\sigma^{1/2}/(d_0 - d)$ .

Заменяя  $T_c$  в уравнении (6), получаем

$$d_0 - d = (d_0)_b \left(\frac{3PT_b - 4V_b T}{3PT_b - 4V_b T_b}\right)^{1/10},$$

Таблица 5

$T, ^\circ\text{K}$	$d_0 - d$	$\lambda, \text{кал/г}$	$\lambda_{\text{выч}}, \text{кал/г}$
273,16	0,6446	93,4	92,0
313,16	0,6028	84,3	84,6
333,16	0,5790	80,1	80,4
353,16	0,5523	75,3	75,8
373,16	0,5214	69,9	70,5
393,16	0,4857	64,5	64,6
413,16	0,4401	56,6	57,1
433,16	0,3803	47,4	47,5
453,16	0,2932	35,0	34,4

и так как  $V_b = M/(d_0)_b$ , уравнение (5) превращается

$$\lambda = \left(\frac{L}{V_b}\right)^{5/4} \left(\frac{3PT_b - 4V_b T}{3PT_b - 4V_b T_b}\right)^{3/4}. \quad (7)$$

Поскольку  $P$  и  $V_b$  являются аддитивными величинами, можно вычислить теплоту испарения для любой температуры из соответствующих атомных и структурных констант.

При точке кипения жидкости теплота испарения определяется уравнением

$$\lambda_b = \left(\frac{L}{V_b}\right)^{5/4}. \quad (8)$$

Значения  $\lambda_b$ , приведенные в табл. 6, были получены из уравнения (8) причем использовались теоретически вычисленные значения лиопарахов и экспериментальные значения  $V_b$ .

Таблица 6

Вещество	$L$	$V_b$	$\lambda_b$	$\lambda_b$ выч
<i>n</i> -Пентан	4170	118,2	85,47	85,98
<i>n</i> -Октан	5660	187,8	70,80	70,62
Четыреххлористый углерод	2300	104,1	46,43	47,9
Этилацетат	3790	106,8	86,25	86,66
Бензол	3700	95,9	94,87	96,16
Этилбензол	4690	137,6	81,46	82,40
<i>m</i> -Ксилол	4690	138,0	81,87	82,06
Фторбензол	3380	101,8	79,30	79,69
Йодбензол	2830	130,3	46,31	46,89
Четыреххлористое олово	2060	131,6	30,90	31,15

| Хотя уравнение (7) можно использовать для вычисления теплоты испарения при различных температурах, более точные значения получаются из уравнения

$$\lambda = \frac{\Delta S_b T_b}{M} \left(\frac{3PT_b - 4V_b T}{3PT_b - 4V_b T_b}\right)^{5/4}, \quad (9)$$

где  $\Delta S_b$  — энтропия испарения (постоянная Трутона) при точке кипения [7].

### Выводы

1. Уравнения, предложенные Р. З. Магарилом для установления зависимости между теплотой испарения жидкости и ее поверхностным натяжением и плотностью, были опубликованы ранее и для неассоциированных жидкостей могут быть даны в общем виде.

2. Применив общее уравнение зависимости температуры испарения от разности ортобарических плотностей, можно получить выражение для лиопарахора, являющегося аддитивной величиной.

3. Теплоту испарения можно определить из данных по лиопарахору, парохору и молярному объему при точке кипения, причем каждую из величин можно вычислить, суммируя соответствующие атомные и структурные константы.

Университетский колледж  
Кардиф

Поступила  
15.I.1957

### ЛИТЕРАТУРА

1. W. J. Jones and S. T. Bowden, Philos. Mag., **37**, 480, 1946.
2. Р. З. Магарил, Ж. физ. химии, **29**, 1301, 1955.
3. S. T. Bowden and W. J. Jones, Philos. Mag., **34**, 155, 1948.
4. S. Sugden, J. Chem. Soc., **125**, 1177, 1924.
5. S. Sugden, J. Chem. Soc., 1780, 1937.
6. S. T. Bowden, Nature, **174**, 613, 1954.
7. S. T. Bowden, J. Chem. Phys., **23**, 2454, 1955.

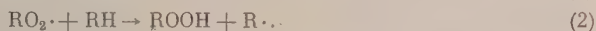
## ОБ УЧАСТИИ СОЛЕВЫХ КАТАЛИЗАТОРОВ В РЕАКЦИИ ПРОДОЛЖЕНИЯ ЦЕПИ ПРИ ЖИДКОФАЗНОМ ОКИСЛЕНИИ УГЛЕВОДОРОДОВ

*Е. Т. Денисов*

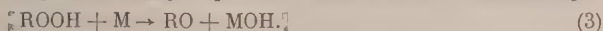
Изучение катализа солями металлов в процессах окисления углеводородов представляет существенный научный интерес. За последние годы опубликован ряд работ, в которых обсуждаются возможные механизмы катализа солями металлов и органических кислот в процессах окисления углеводородов [1—7]. Сложность самого вопроса и недостаточность имеющегося экспериментального материала обуславливают известный произвол, который допускается при трактовке экспериментального материала различными авторами. Однако несмотря на различие точек зрения в этом вопросе, существующие представления о катализе солями металлов при окислении углеводородов сводятся к тому, что такого рода катализаторы обеспечивают тем или иным путем высокую скорость зарождения цепей.

Экспериментальные данные, полученные при изучении каталитического окисления циклогексана [6], привели к новому весьма интересному теоретической точки зрения выводу об участии такого рода катализаторов не только в процессах зарождения и гибели реакционных цепей, а и в процессах продолжения цепей. В настоящей работе на основе теории цепных реакций с вырожденными разветвлениями рассматриваются факты, указывающие на возможность такого рода реакций, и обсуждаются новые экспериментальные данные, доказывающие правильность такого рода представлений.

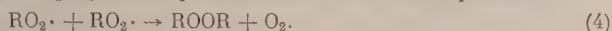
Из имеющегося экспериментального материала по каталитическому окислению углеводородов хорошо известно, что многие солевые катализаторы заметно снижают концентрацию гидроперекисей при реакции окисления. Обычно это объясняют быстрым распадом гидроперекисей под действием катализатора. Однако анализ этого предположения на основе представлений о цепном характере процессов окисления углеводородов и сопоставление выводов с экспериментальными данными доказывают неадекватность подобного объяснения. В этом можно убедиться, рассмотрев следующую распространенную схему катализированного окисления углеводородов. Развитие цепи происходит в результате чередования следующих двух реакций:



В присутствии достаточного количества растворенного кислорода скорость процесса определяется скоростью реакции (2). Появление новых свободных радикалов происходит в основном за счет распада гидроперекиси под действием катализатора:



Обрыв цепей происходит в результате рекомбинации свободных радикалов



Существенной для дальнейшего рассмотрения особенностью данной схемы является то, что все радикалы  $ROO \cdot$  превращаются в гидроперекись (за исключением рекомбинирующих радикалов), а единственной реакцией расходования гидроперекиси является реакция (3). Расчет по этой схеме при условии стационарности концентрации свободных радикалов приводит к следующему выражению для величины максимальной концентрации гидроперекиси в реакции окисления

$$[ROOH]_{\max} = \frac{k_2^2 [RH]^2}{k_3 k_4 [M]}.$$



Это выражение согласуется с экспериментальными данными по зависимости максимальной концентрации гидроперекиси от концентрации введенного солевого катализатора, но приведенная выше схема противоречит другим экспериментальным фактам.

Во-первых, согласно этой схеме, начиная с момента достижения максимальной концентрации гидроперекиси, реакция из цепи превращается в радикальную, т. е. как скорость реакции продолжения цепи  $k_2[RH][RO_2]$  делается равной скорости реакции зарождения свободных радикалов  $k_3[ROOH][M]$ , что противоречит экспериментальным данным, в частности результатам опытов по ингибированию развившейся реакции катализированного окисления циклогексана [8].

Во-вторых, максимальная скорость поглощения кислорода по этой схеме не зависит от катализатора, его концентрации и равна максимальной скорости поглощения кислорода в некатализированном окислении:

$$\left(-\frac{d[O_2]}{dt}\right)_{\text{кат макс}} = \left(-\frac{d[O_2]}{dt}\right)_{\text{некат макс}} = \frac{k_2^2[RH]^2}{k_4}.$$

На самом деле максимальная скорость поглощения кислорода в каталитическом окислении выше, чем при отсутствии катализа, и зависит от катализатора и его концентрации [2,3].

Серьезным упущением изложенной выше схемы является то, что она не учитывает реакции свободных радикалов с молекулами гидроперекиси, т. е. не учитывает цепного механизма распада гидроперекиси в условиях реакции окисления. Есть все основания полагать, что в условиях окисления углеводородов распад гидроперекиси протекает в основном цепным путем. Следовательно, изложенную выше схему необходимо дополнить реакцией свободных радикалов с гидроперекисью. Пусть константа скорости этой реакции будет  $k_5$ . Тогда для скорости накопления гидроперекиси получается уравнение:

$$\frac{d[ROOH]}{dt} = (k_2[RH] - k_5[ROOH])[RO_2],$$

откуда для максимальной концентрации гидроперекиси получается выражение

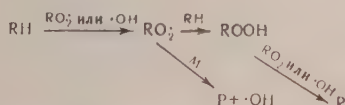
$$[ROOH]_{\text{макс}} = \frac{k_2[RH]}{k_5}.$$

Согласно такой схеме максимальная скорость окисления тем больше, чем больше концентрация катализатора, и реакция все время носит цепной характер. Но максимальная концентрация гидроперекиси по такой схеме не зависит от катализатора и его концентрации. Таким образом, эта схема также не объясняет всех имеющихся экспериментальных данных.

В основе рассмотренных выше схем лежит предположение об участии катализатора только в реакции инициирования цепей. Рассмотрение любых других схем, в которых катализатор принимает участие только в процессах инициирования и обрыва цепей, а гидроперекись образуется и расходуется цепным путем, приводит к аналогичным выводам. При изучении катализированного стеаратом кобальта окисления циклогексана нами были получены факты, указывающие на участие солевого катализатора в процессе продолжения цепи. Об этом говорит факт непосредственного влияния солей кобальта на соотношения концентраций образующихся при окислении циклогексана кетона и спирта [6].

При окислении циклогексана в автоклаве без солей кобальта концентрация циклогексанона в ходе опыта примерно в два раза больше концентрации циклогексанола [6]. В опытах с солями кобальта при той же температуре концентрация спирта, наоборот, больше концентрации кетона. Изменение соотношения концентраций спирта и кетона в присутствии катализатора нельзя объяснить иным распадом гидроперекиси в присутствии катализатора, так как гидроперекись циклогексана распа-

дется поровну на кетон и спирт как в присутствии катализатора — стеата кобальта, так и без него. Из опытов по ингибированию развившейся реакции каталитического окисления циклогексана известно, что кетон и спирт образуются и расходуются в реакции цепным путем. Поэтому посредственное влияние катализатора на соотношение скоростей накопления этих продуктов можно объяснить участием катализатора в реакции продолжения цепи. Участие катализатора в реакции продолжения цепи заключается, по-видимому, во взаимодействии катализатора со свободными радикалами, ведущими окисление, с образованием иных свободных радикалов. Поскольку при окислении углеводородов ведущим радикалом является радикал  $\text{ROO}\cdot$ , можно допустить взаимодействие катализатора с этим радикалом с образованием в результате такой реакции другого радикала, например  $\text{OH}\cdot$ , и молекулярных продуктов, отличных от гидроперекиси, например кетона или спирта. Рассмотрим ценную схему окисления углеводорода, дополненную такого рода реакцией:



По такой схеме молекула углеводорода, прореагировав со свободным радикалом, превращается в радикал  $\text{ROO}\cdot$ . Часть радикалов  $\text{ROO}\cdot$  реагирует с углеводородом, превращаясь в гидроперекись, часть реагирует с катализатором, образуя продукт  $\text{P}$  (кетон + спирт) и радикал  $\cdot\text{OH}$  (или любой другой радикал, отличный от  $\text{ROO}\cdot$ ). Гидроперекись цепным путем превращается в продукт  $\text{P}$ . Зарождение цепей происходит в результате реакции гидроперекиси с катализатором, обрыв цепей — квадратичный. Характерной чертой такой схемы является полноправное участие в процессе продолжения цепи наряду с радикалом  $\text{ROO}\cdot$  другого радикала (например,  $\text{OH}\cdot$ ). Обозначим через  $k'_2$  константу скорости реакции радикала  $\cdot\text{OH}$  с углеводородом, через  $k_6$  константу скорости реакции радикала  $\text{ROO}\cdot$  с катализатором. Для простоты расчета допустим, что радикалы  $\cdot\text{OH}$  реагируют с гидроперекисью и рекомбинируют так же, как радикалы  $\text{ROO}\cdot$ . Суммарная концентрация свободных радикалов равна:

$$n = [\text{RO}_2\cdot] + [\cdot\text{OH}] = \sqrt{\frac{k_2[\text{M}][\text{ROOH}]}{k_4}}$$

При достаточно длинных цепях и стационарном режиме реакции можно пренебречь скоростью обрыва и зарождения цепей по сравнению со скоростью реакции продолжения цепи. В этом случае радикалы  $\text{ROO}\cdot$  будут появляться со скоростью  $k'_2 [\text{RH}] [\cdot\text{OH}]$ , а исчезать со скоростью  $k_6 [\text{M}] [\text{RO}_2\cdot]$ . При стационарном режиме реакции эти скорости равны, откуда

$$[\text{RO}_2\cdot] = \frac{k'_2 [\text{RH}]}{k_6 [\text{M}]} [\cdot\text{OH}] \quad \text{или} \quad [\text{RO}_2\cdot] = \frac{k'_2 [\text{RH}]}{k'_2 [\text{RH}] + k_6 [\text{M}]} n.$$

Из этой схемы получается следующее уравнение для скорости накопления гидроперекиси:

$$\frac{d[\text{ROOH}]}{dt} = k_2 [\text{RH}][\text{RO}_2\cdot] - k_5 [\text{ROOH}] n = \left( \frac{k_2 k'_2 [\text{RH}]^2}{k_6 [\text{M}] + k'_2 [\text{RH}]} - k_5 [\text{ROOH}] \right) n,$$

откуда

$$[\text{ROOH}]_{\text{макс}} = \frac{k_2}{k_5} \frac{k'_2 [\text{RH}]^2}{k'_2 [\text{RH}] + k_6 [\text{M}]}.$$

Из выражения для максимальной концентрации гидроперекиси видно, что с увеличением концентрации катализатора концентрация гидроперекиси должна уменьшаться. При этом процесс все время остается цепным и максимальная скорость поглощения кислорода зависит от катализатора и его концентрации

$$\left(-\frac{d[O_2]}{dt}\right)_{\text{макс}} = k_2 [RH] \sqrt{\frac{k_2 k'_2 k_3 [RH]^2 [M]}{k_4 k_5 (k'_2 [RH] + k_6 [M])}}$$

Таким образом цепная схема окисления углеводорода, включающая предположение об участии катализатора в процессе продолжения цепи, позволяет наиболее полно объяснить имеющиеся факты по каталитическому окислению углеводородов. Поэтому весьма интересным представляется

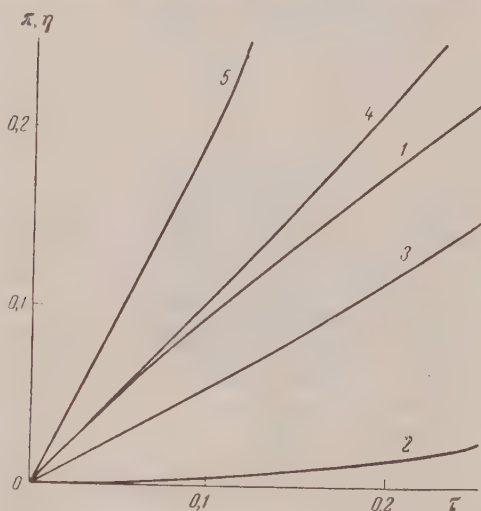


Рис. 1. Кривые  $\pi$  и  $\eta$ , рассчитанные по следующим формулам: 1 —  $\pi = d - e^{-\tau}$ ; 2 —  $\eta = \tau + e^{-\tau} - 1$ ; 3 —  $\eta = \frac{3}{2}\tau + e^{-\tau} - 1$ ; 4 —  $\eta = 2\tau + e^{-\tau} - 1$ ; 5 —  $\eta = 3\tau + e^{-\tau} - 1$

вопрос об экспериментальной проверке этого предположения. Согласно этому предположению в присутствии катализатора окисляющийся углеводород частично превращается в молекулярные продукты, отличные от гидроперекиси (в кетон и спирт). Следовательно, подтверждение настоящей схемы может служить факт непосредственного образования кетона или спирта из углеводорода параллельно образованию гидроперекиси при окислении углеводорода в присутствии катализатора.

Наиболее простым и доступным приемом, позволяющим ответить на этот вопрос, является изучение кинетики накопления гидроперекиси, кетона и спирта в начальный период каталитического окисления углеводорода при невысокой температуре. В начальный период окисления углеводорода скорости образования промежуточных молекулярных продуктов намного больше скорости их расходования, и при невысокой температуре расходом этих продуктов можно пренебречь. Рассмотрим кинетику образования гидроперекиси и продукта Р (суммарная концентрация кетона и спирта) в начальный период окисления при образовании продукта Р исключительно из гидроперекиси и при его образовании как из гидроперекиси, так и непосредственно из углеводорода. Допустим, что в реакции окисления углеводорода с самого начала существует постоянная скорость зарождения цепей  $w_0$ . Тогда для скорости накопления гидроперекиси получается уравнение:

$$\frac{d[ROOH]}{dt} = (k_2 [RH] - k_5 [ROOH]) \sqrt{\frac{w_0}{k_4}},$$

а для скорости образования продукта Р путем распада гидроперекиси уравнение:

$$\frac{d[P]}{dt} = k_5 [ROOH] \sqrt{\frac{w_0}{k_4}}.$$



После введения безразмерных переменных:

$$\pi = \frac{[\text{ROOH}]}{[\text{ROOH}]_{\text{макс}}}; \quad [\text{ROOH}]_{\text{макс}} = \frac{k_2 [\text{RH}]}{k_5};$$

$$\tau = k_5 \sqrt{\frac{w_0}{k_4}} [\text{ROOH}]_{\text{макс}} t, \quad \eta = \frac{[\text{P}]}{[\text{ROOH}]_{\text{макс}}}$$

получаются уравнения

$$\frac{d\pi}{d\tau} = 1 - \pi, \quad \frac{d\eta}{d\tau} = \pi,$$

откуда

$$\pi = 1 - e^{-\tau}, \quad \eta = \tau + e^{-\tau} - 1.$$

На рис. 1 показан ход кривых  $\pi$  и  $\eta$  (кривые 1 и 2), рассчитанный по этим формулам для начального периода реакции. Отчетливо видно, что в начале реакции концентрация продуктов распада гидроперекиси гораздо меньше концентрации самой гидроперекиси, а кинетика их образования имеет автокаталитический вид.

Если в присутствии солевого катализатора часть радикалов  $\text{ROO}\cdot$  превращается в продукт  $\text{P}$ , минуя стадию образования гидроперекиси, то для скорости образования продукта  $\text{P}$  получается следующее уравнение:

$$\frac{d[\text{P}]}{dt} = k_6 [\text{M}] [\text{RO}_2\cdot] + k_5 [\text{ROOH}] n = \left( \frac{k'_2 k_6 [\text{M}] [\text{RH}]}{k_6 [\text{M}] + k'_2 [\text{RH}]} + k_5 [\text{ROOH}] \right) \sqrt{\frac{w_0}{k_4}}$$

или в безразмерных переменных

$$\frac{d\eta}{d\tau} = a + \pi,$$

где

$$a = \frac{k_6 k'_2 [\text{M}] [\text{RH}]}{k_5 [\text{ROOH}]_{\text{макс}} (k_6 [\text{M}] + k'_2 [\text{RH}])}.$$

После интегрирования получается

$$\eta = (a + 1) \tau + e^{-\tau} - 1.$$

На рис. 1 показаны кривые  $\eta$  для различных значений  $a$ . Как видно из рисунка, при не слишком малых значениях  $a$  кривые как  $\pi$ , так и  $\eta$  представляют собой вначале прямые линии. При  $a > 1$  концентрация  $\text{P}$  с самого начала реакции больше концентрации гидроперекиси. Для экспериментальной проверки предположения о параллельном образовании гидроперекиси и кетона или спирта в каталитическом окислении углеводорода была изучена кинетика начального периода окисления циклогексана в присутствии различных солевых катализаторов (стеаратов железа, никеля, кадмия).

Окисление проводилось на автоклавной установке, предназначенной для изучения кинетики жидкофазных реакций [9], при  $110^\circ$  и давлении 0 атм. Равномолекулярная смесь азота и кислорода пропускалась через автоклав, содержащий 200 мл циклогексана, со скоростью 15 л/час. По ходу опыта отбирались пробы и анализировались на содержание гидроперекиси (йодометрически), кетона (при помощи 2,4-динитрофенилгидрамина на спектрофотометре) [10] и спирта (алкилнитритным методом) [11]. На рис. 2—4 показаны кинетические кривые образования этих продуктов реакции при окислении с различными катализаторами.



Во всех трех случаях обращает на себя внимание прямолинейный ход кинетических кривых образования всех трех продуктов и тот факт, что сумма концентраций спирта и кетона с самого начала реакции больше концентрации гидроперекиси. Прямолинейность кинетических кривых говорит о высокой постоянной скорости зарождения цепей в присутствии катализатора. Простое сопоставление рассчитанных кривых (рис. 1) с экспериментальными кривыми (рис. 2—4) убедительно говорит о параллельном образовании кетона, спирта и гидроперекиси в присутствии солевых катализаторов. Следует отметить, что соотношение между концентрациями этих трех продуктов реакции меняется от одного катализатора к другому, как это видно из следующей таблицы.

Процентный состав продуктов окисления в начальный период окисления циклогексана с разными катализаторами

Катализатор	Концентрация, мол. %, $\text{H}_2\text{O}_2$	Гидроперекись, %	Спирт, %	Кетон, %
$\text{st}_3\text{Fe}$	0,018	29	55	16
$\text{st}_2\text{Ni}$	0,024	32	34	34
$\text{st}_2\text{Cd}$	0,011	55	28	17

Таким образом, изложенные в настоящей статье факты говорят о параллельном образовании кетона, спирта и гидроперекиси при окислении углеводорода в присутствии солевых катализаторов. С точки зрения современных представлений о цепном механизме окисления углеводородов

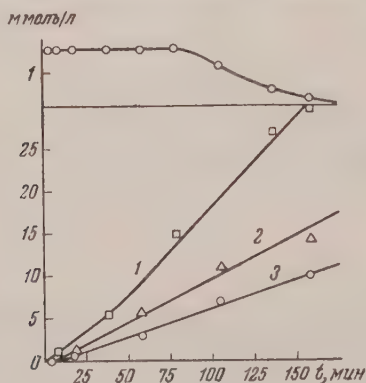


Рис. 2. Окисление циклогексана с 0,018 мол. % стеарата железа при 110°: 1 —  $\text{H}_2\text{O}_2$ ; 2 —  $\text{H}_2\text{O}$ ; 3 —  $\text{RO}_2\text{H}$ . Вверху показана кинетика трехвалентного железа в этом опыте

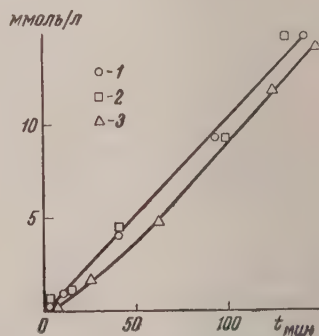


Рис. 3. Кинетические кривые образования продуктов окисления циклогексана при окислении с 0,024 мол. % стеарата никеля при 110°: 1 — кетон; 2 — спирт; 3 — перекись

это указывает на превращение значительной доли радикалов  $\text{ROO}\cdot$  в присутствии солевых катализаторов в кетон и спирт. Следовательно, солевые катализаторы принимают участие в реакции продолжения цепи и именно таким образом воздействуют на состав продуктов окисления. Положение об участии катализатора в реакции продолжения цепи представляет наряду с научным известный практический интерес, так как открывает принципиальную возможность регулирования состава продуктов окисления путем подбора различных катализаторов.

В настоящее время нет экспериментальных данных, на основе которых можно было бы делать предположения об элементарном механизме взаимодействия катализатора с радикалом  $\text{ROO}\cdot$  с образованием молекулярного продукта и другого радикала. Однако из общих соображений говорит о реальной возможности такого рода процессов. Известно, например, что большинство солевых катализаторов в виде стеаратов или солей других органических кислот склонны к комплексообразованию с полярными молекулами в углеводородных растворах. Вполне возможно комплексообразование между радикалом  $\text{ROO}\cdot$ , обладающим повышенной реакционной способностью, и молекулой катализатора. Такое комплексообразование может способствовать превращению радикала  $\text{ROO}\cdot$  в кетон или спирт, минуя стадию образования гидроперекиси.

Соли с катионами, обладающими нечетным электроном, должны особенно активно реагировать со свободными радикалами. С этим выводом согласуются экспериментальные данные по окислению циклогексана со стеаратами кобальта и марганца, обладающими в двухвалентном состоянии нечетным электроном. В присутствии этих катализаторов количества образующейся в начале реакции гидроперекиси особенно низки.

### Выводы

1. Рассмотрение экспериментальных фактов по каталитическому окислению углеводородов с солями металлов в качестве катализаторов на основе цепной теории приводит к выводу об участии солевого катализатора в реакции продолжения цепи путем его взаимодействия с радикалом  $\text{ROO}\cdot$ . В результате такого взаимодействия образуется другой радикал молекулярный продукт, отличный от гидроперекиси.

2. Кинетические кривые накопления гидроперекиси циклогексила, циклогексанона и циклогексанола в начальный период окисления циклогексана при температуре  $110^\circ$  указывают на параллельное образование этих трех продуктов окисления циклогексана в присутствии солевых катализаторов, что подтверждает вывод о взаимодействии катализатора с радикалом  $\text{ROO}\cdot$  с образованием нового радикала, спирта и кетона.

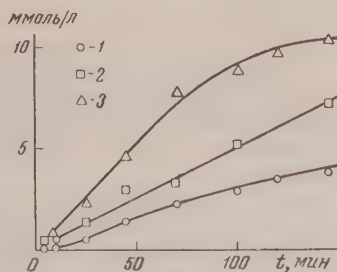


Рис. 4. Кинетические кривые образования продуктов окисления циклогексана при  $110^\circ$  с 0,011 мол. % стеарата кадмия: 1 — кетон; 2 — спирт; 3 — перекись

Московский государственный  
университет им. М. В. Ломоносова

Поступила  
18.I.1957

### ЛИТЕРАТУРА

- A. Robertson, W. A. Waters, Trans. Faraday Soc., 42, 201, 1946.
- J. P. Wibaut, A. Strong, Proc. Koninkl. nederl. akad. wet., B. 54, 102, 229, 1951; 55, 207, 1952; 56, 340, 1953.
- Б. В. Ерофеев, А. И. Чирко, Уч. зап. Белорусск. ун-та, вып. 20, 3, 1954; вып. 24, 3, 1955.
- A. E. Woodward, K. B. Mesrobian, J. Amer. Chem. Soc., 75, 6189, 1953.
- R. Lombard, A. Kohler, Bull. Soc. chim., 21, 639, 1954.
- Е. Т. Денисов, Н. М. Эмануэль, Ж. физ. химии, 30, 2327, 1956.
- Л. С. Вартамян, Д. Г. Кнорре, Э. К. Майзус и Н. М. Эмануэль, Ж. физ. химии, 30, 665, 1956.
- Е. Т. Денисов, Кандидатская диссертация, МГУ, 1956.
- И. В. Березин, А. А. Емелин, А. А. Константинов, АНХ, № 6, 15, 1954.
- G. R. Lapping, L. C. Clark, Analyt. Chem., 23, 541, 1951.
- С. А. Щукарев, С. Н. Андреев, И. А. Островская, Ж. анал. химии, 9, 354, 1954.

ON THE PARTICIPATION OF SALT CATALYSTS IN THE PROPAGATION  
REACTION OF THE LIQUID PHASE HYDROCARBON OXIDATION

*E. T. Denisov (Moscow)*

S u m m a r y

A consideration of the experimental facts concerning the metallic salt catalyzed oxidation of hydrocarbons in the light of the chain theory leads to the conclusion that the salt catalyst takes part in the chain propagation by interacting with the ROO radical. As a result a new radical is formed as well as a molecular product differing from hydroperoxides.

The kinetic curves for the accumulation of cyclohexylhydroperoxide, cyclohexanone and cyclohexanol in the initial period of oxidation of cyclohexane at 110° indicate concurrent formation of the three products in the presence of salt catalysts, confirming the conclusion as to the reaction of the catalyst with the ROO radical to form a new radical, alcohol and ketone.

---

## О НЕКОТОРЫХ ТЕРМОДИНАМИЧЕСКИХ СВОЙСТВАХ СЕЛЕНАТА ТАЛЛИЯ

*Н. М. Селиванова*

Наиболее надежные данные по растворимости селенатов в воде между 0 и 100°C получены для селената таллия. Результаты, полученные различными авторами [1, 2], хорошо сгласуются между собой. Они могут служить надежной основой для некоторых расчетов, составляющих предмет настоящего сообщения.

Так, данные по растворимости селената таллия дают возможность рассчитать теплоты растворения этой соли. Следует отметить, что селенат таллия в термодинамическом отношении совершенно не изучен, и непосредственные калориметрические измерения величин теплот осаждения и теплот растворения для этой соли затруднительны, так как она обладает бедней растворимостью.

Известно, что вычисление теплот растворения веществ по данным растворимости при различных температурах основано на применении приближенного уравнения, полученного рядом авторов при некоторых допущениях [3—6]. В применении к солям это приближенное уравнение имеет вид:

$$\frac{d \ln m}{dT} = \frac{\lambda}{nRT^2},$$

где  $T$  — абсолютная температура,  $m$  — растворимость в молях на 1000 г воды,  $\lambda$  — последняя (дифференциальная) теплота растворения,  $n$  — число ионов, образующихся из молекулы соли.

По характеру лежащих в основе его допущений уравнение применимо количественно лишь к очень мало растворимым солям. Для этих солей можно принять, что  $\lambda = L$  (где  $L$  — интегральная теплота растворения при концентрации, отвечающей насыщению) и можно пренебречь разницей между моляльностью и молярностью раствора. Одной из форм приведенного уравнения является выражение:

$$\lambda = \frac{RT^2 d \ln La}{dT},$$

где  $La$  — произведение активных концентраций ионов в насыщенном растворе. Это уравнение применимо для солей, обладающих средней растворимостью\* и в интегральной форме оно было использовано для вычисления теплоты растворения селената таллия.

Расчет величины  $\lambda$  проводился по следующей формуле:

$$\lg La_2 - \lg La_1 = \frac{\lambda}{R \cdot 2,3} \frac{T_2 - T_1}{T_1 T_2}.$$

Необходимые для проведения расчетов приближенные значения коэффициентов активности насыщенных растворов селената таллия  $\gamma$  интерполировались из данных для солей типа  $Me_2SO_4$ , приведенных в монографии Харнеда и Оуэна [7].

Интерполирование производилось графическим путем с построением кривой зависимости значений средних ионных коэффициентов активности  $\pm \gamma$  от моляльности раствора. При помощи полученных величин вычислены значения произведений активности селената таллия в интервалах температур от 10 до 40°, а также теплоты растворения этой соли через каждые 5 или 10°; результаты представлены ниже в таблице.

\* В настоящее время строго термодинамически выведены также уравнения для вычисления теплот растворения хорошо растворимых веществ [8].

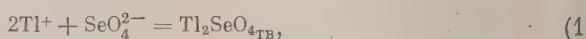


## Произведение активностей и теплоты растворения селената таллия

$t, ^\circ\text{C}$	$C\text{Tl}_2\text{SeO}_4$ , моль/1000 г $\text{H}_2\text{O}$ (по выравненной кривой растворимости)	$L_p$	$\gamma$	$\lg La$	Теплота растворения, ккал/моль
10	0,0390	$2,37 \cdot 10^{-4}$	0,552	$\bar{5},6005$	10,165
20	0,0500	$5,00 \cdot 10^{-4}$	0,529	$\bar{5},8693$	
25	0,0570	$7,41 \cdot 10^{-4}$	0,514	$\bar{4},0027$	
30	0,0645	$1,07 \cdot 10^{-3}$	0,499	$\bar{4},1237$	
40	0,0800	$2,05 \cdot 10^{-3}$	0,472	$\bar{4},3331$	
Среднее					$10,300 \pm 0,70$

В связи с незначительной растворимостью селената таллия дифференциальная и интегральная теплоты растворения этой соли не могут существенно различаться. Поэтому без особой погрешности можно принять, что интегральная теплота растворения в воде селената таллия с получением очень разбавленного раствора при стандартных условиях составляет  $10,30 \pm 0,70$  ккал/моль.

Из таблицы также видно, что при  $25^\circ$  произведение растворимости селената таллия  $L_p = [\text{Tl}^+]^2 [\text{SeO}_4^{2-}] = 7,41 \cdot 10^{-4}$  и произведение активностей  $La = \gamma^3 L_p = 1,01 \cdot 10^{-4}$ , откуда изменение свободной энергии для реакции:

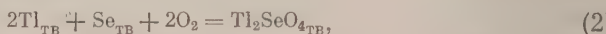


$$\Delta F = RT \ln La = -5948 \text{ ккал/моль}.$$

Для дальнейших вычислений были использованы данные для ионов таллия и селенат-иона в воде, приведенные в последней сводке термодинамических констант [9], которые совпадают с величинами, рекомендуемыми для этих же ионов Латимером [10]. Используя приведенные в указанных сводках значения для теплот образования водных ионов  $\text{Tl}_{\text{aq}}^+$  ( $1,38$  ккал) и  $\text{SeO}_{4\text{aq}}^{2-}$  ( $-45,3$  ккал), получаем для теплоты образования из элементов в бесконечно разбавленном растворе  $\text{Tl}_2\text{SeO}_{4\text{aq}\infty} = -142,54$  ккал/моль. Сочетание этой величины с полученной выше величиной теплоты растворения селената таллия дает для образования кристаллической соли из элементов:

$$\text{Tl}_2\text{SeO}_{4\text{ТВ}} \quad \Delta H_{298} = -152,84 \text{ ккал/моль}.$$

Изменение свободной энергии ( $\Delta F_{298}$ ) в процессе:



было найдено из значений свободных энергий образования водного иона таллия ( $-7,755$  ккал), водного селенат-иона ( $-105,42$  ккал) и вычисленной выше величины изменения свободной энергии образования кристаллической соли из водных ионов ( $-5948$  ккал); оно оказалось равным

$$\Delta F_{298} = -126,88 \text{ ккал/моль}.$$

В заключение выражаю признательность проф. А. Ф. Капустинскому за критический просмотр данной работы.

## Выводы

1. Из данных растворимости вычислены теплота растворения селената таллия в воде ( $10,30 \pm 0,70$  ккал/моль) и величина изменения свободной энергии при образовании этой соли из водных ионов ( $-5,95$  ккал/моль) при стандартных условиях.

2. Теплота образования кристаллического селената таллия из элементов и изменение свободной энергии в этом же процессе соответственно  $\Delta H_{298} = -152,84$  ккал/моль;  $\Delta F_{298} = -126,88$  ккал/моль.

Химико-технологический институт  
им. Д. И. Менделеева  
Москва

Поступила  
21.I.1957

## ЛИТЕРАТУРА

- A. E. H. Tutton, Proc. Roy. Soc. (Lond.), **A79**, 351, 1907.  
R. Th. Glauser, Z. anorgan. u. algem. Chem., **66**, 437, 1910.  
H. Le Chatelier, C. r., **100**, 50, 1885; Изв. ИФХА, **1**, 245, 1919.  
H. W. Rozeboom, Z. phys. Chem., **4**, 31, 1889.  
J. H. vanthoff, Arch. neerl., **20**, 53, 1886.  
J. Schröder, Z. phys. Chem., **11**, 449, 1893.  
Г. Харнед, Б. Оуэн, Физическая химия растворов электролитов, перевод под ред. А. Ф. Капустинского, ИИЛ, М., 1952.  
М. М. Шахпаронов, Ж. физ. химии, **27**, 111, 1953; Е. Познер, Ж. физ. химии, **20**, 213, 1946; A. T. Williamson, Trans. Faraday Soc., **40**, 421, 1944.  
F. Rossini, D. Wagman, W. Evans, S. Levine, J. Laffe, Selected Values of Chemical Thermodynamic Properties, Washington, 1952.  
В. М. Латимер, Окислительные состояния элементов и их потенциалы в водных растворах; перевод под ред. К. А. Астахова, ИИЛ, М. 1954.

## SOME THERMODYNAMIC PROPERTIES OF THALLIUM SELENATE

*N. M. Selivanova (Moscow)*

## Summary

The heat of dissolution of  $Tl_2SeO_4$  in water ( $10.30 \pm 0.70$  kg. cal./mole) and the free energy of formation of this salt from aqueous ions ( $-5.95$  kg. cal./mole) under standard conditions have been calculated from data on its solubility.

With the aid of the results obtained other thermodynamic properties of thallium selenate have been calculated. The heat of formation of crystalline  $Tl_2SeO_4$  from the elements and the change in free energy of this process are respectively  $\Delta H_{298} = -152.84$  kg.cal./mole;  $\Delta F_{298} = -126.88$  kg. cal./mole.

## ПОТЕНЦИОМЕТРИЧЕСКИЙ МЕТОД ИССЛЕДОВАНИЯ ОРГАНИЧЕСКИХ ОБРАТИМЫХ ОКИСЛИТЕЛЬНО- ВОССТАНОВИТЕЛЬНЫХ СИСТЕМ

*Б. П. Никольский и В. В. Пальчевский*

Окислительный потенциал органических обратимых окислительно-восстановительных систем в большинстве случаев сложным образом зависит от активности ионов водорода в растворе. Указанное свойство обусловлено тем, что окисленная и восстановленная формы вещества способны к присоединению или отщеплению иона водорода (или гидроксила).

В начале 20-х годов почти одновременно появилось несколько исследований [1, 2], положивших начало широкому количественному изучению органических окислительно-восстановительных систем. Тогда же Конантом, Каном, Физером и Курцем была предложена теория, объясняющая влияние ионов водорода на окислительный потенциал этих систем. Законченный вид теория получила в работах Кларка [3]. Одновременно Кларк предложил и обосновал потенциометрический метод исследования протолитической диссоциации окисленной и восстановленной форм обратимых органических окислительно-восстановительных систем, основанный на изучении зависимости окислительного потенциала системы от pH раствора. Это следует из теоретических уравнений зависимости окислительного потенциала от pH раствора.

Кривая указанной зависимости (рис. 1) состоит из прямолинейных участков, соединенных друг с другом плавными изгибами. Кларк сформулировал общие правила анализа этих кривых и разработал графический метод определения констант диссоциации по точкам пересечения продолжений двух соседних линейных участков.

Дальнейшее развитие метода Кларка шло и основано не в направлении его совершенствования, а в направлении решения частных задач (работы Михаэлиса и других исследователей по изучению семихлорных радикалов [7—9]).

В то же время разработанный Кларком метод не лишен серьезных недостатков.

Во-первых, определение окислительного потенциала из э. д. с. с переносом:

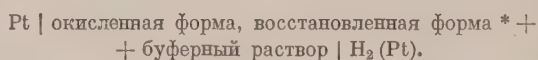


вносит в измерения некоторую неопределенность, связанную с неизменной величиной диффузионного потенциала.

Во-вторых, нахождение констант диссоциации по изменению наклона кривой зависимости окислительного потенциала от pH дает удовлетворительные результаты только в тех случаях, когда константы значительно отличаются по величине. Определение констант, близких по значению, сводится в конечном счете к графическому подбору их значений, что приводит иногда к заметным ошибкам.

В-третьих, остается неопределенным вопрос о влиянии ионной силы раствора на величину окислительного потенциала системы.

Неопределенность, вносимую диффузионным потенциалом в значение окислительного потенциала, можно устранить, если применить элемент без переноса:



\* Концентрация окисленной и восстановительной форм вещества в этом элементе должна быть значительно меньше концентрации буферного раствора.

Вместо водородного электрода, измерения с которым возможны только в присутствии окислительно-восстановительной системы, удобно применить стеклянный электрод, погрузив его непосредственно в равновесный раствор:

$$\left[ \begin{array}{l} \text{окисленная форма, восстановленная форма} + \text{буферный раствор} \end{array} \right] \left| \begin{array}{l} \text{стеклянный} \\ \text{электрод} \end{array} \right. \quad (26)$$

Э.д.с.  $E$  элементов (2) выражается уравнением

$$E = \varphi - \vartheta \lg a_{H^+} - A, \quad (3)$$

где  $\varphi$  — окислительный потенциал раствора,

$$\vartheta = \frac{RT}{F} \cdot 2,303.$$

Величина  $A$  в уравнении (3) в случае применения водородного электрода равна нулю, а в случае стеклянного электрода представляет собой константу (нормальный потенциал) стеклянного электрода.

Э.д.с. цепи (2) и окислительный потенциал органических окислительно-восстановительных систем являются сложной функцией от активностей различных продуктов протолитической диссоциации окисленной и восстановленной форм вещества, констант их протолитической диссоциации и активности водородных ионов. Эту зависимость можно представить в общем виде уравнением:

$$E = E(c_o, c_r, f_o, f_{o_2}, \dots, f_{r_1}, f_{r_2}, \dots, K_{o_1}, K_{o_2}, \dots, K_{r_1}, K_{r_2}, \dots, a_{H^+}), \quad (4)$$

где  $c_o$  и  $c_r$  — суммарные концентрации соответственно окисленной и восстановленной форм вещества\*;  $f_{o_i}$  и  $f_{r_i}$  — коэффициенты активности соответствующих форм окислительно-восстановительной системы;  $K_{o_i}$  и  $K_{r_i}$  — константы протолитической диссоциации.

В уравнение (4) входят в качестве переменных коэффициенты активности различных продуктов окисленной и восстановленной форм, определение которых (в виде средних коэффициентов активности) хотя принципиально и возможно, но является весьма трудной задачей.

Дополнительные трудности вносит необходимость работать и в сильно-кислых и сильнощелочных растворах с большими значениями ионной силы. Некоторые окислительно-восстановительные системы становятся неустойчивыми в таких растворах или подвержены повышенной адсорбции на поверхности сосуда, электрода и пр.

Все эти обстоятельства не позволяют дать в соответствии с уравнением (4) строгую теоретическую интерпретацию определяемой экспериментально зависимости э. д. с. цепей (2) или зависимости окислительного потенциала от pH раствора.

Таким образом экспериментальные трудности, граничащие с невозможностью, принуждают отказаться от применения уравнения (4) в общем виде и ограничиться частными случаями, для которых это уравнение может быть упрощено. Таким частным случаем будет являться проведение опытов при постоянной ионной силе раствора, когда все коэффициенты активности могут быть приняты за постоянные, а при очень малых ионных силах могут быть приравнены единице. В последнем случае уравнение (4) примет вид:]

$$E = E(c_o, c_r, K_{o_1}, K_{o_2}, \dots, K_{r_1}, K_{r_2}, \dots, a_{H^+}). \quad (5)$$

Так как коэффициенты активности различных продуктов обычно входят как в числитель, так и в знаменатель, то их влияние на окислитель-

\* Здесь и в дальнейшем индекс  $o$  указывает на то, что данная величина относится к окисленной форме вещества, а индекс  $r$  — к восстановленной.





константы диссоциации  $K_{r_1}, K_{r_2}, \dots, K_{r_p}$  и концентрацию продукта  $R^-$  уравнением:

$$c_r = \frac{a_{H^+}^p + a_{H^+}^{p-1} K_{r_1} + \dots + a_{H^+} K_{r_1} K_{r_2} \dots K_{r_{p-1}} + K_{r_1} K_{r_2} \dots K_{r_p}}{K_{r_1} K_{r_2} \dots K_{r_p}} c_{R^-}. \quad (9)$$

Аналогичным образом общая концентрация окисленной формы  $c_o$  будет

$$= \left( \frac{a_{H^+}^{q-1} + a_{H^+}^{q-2} K_{o_1} + \dots + a_{H^+} K_{o_1} K_{o_2} \dots K_{o_{q-2}} + K_{o_1} K_{o_2} \dots K_{o_{q-1}}}{K_{o_1} K_{o_2} \dots K_{o_{q-1}}} + \frac{K_{o_q}}{a_{H^+}} \right) c_{R^+}. \quad (10)$$

Подстановка уравнений (9) и (10) в уравнение (8) позволяет получить уравнение э. д. с. элемента без переноса в следующем виде:

$$E = E_0 + \frac{\vartheta}{2} \lg \frac{c_o}{c_r} + \frac{\vartheta}{2} \lg (a_{H^+}^p + a_{H^+}^{p-1} K_{r_1} + \dots + a_{H^+} K_{r_1} K_{r_2} \dots K_{r_{p-1}} + K_{r_1} K_{r_2} \dots K_{r_p}) - \\ - \frac{\vartheta}{2} \lg \left( \frac{a_{H^+}^{q-1} + a_{H^+}^{q-2} K_{o_1} + \dots + a_{H^+} K_{o_1} K_{o_2} \dots K_{o_{q-2}} + K_{o_1} K_{o_2} \dots K_{o_{q-1}}}{K_{o_1} K_{o_2} \dots K_{o_{q-1}}} + \frac{K_{o_q}}{a_{H^+}} \right) - \\ - \vartheta \lg a_{H^+}. \quad (11)$$

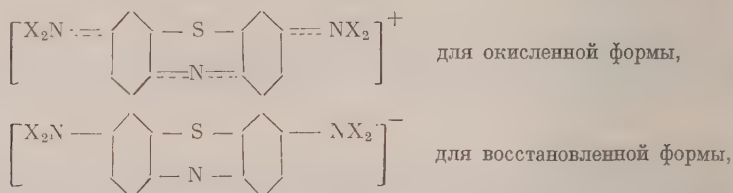
В уравнении (11) учитываются все теоретически возможные протолитические равновесия. В реально существующих окислительно-восстановительных системах часть протолитических процессов может быть осуществлено только в особых условиях (например, в концентрированных растворах сильных кислот), а в области обычных значений pH они не будут иметь места.

Поэтому практически мы первый номер присваиваем константам диссоциации, которые соответствуют продуктам окисленной и восстановленной форм, начинающим диссоциировать при значениях pH больше нуля. С другой стороны, иногда отдельные ступени диссоциации реально не осуществляются в силу того, что соответствующие протоногенные группы имеют очень сильное сродство к протону. Это обстоятельство приводит к тому, что константы диссоциации, отвечающие протолитическим равновесиям с участием таких групп, становятся величинами очень малыми, что позволяет упростить выражение (11), так как пропадают те члены уравнения, в которые входят эти константы.

Окончательное уточнение числа реальных ступеней диссоциации, а следовательно, и числа констант, входящих в уравнение (11), может быть осуществлено в каждом отдельном случае на основании анализа экспериментально полученной зависимости э. д. с. цепей 2 от pH. Кривая, выражающая зависимость э. д. с. цепей без переноса (2) от pH раствора, согласно уравнению (11) представляет собой линию, состоящую из ряда линейных участков, соединенных плавными переходами аналогично кривой Кларка (рис. 1). Число линейных участков определяется числом продуктов окисленной и восстановленной форм вещества. Число таких участков равно  $p + 1$ . Если две соседние константы близки между собой по величине, то соответствующий линейный участок исчезает. Каждая новая ступень диссоциации окисленной формы уменьшает тангенс угла наклона кривой  $E-pH$  на  $\vartheta/2$ , а диссоциация продуктов восстановленной формы настолько же увеличивает его. Эти положения сходны с правилами, которые Кларк дал для кривых зависимости окислительного потенциала от pH.

Однако в общем характере кривых будут существенные различия, которые удобнее проследить на примерах реальных окислительно-становительных систем. В качестве таких систем рассмотрим системы, образованные некоторыми тиазиновыми красителями (являющимися ближайшими аналогами тионина) и их восстановленными формами.

По принятой классификации красителей тиазиновые красители составляют общий формулам:



где X — атом водорода или радикал. Возможны также заместители в бензольных кольцах, которые в приведенных выше формулах не указаны.

Если ядро тиазинового красителя обозначить через R, то продукт, получающийся в сильноокислых растворах в результате присоединения протонов к каждому из атомов азота лейкоформы, может быть обозначен символом  $\text{RH}_3^{2+}$ . Можно предполагать, что при диссоциации этого продукта, представляющего собой кислоту, последовательно образуются катион R<sup>+</sup>

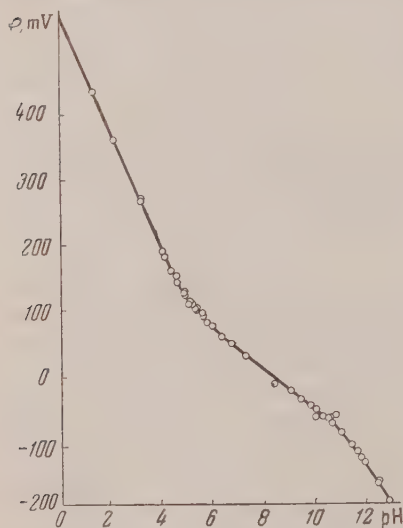


Рис. 1

Рис. 1. Зависимость окислительного потенциала φ от pH. Система толуидиновый — лейкотолуидиновый синий

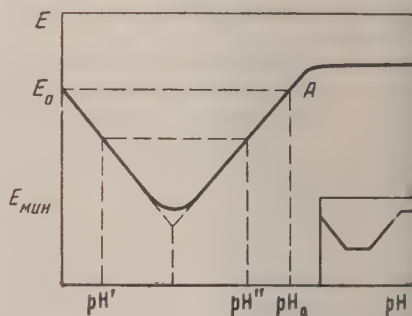
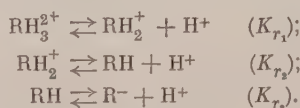


Рис. 2

Рис. 2. Зависимость E — pH. Определение величины  $\text{pH}_{\text{мин}}$

молекула  $\text{RH}$  и, наконец, анион  $\text{R}^-$ :



В окисленном состоянии можно ожидать следующее протолитическое равновесие:



инстанту которого обозначим через  $K_o$ . Следовательно, в данном случае  $p = 3$  и  $q = 1$ .

Уравнение э. д. с. цепи без переноса для рассматриваемого случая может быть получено из уравнения (11). Для  $p = 3$  и  $q = 1$  при условии  $c_o/c_r = 1$ , принимая во внимание, что, как показал Кларк [10], константа  $K_{r_1}$  всегда очень мала, получим

$$E = E_o + \frac{\vartheta}{2} \lg \left( a_{H^+} + K_{r_1} + \frac{K_{r_1} K_{r_2}}{a_{H^+}} \right) - \frac{\vartheta}{2} \lg \left( 1 + \frac{K_o}{a_{H^+}} \right) \quad (12)$$

$$\frac{dE}{d\text{pH}} = -\frac{\vartheta}{2} \frac{2a_{H^+}^2 + K_{r_1} a_{H^+}}{a_{H^+}^2 + K_{r_1} a_{H^+} + K_{r_1} K_{r_2}} + \frac{\vartheta}{2} \frac{a_{H^+}}{a_{H^+} + K_o}. \quad (13)$$

Анализ выражения (13) позволяет сделать следующие заключения при  $K_o \ll K_{r_1}$ . В кислой области, когда  $a_{H^+} \gg K_{r_1}$ , угловой коэффициент (тангенс угла наклона) линейного участка кривой  $E - \text{pH}$  равен  $\vartheta/2$  (угловой коэффициент соответствующего линейного участка кривой  $\varphi - \text{pH}$   $\frac{\partial \varphi}{\partial \text{pH}} = -\frac{3}{2} \vartheta$ ). При дальнейшем увеличении pH, когда začínается диссоциация катиона  $\text{RH}_3^{2+}$ , т. е. когда  $K_{r_1} \gg a_{H^+} \gg K_{r_2}$ , угловой коэффициент  $dE/d\text{pH} = 0$  ( $d\varphi/d\text{pH} = -\vartheta$ ). Диссоциация продукта восстановленной формы  $\text{RH}_2^+$  приводит к наклону  $dE/d\text{pH} = \vartheta/2$  ( $d\varphi/d\text{pH} = -\vartheta/2$ ). Таким образом для случая, когда константы диссоциации значительно отличаются по величине ( $K_{r_1} \gg K_{r_2}$ ), мы получим характерную кривую (рис. 2, кривая внизу). Образование кривой характерной формы следует из дифференциального уравнения:

$$\frac{dE}{d\text{pH}} = \frac{d\varphi}{d\text{pH}} + \vartheta. \quad (14)$$

В действительности у тиазиновых красителей константы диссоциации микроформы  $K_{r_1}$  и  $K_{r_2}$  мало отличаются друг от друга, что приводит к исчезновению линейного участка с нулевым наклоном, образующего характерную кривую, и кривая  $E - \text{pH}$ , отвечающая реально существующим системам, приобретает вид кривой с минимумом (рис. 2). В точке минимума

$$\text{pH}_{\text{мин}} = \frac{pK_{r_1} + pK_{r_2}}{2} \text{ или } (a_{H^+})_{\text{мин}}^2 = K_{r_1} K_{r_2} \quad (15)$$

$$E_{\text{мин}} = E_o + \frac{\vartheta}{2} \lg (K_{r_1} + 2 \sqrt{K_{r_1} K_{r_2}}). \quad (16)$$

Непосредственное определение на графике положения точки минимума на оси pH обычно сопряжено с большой ошибкой. Более точно значение  $\text{pH}_{\text{мин}}$  можно получить, если провести горизонтальную линию выше точки минимума и определить положение точек пересечения этой горизонтальной с правой и левой ветвями (линейными участками) кривой  $E - \text{pH}$ . Сумма значений pH в точках пересечения дает значение pH в точке минимума.

Действительно, если для некоторого значения  $E$  активность водородных ионов на ветви кривой с угловым коэффициентом  $-\vartheta/2$  будет  $a_{H^+}$  и на ветви с наклоном  $+\vartheta/2$  она будет равна  $a_{H^+}$ , то

$$E_o + \frac{\vartheta}{2} \lg \left( a_{H^+}' + K_{r_1} + \frac{K_{r_1} K_{r_2}}{a_{H^+}'} \right) = E_o + \frac{\vartheta}{2} \lg \left( a_{H^+}'' + K_{r_1} + \frac{K_{r_1} K_{r_2}}{a_{H^+}''} \right).$$



После преобразования, учитывая уравнение (15), получим

$$a'_{\text{H}} a''_{\text{H}^+} = K_{r_1} K_{r_2} = (a_{\text{H}^+})_{\text{мин}}^2$$

или

$$pK_{r_1} + pK_{r_2} = \text{pH}' + \text{pH}'' = 2\text{pH}_{\text{мин}}. \quad (16)$$

Частным случаем определения  $\text{pH}_{\text{мин}}$  является случай, когда гори-  
тальная секущая проводится через точку, отвечающую значению  $E$ .  
Тогда значение  $\text{pH}$  на правой ветви кривой  $E-\text{pH}$  будет равно уд-  
военному значению  $\text{pH}$  в точке минимума.

Графическое определение э. д. с. в точке минимума не представ-  
ляет трудности и по точности лежит в пределах ошибки опыта.

После того как определено положение минимума по обеим ко-  
ординатам, совместное решение уравнений (15) и (16) дает значение  
констант диссоциации восстановленной формы.

В щелочной области на ход кривой  $E-\text{pH}$  влияет переход кати-  
онной формы  $\text{R}^+$  в свободное основание  $\text{RON}$ . При достаточно бо-  
льших значениях  $\text{pH}$  справедливо неравенство  $a_{\text{H}^+} \ll K_0$  ( $K_0 \ll K_{r_2}$ ). Поэт-  
му уравнение (12) переходит в уравнение:

$$E = E_0 + \frac{\vartheta}{2} \lg K_{r_1} K_{r_2} - \frac{\vartheta}{2} \lg K_0,$$

т. е. э. д. с. при высоких значениях  $\text{pH}$  приобретает постоянное значе-  
ние, не зависящее от  $\text{pH}$ , а наклон кривой  $E-\text{pH}$  становится равным ну-  
лю (рис. 2).

Образование свободного основания приводит также к изменению ха-  
рактера кривой зависимости  $\varphi-\text{pH}$  от  $-\vartheta/2$  к  $-\vartheta$  (рис. 1).

В методе Кларка, как и в нашем методе, угол, под которым пересе-  
каются два соседних линейных участка кривой, зависит от угла наклона  
кривой к оси абсцисс. Эти углы пересечения приведены в табл. 1.

Таблица 1

Углы пересечения соседних линейных участков кривой  $\varphi-\text{pH}$   
и кривой  $E-\text{pH}$

Угловой коэффи- циент кривой $\varphi-\text{pH}$	Угловой коэффи- циент кривой $E-\text{pH}$	Угол пересечения соседних линейных участков	
		в методе Кларка	в нашем методе
$-\frac{3}{2}\vartheta$	$-\frac{1}{2}\vartheta$	$\sim 41^\circ$	$\sim 26^\circ$
$-\vartheta$	0	$\sim 49^\circ$	$\sim 26^\circ$
$-\frac{1}{2}\vartheta$	$+\frac{1}{2}\vartheta$	$\sim 26^\circ$	$\sim 19^\circ$
0	$+\vartheta$		

Примечание. При вычислении углов пересечения линей-  
ных участков за единицу длины по ординате принята вели-  
чина  $\vartheta$ , а по абсциссе — единица  $\text{pH}$ .

\* При выводе уравнения (17), а также уравнений (15) и (16), мы исходили из по-  
ложения, что  $K_0 \ll K_{r_2}$ , что справедливо для тиазиновых красителей в широкой  
области  $\text{pH}$  (например, до  $\text{pH}=10$ ). При этом условии последний член уравнения (12)  
в рассматриваемой области  $\text{pH}$  практически равен нулю, и уравнение (12) примет  
вид:

$$E = E_0 + \frac{\vartheta}{2} \lg \left( a_{\text{H}^+} + K_{r_1} + \frac{K_{r_1} K_{r_2}}{a_{\text{H}^+}} \right).$$

Из таблицы видно, что для наиболее часто встречающихся случаев, когда тангенс угла наклона кривой  $\varphi$ —pH изменяется от  $-\frac{1}{2}$  до  $\frac{1}{2}$  или  $\frac{3}{2}$  до  $-\frac{1}{2}$  (или обратно), углы пересечения линейных участков в нашем методе оказываются значительно большими, чем в методе Кларка. Следовательно, и определение точки их пересечения в нашем методе может быть сделано более точно. Это позволяет с большей точностью графически определить соответствующую константу диссоциации. Кроме того, при нанесении экспериментальных данных на график  $E$ —pH ошибки изменений, как правило, выступают более четко, чем на графике  $\varphi$ —pH.

Следовательно, предложенный метод, основанный на изучении зависимости э. д. с. цепи без переноса от pH, наряду с большей термодинамической строгостью, позволяет представить экспериментальные данные таким образом, что представляется возможным получить более точные значения констант диссоциации различных протолитических равновесий. Кроме того, соблюдение условия постоянства ионной силы в растворах с переменными значениями pH позволяет получить истинные термодинамические значения констант диссоциации.

Экспериментальная проверка изложенного выше теоретического обоснования приложимости метода цепей без переноса к изучению органических обратимых окислительно-восстановительных систем проведена в двух системах: метиленовый синий—лейкометиленовый синий [11] толуидиновый синий — лейкотолуидиновый синий.

### Экспериментальная часть

**Методика эксперимента.** Низкий окислительный потенциал системы метиленовый краситель — его лейкоформа и, как следствие, сильная подверженность восстановленной формы окислению кислородом воздуха требуют соблюдения ряда условий, которые значительно усложняют опыт и предъявляют обязательные требования к экспериментальной установке. Условиями получения воспроизводимых и устойчивых экспериментальных данных являются:

полная герметичность изучаемой системы, предохраняющая ее от соприкосновения с кислородом воздуха в течение всего опыта;

работа в атмосфере инертного газа (азота), освобожденного от следов кислорода.

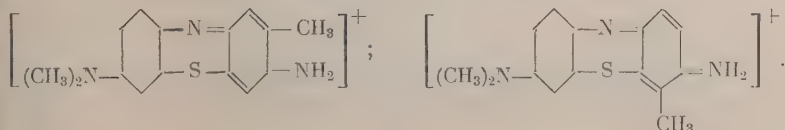
Общий вид установки представлен на рис. 3. Соединение отдельных частей установки осуществлялось без применения резиновых трубок, только стеклом (пайка и пайфы).

Измерение э. д. с. для всех сочетаний электродов (окислительно-восстановительный, стеклянный, водородный, каломельный) производилось по методу компенсации применением электрометрической лампы. Термостатирование полуэлементов осуществлялось при помощи ультратермостата, что позволяло поддерживать постоянную температуру  $20 \pm 0,1^\circ\text{C}$ .

Очистку толуидинового синего мы производили тройной перекристаллизацией. Краситель растворялся в небольшом количестве горячей воды, затем добавлялся избыточный объем спирта. После охлаждения на льду кристаллы отсасывались на воронке Бюхнера. Бумажная хроматограмма очищенного перекристаллизацией красителя явственно показывает наличие двух фракций. Вероятно, две фракции отвечают двум изомерным формам красителя\*.

Изучение потенциала окислительно-восстановительной системы в зависимости от pH и ионной силы раствора потребовало составления буферных растворов с достаточной буферной емкостью и с переменным значением ионной силы. Как правило, компоненты буферных растворов подбирались так, что ионная сила равнялась 0,013. Меньшие значения указанной величины достигались прибавлением хлористого калия. Исходные вещества брались с маркой «х. ч.» с дальнейшей очисткой известными методами.

\* Структурные формулы этих изомеров обычно представляются в следующем виде:



Результаты потенциометрических измерений и их обсуждение. График зависимости э. д. с. цепи без переноса для системы толуидиновый синий — лейкотолуидиновый синий приведен на рис. 4. Из графика видно, что экспериментальные данные хорошо соответствуют закономерностям, которые следуют из уравнения (12). Действительно, кривая имеет вид кривой с минимумом, причем линейные участки кривой имеют угловые коэффициенты: левый (от минимума) участок  $-\frac{\partial}{\partial 2}$ , а правый  $+\frac{\partial}{\partial 2}$ . В щелочной области образование окисленной формы свободного основания приводит к угловому коэффициенту  $dE/d\text{pH} = 0$ .

Кривая зависимости  $E-\text{pH}$  (рис. 4) позволяет графически определить значение э. д. с. при  $\text{pH} = 0$  и  $c_o/c_r = 1$ , т. е. значение  $E_0$ . Для изученной системы  $E_0 = 534 \text{ mV}$ .

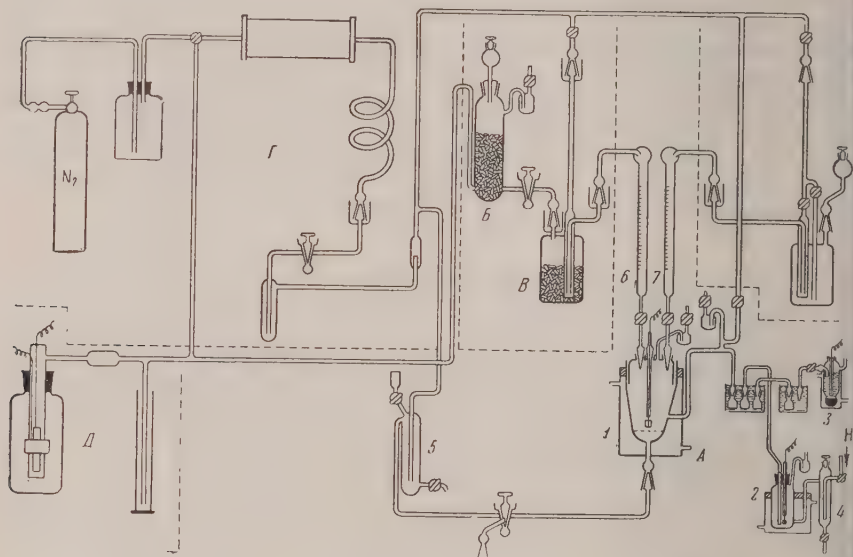


Рис. 3. Установка для потенциометрических измерений. А — электрометрическая часть; 1 — окислительно-восстановительный полуэлемент; 2 — водородный и 3 — окислительный полуэлементы; 4, 5 — сатураторы; 6, 7 — микробюретки; В — прибор для восстановления красителя; В — сосуд для хранения раствора лейкоформы красителя; 8 — сосуд для хранения раствора красителя; Г — часть установки, предназначенная для очистки азота; Д — электролизер для получения водорода

Из уравнения (3) следует, что в случае применения водородного электрода в цепях (2)  $E_0 = \varphi_0$ . Это условие позволяет определить  $E_0$  также из графика зависимости окислительного потенциала от  $\text{pH}$  (рис. 4).

Для определения констант диссоциации восстановленной формы красителя  $K_{r_1}$  и  $K_{r_2}$  воспользуемся соотношениями (15), (16) и (17). Из графика (рис. 4) находим:  $E_{\text{мин}} = 503 \text{ mV}$  и  $\text{pH}_{\text{мин}} = 10,22/2 = 5,11$ . Подставим эти значения, а также значение  $E_0$  в уравнения (15) и (16), получим искомые величины  $K_{r_1}$  и  $K_{r_2}$  (табл. 2).

Таблица 2

Значения констант для системы толуидиновый синий — лейкотолуидиновый синий при  $20^\circ \text{C}$

$K_{r_1} \cdot 10^5$	$K_{r_2} \cdot 10^4$	$K_0 \cdot 10^{13}$	$\varphi_0 = E_0, \text{ mV}$
1,55	3,9	9,12	534

Из уравнения (12) следует, что уравнение линейного участка с наклоном  $+ \frac{3}{2}$  имеет вид:

$$E_3 = E_0 - \frac{3}{2} (pK_{r_1} + pK_{r_2}) + \frac{3}{2} pH.$$

Линейный участок с нулевым наклоном описывается уравнением

$$E_4 = E_0 - \frac{3}{2} (pK_{r_1} + pK_{r_2}) + \frac{3}{2} pH.$$

как в точке пересечения  $E_3 = E_4$ , то получим

$$pK_0 = pH \text{ или } K_0 = a_{H^+}.$$

На рис. 4 показано графическое определение константы диссоциации в свободной форме.

Войславский [12] определил значения константы диссоциации  $K_0$  для раствора толудинового синего едким натром и спектрометрически в спирто-водных растворах. В первом случае он получил,

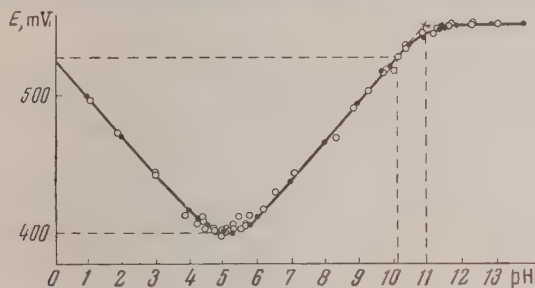


Рис. 4. Зависимость  $E - pH$ . Система толудиновый синий — лейкотолудиновый синий

$pK_0 = 7,2$ , а во втором 10,8. Значение 7,2 является совершенно невероятным и не согласуется с химическими свойствами этого красителя, являющегося ближайшим аналогом тионина и метиленового синего. Естественно же сопоставление результатов спектрофотометрического определения константы  $K_0$  показывает, что значение, полученное Войславским, близко к истинному.

В табл. 2 даны значения констант, определенные на основании разработанного нами метода.

Если рассчитать значения  $E$  для разных pH по уравнению (12) и данным табл. 2 и проверить эти значения кривой, экспериментальные точки хорошо отвечают теоретической кривой зависимости  $E - pH$  (рис. 4). Это служит подтверждением того, что значения констант, приведенные в табл. 2, являются достаточно точными.

Расчетные уравнения вида (15), (16) и (17) позволяют произвести проверку правильности определений констант ранее изученных окислительно-восстановительных систем. Покажем это на примере системы тионин — лейкотионин, тщательно изученной Кларком и его сотрудниками

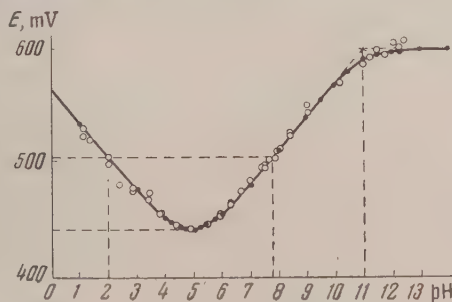


Рис. 5. Зависимость  $E - pH$ . Система тионин — лейкотионин



[10]. Считая, что значение  $\varphi_0 = 536$  mV определено Кларком с достаточной точностью, мы воспользуемся преимуществом нашего метода для определения близких по значению констант лейкоформы.

По данным Кларка мы вычислили по формуле (3) значения э. д. элементов (2) и построили график зависимости  $E$  от pH (рис. 5). При помощи графика и уравнений (15), (16) и (17) были определены значения констант диссоциации лейкотионина, которые отличаются от значений Кларка:  $K_{T_1}$  на 5% и  $K_{T_2}$  на 40% (табл. 3).

Таблица 3

Значения констант для системы тионин—лейкотионин при 30° C

Значения констант	$K_{T_1} \cdot 10^5$	$K_{T_2} \cdot 10^5$	$K_0 \cdot 10^{11}$	$\varphi_0 = E_0$
Найденные по методу Кларка	4,2	5,0	1	536
Рассчитанные по методу цепей без переносов	4,4	3,59	1	

Принимая найденную Кларком величину  $K_0 = 10^{-11}$ , мы вычислили по уравнению (12) и данным нижней строки табл. 3 значения  $E$ , которые приведены на рис. 5 в виде сплошной теоретической кривой. Из рисунка видно, что экспериментальные данные, изображенные кружочками, хорошо ложатся на теоретическую кривую за исключением области, где pH больше 11. Если же принять те значения констант лейкоформы, которые даются Кларком, то теоретическая кривая пройдет на 4 mV выше (начиная от pH = 5), чем изображено на рисунке, и соответствие ее с экспериментальными данными будет хуже. Расхождение теории с опытом в щелочной области вызвано, вероятно, экспериментальными ошибками, которые являются особенно большими в щелочной области.

### Выводы

1. Теоретически и экспериментально обоснован метод определения констант диссоциации окислительно-восстановительных обратимых органических систем при помощи гальванических элементов без переноса образующих окислительно-восстановительным и водородным (стеклянным) электродами.

2. Метод позволяет представить экспериментальные данные таким образом, что оказывается возможным получить более точные значения констант, отвечающих различным протолитическим равновесиям.

3. Этим методом определены константы протолитической диссоциации толуидинового синего и лейкотолуидинового синего.

4. Предложенный метод, как показано на примере системы тионин—лейкотионин, позволяет уточнить значения констант протолитической диссоциации, полученных по методу Кларка.

Ленинградский государственный  
университет им. А. А. Жданова

Поступила  
25.I.1957

### ЛИТЕРАТУРА

1. F. S. Granger, J. M. Nelson, J. Amer. Chem. Soc., 43, 1401, 1921.
2. E. Billman, Ann. Chimie, 15, 109, 1921.
3. W. M. Clark, J. Wash. Acad. Sci., 10, 255, 1920.
4. J. B. Conant, H. M. Kohn, L. F. Fieser, S. S. Kurz, J. Amer. Chem. Soc., 44, 1382, 1922.
5. W. M. Clark, Chem. Rev., 2, 127, 1925.
6. W. M. Clark, B. Cohen, M. V. Sullivan, H. D. Gibbs, R. K. Connon, Bull. Hyg. Lab. U. S. P. H. S., № 151, 1928.

1. Михаэлис, Окислительно-восстановительные потенциалы, ОНТИ, 1936.
2. Michaelis, M. P. Shubert, Chem. Rev., 22, 437, 1938.
3. Михаэлис, Потенциометрия. Физические методы органической химии, т. 4, гл. 28, ИИЛ, 1955.
4. W. M. Clark, B. Cohen, H. D. Gibbs, Publ., Health Reports, 40, 1131, 1925.
5. В. П. Никольский, М. С. Захарьевский, В. В. Пальчевский, Уч. зап. ЛГУ, № 211, Сер. хим. н., в. 15, 26, 1957.
6. S. Woislowski, J. Amer. Chem. Soc., 75, 5201, 1953.

## THE POTENTIOMETRIC METHOD OF STUDYING REVERSIBLE ORGANIC REDOX SYSTEMS

*B. P. Nikol'skii and V. V. Pal'chevskii (Leningrad)*

### Summary

A theoretical and experimental grounding has been presented of the method of determining the dissociation constants of organic systems with the aid of transport-less galvanic cells formed by redox and hydrogen (glass) electrodes.

The method allows the experimental data to be so presented as to make for a more accurate evaluation of the constants corresponding to various protolytic equilibria. With the aid of this method the protolytic dissociation constants have been determined of toluidine blue and leucotoluidine blue.

As shown on the example of the system thionine — leucothionine the proposed method allows a more precise determination to be made of the protolytic dissociation constants than obtained by Clark's method.

ОПРЕДЕЛЕНИЕ РАСПРЕДЕЛЕНИЯ ТОКА В ЭЛЕКТРОЛИТЕ  
И НА ЭЛЕКТРОДАХ МЕТОДОМ СДВОЕННОГО ЗОНДА

Н. П. Гнусин

Исследование распределения плотности тока на электродах и в электролите имеет важное значение при изучении равномерности распределения металла во время электролиза, при изучении рассеивающей способности электролитов, при изучении коррозионных явлений и при различных рода моделированиях при помощи электролитической ванны.

Первые попытки экспериментального изучения закономерностей распределения тока в электролитах были предприняты Адамсом [1] при помощи металлических щупов (или зондов).

Впоследствии методика Адамса была использована для изучения рассеивающей способности электролитов Люкенсом [2].

Дальнейшее применение и развитие этой методики нашло отражение в работах И. П. Федотьева и А. И. Евстюхина [3], которые усовершенствовали схему измерения и применили вместо металлических щупов неполяризующиеся электроды — пробы второго рода, в качестве которых были использованы агар-агаровые клеевые соединения с нулевым прибором через стандартные полуэлементы.

Пионтелли и Бианки [4] в качестве неполяризующихся электродов применяли капилляры, наполненные тем же электролитом, в котором велось измерение. В одну часть капилляров при этом вставлялись проволоочки, сделанные из металла, о котором разряжающемуся на катод иону.

Другой способ построения эквипотенциальных линий при аналогичной схеме измерения был разработан В. П. Машовцом [5], который находил точки равного потенциала не непосредственно, а путем экстраполяции данных потенциалов, полученных экспериментально по заранее намеченным разрезам внутри поля. В. П. Машовец показал, что, когда экспериментально найдена сетка эквипотенциальных линий и линии тока, можно рассчитать распределение тока на электродах, определить удельную электропроводность электролита, установить поляризационную кривую и найти простое распределение энергии в поле, а также мощность, затрачиваемую на нежелательные электрохимические процессы, связанные с поляризацией и преодолением омического сопротивления электролита.

Несколько другая методика построения электрического поля была разработана Штейнером [6]. Он предложил для определения направления линий равного потенциала и линий тока использовать сдвоенный зонд, представляющий собой два жестко скрепленных щупа, концами которого являются две впадины в стекле и изолированные друг от друга металлические проволоочки.

Двойной зонд, благодаря специальным приспособлениям, можно вращать вокруг оси, проходящей между концами зонда, и свободно перемещать в продольном и поперечном направлениях электролитической ванны. Максимальное значение разности потенциалов между концами зонда указывает на совпадение линии, соединяющей концы зонда с линией тока. Положение зонда, соответствующее отсутствию разности потенциалов, дает возможность установить направление эквипотенциальных линий.

Недостатком всех существующих методов исследования поля, сводящихся к построению сетки эквипотенциальных линий и линий тока, является то, что для решения отдельных задач, например задачи по определению распределения плотности тока на электродах или задачи по установлению картины поля в какой-либо его части необходимо воспринимать всю картину электрического поля. В противном случае обнаруживается недостаточность данных, чтобы решить эти отдельные задачи.

В настоящей работе описывается метод исследования электрического поля, лишенный указанного недостатка. Метод в соответствии с конструкцией применяемого щупа, представляющего собой два жестко скреп-

зонда, аналогичного тому, который применил Штейнер [6], может быть назван методом сдвоенного зонда.

Теоретическое обоснование метода сдвоенного зонда. Известно, что для электрического поля, в электролитах, обладающих изотропностью в отношении проводимости, имеет место соотношение

$$D_l \rho = - \frac{\partial \varphi}{\partial l}, \quad (1)$$

где  $D_l$  — составляющая вектора плотности тока на направление  $l$ ,  $\rho$  — удельное сопротивление электролита и  $d\varphi/dl$  — градиент потенциала в данной точке электрического поля.

Выберем в электрическом поле электролита две точки на достаточно большом расстоянии друг от друга. Если через  $\Delta\varphi$  обозначить разность потенциалов между выбранными точками, то отношение  $\Delta\varphi/\Delta l$  с известной степенью точности будет выражать градиент потенциала. Для составляющей вектора плотности при этом получим

$$D_l = - \frac{1}{\rho} \frac{\Delta\varphi}{\Delta l}. \quad (2)$$

Если выбранными точками являются концы сдвоенного зонда, то  $\Delta l$  будет соответствовать расстоянию между концами зонда, а  $\Delta\varphi$  — разности потенциалов между ними.

Из формулы (2) видно, что при измерении в одном и том же электролите с тем же зондом искомая составляющая плотности тока будет пропорциональна разности потенциалов на концах зонда  $D_l = k\Delta\varphi$ . При этом коэффициент пропорциональности  $k$ , равный  $k = -1/\rho\Delta l$ , может быть охарактеризован, как константа измерительного прибора. Калибровку зонда с целью определения этой константы можно производить в специальной прямоугольной ванне, наполненной исследуемым электролитом. Если катод и анод находятся у противоположных стенок и заполняют все сечение прямоугольной ванны, то электрическое поле в электролите будет равномерным. При расположении зонда вдоль линий тока для величины  $k$  получим

$$k = - \frac{1}{\rho\Delta l} = \frac{D_0}{\Delta\varphi_0},$$

где  $D_0$  — плотность тока на электродах, а  $\Delta\varphi_0$  — разность потенциалов на концах зонда.

Применение метода сдвоенного зонда для определения распределения плотности тока на электродах. Рассмотрим решение задачи по установлению распределения тока при помощи использования сдвоенного зонда. В данной работе вопрос будет рассматриваться применительно к плоскому электрическому полю.

Если сдвоенный зонд расположить в электрическом поле электролита перпендикулярно к поверхности последнего, то величина плотности тока может быть определена по формуле

$$D = k\Delta\varphi. \quad (3)$$

Покажем, что данная формула справедлива также и в том случае, когда линии тока проходят к электроду не под прямым углом. Для этого рассмотрим некоторый участок поля у поверхности электрода  $ds$ , на который опирается трубка с током  $dI$  (рис. 1). Плотность тока на рас-

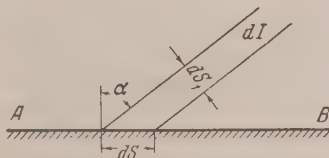


Рис. 1. Схема участка электрического поля у электрода



считываемом участке будет выражаться через отношение тока к площади участка, т. е.

$$D = \frac{dI}{ds}.$$

Учитывая, что модуль вектора плотности тока на этом участке

$$D_1 = \frac{dI}{ds_1}, \text{ а } ds_1 = ds \cos \alpha,$$

получим, что между модулем вектора плотности тока и плотностью на электроде существует следующая связь:  $D = D_1 \cos \alpha$ . Из этой зависимости видно, что плотность тока на электроде является проекцией тока на нормаль к поверхности электрода. Следовательно, независимо от угла наклона линий тока к электроду, плотность всегда будет пропорциональна градиенту потенциала в нормальном направлении поверхности электрода.

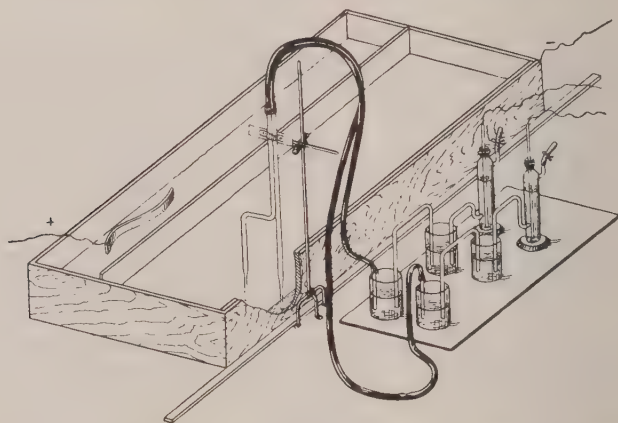


Рис. 2. Установка для измерения распределения плотности тока вдоль электрода при помощи двойного зонда

Практически применяемый для измерения плотности тока зонд представляет собой две склеенные друг с другом стеклянные трубочки с оттянутыми концами, погруженными на половину глубины ванны в электролит (рис. 2). При помощи резиновых шлангов, стаканчиков с электролитом, агар-агаровых ключей и стаканчиков с насыщенным раствором хлористого калия зонды соединяются с каломельными полуэлементами. Разность потенциалов между каломельными полуэлементами измеряется при помощи высокоомного потенциометра.

Проанализируем возможные ошибки при измерении плотности тока данным способом.

Источниками ошибок при измерении могут быть:

1. Искажение электрического поля за счет введения в электролит неоднородного тела — зонда;
2. Замена отношения дифференциалов  $\partial\varphi/\partial l$  отношением конечных величин  $\Delta\varphi/\Delta l$ ;
3. Нарушение однородности электролита в отношении проводимости за счет концентрационных изменений, происходящих вблизи поверхности электрода при электролизе.

Метод зондов широко применяется для исследования самых различных полей: электростатических, гидродинамических, тепловых и т. д. Во всех случаях применения этого метода принято считать, что искажения поля за счет внесения зондов при ничтожных размерах по сравнению с р

рами поля незначительны и, как правило, этими искажениями пренебрегают.

Специальных исследований об искажении зондом электрического поля электролитах не проводилось, хотя в некоторых работах [7] этот вопрос рассматривался с точки зрения получения более точных значений поляризации, при измерении последней при помощи капилляра, прижатого электроду. Особых оснований считать, что зонд, введенный в электрическое поле, заметно искажает последнее, не имеется.

Ошибка, вводимая при замене отношения дифференциалов в формуле (1) отношением конечных величин в формуле (2), зависит от относительных размеров зонда и конфигурации электрического поля в исследуемой точке. Так, в равномерном электрическом поле рассматриваемая ошибка может быть сведена к минимуму и не будет зависеть от расстояния между капиллярами зонда. Наоборот, в поле неравномерным распределением потенциала эта ошибка будет тем больше, чем больше кривизна линий тока и чем дальше друг от друга будут находиться капилляры зонда.

Чтобы иметь хотя бы некоторое представление о величине рассматриваемой ошибки, разберем один из конкретных примеров. Рассмотрим случай распределения тока на плоскости в электрическом поле между этой плоскостью и линией, проходящей параллельно ей на некотором расстоянии  $a$ . Проекция линии  $A(a, 0)$  и плоскость  $x = 0$  изображены на рис. 3.

В случае неполяризующихся электродов для потенциала теория дает известную формулу

$$\varphi = \frac{I\rho}{4\pi} \ln \frac{(x+a)^2 + y^2}{(x-a)^2 + y^2}, \quad (4)$$

где  $\varphi$  — потенциальная функция;  $I$  — общая сила тока;  $\rho$  — удельное сопротивление электролита.

Приняв расстояние между линией и плоскостью за единицу, для плотности тока  $D$  вдоль поверхности плоскости  $x = 0$  получим

$$D = -\frac{1}{\rho} \frac{\partial \varphi}{\partial x} \Big|_{x=0} = \frac{-I}{\pi(1+y^2)}. \quad (5)$$

Плотность тока, выраженная через отношение конечных величин, будет равняться

$$D_{\Delta} = -\frac{1}{\rho} \frac{\Delta \varphi}{\Delta x}. \quad (6)$$

В этом соотношении  $\Delta \varphi$  обозначает разность потенциалов между точками плоскостей  $x = 0$  и  $x = \Delta x$ , причем величина  $\Delta x$  здесь соответствует некоторому расстоянию между капиллярами зонда.

Учитывая формулу (4) для плотности тока, выраженную через отношение конечных величин, получим

$$D_{\Delta} = -\frac{I}{\pi} \frac{2,3}{4} \lg \frac{(\Delta x + 1)^2 + y^2}{(\Delta x - 1)^2 + y^2}.$$

Относительная ошибка  $A$  в расчетах по этим формулам  $A = \frac{D - D_{\Delta}}{D} \cdot 100\%$  будет, очевидно, зависеть от величины  $\Delta x$ , а также от координаты  $y$  и может быть определена по формуле:

$$A = \left[ 1 - \frac{\ln 10 \lg \frac{(\Delta x + 1)^2 + y^2}{(\Delta x - 1)^2 + y^2}}{4 \Delta x} (1 + y^2) \right] \cdot 100. \quad (7)$$

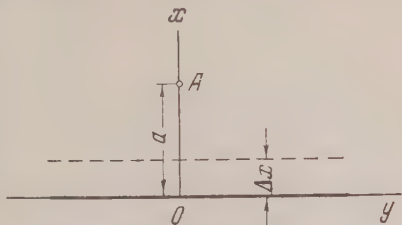


Рис. 3. Расположение линии и плоскости в электрическом поле

Результаты подсчета величины ошибки  $A$  в зависимости от величин  $\Delta x$  и  $y$  приведены в таблице.

Относительная ошибка ( $A$ ) замены отношения дифференциалов  $\partial\varphi/\partial x$  отношением конечных величин  $\Delta\varphi/\Delta x$  для системы линия — плоскость в зависимости от  $\Delta x$  и  $y$

$\Delta x$	$y$					
	0	0,5	1,0	2,0	5,0	10,0
0,1	-0,3	-0,05	+0,2	+0,15	+0,04	+0,00
0,2	-1,3	-0,2	+0,7	+0,4	+0,15	+0,03
0,3	-3,1	-0,4	+1,5	+1,3	+0,35	+0,91

При практическом измерении плотности тока, как это видно из сечения действия зонда и схемы на рис. 2, разность потенциалов определяется не между электродами и зондом, а между двумя зондами, один из которых располагается в непосредственной близости от электрода на каком расстоянии  $b$ , а второй — на расстоянии  $\Delta x + b$ . Формула для подсчета ошибки в этом случае несколько усложнится

$$A = \left[ 1 - \frac{\ln 10 \lg \frac{[(\Delta x + b + 1)^2 + y^2][(b - 1)^2 + y^2]}{[(\Delta x + b - 1)^2 + y^2][(b + 1)^2 + y^2]}}{4\Delta x} (1 + y^2) \right] \cdot 100$$

Однако если в этой формуле принять  $b = 0,02$  (что отвечает расстоянию между ближним капилляром и электродом, равному 2 мм и  $a = 100$  мм) или менее, то результаты расчета ошибки  $A$  по формулам (7) и (8) практически совпадают.

Из таблицы видно, что только при относительно большой ширине зонда, превышающей треть расстояния между линией и плоскостью, обуславливаемая ошибка в некоторых случаях может превысить 3%, в остальных же случаях эта ошибка незначительна и перекрывается погрешностью опыта.

Ошибка измерения, связанная с концентрационными изменениями у поверхности электродов, в некоторых случаях может быть весьма значительной. Так, если электролиз длится в течение значительного времени в неперемешиваемом электролите, то, как известно, неоднородность электролита может настолько сильно сказаться, что произойдет расслаивание электролита. В таких случаях ошибка измерения, по-видимому, будет очень велика, и описываемый способ измерения окажется непригодным. Если незадолго до измерения перемешать электролит, изменение концентрации не успеет распространиться в глубь электролита, и нарушение однородности в отношении электропроводности электролита окажется незначительным. Влияние концентрационных изменений будет тем меньше, чем меньше зависит электропроводность электролита от концентрации ионов осаждающегося металла. Это может иметь место, например, в электролитах, содержащих различные проводящие добавки.

Для случая, когда нужно установить распределение плотности тока по всей поверхности электрода, к предварительной калибровке зонда можно не прибегать. Константа прибора при этом вычисляется в процессе обработки опытных данных. Чтобы получить окончательные результаты, нужно рассчитать среднюю плотность тока и экспериментально определить изменение разности потенциалов на зонде вдоль поверхности электрода.

Согласно формуле (3) плотность тока в любой точке электрода пропорциональна разности напряжений на зонде. Выражая силу тока и

инне через плотность тока на электроде, получим, что  $I = k \int_0^{l_0} D dl$ , где  $k$  — расстояние вдоль электрода от его края;  $l_0$  — длина электрода;  $D$  — толщина слоя электролита.

Приняв во внимание формулу (3) для силы тока, будем иметь

$$I = kh \int_0^{l_0} \Delta \varphi dl.$$

Средняя плотность  $D_{\text{ср}} = I / hl_0$  при этом будет равна

$$D_{\text{ср}} = \frac{k \int_0^{l_0} \Delta \varphi dl}{l_0}.$$

В последнем выражении  $\int_0^{l_0} \Delta \varphi dl / l_0$  представляет собой среднее значение разности напряжений на зонде:

$$\frac{\int_0^{l_0} \Delta \varphi dl}{l_0} = \Delta \varphi_{\text{ср}}.$$

Окончательно для константы из предыдущего соотношения получим

$$k = \frac{D_{\text{ср}} l_0}{\int_0^{l_0} \Delta \varphi dl} = \frac{D_{\text{ср}}}{\Delta \varphi_{\text{ср}}}.$$

В выражение для константы прибора входят только или измеренные величины ( $\Delta \varphi$ ), или величины, определяющие условия опыта ( $D_{\text{ср}}$ ).

Для практического определения величины константы удобнее всего построить график зависимости  $\Delta \varphi$  от  $l$ .

Площадь фигуры под указанной кривой будет соответствовать  $\int_0^{l_0} \Delta \varphi dl$ . Деление величины этой площади на длину электрода дает  $\Delta \varphi_{\text{ср}}$ , которое можно использовать для вычисления  $k$ .

Использование метода сдвоенного зонда для определения других характеристик поля. Помимо определения распределения плотности тока на электродах при помощи сдвоенного зонда можно решать и другие задачи.

Если сдвоенный зонд приспособить так, что он мог бы вращаться вокруг оси одного из капилляров, то при помощи такого зонда можно определять угол наклона линий тока к электроду. Для этого капилляр, через который проходит ось вращения, располагается в непосредственной близости от электрода. О величине угла наклона линии тока к электроду ( $B$ ) можно судить или по определению направления максимального значения разности потенциалов зонда при его повороте вокруг оси, или по двум измеренным разностям потенциалов зонда в продольном  $\Delta \varphi_1$  и нормальном  $\Delta \varphi_2$  направлениях к электроду. При этом

$$\text{tg } B = \frac{\Delta \varphi_2}{\Delta \varphi_1}.$$



При помощи двоянного зонда в любой точке электрического поля можно определить не только направление, но и величину вектора плотности тока. Это определение можно осуществить, отыскав максимальное значение разности потенциалов зонда при его повороте, расчетам по формуле

$$D = k \Delta \varphi_{\text{макс.}}$$

Эту же задачу можно решить путем измерения разности потенциалов на зонде в двух взаимно перпендикулярных направлениях  $\Delta \varphi_1$  и  $\Delta \varphi_2$ . В этом случае величина вектора плотности тока определится по формуле

$$D = k \sqrt{\Delta \varphi_1^2 + \Delta \varphi_2^2}.$$

По известной величине вектора плотности тока можно рассчитать некоторые интересные, с практической точки зрения, характеристики, как например, удельную мощность, развиваемую при протекании электрического тока, и др.

### Выводы

1. Все существующие способы для определения распределения плотности тока в электролите и на электродах громоздки и длительны во времени.

2. Усовершенствованный способ измерения вектора плотности тока в электролите и распределения плотности тока на электродах при помощи двоянного зонда. Предлагаемый способ позволяет определять характер распределения тока в любой ограниченной части поля без построения сетки эквипотенциальных линий и линий тока для всего поля.

Институт инженеров транспорта  
Гомель

Поступила  
23.1.1957

### ЛИТЕРАТУРА

1. W. Adams, Proc. Roy. Soc. L., 24, 10, 1876.
2. H. S. Lukens, Trans. Electrochem. Soc., 67, 29, 1935.
3. Н. П. Федотьев, А. И. Евстухин, Ж. общ. химии, 12, 12, 1942.
4. R. Piontelli, G. Bianchi, Gazz. chim. ital., 79, 646, 1949; 79, 867, 1949; 80, 581, 1950.
5. В. П. Машовец, Труды 2-й всесоюзной конференции по электрохимии, Казань, 230, 1949; Ж. прикл. химии, 23, 66, 1950.
6. J. Steiner, Arch. techn. Messen, Jan., 8227—2, 1951.
7. R. Piontelli, G. Bianchi, K. Aletti, Z. Elektrochem., 56, 86, 1952.

### DETERMINATION OF THE CURRENT DISTRIBUTION IN AN ELECTROLYTE AND ON THE ELECTRODES BY THE DOUBLE PROBE METHOD

N. P. Gnusin (Gomel')

#### Summary

All existing methods of determining the current distribution in an electrolyte and on the electrodes are lengthy and cumbersome. A method has been proposed for measuring the current density vector in an electrolyte and the current density distribution on the electrodes with the aid of a double probe. The method is based on the differential Ohm law. The process of measurement with the aid of the double probe may be carried out in a few minutes, using a high resistance potentiometer. Further development of the method (the use of a valve voltmeter and a recorder) should reduce the time of measurement to a few seconds.

## КИНЕТИКА ЭЛЕКТРИЧЕСКОГО ОКИСЛЕНИЯ АЗОТА В АВТОКОЛЕБАТЕЛЬНОМ РАЗРЯДЕ

*С. С. Васильев и М. С. Селивохина*

Электрические автоколебания в зоне электрического разряда при частотах порядка  $10^6$  гц недавно были описаны В. Л. Грановским и И. Н. Быховским [1—2]. Эти колебания наблюдались ими в ртутной дуге при давлении паров ртути порядка нескольких миллиметров.

Осциллографическим методом нами наблюдались высокочастотные автоколебания в зоне электрического низкочастотного разряда, зажигаемого в воздухе при давлениях, начиная от нескольких миллиметров рт. ст. до атмосферного.

### Экспериментальная часть

Наблюдения были выполнены на установке, изображенной на рис. 1. К одному электроду разрядной трубки 1 подводилось высокое напряжение при помощи провода 2. Другой электрод был соединен с миллиамперметром, от которого шел провод к заземлению. Параллельно разрядной трубке 1 к высоковольтному проводу 2 был подсоединен резистивный делитель 3, от которого напряжение отводилось к одной из пластин осциллографа 4. Другая пластина этого осциллографа заземлялась.

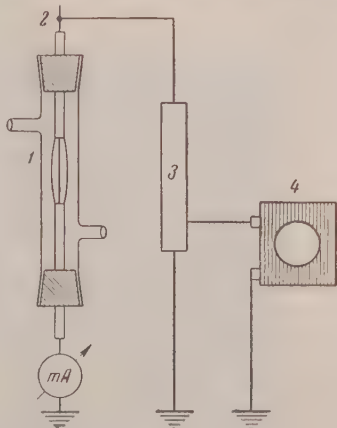


Рис. 1. Установка для наблюдения автоколебаний

На рис. 2 показана осциллограмма разряда, зажигаемого в указанной разрядной трубке от высоковольтного трансформатора, питаемого током 50 гц. Сила тока разряда в этом случае равна 50 мА, давление — 200 мм рт. ст. Как видно, здесь никаких автоколебаний нет; осциллограмма же имеет прямоугольную, а не синусоидальную форму потому, что разрядная зона оказывает проходящему току нелинейное сопротивление. На рис. 3 видно, что на прямоугольной осциллограмме появляется область, захваченная высокочастотными автоколебаниями. На рис. 4 заметно развитие этих автоколебаний.

Рис. 5 показывает, что автоколебания могут распространяться по всей осциллограмме, причем этому соответствует падение напряжения горения разряда.

Предварительные осциллографические измерения показали, что частоты описываемых автоколебаний лежат в области  $10^4$ — $10^6$  гц. Следует также отметить, что возникновение и исчезновение описываемых автоколебаний происходит как бы спонтанно. Это значит, что при одних и тех же условиях зажигания заряда иногда автоколебания на осциллограммах наблюдаются, иногда не наблюдаются.

Мы наблюдали также, что появлению автоколебаний иногда соответствует изменение в цвете и интенсивности спектра разряда. Отсюда сс-

тественно сделать вывод, что возникновение автоколебаний может приводить к изменению условий возбуждения молекул в разряде.

Возможность такого увеличения скорости возбуждения молекул при возникновении в разряде автоколебаний была теоретически обоснована нами из нас [3]. Было показано, что это должно иметь место при «активно связанных» колебаниях электронов и акустических масс газа в разряде, при которых энергия, теряемая колеблющимися электронами, частично опять возвращается к ним от акустических волн, возникающих при ударах второго рода между возбужденными и нормальными молекулами.

Мы полагаем, что наблюдения, результаты которых изображены на рис. 3—5, являются подтверждением изложенных теоретических предположений [3], т. е. должны рассматриваться как экспериментальное доказательство возможности возникновения в разряде активносвязанных колебаний электронов и акустических масс.

Следует, однако, заметить, что автоколебания, изображенные на рис. 3—5, при наличии тока газа через разрядную трубку оказываются неустойчивыми. Но при весьма больших скоростях потока газа, когда этот проток приобретает турбулентный характер, мы опять наблюдали возникновение новой формы автоколебательного разряда. По-видимому, и в данном случае имели место активносвязанные колебания электронов и акустических масс, так как параллельно возникновению автоколебаний здесь наблюдалось возрастание продуктивности разряда в отношении возбуждения молекул, сопровождаемое ростом скорости и энергетических расходов электрического окисления азота.

Указанный разряд зажигался в трубке, изображенной на рис. 6, на котором стрелками показаны пути следования газа, входившего в разрядную зону и выходящего из этой зоны.

Расстояние между электродами было равно 4 см. Электроды применялись железные. Трубка вместе с электродами помещалась в масляный калориметр, причем выходящий из разрядной трубки воздух, содержащий окись азота, пропусклся через медный змеевик, служивший теплообменником. Методика измерения электрических характеристик и мощности разряда, а также методика определения концентрации окиси азота в выходящем из зоны разряда газе применялись те же, что и в ранее опубликованных работах [4, 5].

Заметим также, что разрядная трубка в описываемых опытах питалась от трансформатора, в первичной цепи которого был включен реостат, и номинальное напряжение которого было 50 кВ. Один из электродов разрядной трубки заземлялся. Во всех опытах сила тока разряда была 50 мА. Давление газа в трубке было близко к атмосферному (620—740 мм рт. ст.). Скорость потока газа через разряд варьировалась от 6 до 1100 л/час.

Заметим при этом, что в опытах, проводимых при малой скорости потока газа через разряд, напряжение между электродами измерялось, как описано в работе [4, 5], посредством присоединенной параллельно к трубке цепи, состоящей из высокоомного безындукционного сопротивления и электродинамического вольтметра, полное отклонение стрелки которого требовало тока в 3 мА. Однако при больших скоростях потока газа через разряд, когда разряд делается неустойчивым, такого рода измерения становятся уже затруднительными. Поэтому при больших скоростях потока газа напряжение между электродами измерялось пробойным вольтметром, присоединявшимся параллельно этим электродам. Так как при таких измерениях определяются максимальные значения напряжения, то для получения эффективных значений напряжения показания пробойного вольтметра делились на  $\sqrt{2}$ .

\* Такой способ определения эффективного напряжения, конечно, является чисто условным.



Рис. 2. Осциллограмма разряда при давлении 200 мм рт. ст.



Рис. 3. Осциллограмма разряда, показывающая начало развития автоколебаний





Рис. 4. Осциллограмма разряда, показывающая рост автоколебаний



Рис. 5. Стационарные автоколебания, которым сопутствует падение напряжения горения разряда

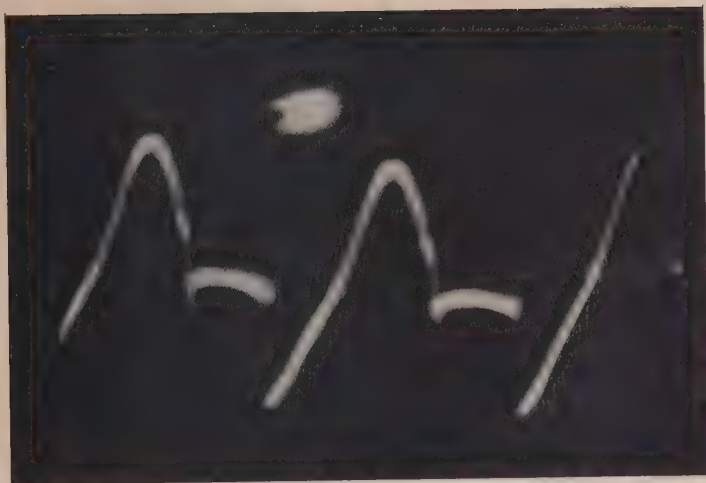


Рис. 7. Осциллограмма разряда при давлении, близком к атмосферному, в стационарных условиях

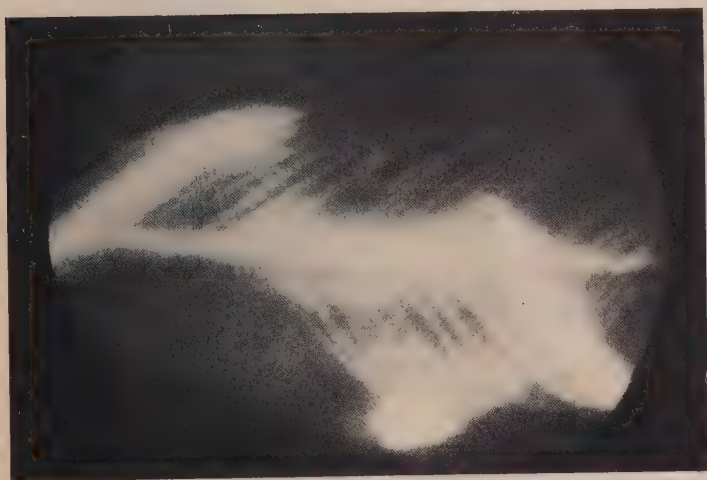


Рис. 8. Осциллограмма разряда при давлении, близком к атмосферному, при турбулентном потоке газа



Основные результаты произведенных опытов приведены в таблице. Величина  $v$  означает здесь скорость потока газа через разряд, выраженную в л/час; величина  $t$  — условное время пребывания газа в разряде, внос  $t = 1/v$ ; величина  $Re$  — условное значение чисел Рейнольдса,

$v$	$t \cdot 10^3$	$Re$	$x_i$	$k_0$	$V$	$U$	$\cos \varphi$	$\alpha$	$\bar{\alpha}$
6	50	1,0	2,86	—	3 320	103	0,62	0,07	сред- ний 0,83
30	33	5,0	2,66	215	3 320	103	0,62	0,34	
52	20	8,7	1,84	145	—	103	—	0,41	
100	10	16,7	1,64	240	3 500	105	0,60	0,70	
200	5	33,6	0,80	190	—	113	—	0,69	1,02
225	4,45	37,8	0,82	212	—	113	—	0,73	
280	3,58	47,0	0,95	305	13 500	134	0,20	0,89	
370	2,70	62,0	0,90	386	15 000	141	0,19	1,05	
440	2,10	74,0	0,62	300	—	133	—	0,92	1,0
580	1,56	97,0	0,64	446	—	133	—	1,25	1,49
720	1,27	120,0	0,55	450	15 000	133	0,18	1,35	1,50
770	1,14	128,0	0,56	500	—	133	—	1,45	1,67
780	1,17	131,0	0,60	540	15 500	133	0,18	1,57	1,80
810	1,13	136,0	0,45	430	12 800	133	0,21	1,25	1,43
1035	0,96	174,0	0,42	545	—	133	—	1,45	1,82
1100	0,90	186,0	0,38	505	—	133	—	1,41	1,70

характеризующее проток газа через разряд. Величина  $x_i$  означает объемный % окиси азота в газе, выходящего из разрядной трубки. Величина — константа скорости образования окиси азота в разряде, так что отношение  $k_0/100$  показывает число литров окиси азота, образующихся в данном типе разряда в течение часа [6];  $V$  — эффективное напряжение между электродами, выраженное в вольтах.  $U$  — измеренная calorimетром мощность разряда, выраженная в ваттах;  $\cos \varphi$  — коэффициент мощности разряда;  $\alpha$  — наблюдавшийся в данном опыте энергетический выход окиси азота, выраженный в молях окиси азота, образующихся в разряде на 1 kW/час расходуемой энергии, а величина  $\bar{\alpha}$  обозначает так называемый «предельный энергетический выход», т. е. число молей окиси азота, которое в действительности образуется в данном типе разряда на 1 kW/час расходуемой энергии. Наблюдаемый энергетический выход  $\alpha$  всегда меньше «предельного»  $\bar{\alpha}$ , так как наряду с образованием окиси азота имеет место и ее частичное разложение.

Указанные в таблице числа Рейнольдса  $Re$  вычислялись на основании следующих образований. Как известно [7], для достаточно длинных прямолинейных трубок

$$Re = 3 \frac{v_L}{w} \frac{L}{\lambda}, \quad (1)$$

где  $v_L$  — линейная скорость потока газа,  $w$  — скорость молекул в этом потоке,  $L$  — элемент длины (в нашем случае — расстояние между электродами),  $\lambda$  — свободный пробег молекул.

Расстоянию между электродами  $L$  соответствует объем разрядной трубки  $\Omega = L\pi r^2$ , где  $r$  — радиус трубки. Время пребывания газа между электродами в разрядной трубе равно

$$\tau = \frac{L}{v_L} = \frac{\Omega}{v}, \quad (2)$$

где  $v$  — объемная скорость потока газа. Из этого соотношения легко найти значение  $L$ . Однако для расчета чисел  $Re$  надо условно принять некоторые значения величины  $w$  и  $\lambda$ .

Замечая, что в наших опытах  $L = 4$  см;  $\pi r^2 \approx 4$  см<sup>2</sup> и полагая  $w \sim 5 \cdot 10^4$  [см] [сек]<sup>-1</sup>;  $\sim 10^{-4}$  см, из (1) и (2) получаем значение чисел Рейнольдса равным

$$Re = 0,167 v, \quad (3)$$



где  $v$  выражено в л/час. Однако необходимо иметь в виду, что получаемые по формуле (3) значения  $Re$  являются чисто условными числами, поскольку наша трубка, изображенная на рис. 6, не является достаточно длинной и содержит спонтанные искривления пути газа, благодаря чему проток может приобрести турбулентный характер значительно раньше, чем в длинных трубках.

Расчет константы скорости окисления азота  $k_0$  выполняется по формуле [6]:

$$k_0 = x_\infty v_i 2,3 \lg \frac{x_\infty}{x_\infty - x_i},$$

где  $x_\infty$  — концентрация окиси азота при весьма малой объемной скорости проточка за через разряд, выраженная в объемных процентах;  $x_i$  — концентрация окиси азота, выраженная также в объемных процентах, соответствующая скорости проточка за  $v_i$ .

Значение условного коэффициента мощности  $\cos \varphi$  определялось соотношением:

$$iV \cos \varphi = U,$$

где произведение  $iV$  выражено в вольтамперах, а мощность  $U$  — в ваттах.

Энергетический выход вычисляется по формуле:

$$\alpha = \frac{v_i x_i}{2,24 U} \text{ [молей] [kW / час].}$$

Предельный энергетический выход  $\bar{\alpha}$  вычислялся по формуле:

$$\bar{\alpha} = \frac{k_0}{2,24 U} \text{ [молей] [kW / час].}$$

Рассматривая таблицу, мы видим, что до скорости  $v = 225$  константа  $k_0$  хотя несколько колеблется, но имеет значение, приблизительно равное  $k_0 \sim 200$ . Напряжение между электродами при этом равно  $\sim 3380$  В, мощность —  $U \sim 106$  Вт, а энергетические выходы для данных условий оказываются обычными, достигая значений  $\alpha = 0,7$ . Этому соответствует и значение среднее предельного энергетического выхода, равное  $\bar{\alpha} \sim 0,83$ .

Но, начиная со скорости  $v = 280$  л/час, когда значения чисел Рейнольдса приобретают значение  $Re \geq 40$ , т. е. когда проток газа через разряд можно считать турбулентным, кинетика процесса окисления азота резко меняется. Это выражается прежде всего в росте кинетических констант образования  $k_0$ , которые достигают значений  $k_0 = 545$ . Резко растет напряжение между электродами, достигая значения 15 000 В.

Однако мощность  $U$  меняется весьма незначительно. Поэтому значения энергетических выходов в предельных энергетических выходах возрастают, достигая значений  $\alpha = 1,57$  и  $\alpha = 1,82$ . При этом нами было обращено внимание на то, что при скоростях  $v < 280$  л/час имеет место только резкий рост напряжения между электродами, но и возникновение интенсивных автоколебаний в разряде. Это показано на прилагаемых рисунках, из которых рис. 7 изображает осциллограмму разряда, записанного в описанной трубке (рис. 6) при давлении, близком к атмосферному, в стационарных условиях, а рис. 8 изображает осциллограмму аналогичного разряда при условии, когда проток газа через трубку достигает значения 800 л/час. На рис. 8 видны многочисленные синусоиды, набегающие друг на друга, которым соответствуют интенсивные автоколебания разряда.

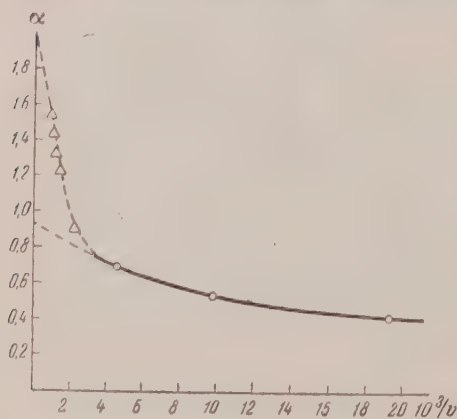


Рис. 9. Энергетические выходы при окислении азота в автоколебательном разряде

Однако мощность  $U$  меняется весьма незначительно. Поэтому значения энергетических выходов в предельных энергетических выходах возрастают, достигая значений  $\alpha = 1,57$  и  $\alpha = 1,82$ . При этом нами было обращено внимание на то, что при скоростях  $v < 280$  л/час имеет место только резкий рост напряжения между электродами, но и возникновение интенсивных автоколебаний в разряде. Это показано на прилагаемых рисунках, из которых рис. 7 изображает осциллограмму разряда, записанного в описанной трубке (рис. 6) при давлении, близком к атмосферному, в стационарных условиях, а рис. 8 изображает осциллограмму аналогичного разряда при условии, когда проток газа через трубку достигает значения 800 л/час. На рис. 8 видны многочисленные синусоиды, набегающие друг на друга, которым соответствуют интенсивные автоколебания разряда.

Описываемые аномалии в кинетике окисления азота показаны на рис. 9, котором кружочками изображены опытные точки, соответствующие ламинальному типу разряда, и треугольниками — опытные точки, соответствующие турбулентному потоку газа через разряд. Видно, что экстраполяция энергетических выходов в обоих типах процесса для скоростей  $v \rightarrow \infty$ , получаем совсем различные значения предельных выходов  $\alpha$ .

Обратим внимание, наконец, на тот столбец таблицы, в котором приведены значения коэффициентов мощности  $\cos \varphi$ . Мы видим, что при скоростях  $v \leq 220$  значение  $\cos \varphi \sim 0,61$ . При скоростях же  $v \geq 285$  л/час значение  $\cos \varphi$  падает до значения  $\cos \varphi = 0,20$ . Это может привести к выводу, согласно которому наблюдаемый при больших скоростях потока газа ст энергетического выхода обуславливается просто возрастанием напряжения горения разряда. Однако следует обратить внимание на то, что при практически постоянной мощности  $U \sim 133$  W и при постоянном значении  $\cos \varphi \sim 0,2$  значение кинетических констант  $k_0$  не остается постоянным, а растет, достигая при скорости  $v = 780$  л/час своего максимального значения  $k_0 = 540$ . Именно в этот момент и наблюдались наиболее интенсивные автоколебания в разряде. Таким образом надо прийти к заключению, что именно электрические высокочастотные автоколебания, возникшие в рассматриваемом типе разряда, способствовали росту его продуктивности в отношении окисления азота.

### Выводы

1. В электрическом разряде, зажигаемом в воздухе, при давлениях от нескольких миллиметров рт. ст. и до давления, близкого к атмосферному, осциллографически могут быть наблюдаемы электрические автоколебания.
2. При турбулентном характере потока газа через разряд также могут наблюдаться интенсивные электрические автоколебания.
3. Возникновению автоколебаний соответствует рост скорости и энергетической продуктивности процесса электрического окисления азота.
4. Описанные в данной работе явления могут рассматриваться как экспериментальное подтверждение теории активносвязанных колебаний электронов и акустических масс газа, которая была изложена ранее [3].

Технологический институт  
легкой промышленности  
Москва

Поступила  
29.I.1957

### ЛИТЕРАТУРА

1. В. Л. Грановский и Л. Н. Быховский, Ж. эксп. теор. физики, **16**, 823, 1946.
2. В. Л. Грановский, Электрический ток в газе, ГИТТЛ, 1952, т. I, стр. 382.
3. С. С. Васильев, Ж. физ. химии, **30**, 2204, 1956.
4. Е. Н. Еремин, С. С. Васильев и Н. И. Кобозев, Ж. физ. химии, **8**, 814, 1936.
5. С. С. Васильев и Е. Н. Еремин, Уч. зап. Моск. гос. ун-та, **86**, кн. 2, 65, 1946.
6. С. С. Васильев, Н. И. Кобозев и Е. Н. Еремин, Ж. физ. химии, **7**, 619, 1936.
7. А. В. Лыков, Теория сушки, Госэнергоиздат, 1950.

### THE KINETICS OF NITROGEN OXIDATION IN THE AUTOOSCILLATING DISCHARGE

*S. S. Vasil'ev and M. S. Selivokhina (Moscow)*

#### Summary

Electrical autooscillations may be observed with the aid of an oscillograph in an electrical discharge in air at pressures from a few mm Hg to [near atmospheric. Intensive autooscillations may also be observed on turbulent flow of gas through the discharge. The appearance of autooscillations corresponds to an increase in the rate and efficiency of the electrical oxidation of nitrogen.

The phenomena described in the present report may be considered as the experimental verification of the previously set forth theory of the actively bound oscillations of electrons and acoustic masses of a gas (3).

## ПОЛЯРИЗАЦИЯ ПРИ КАТОДНОМ ВОССТАНОВЛЕНИИ НИТРОСОЕДИНЕНИЙ В СВЯЗИ С ПРОБЛЕМОЙ СООТНОШЕНИИ МЕЖДУ ЭЛЕКТРОХИМИЧЕСКИМИ И ФОТОХИМИЧЕСКИМИ ПРОЦЕССАМИ

*С. В. Горбачев и С. Ф. Белевский*

Термодинамика химического равновесия не указывает, как бы достигнуто это равновесие, и не дает никаких сведений о промежуточных состояниях системы.

В отличие от термодинамического метода спектральные исследования позволяют определить энергию, необходимую для перевода молекулы возбужденное состояние за счет кванта лучистой энергии:  $A + h\nu \rightarrow A^*$ . Активированная молекула  $A^*$  может претерпеть ряд самых разнообразных превращений, явившихся следствием первичного возбуждения, однако спектр поглощения покажет лишь ту энергию, которая потребовалась для активирования молекулы и никак не отразит все последующие ее превращения (за исключением случаев флуоресценции и фосфоресценции). Таким образом исследование абсорбционных спектров дает сведения о начальном и промежуточном состоянии системы.

При изучении электрохимических процессов обычно устанавливается зависимость между скоростью процесса — силой тока  $i$  и потенциалом электрода  $E$ . Однако скорость электрохимического процесса определяется не столько потенциалом электрода, сколько энергией активации. Последняя характеризует степень возбуждения реагирующей частицы, тот энергетический барьер, по достижении которого молекула или ион вступает в электрохимическую реакцию. Для процессов электрохимического окисления-восстановления энергия активации — это степень возбуждения электронной оболочки. Отсюда ясно, что электрохимические измерения и подсчет энергии активации могут дать энергетическую характеристику перехода частицы из начального в промежуточное возбужденное состояние.

Исходя из этих общих соображений, можно ожидать какую-то аналогию между результатами электрохимического и спектрального изучения систем. Установление такой связи является важным не только для исследования механизма фото- и электрохимических превращений, но и для возможности определения электрохимических данных по спектральным характеристикам, и наоборот.

Для целей подобного сопоставления спектральные исследования должны проводиться в частях спектра, обусловленных электронными переходами.

Мысль о существовании глубокой связи между электро- и фотохимическими реакциями подтверждает и рассмотрение механизма этих двух процессов, хотя бы и в самой общей форме.

Все электрохимические процессы обусловлены переносами заряда. Приближаясь к электроду, молекула (или ион) попадает в зону воздействия электрического поля высокой интенсивности, что вызывает сильную деформацию и возмущение всего электронного облака молекулы, определяемые распределением зарядов во всей частице в целом. Такая деформация приводит к тому, что в определенной области молекулы осад



зает ее связь с электроном, и он покидает ее. Электрон может и присоединиться к молекуле, перейдя на нее с электрода, носителя электронов, тот участок, где деформирующее влияние поля электрода вызвало резкую недостатку электронов и появление вакантных электронных уровней. Возбужденная молекула может претерпеть самые разнообразные превращения, первопричиной (элементарным актом) которых является отрыв или присоединение к ней электрона.

Основным результатом любой фотохимической реакции является переход молекулы из одного энергетического состояния в другое; переход, вызываемый поглощением кванта лучистой энергии. В ультрафиолетовой части спектра это поглощение может вести к электронному возбуждению молекулы или к полному отрыву электрона и присоединению его к молекуле другого вещества, находящегося в непосредственной близости от поглощающего.

Следовательно, в том случае, если поглощение ведет к фотохимической реакции, элементарный акт взаимодействия молекулы с квантом лучистой энергии заключается в переносе электрона.

Таким образом, как в электродном процессе, так и в процессе фотохимическом можно наметить единый элементарный акт: перенос электрона под действием внешнего воздействия. Это дает основания для сопоставления результатов двух методов исследования — электрохимического и спектрального.

Следует, однако, помнить, что у каждого из этих процессов существует своя глубокая специфичность, не учитывающую которую при подобном сопоставлении невозможно.

Решающим фактором при электрохимических процессах является электрическое поле электрода, характеризующееся градиентом потенциала. При фотохимическом процессе такого поля нет, зато есть электромагнитное поле кванта лучистой энергии, природа и характер воздействия которого на электрон и всю молекулу в целом совершенно иные.

Можно указать и на то, что в фотохимическом процессе не происходит деформации молекулы, подобной деформации при электрохимическом процессе. Применительно к фотохимической реакции мы не можем также говорить о влиянии материала электродов, характере электродной поляризации — этих важнейших факторов, определяющих ход электрохимической реакции.

Все это свидетельствует о том, что, наряду с глубокой аналогией в природе электро- и фотохимических процессов, между ними существуют значительные различия, которые являются серьезным предостережением от слишком смелого сопоставления этих двух областей исследования.

Существенная связь между электро- и фотохимическими процессами давно привлекала внимание исследователей. Однако большинство работ в этой области носило характер частных наблюдений или качественных соображений.

Интересные идеи об аналогии между электро- и фотохимией высказывал еще Н. Бекетов [1] на примере реакции восстановления угольной кислоты в муравьиную. Единство элементарного акта при фото- и электрохимическом процессах — перенос электрона — позволило осуществить идею своеобразного фотоаккумулятора [2]. Протекающая в нем темновая реакция является электрохимической, а обратная реакция на свету — фотохимической. Давно было замечено, что в результате фотохимической реакции нередко получаются одинаковые продукты. Это побудило некоторых исследователей рассматривать механизм фотохимических процессов при помощи представлений, обычных для электрохимии. Так, при объяснении явления фотосенсибилизации Бауэром [3] было высказано мнение, что молекула сенсибилизатора под действием света претерпевает пространственное разделение зарядов, уподобляется своего рода электрохимической ячейке молекулярных размеров. Сходство продуктов фотосенсибилизированных реакций окисления-восстановления с продуктами электролиза дали основания предположить, что процессы обмена электронами на полюсах такой молекулы тождественны процессам, протекающим на электродах.



Некоторое соответствие между спектрами поглощения в ультрафиолетовой области и величинами предельных токов наблюдал Н. Е. Хомутов [4] при электроокислении анилина. Сопоставление спектральных и электрохимических данных при восстановлении нитрозобензола проводили Гертель и Лебок [5]. Изучая связь между полуграфическими данными и структурой органических молекул, Джакометти [6] отметил, что под действием заместителей, которые дают более отрицательные значения абсорбционный спектр некоторых ароматических карбонильных соединений сдвигается в красную сторону.

Наиболее интересные и систематические данные были получены для ряда сопряженных ароматических соединений. Маккол [7] и Лайонс [8] впервые обратили внимание и обсудили примерно линейное соотношение между значениями  $E_{1/2}$ , полученными при полярографическом восстановлении этих соединений, и величинами, характеризующими энергию низшей незанятой  $\pi$ -электронной орбиты, вычисленную по методам молекулярных орбит [9]. Аналогичная линейная связь была отмечена и для некоторых ароматических альдегидов и нитросоединений [10].

Более тщательное рассмотрение этой зависимости было сделано А. Пульманом, Б. Пульманом и Ж. Бертье [11], которые предположили, что значения  $E_{1/2}$  могут быть в важных соотношениях со спектроскопическими данными, это было затем подтверждено Уотсоном и Матсеном [12], которые обнаружили линейную зависимость между  $E_{1/2}$  и частотами, соответствующими первым сильным абсорбционным пикам для ряда сопряженных ненасыщенных соединений, при этом с ростом  $E_{1/2}$  возрастала и энергия поглощенного кванта. Бергман [13], откладывая значения  $E_{1/2}$  для первой волны восстановления некоторых полициклических ароматических соединений против  $\nu$  первой полосы абсорбционного спектра, также получил прямую линию для каждой группы углеводов.

Этот материал подробно обсудили Хойтнинг и ван-Схотен [14], уделившие внимание как теоретическому обоснованию полученной линейной зависимости, так и ее кинетической интерпретации.

Во всех этих работах были использованы данные, полученные при восстановлении сопряженных углеводов на капельном ртутном катоде. При этом авторы основывались на предположении, что потенциальноопределяющей стадией является обратная реакция присоединения электрона к восстанавливающейся молекуле.

В настоящей работе мы попытались установить связь и сопоставить результаты электрохимического и спектрального методов исследования при восстановлении некоторых, главным образом, ароматических соединений на твердом катоде, что давало возможность отметить влияние материала катода на ход процесса и приблизить электролиз к реальным условиям.

Для нас существенно прежде всего, что в ароматических соединениях первоначально при поглощении света возникает электронновозбужденная молекула, в то время как в фотохимических реакциях простых молекул первичный акт поглощения чаще всего связан с расщеплением молекулы, а не с электронным возбуждением ее. Кроме того, ароматические нитросоединения испытывают под действием поглощаемого ими света реакцию восстановления необратимого типа [15] (т. е. так же, как и при электровосстановлении). Особенно вероятен такой процесс в присутствии донора электронов. В определенных условиях роль донора электронов могут выполнять многие вещества, в том числе и спирты [16]. По этому можно предположить, что в водно-спиртовых растворах нитросоединения фотогидрируются за счет «лабильного» атома водорода групп  $—CH_2$  спирта. Согласно же взглядам А. Н. Теренина [15] процесс фото восстановления органических веществ в присутствии донора электронов заключается в раздельном переносе на восстанавливаемую молекулу электрона и протона.

Катодный процесс восстановления нитросоединений протекает, вероятно, по пути взаимодействия электронов катода с электроположительными группами реагирующих молекул. Вслед за актом разряда происходит процесс гидрирования нитросоединений за счет ионов водорода. Такой механизм был установлен Н. А. Изгарышевым и А. А. Петровой [17] для электровосстановления нитрометана в водных средах. Описанный механизм катодного восстановления особенно вероятен для веществ, молекулы которых обладают большим дипольным моментом. Ароматические

нитросоединения являются именно такими веществами. По данным (А. Войткевича [18]) дипольный момент для молекул этих соединений лежит в диапазоне  $3,1-4,8 \cdot 10^{-18}$  эл. ст. единиц.

Таким образом электро- и фотохимические реакции восстановления нитросоединений значительно сближаются между собой за счет протекания сходного элементарного процесса: раздельного переноса на восстанавливаемую молекулу электрона и протона. В первом случае

донором электронов является катод, во втором — молекула спирта. В качестве объектов исследования были выбраны нитробензол, *n*-нитротолуол, *n*-нитроанилин, *m*-нитроанилин, *o*-нитрофенол, *m*-нитрофенол и нитрометан.

Исходными продуктами служили продажные реактивы различной степени чистоты. Нитрометан был синтезирован из хлоруксусной кислоты и нитрита натрия [19]. Твердые вещества очищались многократной перекристаллизацией из этилового спирта. Нитробензол и нитрометан были подвергнуты двукратной перегонке. Степень чистоты вещества определялась по температуре его плавления или кипения, расхождение которой со справочными данными не более чем на  $1^\circ$  считалось удовлетворительным. Чистота жидких веществ контролировалась, кроме того, по значению коэффициента преломления.

Для исследования применялись 0,1 *M* растворы нитросоединений. Состав растворов для ароматических соединений: 1 часть  $H_2O + 4$  части  $C_2H_5OH$ . Кислотность створов — 0,025 *N* HCl. Все основные измерения для нитрометана проводились в данном растворе той же кислотности.

В настоящей статье излагаются результаты электрохимических измерений, которые проводились по обычной компенсационной схеме на потенциометре П-4. Для электролиза применялся H-образный сосуд с пористой диафрагмой, разделяющей анодное и катодное пространства. Электролизер помещался в водяной термостат, поддерживающий необходимую температуру при электролизе с точностью  $\pm 0,5^\circ$ . Катодом служила астинка из гладкой платины с рабочей поверхностью 0,42  $cm^2$ , на которую электролитически наносилось покрытие Sn или Cu. Катод соединялся с нормальным каломельным полуреактом при помощи сифонной трубки, вделанной в катод с задней стороны, проходящей сквозь него через отверстие с диаметром 0,6 *мм* таким образом, что кончик трубки и рабочая поверхность катода были в одной плоскости. Обратная сторона платиновой пластинки и ее края были оплавлены стеклом. Анодом была пластинка из Pt.

На рис. 1 представлены поляризационные кривые восстановления нитросоединений на катоде из Sn при  $25^\circ C$ .

Все кривые для ароматических нитросоединений носят одинаковый характер, будучи лишь сдвинуты относительно друг друга на величину порядка 15—20 *mV*. При данной плотности тока каждое вещество восстанавливается при своем определенном потенциале. Исключением является *n*-нитроанилин, потенциал восстановления которого практически совпадает с потенциалом восстановления *n*-нитротолуола.

Предельный ток для ароматических нитросоединений наступает уже при небольших плотностях тока и лежит в области от 1,1 до 1,8  $mA/cm^2$ , за исключением *m*-нитроанилина, для которого предельный ток наблюдается уже при  $i_k = 0,8 mA/cm^2$ .

Совершенно иной характер имеет поляризационная кривая восстановления нитрометана, которое идет при более положительном потенциале, мало изменяющемся с ростом плотности тока. Значительно выше лежит область предельного тока.

Продукты восстановления всех нитросоединений (кроме *o*-нитрофенола) не меняют окраску катодита, который в течение электролиза либо остается бесцветным, либо сохраняет окраску исходного вещества.

Условия электролиза (температура  $25^\circ C$ , кислая среда, Sn-катод) дают основания полагать, что восстановление изученных ароматических нитросоединений идет преимущественно до анилина и соответствующих его производных. При электролизе *o*-нитрофенола на катоде замечено образование жидких буро-коричневых веществ. Появление подобных продуктов, свойственных процессу электровосстановления *o*-нитрофенола, было замечено еще Лёбом [20].

Основным продуктом восстановления нитрометана при 25° С на катод из Sn в солянокислой среде является, по данным А. А. Петровой [2]  $\beta$ -метилгидроксиламин.

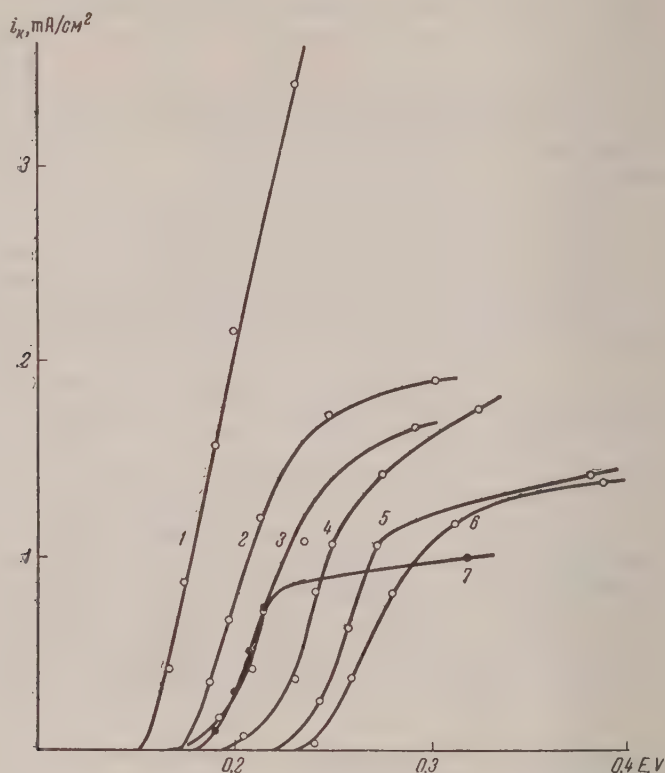


Рис. 1. Поляризационные кривые восстановления нитросоединений на Sn-катоде при 25° С. 1— нитрометан; 2— нитробензол, 3 — *p*-нитротолуол; 4 — *m*-нитрофенол; 5 — *o*-нитрофенол; 6 — *p*-нитроанилин, 7 — *m*-нитроанилин

Полученные поляризационные кривые дают следующие величины потенциалов электрохимического восстановления нитросоединений для различных плотностей тока.

Таблица 1

Потенциалы восстановления на Sn-катоде в милливольтях

Вещество	Плотность тока $i_k$ , mA/cm <sup>2</sup>			
	0,4	0,6	0,8	1,0
Нитрометан	167	172	176	180
Нитробензол	191	197	203	209
<i>p</i> -Нитроанилин	263	272	281	290
<i>m</i> -Нитроанилин	205	212	—*	—*
<i>m</i> -Нитрофенол	234	239	242	248
<i>o</i> -Нитрофенол	250	257	264	270
<i>p</i> -Нитротолуол	208	214	219	224

\* — область предельного тока.

Приведенные данные показывают, что деполяризующее действие исследуемых нитросоединений при электрохимическом восстановлении на катоде из Sn возрастает в ряду:

*n*-нитроанилин — *o*-нитрофенол — *m*-нитрофенол — *n*-нитротолуол — *m*-нитроанилин — тробензол — нитрометан.

Поляризационные кривые, полученные на медном катоде (рис. 2), значительно отличаются от аналогичных кривых восстановления нитросоединений на катоде из Sn.

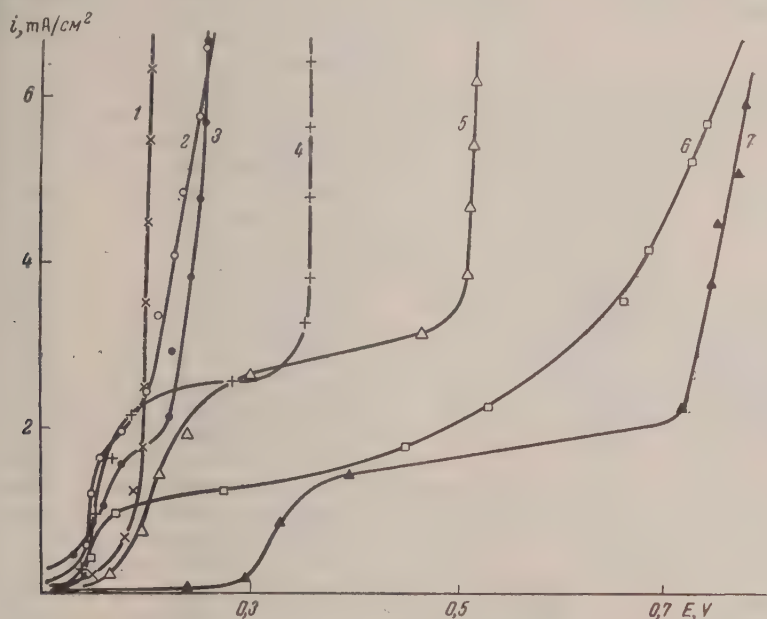


Рис. 2. Поляризационные кривые восстановления нитросоединений на Cu-катоде при 25°C: 1 — нитрометан; 2 — нитробензол; 3 — *o*-нитрофенол; 4 — *n*-нитротолуол; 5 — нитрофенол; 6 — *m*-нитроанилин, 7 — *n*-нитроанилин

Здесь прежде всего следует отметить большой диапазон потенциалов, в области которых идет восстановление различных нитросоединений. Если на Sn-катоде все поляризационные кривые укладываются в интервал 0,00 мВ, то на катоде из Cu поляризационные кривые занимают область 0,600 мВ.

После резкого увеличения потенциала в области малых плотностей тока поляризационные кривые, начиная с 0,2—0,3 мА/см², круто поднимаются вверх, что отвечает определенному процессу электрохимического восстановления, который затем сменяется другим процессом, идущим при более высоком потенциале. Этот этап выражается скачком потенциала — перегибом на поляризационной кривой. Точка перегиба соответствует изменению направления реакции восстановления, которая для нитросоединений идет обычно в несколько стадий и носит сложный характер. Начиная с  $i_k = 3,0$  мА/см², все кривые выравниваются и приобретают сходный характер, потенциалы восстановления при этом мало изменяются с ростом плотности тока.

При восстановлении *o*-нитрофенола на катоде из Cu образуются такие же буро-коричневые продукты, как и на Sn-катоде. Остальные вещества свой цвет в процессе восстановления не меняют.

Значения потенциалов восстановления для различных нитросоединений



определялись на участках поляризационных кривых выше 3,0 мА/см<sup>2</sup>. Эти данные приводятся в табл. 2.

Деполяризующее действие нитросоединений на медном катоде возрастает в ряду:

*n*-нитроанилин — *m*-нитроанилин — *m*-нитрофенол — *n*-нитротолуол — *o*-нитрофенол — нитробензол — нитрометан.

Таким образом выбранные для исследования нитросоединения имеют заметные различия в потенциалах восстановления как на Sn, так и на С.

Таблица 2

Потенциалы восстановления на Cu-катоде в милливольтях

Вещество	Плотность тока $i_k$ , мА/см <sup>2</sup>		
	4,0	5,0	6,0
Нитрометан	200	201	202
Нитробензол	222	237	252
<i>n</i> -Нитроанилин	754	772	790
<i>m</i> -Нитроанилин	683	721	758
<i>m</i> -Нитрофенол	488	490	494
<i>o</i> -Нитрофенол	242	250	254
<i>n</i> -Нитротолуол	358	358	358

в широком диапазоне плотности тока. Учитывая, что воспроизводимость результатов измерений на Sn-катоде составляла  $\pm 5$  мВ, а на Cu-катоде  $\pm 10$  мВ, разница в потенциалах восстановления для этих веществ достаточно велика для возможности сопоставления полученных поляризационных кривых со спектральными данными.

Изучение температурной зависимости скорости электролиза и подсчет энергии активации электрохимической реакции восстановления нитросоединений могли дать указания на характер катодного процесса и послужить ценным материалом для сопоставления электрохимических и спектральных данных.

С этой целью для ароматических нитросоединений были проделаны поляризационные измерения при 25, 40 и 55° С на катоде из Sn. Электродом сравнения здесь также служил 1,0 *N* каломельный полуэлемент, выдерживаемый при температуре электролиза. На рис. 3 и 4 приведены результаты этих измерений для нитробензола и *m*-нитрофенола (температурная зависимость скорости восстановления других изученных ароматических нитросоединений носит аналогичный характер).

Полученные результаты свидетельствуют о сложном влиянии температуры на скорость электродной реакции. В литературе нет достаточных систематических данных о влиянии температуры на скорость электровосстановления нитросоединений. Однако сложный характер этой реакции, включающей в себя несколько этапов химических и электрохимических превращений, приводит, по-видимому, к тому, что с изменением температурных условий изменяется не только скорость, но и направление этих превращений, а это влечет за собой изменение катодного потенциала и скорости восстановления в целом. Поэтому не представляется возможным сколько-нибудь надежно рассчитать энергию активации этого процесса и сделать обоснованные выводы о природе катодной поляризации.

Поляризационные кривые для нитрометана, полученные на Sn-катоде при 10, 25 и 40° С представлены на рис. 5. С ростом температуры потенциалы восстановления смещаются в сторону менее отрицательных значений, а предельная плотность тока повышается. График зависимости  $\lg i_k$  от  $1/T$  (рис. 6) дает возможность определить эффективную энергию активации реакции электровосстановления нитрометана. Точки на рис. 6 удовлетворительно ложатся на прямую в широком диапазоне потенциалов.

Энергия активации, определяемая по углу наклона этих прямых к оси абсцисс, независимо от потенциала, имеет значение, равное 4500 кал, что соответствует энергии активации вязкого потока, т. е. эффективной энергии активации диффузионного процесса.

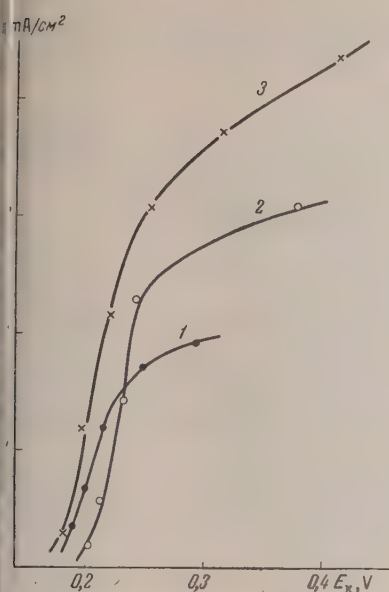


Рис. 3. Температурная зависимость скорости электровосстановления нитробензола на Sn-катоде: 1 — при 25; 2 — при 40 и 3 — при 55°C

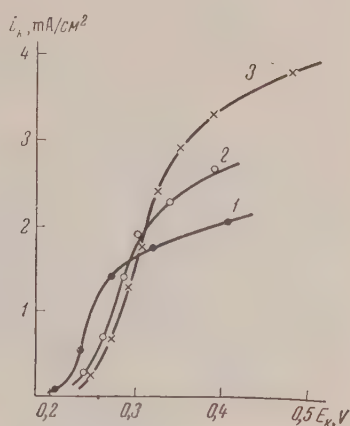


Рис. 4. Температурная зависимость скорости электровосстановления *m*-нитрофенола на Sn-катоде: 1 — при 25, 2 — при 40 и 3 — при 55°C

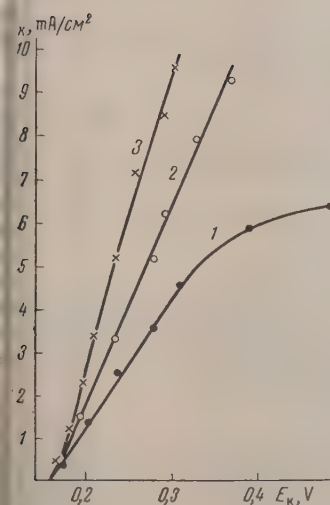


Рис. 5. Температурная зависимость скорости электровосстановления нитрометана на Sn-катоде: 1 — 25 и 3 — при 40°C

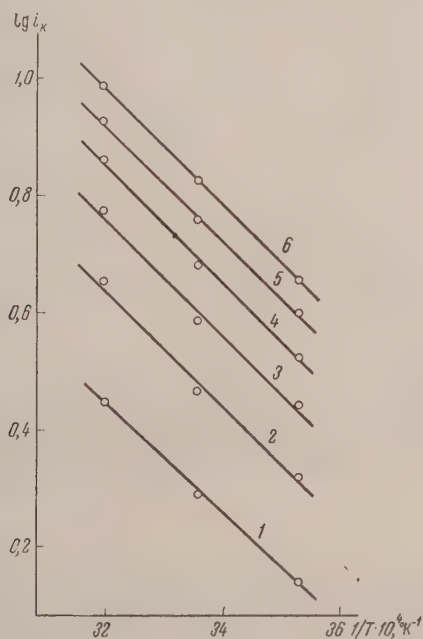


Рис. 6. Зависимость  $\lg i_k$  от  $1/T$ : 1—0,2; 2—0,22; 3—0,24; 4—0,26; 5—0,28 и 6—0,30 V

Таким образом на основании полученных данных можно считать, определяющим фактором электродного процесса при восстановлении нитометана в данных условиях является концентрационная поляризация.

### Выводы

1. Изложены общие соображения об аналогии между электрохимическими и фотохимическими процессами и намечены пути возможного поставления результатов электрохимического и спектрального методов исследования.

2. Получены поляризационные кривые электрохимического восстановления некоторых нитросоединений на Sn- и Cu-электродах. Отмечено различие в потенциалах восстановления исследуемых веществ созданные благоприятные условия для проведения сопоставления электрохимических и спектральных данных.

3. Температурная зависимость скорости электролиза при восстановлении ароматических нитросоединений носит сложный характер, что позволяет сделать определенный вывод о природе катодной поляризации и величине энергии активации.

4. На основании зависимости скорости процесса восстановления нитометана от температуры получена величина энергии активации, равная ~4500 кал, что позволяет предположить концентрационный характер поляризации.

Химико-технологический институт  
им. Д. И. Менделеева  
Москва

Поступила  
31.I.1957

### ЛИТЕРАТУРА

1. Н. Н. Бекетов, Тр. О-ва физ.-хим. наук при Харьковск. ун-те, **39**, 2, 1935.
2. Chr. Winther, Z. Electrochem., **18**, 138, 1912.
3. E. Baur, Helv. chim. Acta, **1**, 186, 1918; Z. Phys. Chem., (B), **16**, 465, 1932.
4. Н. Е. Хомутов, Диссертация, МХТИ им. Д. И. Менделеева, 1948.
5. E. Hertel, F. Lebok, Z. phys. Chem., (B) **947**, 315, 1940.
6. G. Giacometti, Atti Accad. naz. Lincei Rend., Cl. sci., fis. mat. e natur., **18**, 1955.
7. A. Maccoll, Nature, **163**, 178, 1949.
8. L. Lyons, Nature, **166**, 193, 1950.
9. E. Hückel, Int. Conf. on Physics, **2**, 9, London, 1935.
10. S. Koide, I. Tachi, J. Electrochem. Soc. Japan, **23**, 522, 1955.
11. A. Pullman, B. Pullman, G. Berthier, Bull. Soc. chim., **17**, 591, 1950.
12. A. Watson, F. Matsen, J. Chem., Phys., **18**, 1305, 1950.
13. J. Bergman, Trans. Farad. Soc., **50**, 829, 1954.
14. G. J. Hooijink, J. van Schooten, Rec. trav. chim., **71**, 1089, 1952; **72**, 6903, 1953; **73**, 355, 1954.
15. А. Н. Теренин, Фотохимия красителей, Изд-во АН СССР, 1947.
16. Ch. Weizmann, Y. Hirschberg, E. Bergmann, Nature, **141**, 1019, 1938; J. Amer. Chem. Soc., **60**, 1530, 1938.
17. Н. А. Изгарышев, А. А. Петрова, Ж. физ. химии, **24**, 745, 1950.
18. С. А. Войткевич, Ж. физ. химии, **26**, 867, 1952.
19. «Синтезы органических препаратов», Сб. 1, ИИЛ, 1949.
20. W. Löb, Z. Electrochem., **3**, 46, 1896; Ber., **29**, 1894, 1896.
21. А. А. Петрова, Диссертация, МХТИ им. Д. И. Менделеева, 1949.

### POLARIZATION DURING CATHODIC REDUCTION IN THE LIGHT OF THE PROBLEM OF THE RELATIONSHIP BETWEEN ELECTROCHEMICAL AND PHOTOCHEMICAL PROCESSES

S. V. Gorbachev and S. F. Belevskii (Moscow)

### Summary

General considerations are presented on the analogy between electrochemical and photochemical processes and ways are outlined for the possible comparison of the results of electrochemical and spectral methods of investigation. Polarization curves for the electrochemical reduction of some nitro compounds on Sn and Cu cathodes have been obtained. The observed differences in the reduction potentials of the substances facilitates the comparison between electrochemical and spectral data. The temperature dependence of the rate of electrolysis during the reduction of aromatic nitro compounds is of a complicated character which does not allow a definite conclusion to be made as to the nature of the cathodic polarization and the value of the activation energy. On the basis of the temperature dependence of the reduction of nitromethane the activation energy was found to be about 4500 cal., indicating the polarization to be of a concentration character.

ОБ ИЗОПИЕСТИЧЕСКОМ МЕТОДЕ ОПРЕДЕЛЕНИЯ  
СРЕДНЕЧИСЛЕННОГО МОЛЕКУЛЯРНОГО ВЕСА

С. А. Павлова и И. И. Твердохлебова

Сущность изопиестического метода определения молекулярного веса веществ в растворе, впервые предложенного Бергером [1], заключается следующем: если взять закрытый сосуд и в него поместить растворы двух летучих веществ в одном и том же растворителе, отделенные друг от друга воздушным пространством, то, если первоначально давление пара растворителя над одним раствором было отлично от давления пара над другим раствором, растворитель из раствора с большим давлением пара будет переходить в раствор с меньшим давлением пара до тех пор, пока давления пара над растворами не уравниваются. Тогда, согласно закону Ауля, молярные доли растворенного вещества в одном и другом растворах будут равны:

$$N_1 = \frac{p_1}{p_0} \text{ и } N_2 = \frac{p_2}{p_0}, \quad (1)$$

где  $N_1$  и  $N_2$  — молярные доли растворенных веществ, соответственно в первом и втором растворах;  $p_0$  — упругость пара чистого растворителя;  $p_1$  — упругость пара растворителя над первым раствором;  $p_2$  — упругость пара растворителя над вторым раствором. Если упругости пара обоих растворов равны  $p_1 = p_2$ , то равны и молярные доли растворенного вещества в этих растворах

$$N_1 = N_2 \quad (2)$$

поскольку

$$N_1 = \frac{n_1}{n_1 + n_p}, \quad N_2 = \frac{n_2}{n_2 + n_p}, \quad (3)$$

где  $n_1$  и  $n_2$  — числа молей соответствующих растворенных веществ;  $n_p$  — число молей растворителя; а для  $n_1$  и  $n_2$  имеем

$$n_1 = \frac{c_1}{M_1} V_1; \quad n_2 = \frac{c_2}{M_2} V_2, \quad (4)$$

где  $c_1$  и  $c_2$  — соответственно концентрации растворенных веществ в первом и втором растворах;  $V_1$  и  $V_2$  — объемы растворов;  $M_1$  и  $M_2$  — молекулярные веса растворенных веществ, то из уравнения (2) при использовании уравнений (3) и (4) получим

$$\frac{c_1 V_1}{M_1 (n_1 + n_p)} = \frac{c_2 V_2}{M_2 (n_2 + n_p)}. \quad (5)$$

При концентрациях  $\leq 0,05\%$  \*  $n_1$  (и соответственно  $n_2$ ) малы по сравнению с  $n_p$ , поэтому можно принять, что

$$\frac{V_1}{n_1 + n_p} \approx \frac{V_2}{n_2 + n_p}, \quad (6)$$

\* При этих концентрациях растворы полимеров практически подчиняются закону Ауля. Для очень низкомолекулярных полимеров возможно применять изопиестический метод при концентрации порядка 1%.



тогда

$$\frac{c_1}{M_1} = \frac{c_2}{M_2}.$$

Беря в качестве первого раствора раствор вещества с заранее известным молекулярным весом — эталон и зная концентрации обоих растворов, из уравнения (7) можно найти молекулярный вес исследуемого вещества

$$M_{\text{и}} = \frac{c_{\text{и}} M_{\text{э}}}{c_{\text{э}}},$$

где  $c_{\text{э}}$  и  $c_{\text{и}}$  — соответственно концентрации эталона и исследуемого вещества  $M_{\text{э}}$  и  $M_{\text{и}}$  — соответственно молекулярный вес эталона и исследуемого вещества.

**Методы измерения.** В настоящее время существуют микро- и макрометоды изопиестического определения молекулярных весов.

В микрометодах [1—5] при использовании в качестве прибора капилляров измеряются начальные концентрации растворов и молекулярный вес определяется методом

Таблица 1

с эталона, %	Характер изменения концентрации	
	исследуемого вещества	эталона
a	+	—
b	+	—
c	—	+
d	—	+

Примечание. + — увеличение концентрации, — — уменьшение концентрации.

жащих теперь уже в узком интервале между  $b$  и  $c$ .

Таким образом, сравнительно быстро удастся определить с точностью до 1—3% [5] равновесную концентрацию.

В макроопределениях, из которых наибольшего внимания заслуживает метод салазок Зигнера [6], измеряются конечные равновесные концентрации растворов, из которых определяют величину молекулярного веса исследуемого вещества.

Определять равновесные концентрации в макро- и микрометодах можно как объемным [6—11], так и весовым способом [12—17]. Нами были применены различные, описанные в литературе, приемы определения молекулярного веса изопиестическим методом, а также внесены некоторые изменения.

**Подготовка растворителей, эталонов и исследуемых веществ.** Было проверено и подтверждено, что применяемые растворители, эталоны и исследуемые вещества не должны содержать даже следов влаги или других низкомолекулярных примесей. В качестве эталонов применялись следующие вещества (табл. 2). Пары дибромбензол и азобензол перед употреблением перекристаллизовывали и сушили в вакуум-сушилке до постоянного веса. В качестве исследуемых веществ применялись сами эталоны, а также переосажденные и фракционированные полимеры, высушенные до постоянного веса. Молекулярные веса этих веществ одновременно были определены другими методами и приводятся в соответствующих таблицах.

ного приближения: берутся небольшие объемы (капли) растворов эталонного вещества нескольких концентраций и одна концентрация исследуемого вещества, т. е. берется широкий диапазон значений давлений пара и по направлению дистилляции судят о величине искомого молекулярного веса. Схематически это представлено в табл.

Как видно из табл. 1, между концентрациями  $b$  и  $c$  должна лежать искомая равновесная концентрация.

Поэтому для уточнения значения равновесной концентрации снова берут несколько концентраций эталона, ле-

Результаты измерений. Проведенные исследования показали, что весовое определение с применением вакуум-эксикатора [16], не дает точных результатов, вследствие невозможности устранить

Таблица 2

Вещество	Молекулярный вес		Температура плавления, °C
	вычисленный	найденный криоскопически	
n-Дибромбензол	236	234	87—88
Азобензол	182	177	67,5—68
1,20-эйкозандиол-бензоат *	522	505	59—59,5

\* Эйкозандиолдibenзоат был получен бензоилированием в пиридиновом растворе [18].

В результате анализа найдено: C—78,17 и 78,28%; H—9,65 и 9,57%, вычислено для  $C_{34}H_{50}O_4$ , C—78,16%, H—9,58%.

тери растворителя в процессе взвешивания. В связи с этим нами были проведены различные видоизменения приборов, которые в процессе



Рис. 1



Рис. 2

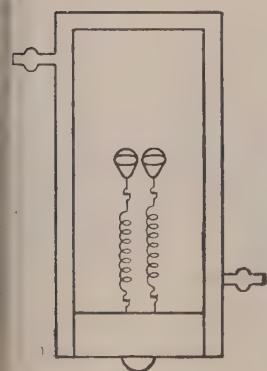


Рис. 3

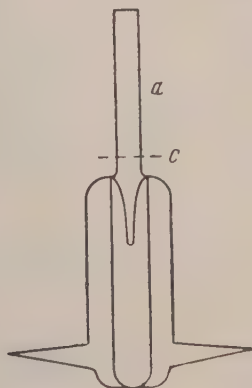


Рис. 4



Рис. 5

дистилляции взвешивались, и при использовании которых потери растворителя были значительно затруднены. Например, 2 шара емкостью 1—15 мл соединялись друг с другом Г-образной отводной трубкой со штифтом (рис. 1); во избежание испарения растворителя между этими шарами ставилась переходная склянка, наполненная растворителем (рис. 2). Однако проделанные опыты показали, что при использовании весового метода определения нельзя измерять концентрации вне прибора, в котором идет процесс дистилляции.

Определение веса раствора в процессе дистилляции при строгой метичности прибора, вероятно, с наибольшей точностью можно провести, используя сдвоенные весы Мак-Бэна (рис. 3).

Объемные изопиестические методы требуют установления равн

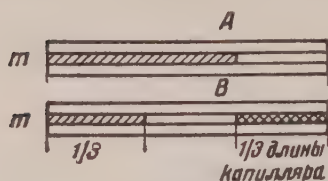


Рис. 6

Замена салазок сосудами другой формы (рис. 4 и 5) не привела к повышению точности. Наиболее удобным и точным методом оказалось определение молекулярных весов по методике Бергера-Раста [2, с некоторыми изменениями (рис. 6).

Поэтому мы применяли объемное определение, используя упомянутый выше, метод встречного приближения что позволило резко сократить продолжительность опытов.

Оказалось, что применение сала Зигнера [6], при очень строгом термостатировании, дает возможность определять молекулярные веса с удовлетворительной точностью (табл. 3 и 4).

Таблица 3

Вещество	Молекулярный вес			Эталон
	вычисленный	найденный криоскопически	найденный изопиестически	
n-Дибромбензол	236	234	Средний 280 200 237 180	n-Дибромбензол
			239	»
			175	Азобензол
			188	»
Азобензол	182	177	181	Эйкозандиолдибензоат

Таблица

Полимер	Концентрация раствора исследуемого вещества	Эталон	Молекулярный вес, найденный изопиестически	Температура термостата	Длительность определения в часах	Молекулярный вес, найденный вискозиметром
Полиэтилен себацинат (пересажженный)	0,482 0,502	n-Дибромбензол n-Дибромбензол	5,480 5,780	45 45	142 60	6,00 6,00
Сополимер акрилонитрила (19%) и метилметакрилата (81%) (пересажженный)	0,0494	n-Дибромбензол	48,400	45	60	50,00

Капилляр, длиной 40 мм, внутренним диаметром не больше 1 помещали концом *m* в раствор исследуемого вещества и набирали раствор до определенного уровня (рис. 6, а). Затем, закрывая конец *m*, набирали раствор эталона (рис. 6, в) и запаивали оба конца (при применении в качестве растворителя этилового спирта — пиццином; метилового спирта — полиамидоэфиром из себациновой кислоты и моноэтаноламина бензола — расплавленным жидким стеклом в смеси с  $\text{CaCl}_2$ ).

При этом почти совсем исключалось смешивание первого раствора вторым и повышалась точность определения.

Заплавленные капилляры, в свою очередь, помещались в двухстенный стеклянный термостат. Повышение температуры очень ускоряет процесс установления равновесия, но температура термостата не должна превышать температуры кипения применяемого растворителя.

Величину капель замеряли на компараторе ИЗА-2 с точностью до 10 микрона.

Для установления точности определения были проведены опыты с бензолом и эйкозандиолдibenzoатом, молекулярные веса которых точно известны по формулам.

Молекулярный вес определялся методом встречного приближения, т.е. в самых узких интервалах встречных концентраций равновесная концентрация находилась путем интерполяции [3]. Температура термостата поддерживалась равной 40°.

Получены следующие результаты (табл. 5).

Таблица 5

Вещество	Молекулярный вес		Растворитель и концентрация исслед. раствора, %	Эталон
	вычисленный	найденный изопнестический		
Эйкозандиолдibenzoат	522	547 534	Этанол 0,248%	Азобензол
То же	522	568	Бензол 0,501%	»

Таблица 6

Полимер	Молекулярный вес, найденный изопнестическим	Эталон	Растворитель	Концентрация исслед. раствора, %	Примечание
Полимер диэпоксидна и гексаметилендиана (пересажженный)	4 950 5 260 5 000	Эйкозандиолдibenzoат	96% этанол	0,05	Молекулярный вес, найденный по светорассеянию 7300
Гройной сополимер изола, хлорбензола и хлорэтана (фракция)	1 560 1 520 1 500	Азобензол	Бензол	0,95	
Пелиамид Г-669	17 700 17 200	Эйкозандиолдibenzoат	Абс. метиловый спирт	0,407	Молекулярный вес, найденный эбуллиоскопически 15 700

### Выводы

1. Исследована и показана возможность определения молекулярных весов в интервале значений до 50 000 при помощи изопнестического метода. Таким образом, этим методом возможно определять молекулярные веса веществ в тех случаях, когда осмометрия не может быть применена.
2. Показано, что применение салазок Зиглера может дать удовлетворительные результаты только при очень строгом термостатировании и только при применении очень сухих и очень чистых растворителей, эталонов и исследуемых веществ.
3. Наиболее удобной, точной и наименее чувствительной к чистоте растворителей, эталонов и исследуемых веществ можно считать видоиз-



мененную нами методику Бергера-Раста, при использовании кото-  
были получены вполне удовлетворительные результаты для веще-  
с молекулярным весом до 17 000.

Авторы выражают благодарность Г. Л. Слонимскому за постоян-  
помощь и консультации в работе.

Академия наук СССР  
Институт элементоорганических соединений  
Москва

Поступила  
8.II.1957

#### ЛИТЕРАТУРА

1. G. V. Coesar, N. S. Gruenhut, M. L. Cushing, J. Amer. Chem. S. 69, 617, 1947.
2. G. Barger, J. Chem. Soc., 85, 286, 1904.
3. G. B. Niederl, D. K. Kasanof, Mikrochemie, 34, 132, 1949.
4. G. B. Niederl, M. Levy, Science, 92, 225, 1940.
5. K. Rast, Ber. dtsh. chem. Ges., 54, 1979, 1921.
6. R. Signer, Instus. liebigs. annalen der chemie, Band 478, Heft 3, 246, 1930.
7. L. R. Parrette, J. Pol. Sci., 15, 447, 1955.
8. N. Lasseire, D. Dickinson, J. Amer. chem. Soc., 61, 54, 1939.
9. E. R. Clark, Annal. chem., 13, 820, 1941.
10. C. E. Childs, Analyst. chem., 26, 1963, 1954.
11. L. M. White, R. T. Morris, Annal. chem., 24, 1063, 1952.
12. C. J. Nieuwenburg, I. W. L. van Ligten, Analit. chimica Acta, vol № 1, 66, 1953.
13. By Sampat Dayal Iha, Eric Riedal Kolloid - Z., 143, № 1, 36, 1955.
14. By Robert Wright, Analyst, 73, 387, 1948.
15. Karl Schwarz, Monatshefte für Chemie, 53, 926, 1929.
16. D. A. Sinclair, J. Phys. Chem., 37, 4—6, 495, 1933.
17. A. Robinson, A. Sinclair, J. Amer. Chem. Soc., 56, 7—9, 1830, 1934.
18. Л. Гаттерман, Г. Виланд, «Практические работы по органической мии», 1948, стр. 167.

#### THE ISOPIESTIC METHOD OF DETERMINING MEAN MOLECULAR WEIGHT

*S. A. Pavlova and I. I. Tverdokhlebova (Moscow)*

#### Summary

The determination of molecular weights by the isopiestic method has been investigated and the possibility has been shown of using this method to determine weight over the range up to 50 000.

Zigner slides have been shown to give satisfactory results with low molecular compounds. On determining the molecular weights of high molecular compounds a large scattering of values of difficultly explainable cause is often obtained.

A modification of Rust's method proposed by the authors gives satisfactory results for molecular weights up to 17000.

## ОПРЕДЕЛЕНИЕ КОНСТАНТ СКОРОСТЕЙ ЭЛЕМЕНТАРНЫХ РЕАКЦИЙ ПОЛИМЕРИЗАЦИИ МЕТИЛАКРИЛАТА

З. А. Синицына и Х. С. Багдасарьян

Одним из авторов настоящей статьи [1] было показано, что фотополимеризация метилакрилата в массе протекает с постоянно нарастающей скоростью. Однако при разбавлении метилакрилата этилацетатом (не выше 1 : 1) практически сразу устанавливается стационарная начальная скорость полимеризации. В этих условиях из зависимости средней длины полимерных цепей  $P$  от скорости полимеризации  $v$  согласно уравнению [1]

$$\frac{1}{P} = \frac{k_0}{k_p^2} \frac{v}{M^2} + \frac{k_m}{k_p} \quad (1)$$

или определены значения констант  $k_p/k_0^{1/2}$  и  $k_m/k_p$  ( $k_p$ ,  $k_0$  и  $k_m$  — константы скоростей реакции роста, бимолекулярного обрыва и передачи цепи через мономер).

Матезон и сотрудники [2] методом прерывистого освещения определили среднее время жизни полимерных радикалов для двух температур комбинируя полученные ими данные с результатами указанной выше работы определили значения констант  $k_p$  и  $k_0$ .

В дальнейшем величины  $k_p$  и  $k_0$  были определены Мельвилем и сотрудниками [3, 4] из кинетики начальной нестационарной стадии полимеризации. Величина  $k_p/k_0^{1/2}$  определена также в работе Махадевана и Саппы [5]. Хотя результаты различных авторов, полученные различными методами, в общем согласуются друг с другом, все же расхождения между ними значительно больше, чем в случае стирола или метилметакрилата. Найденная в работе [2] величина энергии активации реакции обрыва цепей кажется слишком высокой, для других исследованных реакций полимеризации эта величина равна нулю.

В настоящей работе определены константы скоростей элементарных реакций полимеризации метилакрилата на основе измерений скорости полимеризации при данной концентрации инициатора (динитрил азодизомасляной кислоты), длины молекулярных цепей, скорости иницирования и средней продолжительности жизни кинетических цепей.

## Экспериментальная часть

Метилакрилат промывался 10%-ным раствором соды, затем водой до нейтральной реакции, сушился над безводным хлористым кальцием и перегонялся при пониженном давлении. Т. кип.  $50^\circ\text{C}$  (124 мм рт. ст.);  $n_D^{20} = 1,4163$ .

Этилацетат, применяемый в качестве растворителя, сушился хлористым кальцием, тем в течение нескольких часов обрабатывался йодом (1 г йода на 1 л этилацетата) и перегонялся на колонке. Для освобождения от йода в куб колонки добавлялась цинковая пыль. Т. кип.  $77,1^\circ\text{C}$ ;  $n_D^{20} = 1,3724$ .

Динитрил азодизомасляной кислоты дважды перекристаллизовывался из раствора этилового спирта и высушивался в вакууме до постоянного веса; т. пл.  $103\text{--}104^\circ\text{C}$ . Этиловый спирт очищался йодом, как и этилацетат.

Скорость полимеризации измерялась dilatометрическим методом. Для уменьшения объема при образовании полимера при  $50^\circ\text{C}$  принята величина  $22,6 \text{ см}^3/\text{моль}$  [2].

Аппаратура и методика проведения опытов была в основном такая же, как и в более ранних работах одного из авторов [1,6,7]. Установка для проведения фотополимеризации собрана на оптической скамье. Свет от ртутно-кварцевой лампы ПРК-2 через конденсорную линзу, диафрагму, светофильтр и кварцевое окно в термостате попадал на реакционный сосуд — дилатометр, помещенный вплотную к кварцевому окну термостата. Термостат установлен на плите, укрепленной на рейтере оптической скамьи. При помощи простого приспособления термостат перемещается по плите в направлении, перпендикулярном к оптической оси. Лампа ПРК-2 питается через стабилизатор напряжения. Изменение интенсивности света достигается посредством сеток, помещаемых на пути светового пучка. Пропускание сеток измерялось при помощи фотоэлемента. В качестве светофильтра применялся 0,7%-ный раствор  $\text{CuSO}_4 \cdot 5\text{H}_2\text{O}$  в кварцевой пластине толщиной 1,5 см.

Дилатометр представлял собой кварцевый сферический сосуд с пришлифованным капилляром. Объем дилатометра 12,5 мл, диаметр капилляра 0,670 мм. Шлиф капилляра уплотнялся манитовой смазкой. Сверху заливался цементом Хотинского.

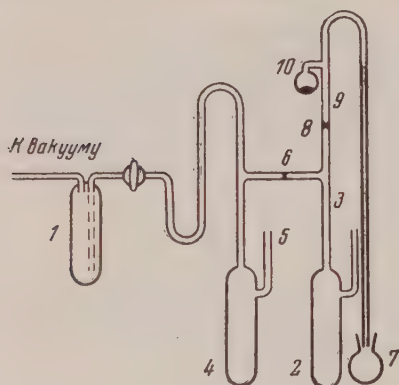


Рис. 1

Удаление растворенного в мономере воздуха и заполнение дилатометра проводилось в специальной цельнонатянутой аппаратуре, изображенной на рис. 1. Аппаратура через ловушку 1 присоединялась к высоковакуумной установке. В ампулу 1 через отросток 3 вводилось определенное количество раствора динитриллазодизометрической кислоты в этиловом спирте известной концентрации, после чего этиловый спирт через кран отгонялся в ловушку 1. В случае необходимости в эту же ампулу вводился также ингибитор в твердом виде или раствор. Затем в ампулу 4 через отросток 5 вводился раствор метилакрилата в этилацетате, отросток 5 запаивался и реакционная смесь освобождалась от растворенного в ней воздуха путем попеременного замораживания жидким азотом и оттаивания. При каждом замораживании производилась откачка до высокого вакуума. После этого реакционная смесь из ампулы 4 перегонялась в ампулу 2, содержащую инициатор и ингибитор, путем охлаждения последней жидким азотом, переплавлялась перетяжка 6, реакционная смесь переносилась в дилатометр 7 и пространство над жидкостью заполнялось азотом, после чего переплавлялась перетяжка 8 и дилатометр переносился в термостат. Уровень жидкости в капилляре устанавливался путем переливания избытка жидкости в пространство трубки 9 и фиксировался при помощи капельки ртути, переброшенной в капилляр из шарика 10, вставленного в трубку 9.

Полимеризация проводилась до глубины превращения 5—10%. После окончания реакции небольшое количество реакционной смеси переносилось в шариковый сосуд, описанный ранее [9], который посредством системы шлифов и ловушки присоединялся к вакуумной установке. Мономер и растворитель отгонялись в высоком вакууме полимер в виде тонкой пленки, распределенной на поверхности шарикового сосуда, вводился до постоянного веса путем нагревания на водяной бане при 30—40° С.

Средняя степень полимеризации нефракционированного полимера определялась из характеристической вязкости в растворе ацетона при 20° С по формуле [8]

$$\lg \bar{P}_n = 3,489 + 1,22 \lg [\eta],$$

где  $[\eta]$  в 100 см<sup>3</sup>/г.

Специальными опытами было показано, что присутствие в полимере инициатора в применявшихся количествах практически не оказывает влияния на характеристическую вязкость полимера.

Для определения средней продолжительности жизни кинетических цепей методом перемежающегося освещения применялся набор дисков с вырезами; интервалы освещения и затемнения для всех дисков были равны. Для вращения дисков применялись синхронные моторы Уоррена на 2 и 60 об/мин. Интервалы освещения и затемнения можно было изменять в пределах от 0,5 до 15 сек. Диаметр светового пучка, проходящего сквозь вырезы диска, был значительно меньше длины дуги сектора, что достигалось установкой непосредственно перед вращающимися дисками диафрагмы диаметром 1,5 мм.

**Полученные результаты.** В табл. 1 собраны результаты опытов по полимеризации метилакрилата.

На рис. 2 показана зависимость  $\lg$  скорости полимеризации от  $\lg$  концентрации инициатора. Наклон прямой равен 0,50, что совпадает с те

ической величиной  $1/2$  для случая обрыва кинетических цепей при взаимодействии полимерных радикалов.

Аналогичные измерения были сделаны также и для фотоиницирования. При увеличении интенсивности света в 13,1 раза скорость фотополимеризации увеличилась в 3,57 раза, т. е. скорость фотополимеризации пропорциональна  $I^{0,496}$ , что практически совпадает с теоретической зависимостью  $I^{1/2}$ .

Таблица 1

Полимеризация метилакрилата в растворе этилацетата при 50° С, концентрации мономера 5,5 моль/л

Концентрация инициатора. 10 <sup>3</sup> моль/л	$v$ , 10 <sup>3</sup> моль/л сек	$[\eta]$ , 100 см <sup>3</sup> /г	$P$
2,730	256,0	6,30	29 100
2,065	225,0	6,90	32 500
1,120	160,0	8,70	43 100
0,925	146,0	8,89	44 350
0,784	136,0	9,78	50 000
0,730	131,0	10,00	51 150
0,562	124,0	10,20	52 400
0,504	111,0	10,56	54 800
0,336	89,0	12,30	64 500
0,253	77,8	14,45	80 100
0,098	47,3	16,95	97 500
Фото	42,2	18,61	109 000
Фото	22,2	22,90	141 000

Строгое подчинение законам  $v = kc^{1/2}$  или  $v = k'I^{1/2}$  указывает на отсутствие ингибирующих примесей в применявшихся образцах метилакрилата и этилацетата.

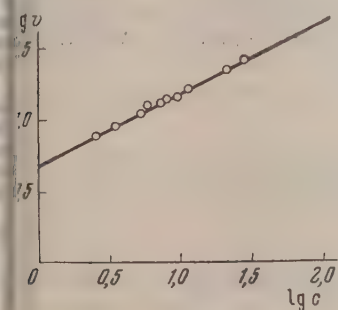


Рис. 2

Рис. 2. Зависимость логарифма скорости полимеризации от логарифма концентрации динитрила азоизомасляной кислоты

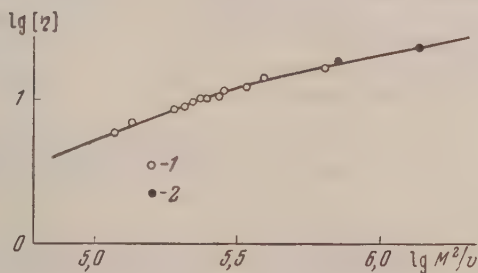


Рис. 3

Рис. 3. Зависимость  $\lg [\eta]$  от  $\lg \frac{M^2}{v}$  для полимеризации метилакрилата при 50°, 1 — инициатор динитрил азоизомасляной кислоты; 2 — фотоиницирование

Уравнение (1) в более общей форме с учетом реакции передачи цепи через растворитель и при отсутствии эффекта ингибирования может быть записано в следующем виде [9]:

$$\frac{1}{P} = \frac{1}{2} (1 + \lambda) \frac{k_0 \cdot v}{k_p^2 M^2} + \frac{k_m}{k_p} + \frac{k_s S}{k_p M} \quad (3)$$



где  $\lambda$  — доля диспропорционирования в бимолекулярном обрыве,  $k_m$ ,  $k_s$  — константы скорости передачи цепи через молекулы мономера и растворителя,  $M$  и  $S$  — концентрации мономера и растворителя,  $k_0$  — суммарная константа скорости обрыва путем диспропорционирования и соединения полимерных радикалов, т. е.  $k_0 = k_{од} + k_{ос}$ .

При больших значениях  $v/M^2$  реакциями передачи цепи можно пренебречь по сравнению с бимолекулярным обрывом. Выразив  $P$  через характеристическую вязкость согласно уравнению Хаувинка

$$[\eta] = KP^a,$$

получим [7]

$$\lg [\eta] = a \lg \frac{M^2}{v} + a \lg \frac{k_p^2 K^{1/a}}{\frac{1}{2}(1+\lambda)k_0}.$$

На рис. 3 показана зависимость  $\lg [\eta]$  от  $\lg \frac{M^2}{v}$ . В области малых значений  $M^2/v$  наблюдается линейная зависимость  $\lg [\eta]$  от  $\lg \frac{M^2}{v}$ , что

это следует из уравнения (5). Показатель  $a$ , определенный из наклона этой прямой, равен 0,808, что совпадает с величиной  $a$ , найденной Фурманом и Мезробяном [8] путем сопоставления вискозиметрических и осмотрических измерений. При больших значениях  $M^2/v$  характеристическая вязкость полимеров меньше, чем это следует из уравнения (5), очевидно, вследствие влияния реакции передачи цепи [7].

Рис. 4. Зависимость  $1/P$  от  $v/M^2$  для полимеризации метилакрилата при 50°. 1 — инициатор динитрил азонизомасляной кислоты; 2 — фотоиницирование

На рис. 4 показана зависимость  $1/P$  от  $v/M^2$  согласно уравнению (2). Средняя длина цепи вычислена из найденных значений  $[\eta]$  по уравнению Хаувинка с константами  $k$  и  $a$ , найденными Фурманом и Мезробяном (уравнение (2)).

Из наклона прямой на рис. 4 и отрезка, отсеченного прямой на ординат, получаем

$$\frac{k_{од}}{k_p^2} = 3,49 \text{ и } \frac{k_m}{k_p} + \frac{k_s S}{k_p M} = 0,51 \cdot 10^{-5}.$$

Так как при вычислении  $P$  использовано уравнение (2), соответствующее обрыву путем диспропорционирования, то  $\lambda = 1$ . Отсюда получаем

$$\left( \frac{k_p}{k_{од}^{1/2}} \right)_{50^\circ} = 0,535 \text{ л}^{1/2} / \text{моль}^{1/2} \text{ сек}^{1/2}.$$

Если обрыв цепи происходит путем соединения полимерных радикалов, то средняя длина полимерных цепей больше, чем в случае диспропорционирования, причем

$$\frac{P_c}{P_d} = \left[ \frac{\Gamma(2+a)}{\Gamma(3+a)/2^{1+a}} \right]^{1/a}.$$

Здесь  $P_c$  — средняя длина цепи при обрыве путем соединения,  $P_d$  — та же величина при диспропорционировании,  $a$  — показатель степени в уравнении Хаувинка.

и Хаувинка,  $\Gamma(2 + a)$  — множитель перехода в уравнении Хаувинка фракционированных полимеров к аналогичному уравнению для не-фракционированного полимера при обрыве путем диспропорционирования передачи цепи,  $\Gamma(3 + a)/2^{1+a}$  — аналогичная величина для случая иницирования полимерных радикалов [10].

Согласно уравнению (2)  $1/a = 1,22$ . Отсюда получаем

$$P_c = 1,31 P_d$$

$$1,31 \frac{1}{2} \frac{k_{oc}}{k_p^2} = 3,49 \quad (\lambda = 0).$$

Следовательно,

$$\left( \frac{k_p}{k_{oc}^{1/2}} \right)_{50^\circ} = 0,435 \text{ л}^{1/2} / \text{моль}^{1/2} \text{ сек}^{1/2}$$

$$\frac{k_m}{k_p} + \frac{k_s S}{k_p M} = 0,39 \cdot 10^{-5}.$$

Величина  $k_p/k_0^{1/2}$  может быть найдена методом, не зависящим от изменения средней длины полимерных цепей, если известна скорость полимеризации и скорость иницирования:

$$v = \frac{k_p}{k_0^{1/2}} v_{ин} M. \quad (6)$$

Скорость иницирования (инициатор — азодинитрилизомасляной кислоты) была определена из продолжительности индукционного периода в присутствии  $\alpha, \alpha'$ -дифенил- $\beta$ -пикрилгидразила из равенства

$$v_{ин} = \frac{x}{t_{инд}},$$

$x$  — количество введенного дифенилпикрилгидразила,  $t_{инд}$  — продолжительность индукционного периода.

В табл. 2 представлены результаты опытов, проведенных при  $50^\circ \text{C}$ .

Таблица 2

Индукционные периоды полимеризации метилакрилата в присутствии дифенилпикрилгидразила. Концентрация инициатора  $1,120 \cdot 10^{-3}$  моль/л, концентрация мономера 5,5 моль/л

Концентрация дифенилпикрилгидразила, $10^3$ моль/л	$t_{инд}$ , мин.	Скорость иницирования, $10^3$ моль/л сек	Стационарная скорость полимеризации, $10^3$ моль/л сек
0	0	—	167
0,5	36	2,30	137
1,0	70	2,38	
2,0	144	2,32	

Таким образом  $v_{ин} = 2,33 \cdot 10^{-9}$  моль/л сек. Скорость полимеризации после окончания индукционного периода несколько меньше, чем в отсутствие дифенилпикрилгидразила. Это расхождение указывает на ингибирующее действие продукта взаимодействия дифенилпикрилгидразила с первичными радикалами, образующимися при распаде инициатора.

Подставив найденное значение  $v_{ин}$  в уравнение (6), получаем

$$(k_p/k_0^{1/2})_{50^\circ} = 0,63 \text{ л}^{1/2} / \text{моль}^{1/2} \text{ сек}^{1/2},$$

что хорошо согласуется с величинами, найденными из определения длины полимерных цепей.

Сопоставление скорости иницирования со скоростью распада динитроазоизомасляной кислоты позволяет определить эффективность иницирования. Константа скорости распада при 50°С согласно [11] равна  $2,0 \cdot 10^{-6} \text{ сек}^{-1}$ . Отсюда получаем для эффективности иницирования  $f$

$$f = \frac{v_{\text{ин}}}{2k_{\text{рас}}} = \frac{2,33 \cdot 10^{-9}}{2 \cdot 2,0 \cdot 10^{-6} \cdot 1,12 \cdot 10^{-3}} = 0,52.$$

В другой работе [12] получено более высокое значение  $k_{\text{рас}}$ :  $1,20 \cdot 10^{-5} \text{ сек}^{-1}$  при 60° вместо  $0,89 \cdot 10^{-5} \text{ сек}^{-1}$  по [11]. Если принять при 50° на 20—25% более высокое значение для  $k_{\text{рас}}$ , чем  $2,0 \cdot 10^{-6}$ , то  $f = 0,4$ .

Таблица

Фотополимеризация метилакрилата в растворе этилацетата при непрерывном и прерывистом освещении,  $M = 5,5 \text{ моль/л}$

Температура, °С	Интервалы освещения и затемнения, сек.	Скорость полимеризации, мм/10 мин	$\frac{v_{\text{прер}}}{v_{\text{непр}}}$	Температура, °С	Интервалы освещения и затемнения, сек.	Скорость полимеризации, мм/10 мин	$\frac{v_{\text{прер}}}{v_{\text{непр}}}$
26,5	Непрерывное освещение	41,0	1,000	50	Непрерывное освещение	82,0	1,000
	0,5	29,0	0,707		0,5	58,0	0,707
	0,9375	28,8	0,703		0,9375	57,3	0,703
	1,875	28,6	0,698		1,875	56,8	0,698
	3,75	26,3	0,641		3,75	52,6	0,641
	7,5	23,5	0,573		7,5	47,1	0,573
	15,0	21,5	0,520		15,0	42,7	0,520
	Непрерывное освещение	41,0	1,000		Непрерывное освещение	82,0	1,000

Для определения индивидуальных констант измерена средняя продолжительность жизни полимерных радикалов методом прерывистого освещения. Эти опыты проводились следующим образом. Сначала измерялась скорость полимеризации при непрерывном освещении, затем проводились во вращение поочередно диски с различным числом вырезов — каждый раз измерялась скорость полимеризации. Затем снова измерялась скорость полимеризации при непрерывном освещении для того, чтобы убедиться в постоянстве условий освещения в течение всей серии измерений и в отсутствие необратимых кинетических изменений в реакционной системе.

В табл. 3 приведены результаты этих измерений при 26,5 и 50°.

На рис. 5 нанесена зависимость отношения скоростей полимеризации при прерывистом и непрерывном освещении для различных интервалов освещения. Кривые для температур 26,5 и 50° практически совпадают.

Среднее время жизни полимерных радикалов  $\tau$  вычислялось из формулы

$$\frac{v_{\text{прер}}}{v_{\text{непр}}} = \frac{1}{2} \frac{\tau}{T} \left[ \ln \frac{(1+z_1)e^{T/\tau} + (1-z_1)e^{-T/\tau}}{2} + \ln \frac{\frac{1}{z_2} + \frac{2T}{\tau}}{\frac{1}{z_2} + \frac{T}{\tau}} \right],$$

которая может быть выведена из теории фотохимических реакций при прерывистом освещении. В этом уравнении  $v_{\text{прер}}/v_{\text{непр}}$  — отношение скорости

стей полимеризации при прерывистом и непрерывном освещении,  $T$  — интервал освещения, равный интервалу затемнения,  $z_1$  — отношение концентрации полимерных радикалов в момент начала интервала освещения к стационарной концентрации радикалов при непрерывном освещении,  $z_2$  — аналогичная величина, соответствующая концу интервала освещения.

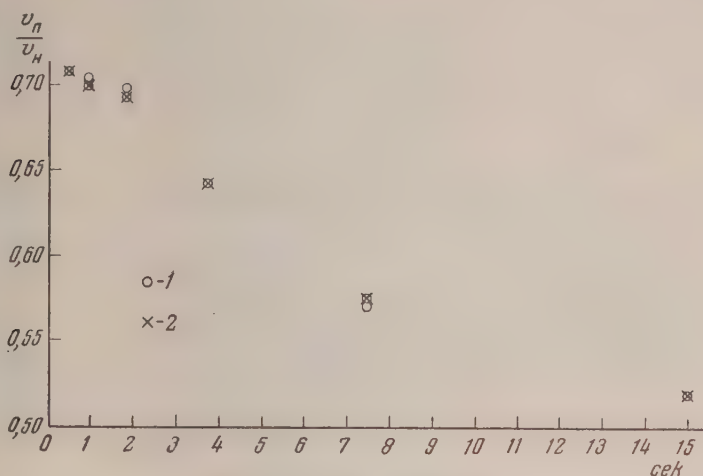


Рис. 5. Зависимость  $v_{\text{пер}}/v_{\text{непр}}$  от интервала освещения. 1 — при 26,5°C; 2 — при 50°C

Величины  $z_1$  и  $z_2$  вычисляются по уравнению

$$z_{1,2} = \mp \frac{1}{2} A \frac{T}{\tau} + \sqrt{\left(\frac{A}{2}\right)^2 \left(\frac{T}{\tau}\right)^2 + A} \quad (8)$$

где минус относится к  $z_1$ ), где  $A = z_1 z_2$  определяется равенством

$$A = \frac{1 - e^{2T/\tau}}{\left(1 - \frac{T}{\tau}\right) - \left(1 + \frac{T}{\tau}\right) e^{2T/\tau}} \quad (9)$$

Величина  $\tau$  находится следующим образом. Предварительно для различных значений  $T/\tau$  по формулам (7), (8) и (9) вычисляют отношения  $v_{\text{пер}}/v_{\text{непр}}$ . Затем путем сопоставления теоретической кривой зависимости  $v_{\text{пер}}/v_{\text{непр}}$  от  $T/\tau$  с опытными значениями  $v_{\text{пер}}/v_{\text{непр}}$  для различных  $T$  находят  $\tau$ . Таким образом, значениям  $v_{\text{пер}}/v_{\text{непр}}$  0,52; 0,57 и 0,64 соответствуют  $\tau$ , равные 7,5; 8,2 и 11,6 сек. Среднее значение  $\tau = 9,1$  сек. величина практически одинакова при 26,5 и 50°.

Среднее время жизни полимерных радикалов связано со стационарной концентрацией полимерных радикалов известным соотношением

$$k_0 n^2 = \frac{n}{\tau} \quad (10)$$

Подставив в уравнение (10)  $n$  из уравнения скорости полимеризации  $k_p n M$ , получим

$$\frac{k_p M}{k_0 v} = \tau \quad (11)$$

Из уравнения (11) для  $k_p/k_0$  получаем при 26,5°

$$\left(\frac{k_p}{k_0}\right)_{26,5^\circ} = 1,41 \cdot 10^{-4} \text{ и при } 50^\circ \left(\frac{k_p}{k_0}\right)_{50^\circ} = 2,83 \cdot 10^{-4}.$$



В табл. 4 собраны значения кинетических констант, определенных различными авторами.

На рис. 6 представлен график зависимости  $\lg(k_p/k_0^{1/2})$  от  $1/T$  по данным табл. 4; прямая проведена по данным работ [1,9] и соответствует энергии активации 4,7 ккал/моль. Мы склонны считать эти данные наиболее точными.

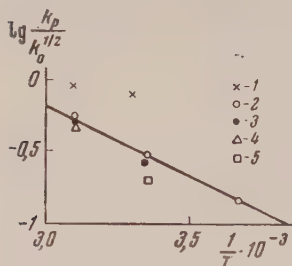


Рис. 6. Прямая Аррениуса для зависимости  $\lg k_p/k_0^{1/2}$  от  $1/T$ ; 1 — [2]; 2 — [1,9]; 3 — настоящая работа, 4 — [5]; 5 — [4]

Найденные нами значения величин  $k_p/k_0^{1/2}$  позволяют вычислить константы скоростей роста и обрыва цепей. Эти вычисления можно произвести тремя способами:

1. Принимая величины  $k_p/k_0^{1/2}$  при 50° равной 0,63, как это следует из данных по скорости полимеризации и скорости иницирования получим

$$k_p = 1400, \quad k_0 = 4,95 \cdot 10^6.$$

2. Принимая величину  $k_p/k_0^{1/2}$  при 50° равной 0,535, как это следует из сопоставления скорости полимеризации со средней длиной полимерных цепей (с поправкой на реакцию передачи цепи), считая обрыв — диспропорционирование, получим:

$$k_p = 1000, \quad k_0 = 3,55 \cdot 10^6.$$

3. То же, но обрыв — соединение

$$k_p = 666, \quad k_0 = 2,35 \cdot 10^6.$$

Таблица 4

Константы  $k_p/k_0^{1/2}$  и  $k_p/k_0$  по данным различных авторов.  
Единицы измерения: моль, литр и сек.

Температура, °C	$k_p/k_0^{1/2}$	$10^5 k_p/k_0$	Автор
0	0,15 <sup>2)</sup>	—	[1,9]
15	—	1,5	[3]
15	—	1,1	[4]
25	0,20	2,7	[4]
25	0,31 <sup>1)</sup>	—	[1,9]
26,5	0,27	14,1	Настоящая работа
30	0,80 <sup>3)</sup>	22,4	[2]
50	0,91 <sup>3)</sup>	27,3	[2]
50	0,55 <sup>2)</sup>	—	[1,9]
50	0,52	—	[5]
50	0,535	—	Настоящая работа
	0,63	28,0	Настоящая работа

Примечание. 1) В работе [1] приведены ошибочно преувеличенные значения для  $P$  и  $(k_p/k_0^{1/2})_{25^\circ}$ , в работе [9] эти ошибки исправлены. 2) Эти значения вычислены из данных работы [1]. 3) Вычислено из данных работы [2], считая эффективность иницирования динитрилом аизоомасляной кислоты, равной 50%.

Если принять  $(k_p/k_0^{1/2})_{50^\circ} 0,535$  и  $E_p - 1/2 E_0 = 4,7$  ккал/моль, то получим

$$k_p/k_0^{1/2} = 775 e^{-4700/RT} \text{ л}^{1/2} / \text{моль}^{1/2} \text{ сек}^{1/2}.$$

Так как  $E_0 \approx 0$ , то

$$k_p = 1,45 \cdot 10^6 e^{-4700/RT} \text{ л / моль сек}$$

$$k_0 = 3,55 \cdot 10^6 \text{ л / моль сек.}$$

Заметим, что определение  $k_p/k_0^{1/2}$  из скорости иницирования (по расходу дифенилпикрилгидразида) приводит к заметно отличным значениям констант  $k_p$  и  $k_0$ . Причина этого расхождения неясна.

Авторы выражают свою благодарность проф. С. С. Медведеву за интерес к настоящей работе и ее обсуждение.

### Выводы

Исследована начальная скорость полимеризации метилакрилата под действием динитрила азодинизомасляной кислоты и измерена средняя длина образующихся молекулярных цепей. Определены также средняя продолжительность жизни кинетических цепей методом вращающегося сектора и скорость иницирования методом дифенилпикрилгидразида. Получены следующие значения для кинетических констант:  $(k_p/k_0^{1/2})_{50^\circ} = 0,535$ ,  $k_p - 1/2 E_0 = 4,7 \text{ ккал / моль}$ ,  $(k_p)_{50^\circ} = 1000$  и  $(k_0)_{50^\circ} = 3,55 \cdot 10^6 \text{ л / моль сек.}$

Физико-химический  
институт им. Л. Я. Карпова  
Москва

Поступила  
9.II.1957

### ЛИТЕРАТУРА

1. X. С. Багдасарьян, Ж. физ. химии, **22**, 1181, 1948.
2. M. Matheson, E. Auer, E. Bevilacqua, E. Hart, J. Amer. Chem. Soc., **73**, 5395, 1951.
3. N. Grassie, H. Mellville, Proc. Roy. Soc., **207**, 285, 1951.
4. G. Ross, H. Mellville, см. G. Burnett, Mechanism of polymer reactions, Interscience Publishers, N. Y.—London, 1954.
5. N. Mahadevan, M. Sathappa, Makromolek. Chem., **16**, 119, 1955.
6. X. С. Багдасарьян, Ж. физ. химии, **18**, 294, 1944.
7. X. С. Багдасарьян, Ж. физ. химии, **21**, 25, 1947.
8. N. Furman, R. Mesrobian, J. Amer. Chem. Soc., **76**, 3281, 1954.
9. X. С. Багдасарьян, Диссертация, И-т им. Л. Я. Карпова, Москва, 1950.
10. X. С. Багдасарьян, Успехи химии, **17**, 316, 1948.
11. Z. A. Bervett, J. Amer. Chem. Soc., **74**, 2027, 1952.
12. J. Bevington, Trans. Faraday Soc., **51**, 1392, 1955.

### DETERMINATION OF THE RATE CONSTANTS OF THE ELEMENTARY REACTIONS OF METHYLACRYLATE POLYMERIZATION

Z. A. Sinitsyna and Kh. S. Bagdasaryan (Moscow)

### Summary

The initial rate of polymerization of methylacrylate under the action of dinitriloisobutyric acid has been investigated and the length of the molecular chains formed as been measured. Determination has also been made of the mean life of kinetic chains by the rotating segment and the rate of initiation by the diphenylpicrylhydrazyl methods. The following values have been obtained for the kinetic constants:  $k_p/k_0^{1/2} = 0.535$ ,  $E_p - 1/2 E_0 = 4.7 \text{ kcal/mole}$ ,  $(k_p)_{50^\circ} = 1000$  and  $(k_0)_{50^\circ} = 3.55 \times 10^6 \text{ /mole sec.}$

## НОВЫЕ БОРИДЫ РЕДКОЗЕМЕЛЬНЫХ МЕТАЛЛОВ

В. С. Нешпор и Г. В. Самсонов

Изучение соединений бора с редкоземельными металлами представляет интерес в связи с возможностью нахождения среди них веществ, обладающих малыми работами выхода электронов [1], а также способностью к автоэлектронной эмиссии [2]. Эти свойства связаны с существованием в боридах редкоземельных металлов коллектива свободных электронов, сравнительно слабо связанных с атомными остовами металлов и бора [3].

Установлены три типа боридов редкоземельных металлов.

1.  $\text{MeB}_2$  — фаза с гексагональной решеткой типа  $\text{AlB}_2$  ( $C6/mmm$ ). Соединения такого типа известны для иттрия [4] и скандия [5].

2.  $\text{MeB}_4$  — фаза с тетрагональной решеткой типа  $\text{UB}_4$  ( $P4/mbm$ ):  $\text{CeB}_4$  [6],  $\text{YbB}_4$  [4],  $\text{SmB}_4$ ,  $\text{GdB}_4$ ,  $\text{PrB}_4$ ,  $\text{YbB}_4$  [7].

3.  $\text{MeB}_6$  — фаза с кубической решеткой типа  $\text{CaB}_6$  ( $Pm\bar{3}m$ ). Гексабориды известны почти для всех редкоземельных элементов: Y, La, Ce, Pr, Nd, Sm, Gd, Er, Yb [7–10] и Eu.

В работах [4, 7] были обнаружены индивидуальные боридные фазы  $\text{Yb}_x$ ,  $\text{LaB}_x$ ,  $\text{PrB}_x$ ,  $\text{CeB}_x$  и  $\text{YbB}_x$ , ( $x = 3-4$ ) с тетрагональной решеткой.

Предпринятая нами попытка синтезировать бориды лантана и церия в расчете на получение  $\text{MeB}_{12}$  не привела к желаемым результатам. Рентгеновский анализ обнаружил во всех препаратах одну только кубическую фазу гексаборида, который, по-видимому, является высшим боридом редкоземельных металлов. Однако полученные нами препараты боридов лантана по внешнему виду отличались от обычного гексаборида лантана — они имели лазорево-зеленый цвет вместо пурпурного  $\text{LaB}_6$ . Химический анализ показал для этих препаратов содержание бора, большее чем полагается для  $\text{MeB}_{12}$ . Возможно, что имеет место растворение металла в решетке  $\text{MeB}_6$  по типу вычитания; изменение цвета борида может быть в этом случае связано с изменением электронной концентрации в фазе. Обнаруженная при этом неизменность периода решетки гексаборида лантана (4,16 кХ) может быть объяснена значительной жесткостью пространственного каркаса ковалентных связей между атомами бора.

Нами исследовалась возможность получения боридов диспрозия, гольмия и лютеция, о которых никаких сообщений в литературе известно не было, а также боридов гадолиния и эрбия. В качестве исходных материалов использовались чистые окислы  $\text{Dy}_2\text{O}_3$ ,  $\text{Ho}_2\text{O}_3$ ,  $\text{Lu}_2\text{O}_3$ ,  $\text{Gd}_2\text{O}_3$  и  $\text{Er}_2\text{O}_3$  и карбид бора в расчете на образование гексаборидов соответствующих металлов по реакции



описанной для гексаборидов ранее [11, 12].

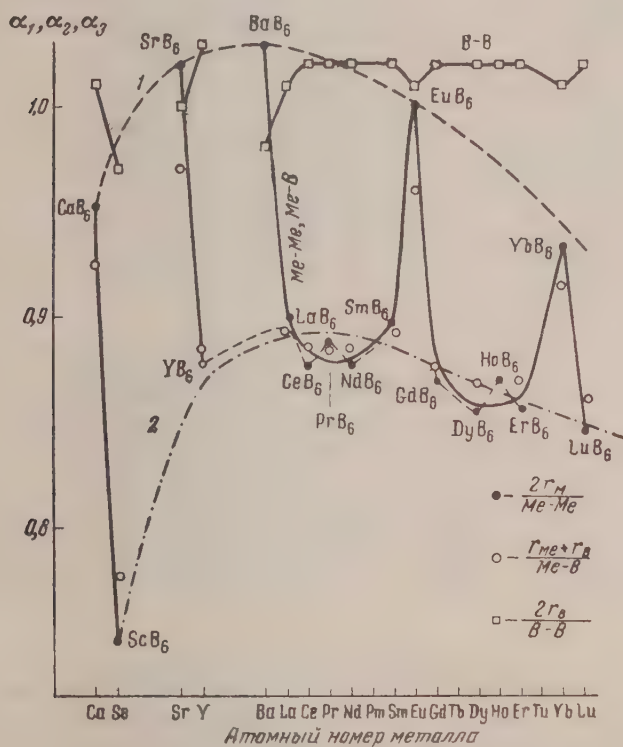
Брикеты, спрессованные из смесей порошков окислов металлов и карбида бора, нагревались в лабораторной вакуумной печи до температур 1400–1600° С и выдерживались при этой температуре в течение 1–2 час.

В полученных препаратах производилась идентификация фаз. Рентгенограммы всех пяти препаратов, снятые по методу порошка на ж

ном излучении, совершенно аналогичны (табл. 1) и позволяют идентифицировать две фазы — кубическую (типа  $\text{CaB}_6$ ) и тетрагональную (типа  $\text{U}_2\text{B}_7$ ). Периоды решеток этих фаз приведены в табл. 2\*.

Структура фаз и близость периодов их решеток к таковым для известных гекса- и тетраборидов редкоземельных металлов позволяют приписать им формулы  $\text{GdB}_6$ ,  $\text{DyB}_6$ ,  $\text{HoB}_6$ ,  $\text{ErB}_6$ ,  $\text{LuB}_6$  и  $\text{GdB}_4$ ,  $\text{DyB}_4$ ,  $\text{ErB}_4$ ,  $\text{LuB}_4$ .

На основании полученных значений периодов решеток гексаборидов были рассчитаны длины связей  $\text{Me—Me}$ ,  $\text{Me—B}$  и  $\text{B—B}$ , принимая зна-



Зависимость отношений  $\frac{2r_{\text{Me}}}{\text{Me—Me}}$ ,  $\frac{2r_{\text{B}}}{\text{B—B}}$  и  $\frac{r_{\text{Me}} + r_{\text{B}}}{\text{Me—B}}$  в гексаборидах от атомного номера металлических компонентов

ение параметра для положений атомов бора равным 0,207, аналогично структуре  $\text{CaB}_6$  [14]. Полученные значения длин связей приведены в табл. 3 вместе с данными для гексаборидов других металлов, заимствованными из литературы [9].

Отношение длин связей к сумме атомных радиусов  $\alpha$  может служить относительной характеристикой прочности связи. Рассматривая зависимость этих отношений для связей  $\text{Me—Me}$ ,  $\text{Me—B}$  и  $\text{B—B}$  от атомного номера металлических компонентов соединений (рисунок), можно видеть, что связи  $\text{Me—Me}$  и  $\text{Me—B}$  в каждом периоде уменьшаются при переходе

\* Предварительные сведения о результатах исследования боридов Dy, Ho, Lu кратко сообщались нами ранее [13].



Таблица

Рентгенограмма борида диспрозия,  $K\alpha$ -излучение железа

$\theta^\circ$	$\sin^2 \theta$	Наблюдаемая интенсивность линий	$hkl$ DyB <sub>4</sub>	$hkl$ DyB <sub>4</sub>	$\theta^\circ$	$\sin^2 \theta$	Наблюдаемая интенсивность линий	$hkl$ DyB <sub>4</sub>	$hkl$ DyB <sub>4</sub>
14°6'	0,0593 <sub>4</sub>	сл.	100	—	47°30'	0,5462	оч. с.	340	11:
17°42'	0,0944 <sub>9</sub>	ср.	110	210	48°48'	0,5661	с.	—	33:
21°42'	0,1367	сл.	—	021	50°21'	0,5929	с.	341	12:
22°54'	0,1514	с.	111	—	51°30'	0,6124	с.	—	53:
25°39'	0,1874	сл.	—	340	52°36'	0,6310	ср.	222	44:
27°6'	0,2575	сл.	200	221	54°51'	0,6685	сл.	—	61:
29°36'	0,2439	ср.	210	320	56°6'	0,6889	оч. с.	320	—
30°51'	0,2629	оч. сл.	—	112	58°21'	0,7247	ср.	—	62:
33°36'	0,3062	с.	211	022	59°39'	0,7446	с.	321	54:
34°9'	0,3150	с.	—	410	61°12'	0,7679	оч. сл.	—	62:
34°39'	0,3232	с.	—	212	63°36'	0,8026	с.	—	541,4
35°21'	0,3348	сл.	—	041	64°51'	0,8194	с.	—	63:
37°39'	0,3731	оч. с.	—	420	66°6'	0,8343	оч. с.	—	53:
38°42'	0,3909	ср.	—	331	67°42'	0,8590	оч. с.	400	63:
40°12'	0,4166	сл.	220	421	71°36'	0,9004	ср.	—	71:
42°6'	0,4494	сл.	—	430	74°6'	0,9249	оч. с.	410	024
42°51'	0,4624	сл.	221	510	81°6'	0,9761	с.	411	—
42°12'	0,5210	сл.	—	520					

Таблица 2

## Периоды решеток исследованных боридных фаз

Фаза	Тип решетки	Период решетки, кX	Фаза	Тип решетки	Периоды решеток, кX
GdB <sub>6</sub>	CeB <sub>6</sub>	4,14	GdB <sub>4</sub>	UB <sub>4</sub>	$a = 7,13; c = 3,86$
DyB <sub>6</sub>	CeB <sub>6</sub>	4,13	DyB <sub>4</sub>	UB <sub>4</sub>	$a = 7,23; c = 4,09$
HoB <sub>6</sub>	CeB <sub>6</sub>	4,12	HoB <sub>4</sub>	UB <sub>4</sub>	$a = 7,15; c = 4,09$
ErB <sub>6</sub>	CeB <sub>6</sub>	4,10	ErB <sub>4</sub>	UB <sub>4</sub>	$a = 7,12; c = 3,98$
LuB <sub>6</sub>	CeB <sub>6</sub>	4,11	LuB <sub>4</sub>	UB <sub>4</sub>	$a = 7,15; c = 4,04$

Таблица 3

## Длины связей в решетках гексаборидов

Фаза	Me — Me, кX	$\alpha_1 = \frac{2r_{Me}}{Me — Me}$	Me — B, кX	$\alpha_2 = \frac{r_{Me} + r_B}{Me — B}$	B — B, кX	$\alpha_3 = \frac{2r_B}{B — B}$
CaB <sub>6</sub> [9]	4,15	0,952	3,06	0,925	1,72	1,01
SrB <sub>6</sub> [9]	4,20	1,020	3,09	0,970	1,74	1,00
BaB <sub>6</sub> [9]	4,29	1,030	3,16	0,980	1,78	0,98
ScB <sub>6</sub> *	4,35	0,746	3,20	0,775	1,80	0,97
YB <sub>6</sub> [9]	4,08	0,877	3,01	0,885	1,69	1,03
LaB <sub>6</sub> [9]	4,15	0,900	3,06	0,853	1,72	1,01
CeB <sub>6</sub> [6]	4,14	0,877	3,05	0,885	1,71	1,02
PrB <sub>6</sub> [9]	4,13	0,885	3,04	0,885	1,71	1,02
NdB <sub>6</sub> [9]	4,13	0,877	3,04	0,885	1,71	1,02
SmB <sub>6</sub> [7]	4,13	0,896	3,04	0,893	1,71	1,02
EuB <sub>6</sub> **	4,16	1,000	3,07	0,961	1,72	1,01
GdB <sub>6</sub> ***	4,14	0,870	3,04	0,877	1,71	1,02
DyB <sub>6</sub> ***	4,13	0,855	3,04	0,870	1,71	1,02
HoB <sub>6</sub> ***	4,12	0,870	3,04	0,870	1,71	1,02
ErB <sub>6</sub> ***	4,10	0,855	3,03	0,870	1,70 <sub>5</sub>	1,02
YbB <sub>6</sub> ***	4,14	0,934	3,05	0,916	1,72	1,01
LuB <sub>6</sub> ***	4,11	0,846	3,03	0,861	1,70 <sub>5</sub>	1,02

\* Установлено Г. А. Кудинцевой, В. С. Нешпором, Г. В. Самсоновым, Б. М. Царевым.

\*\* Установлено В. П. Даегановским, Г. В. Самсоновым, И. А. Семашко [21].

\*\*\* Установлено авторами в данной работе.

г двух- к трехвалентным металлам. В группе лантанидов эти отношения для связей  $Me-Me$  и  $Me-B$  постепенно уменьшаются с ростом атомного номера металла, однако дают два резких пика для гексаборидов европия и иттербия, в которых ионы металла, по-видимому, присутствуют в двухвалентном состоянии, аналогично ионам  $Ca$ ,  $Sr$  и  $Ba$  (кривая 1 на рисунке). Металлические компоненты в остальных гексаборидах лантанидов, так же как и скандия и иттрия, являются трехвалентными (кривая на рисунке); это опровергает указание на двухвалентное состояние гадолиния  $GdB_6$  [15]. Ослабление связи  $Me-Me$  и  $Me-B$  при переходе от двух- к трехвалентным ионам металла в гексаборидах связано, по-видимому, с наличием в последнем случае достаточно высокой концентрации свободных электронов, движение которых ослабляет кристаллическую решетку [16].

Отношение  $\frac{2r_B}{B-B}$  с изменением атомного номера металлических компонентов в гексаборидах меняется сравнительно мало, а у гексаборидов металлов лантанидной группы остается почти постоянным, несколько уменьшаясь у  $EuB_6$  и  $YbB_6$ , что связано со сравнительно большими атомными радиусами соответствующих металлов. Это указывает на весьма большую жесткость связей атомов бора друг с другом и объясняет устойчивость решетки  $MeB_6$ .

Проведенное исследование боридов ряда редкоземельных металлов существенно дополняет сведения о гексаборидных фазах, образуемых редко- и щелочноземельными металлами. Эти фазы, как правило, образуются элементами, у которых величины первого и второго потенциалов ионизации не превышают соответственно 6—7 и 11—12 eV, что связано с необходимостью передачи части валентных электронов от металлических атомов к бору для организации пяти ковалентных связей между атомами последнего [19, 20].

Возможно, что гексабориды могут быть образованы и элементами с более высокими ионизационными потенциалами, однако это образование связано со значительными трудностями, как это указывалось в работах [17, 18] для случая гексаборида кремния.

### Выводы

1. Установлено существование неизвестных ранее гексаборидов  $DyB_6$ ,  $HoB_6$  и  $LuB_6$  и тетраборидов  $DyB_4$ ,  $HoB_4$ ,  $LuB_4$  и  $ErB_4$ , а также подтверждено существование гексаборидов  $Gd$  и  $Er$  и тетраборида гадолиния. На примере боридов лантана и церия экспериментально установлено, что гексаборид, по-видимому, является высшим боридом редкоземельных металлов.

2. Рассчитаны длины связей  $Me-Me$ ,  $M-B$  и  $B-B$ . Рассмотрение отношений суммы атомных радиусов к этим величинам в зависимости от атомного номера металлов показывает, что в бориде  $CaB_6$ ,  $BaB_6$ ,  $SrB_6$ ,  $YbB_6$  и  $ErB_6$  металл находится в двухвалентном состоянии, тогда как в гексаборидах остальных редкоземельных металлов — в трехвалентном.

Академия наук УССР  
Институт металлокерамики  
и спечсплавов  
Киев

Поступила  
14.II.1957

### ЛИТЕРАТУРА

1. J. Lafferty, Phys. Rev., **79**, 1012, 1950.
2. М. Е. Елинсон, Г. Ф. Васильев, Радиотехника и электроника, **2**, 3, 1957.
3. Г. В. Самсонов, В. С. Нешпор, Труды совещания по сплавам редких металлов, изд. АН СССР, Москва, 1958.
4. J. Binder, Powder Metallurgy Bull., **1**, 14, 1956.

5. Н. Н. Журавлев, А. А. Степанова, Кристаллография, 2, 656, 1954.
6. A. Zalkin, D. Templeton, Acta Crystallogr., 6, 269, 1953.
7. B. Post, D. Moskowitiz, F. Glaser, J. Amer. Chem. Soc., 81, 1800, 1959.
8. M. Stackelberg, F. Neumann, Z. phys. Chem., B19, 314, 1932.
9. R. Kiessling, Acta chem. scand., 4, 209, 1950.
10. P. Blum, F. Bertaut, Acta crystallogr., 1, 81, 1954.
11. Г. В. Самсонов, А. Е. Гродштейн, Ж. физ. химии, 30, 379, 1956.
12. Г. В. Самсонов, Л. Я. Марковский, Успехи химии, 25, 191, 1956.
13. В. С. Нешпор, Г. В. Самсонов, Доповіди АН УРСР, № 5, 478, 1957.
14. Г. Б. Бокій, Введение в кристаллохимию, Изд-во МГУ, М., 1954, стр. 31.
15. Г. С. Жданов, Н. Н. Журавлев, А. А. Степанова, М. М. Умашский, Кристаллография, 2, 289, 1957.
16. И. Н. Францевич, в сб. «Вопросы порошковой металлургии и прочные материалы», вып. 3, АН УССР, Киев, 1956, стр. 14.
17. Г. В. Самсонов, В. П. Латышева, Докл. АН СССР, 105, 499, 1955.
18. Н. Н. Журавлев, Кристаллография, 1, 666, 1956.
19. H. Longuett-Higgins, M. Roberts, Proc. Roy. Soc., A224, 336, 1955.
20. S. Flodmark, Arkiv fys., 9, 357, 1955.
21. Г. В. Самсонов, В. П. Дзегавский, И. А. Семашко, Докл. АН СССР, 119, 506, 1958.

## NEW BORIDES OF THE RARE EARTH METALS

*V. S. Neshpor and G. V. Samsonov (Kiev)*

### Summary

The existence of the previously unknown hexaborides  $DyB_6$ ,  $HoB_6$  and  $LuB_6$  and tetraborides  $DyB_4$ ,  $HoB_4$  and  $ErB_4$  was established and that of the hexaborides of Gd and Er and of the tetraboride of Gd verified.

On the example of lanthanum and cerium it has been shown that the hexaborides are apparently the highest borides of the rare earth elements.

The bond lengths of  $Me-Me$ ,  $Me-B$  and  $B-B$  have been calculated. An examination of the ratio of the sum of atomic radii to these values depending upon the atomic numbers of the metals showed that in  $CaB_6$ ,  $BaB_6$ ,  $SrB_6$ ,  $YbB_6$  and  $ErB_6$  the metal is in a bivalent state, whereas in the hexaborides of the other rare earth metals the latter are trivalent.

## О ТЕМПЕРАТУРНОЙ ЗАВИСИМОСТИ ЭЛЕКТРОПРОВОДНОСТИ БИНАРНЫХ СОЛЕВЫХ РАСПЛАВОВ В СВЯЗИ С ФАЗОВЫМИ ДИАГРАММАМИ

*Б. Ф. Марков и А. М. Тарасенко*

В предыдущей статье [1] одним из авторов было показано, что при охлаждении расплавленной солевой эвтектики ниже температуры плавления компонентов происходит перерождение структуры расплава: постепенно возникает квазиэвтектическая структура, которая получает наибольшее развитие перед кристаллизацией жидкой эвтектики. В случае солевых расплавов, образующих при кристаллизации непрерывный ряд твердых растворов, структурные превращения не наблюдаются, а равномерное распределение одного компонента в другом, отвечающее в этом смысле идеальному раствору, сохраняется во всем температурном интервале. В противоположность этому для эвтектических систем гетерогенность твердой фазы проявляется также в жидкости, ибо в расплаве по мере приближения к температуре кристаллизации эвтектики протекают одготовительные процессы, выражающиеся в возникновении микрогетерогенности.

Эта точка зрения на строение жидких эвтектик вблизи температуры их застывания была впервые развита В. И. Даниловым и И. В. Радченко [2] при истолковании экспериментальных результатов по рассеянию рентгеновых лучей жидкими металлическими эвтектиками.

Перенесение этих представлений на солевые эвтектики основывалось на анализе температурной зависимости электропроводности расплавов. Мы предполагали, что для расплавленных солевых эвтектик температурная зависимость электропроводности выше температур плавления компонентов будет иная, чем вблизи температуры кристаллизации эвтектики, ибо структурные преобразования в расплаве должны отразиться на электропроводности. В случае систем, дающих твердые растворы, температурная зависимость электропроводности должна быть одной и той же для всей температурной области. Для анализа экспериментальных данных, имеющихся в литературе, было использовано эмпирическое уравнение

$$\lg \kappa = A - \frac{B}{T}, \quad (1)$$

которое также теоретически обосновано Я. И. Френкелем [3]. Для большинства индивидуальных расплавленных солей электропроводность изменяется с температурой в соответствии с уравнением (1): однако для  $\text{ZnCl}_2$  и  $\text{ZnCl}_2$  имеют место ярко выраженные отклонения от этого уравнения. Причина отклонений, скорее всего, обусловлена изменением степени ассоциации этих солей с температурой [4, 5].

Если электропроводность индивидуальных расплавленных солей, составляющих систему, описывается уравнением (1), то вероятно считать, что это уравнение будет применимо также для смешанного расплава.

Наблюдаемые отступления от уравнения (1) естественно связать со структурными изменениями в расплаве, а именно с появлением микрогетерогенности.

Имеющиеся в литературе данные подтвердили высказанные предположения: электропроводность систем  $\text{KCl}-\text{NaCl}$  и  $\text{AgBr}-\text{AgI}$ , дающих



непрерывный ряд твердых растворов, хорошо описывается уравнение (1) во всем температурном интервале, вплоть до температуры кристаллизации. Напротив, в эвтектических системах  $\text{AgJ—AgCl}$ ,  $\text{NaCl—CaCl}_2$ ,  $\text{KCl—LiCl}$ , начиная от температуры плавления компонентов, наблюдаются систематические отклонения от линейной зависимости, которые достигают наибольшей величины перед кристаллизацией эвтектики.

Примечателен тот факт, что начало отклонений от прямой в некотором приближении совпадало с температурой плавления компонентов или одного из них. Однако, как отмечалось в предыдущей статье, этот факт не вошел в широко экспериментальное обоснование.

Чтобы подчеркнуть особенность температурной зависимости электропроводности для различных типов бинарных солевых смесей считать правилом, было бы желательно провести серию измерений, так как литературных данных было недостаточно. С этой целью нами выполнены измерения электропроводности ряда бинарных солевых систем.

### Экспериментальная часть

Для получения надежных экспериментальных данных было необходимо измерить электропроводность и температуру по возможности точно, поэтому большое внимание уделено установке для измерения электропроводности, а также приготовлению солей высокой чистоты. В измерениях применялись ячейки U-образного типа и цилиндрической формы, изготовленные из прозрачного кварца; электроды платиновые в вид

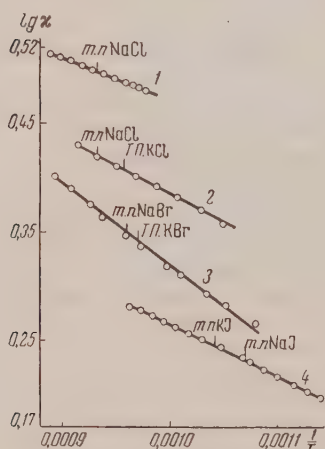


Рис. 1. Зависимость электропроводности от температуры для систем, образующих непрерывный ряд твердых растворов: 1 —  $\text{NaBr—NaCl}$ , 50 мол. %  $\text{NaCl}$ ; 2 —  $\text{KCl—NaCl}$ , 50 мол. %  $\text{NaCl}$ ; 3 —  $\text{KBr—NaBr}$ , 50 мол. %  $\text{NaBr}$ ; 4 —  $\text{KJ—NaJ}$ , 50 мол. %  $\text{NaJ}$ .

цилиндров. Эти типы ячеек проверялись ранее и описаны в [6]. Длина и диаметр толстостенных капилляров подбирались с таким расчетом, чтобы константа ячейки лежала в пределах 200—600. В качестве эталонной жидкости применялся раствор серной кислоты с максимальной электропроводностью, рекомендуемый для этой цели. Измерительная установка состояла из следующих частей: звуковой генератор ЗГ-10 индикатор нуля осциллографического типа ИНО-3, безындукционный магазин декадных сопротивлений (ОРИОН-ЕМГ), составляющий одно из плеч моста.

Два дополнительных постоянных сопротивления, входящие в схему моста, были выполнены в виде одинаковых бифилярно намотанных катушек, защищенных заземленными экранами. Подводящими проводами к электродам служил двухжильный кабель с паружной экранированной оболочкой, которая также заземлялась. Температура в печи изменялась и поддерживалась постоянной при помощи фототерморегулятора, конструкция которого описана в [7]. Этим путем достигалось постоянство температуры с колебаниями менее  $0,1^\circ$ . Температура измерялась платина-платинородиевой термопарой, градуированной по эталонным приборам Всесоюзного научно-исследовательского института метрологии им. Д. И. Менделеева; э. д. с. термопары определялась низкоомным потенциометром постоянного тока (ППТН-1) и фиксировалась с точностью  $0,001 \text{ mV}$ .

Исходные соли марки «х. ч.» подвергались дополнительной очистке. Помимо неоднократной перекристаллизации широко применялся, где было возможно, дигиэповый

ход для удаления тяжелых металлов (обработка раствора соли раствором дитизона треххлористом углероде). В ряде случаев соли переводились в гидроокиси с последующим растворением в перегнанной кислоте. Для получения солевой смеси заранее сплавленные соли смешивались в соответствующих количествах и расплавлялись в фарфоровой пробирке, из которой расплав выливался в охлажденную платиновую

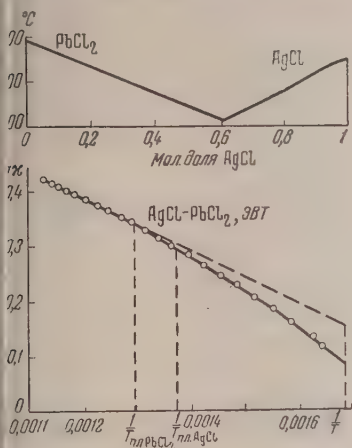


Рис. 2

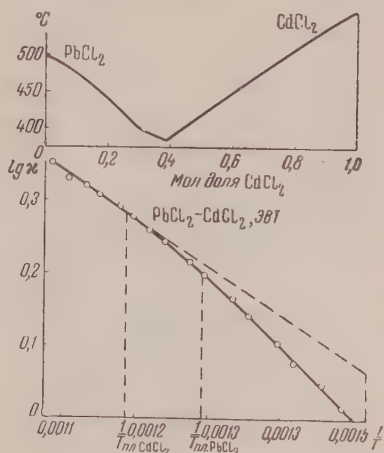


Рис. 3

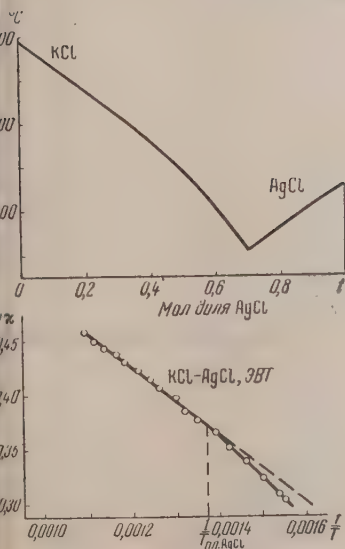


Рис. 4

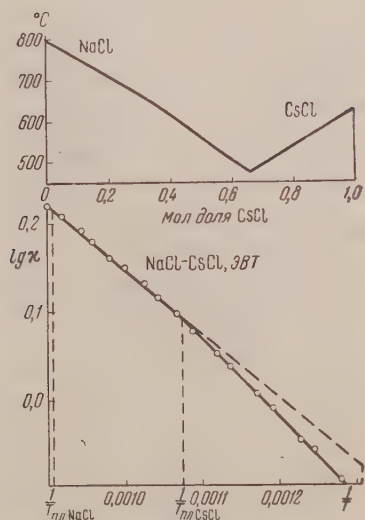


Рис. 5

рис. 2—5. Зависимость электропроводности от температуры эвтектического солевого расплава

шку. Солевая смесь готовилась в количестве, необходимом для заполнения ячейки. Для проверки установки была измерена электропроводность  $KCl$  и  $NaNO_3$ . Полученные величины электропроводности\* удовлетворительно совпадали с литературными данными.

\* На всех рисунках удельная электропроводность  $\kappa$  дана  $\Omega^{-1} \text{ см}^{-1}$ .

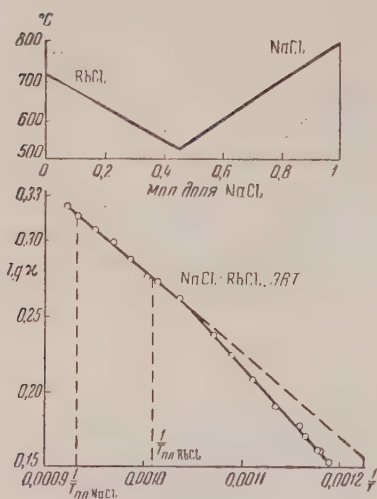


Рис. 6

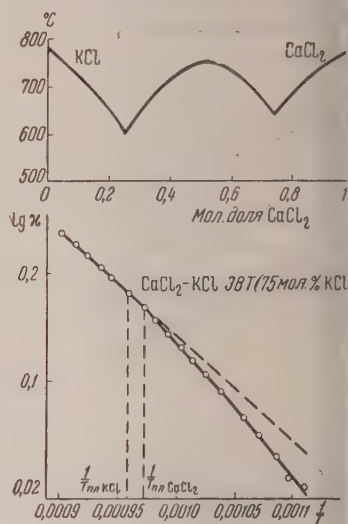


Рис. 7

Рис. 6—7. Зависимость электропроводности от температуры эвтектического солевого расплава

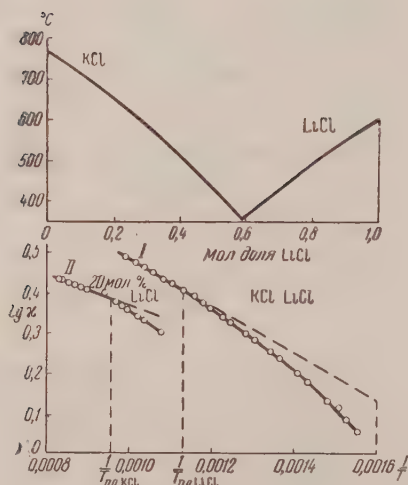


Рис. 8

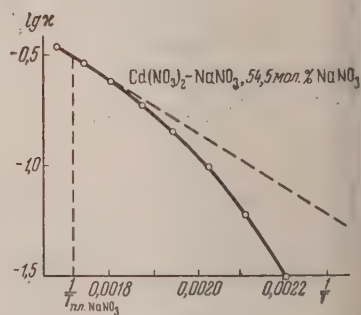


Рис. 9

Рис. 8. Зависимость электропроводности от температуры эвтектического расплава KCl — LiCl для расплава 20 мол. % LiCl, по данным [8]

Рис. 9. Зависимость электропроводности от температуры эвтектического расплава Cd(NO<sub>3</sub>)<sub>2</sub> — NaNO<sub>3</sub>, по данным [9]

### Обсуждение результатов

Измерялась электропроводность бинарных солевых расплавов трех типов: 1) простая эвтектика, 2) непрерывный ряд твердых растворов и промежуточный тип между эвтектикой и твердым раствором.

Для расплавов, дающих при застывании непрерывный ряд твердых растворов, строго выполняется уравнение (1) во всем температурном интервале, что, по нашему мнению, свидетельствует об отсутствии каких-либо заметных структурных преобразований с изменением температуры (рис. 1).

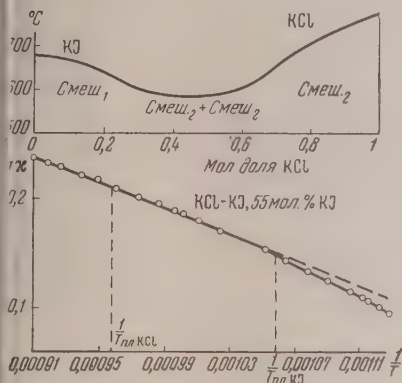


Рис. 10

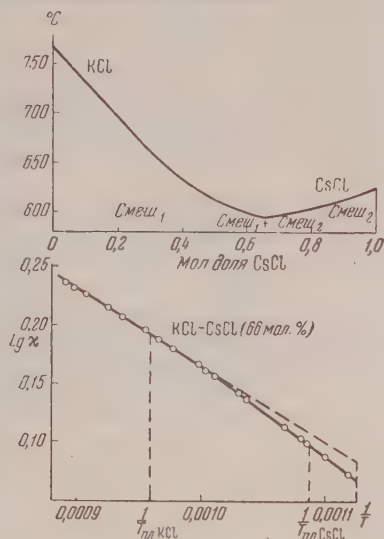


Рис. 11

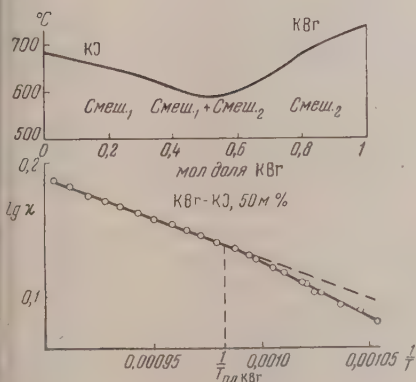


Рис. 12

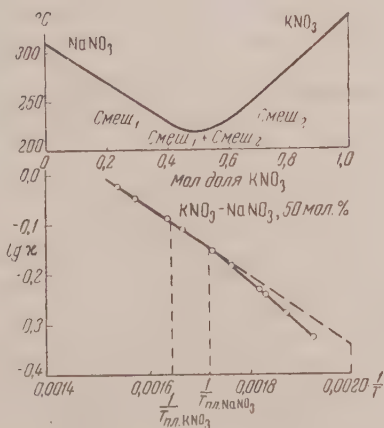


Рис. 13

Рис. 10—13. Зависимость электропроводности от температуры

интервале, что, по нашему мнению, свидетельствует об отсутствии каких-либо заметных структурных преобразований с изменением температуры (рис. 1).

Прохождение через температуру плавления компонентов не отражается на линейной зависимости  $\lg \kappa - 1/T$ . Для расплавов, дающих при застывании эвтектический конгломерат, уравнение (1) соблюдается только в температурном интервале выше температуры плавления компонентов (или



низкоплавкого компонента). Ниже температур плавления компонент вплоть до температур кристаллизации эвтектики, электропроводность изменяется по совершенно другому закону (рис. 2—9), причем, коэффициент  $B$  уравнения (1) уже изменяется с температурой.

В большинстве случаев переход от одной температурной зависимости электропроводности к другой приближенно совпадает с температурой плавления низкоплавкого компонента, когда расплав—эвтектического става.

Если имеется избыток тугоплавкого компонента (сравнительно с составом эвтектики), то наблюдается излом кривой  $\lg \kappa - 1/T$  также при температуре плавления этого компонента (например, в системе  $\text{KCl}-\text{LiCl}$ ).

Такая же картина получается для эвтектического расплава, образованного из индивидуальной и двойной соли (например, эвтектика  $\text{KCl}-\text{KCaCl}_2$  в системе  $\text{KCl}-\text{CaCl}_2$ ).

По-видимому, можно представить себе следующую физическую картину эвтектического расплава. Выше температуры плавления компонент (допустим, что температуры плавления компонентов близки) эвтектический расплав является жидкостью со структурой, отвечающей полномолекулярному перемешиванию. Ниже температуры плавления солнаступает постепенное перерождение структуры расплава, выражающееся в том, что начинают развиваться флуктуации концентрации появляются микрообласти, обогащенные тем или другим компонентом.

С понижением температуры микро неоднородность расплава усиливается и достигает максимального развития перед кристаллизацией эвтектики. Вблизи температуры кристаллизации в этих микрообластях (обогащенных одним из компонентов) возникают неустойчивые микрокристаллы как зародыши фаз твердой эвтектики (явление предкристаллизации). Такое перерождение расплава, естественно, должно отразиться на температурной зависимости электропроводности. Нам кажется, что такая картина правдоподобна, ибо невозможно себе представить, чтобы в возникновению микрокристаллов не предшествовало разделение компонентов, т. е. появление микрообластей преимущественно одного компонента.

Считая, что подготовительные процессы в жидкой эвтектике перед кристаллизацией должны быть общими для всех эвтектических систем, мы в дальнейшем изучим в этом аспекте физико-химическими методами эвтектики криогидратного типа.

На рис. 10, 11, 12 и 13 представлены результаты измерения электропроводности бинарных расплавов, которые при охлаждении образуют эвтектику, но не из чистых компонентов, а из твердых растворов первого компонента во втором и второго в первом. Следовательно, эти системы являются промежуточным типом между простой эвтектикой и непрерывными твердыми растворами. В соответствии с предыдущим здесь не соблюдается линейная зависимость между  $\lg \kappa - 1/T$ , как требует уравнение (1), однако отступления выражены значительно слабее, чем для эвтектических систем. Вероятно, по степени отклонения от линейной зависимости можно судить о том, к какому из двух типов ближе данная система.

## Выводы

1. Расплавленные бинарные солевые системы в зависимости от типа фазовых диаграмм обнаруживают различное изменение электропроводности с температурой. Электропроводность расплавов, которые при охлаждении образуют непрерывный ряд твердых растворов, изменяется с температурой строго в соответствии с уравнением  $\lg \kappa = A - B/T$  во все

температурном интервале, вплоть до температуры кристаллизации (системы  $\text{KCl}-\text{KCl}$ ,  $\text{KBr}-\text{NaBr}$ ,  $\text{KJ}-\text{NaJ}$ ,  $\text{NaBr}-\text{NaCl}$ ,  $\text{AgBr}-\text{NaBr}$ ,  $\text{AgBr}-\text{J}$ ).

Электропроводность эвтектических солевых расплавов подчиняется полулогарифмическому уравнению только в температурной области выше температур плавления компонентов. Ниже температуры плавления низкоплавкого компонента, вплоть до температуры кристаллизации эвктики, электропроводность изменяется по иному закону. Начало отклонений от уравнения в некотором приближении совпадает с температурой плавления низкоплавкого компонента (эвтектические системы  $\text{PbCl}_2-\text{ICl}_2$ ,  $\text{KCl}-\text{LiCl}$ ,  $\text{NaCl}-\text{RbCl}$ ,  $\text{CsCl}-\text{NaCl}$ ,  $\text{AgCl}-\text{PbCl}_2$ ,  $\text{KCl}-\text{AgCl}$ ,  $\text{aCl}-\text{CaCl}_2$ ,  $\text{AgJ}-\text{AgCl}$ ,  $\text{Cd}(\text{NO}_3)_2-\text{NaNO}_3$ ).

Для расплавленных систем промежуточного типа между простой эвктикой и твердыми растворами наблюдаются слабо выраженные отклонения от полулогарифмического уравнения (системы  $\text{KCl}-\text{KJ}$ ,  $\text{KCl}-\text{Cl}$ ,  $\text{KBr}-\text{KJ}$ ,  $\text{KNO}_3-\text{NaNO}_3$ ).

2. Особая температурная зависимость электропроводности эвтектических солевых расплавов объяснена перерождением структуры расплава, начинающаяся с температуры плавления низкоплавкого компонента, точнее, проявлением квазиэвтектической структуры.

Академия наук УССР  
Институт общей и неорганической химии  
Киев

Поступила  
14.II.1957

#### ЛИТЕРАТУРА

- Б. Ф. Марков, Докл. АН СССР, 102, 1163, 1955.
- В. И. Данилов, И. В. Радченко, Ж. эксперим. и теор. физики, 7, 1153, 1158, 1937.
- Я. И. Френкель, Кинетическая теория жидкостей, Изд-во АН СССР, 1945, стр. 390.
- O. Rahlfs, W. Fischer, Z. anorgan. und allgem. Chem., 211, 349, 1933.
- W. Bults, Z. anorgan. und allgem. Chem., 279, 104, 1955.
- А. А. Щербаков и Б. Ф. Марков, Ж. физ. химии, 13, 621, 1939.
- Ю. К. Делимарский, Б. Ф. Марков и Л. С. Беренблюм, Ж. физ. химии, 27, 1848, 1953.
- С. В. Карпачев, А. Г. Стромберг, В. Н. Подгайнова, Ж. общ. химии, 5, 1517, 1935.
- Н. П. Поповская, П. И. Проденко, Ж. общ. химии, 24, 207, 1954.

#### ON THE TEMPERATURE DEPENDENCE OF THE ELECTROCONDUCTIVITY OF BINARY SALT MELTS IN CONNECTION WITH THE PHASE DIAGRAMS

*B. F. Markov and A. M. Tarasenko (Kiev)*

#### Summary

Molten binary salt systems reveal different changes in their electrical conductivity with temperature, depending upon the respective type of their phase diagrams.

The electroconductivity of melts which form a continuous series of solid solutions changes with respect to the temperature strictly in accord with the equation  $\log \kappa = A - B/T$ , over the entire temperature range up to the temperature of crystallization (the systems  $\text{KCl}-\text{NaCl}$ ,  $\text{KBr}-\text{NaBr}$ ,  $\text{KJ}-\text{NaJ}$ ,  $\text{NaBr}-\text{NaCl}$ ,  $\text{AgBr}-\text{NaBr}$ ,  $\text{AgBr}-\text{AgI}$ ).

The electroconductivity of eutectic salt melts obeys the semilogarithmic equation only in the temperature region above the melting temperature of the components. Below the melting temperature of the low melting component down to the crystallization tempera-

ture of the eutectic the electroconductivity follows another law. The beginning of the deviation from the equation coincides to some approximation with the melting temperature of the low melting component (eutectic systems  $\text{PbCl}_2 - \text{CdCl}_2$ ,  $\text{KCl} - \text{LiCl}$ ,  $\text{NaCl} - \text{RbCl}$ ,  $\text{CsCl} - \text{NaCl}$ ,  $\text{AgCl} - \text{PbCl}_2$ ,  $\text{KCl} - \text{AgCl}$ ,  $\text{NaCl} - \text{CaCl}_2$ ,  $\text{AgI} - \text{AgCd}(\text{NO}_3)_2 - \text{NaNO}_3$ ).

For molten systems of the type intermediate between a simple eutectic and a solid solution a slight deviation may be observed from the semilogarithmic equation (systems  $\text{KCl} - \text{KI}$ ,  $\text{KCl} - \text{CsCl}$ ,  $\text{KBr} - \text{KI}$ ,  $\text{KNO}_3 - \text{NaNO}_3$ ).

The specific temperature dependence of the electroconductivity of eutectic salt mixtures is explained by the degeneration of the melt structure beginning with the melting temperature of the low melting component, or, to be more exact, with the appearance of quaternary eutectic structures.

---

ПРОЦЕСС ЭЛЕКТРОХИМИЧЕСКОГО ОКИСЛЕНИЯ СОЛЕЙ  
ЧЕТЫРЕХВАЛЕНТНОГО УРАНА НА Pt-ЭЛЕКТРОДЕ \*

К. И. Розенталь и В. И. Веселовский

В настоящее время в литературе имеется сравнительно мало данных о механизме анодного окисления четырехвалентного урана на Pt-электроде. Этому вопросу была посвящена работа Беттса [1], который, исследуя кинетику процесса в широком интервале плотностей тока и анодных потенциалов, пришел к выводу, что при больших плотностях тока скорость окисления четырехвалентного урана лимитируется скоростью диффузии его к аноду, в то время как при малых — медленным переходом электрона от металлического иона на анод. Хил [2] изучал процесс анодного окисления  $UO^{2+}$ -ионов полярографическим методом на стационарном Pt-электроде в растворах 6*N*  $H_2SO_4$  и 6*N*  $HCl$ , однако ему не удалось получить на поляризационных кривых отчетливых волн вплоть до потенциалов выделения молекулярного кислорода или соответственно водорода.

В данной работе приводится материал по реакции электрохимического окисления  $UO^{2+}$ -ионов на Pt-вращающемся микроэлектроде, полученный при помощи метода анодной полярографии, разработанного и описанного авторами ранее [3].

Четырехвалентный уран получался путем электрохимического восстановления шестивалентного урана на Pt-электроде в растворах 1*N*  $HClO_4$  или 1*N*  $H_2SO_4$  в атмосфере водорода. Концентрация  $UO^{2+}$ -ионов определялась титрованием раствором  $KMnO_4$  известной концентрации. Все растворы готовились из трижды перегнанных кислот и перекристаллизованных солей. Испытуемым электродом служила тонкая платиновая проволока длиной 5 мм и диаметром 0,5 мм, которая перед опытом подвергалась травлению в горячей царской водке и промыванию в дважды перегнанной воде. В качестве катода и одновременно электрода сравнения был использован нормальный кадмиевый электрод\*\*. Все опыты проводились в атмосфере азота. Полярографические кривые снимались на вращающемся электроде, скорость вращения которого поддерживалась постоянной и равной 800 об/мин. Перед снятием полярограмм Pt-электрод активировался путем быстрой (в течение 2—3 мин), многократной (3—4 раза) поляризации от высоких анодных потенциалов 1,5 до 0,3 В.

Реакция анодного окисления  $UO^{2+}$ -ионов в растворе 1*N*  $HClO_4$ 

На рис. 1 дана полярограмма анодного окисления  $UO^{2+}$ -ионов в растворе  $1 \cdot 10^{-3}$  *M*  $UOSO_4 + 1$  *N*  $HClO_4$ , характеризующаяся ярко выраженной волной  $cE_{1/2} = 1,05$  В и  $i_d = 4,3$   $\mu A$ . Как показали наши опыты, величина  $i_d$  зависит от состояния поверхности платинового микроэлектрода. Так, в случае снятия  $I-E$  кривой на «пассивном» электроде (электрод обработан царской водкой и промыт дважды перегнанной водой) величина  $i_d$  при постоянных условиях диффузии меньше на 10—20% величины  $i_d$ , полученной на электроде, предварительно активированном выше указанным способом. Воспроизводимые кривые удается снять только в последнем случае.

\* Работа была проведена в лаборатории электрохимии Физико-химического института им. Л. Я. Карпова в период 1948—1950 гг. Технический отчет находится в библиотеке института.

\*\* В работе все потенциалы отнесены к нормальному водородному электроду.



Таким образом, чтобы обеспечить возможность протекания данного процесса в диффузионной области, необходимо иметь достаточно активный электрод, на котором скорость собственной электродной реакции была бы значительно больше скорости диффузии  $\text{UO}_2^{2+}$ -ионов к электроду. При этом условии наблюдается линейная зависимость между величиной  $i_d$  концентрацией  $\text{UO}_2^{2+}$ -ионов в растворе в интервале от  $1 \cdot 10^{-2}$  до  $2 \cdot 10^{-4}$  (с точностью до 2—3%), которая сохраняется в присутствии любых количеств уранила.

На рис. 2 представлена полярограмма, снятая в растворе  $0,025 \text{ M } \text{UO}_2(\text{ClO}_4)_2 + 0,5 \text{ N } \text{NaClO}_4 + 0,1 \text{ N } \text{HClO}_4$  после электрохимического восстановления его в том же приборе при условиях, отвечающих образованию ионов пятивалентного урана [4]. На  $I-E$  кривой имеются две волны соответствующие процессам анодного окисления ионов  $\text{UO}_2^+$  (первая волна) и ионов  $\text{UO}_2^{2+}$  (вторая волна). В данном случае величина  $i_d$  первой волны

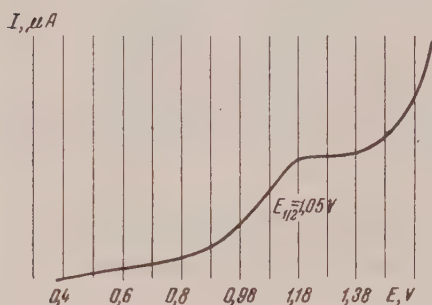


Рис. 1

Рис. 1. Анодная полярограмма, снятая в растворе  $1 \cdot 10^{-3} \text{ M } \text{UOSO}_4 + 1 \text{ N } \text{HClO}_4$

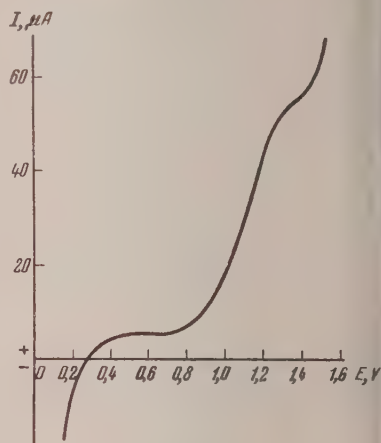


Рис. 2

Рис. 2. Анодная полярограмма, снятая в растворе  $0,025 \text{ M } \text{UO}_2(\text{ClO}_4)_2 + 0,5 \text{ N } \text{NaClO}_4$  после его электрохимического восстановления

значительно меньше величины  $i_d$  второй волны, что объясняется мало концентрацией  $\text{UO}_2^+$ -ионов в растворе, которые в кислой среде легко вступают в реакцию диспропорционирования с образованием ионов четырехвалентного и вновь шестивалентного урана [2].

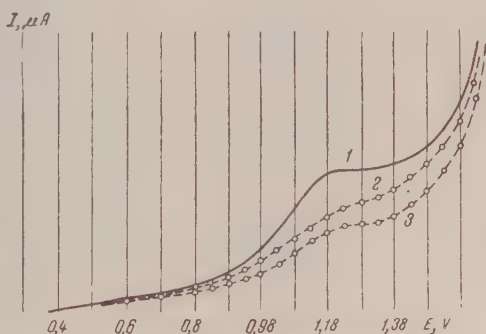
Электрохимическое окисление пятивалентного урана как на Pt- (рис. 2), так и на Hg-электродах [4] протекает в одной и той же области потенциалов.

В предыдущих наших работах [3, 5] было показано, что скорость наложения потенциала может существенно влиять на характеристик анодного процесса, особенно идущего с изменением содержания кислоты в окисляемом комплексе. Наиболее ярко это влияние проявляется в реакции окисления ионов  $\text{UO}_2^{2+}$  на Pt-электрод. На рис. 3, 4 и 5 изображены серии поляризационных кривых, снятые при различных скоростях наложения потенциала. Кривые при малых скоростях наложения потенциала снимались следующим образом. Заданный потенциал поддерживался в течение известного промежутка времени и затем положение зайчика гальванометра, определяющее величину тока при этом потенциале, фиксировалось на фотобумаге в виде точки. Таким путем были получены пунктирные кривые рис. 3 и 4. Кривые  $I$  (рис. 3) и  $I$  4, 5 (рис. 4) сняты при обычной скорости наложения потенциала, равной 4 мВ/сек. Как видно из рисунков, чем меньше скорость наложения по-

пциала, т. е. чем медленнее снимается  $I-E$  кривая, тем величина  $i_d$  больше. Так, на кривой 3 (рис. 4) она составляет всего лишь 30% от величины  $i_d$  кривой 1. Кривая 4 (рис. 4), снятая после медленной кривой 3 конце опыта, оказалась расположенной ниже аналогичной кривой 1, полученной в начале опыта. Для того чтобы они совпали, потребовалась вторная активация электрода (кривые 5, 1).

При больших скоростях наложения потенциала происходит, наоборот, значительное возрастание предельного тока (рис. 5). Если принять величину  $i_d$ , полученную при  $\Delta V / \Delta t = 4 \text{ мВ/сек}$  (кривая 1), за 100%,

рис. 3. Анодные полярограммы, снятые в растворе  $1,9 \cdot 10^{-3} \text{ М UOSO}_4 + 1 \text{ Н HClO}_4$  при различных скоростях наложения потенциала: 1 —  $\Delta V / \Delta t = 4 \text{ мВ/сек.}$ ; 2 — заданный потенциал поддерживался в течение 30 сек. и 3 — 60 сек.



при  $\Delta V / \Delta t = 8 \text{ мВ/сек.}$  (кривая 2) она становится равной  $\sim 160\%$ , при  $\Delta V / \Delta t = 32 \text{ мВ/сек.}$  (кривая 3) она уже увеличивается до  $\sim 270\%$ . Таким образом увеличение скорости наложения потенциала в 8 раз вызывает возрастание предельного тока почти в 2,5 раза. Причем при данной скорости наложения потенциала сохраняется линейная зависимость

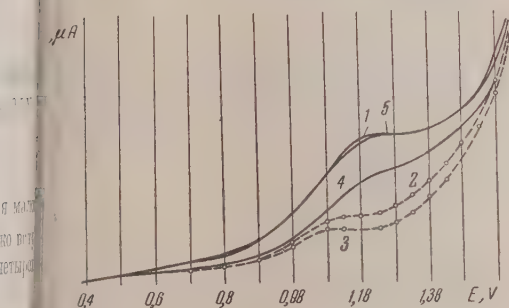


Рис. 4. Анодные полярограммы, снятые в растворе  $1,9 \cdot 10^{-3} \text{ М UOSO}_4 + 1 \text{ Н HClO}_4$  при различных скоростях наложения потенциала: 1, 4, 5 —  $\Delta V / \Delta t = 4 \text{ мВ/сек.}$ ; 2 — заданный потенциал поддерживался в течение 2 мин. и 3 — 5 мин.

между величиной  $i_d$  и концентрацией  $\text{UO}^{2+}$ -ионов в растворе с точностью до 5—7%. Это открывает путь к дальнейшему повышению чувствительности метода анодной полярографии для определения очень малых концентраций солей четырехвалентного урана в растворе. Однако необходимо учитывать, что использование данного метода для аналитических целей возможно только при соблюдении следующих условий: наличия предварительной активации поверхности электрода, постоянной скорости наложения потенциала и постоянной скорости вращения электрода.

Механизм реакции. На примере реакций анодного окисления  $\text{H}_2\text{SO}_3$ ,  $\text{HNO}_2$ ,  $\text{H}_2\text{O}_2$  и других на Pt-электроде нами были развиты основные теоретические представления о решающей роли поверхностных кислородных соединений платины, образующихся на электроде во время его анодной поляризации, в некоторых окислительных процессах, протекающих с изменением содержания кислорода в окисляемом комплексе. Эта точка зрения нашла свое подтверждение в эксперимен-

тальных результатах, полученных в настоящем исследовании. Опыты показали, что реакция анодного окисления  $\text{UO}_2^{2+}$ -ионов на Pt-электрод протекает с большим перенапряжением (0,6 В), так как нормальный окислительно-восстановительный потенциал системы  $\text{UO}_2^{2+} + \text{H}_2\text{O} \rightleftharpoons \text{UO}_2^{2+} + 2\text{H}^+ + 2e$  в кислых растворах равен 0,407 В [6], а  $E_{1/2} = 1,05$  В. При потенциалах протекания реакции имеет место электрохимическая адсорбция кислорода на платине [7]. Наблюдаемая резкая зависимость кинетики процесса от состояния поверхности Pt-электрода (активации и скорости наложения потенциала) указывает на то, что скорость реакции анодного окисления ионов четырехвалентного урана

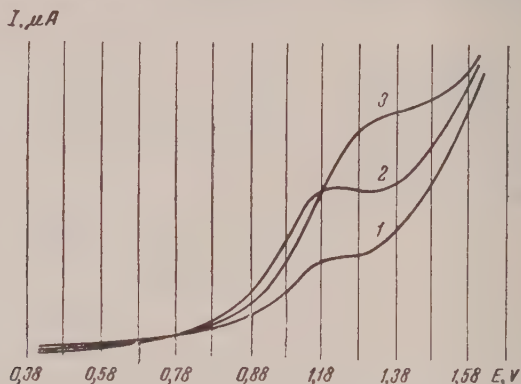
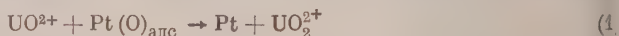
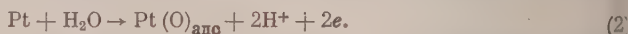


Рис. 5. Анодные полярограммы, снятые в растворе  $2,5 \cdot 10^{-3} \text{M UO}_2^{2+} + 1 \text{N HClO}_4$  при различных скоростях наложения потенциала: 1 —  $\Delta V / \Delta t = 4$  мВ/сек.; 2 —  $\Delta V / \Delta t = 8$  мВ/сек. и 3 —  $\Delta V / \Delta t = 32$  мВ/сек.

в уранил-ионы не определяется разрядом  $\text{UO}_2^{2+}$  на поверхности платины. По-видимому, и в этом случае, как в вышеуказанных реакциях, медленной стадией процесса является взаимодействие окисляемого иона с адсорбированным на поверхности платины кислородом, согласно уравнению



Электрохимическую адсорбцию кислорода на платине можно схематически представить следующим образом:



Очевидно, что скорость реакции (1) должна зависеть от прочности связи кислорода с платиной, которая, как известно, определяется временем жизни окисла [8]. Экспериментально это положение подтверждается зависимостью кинетики изучаемого процесса от скорости наложения потенциала. Действительно, при малых скоростях наложения потенциала, т. е. при медленной поляризации Pt-электрода прочность связи кислорода с платиной увеличивается, что выражается в уменьшении скорости анодного окисления  $\text{UO}_2^{2+}$ -ионов. Обратная картина наблюдается при больших скоростях наложения потенциала. В противоположность процессу необратимого окисления ионов четырехвалентного урана в шестивалентное состояние, реакция электрохимического окисления ионов  $\text{UO}_2^{2+}$  в  $\text{UO}_2^{2+}$ , которая сводится только к переносу заряда, протекает обратимо с достаточно большой скоростью как на ртутном, так и на платиновом электродах [4].

Таким образом, на основании установленных закономерностей протекания восстановительных процессов в изучаемой системе [9, 10] и данных

стоящей работы, можно сделать заключение, что электрохимические восстановительные процессы в водных растворах солей урана, идущие только с изменением заряда иона, протекают обратимо и не требуют энергии активации. Для процессов же, связанных с существенным изменением иона (присоединение или отнятие кислорода) необходима большая энергия активации.

### Реакция анодного окисления $\text{UO}^{2+}$ -ионов в присутствии $\text{H}_2\text{O}_2$ , $\text{HNO}_2$ и ионов $\text{Cr}^{3+}$

Прежде чем исследовать влияние  $\text{H}_2\text{O}_2$  и  $\text{HNO}_2$  на процесс анодного окисления  $\text{UO}^{2+}$ -ионов, нами были изучены реакции анодного окисления  $\text{H}_2\text{O}_2$  и  $\text{HNO}_2$  на Pt-электрод в тех же самых условиях проведения опыта [3]. Оказалось, что  $E_{1/2}$  анодного окисления  $\text{H}_2\text{O}_2$  (1,14 В) и  $\text{HNO}_2$  (1,23 В) близки к  $E_{1/2}$  анодного окисления  $\text{UO}^{2+}$ -ионов (1,05 В). Это сильно затрудняло изучение кинетики процесса в присутствии этих веществ.

Опыты, проведенные с растворами, содержащими смесь  $\text{H}_2\text{O}_2$  и  $\text{UO}^{2+}$ -ионов в различных концентрациях, показали, что при наличии в растворе

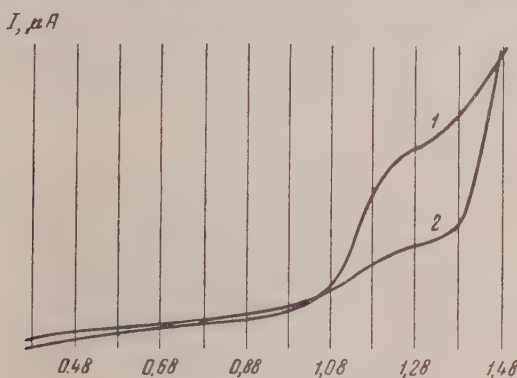


Рис. 6. Анодные полярограммы, снятые в растворах: 1 —  $1,8 \cdot 10^{-3} \text{ M UOSO}_4 + 1 \text{ N HNO}_3$  и 2 —  $1,8 \cdot 10^{-2} \text{ M UOSO}_4 + 1,2 \cdot 10^{-3} \text{ M H}_2\text{O}_2 + 1 \text{ N HNO}_3$

эквивалентных количеств обоих компонентов на  $I-E$  кривых отсутствуют полярографические волны, характеризующие процессы анодного окисления этих компонентов. При избытке в растворе одного из них на полярограмме появляется одна волна, предельный ток которой соответствует избыточной концентрации окисляемого компонента (рис. 6). Если последним является  $\text{H}_2\text{O}_2$ , то на полярограмме, снятой после длительного продувания через такой раствор азота, эта волна исчезает ( $\text{H}_2\text{O}_2$  разложится на Pt, и ее концентрация станет равной нулю), в противном случае она останется без изменения. Полученные результаты легко объясняются протеканием в растворе химической реакции окисления  $\text{UO}^{2+}$ -ионов перекисью водорода  $\text{UO}^{2+} + \text{H}_2\text{O}_2 \rightarrow \text{UO}_2^{2+} + \text{H}_2\text{O}$ , скорость которой намного больше скорости электрохимического окисления  $\text{UO}^{2+}$ -ионов на Pt-электрод.

Другая картина наблюдается при полярографическом анализе растворов  $1 \text{ N HClO}_4$ , содержащих смесь  $\text{UO}^{2+}$ -ионов и  $\text{HNO}_2$ . Поляризационные кривые, снятые в таких растворах, имеют одну волну, предельный ток которой равен сумме предельных токов анодного окисления каждого компонента в отдельности. Однако определить концентрацию  $\text{UO}^{2+}$ -ионов в такой смеси можно по разности предельных токов, измеренных до и



после удаления из раствора  $\text{HNO}_2$  путем продувания через него азот в течение 2—3 час.

В присутствии ионов  $\text{Cr}^{3+}$ , которые, как показали опыты, не подвергаются электрохимическому окислению на Pt-электроде в данных условиях, кинетика анодного окисления ионов  $\text{UO}_2^{2+}$  не меняется, если концентрация  $\text{Cr}^{3+}$ -ионов не превышает  $1 \cdot 10^{-3}$  М. В противном случае резко падает, что по-видимому, объясняется адсорбцией хрома на поверхности платины.

Реакция анодного окисления  $\text{UO}_2^{2+}$ -ионов в растворе 1 N  $\text{HNO}_3$ . Электрохимическое окисление четырехвалентного урана в растворе 1 N  $\text{HNO}_3$  происходит при несколько более положительных потенциалах (рис. 7, кривая 2,  $E_{1/2} = 1,15$  В). Нами не было найдено линейной зависимости

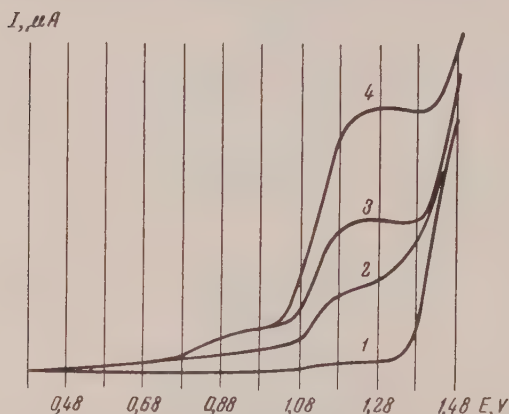


Рис. 7. Анодные полярограммы снятые в растворах: 1 — 1N  $\text{HNO}_3$ ; 2 —  $2 \cdot 10^{-3}$   $\text{UOSO}_4$  + 1N  $\text{HNO}_3$ ; 3 —  $2 \cdot 10^{-3}$   $\text{UOSO}_4$  + 0,5 M  $\text{Th}(\text{NO}_3)_4$  + 1N  $\text{HNO}_3$  и 4 —  $2 \cdot 10^{-3}$  M  $\text{UOSO}_4$  + 0,5 M  $\text{Th}(\text{NO}_3)_4$  + 0,1N  $\text{HNO}_3$

зависимости между величиной  $i_d$  и концентрацией  $\text{UO}_2^{2+}$ -ионов в растворе. При постоянных условиях диффузии наблюдалось изменение  $i_d$  во времени. Причиной невоспроизводимости опытных данных в этом случае является химическое взаимодействие  $\text{HNO}_3$  с  $\text{UO}_2^{2+}$ -ионами с образованием  $\text{HNO}_2$ , анодное окисление которой протекает в той же области потенциалов. Улучшение воспроизводимости результатов достигается уменьшением кислотности раствора до 0,1 N.

Было обнаружено каталитическое действие ионов  $\text{Th}^{4+}$  на скорость изучаемого процесса в азотнокислой среде. Опыты показали, что в присутствии в растворе  $\text{Th}(\text{NO}_3)_4$  в концентрации, меньшей чем 0,5 M, происходит увеличение  $i_d$  в несколько раз (рис. 7, кривая 3). Еще большее увеличение его происходит при уменьшении кислотности раствора до 0,1 N (рис. 7, кривая 4). Это позволило в присутствии ионов  $\text{Th}^{4+}$  измерить предельные токи, соответствующие значительно меньшим концентрациям четырехвалентных ионов урана:  $5 \cdot 10^{-5}$  M в растворе 0,5 M  $\text{Th}(\text{NO}_3)_4$  + 1 N  $\text{HNO}_3$ ,  $8 \cdot 10^{-6}$  M в растворе 0,5 M  $\text{Th}(\text{NO}_3)_4$  + 0,1 N  $\text{HNO}_3$ . Механизм каталитического действия ионов  $\text{Th}^{4+}$  требует дальнейшего изучения.

### Выводы

1. Исследована реакция электрохимического окисления ионов четырехвалентного урана на Pt-электрод. Установлено, что на  $I-E$  кривые снятых в 1N  $\text{HClO}_4$ , имеется волна анодного окисления  $\text{UO}_2^{2+}$ -ионов с  $E_{1/2} = 1,05$  В и  $i_d$ , прямо пропорциональным концентрации  $\text{UO}_2^{2+}$ -ионов в интервале  $1 \cdot 10^{-2} - 2 \cdot 10^{-4}$  М. Это позволяет использовать метод анодной полярографии для аналитических целей.

2. Показано влияние скорости наложения потенциала на полярографические характеристики процесса, которое, очевидно, связано с изменением состояния поверхности Pt-электрода во времени.

3. Предложен возможный механизм реакции, в котором стадией, определяющей скорость, является взаимодействие ионов  $\text{UO}^{2+}$  с кислородом, электрохимически адсорбированным на платине при потенциалах протекания реакции.
4. Исследована реакция анодного окисления  $\text{UO}^{2+}$ -ионов в присутствии  $\text{H}_2\text{O}_2$ ,  $\text{HNO}_2$ , ионов  $\text{Cr}^{3+}$  и в растворах  $\text{HNO}_3$ , содержащих ионы  $\text{Th}^{4+}$ .

Физико-химический  
институт им. Л. Я. Карпова  
Москва

Поступила  
16.II.1957

# ЛИТЕРАТУРА

- R. H. Betts, *Canad. J. Research*, **26**, 441, 1948.  
 H. Neal, *Nature*, **151**, 225, 1946; *Trans. Faraday, Soc.*, **45**, 1, 1949.  
 К. И. Розенталь и В. И. Веселовский, *Ж. физ. химии*, **27**, 1165, 1953.  
 А. П. Ратнер и Н. И. Чайкин, *Сборник работ по радиохимии*, Изд-во ЛГУ, **75**, 1955.  
 Е. И. Яковлева, К. И. Розенталь и Т. С. Филиппов, *Ж. физ. химии*, **30**, 937, 1956.  
 В. Г. Хлопин, А. М. Гуревич, *Изв. АН СССР, Отд. хим. н.*, **4**, 271, 1943.  
 Т. И. Борисова и В. И. Веселовский, *Ж. физ. химии*, **27**, 1195, 1953.  
 Ц. И. Залкинд и Б. В. Эрнстер, *Ж. физ. химии*, **25**, 565, 1951.  
 А. П. Виноградов, Доклады Советской делегации на Международной конференции по мирному использованию атомной энергии, АН СССР, Женева, 1955.  
 Исследования в области геологии, химии и металлургии, АН СССР, стр. 72.

## THE ELECTROCHEMICAL OXIDATION OF QUADRIVALENT URANIUM SALTS ON A PLATINUM ELECTRODE

**K. I. Rosental' and V. I. Veselovskii** (Moscow)

### Summary

The report presents the results of a kinetic study on the electrochemical oxidation of  $\text{UO}^{2+}$  ions on a rotating Pt microelectrode, made with the aid of the anodic polarography method. A wave for the anodic oxidation of  $\text{UO}^{2+}$  ions with  $E_{1/2} = 1.05$  v. and directly proportional to the  $\text{UO}^{2+}$  ion concentration over the range  $1 \cdot 10^{-2}$ — $2 \cdot 10^{-4}$  M was found on the  $I-E$  curves obtained in 1N  $\text{HClO}_4$ . This makes the method useful for analytical purposes. The effect was shown of the rate of application of potential on the polarographic characteristics of the process, connected with change in state of the surface of the Pt electrode with time.

A possible reaction mechanism has been proposed according to which the rate determining stage is the interaction of the  $\text{UO}^{2+}$  ions with oxygen electrochemically adsorbed on Pt at potentials at which reaction occurs.

## УРАВНЕНИЕ ПОЛЯРОГРАФИЧЕСКИХ КРИВЫХ ЭЛЕКТРООСАЖДЕНИЯ МЕТАЛЛОВ НА ТВЕРДЫХ ЭЛЕКТРОДАХ

*Ю. К. Делимарский и А. В. Городыский*

В последнее время в полярографии все большее распространение получают твердые электроды. Теория и практика получения воспроизводимых полярографических кривых с применением твердых электродов в значительной мере уже разработаны [1]. Однако кинетика происходящих при этом процессов еще не вполне выяснена. Поэтому истолкование и математическая интерпретация полярограмм, полученных при помощи твердых электродов, подобно тому как это сделано для ртутно-капельного электрода, представляет интерес.

Как известно, для описания полярографических кривых электроосаждения металлов на ртутно-капельном электроде Гейровским и Ильковичем [2] предложено уравнение

$$\varphi = \varphi_{1/2} - \frac{RT}{nF} \ln \frac{i}{i_d - i}, \quad (1)$$

где  $\varphi$  — потенциал электрода,  $\varphi_{1/2}$  — потенциал полуволны,  $i$  — проходящий ток,  $i_d$  — предельный ток. Это уравнение предполагает, что активность атомов металла, растворяющегося в ртути, и активность ионов металла в приэлектродном слое определяются скоростью процессов диффузии соответственно металла в глубь электрода и ионов к поверхности электрода. Первая величина пропорциональна  $i$ , вторая пропорциональна  $i_d - i$ . Е. М. Скобцом [3] показана применимость уравнения (1) для твердых амальгмированных электродов, Ю. К. Делимарским и И. Д. Панченко [4] — для твердых электродов при высоких температурах. Как и в случае ртутно-капельного электрода, авторы [3, 4] считают, что выделившийся металл диффундирует внутрь электрода, образуя раствор (металлический сплав), концентрация которого на поверхности электрода пропорциональна силе тока.

Однако при обычных температурах нельзя предполагать сколько-нибудь значительную диффузию внутрь твердого неамальгмированного электрода. Поэтому Кольтофф и Лингейн [5] при выводе уравнения полярографической волны, снятой на твердых электродах, ограничились рассмотрением только концентрационной поляризации:

$$\varphi = \text{const} + \frac{RT}{nF} \ln (i_d - i). \quad (2)$$

Между тем, еще Лебланом [6] было установлено наличие в этом случае также электрохимической поляризации, что впоследствии наблюдалось и многими другими авторами. Это побудило нас предпринять попытку вывести уравнение полярографической кривой электроосаждения металлов на твердых электродах с учетом как концентрационной, так и электрохимической поляризации.

Для вывода кинетических закономерностей электроосаждения металлов мы применили основные положения теории замедленного разряда

ионов, развитой А. Н. Фрумкиным и его школой [7]. В соответствии с этой теорией скорость разряда ионов равна

$$\vec{i} = k' [\text{Me}^{n+}]_s^x e^{(-W_1^0 + \alpha F \varphi n) / RT}, \quad (3)$$

скорость поляризации

$$\overleftarrow{i} = k'' e^{(-W_2^0 - \beta F \varphi n) / RT}, \quad (4)$$

где  $[\text{Me}^{n+}]_s$  — поверхностная концентрация ионов на электроде,  $x$  — порядок реакции,  $W_1^0$  и  $W_2^0$  — энергии активации прямого и обратного процессов при  $\varphi = 0$ ,  $\alpha$  и  $\beta$  — постоянные, причем  $\alpha + \beta = 1$ . Поверхностная концентрация ионов металла на электроде  $[\text{Me}^{n+}]_s$  пропорциональна их объемной концентрации в приэлектродном слое и определяется скоростью диффузии к электроду. При полярографических исследованиях обычно принимают

$$[\text{Me}^{n+}]_s = k_1 (i_d - i). \quad (5)$$

Используя уравнение (5) и пренебрегая скоростью обратного процесса (4) для больших перенапряжений, получим

$$\varphi = \text{const} - \frac{RT}{\alpha n F} \ln \frac{i}{(i_d - i)^x}. \quad (6)$$

Как установлено А. Н. Фрумкиным [8], заряд ионов водорода протекает как реакция первого порядка. Естественно предположить, что при электроосаждении металлов порядок реакции также равен единице (в реакции принимает участие только один вид ионов). Тогда уравнение (6) переходит в следующее:

$$\varphi = \frac{RT}{\alpha n F} \ln \frac{i}{i_d - i}. \quad (7)$$

Уравнение (7) аналогично уравнению, выведенному А. Н. Фрумкиным для полярограмм выделения водорода.

Справедливость уравнения (7) проверялась нами при электроосаждении меди, кадмия, цинка и никеля на платиновом катоде. Полярографическая ячейка представлена на рис. 1. Фоном служил 1 *N* раствор  $\text{Na}_2\text{SO}_4$ , который содержал 0,001 г-эке/л серной кислоты. Катодом служил торец платиновой проволоки диаметром 0,5 мм, анодом — пластина размером 2 × 40 мм, которая покрывалась соответственно медью, кадмием, цинком и никелем и помещалась на расстоянии 15 мм от катода. Потенциал анода измерялся на потенциометре с точностью до 0,001 V. В качестве сравнительного применялся электрод  $\text{Hg}|\text{Hg}_2\text{SO}_4$ . 1 *N*  $\text{Na}_2\text{SO}_4$ , 0,001 *N*  $\text{H}_2\text{SO}_4$ , потенциал которого был равен 0,6480 V относительно н. в. э. Кончик капилляра сравнительного электрода располагался возле катода. При этом в величину измеренного потенциала входило падение напряжения между электродами вследствие сопротивления электролита. В условиях наших опытов падение напряжения в электролите и поляризация анода в сумме не превышали для меди, кадмия и цинка 0,002 V, для никеля 0,005 V и поэтому нами не учитывались.

Из полученных данных нами было вычтено значение остаточного тока (полярограмма фона). Съемка кривых производилась по установившимся токам на визуальном полярографе с 400 мм шкалой.

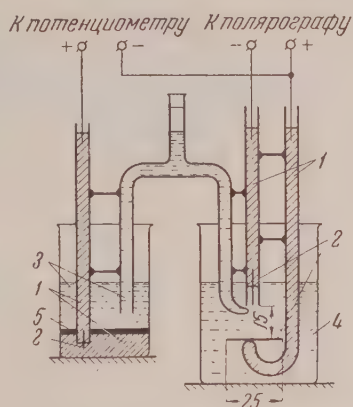


Рис. 1. Полярографическая ячейка: 1 — ртуть; 2 — платина; 3 — фон; 4 — фон с добавкой исследуемого металла; 5 —  $\text{Hg}_2\text{SO}_4$ .



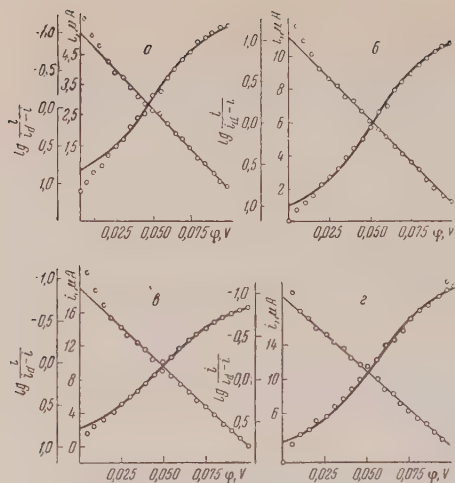


Рис. 2. Полярограммы выделения меди на твердом катоде: а —  $2 \cdot 10^{-3} N$   $\text{CuSO}_4$ ; б —  $4 \cdot 10^{-3} N$   $\text{CuSO}_4$ ; в —  $6 \cdot 10^{-3} N$   $\text{CuSO}_4$ ; г —  $8 \cdot 10^{-3} N$   $\text{CuSO}_4$ .

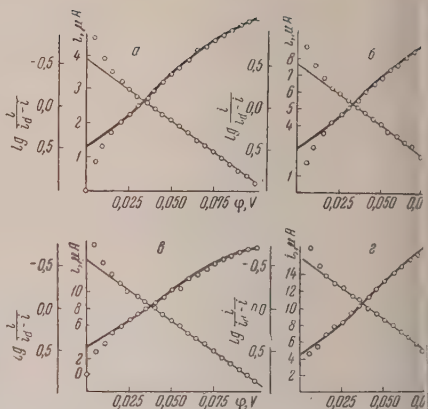


Рис. 3. Полярограммы выделения кадмия на твердом катоде: а —  $2 \cdot 10^{-3} N$   $\text{CdSO}_4$ ; б —  $4 \cdot 10^{-3} N$   $\text{CdSO}_4$ ; в —  $6 \cdot 10^{-3} N$   $\text{CdSO}_4$ ; г —  $8 \cdot 10^{-3} N$   $\text{CdSO}_4$ .

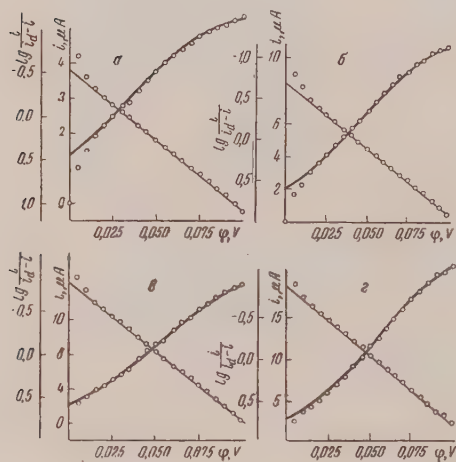


Рис. 4. Полярограммы выделения цинка на твердом катоде: а —  $2 \cdot 10^{-3} N$   $\text{ZnSO}_4$ ; б —  $4 \cdot 10^{-3} N$   $\text{ZnSO}_4$ ; в —  $6 \cdot 10^{-3} N$   $\text{ZnSO}_4$ ; г —  $8 \cdot 10^{-3} N$   $\text{ZnSO}_4$ .

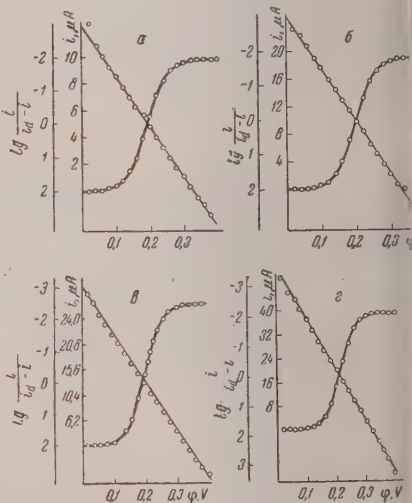


Рис. 5. Полярограммы выделения никеля на твердом катоде: а —  $2 \cdot 10^{-3} N$   $\text{NiSO}_4$ ; б —  $4 \cdot 10^{-3} N$   $\text{NiSO}_4$ ; в —  $6 \cdot 10^{-3} N$   $\text{NiSO}_4$ ; г —  $8 \cdot 10^{-3} N$   $\text{NiSO}_4$ .



Рис. 6. Полярограмма выделения свинца, кадмия, цинка на вращающемся платиновом катоде, полученная в работе [9]

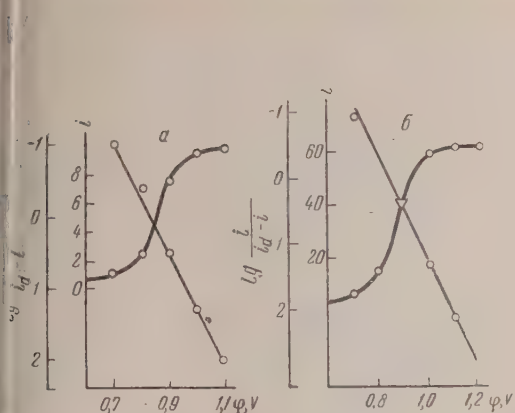


Рис. 7

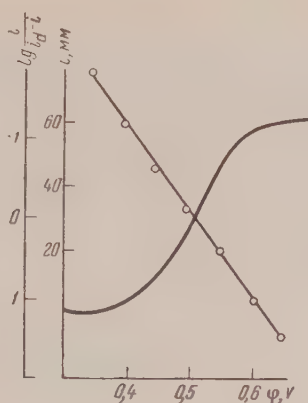


Рис. 8

Рис. 7. Полярграммы выделения кадмия на платиновом катоде, полученные в работе [10]; а — установившиеся токи; б — максимальные токи ( $i$  выражено в делениях гальванометра)

Рис. 8. Полярграмма выделения меди из раствора  $(\text{Cu}(\text{NH}_3)_2)^+$  на платиновом катоде, полученная в работе [11]

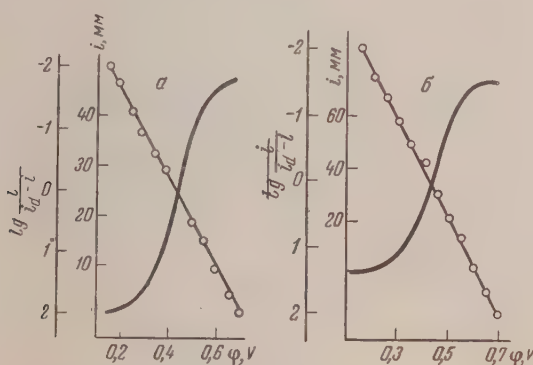


Рис. 9. Полярграмма выделения мышьяка на платиновом катоде, полученная в работе [12]: а — 0,064 мг/мл  $\text{AsBr}_3$ ; б — 0,096 мг/мл  $\text{AsBr}_3$

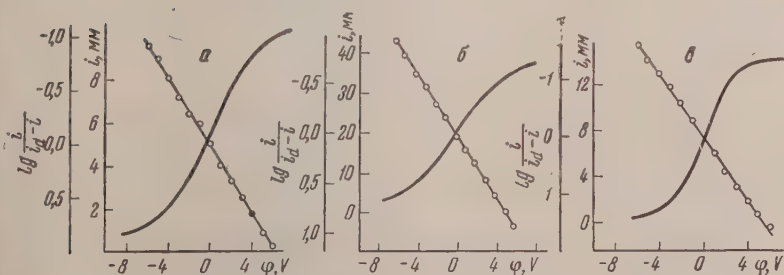


Рис. 10. Полярграммы выделения серебра на серебряном катоде и золота на платиновом катоде, полученные в работе [13]; а — серебряный катод длиной 5 мм; б — серебряный катод длиной 20 мм; в — платиновый катод

На основании полученных полярограмм строились графики в ординатах  $\varphi$ ,  $\lg \frac{i}{i_d - i}$  (рис. 2—5), которые дали прямые линии с наклоном 2,3 ( $RT/\alpha nF$ ). Величина  $\alpha$  в наших опытах находилась в пределах  $0,4 \div 0,6$  и не зависела от концентрации исследуемого металла.

Полученные данные хорошо подтверждают справедливость уравнения (7). Для меди, кадмия и цинка значения силы тока при малых напряжениях меньше теоретических, ожидаемых по уравнению (7). Эти отклонения вполне закономерны, так как при малых напряжениях значительный обратный процесс ионизации (4), которым мы пренебрегли при выводе уравнения (7) и который незначителен для сильно поляризующего никеля.

Нами были исследованы также данные, полученные на твердых электродах Е. М. Скобцом и С. А. Качеровой [9], Е. М. Скобцом, П. П. Ларовым и В. Д. Рябоконь [10], И. Д. Панченко [11], И. Л. Абарбарком и Л. И. Ковальским [12], С. К. Чирковым [13]. Для этого опубликованные ими кривые были увеличены примерно в 10 раз и измерены. Эти кривые (рис. 6—10) также подтверждают справедливость уравнения (7), хотя величина  $\alpha$  здесь колеблется в пределах  $0,14 \div 0,66$ .

### Выводы

1. Показано, что попытки Кольтгофа и Лингейна истолковать полярографические кривые, полученные при электроосаждении металлов на твердых электродах, с точки зрения наличия одной только концентрационной поляризации лишены оснований.

2. Исходя из теории замедленного разряда, авторами выведено уравнение (7) полярографических кривых электроосаждения металлов на твердых электродах.

3. Справедливость уравнения (7) подтверждена экспериментально в примерах электроосаждения меди, кадмия, цинка и никеля на платиновом катоде. Это уравнение находится в хорошем согласии с экспериментальными данными других авторов.

Институт общей и неорганической химии  
Киев

Поступила  
16.II.1957

### ЛИТЕРАТУРА

1. Е. М. Скобец, Л. С. Беренблум, Н. А. Атаманенко, Заводск. лаборатория, 14, 131, 1948, 15, 1291, 1949; Е. М. Скобец, И. Д. Панченко, В. Д. Рябоконь, Заводск. лаборатория, 14, 1307, 1948; Е. М. Скобец, Н. Кавецкий, Заводск. лаборатория, 15, 1299, 1949, 18, 39, 1952; С. И. Синяев, Труды Всес. конф. анал. х., Изд-во АН СССР, М.—Л., 1943, т. 2, стр. 5; С. Д. Миллер, там же, стр. 551; Ю. С. Лялюков, В. И. Кармази, Заводск. лаборатория, 14, 138, 144, 1948; Н. А. Leitinen, I. M. Kolhoff, J. Phys. Chem., 45, 1061, 1079, 1941.
2. J. Neuyrovsky, D. Ilkovic, Collection, 7, 198, 1935.
3. Е. М. Скобец, Полярография на твердых электродах, Диссертация, М. СССР, ИЛХИ, Киев, 1951.
4. Ю. К. Делимарский, И. Д. Панченко, Докл. АН СССР, 91, 115, 1949, Укр. хим. ж., 19, 47, 1953; И. Д. Панченко, Укр. хим. ж., 22, 153, 1956.
5. И. М. Кольтгоф, Дж. Дж. Лингейн, Полярография, ГХИ, М.—Л., 1947, стр. 160.
6. M. Le Blanc, Abhandl. Deutsch. Bunsen Gesellsch. No. 3, 1910.
7. А. Н. Фрумкин, Z. phys. Chem., 160, 116, 1932, 164, 121, 1933, Acta phys. chim. URSS, 12, 481, 1940, 18, 23, 1943, Ж. физ. химии, 24, 244, 1950; З. А. Иофан, Ж. физ. химии, 13, 1435, 1939; П. Д. Луковцев, С. Д. Левин, А. Н. Фрумкин, Ж. физ. химии, 13, 916, 1939; П. И. Долин, Б. В. Эрлер, А. Н. Фрумкин, Ж. физ. химии, 14, 886, 907, 916, 1940; З. А. Иофан, А. Н. Фрумкин, Ж. физ. химии, 18, 268, 1944; А. Н. Фрумкин, З. Иофан, В. С. Багонкий, Ж. физ. химии, 21, 241, 1947; 25, 1117, 1949; В. А. Ройтер, В. А. Юза и Е. С. Полуян, Ж. физ. химии, 13, 605, 8, 1939.

- А. Н. Фрумкин, В. С. Багодский, Э. А. Иоффа, Б. Н. Кабанов, Кинетика электродных процессов, Изд-во МГУ, 1952.  
 Е. М. Скобец, С. А. Качерова, Заводск. лаборатория, 13, 133, 1947.  
 Е. М. Скобец, П. П. Туров, В. Д. Рябоконь, Заводск. лаборатория, 14, 772, 1948.  
 И. Д. Панченко, Укр. хим. ж., 17, 872, 1951.  
 И. Л. Абарбарчук, Л. И. Ковальский, Заводск. лаборатория, 19 651, 1953.  
 С. К. Чирков, Заводск. лаборатория, 14, 1300, 1948.

# THE EQUATION FOR THE POLAROGRAPHIC CURVES OF THE ELECTRODEPOSITION OF METALS ON SOLID ELECTRODES

*Yu. K. Delimarskiĭ and A. V. Gorodyskiĭ (Kiev)*

## S u m m a r y

In the present work the electrodeposition of copper, cadmium, zinc and nickel on a platinum cathode has been studied with the aid of polarographic curves. A 1*N* aqueous solution of Na<sub>2</sub>SO<sub>4</sub> containing 0.001 g. eq. H<sub>2</sub>SO<sub>4</sub> per liter served as supporting electrolyte. The polarographic curves obtained were found to be well described by the equation

$$\varphi = \varphi_{1/2} - \frac{RT}{\alpha n F} \ln \frac{i}{i_d - i},$$

where  $\varphi$  is the potential of the cathode,  $\varphi_{1/2}$ —the half-wave potential,  $R$  is the gas constant,  $T$ —the absolute temperature,  $\alpha$ —a constant,  $n$ —the change in ionic charge during electrolysis,  $F$ —the quantity of Faradays,  $i$ —the current passing, and  $i_d$ —the limiting current. The equation may be derived on the basis of the slow ionic discharge theory. The validity of the equation is confirmed by the experimental data of other authors.



## ТЕРМОДИНАМИЧЕСКИЕ ИССЛЕДОВАНИЯ ПРИ НИЗКИХ ТЕМПЕРАТУРАХ

### VII. ФАЗОВЫЕ ПЕРЕХОДЫ В ТВЕРДЫХ $\text{BF}_3$ , $\text{CF}_4$ И $\text{SiF}_4$

*В. Н. Кострюков, О. П. Саморуков и П. Г. Стрелков*

Занимаясь вопросом о природе фазовых переходов в твердых телах Эйкен и Шредер [1] обнаружили превращения в твердых  $\text{BF}_3$ ,  $\text{ClSF}_6$ . Наше внимание привлекли следующие утверждения этих авторов.

1. Превращение в твердом  $\text{CF}_4$ , резко выраженное, происходит изотермически. Температура его  $76,23^\circ\text{K}$ , теплота превращения  $\sim 3$  кал/моль; температура тройной точки  $89,47^\circ\text{K}$ , теплота плавления  $\sim 167$  кал/моль. По приведенным выравненным значениям теплоемкости,  $\sim 4,5^\circ$  ниже тройной точки, начинается прогрессирующее падение изотермических значений теплоемкости (своего рода «отрицательное предплавление»). По оценке содержание примесей в препарате  $< 0,1\%$ .

2. Превращение в твердом  $\text{BF}_3$  происходит при  $142,15^\circ\text{K}$ , теплота его  $\sim 18$  кал/моль. Температура плавления  $144,46^\circ\text{K}$ , теплота  $\sim 10$  кал/моль. Пик превращения резко ограничен со стороны низких температур и нерезко со стороны высоких: между температурой превращения и тройной точкой теплоемкость спадает лишь до значений, более чем в два раза превышающих ее значения до пика. Гистерезис превращения при нагреве и охлаждении обнаружен не был; авторы не пришли к твердому заключению, является ли превращение изотермическим. По оценке в препарате  $\text{BF}_3$  могло содержаться до  $0,7\%$  примесей.

Нам казалось, что реальность спада теплоемкости перед тройной точкой у  $\text{CF}_4$  крайне сомнительна, а изотермичность превращения и столь бесспорна.

По всей вероятности, нерезкость превращения в твердом  $\text{BF}_3$  со стороны высоких температур была обусловлена тем, что контур пика размывало резко выраженное предплавление. Принимая во внимание, что тепловой эффект превращения, описанного Эйкенем и Шредером, не велик, а возможное содержание примесей в препарате значительно, мы склонялись к предположению, что этот фазовый переход может быть отнесен к разряду ложных [2].

Вследствие этого мы повторили калориметрическое исследование  $\text{BF}_3$  и  $\text{CF}_4$ , а, кроме того, исследовали родственный последнему  $\text{SiF}_4$ .

### Экспериментальная часть

Мы пользовались ранее описанной методикой [3—5]. Массу же газа, подаваемого в калориметр, определяли, в отличие от [5], взвешиванием в тонкостенных баллонах из нержавеющей стали при комнатной температуре [6].

Чистоту наших препаратов мы оценили по вант-Гоффу, определив депрессию температур тройных точек. Для этого мы снимали зависимость от фазового состава температуры равновесия между твердой и жидкой фазой, которая устанавливалась в калориметре по мере частичного расплавления препарата. Дозируя подводимую к калориметру энергию в соответствии с ранее определенной теплотой плавления, мы задавали количество жидкой фазы от  $4—5\%$  до  $95—98\%$ . Из кривой фазовый состав — равновесная температура мы могли определить депрессию  $\Delta_0$  начала затвердевания

по формуле:

$$\Delta_0 = \frac{T_2 - T_1}{\frac{1}{x_1} - \frac{1}{x_2}},$$

$x_n$  — содержание жидкой фазы, соответствующее равновесной температуре  $T_n$ . Температура тройной точки чистого вещества получается повышением измеренного значения начала затвердевания препарата на величину найденной депрессии. Мы располагали двумя препаратами  $\text{BF}_3$ , из которых  $\text{BF}_3-1$  был синтезирован в Институте физических проблем И. Н. Михайловым. Препарат  $\text{BF}_3-2$ , а также образцы  $\text{SiF}_4$  были любезно предоставлены нам Институтом прикладной химии.  $\text{BF}_3-1$  был синтезирован по реакции



нагревом при значительном избытке серной кислоты в стеклянной аппаратуре. Полученный продукт был дважды перегнан в вакууме с отбрасыванием последних 10%

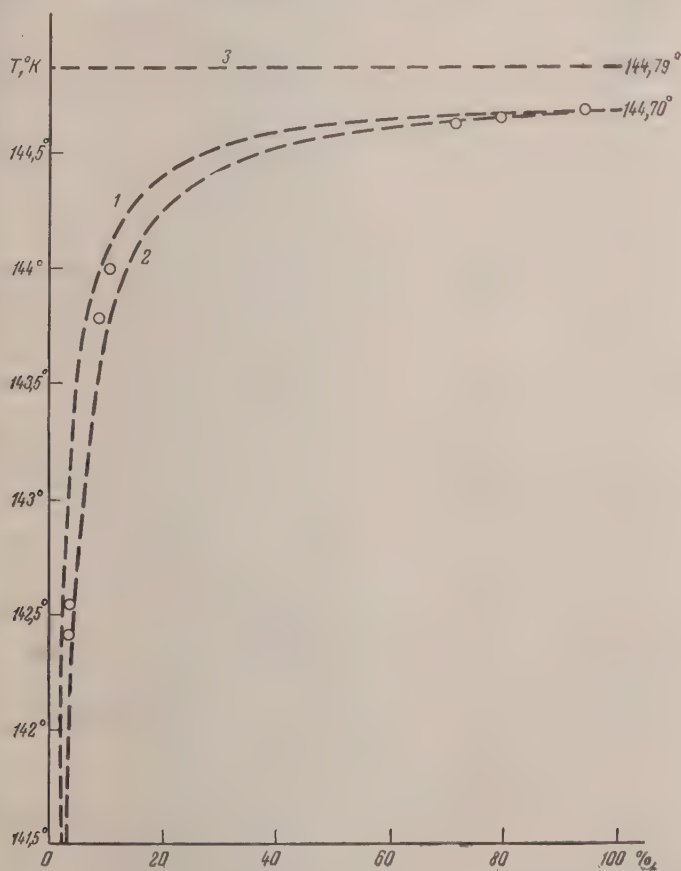


Рис. 1. Температура равновесия между твердым и жидким  $\text{BF}_3-2$  в зависимости от содержания жидкости в калориметре: 1 —  $\Delta_0 = 0,07$ ; 2 —  $\Delta_0 = 0,11$

пропущен через активированный уголь при  $-80^\circ\text{C}$ . Мы не определяли его чистоту, но по положению максимума эффективной теплоемкости на интервале плавления можно было заключить, что содержание примесей могло достигать  $\sim 1,5\%$ .

По нашей оценке, в  $\text{BF}_3-2$  содержалось 0,21 мол. % примесей.

Рис. 1 даст представление об определении равновесной температуры и депрессии в случае  $\text{BF}_3-2$ .

Предоставленный нам препарат тетрафторметана был получен из трифторхлорметана и очищен трехкратной разгонкой на лабораторной колонке. По нашей оценке, он

содержал 0,08 мол. % примесей. Эйкен и Шредер получали  $\text{SF}_4$  прямым воздействием фтора на древесный уголь при высокой температуре с последующей ректификацией, так что можно было ожидать, что в их препарате присутствовали иные загрязнители.

Препарат тетрафторсилана не был достаточно чистым и, по нашей оценке, содержал 0,84 мол. % примесей.

Результаты исследования. Исследуя  $\text{VF}_3$ -1, мы нашли при 136,9°K пик теплоемкости с интегральной теплотой 34 кал/моль, который был весьма узким (занимал интервал 1—1,5°) и переходил с стороны высоких температур в резко выраженное предплавление (рис.

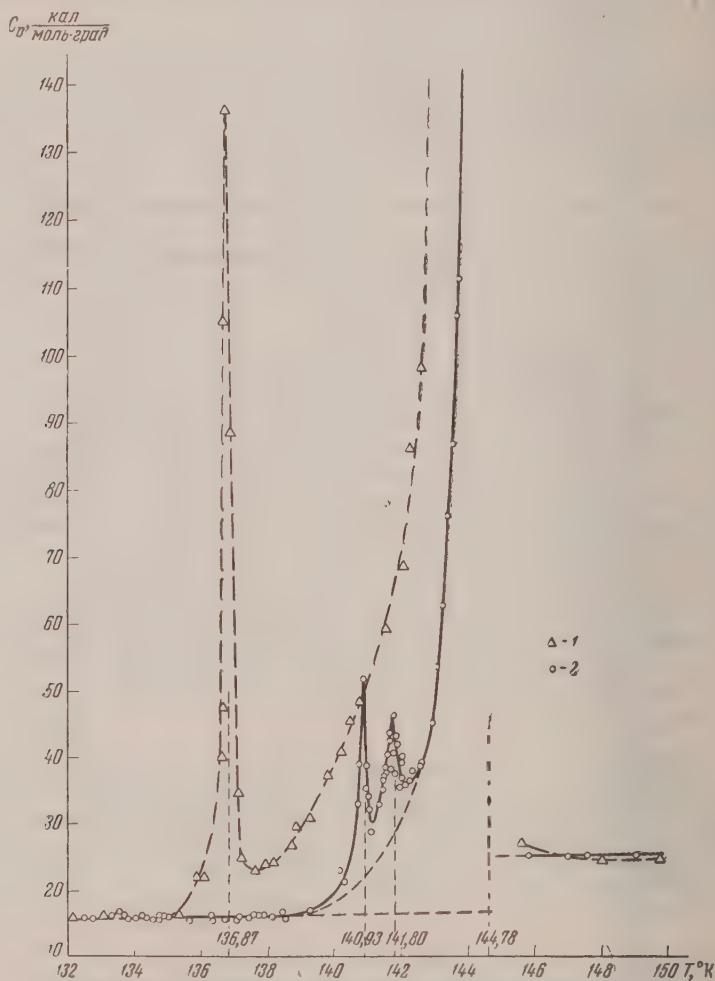


Рис. 2. Теплоемкость  $\text{VF}_3$  вблизи плавления: 1 —  $\text{VF}_3$ -1; 2 —  $\text{VF}_3$ -2

Температура плавления, определенная как максимум эффективной теплоемкости на интервале плавления, оказалась 144,0°K. Принимая внимание загрязненность препаратов и способ определения температуры плавления, следует считать, что эта температура достаточно удовлетворительно совпала со значением 144,46°K, приведенным Эйкеном и Шредером. В то же время температуры фазовых переходов разошлись больше на 5°.

У  $\text{VF}_3$ -2 область предплавления существенно уже, температура начала затвердевания 144,70°K, что соответствует тройной точке сое

ного чистого  $\text{BF}_3$  при  $144,79 \pm 0,02^\circ\text{K}$ . В области твердой фазы обнаружены два острых пика теплоемкости (рис. 2): при  $140,93^\circ\text{K}$  с изменением энтальпии на  $13,6 \text{ кал/моль}$  и при  $141,80^\circ\text{K}$ , изменяющий энтальпию на  $9,6 \text{ кал/моль}$ . Кроме того, около  $133,5^\circ\text{K}$ , может быть, есть подъем теплоемкости, близкий к пределу погрешности измерений — значительным изменением энтальпии.

Мы профильтровали  $\text{BF}_3$ -2 через активированный уголь при  $-80^\circ\text{C}$ . Сорбированный газ, который мы не анализировали, имел красную окраску. Фильтрат мы вновь исследовали, причем обнаружилось небольшое (около  $0,2^\circ$ ) смещение пиков теплоемкости в сторону высоких температур.

Наконец, к пробе  $\text{BF}_3$ -2 мы добавили  $0,05 \text{ мол. \% SiF}_4$ , присутствие которого очень вероятно, если  $\text{BF}_3$  соприкасается со стеклом, и обнаружили у такой смеси один пик теплоемкости (рис. 3). Максимум его оказался при  $142,34^\circ\text{K}$ , т. е. в пределах  $0,2^\circ$  от пика с максимумом Эйкена и Шредера. Он связан с изменением энтальпии на  $\sim 28 \text{ кал/моль}$ , т. е. несколько большим, чем изменение энтальпии, связанное с пиками  $\text{BF}_3$ -2 без добавки  $\text{SiF}_4$ . Измерения, результаты которых изображены на рис. 3, проделаны с  $0,1 \text{ мля}$  препарата и имели целью получение качественной характеристики.

Обнаруженная зависимость характера аномалий теплоемкости в твердом  $\text{BF}_3$  от происхождения препарата, его чистоты и добавления присадки  $\text{SiF}_4$  с несомненностью показывает, что описанный Эйкеном и Шредером фазовый переход относится к ложным [2] и характерен не для решетки и  $\text{BF}_3$ , а для системы  $\text{BF}_3$  — примеси.

Проведя измерения теплоемкости от  $12,6^\circ\text{K}$  до плавления, мы не обнаружили у  $\text{BF}_3$  каких-либо аномалий, кроме описанных, и пришли к выводу, что в твердом трифтористом боре фазовых переходов нет.

Так как препарат имел значительное содержание примесей, теплота плавления поглощалась на шестиградусном интервале предплавления в эвтектической точке, проявлявшейся как аномалия теплоемкости. Поэтому теплота плавления не могла быть определена уверенно, несмотря на вполне достаточную воспроизводимость результатов измерения: десять определений, проделанных с двумя навесками  $\text{BF}_3$ -2 (около  $1,1$  и  $0,78 \text{ млей}$ ), дали среднее значение  $1103,7 \text{ кал/моль}$  при доверительном интервале  $0,6 \text{ кал/моль}$  (вероятность  $0,9$ ). Однако неизбежная произвольность в вопросе, что считать теплоемкостью решетки в области предплавления — погрешность определения теплоты плавления эвтектики увеличивают уверенность в полученном результате. Вероятно,  $1104 \pm 3 \text{ кал/моль}$  является удовлетворительным значением теплоты плавления  $\text{BF}_3$ . Энтропия плавления равна  $7,62 \pm 0,025 \text{ кал/моль град}$ . По Эйкену и Шредеру энтальпия и энтропия плавления равны  $1014 \text{ кал/моль}$  и  $7,02 \text{ кал/моль град}$ .

Тетрафторметан. Были проделаны две серии измерений теплоемкости от  $12^\circ\text{K}$  до плавления, с навесками около  $1,6$  и  $1,3 \text{ мля}$ , обнаружен фазовый переход, который мы относим к температуре  $76,09^\circ \pm 0,012^\circ\text{K}$ . Температура начала плавления нашего препарата  $89,36^\circ\text{K}$ , то соответствует тройной точке чистого  $\text{CF}_4$  при  $89,44 \pm 0,02^\circ\text{K}$ . Эйкен

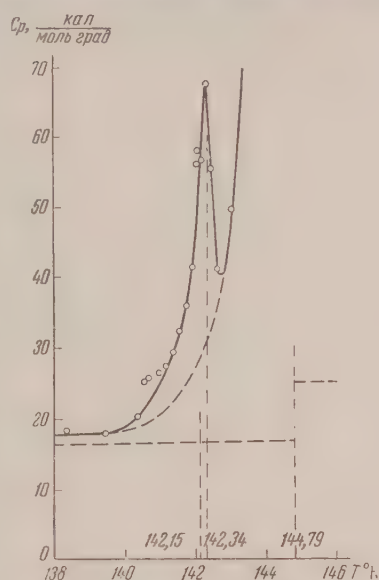


Рис. 3. Теплоемкость вблизи плавления  $\text{BF}_3$ -2 с добавкою  $0,05 \text{ мол. \% SiF}_4$



и Шредер приписывают точкам перехода и плавления значения 76 и 89,47°K, которые отклоняются от наших на 0,1—0,15° в одну и ту сторону, вероятно, в результате различия температурных шкал.

Как можно видеть на рис. 4, значения теплоемкостей по Эйкену Шредеру тоже достаточно сходятся с нашими, но мы интерпретируем по-разному фазовый переход второго рода. С температуры ~55 начинается прогрессирующее возрастание теплоемкости от 13 кал/моль град до 21 кал/моль град при 74,45°, но далее подъем становится столь крутым, что разрешающей способности нашей методики недостает, что

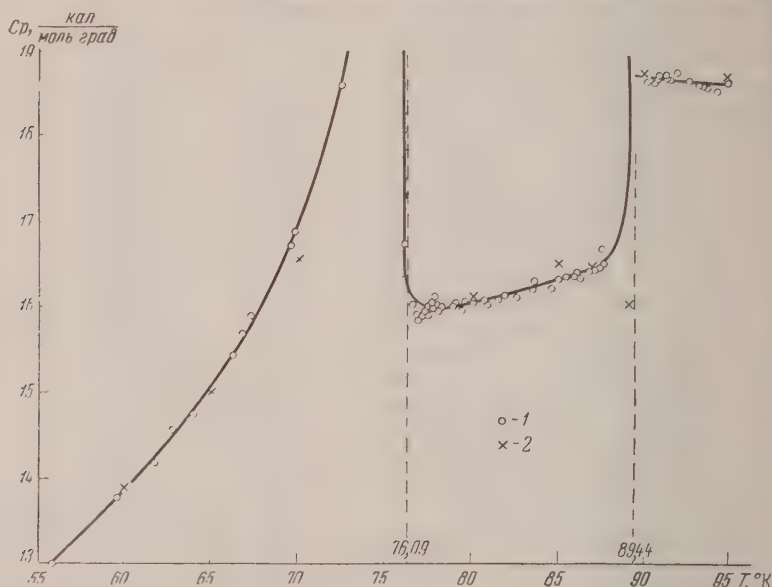


Рис. 4. Теплоемкость  $\text{CF}_4$  вблизи плавления: 1 — наши результаты; 2 — по Эйкену и Шредеру

уверенно отличить непрерывное возрастание теплоемкости от изотермического поглощения тепла, всегда несколько размазанного неравновесностью. В нашем случае в максимуме, между 76,078 и 76,102 (средняя температура  $76,09 \pm 0,012^\circ\text{K}$ ) теплоемкость достигла 2800 кал/моль. Время установления температуры составляло часы и неполнота равновесия была неизбежна. Поэтому было невозможно увеличить разрешающую способность уменьшением интервалов измерения.

В сторону высоких температур спад теплоемкости весьма крут. Наблюдаются некоторые гистерезисные явления. Давая калориметру охладиться и при низкой температуре производя измерения, мы наблюдаем нормальные значения теплоемкости даже при  $76,02^\circ\text{K}$ . Замеченные временные эффекты позволяют предполагать, что гистерезис определяется кинетикой процесса. С  $76,5^\circ\text{K}$  теплоемкость всегда имеет нормальное значение. Таким образом спад теплоемкости происходит на интервале  $\sim 0,4^\circ$ , подъем же на  $21^\circ$ . Может быть, остается незначительное влияние послепереходного крыла вплоть до  $81^\circ\text{K}$ , но такое заключение в некоторой мере произвольно и всецело зависит от того, как провести кривую «нормальной теплоемкости».

Тепловой эффект перехода определялся между 55 и  $74,45^\circ\text{K}$  как разность между результатами численного интегрирования измеренной теплоемкости и экстраполированной снизу «нормальной»; между  $\sim 74$  и  $\sim 76^\circ\text{K}$  измеряли поглощение тепла и отнимали от него «нормальное» возрастание энтропии между этими температурами. Интегрируемая

ность составила 47,8 кал/моль, область пика 366,7 кал/моль. Весь тепловой эффект равен 414,5 кал/моль. Выше 78° крыло пика, если оно и существует, дает ничтожный вклад.

Энтропия перехода

$$S_{\text{пер}} = [S_{55,25}^{74,45} + S_{74,45}^{76,09}] - S_{55,25}^{76,09} \text{ «норм.» экстрап. } - 5,11 \text{ кал/моль град.}$$

Первый член составляет 0,29 э. е. и второй 4,82 э. е. Мы идеализировали форму скачка и считали, что при 76,09° теплоемкость падает к нормальному значению. Тепловой эффект реального спада на протяжении 0,4° мы отнесли, вычисляя энтропию, к 76,09°K.

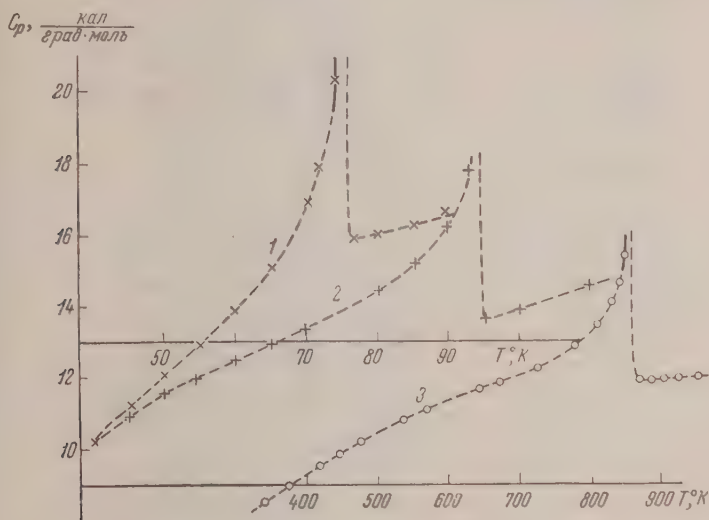


Рис. 5. Теплоемкость твердых: 1 —  $\text{CF}_4$ , 2 —  $\text{SF}_6$  и 3 —  $\text{SiO}_2$  вблизи фазового превращения

Воспроизводимость результатов велика: среднее из шести определений поглощения тепла между 74,4 и 78°K с вероятностью 0,9 имеет доверительный интервал  $\pm 0,04\%$ . Однако неизбежный произвол в определении «нормальных» термодинамических величин приводит к тому, что вряд ли величина энтропии перехода могла быть установлена лучше, чем до сотых единиц.

В соответствии с достаточной чистотой препарата область предплавления не широка. Аномальное спадение теплоемкости перед плавлением, описанное Эйкенем и Шредером, не подтвердилось (рис. 4). Энтальпия плавления оказалась равной 165,8 кал/моль (7 измерений, доверительный интервал при вероятности 0,9 составляет  $\pm 0,16\%$ ). Энтропия плавления 1,85 кал/моль град. Эйкен и Шредер для энтальпии и энтропии плавления  $\text{CF}_4$  предлагают значения 167,3 кал/моль и 1,87 э. е., мало отличающиеся от наших.

В заключение мы хотели бы отметить, что фазовый переход в  $\text{CF}_4$ , описанный Эйкенем и Шредером, переход в  $\text{SF}_6$  и  $\alpha \rightleftharpoons \beta$  переход в кварце имеют отчетливые черты сходства, как видно на рис. 5. Мы полагаем, что все они относятся ко второму роду.

Тетрафторсилан. Были проделаны измерения теплоемкости на трех навесках нашего препарата ( $\sim 1,5-0,85-0,76$  молей) от 13°K до плавления и обнаружена одна аномалия в виде острого пика при 176,6°K с тепловым эффектом 40 кал/моль.

Температура начала затвердевания нашего препарата оказалась равной  $186,02^\circ\text{K}$ , депрессия  $-0,26^\circ$ . Отсюда температура тройной точки чистого  $\text{SiF}_4$  оказывается равной  $186,28 \pm 0,05^\circ\text{K}$ . Предплавление весьма сильно развито и со стороны высоких температур, размывает контур пика теплоемкости, отстоящего от плавления на  $9,5^\circ$  (рис. 6).

Реальность превращения с небольшим тепловым эффектом отмечено на образце, значительно загрязненном ( $0,84\%$  примесей), внушает сомнение. Мы приняли меры для освобождения препарата от возможных примесей воздуха путем повторных замораживаний с откачкой до хорошего вакуума и шестикратно перегнали его при  $\sim 195^\circ\text{K}$ . Измерения, повто-

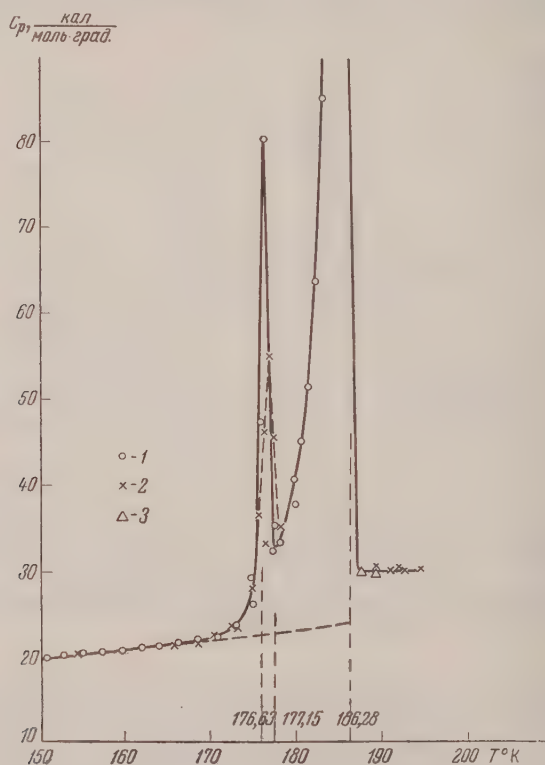


Рис. 6. Теплоемкость  $\text{SiF}_4$  вблизи плавления: 1 — исходный препарат; 2 — после дополнительной очистки; 3 — дополнительные измерения

ренные после такой обработки, показали понижение пика и смещение его по температуре на  $0,5^\circ$  вверх (рис. 6). На основании этого наблюдения мы сочли, что аномалия вызвана плавлением присутствующей эвтектики и что  $\text{SiF}_4$  фазовых переходов между  $13^\circ\text{K}$  и плавлением не имеет.

Калориметрическое определение энthalпии и энтропии плавления раствора, даже слабого, как в настоящем случае, не может дать точных результатов.

Мы считали, что лучшее приближение к значению энthalпии плавления может быть получено суммированием теплового эффекта эвтектического плавления с разницей между измеренным возрастанием энthalпии на интервале плавления и нормальным возрастанием энthalпии, полученным экстраполяцией. Величину энтропии плавления мы получали, деля найденное значение теплоты плавления на температуру тройной точки чистого  $\text{SiF}_4$ .

Условившись, какую кривую считать нормальным ходом теплоемкости в области предплавления, мы получили хорошо сходящиеся значения теплоты плавления. Среднее из восьми экспериментальных определений дало значение  $2273 \text{ кал/моль}$  и доверительный интервал (с вероятностью  $0,9$ )  $\pm 0,045\%$ . Отсюда энтропия плавления равна  $11,98 \text{ кал/моль град}$ . Из-за произвольности выделения теплоты плавления из экспериментально определенных величин неустойчивость полученных значений достигает сотых единицы.

#### Энтальпии и энтропии плавления

Вещество	Температура тройной точки, °K	Теплота плавления, кал/моль	Энтропия плавления, кал/моль град
$\text{BF}_3$	$144,79 \pm 0,02$	1104	7,62
$\text{CF}_4$	$88,44 \pm 0,02$	165,8	1,85
$\text{SiF}_4$	$186,28 \pm 0,05$	2273	11,98

#### Выводы

1. Между  $12-13^\circ\text{K}$  и температурой плавления исследована теплоемкость  $\text{BF}_3$ ,  $\text{CF}_4$  и  $\text{SiF}_4$ .

Трехфтористый бор в твердой фазе не обнаруживает фазовых переходов. Описанное Эйкеном и Шредером [1] превращение является тепловым эффектом, вызванным присутствием загрязнений в препарате.

Тетрафторметан имеет фазовый переход второго рода со скачком теплоемкости при  $76,09^\circ \pm 0,012^\circ\text{K}$ . Тепловой эффект перехода составляет  $44,5 \text{ кал/моль}$  и энтропия  $5,11$ .

Тетрафторсилан не обнаруживает фазовых переходов в твердой фазе.

Таким образом на вопрос, поставленный Эйкеном, не ведут ли себя сходным образом кристаллические решетки, составленные из сходных тетраэдрических молекул [7], можно дать отрицательный ответ.

2. Определены температуры тройных точек  $\text{BF}_3$ ,  $\text{CF}_4$  и  $\text{SiF}_4$ , исправленные на величину экспериментально определенной депрессии примесей.

Академия наук СССР  
Институт физических проблем  
Москва

Поступила  
18.II.1957

#### ЛИТЕРАТУРА

1. A. Eucken und E. Schröder, Z. phys. Chem., (B), **41**, 307, 1938.
2. В. Н. Кострюков и П. Г. Стрелков, Ж. физ. химии, **28**, 1825, 1954.
3. П. Г. Стрелков, А. С. Боровик-Романов и М. П. Орлова, Ж. физ. химии, **28**, 345, 1954.
4. П. Г. Стрелков, Е. С. Ицкевич, В. Н. Кострюков, Г. Г. Мирская и Б. П. Самойлов, Ж. физ. химии, **28**, 459, 1954.
5. В. П. Кострюков, Р. А. Алиханянц, Б. П. Самойлов, П. Г. Стрелков, Ж. физ. химии, **28**, 650, 1954.
6. Р. А. Алиханов, Заводск. лаборатория, **22**, 1202, 1956.
7. М. В. Волькенштейн, Строение и физические свойства молекул, Изд-во АН СССР, 1955.

#### THERMODYNAMIC STUDIES AT LOW TEMPERATURES

V. N. Kostryukov, O. P. Samorukov and P. G. Strelkov

#### Summary

The heat capacities of  $\text{BF}_3$ ,  $\text{CF}_4$  and  $\text{SiF}_4$  have been investigated between  $12-13^\circ\text{K}$  and the melting points.

In the solid state  $\text{BF}_3$  reveals no phase transitions. The transformation described by Eucken and Schröder (1) is a heat effect caused by the presence of impurities in the product.

Tetrafluoromethane has a second order phase transition with a jump in the heat capacity at  $76,09 \pm 0,012^\circ\text{K}$ . The heat effect of the transition is  $44,5 \text{ cal/mole}$  and the entropy  $5,11$ .

Tetrafluorosilane does not reveal any phase transitions in the solid state.

Thus the question raised by Eucken as to whether crystalline lattices composed of similar tetrahedral molecules are endowed with similar properties [7] may be answered negatively. The triple points of  $\text{BF}_3$ ,  $\text{CF}_4$  and  $\text{SiF}_4$  have been determined, corrected for the experimentally determined value of impurity depression.



## ТЕРМОДИНАМИЧЕСКОЕ ИССЛЕДОВАНИЕ СИСТЕМЫ ПОЛИМЕР—ГИДРИРОВАННЫЙ МОНОМЕР

### II. ТЕПЛОТЫ РАСТВОРЕНИЯ СОПОЛИМЕРОВ В СМЕСИ ГИДРИРОВАННЫХ МОНОМЕРОВ\*

*А. А. Тагер и В. А. Каргин*

За последнее время было выяснено, что свойства высокомолекулярных веществ зависят не только от гибкости их цепей, но и от плотности упаковки макромолекул, которая может быть оценена из данных термодинамического исследования растворов полимеров. Особенно интересным объектом в этом отношении является раствор полимера в собственном гидрированном мономере. Преимущество такой системы состоит в том, что растворенный полимер и растворитель имеют тождественный химический состав. Поэтому отличие теплового эффекта от нулевого значения в таких системах свидетельствует о различии в плотности упаковки высокомолекулярного и низкомолекулярной жидкости. Эти вопросы подробно были рассмотрены на примерах ряда полимеров [1, 2]. При этом было выяснено, что поведение неполярных, полярных полимеров и полимеров с большими размерами заместителей сильно отличается.

В данной работе объектами исследования служили высокомолекулярные соединения, в макромолекуле которых присутствуют разные химические группы в разных соотношениях. В качестве таких соединений были взяты сополимеры бутадиена и стирола и омыленные поливинилацетаты разной степени омыления. Последние мы будем условно называть сополимерами.

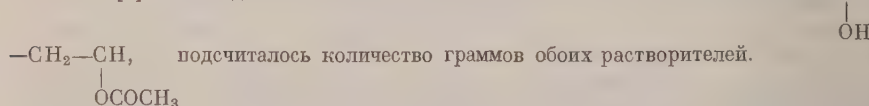
### Экспериментальная часть

Сополимеры бутадиена и стирола были получены из Всесоюзного научно-исследовательского института синтетических каучуков; поливинилацетаты различной степени омыления получались путем омыления поливинилацетата [3].

Определение теплот растворения проводилось по методике, описанной ранее [4]. Калориметрической жидкостью служила смесь гидрированных мономеров в количестве 70 мл. Все определения были сделаны при 25° С.

Омыленные поливинилацетаты. Исследовались 4 омыленных продукта с весовым процентом ацетильных групп 67, 57, 44 и 9. Все образцы имели одинаковый молекулярный вес [3].

Гидрированными мономерами омыленных поливинилацетатов являются этилацетат и этиловый спирт. Состав смеси этих жидкостей рассчитывался для каждого образца следующим образом: весовые проценты ацетильных групп пересчитывались в мольные [3]. Исходя из мольных соотношений остатков  $-\text{CH}_2-\text{CH}-$



Данные по приготовлению смесей гидрированных мономеров приведены в табл. 1.

Таким образом в каждом опыте состав калориметрической жидкости был тождественен составу сополимера в ампуле, в силу чего следовало

\* В экспериментальной части работы принимали участие М. Иовлева и Ю. Трескунова.

Таблица 1

Вес. % ацетильных групп	Мол. %		Соотношение молей		Навеска, г	
	ацетильных групп	гидроксиль- ных групп	ацетильных групп	гидроксиль- ных групп	этил- ацетата	этил. спирт
67	95	5	19	1	72,8	2,1
57	71	29	2,4	1	58,6	12,6
44	47	53	1	1,12	44	25,8
9	7	93	1	13,2	7,9	55,0

ждать нулевого теплового эффекта. Действительно, в контрольных опытах, когда и в ампуле и в калориметре была смесь жидких гидрированных мономеров одного состава, температурный ход калориметра после раздавливания ампулы совершенно не изменялся. При раздавливании ампул с сополимерами мы наблюдали незначительные изменения температурного хода. Данные приведены в табл. 2.

Таблица 2

**Интегральные теплоты растворения омыленных поливинилацетатов  
в гидрированных мономерах**

Вес. % аце- тильных групп	Навеска, г	$\Delta T^\circ$	$C$ кал/град	$Q_{\text{общ. кал}}$	$Q_{\text{уд. кал/г}}$	$Q_{\text{уд. кал/г}}$ среди.
68,6	5,9730	0	—	0	0	0
68,6	6,8180	0	—	0	0	0
67,0	2,2244	0	—	0	0	0
	1,9628	0	—	0	0	0
57,0	1,9916	—0,009	43,5	—0,4	—0,2	—0,2
44,0	2,0942	—0,008	60,7	—0,5	—0,2	—0,2
44,0	1,9189	—0,006	66,1	—0,4	—0,2	—0,2
9,0	2,1184	—0,012	61,2	—0,7	—0,4	—0,4
0	1,8873	—0,112	39,4	—4,43	—2,35	—2,3
(поливин. спирт)	1,6332	—0,069	52,3	—3,61	—2,22	

Из таблицы видно, что поливинилацетаты с ацетильными числами 68,6 (исходный поливинилацетат) и 67% растворяются в гидрированных мономерах с нулевыми тепловыми эффектами. По мере увеличения количества групп OH теплота растворения и набухания становится более отрицательной величиной.

В статье [2] было приведено значение теплот набухания поливинилового спирта в этиловом спирте, равное  $-0,9$  кал/г. Менее отрицательное значение теплового эффекта, полученное ранее, по-видимому, объясняется тем, что примененный этиловый спирт был недостаточно абсолютный. Позднее мы абсолютный спирт путем 8-часового кипячения с хорошо прокаленной негашеной известью с последующей перегонкой над металлическим натрием. Полученный продукт имел уд. вес 0,7859 (т. кип.  $24,6^\circ \text{C}$ ) (по литературным данным 0,7857 [5]).

Сополимеры бутадиена и стирола (СКС 10, СКС 30, СКС 50, СКС 60, СКС 70, СКС 80, СКС 90.) Гидрированными мономерами цепи сополимеров бутадиена и стирола являются симметричный бутилен и этилбензол. Первый из них при комнатной температуре представляет собою газ и поэтому в качестве калориметрической жидкости использован быть не может. В связи с этим мы подбирали неполярную жидкость, с которой полибутадиен давал бы атермический раствор. Наилучшим образом этому отвечает изооктан (теплота растворения полибутадиена в изооктане равна  $-0,26$  кал/г, в бензине «Галоша»  $-0,35$  кал/г, а в лег-

кой фракции бензина — 0,51 кал/г). Поэтому в качестве калориметрической жидкости мы брали смесь этилбензола и изеооктана в соотношениях, соответствующих составу данного сополимера. Калориметрические данные приведены в табл. 3.

Таблица 3

Интегральные теплоты растворения сополимеров в смеси гидрированных мономеров

Сополимер	Вес. % этилбензола	Вес. % изеооктана	Навеска сопол., г	$\Delta T^\circ$	$C$ , кал/град	$Q_{\text{общ.}}$ , кал	$Q_{\text{уд.}}$ , кал/г	$Q_{\text{уд.}}$ , кал/г средн.	$Q_{\text{адд.}}$ , кал/г
CRC 10	10	90	1,3373	—0,016	25,8	—0,41	—0,31	—0,35	—0,23
			1,1336	—0,016	26,1	—0,42	—0,38		
CRC 30	30	70	1,4860	—0,014	27,1	—0,38	—0,26	—0,23	—0,18
			1,4342	—0,010	27,7	—0,28	—0,19		
CRC 50	50	50	1,1549	—0,002	40,0	—0,08	—0,07	—0,06	—0,13
			1,7400	—0,002	39,5	—0,08	—0,05		
CRC 60	60	40	1,2175	0	41,3	0	0	0	—0,10
			1,5440	0	41,3	0	0		
CRC 70	70	30	1,9370	0	38,9	0	0	0	—0,08
			1,5746	0	40,6	0	0		
CRC 80	80	20	1,3435	0	39,8	0	0	0	—0,05
			2,2208	0	41,4	0	0		
CRC 90	90	10	1,3770	0,002	41,6	0,08	0,06	0,07	—0,03
			1,4932	0,003	41,0	0,12	0,08		

Из таблицы видно, что сополимеры, содержащие большой процент бутадиена (CRC 10, CRC 30), растворяются в смеси собственных гидрированных мономеров с поглощением тепла. По мере увеличения количества фенильных заместителей теплота растворения становится более положительной величиной.

### Обсуждение результатов

Согласно соображениям, изложенным в [2], данные табл. 3 свидетельствуют о непрерывном разрыхлении упаковки цепей по мере увеличения количества фенильных заместителей. Упаковка становится более рыхлой, энергия взаимодействия между звеньями цепей  $\varepsilon_{22}$  уменьшается по абсолютной величине и суммарное значение  $Q$

$$Q = k(-\varepsilon_{11} - \varepsilon_{22} + 2\varepsilon_{12}) \quad (1)$$

становится более положительным.

Если бы плотность упаковки всех сополимеров была бы такой же, как у полибутадиена, то следовало ожидать аддитивности в теплотах растворения. Стирольные остатки  $-\text{CH}_2-\text{CH}$  с молекулами этилбензола



должны были бы взаимодействовать с нулевым тепловым эффектом. Остатки бутадиена взаимодействуют с молекулами изеооктана с поглощением тепла, равным — 0,26 кал/г. Следовательно, аддитивное значение теплоты растворения сополимеров должно быть равно произведению этой величины на весовую долю бутадиена в сополимере. Полученные аддитивные величины приведены в табл. 3.

Из сравнения аддитивных и опытных значений видно, что для CRC 10 и CRC 30 опытные величины теплот растворения более отрицательны, чем аддитивные. Это свидетельствует о том, что наибольшее разрыхление начинается с CRC 30 и дальше оно продолжается непрерывно. Таким образом увеличение числа тяжелых заместителей приводит к разрыхлению в упаковке.

Совершенно иное влияние оказывает присутствие полярных групп ОН. увеличением их числа интегральная теплота растворения становится более отрицательной величиной, что прежде всего указывает на отсутствие разрыхления. Поглощение тепла в системе поливиниловый спирт— этиловый спирт можно ожидать в двух случаях: либо плотность упаковки молекул поливинилового спирта больше плотности упаковки этилового спирта, либо, наоборот, молекулы этилового спирта упакованы более плотно. Этиловый спирт является сильно ассоциированной жидкостью, вследствие образования водородных связей. Наличие водородных связей в поливиниловом спирте доказано С. Н. Журковым и Б. Я. Левиным [6]. Таким образом оба случая равновероятны. Поэтому закономерности в теплотах растворения омыленных поливинилацетатов в гидрированных мономерах однозначно истолкованы быть не могут.

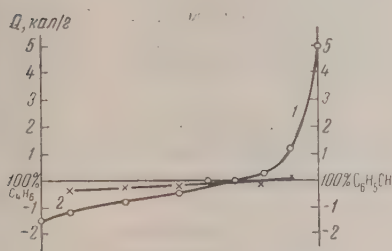


Рис. 1

Рис. 1. Зависимость интегральной теплоты растворения сополимеров бутадиена и стирола от процентного содержания остатков мономеров: 1 — в бензоле; 2 — в смеси гидрированных мономеров

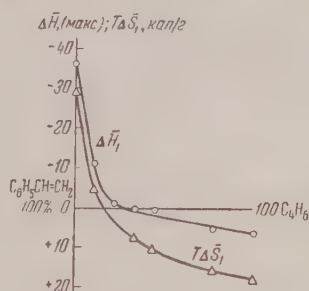


Рис. 2

Рис. 2. Зависимость  $\Delta\bar{H}_1$  (макс.) и  $T\Delta\bar{S}_1$  бензола (при  $\omega_2=0,9$ ) от соотношения бутадиена и стирола в сополимере

Из [3] следует, что зависимость интегральных теплот взаимодействия омыленных поливинилацетатов с ацетоном от состава сополимеров имеет тот же характер, что и зависимость, вытекающая из табл. 2. Это позволяет изучать растворы поливинилацетатов в ацетоне. Результаты этих исследований [3] в сопоставлении с табл. 2 с очевидностью свидетельствуют о том, что поливиниловый спирт имеет более плотную упаковку по сравнению с этиловым спиртом и что по мере увеличения числа гидроксильных групп степень упаковки сополимеров возрастает.

Зависимость интегральных теплот растворения сополимеров бутадиена и стирола в бензоле от состава сополимера [7] имеет тот же характер, что и закономерность, следующая из табл. 3 (рис. 1). Это позволяет проводить термодинамические исследования растворов этих сополимеров в бензоле. Проведенное исследование показало, что при переходе от полимера с гибкими цепями к полимеру с жесткими цепями наблюдается непрерывное изменение всех термодинамических свойств растворов, что связано с непрерывным изменением гибкости цепей и плотности их упаковки.

Интересно отметить, что эти изменения не во всей области составов сополимеров происходят аддитивно. Так, если на оси абсцисс отложить состав сополимеров бутадиена и стирола в весовых процентах, а на оси ординат максимальные значения величины  $\Delta\bar{H}_1$  [7] и значения  $T\Delta\bar{S}_1$  [7], отвечающие весовой доле полимера  $\omega_2 = 0,9$ , то получим кривые, представленные рис. 1. Величина  $\Delta\bar{S}_1$  является истинной оценкой гибкости цепи сополимера [7], а величина  $\Delta\bar{H}_1$ , так же как и  $\Delta H$  — оценкой плотности упаковки. Из рис. 2 видно, что небольшое изменение  $\Delta\bar{H}_1$



и  $\Delta S_1$  происходит при переходе от полистирола к СКС 90. Эти данные свидетельствуют о том, что аддитивность в изменении гибкости и плотности упаковки наблюдается только в области составов от 20 до 70% бутадиена. Введение 10% бутадиена в цепь полистирола резко изменяет гибкость и плотность упаковки. Приведенная зависимость хорошо согласуется с данными А. И. Марей и М. З. Альтшуллер [8], которые нашли, что в области составов от 30 до 70% стирола плотность сополимеров изменяется аддитивно; при переходе от СКС 80 к полистиролу имеет место наибольшее изменение плотности.

### Выводы

1. Изучена зависимость интегральных теплот растворения сополимеров бутадиена и стирола и омыленных поливинилацетатов в смеси их гидрированных мономеров от состава сополимера.

2. Показано, что СКС 10 и СКС 30 в смеси этилбензола и изеооктан растворяются с поглощением тепла; по мере увеличения количества тяжелых заместителей теплота растворения становится более положительной величиной.

3. Показано, что поливинилацетат и слабо омыленные продукты растворяются в гидрированных мономерах с нулевым тепловым эффектом по мере увеличения числа гидроксильных групп теплота набухания становится более отрицательной величиной.

4. Сделан вывод о постепенном разрыхлении упаковки при переходе от полибутадиена к полистиролу и о постепенном уплотнении при переходе от поливинилацетата к поливинилowому спирту.

Всесоюзный институт  
синтетического каучука  
Уральский государственный  
университет им. А. М. Горького  
Свердловск

Поступила  
18.II.1957

### ЛИТЕРАТУРА

1. А. А. Тагер и В. А. Каргин, Коллоидн. ж., **10**, 455, 1948.
2. А. А. Тагер и В. А. Каргин, Коллоидн. ж., **14**, 367, 1952.
3. А. А. Тагер и М. Новлева, Ж. физ. химии (в печати)
4. В. А. Каргин и С. Папков, Ж. физ. химии, **20**, 483, 1946.
5. Справочник химика, т. I, стр. 621, Госхимиздат, 1951.
6. С. Н. Журков и Б. Я. Левин, Химия и физико-химия высокомолекулярных соединений, Изд-во АН СССР, Москва, 1952, стр. 280.
7. А. А. Тагер, Д. Ю. Карлинская, Л. К. Косова и И. А. Юрина, Коллоидн. ж., **17**, 315, 1955.
8. А. И. Марей и М. З. Альтшуллер, Тр. ВНИИСК, в. 2, 163, 1951.

### A THERMODYNAMIC STUDY OF THE SYSTEM POLYMER-HYDROGENATED MONOMER

*A. A. Tager and V. A. Kargin (Sverdlovsk)*

### Summary

The heats of solution and of swelling of two series of copolymers in a mixture of their hydrogenated monomers have been determined. The work has shown that in the series of butadiene-styrene copolymers the heat of solution becomes more positive with increasing numbers of phenyl substituents. In the series of saponified polyvinylacetates the heat of solution become more negative as the number of hydroxyl groups increase. It has been inferred that on passing from polybutadiene to polystyrene the packing becomes loose and from polyvinylacetate to polyvinyl alcohol denser.

## АЗОВЫЕ РАВНОВЕСИЯ В СИСТЕМЕ АЦЕТАЛЬДЕГИД — ВОДА — МЕТАН ПРИ ВЫСОКИХ ДАВЛЕНИЯХ

Д. С. Циклис\*

В предыдущей работе [1] мы определили растворимость метана в ацетальдегиде и ацетальдегида в сжатом метане при давлениях до 100 атм. настоящей работе была исследована растворимость ацетальдегида и воды из раствора, содержавшего 43,5% ацетальдегида, в сжатом метане при давлениях до 80 атм и температурах от 1 до 40°С, и растворимость этана в этом растворе.

Исследование было проведено на установке, описанной ранее [2]. Для проверки методики мы определили также растворимость чистой воды в сжатом метане и сравнили наши данные с литературными [3].

Кроме того, были измерены парциальные давления ацетальдегида и воды и общее давление над исследованным раствором при тех же температурах. Методики определения парциальных давлений и анализа были подробно описаны [4] и поэтому мы на них не останавливаемся. Следует только заметить, что воду поглощали охлажденным до — 15°С хлористым кальцием.

Для исследования применяли метан, содержавший 2,5% азота и 0,0% высших углеводородов, и ацетальдегид марки «чистый».

Полученные данные приведены в табл. 1—3 и на рис. 1.

Таблица 1

Растворимость ацетальдегида и воды в сжатом метане из раствора, содержащего 43,5%  $\text{CH}_3\text{CHO}$

1°			20°			40°		
<i>p</i> , атм	$\text{CH}_3\text{CHO}$ , г/л сжат. газа	$\text{H}_2\text{O}$ , мг/л сжат. газа	<i>p</i> , атм	$\text{CH}_3\text{CHO}$ , г/л сжат. газа	$\text{H}_2\text{O}$ , мг/л сжат. газа	<i>p</i> , атм	$\text{CH}_3\text{CHO}$ , г/л сжат. газа	$\text{H}_2\text{O}$ , мг/л сжат. газа
8,2	0,35	—	13,0	1,12	—	13,3	2,03	—
8,2	0,36	—	23,9	1,35	41,8	12,9	1,93	—
12,9	0,34	—	24,1	1,37	41,8	12,9	1,99	—
13,0	0,34	—	24,1	1,29	—	12,9	2,12	—
29,6	0,53	—	34,1	1,49	69,5	23,9	2,40	—
29,6	0,62	—	32,3	1,48	—	24,6	2,47	—
46,7	0,64	—	48,2	1,87	92,0	25,1	2,42	—
62,0	0,88	—	48,2	1,71	—	48,5	3,86	69,4
61,3	0,89	59,4	48,2	1,93	—	48,3	3,81	68,3
			77,5	3,11	70,1	48,2	3,99	54,7
			77,5	3,11	73,5	47,8	5,25	86,1
			77,1	3,04	67,5	77,5	5,70	73,2
						78,5	5,28	97,4

\* Экспериментальную часть работы выполнили А. П. Кофман, Л. И. Шендерей и Л. М. Ходеева.

Таблица 2

**Растворимость метана в растворе ацетальдегид—вода  
(43,5% ацетальдегида)**

1°			20°			40°		
$p, \text{ атм}$	$\frac{\text{см}^3}{\text{г}}$	Мольная доля ме- тана $\times 10^3$	$p, \text{ атм}$	$\frac{\text{см}^3}{\text{г}}$	Мольная доля ме- тана $\times 10^3$	$p, \text{ атм}$	$\frac{\text{см}^3}{\text{г}}$	Мольная доля ме- тана $\times 10^3$
63,0	4,1	4,38	64,5	3,90	4,18	70,0	3,30	3,57
			64,5	4,04	4,32	70,0	2,74	2,94

Таблица 3

**Парциальные давления компонентов и общее давление над раствором,  
содержащим 43,5% ацетальдегида, мм рт. ст.**

$p$	$t^\circ \text{ C}$				
	1°	10°	20°	30°	40°
$p_{\text{H}_2\text{O}}$	13,6	20,2	29,5	41,2	56,2
$p_{\text{CH}_3\text{CHO}}$	158,0	269,0	446,0	700,0	1048
$p_{\Sigma}$	171,6	289,2	475,5	741,2	1104,2
$p_{\text{общ}}$	150,0	258,0	441,0	696,0	1050

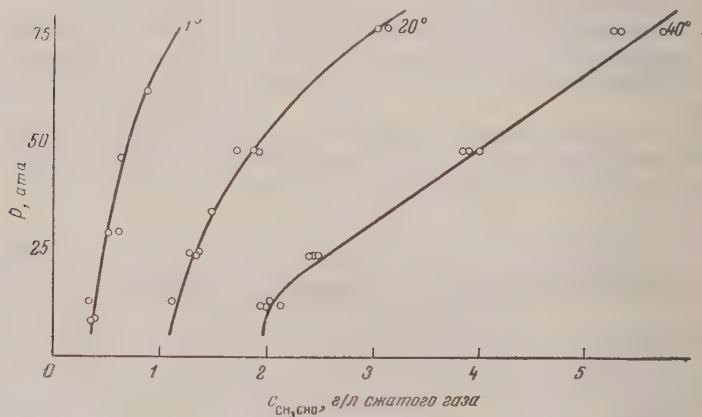


Рис. 1. Растворимость ацетальдегида в сжатом метане  
из водного раствора

Так как общее давление над этим раствором достигает атмосферного давления при 30°, то мы определили динамическим методом парциальные давления указанных компонентов при 1,20 и 30°С и экстраполировали полученные данные до 40°С.

### Обсуждение результатов

Известно, что для разбавленных растворов\* действительно следующее соотношение:

$$f_1'' = K_1'' N_1'', \quad (1)$$

где  $f_1''$  — летучесть первого компонента в газовой фазе, а  $K_1''$  и  $N_1''$  — соответственно коэффициент Генри и мольная доля первого компонента в газовой фазе.

\* В данном случае речь идет о газовом растворе первого компонента во втором

Коэффициент Генри не зависит от состава жидкого раствора. Зная  $K_1^*$  и летучесть компонента в газовой фазе, можно рассчитать его растворимость в сжатом газе над жидким раствором этого компонента любой концентрации.

Раствор ацетальдегида в сжатом метане является разбавленным раствором. Поэтому для вычисления  $K_1^*$  можно воспользоваться данными растворимости чистого ацетальдегида в сжатом метане, полученными нами ранее [1].

Летучесть  $f_1^*$  можно вычислить по выражению для вычисления летучести компонента жидкого раствора [5] на том основании, что при равновесии летучести компонента в газовой и жидкой фазах равны.

$$RT \ln f_1 = RT \ln f_1^0 N_1 + A (N_2)^2, \quad (2)$$

где  $f_1^0$  — летучесть чистого ацетальдегида при общем давлении,  $N_1$  — мольная доля ацетальдегида в жидком растворе,  $N_2$  — мольная доля метана в этом растворе.

Для расчета  $f_1^0$  определяли летучесть ацетальдегида при давлении его насыщенного пара по значению второго вириального коэффициента ацетальдегида и далее рассчитывали  $f_1^0$  по уравнению Пойтинга. При этом принимали, что мольный объем чистого жидкого ацетальдегида не зависит от давления и может быть вычислен по уравнению [6]

$$v_1 = \frac{44}{0,8045 - 0,001325t} \cdot \quad (3)$$

Обладая данными о растворимости ацетальдегида в сжатом метане и зная летучесть ацетальдегида в газовой фазе, мы вычислили по выражению (1) коэффициенты Генри ацетальдегида в газовой фазе (табл. 4).

Таблица 4

Коэффициенты Генри ацетальдегида в газовой фазе, *атм* мольная доля

<i>p, атм</i>	1°	26°	46° С	<i>p, атм</i>	1°	26°	46° С
5	4,6	5,2	5,4	40	21,7	22,8	26,0
10	9,4	9,4	10,0	50	24,4	25,6	29,6
15	11,5	12,6	13,1	60	26,6	27,8	32,6
20	14,0	15,2	16,0	70	28,5	29,8	34,8
30	18,3	19,5	21,6	80	30,2	31,3	36,7

Теперь по значениям коэффициентов Генри можно вычислить растворимость ацетальдегида в сжатом метане из исследованного нами водного раствора и сравнить данные расчета с экспериментальными данными.

Для осуществления подобного расчета необходимо знать летучесть ацетальдегида в газовой фазе над исследованным водным раствором, вычислить которую мы не можем.

Для приближенных расчетов вместо летучести мы воспользовались определенными нами значениями парциального давления ацетальдегида над исследованным водным раствором, учтя поправку по уравнению Пойтинга. При этом вместо мольного объема ацетальдегида подставляли его парциальный мольный объем в жидкой фазе, рассчитанный методом засечек. Значение парциального мольного объема в исследованном водном растворе при 19° С равно 46,8 см<sup>3</sup>/м, что близко к значению мольного объема чистого ацетальдегида. Влиянием метана в жидкой фазе на летучесть (парциальное давление) ацетальдегида пренебрегали вследствие малой растворимости метана в водном растворе ацетальдегида.

Рассчитанные нами и интерполированные на равные давления экспериментальные данные приведены в табл. 5. Как видно из этой таблицы,



Таблица 5

Растворимость ацетальдегида в сжатом метане из водного раствора  
(с 43,5%  $\text{CH}_3\text{CHO}$ ), мольная доля  $\cdot 10^3$

P, атм.	1°			20°			40° С		
	эксп.	расч.	расч. с гидр.	эксп.	расч.	расч. с гидр.	эксп.	расч.	расч. с гидр.
10	20,3	25,3	21,8	57,4	63,7	58,0	101	140	135
15	13,5	18,6	16,1	42,7	48,0	43,8	68,8	108	100
20	10,5	15,4	13,4	31,5	40,3	36,7	64,0	89,0	83,1
30	7,81	12,1	10,5	23,8	32,0	29,1	55,8	67,5	63,4
40	6,63	10,4	8,98	20,6	27,9	25,4	49,0	57,0	53,0
50	6,24	9,45	8,11	19,1	25,2	23,1	44,1	51,0	47,4
60	6,08	8,87	7,52	18,5	23,8	21,7	39,0	47,0	43,9
70	6,05	8,45	7,16	18,4	23,2	20,6	36,1	45,0	41,8

расчетные данные больше экспериментальных. Это может быть объяснено тем, что, как было показано ранее [4] и как подтвердилось и в данной работе, ацетальдегид образует в газовой фазе гидраты с водой. Вследствие этого экспериментально определенные значения парциальных давлений, по которым вели расчет растворимости, являются по существу

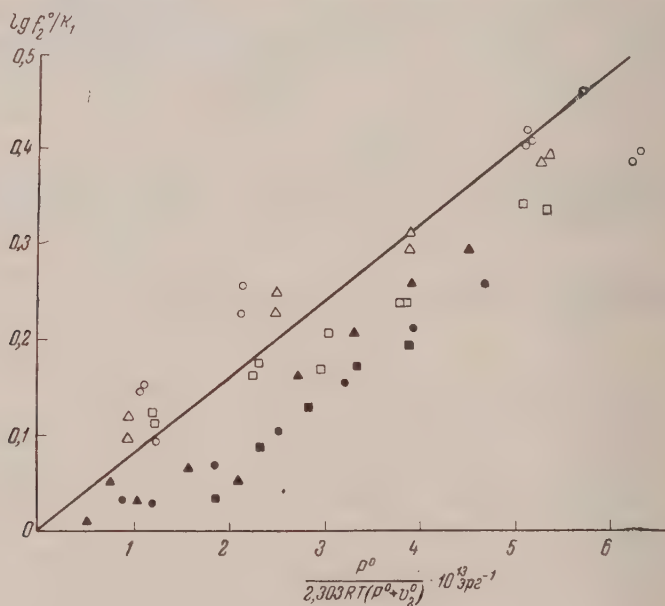


Рис. 2

величинами, пропорциональными концентрации ацетальдегида в газовой фазе, и сумма их не совпадает с общим давлением, определенным независимым путем.

Ранее [4] нами было показано, что на основании данных об общем давлении над раствором и о парциальных давлениях компонентов нельзя установить, какая часть ацетальдегида находится в газовой фазе в виде гидрата. Вследствие этого мы и вели расчет на общую концентрацию ацетальдегида и гидрата в газовой фазе, считая, что основное количество ацетальдегида в газовой фазе не связано в комплексе.

Для точного решения вопроса о гидратах необходимо исследовать объемные соотношения изучаемых газовых растворов.

Величину парциального давления ацетальдегида, не связанного в комплексе, можно приближенно оценить так, как это было описано ранее

]. Если вычислить растворимость ацетальдегида в сжатом метане по им «исправленным» на присутствие гидрата значениям парциальных давлений, то разница между экспериментальными и расчетными данными меньше (столбцы 4,7 и 10 табл. 5).

Расчет по уравнению П. Р. Кричевского и Н. Е. Хазановой. Полученные нами данные по растворимости ацетальдегида из его водного раствора в сжатом метане были обработаны по уравнению И. Р. Кричевского и Н. Е. Хазановой [7], передающему растворимость полярных жидкостей в неполярных газах. Аналогичный расчет для чистого ацетальдегида был приведен в предыдущей работе [1], поэтому мы не касаемся его деталей. На рис. 2. отложены значения  $\frac{p^0 \cdot 10^{13} \text{ атм}^{-1}}{p^0/K_1}$  против  $\frac{2,303 RT (p^0 + V^0)}{p^0}$ .

Светлые точки рассчитаны по данным растворимости ацетальдегида в сжатом метане. Темные точки рассчитаны по данным о растворимости ацетальдегида из его водного раствора. Кружки относятся к 1, треугольнички — 20 и квадратик — 40°C. Из рисунка видно, что данные для чистого ацетальдегида ложатся на одну общую прямую с отклонением не более 10—15%, т. е. в тех пределах, которые предусмотрены авторами при выводе этого уравнения.

Отклонения темных точек от прямой больше. Это объясняется тем, что мы не можем учесть образования гидратов в газовой фазе. Однако эта точность вполне достаточна для технологических расчетов.

Автор выражает благодарность проф. И. Р. Кричевскому за советы и помощь в работе.

### Выводы

1. Определена растворимость ацетальдегида и воды в сжатом метане в 43,5%-ном растворе ацетальдегида в воде при давлениях до 80 атм и температурах от 1 до 40°C.
2. Определены парциальные давления компонентов над исследованным водным раствором ацетальдегида и общее давление над раствором.
3. Установлена возможность корреляции данных в исследованной системе.
4. Показано, что полученные данные о растворимости ацетальдегида в сжатом метане из водного раствора хорошо передаются уравнением П. Р. Кричевского и Н. Е. Хазановой.

Институт азотной промышленности  
Москва

Поступила  
20.II.1957

### ЛИТЕРАТУРА

1. Д. С. Циклис и Я. Д. Шварц, Ж. физ. химии, 31, 2302, 1957.
2. Д. С. Циклис и А. Н. Кофман, Тр. Гос. н.-и. и проектн. ин-та азотн. пром-сти, 5, 54, 1956.
3. R. H. Olds, B. H. Sage, W. N. Lacey, Industr. and Engng. Chem., 34, 1233, 1942.
4. Д. С. Циклис и А. Н. Кофман, Ж. физ. химии, 31, 100, 1957.
5. И. Р. Кричевский, Фазовые равновесия в растворах при высоких давлениях, ГХИ, 1952.
6. T. B. Smith, B. F. Bonner, Industr. and Engng. Chem., 43, 1169, 1951.
7. И. Р. Кричевский и Н. Е. Хазанова, Ж. физ. химии, 13, 106, 1939.

### PHASE EQUILIBRIA IN THE SYSTEM ACETALDEHYDE-WATER-METHANE AT HIGH PRESSURES

D. S. Tsiklis (Moscow)

#### Summary

Determinations have been made of the solubility of acetaldehyde and water in compressed methane and of methane in a 43.5% solution of acetaldehyde in water at pressures up to 80 at. and temperatures from 1 to 40° C. The partial pressures of the components over the aqueous acetaldehyde solution and the total pressure were measured. It was found that the data for the system could be correlated.

The data on the solubility of acetaldehyde in compressed methane from an aqueous solution were shown to obey well the Krichewskii—Khazanova equation.

# ИЗУЧЕНИЕ СВОЙСТВ РАСПЛАВЛЕННЫХ ТИТАНАТОВ МЕТОДОМ ЭЛЕКТРОДВИЖУЩИХ СИЛ

*В. И. Мусихин и О. А. Есин*

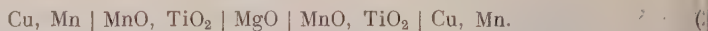
Исследованию электрохимических свойств жидких силикатов посвящено сравнительно большое число работ; сведения же о расплавленных титанатах незначительны. В частности, методом э. д. с. изучалась лишь система [1]  $\text{FeO}-\text{Fe}_2\text{O}_3-\text{TiO}_2$ . Характер полученных изотерм позволил заключить о существовании в этих расплавах анионов  $\text{TiO}_4^{4-}$  и  $(\text{TiO}_3)^{2-}$ . В настоящей работе тем же методом исследовались системы  $\text{Na}_2\text{O}-\text{TiO}_2$  и  $\text{MnO}-\text{TiO}_2$ .

## Экспериментальная часть

Опыты проводились в тиглях из плавленного магнезита и поэтому некоторое количество  $\text{MgO}$  (2—6%) неизбежно растворялось в шлаках. Применение твердой пергородки из  $\text{MgO}$  в качестве кислородного электрода позволило, как и в предыдущих работах [2, 3], составить следующие концентрационные цепи без переноса ионов



и



Электродами в системе  $\text{Na}_2\text{O}-\text{TiO}_2$  служили стержни из сплава железа с титаном. Потенциалоопределяющий процесс на них можно представить схемой:



На кислородном электроде устанавливалось равновесие



Поэтому н.э.д.с. элемента



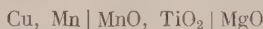
определялась суммой процессов (3) и (4) и равнялась

$$E = E_0 + \frac{RT}{4F} \ln \frac{a_{\text{TiO}_4^{4-}}}{a_{\text{O}^{2-}}^2 \cdot a_{\text{Ti}} a_{\text{O}}^2} = E_0 + \frac{RT}{4F} \ln \frac{a_{\text{TiO}_2}}{a_{\text{Ti}} a_{\text{O}}^2} \quad (5)$$

В качестве электродов в системе  $\text{MnO}-\text{TiO}_2$  применялся жидкий сплав меди с марганцем. Потенциал их определялся процессом:



В связи с этим э. д. с. цепи



может быть представлена уравнением

$$E = E_0 + \frac{RT}{2F} \ln \frac{a_{\text{Mn}^{2+}} a_{\text{O}}}{a_{\text{Mn}} a_{\text{O}^{2-}}} \quad (7)$$

При постоянном составе электродов э. д. с. цепей (1) и (2) определяется лишь отношением активностей  $\text{TiO}_2$  или  $\text{MnO}$  в обоих электролитах, т. е.

$$E_1 = \frac{RT}{4F} \ln \frac{a_{\text{TiO}_2}}{a_{\text{TiO}_2}^0} \quad (8)$$

$$E_2 = \frac{RT}{2F} \ln \frac{a_{\text{MnO}}}{a_{\text{MnO}}^0} \quad (9)$$

В качестве стандарта были выбраны расплавы, насыщенные  $Mg()$ , что исключало растворение его из тигля. Они содержали 36,6%  $CaO$ , 11,3%  $MgO$ , 47,1%  $B_2O_3$  и 5%  $SiO_2$  или  $MnO$ .

Для реализации указанных выше цепей применялись ячейки двух типов (рис. 1). Они изготавливались из плотных кусков электроплавящего магнетита (диаметром 75 мм и высотой от 60 до 110 мм). Ячейка первого типа (рис. 1, а) применялась при измерениях в системе  $MnO-TiO_2$ . В ней для исследуемых расплавов имелось от двух до пяти отделений 1 (глубиной 60—70 и диаметром 15—18 мм). Они разделялись перегородками 2 толщиной 2—3 мм от отделения для стандартного электролита и заканчивались углублениями 3 (диаметром 8—10 мм), в которые заливались электроды. Наклонные каналы (диаметром 5—6 мм) помещались токоотводы. Высокое сопротивление достаточно толстой (7—8 мм) перегородки 4 между электродами предотвращало короткое замыкание элемента.

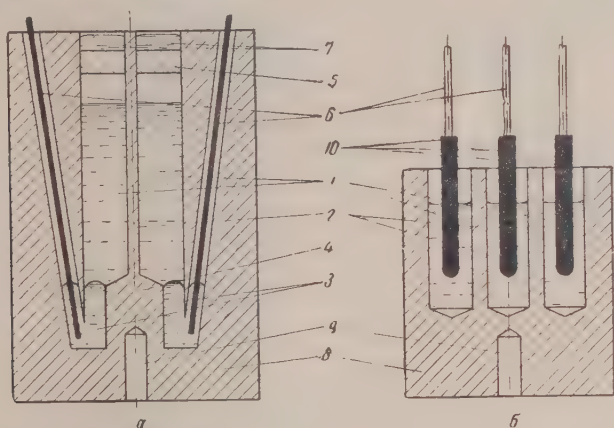


Рис. 1. Ячейки для измерения э. д. с.: 1 — отделения для шлаков; 2 — перегородка между шлаками; 3 — жидкие электроды; 4 — перегородка между электродами; 5 — магнетитовые пробки; 6 — токоотводы; 7 — расплавленная медь; а и б — типы ячеек; 8 — тело из плавящего магнетита; 9 — отделение для горячего спая термопары; 10 — твердые электроды

Ячейка второго типа (рис. 1, б) применялась при измерениях в системе  $Na_2O-TiO$  и содержала три отделения 1 овальной формы (глубиной 35—40 мм), разделенных тонкими перегородками (2—3 мм). В среднее отделение всегда помещался стандартный расплав.

Электролиты готовились из чистых двуокиси титана, соды и углекислого марганца. Последний предварительно прокаливается при  $1200^\circ C$ . В расплавы системы  $MnO-TiO_2$  добавлялся до опыта порошок металлического марганца, чтобы восстановить  $Mn^{3+}$  до  $Mn^{2+}$ . Одновременные измерения нескольких различных составов в одной ячейке позволяли получить достаточно надежные результаты.

Предварительными опытами в системе  $MnO-TiO_2$  с открытыми сверху ячейками было установлено, что э. д. с. неустойчива, по-видимому, вследствие окисления  $Mn^{2+}$  до  $Mn^{3+}$  на границе с атмосферой и обратного восстановления  $Mn^{3+}$  на электродах. Поэтому в дальнейшем для устранения влияния атмосферы печи опыты проводились следующим образом.

В ячейку первого типа заливались жидкие электроды (сплав электролитических меди с 12% марганца). Затем закрывалась смесь порошков окислов. Сверху каждое отделение плотно закрывалось пробкой 5 из магнетитового кирпича. Токоотводы — стержни вольфрамовой проволоки 6 диаметром 0,8—1,2 мм, защищенные фарфоровыми трубочками, опускались в наклонные каналы. Сверху пробки, закрывавших отделения, расплавляли медь 7, которая, образуя жидкостный затвор, надежно изолировала окисленные расплавы от атмосферы печи. Измерения производились через 1—2 мин. в течение 10—15 мин. Значения э. д. с. были достаточно устойчивыми и воспроизводимыми. После прекращения опыта брались пробы для химического анализа.

При измерениях в системе  $Na_2O-TiO_2$  электроды изготавливались из технического чистого железа ( $C-0,023\%$ ,  $Mn-0,13\%$ ,  $P$  и  $Cr$  — следы,  $Si-0,046\%$ ,  $S-0,002\%$ )



и металлического титана. Сплав, содержащий около 20% Ti, намораживался на молибденовые стержни, служившие токоотводами. Электроды погружались в расплавленные окислы сверху. Измерения э. д. с. производились высокоомным потенциометром типа ПИТВ-1. Суммарная ошибка не превышала 10%.

### Обсуждение результатов

Данные химического анализа, результаты опытов, а также вычисленные по ним активности и коэффициенты активности помещены в табл. 1 и 2.

Таблица 1

Результаты измерений  
в расплавах MnO — TiO<sub>2</sub> при 1470° С

$N_{\text{TiO}_2}$	$N_{\text{MnO}}$	$E, \text{ mV}$	$a_{\text{MnO}}$	$\gamma_{\text{MnO}}$
0,60	0,32	59	0,09	0,28
0,56	0,38	65	0,10	0,27
0,48	0,44	72	0,11	0,25
0,42	0,49	76	0,12	0,25
0,39	0,56	83	0,13	0,23
0,33	0,61	90	0,15	0,24
0,28	0,67	136	0,27	0,40
0,24	0,71	175	0,46	0,65
0,20	0,77	215	0,77	1,00

Таблица 2

Результаты измерений  
в расплавах Na<sub>2</sub>O — TiO<sub>2</sub> при 1200° С

$N_{\text{TiO}_2}$	$N_{\text{Na}_2\text{O}}$	$E, \text{ mV}$	$a_{\text{TiO}_2}$	$\gamma_{\text{TiO}_2}$
0,36	0,59	100	0,0005	0,001
0,40	0,54	117	0,0006	0,002
0,46	0,50	129	0,001	0,002
0,51	0,44	138	0,002	0,004
0,54	0,39	174	0,003	0,006
0,61	0,34	186	0,004	0,008
0,65	0,29	192	0,005	0,008
0,68	0,24	250	0,046	0,070
0,72	0,20	300	0,220	0,310
0,76	0,16	340	0,760	1,000

Активности  $a_{\text{TiO}_2}$  и  $a_{\text{MnO}}$  вычислялись по уравнениям (8) и (9) в предположении, что при высоких концентрациях TiO<sub>2</sub> и MnO справедлив закон Рауля. В связи с этим  $a_{\text{TiO}_2}$  для расплава, свойства которого приведены в последней строчке табл. 2, и  $a_{\text{MnO}}$  для расплава со свойствами, приведенными в последней строчке табл. 1, приняты приближенно равными их мольным долям  $N_i$ . Зависимости э. д. с. от концентраций TiO<sub>2</sub> и MnO показаны на рис. 2. В обоих случаях наблюдаются значительные отрицательные отклонения от идеальных растворов. Более того, э. д. с. для MnO — TiO<sub>2</sub> (рис. 2, кривая 1) сначала медленно увеличивается, а затем, начиная с состава 2 MnO · TiO<sub>2</sub>, нарастание резко усиливается. На изотерме для Na<sub>2</sub>O — TiO<sub>2</sub> (кривая 2) имеется не одна, а две точки, где изменяется скорость прироста э. д. с. Эти точки примерно соответствуют химическим соединениям Na<sub>2</sub>O — TiO<sub>2</sub> и Na<sub>2</sub>O · 2 TiO<sub>2</sub>. Сказанное свидетельствует о значительной упорядоченности в расплавах, которую можно трактовать как существование ионов типа  $\text{TiO}_4^{4-}$ ,  $\text{TiO}_3^{2-}$  и  $\text{Ti}_2\text{O}_5^{2-}$ .

Способ учета элементов порядка в растворах был разработан, например, Бете [4], который рассчитал свободную энергию бинарного твердого раствора для  $N_1 = 0,5$ . Пайерлсом [5] этот метод был распространен на случай образования соединения типа AB<sub>3</sub>. Позднее Кирквуд [6] другим путем вычислил свободную энергию при  $N_1 = 0,5$ . Метод Кирквуда распространен И. М. Лифшицем [7] на случай произвольных концентраций.

Если положить степень дальнего порядка для расплавов равной нулю, то можно вместе с Б. Н. Фикельштейном [8] получить из уравнения Лифшица следующую зависимость активности компонента бинарного раствора  $a_1$  от состава  $N_1$  и  $N_2$ :

$$\ln a_1 = \ln N_1 + z\alpha N_2^2 - 2z\alpha^2 N_1 N_2^3 + z\alpha N_1^2 N_2^2, \quad (10)$$

где  $z$  — координационное число,  $N_i$  — мольные доли, а  $\alpha = U/kT$  ( $U$  — энергия смещения,  $k$  — константа Больцмана,  $T$  — абсолютная температура). Однако это уравнение справедливо лишь для  $\alpha < 1$ , т. е. малых энергий смещения.

Выведенное иным путем уравнение А. А. Жуховицкого, Б. Н. Финльштейна и И. С. Куликова [9]:

$$\ln a_2 = \ln N_2 + z\alpha N_1^2 - 2z\alpha N_1 N_2, \quad (11)$$

является лишь частным случаем выражения (11) для малых  $N_2$ . Позднее И. С. Куликов [10] сделал попытку применить формулу (12) к системе  $\text{FeO} - \text{SiO}_2$  и после поправок на ковалентность и полимеризацию получил уравнение для коэффициента активности  $\text{FeO}$ :

$$\ln \gamma_{\text{FeO}} = 1,63 N_{\text{SiO}_2}^2 - 1,84_{\text{FeO}} N_{\text{SiO}_2} - 0,443_{\text{N}_{\text{SiO}_2}} \left(1 - \frac{1}{6,55 N_{\text{SiO}_2}^{1,71}}\right). \quad (12)$$

При этом в выражение (11) не были введены коррективы, позволяющие распространить его на весь интервал концентраций. В результате фор-

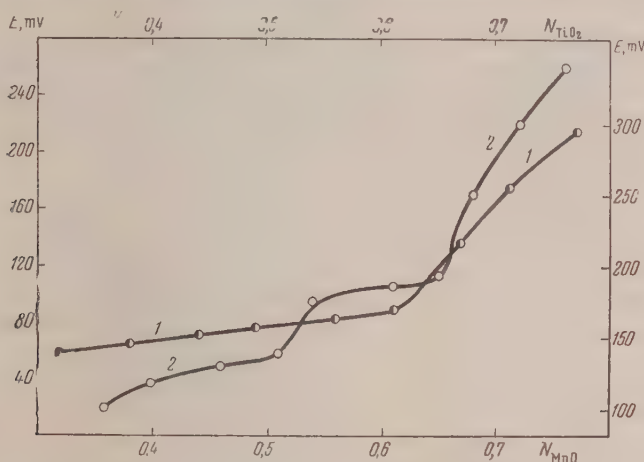


Рис. 2. Зависимость э. д. с. ( $E$ ) от состава расплавов: 1 — в координатах  $N_{\text{MnO}}$  — э. д. с.; 2 — в координатах  $N_{\text{TiO}_2}$  — э. д. с.

Левая ось ординат для кривой 1, правая для кривой 2

мула (12) дает для  $N_{\text{FeO}} = 1$  неправдоподобное значение:  $\gamma_{\text{FeO}} = \infty$ . Кроме того, неправильная подстановка пределов расслаивания приводит к минимуму на кривой  $a_{\text{FeO}} = f(N_{\text{FeO}})$ , что противоречит известному термодинамическому соотношению

$$\left(\frac{\partial \mu_{\text{FeO}}}{\partial N_{\text{FeO}}}\right)_{P, T, n_{\text{SiO}_2}} > 0, \quad (13)$$

где  $\mu$  — химический потенциал,  $P$  — давление, а  $n_{\text{SiO}_2}$  — число молей  $\text{SiO}_2$ .

Общий анион кислорода в расплавленных окислах можно формально рассматривать как причину связи между катионами. Подобный подход [11, 12] позволяет распространить уравнение Лифшица на системы, состоящие из окислов.

Исходя из квазихимического метода, В. А. Кожуров [12] предложил следующее выражение для активности компонента в бинарном растворе:

$$a_1 = N_1 \left( \frac{N_1 - \bar{N}}{N_1^2} \right)^{z/2}, \quad (14)$$

в котором  $\bar{N}$  определяется из уравнения:

$$\frac{\bar{N}^2}{(N_1 - \bar{N})(N_2 - \bar{N})} = \eta^2 = e^{-2U/zRT}. \quad (15)$$

К сожалению формулы (10) и (14) относятся к образованию одного соединения типа АВ. В изученных нами расплавах изгибы изотерм отпадают либо другому типу АВ<sub>2</sub>, либо наличию двух соединений АВ и АВ<sub>2</sub>.

Существование одного соединения типа АВ обнаружено в системе Fe—Si. Активности ее компонентов изучались различными методами рядом авторов [13—16], в том числе методом э. д. с. [15, 16]. Серия кривы

Таблица 3

Активности кремния в расплавах Fe—Si при 1470° С [16]

$N_{Si}$	0,011	0,025	0,049	0,075	0,081	0,10	0,16	0,36	0,39	0,48	0,51
$a_{Si}$	0,006	0,012	0,016	0,023	0,028	0,047	0,07	0,12	0,17	0,20	0,36

$a_{Si} = f(N_{Si})$  для различных температур, по данным этих авторов, приведена в статье Шнейдера и Мейера [17]. Это даст возможность сравнить выражения (10) и (14) с экспериментом. Чтобы привести данные [15] и [16] к одному стандарту (чистый кремний), было принято, что в обоих

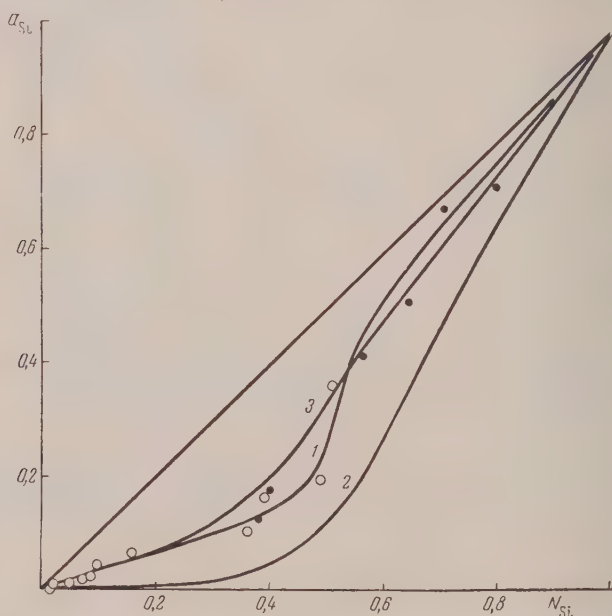


Рис. 3. Активность кремния в расплавленном ферросилиции. 1 — построена по экспериментальным точкам, зачерненные точки по [15] и светлые по [16]; 2 — по уравнению (15) при  $z=7$  и  $Q=28\,500$  кал; 3 — по уравнению (15) при  $z=2$  и  $Q=28\,500$  кал

случаях при  $N_{Si} = 0,39—0,40$  активность кремния равна 0,17—0,18. Пересчитанные таким способом значения  $a_{Si}$ , полученные в работе [16], приведены в табл. 3 и представлены кривой 1 на рис. 3.

Так как теплота смешения железа с кремнием составляет: 28 500 кал [14], то величина  $\alpha = U/kT$  при температурах 1200—1500° составляет несколько единиц. Поскольку уравнение (11) справедливо только для  $\alpha < 1$ , оно оказывается неприменимым к этому случаю.

На рис. 3 приведены кривые 2 и 3, построенные по уравнению (15) для теплоты смешения в 28 500 кал и соответственно для  $z = 7$ , найден-

ому [18] при рентгенографическом исследовании  $\text{FeSi}$ , а также для  $z = 2$ . Кривая 3 значительно ближе к экспериментальной, чем кривая 2.

Если уравнение (15) удовлетворительно учитывает особенности реальных растворов, то необходимо допустить сильное уменьшение координационного числа  $z$  при плавлении  $\text{FeSi}$ . Возможно, что оно является результатом проявления сильных ковалентных связей, приводящих к известному обособлению атомов Fe и Si в жидкости.

В пользу такого обособления говорит значительное понижение поверхностного натяжения при введении кремния в железо [19]. Для согласования этого обстоятельства с большой теплотой смешения нужно допустить, что теплота выделяется вследствие образования обособленных квази-молекул ферросилиция, слабо связанных с остальными атомами и вытесненных поэтому в поверхностный слой.

### Выводы

1. Измерены э.д.с. концентрационных цепей без переноса в растворах  $\text{Na}_2\text{O}-\text{TiO}_2$  и  $\text{MnO}-\text{TiO}_2$  при  $1200^\circ$  и  $1470^\circ \text{C}$ . По полученным данным вычислены активности компонентов этих систем.

2. Характер изотерм э.д.с. указывает на сильные отрицательные отклонения этих растворов от идеальных. На них обнаружены изломы, отличающие конгруэнтноплавящимися соединениям  $\text{Na}_2\text{O} \cdot \text{TiO}_2$ ,  $\text{Na}_2\text{O} \cdot 2\text{TiO}_2$  и  $2\text{MnO} \cdot \text{TiO}_2$ , что свидетельствует об упорядоченности расплавов.

3. На примере системы Fe—Si проведено сравнение с экспериментальными данными квазихимической формулы.

Высказано предположение об уменьшении координационного числа при плавлении  $\text{FeSi}$ .

Уральский филиал Академии наук СССР  
Институт металлургии  
Свердловск

Поступила  
22.II.1957

### ЛИТЕРАТУРА

- О. А. Есин и Б. М. Лепинских, Докл. АН СССР, 95, 135, 1954.
- О. А. Есин, Л. К. Гаврилов и Б. М. Лепинских, Докл. АН СССР, 88, 713, 1953.
- О. А. Есин и Б. М. Лепинских, Докл. АН СССР, 91, 1187, 1953.
- H. Bethe, Proc. Roy. Soc., A150, 552, 1935.
- R. Peierls, Proc. Roy. Soc., A154, 207, 1936.
- J. G. Kirkwood, J. Chem. Phys., 6, 70, 1938.
- И. Лишниц, Ж. эксперим. и теор. физ., 9, 481, 1939.
- Б. Н. Финкельштейн, Проблемы металловедения и физики металлов, 3, 275, Металлургиздат, 1952.
- А. А. Жуховицкий, Б. Н. Финкельштейн и И. С. Куликов, Докл. АН СССР, 81, 227, 1951.
- И. С. Куликов, Изв. АН СССР, Отд. техн. н., № 2, 113, 1955.
- J. H. Hildebrand and E. J. Salstrom, J. Amer. Chem. Soc., 54, 4257, 1932.
- В. А. Кожеуров, Ж. физ. химии, 26, 479, 1952.
- J. Chipman, Disc. Faraday Soc., № 4, 37, 1948.
- F. Koerber und W. Oelsen, Mitt. K. W. Institut Eisenforsch Düsseldorf, 18, 109, 1936; Stahl und Eisen, 56, 1401, 1936.
- K. Sanbongia, M. Ohtani, Sc. Rep. Research Inst. Tohoku University, A5, 350, 1953.
- О. А. Есин и Л. К. Гаврилов, Изв. АН СССР, Отд. техн. н., № 8, 1234, 1951.
- A. Schneider und W. Mayer — Jungnick, Angew. Chemie, 67, 306, 1955.
- L. Pauling und A. M. Soldate, Acta Crystallogr., 1, 212, 1948.
- П. В. Гельд, Н. В. Заимских, Н. Н. Серебрянников и Ю. П. Никитин, Ж. прикл. химии, 25, 687, 1952.



## A STUDY OF THE PROPERTIES OF MOLTEN TITANATES BY THE EMF METHOD

*V. I. Musikhin and O. A. Esin (Sverdlovsk)*

## S u m m a r y

The electromotive force has been measured of concentration cells without transposition in  $\text{Na}_2\text{O} - \text{TiO}_2$  and  $\text{MnO} - \text{TiO}_2$  melts at 1200 and 1470° C. From the data obtained the activities of the components have been calculated. The character of the electromotive force isotherms indicates a large negative deviation of these solutions from the ideal. Breaks in the curves have been revealed corresponding to the congruent melting compounds  $\text{Na}_2\text{O} \cdot \text{TiO}_2$ ,  $\text{Na}_2\text{O} \cdot 2\text{TiO}_2$  and  $2\text{MnO} \cdot \text{TiO}_2$ , bearing evidence of an ordering in the melts.

As exemplified by the system  $\text{Fe} - \text{Si}$  a comparison has been made with the experimental data of the quasi-chemical formula.

It has been proposed that on melting the coordination number of  $\text{FeSi}$  decreases.

---

# ВЛИЯНИЕ ДИФФУНДИРУЮЩЕГО АТОМАРНОГО ВОДОРОДА НА ПЕРЕНАПРЯЖЕНИЕ ВОДОРОДА $\eta$ НА ЖЕЛЕЗЕ И НАНЕСЕННЫХ НА НЕГО ГАЛЬВАНИЧЕСКИХ ОСАДКАХ В РАСТВОРЕ ЩЕЛОЧИ И КИСЛОТЫ

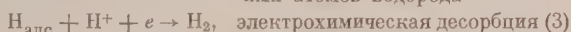
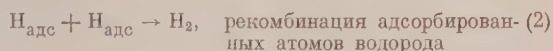
*А. И. Оше и И. А. Багоцкая*

Электрохимическое выделение водорода может протекать через следующие промежуточные стадии:

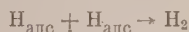
в кислой среде —  
разряд иона водорода



удаление адсорбированного водорода:



в щелочной среде —



В этом процессе  $\text{H}_{\text{адс}}$  является промежуточным продуктом. Поэтому исследование влияния искусственного увеличения концентрации атомарного водорода на поверхности электрода на кинетику электрохимического выделения его может позволить в ряде случаев сделать вывод о механизме этой реакции.

Теоретически вопрос об исследовании механизма электролитического выделения водорода методом введения дополнительных количеств атомарного водорода на поверхность электрода был рассмотрен А. Н. Фрумкин [1]. Им было показано, что повышение  $\eta$  под влиянием дополнительных количеств атомарного водорода указывает на медленный процесс удаления  $\text{H}_{\text{адс}}$  по реакции рекомбинации или электрохимической десорбции, понижение  $\eta$  — на медленный процесс разряда и быстрое удаление по механизму электрохимической десорбции.

Ранее нами было исследовано влияние атомарного водорода на кинетику электрохимического выделения его на чистом железе Армо [2], на железе, отравленном ртутью и свинцом, а также на гальванических осадках цинка и олова [3], нанесенных на железо в растворе щелочи.

Источником атомарного водорода в проводимых нами исследованиях служил атомарный водород, получающийся на одной стороне железной мембраны при катодной окислительной ее в растворе электролита и диффундирующий на противоположную сторону, являющуюся исследуемым электродом. Было установлено, что влияние атомарного водорода на  $\eta$  на всех исследованных нами электродах в растворе щелочи зависит от поляризации электрода. При низких значениях  $\eta$  диффундирующий водород повышает  $\eta$  (чистое железо Армо и железо, отравленное свинцом и ртутью). По мере увеличения  $\eta$  тормозящее действие атомарного водорода на кинетику электрохимического выделения его падает и при еще больших значениях  $\eta$  атомарный водород ускоряет этот процесс (железо, отравленное свинцом и ртутью, и гальванические осадки олова и цинка, нанесенные на железо). В растворах кислот, содержащих ингибитор тетрабутиламмонийсульфат в сочетании с бромистым калием) или мышьяк, мы практически не наблюдали влияния диффундирующего водорода на  $\eta$  на чистом железе Армо [4].

В настоящей работе нами было исследовано влияние диффундирующего водорода на  $\eta$  на гальванических осадках никеля и меди, нанесенных на железо, в 1N растворе NaOH и на чистом и отравленном свинцом и ртутью железе и гальванических осадках олова, никеля и меди в 1 растворе  $H_2SO_4$ . Методика измерений оставалась прежней [3].

### Экспериментальная часть

Исследование влияния диффундирующего водорода на  $\eta$  на гальванических осадках никеля и меди в 1N растворе NaOH. Гальванические осадки никеля и меди, толщиной  $10^{-5}$  см, наносились на диффузионную сторону мембраны из железа Армко из ванны, не содержащих поверхностно-активных

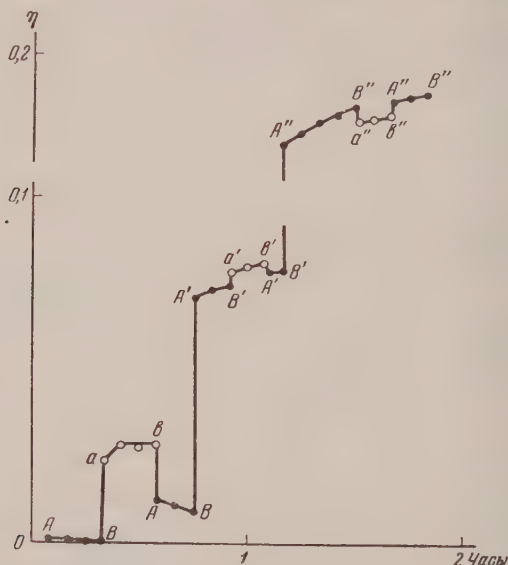


Рис. 1. Влияние диффундирующего водорода на  $\eta$  на гальваническом осадке никеля в 1N NaOH.  $AB - i = 0, i' = 0$ ;  $ab - i = 0, i' = 1 \cdot 10^{-3} \text{ A/cm}^2$ ;  $A'B' - i = 8 \cdot 10^{-6} \text{ A/cm}^2, i' = 0$ ;  $a'b' - i = 8 \cdot 10^{-6} \text{ A/cm}^2, i' = 1 \cdot 10^{-3} \text{ A/cm}^2$ ;  $A''B'' - i = 8 \cdot 10^{-6} \text{ A/cm}^2, i' = 0$ ;  $a''b'' - i = 8 \cdot 10^{-6} \text{ A/cm}^2, i' = 1 \cdot 10^{-3} \text{ A/cm}^2$ . Здесь и далее черные точки дают значения  $\eta$  при отсутствии диффузии, белые — при наличии ее

веществ [5]. Так как гальванические осадки Ni и Cu прочно сцепляются с железом и удалить их механически с поляризационной стороны мембраны было невозможно и они мешали проникновению атомарного водорода в металл с поляризационной стороны, то перед нанесением осадков поляризационную сторону мембраны мы покрывали тонким слоем парафина, который затем удалялся механически.

Данные по влиянию диффундирующего атомарного водорода на  $\eta$  на гальванических осадках Ni и Cu в 1 N растворе NaOH приведены на рис. 1 и 2. Черными кружками обозначены значения  $\eta$  в отсутствии диффузии, белыми — при наличии ее.  $i'$  — скорость диффузии водорода, выраженная в электрических единицах,  $i$  — катодная поляризация диффузионной стороны. Из рис. 1 видно, что стационарный потенциал никеля, равный обратимому водородному электроду, сдвигается под влиянием диффундирующего водорода в отрицательную сторону. На гальваническом осадке никеля при низкой катодной поляризации  $\eta$  повышается

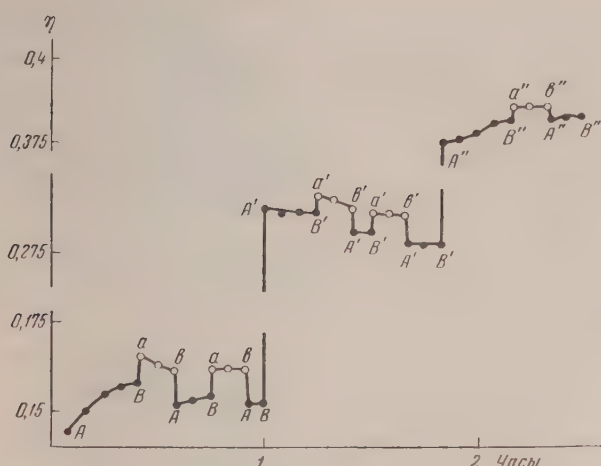


Рис. 2. Влияние диффундирующего водорода на  $\eta$  на гальваническом осадке меди в 1N NaOH.  $AB$  —  $i = 8 \cdot 10^{-5}$  A/cm<sup>2</sup>,  $i' = 0$ ;  $ab$  —  $i = 8 \cdot 10^{-5}$  A/cm<sup>2</sup>,  $i' = 8 \cdot 10^{-3}$  A/cm<sup>2</sup>;  $A'B'$  —  $i = 8 \cdot 10^{-4}$  A/cm<sup>2</sup>,  $i' = 0$ ;  $a'b'$  —  $i = 8 \cdot 10^{-4}$  A/cm<sup>2</sup>,  $i' = 8 \cdot 10^{-3}$  A/cm<sup>2</sup>;  $A''B''$  —  $i = 3,2 \cdot 10^{-3}$  A/cm<sup>2</sup>,  $i' = 0$ ;  $a''b''$  —  $i = 3,2 \cdot 10^{-3}$  A/cm<sup>2</sup>,  $i' = 5 \cdot 10^{-3}$  A/cm<sup>2</sup>

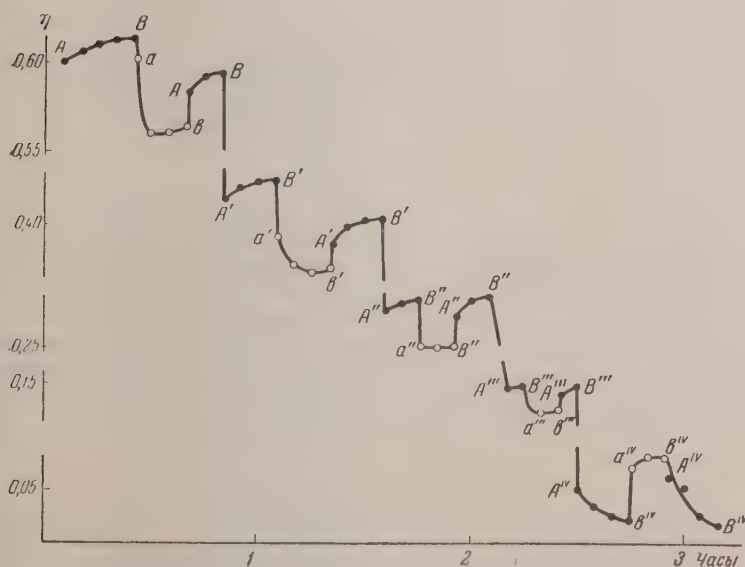


Рис. 3. Влияние диффундирующего водорода на  $\eta$  на гальваническом осадке никеля, отравленном ртутью, в 1N NaOH.  $AB$  —  $i = 8 \cdot 10^{-4}$  A/cm<sup>2</sup>,  $i' = 0$ ;  $ab$  —  $i = 8 \cdot 10^{-4}$  A/cm<sup>2</sup>,  $i' = 1,6 \cdot 10^{-3}$  A/cm<sup>2</sup>;  $A'B'$  —  $i = 8 \cdot 10^{-5}$  A/cm<sup>2</sup>,  $i' = 0$ ;  $a'b'$  —  $i = 8 \cdot 10^{-5}$  A/cm<sup>2</sup>,  $i' = 1,6 \cdot 10^{-3}$  A/cm<sup>2</sup>;  $A''B''$  —  $i = 8 \cdot 10^{-6}$  A/cm<sup>2</sup>,  $i' = 0$ ;  $a''b''$  —  $i = 8 \cdot 10^{-6}$  A/cm<sup>2</sup>,  $i' = 1 \cdot 10^{-4}$  A/cm<sup>2</sup>;  $A'''B'''$  —  $i = 8 \cdot 10^{-7}$  A/cm<sup>2</sup>,  $i' = 0$ ;  $a'''b'''$  —  $i = 8 \cdot 10^{-7}$  A/cm<sup>2</sup>,  $i' = 1,5 \cdot 10^{-3}$  A/cm<sup>2</sup>;  $A^{IV}B^{IV}$  —  $i = 0$ ,  $i' = 0$ ;  $a^{IV}b^{IV}$  —  $i = 0$ ,  $i' = 9 \cdot 10^{-1}$  A/cm<sup>2</sup>



под влиянием диффундирующего водорода, а при высокой — понижается. На гальваническом осадке меди диффундирующий водород всегда повышал  $\eta$  (рис. 2). Следует заметить, что в случае гальванических осадков Ni и Cu изменения  $\eta$  под влиянием диффундирующего водорода хотя и малы, но вполне достоверны. Небольшое абсолютное значение эффекта можно объяснить, с одной стороны, большой скоростью рекомбинации диффундирующего водорода на диффузионной стороне — с другой, как это имеет место особенно в случае гальванического осадка меди, пористостью осадка, когда основная часть диффундирующего водорода реком-

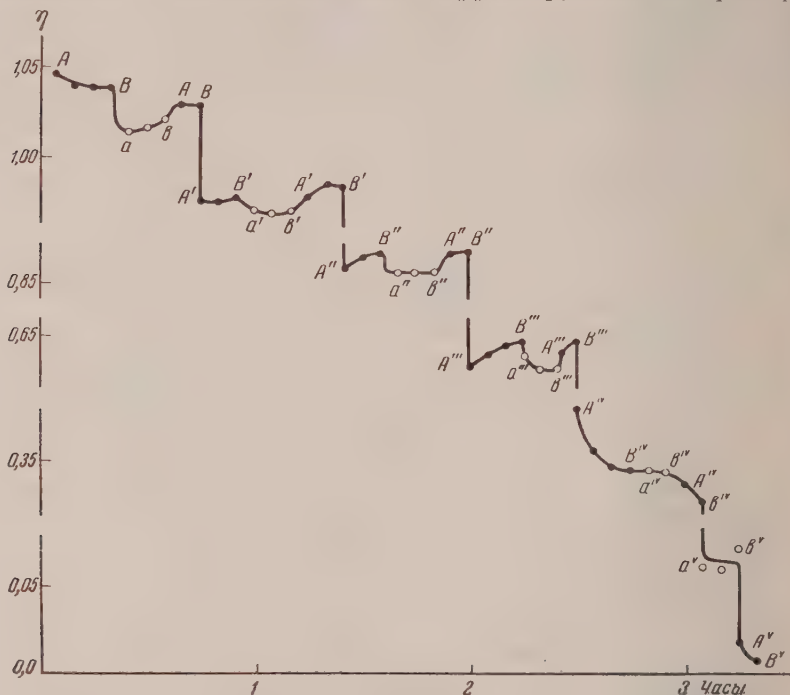


Рис. 4. Влияние диффундирующего водорода на  $\eta$  на гальваническом осадке меди, отравленном ртутью, в 1N NaOH.  $AB — i = 4,8 \cdot 10^{-3} \text{ A/cm}^2$ ,  $i' = 0$ ;  $ab — i = 4,8 \cdot 10^{-3} \text{ A/cm}^2$ ,  $i' = 4 \cdot 10^{-3} \text{ A/cm}^2$ ;  $A'B' — i = 2,4 \cdot 10^{-3} \text{ A/cm}^2$ ,  $i' = 0$ ;  $a'b' — i = 2,4 \cdot 10^{-3} \text{ A/cm}^2$ ,  $i' = 3 \cdot 10^{-3} \text{ A/cm}^2$ ;  $A''B'' — i = 8 \cdot 10^{-4} \text{ A/cm}^2$ ,  $i' = 0$ ;  $a''b'' — i = 8 \cdot 10^{-4} \text{ A/cm}^2$ ,  $i' = 2 \cdot 10^{-3} \text{ A/cm}^2$ ;  $A''B''' — i = 8 \cdot 10^{-5} \text{ A/cm}^2$ ,  $i' = 0$ ;  $a''b''' — i = 8 \cdot 10^{-5} \text{ A/cm}^2$ ,  $i' = 1 \cdot 10^{-3} \text{ A/cm}^2$ ;  $A^{IV}B^{IV} — i = 8 \cdot 10^{-6} \text{ A/cm}^2$ ,  $i' = 0$ ;  $a^{IV}b^{IV} — i = 8 \cdot 10^{-6} \text{ A/cm}^2$ ,  $i' = 1 \cdot 10^{-3} \text{ A/cm}^2$ ;  $A^VB^V — i = 8 \cdot 10^{-7} \text{ A/cm}^2$ ,  $i' = 0$ ;  $a^Vb^V — i = 8 \cdot 10^{-7} \text{ A/cm}^2$ ,  $i' = 2 \cdot 10^{-3} \text{ A/cm}^2$

бинирует в глубоких порах, не соприкасающихся с раствором и, следовательно, не являющихся зоной электрохимической реакции [6]. Если гальванический осадок никеля отравить ртутью катодной поляризацией в 5 N растворе NaOH, насыщенном HgO, то при  $i = 8 \cdot 10^{-4} \text{ A/cm}^2$   $\eta$  на таком электроде становится на 0,250 V выше, чем на чистом гальваническом осадке никеля. Понижение  $\eta$  в этом случае под влиянием диффундирующего водорода увеличивается и достигает 30 mV (рис. 3). При отравлении ртутью гальванического осадка меди путем погружения пластинки на короткий срок в металлическую ртуть \* перенапряжение водорода при  $i = 8 \cdot 10^{-1} \text{ A/cm}^2$  возрастает на 0,5V, и диффундирующий

\* Отравлять гальванический осадок меди ртутью путем катодной поляризации в 5N растворе NaOH, насыщенном HgO, мы не могли, так как амальгама меди, смоченная раствором на воздухе, очень быстро окисляется.

водород не повышает  $\eta$ , как это имело место в случае чистого гальванического осадка меди, а понижает его, хотя по абсолютной величине эффект остается маленьким (рис. 4).

Исследование влияния диффундирующего водорода на  $\eta$  в 1N растворе  $\text{H}_2\text{SO}_4$ . На чистом железе, железе, отравленном цинком, и на гальванических осадках олова и меди мы не обнаружили влияния диффундирующего водорода на  $\eta$  в 1 N растворе  $\text{H}_2\text{SO}_4^*$ . Следует заметить, что после замены в атмосфере водорода кислого раствора в диффузионной ячейке щелочным мы наблюдали влияние диффундирующего водорода на  $\eta$ , например, на железе, отравленном цинком, и на гальваническом осадке олова. В кислом растворе нам не удавалось получить железный электрод, достаточно сильно отравленный ртутью. Повышение  $\eta$  на железе при отравлении его ртутью \*\* и

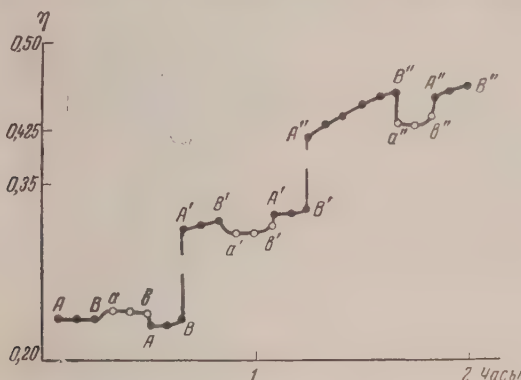


Рис. 5. Влияние диффундирующего водорода на  $\eta$  на гальваническом осадке никеля в 1N  $\text{H}_2\text{SO}_4$ .  $AB - i = 8 \cdot 10^{-6} \text{ A/cm}^2$ ,  $i' = 0$ ;  $ab - i = 8 \cdot 10^{-5} \text{ A/cm}^2$ ,  $i' = 1,6 \cdot 10^{-3} \text{ A/cm}^2$ ;  $A'B' - i = 8 \cdot 10^{-4} \text{ A/cm}^2$ ,  $i' = 0$ ;  $a'b' - i = 8 \cdot 10^{-4} \text{ A/cm}^2$ ,  $i' = 5 \cdot 10^{-3} \text{ A/cm}^2$ ;  $A''B'' - i = 2,8 \cdot 10^{-3} \text{ A/cm}^2$ ,  $i' = 0$ ;  $a''b'' - i = 2,8 \cdot 10^{-3} \text{ A/cm}^2$ ,  $i' = 7 \cdot 10^{-3} \text{ A/cm}^2$

кислых растворах было всегда ниже, чем в растворах щелочи. Однако нам все-таки удалось наблюдать влияние диффундирующего водорода на  $\eta$  на железе, отравленном ртутью (рис. 5). Из рисунка видно, что диффундирующий водород понижает  $\eta$  на таком электроде тем больше, чем выше  $\eta$  и чем больше скорость диффузии водорода. По абсолютной величине эти эффекты были намного меньше, чем в растворе щелочи. На гальваническом осадке никеля мы также наблюдали влияние диффундирующего водорода на  $\eta$  (рис. 6). При низких  $\eta$  диффундирующий водород повышал его, при высоких — понижал. По абсолютной величине эффекты влияния диффундирующего водорода на  $\eta$  на гальваническом осадке никеля были того же порядка, как и в щелочном растворе.

Полученные экспериментальные данные подтверждают, что диффундирующий атомарный водород может как повышать, так и понижать перенапряжение водорода, и что механизм электрохимического выделения водорода и соотношение между скоростями отдельных стадий этой реакции меняется с перенапряжением. Понижение перенапряжения водорода под влиянием дополнительных количеств атомарного водорода при больших значениях  $\eta$ , как было показано теоретически, имеет место при

\* Проводить измерения на гальваническом осадке цинка в растворе кислоты мы не могли, поскольку  $\phi_{\text{ст}}$  цинка настолько отрицателен, что при поляризации электрода мы нашей методикой не могли создать достаточного потока диффундирующего водорода.

\*\* Отравление диффузионной стороны железной мембраны и нанесение на нее гальванических осадков при проведении опытов в кислом растворе проводились таким же способом, как и при проведении опытов в щелочном растворе.

реакции замедленного разряда (1) в кислых растворах и (4) в щелочных и удалении адсорбированного водорода по механизму электрохимической десорбции (3) в кислом растворе и (5) в щелочном растворе, если константа скорости реакции десорбции превышает константу скорости разряда. Этот вывод сохраняет свою силу и в качестве критерия для сравнения скоростей первой и второй стадий. В этом случае следует исходить из соотношения токов обмена первой и второй стадий  $(i_0)_I$  и  $(i_0)_{II}$ . Понижение  $\eta_i$  под влиянием избыточного водорода будет иметь место, если  $(i_0)_I < (i_0)_{II}$ . Повышение  $\eta_i$  под влиянием дополнительных количеств атомарного водорода указывает на удаление адсорбированного водорода с поверхности электрода по реакции рекомбинации (2) или на удаление

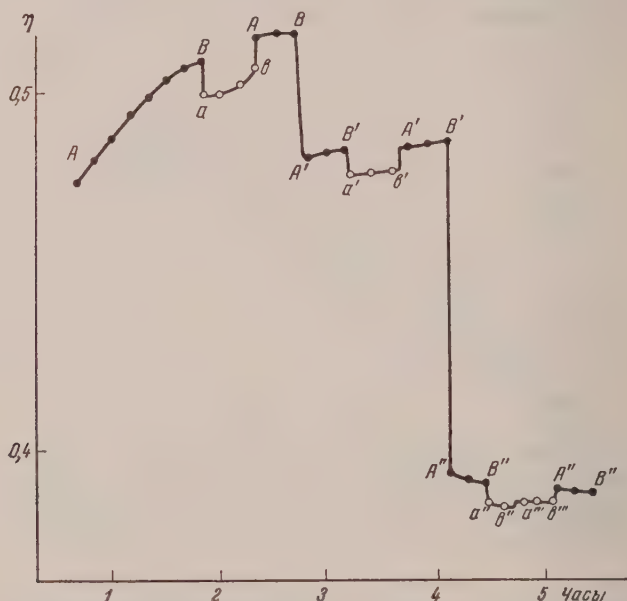


Рис. 6. Влияние диффундирующего водорода на  $\eta$  на железе, отравленном ртутью, в  $1N$   $H_2SO_4$ .  $AB - i = 1 \cdot 10^{-2}$  А/см<sup>2</sup>,  $i' = 0$ ;  $ab - i = 1 \cdot 10^{-2}$  А/см<sup>2</sup>,  $i' = 9 \cdot 10^{-3}$  А/см<sup>2</sup>,  $A'B' - i = 5 \cdot 10^{-3}$  А/см<sup>2</sup>,  $i' = 0$ ;  $a'b' - i = 5 \cdot 10^{-3}$  А/см<sup>2</sup>,  $i' = 6,5 \cdot 10^{-3}$  А/см<sup>2</sup>;  $A''B'' - i = 1 \cdot 10^{-3}$  А/см<sup>2</sup>,  $i' = 0$ ;  $a''b'' - i = 1 \cdot 10^{-3}$  А/см<sup>2</sup>,  $i' = 1,4 \cdot 10^{-3}$  А/см<sup>2</sup>;  $a''b''' - i = 1 \cdot 10^{-3}$  А/см<sup>2</sup>,  $i' = 0,9 \cdot 10^{-3}$  А/см<sup>2</sup>.

по механизму электрохимической десорбции, так что только на основании такого повышения  $\eta$  нельзя сделать однозначного вывода о механизме электролитического выделения водорода.

Полное отсутствие влияния диффундирующего водорода на  $\eta$  на чистом железе, на железе, отравленном свинцом, и на гальванических осадках олова и меди и малость эффектов на железе, отравленном ртутью, в кислых растворах, возможно, связаны с большей, по сравнению с щелочными растворами, скоростью рекомбинации атомарного водорода. Это предположение находится в согласии с данными работы [7]. В этой работе было показано, что емкость железного электрода по водороду в кислых растворах при достаточно высоких  $\eta$  близка к емкости двойного электрического слоя, в то время как в щелочных растворах она достигает значительной величины. Кроме того, следует иметь в виду, что из-за меньшей смачиваемости поверхности электродов в кислых растворах по сравнению со щелочными в кислых растворах более значительная доля диффундирующего водорода

может рекомбинировать в порах, не соприкасающихся с раствором и, следовательно, не являющихся зоной электрохимической реакции [6].

Недавно в работе [8] было исследовано влияние заполнения поверхности электрода адсорбированным водородом на кинетику электрохимического выделения его на меди, серебре и ртути в кислом растворе. В этих экспериментах исследуемые электроды погружались в раствор при постоянном заданном потенциале и измерялось изменение тока во времени до установления стационарного значения. При этом предполагалось, что в исходный момент времени концентрация адсорбированного водорода на поверхности электрода равнялась нулю. При прохождении тока на поверхности электродов появлялся  $H_{адс}$ , который в зависимости от механизма процесса по-разному влиял на ток, проходящий через электрод. Гершпер и Мел [8] пришли к заключению, что на серебре и меди удаление адсорбированного водорода происходит по механизму электрохимической десорбции, причем на серебре стадия десорбции протекает быстрее стадии разряда, а на меди медленнее.

Гершпером [9] при помощи метода потенциальных кривых была проведена полуквантитативная оценка зависимости свободной энергии активации реакций разряда, рекомбинации и электрохимической десорбции от энергии адсорбции атомарного водорода на металлах и предсказан на основании этого механизм электрохимического выделения водорода в зависимости от энергии связи. Однако как в экспериментальной, так и в теоретической работе эти авторы не уделили внимания зависимости механизма электрохимического выделения водорода от поляризации электродов.

**Количественное изучение снижения перенапряжения под влиянием диффундирующего водорода.** Как следует из теории, развитой А. Н. Фрумкиным, в отличие от эффекта повышения  $\eta$ , понижение его под влиянием диффундирующего водорода однозначно указывает на то, что  $\eta$  на таком электроде в щелочных растворах определяется замедленным разрядом молекул воды на свободных от адсорбированного водорода участках поверхности, удаление происходит по механизму электрохимической десорбции. Количественное изучение этого эффекта дает поэтому возможность сравнить выводы теории с экспериментом.

В качестве объекта исследования было выбрано железо, отравленное ртутью, на котором эффект снижения  $\eta$  достаточно велик и хорошо воспроизводим. Перед опытом мембрана из железа Армко, восстановленная в водород, травилась в разбавленном растворе  $HCl$ , промывалась дважды перегнанной водой и отравлялась ртутью катодной поляризацией в течение 10 мин. в 5  $N$  растворе  $NaOH$ , насыщенном  $HgO$ , током 10  $mA/cm^2$ . Для повышения точности измерений были приняты специальные меры для предотвращения изменения температуры раствора при прохождении тока с поляризационной стороны мембраны (пропускание небольших токов и т. д.), так что колебание температуры в поляризационной ячейке не превышало  $0,1^\circ$ .

Нами определялось влияние величины потока диффундирующего водорода  $i'$  на  $\eta$  при поляризации электрода током постоянной величины. На рис. 7 приведены значения  $\eta$  на отравленном ртутью железе, поляризуемом катодно током  $8 \cdot 10^{-4} A/cm^2$  ( $\eta = 0,705V$ ) при соотношениях  $i'/i$  равных 5,17; 2,47; 1,15; 0,58; 0,08. Разные потоки диффундирующего водорода достигались изменением катодной поляризации поляризационной стороны. Поскольку  $\eta$  на диффузионной стороне мембраны до начала диффузии и после прекращения ее не всегда совпадало по величине, вычисление передачи перенапряжения  $\Delta\eta$  производилось по отношению к интерполированному значению  $\eta$  в отсутствие диффузии, соответствующему на графике моменту измерения передачи перенапряжения. При этом предполагалось, что в отсутствие диффузии  $\eta$  во времени изменяется



линейно. Экспериментальные точки на графике изображены в виде прямоугольников, половина длины сторон которых выражает среднюю абсолютную погрешность измерения  $i'/i$  и  $\Delta\eta$ . Из рисунка видно, что при малых значениях отношения  $i'/i$   $\Delta\eta$  растет почти линейно с  $i'/i$ , при больших отношениях  $i'/i$  рост  $\Delta\eta$  замедляется и величина эта стремится к предельному значению. Увеличение  $\Delta\eta$  с ростом потока диффундирующего водорода при поляризации электрода током постоянной величины находится в согласии с теорией и объясняется увеличением тока, идущего

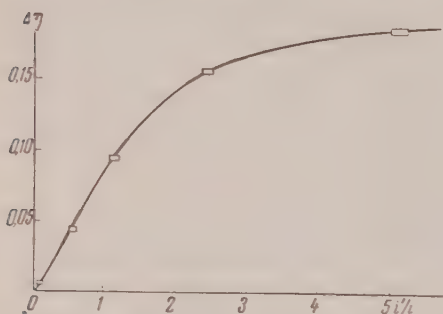


Рис. 7. Понижение перенапряжения  $\Delta\eta$  на отравленном ртутью железном электроде в 1N NaOH в зависимости от скорости диффузии водорода  $i'$  при постоянной катодной поляризации электрода током  $i = 8 \cdot 10^{-4}$  А/см<sup>2</sup> и  $\eta = 0,705$  В

На рис. 8 приведены кривые зависимости  $\Delta\eta$  от  $i'/i$  при  $\eta = 0,430$  В и  $i = 2 \cdot 10^{-5}$  А/см<sup>2</sup>;  $\eta = 0,590$  В и  $i = 2 \cdot 10^{-4}$  А/см<sup>2</sup> и  $\eta = 0,730$  В и  $i = 2 \cdot 10^{-3}$  А/см<sup>2</sup>. Из графика видно, что ход кривых при различных  $\eta$  примерно одинаков, однако сами эффекты, если их сравнивать при постоянном  $i'/i$ , тем больше, чем больше  $\eta$ . Увеличение  $\Delta\eta$  с ростом  $\eta$  при  $i'/i = \text{const}$  также находится в согласии с теорией и может быть

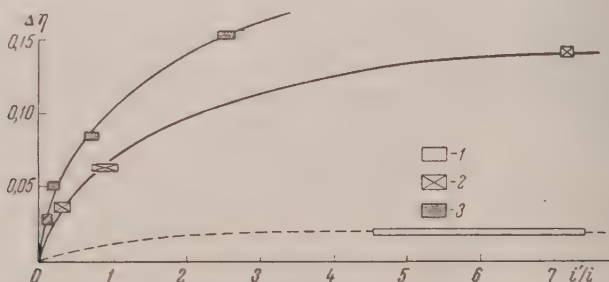


Рис. 8. Понижение перенапряжения водорода  $\Delta\eta$  на отравленном ртутью железном электроде в 1N NaOH в зависимости от скорости диффузии водорода  $i'$  при различных катодных поляризациях электрода. 1 —  $i = 2 \cdot 10^{-5}$  А/см<sup>2</sup>;  $\eta = 0,430$ В; 2 —  $i = 2 \cdot 10^{-4}$  А/см<sup>2</sup>,  $\eta = 0,590$ В; 3 —  $i = 2 \cdot 10^{-3}$  А/см<sup>2</sup>,  $\eta = 0,730$ В

объяснено замедлением стадии ионизации и ускорением стадии электрохимической десорбции с ростом  $\eta$  на электроде. Для каждого постоянного отношения  $i'/i$  согласно теории следует ожидать наступления предела роста  $\Delta\eta$  с ростом  $\eta$ , когда  $\eta$  делается «большим», т. е. когда скоростью реакций, при которых образуются ионы  $H^+$ , можно пренебречь по сравнению со скоростью реакций разряда и десорбции.

Измерить  $\Delta\eta$  при высоких  $\eta$  в том же интервале изменения  $i'/i$ , в котором проводились измерения  $\Delta\eta$  при низких  $\eta$ , мы не могли, так как из-за трудности измерения малых объемов диффундирующего водорода достоверные результаты можно было получить только при таких больших  $i'/i$ , создать которые при высоких перенапряжениях при помощи новой методики было невозможно. Поэтому при высоких  $\eta$ ,  $\Delta\eta$  измерялось при меньших  $i'/i$ , чем при более низких  $\eta$ .

Результаты измерений передачи перенапряжения  $\Delta\eta$  в зависимости от скорости диффузии  $i'$  при высоких значениях перенапряжения:  $\eta = 0,800$  В и  $i = 5 \cdot 10^{-3}$  А/см<sup>2</sup>,  $\eta = 0,825$  В и  $i = 7 \cdot 10^{-3}$  А/см<sup>2</sup> и  $\eta = 0,860$  В и  $i = 1 \cdot 10^{-2}$  А/см<sup>2</sup> приведены на рис. 9. При еще более высоких  $\eta$  определить  $\Delta\eta$  было невозможно, так как мы не могли

в этих условиях обеспечить соблюдение условия  $i'/i = \text{const}$ . Как видно из рис. 9,  $\Delta\eta$  при  $i'/i = 0,2$  и  $\eta > 0,800$  В,  $\Delta\eta$  не увеличивается с ростом  $\eta$  до 0,860 В. Представляло интерес сравнить наблюдаемые на опыте при высоких  $\eta$  значения  $\Delta\eta$  с вычисленными теоретически в предположении, что разряд на свободных от адсорбированного водорода участках поверхности идет медленно, в то время как удаление адсорбированных атомов по механизму электрохимической десорбции идет благоприятно. В этом случае, который соответствует максимально-

действию диффундирующего водорода на величину  $\eta$ , заполнение поверхности всегда остается малым, изменением его при определении величины  $\eta$  из скорости разряда можно пренебречь. В отсутствие диффундирующего водорода ток разряда на свободных участках поверхности равен  $i/2$ . При наличии диффундирующего водорода он уменьшается на величину  $x$ , т. е. становится равным  $(i/2) - x$ , а ток разряда на адсорбированных атомах водорода по реакции электрохимической десорбции увеличивается на ту же величину и становится равным  $(i/2) + x$ . Количество молекул водорода, выделяющихся с диффузионной стороны, равно  $(i + i')/2$ . Так как затрата одного электрона по реакции электрохимической десорбции сопровождается образованием одной молекулы  $H_2$ , то  $(i/2) + x = (i + i')/2$ , откуда  $x = i'/2$ . Максимальное снижение  $\eta$  при введении на поверхность металла диффундирующего водорода, таким образом, равняется

$$\Delta\eta = b \lg \left( \frac{(i/2) - (i'/2)}{i/2} \right) = b \lg (1 - (i'/i)).$$

На рис. 9 приведена кривая зависимости  $\Delta\eta$  от  $i'/i$ , вычисленная теоретически по вышеприведенному уравнению, предполагая, что весь диффундирующий водород принимает участие в процессе электрохимической десорбции. Константа  $b$ , необходимая для вычисления  $\Delta\eta$ , определялась на каждом опыте из наклона поляризационной кривой. Как видно из рис. 9, вычисленные теоретически величины  $\Delta\eta$  оказываются меньше наблюдаемых на опыте, несмотря на то, что при выводе были использованы предположения, позволившие вычислить максимальные эффекты. Этот интересный факт не нашел еще пока объяснения.

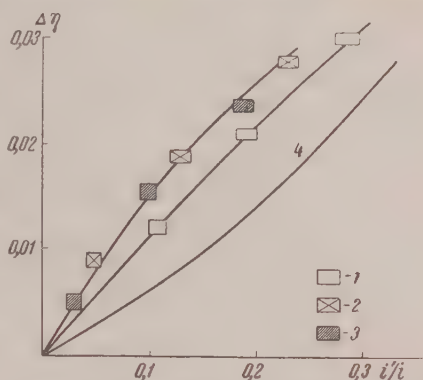


Рис. 9. Понижение перенапряжения водорода  $\Delta\eta$  на отравленном ртутью железном электроде в 1N NaOH в зависимости от скорости диффузии водорода  $i'$  при различных катодных поляризациях электрода: 1 —  $i = 5 \cdot 10^{-3}$  А/см<sup>2</sup>,  $\eta = 0,800$  В; 2 —  $i = 7 \cdot 10^{-3}$  А/см<sup>2</sup>,  $\eta = 0,825$  В; 3 —  $i = 1 \cdot 10^{-2}$  А/см<sup>2</sup>,  $\eta = 0,860$  В; 4 — теоретическая кривая

Пользуемся случаем выразить глубокую благодарность академик А. Н. Фрумкину за ценные советы при выполнении настоящей работы и обсуждении полученных результатов.

### Выводы

1. Исследовано влияние диффундирующего атомарного водорода на при различных катодных поляризациях на гальванических осадках никеля и меди в щелочном растворе и на чистом железе, железе, отравленном свинцом и ртутью, и на гальванических осадках олова, никеля и меди в кислом растворе.

2. Установлено изменение знака действия диффундирующего водорода на  $\eta$  в зависимости от  $\eta$  на гальваническом осадке никеля в кислом и щелочном растворе. При низких  $\eta$  диффундирующий водород повышал  $\eta$ . С увеличением поляризации электрода повышение  $\eta$  уменьшалось и переходило в эффект снижения  $\eta$  под влиянием диффундирующего водорода. На гальваническом осадке меди в щелочном растворе наблюдалось только повышение  $\eta$ .

3. На железе, отравленном ртутью, в растворе кислоты диффундирующий водород понижал  $\eta$  при исследованных нами поляризациях. Изменение  $\eta$  под влиянием диффундирующего водорода на железе, отравленном ртутью, в кислом растворе намного меньше, чем в щелочном.

4. Проведено количественное исследование понижения  $\eta$  под влиянием диффундирующего водорода на железе, отравленном ртутью, в щелочном растворе.

5. Показано, что в согласии с теорией снижение  $\eta$  при постоянной поляризации с увеличением потока диффундирующего водорода вначале растет, а затем стремится к пределу. С увеличением поляризации при постоянном  $i'/i$  снижение перенапряжения вначале растет, а затем приближается к пределу.

6. Наблюдаемые на опыте эффекты снижения перенапряжения при больших перенапряжениях больше вычисленных теоретически.

Академия наук СССР  
Институт физической химии  
Москва

Поступила  
22.II.1957

### ЛИТЕРАТУРА

1. А. Н. Фрумкин, Ж. физ. химии, **31**, 1775, 1957.
2. И. А. Багодская, Докл. АН СССР, **107**, 843, 1956.
3. И. А. Багодская, Докл. АН СССР, **110**, 397, 1956.
4. И. А. Багодская, А. Н. Фрумкин, Докл. АН СССР, **92**, 979, 1953.
5. В. И. Лайнер, Н. Т. Кудрявцев. Основы гальваностегии, 1953.
6. M. Stackelberg, P. Weber, Z. Electrochem., **56**, 806, 1952.
7. В. Э. Паст, З. А. Иофа, Докл. АН СССР, **106**, 1050, 1956.
8. H. Gerischer, W. Mehl, Z. Electrochem., **59**, 1049, 1955.
9. H. Gerischer, Z. Phys. Chem., **8**, 137, 1956.

### THE EFFECT OF ATOMIC HYDROGEN PASSING THROUGH A MEMBRANE ON THE HYDROGEN OVERVOLTAGE ON IRON AND ITS GALVANIC COATINGS IN ACID AND ALKALI SOLUTION

A. I. Oshe and I. A. Bagotskaya (Moscow)

### Summary

The effect on the hydrogen overvoltage of atomic hydrogen passing through a thin iron membrane has been investigated for the case of pure and mercury poisoned galvanic nickel and copper deposits in acid and alkali and of mercury poisoned iron in acid solutions. It has been shown that depending upon the composition of the solution, the nature of the electrode and the  $\eta$  value, the diffusing hydrogen may either raise or lower  $\eta$ . The retarding action on the electrochemical hydrogen evolution is manifested chiefly at low, and the accelerating effect at high values of  $\eta$ . A quantitative study has been made of the drop in the  $\eta$  value under the influence of diffusing hydrogen for a iron electrode poisoned by mercury in a solution of acid or alkali, with respect to the electrode polarization and the rate of hydrogen inflow.



ПОЛЯРОГРАФИЯ ГЕОМЕТРИЧЕСКИХ СИН- И АНТИИЗОМЕРОВ  
ОКСИМОВ. I

Н. Тютюлков

Исследования химических и физических свойств геометрических изомеров представляют интерес потому, что позволяет делать выводы относительно их пространственного строения. Исследования в этой области выясняют и обратную сторону вопроса, а именно, как влияет различное пространственное расположение атомов и атомных групп в молекуле на реакционную способность и физические свойства изомеров.

Рядом авторов [1] собрано значительное количество опытного материала, позволяющего формулировать эмпирические правила, на основании которых можно сделать выводы о конфигурации оксимов. Так, например, установлено правило, что имеющие более низкую температуру плавления  $\alpha$ -формы имеют синконфигурацию, а с более высокой температурой плавления  $\beta$ -формы имеют антиконфигурацию.

Подобные правила можно формулировать, если сравнивать рефракции, константы диссоциации, вязкость и другие свойства стереоизомерных форм [2].

Недостаток этих эмпирических правил, при помощи которых определяется конфигурация, состоит в том, что они не являются характеристичными, т. е. для определения конфигурации необходимо знать обе стереоизомерные формы, чтобы иметь возможность сопоставлять их свойства. Они не приложимы к тем оксима, которые известны только в одной стереоформе, например,  $\alpha$ -,  $m$ -,  $n$ -оксibenзальдоксимы, нафтаaldoксимы и пр. Исключением в этом отношении является работа Палма и Уербина [3], в которой авторы, исследуя абсорбционный спектр  $\alpha$ - и  $\beta$ -форм целого ряда оксимов в инфракрасной области, нашли, что характерная частота для  $\alpha$ -форм выражается волновым числом  $3250\text{ см}^{-1}$ , а для  $\beta$ -форм  $3115\text{ см}^{-1}$ .

В нашей прежней работе [4] удалось установить, что полярoграфические свойства син- и антиформ бензальдоксима качественно различны. Приняв во внимание эти качественные различия при полярoграфировании бензальдоксима, в настоящей работе мы поставили себе целью проверить, до какой степени они действительны по отношению к изомерам других ароматических альдоксимов, обосновать в связи с этим эмпирическое правило, которое позволило бы количественно определять обе формы в смеси.

## Экспериментальная часть

Опыты проводились с полярoграфом «Гейровский 1950». Кислород при полярoграфировании не удалялся, так как он не мешал определениям. Были исследованы  $\alpha$ - и  $\beta$ -формы следующих оксимов:  $\alpha$ - и  $\beta$ -бензальдоксимы с т. пл.  $35^\circ$  и  $127^\circ\text{C}$  соответственно для  $\alpha$ - и  $\beta$ -форм;  $\alpha$ - и  $\beta$ - $n$ -толиaldoксимы с т. пл.  $75\text{--}76^\circ$  и  $108^\circ\text{C}$ ;  $\alpha$ - и  $\beta$ -анисальдоксимов с т. пл.  $63\text{--}65^\circ$  и  $133^\circ$ ;  $\alpha$ - и  $\beta$ -пинерональдоксимы с т. пл.  $112^\circ$  и  $146^\circ$  и  $\alpha$ - и  $\beta$ - $o$ -хлорбензальдоксимы с т. пл.  $75\text{--}76^\circ$  и  $101\text{--}102^\circ\text{C}$ .

При работе с фоном  $0,1\text{ M}(\text{CH}_3)_4\text{NJ}$   $\alpha$ -формы вышеупомянутых оксимов дают две волны, а  $\beta$ -формы — одну волну, потенциал которой почти совпадает с потенциалом  $\alpha$ -форм (рис. 1). По причине слабой растворимости оксимов в воде, концентрация исследованных растворов была от  $6,5 \cdot 10^{-5}$  до  $5 \cdot 10^{-3}\text{ M}$  (для бензальдоксима). Потенциалы волн по отношению к насыщенному каломельному электроду приведены в таблице. Высота волн  $\alpha$ - и  $\beta$ -форм зависит линейно от концентрации оксимов.



Если к раствору  $\alpha$ -формы прибавить  $\beta$ -форму, высота второй волны  $i_2$  остается неизменной, как если бы полярографировали только  $\alpha$ -форму. Высота же первой волны  $i_{\alpha\beta}$  равняется сумме высот первой волны  $\alpha$ -формы  $i_{\alpha}$  и высоте волны  $\beta$ -формы  $i_{\beta}$ . Высота волн  $\beta$ -форм находится в линейной зависимости от квадратного корня высоты ртутного резервуара:  $i_{\beta} = k\sqrt{H}$ , откуда можно заключить, что они имеют диффузионный характер. Предельный ток первой волны  $\alpha$ -форм почти не зависит от высоты ртутного резервуара. Высота волн  $\alpha$ -форм зависит в слабой степени от температуры и в температурном интервале 0—70°С волны имеют диффузионный характер. Высота первой волны  $\alpha$ -форм значительно зависит от температуры (рис. 2). С увеличением температуры высота первой волны растет очень значительно, а высота второй волны уменьшается. Отсюда можно заключить, что первая волна  $\alpha$ -форм имеет кинетический характер, т. е. предельный ток обусловлен гомогенным процессом, который предшествует самой электродной реакции.

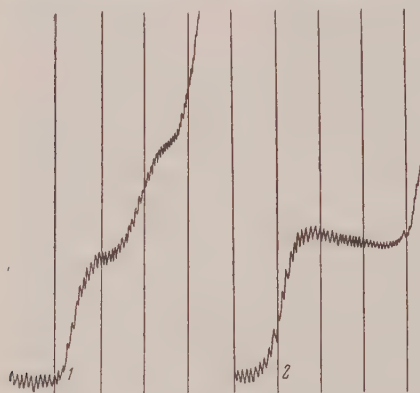


Рис. 1. Полярограммы: 1— $5 \cdot 10^{-4}$  М раствора  $\alpha$ -пипероналоксима и 2— $2,5 \cdot 10^{-4}$  М раствора  $\beta$ -пипероналоксима на фоне 0,1 М  $(\text{CH}_3)_4\text{NJ}$  при 18°С

то с увеличением процентного содержания органического растворителя отношение высоты первой волны к высоте второй волны быстро уменьшается, стремясь к нулю.

Описанные качественные различия, наблюдаемые при полярографировании  $\alpha$ - и  $\beta$ -форм исследованных оксимов, позволяют идентифицировать их, а также дают возможность количественного их определения в смеси. В смеси из двух форм о количестве  $\alpha$ -формы можно судить по высоте второй волны, которая не зависит от присутствия  $\beta$ -формы в растворе.

Как показывает опыт, отношение высоты первой волны  $\alpha$ -форм  $i_{\alpha}$  к высоте второй волны тех же форм  $i_{\alpha_2}$  есть величина постоянная

$$i_{\alpha}/i_{\alpha_2} = A,$$

не зависящая от наличия  $\beta$ -формы в растворе, а потому количество последней определяется выражением:

$$i_{\alpha\beta} = i_{\alpha} + i_{\beta} = Ai_{\alpha_2} + i_{\beta} \quad \text{или} \quad i_{\beta} = i_{\alpha\beta} - Ai_{\alpha_2}.$$

Так как величина  $A$  зависит в значительной степени от температуры, высоты ртутного резервуара и растворителя, необходимо, чтобы кривые калибрования (рис. 3) и сами определения производились при одинаковых температурах, высоте ртутного резервуара и составе раствора.

Следует отметить непрочность  $\beta$ -формы  $o$ -хлорбензальдоксима в растворе. Вскоре после ее растворения (через полчаса при 20°С) в рас-

Интересно проследить влияние природы растворителя на кинетику электродных процессов. Если полярографирование проводится в среде: вода — этиловый спирт, вода — метиловый спирт или вода — диоксан,

Потенциалы первой  $E'_{1/2}$  и второй  $E''_{1/2}$  волн оксимов

ОКСИМ	$E'_{1/2}$ , В	$E''_{1/2}$ , В
Бензальдоксим	-1,8	-2,2
<i>n</i> -Толилоксим	-2,2	-2,5
<i>o</i> -Хлорбензальдоксим	-1,9	-2,1
Анисальдоксим	-2,1	-2,5
Пипероналоксим	-2,0	-2,3

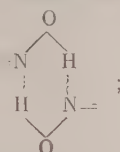
торе находятся измеримые количества  $\alpha$ -формы; появляется вторая волна.

Количественное определение обеих форм в смеси позволяет проследить кинетику изомеризации  $\beta$ -форм в  $\alpha$ -форму.

### Обсуждение результатов

Установленные свойства волн  $\alpha$ -форм исследованных оксимов показывают, что они обусловлены наличием двух веществ, находящихся между собой в равновесии. Эти вещества могут получаться вследствие трех процессов:

- а) равновесие между син- и антиформами оксимов;
- б) равновесие между моно- и димерными формами оксимов, образующимися за счет водородной связи [5]:



- в) равновесие между таутомерными изомерами  $\alpha$ -форм.

При более подробном исследовании полярографических свойств  $\alpha$ - и  $\beta$ -форм бензальдоксима, в одной из прежних работ [6] было показано,

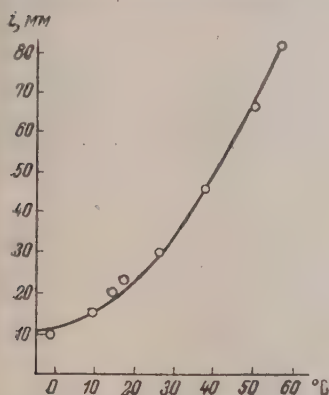


Рис. 2. Зависимость высоты первой волны  $8 \cdot 10^{-4} M$  раствора  $\alpha$ -формы бензальдоксима от температуры

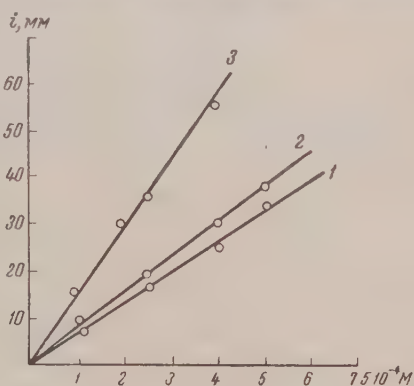


Рис. 3. Стандартные прямые пиперонал-оксима на фоне  $0,1 M (CH_3)_4NCl$ : 1 — первая волна  $\alpha$ -формы; 2 — вторая волна  $\alpha$ -формы; 3 —  $\beta$ -форма

что первые две возможности надо отбросить, так как они не совместимы со свойствами этих форм при полярографировании.

Вероятнее всего обе волны обусловлены первыми двумя таутомерными формами (нитроп-оксимная изомерия) из четырех возможных по Ганчу и Вернеру [7]. Наличие этого равновесия подтверждают и некоторые химические свойства [8, 9] и спектрохимические исследования [10, 11].

Наличие только одной волны у  $\beta$ -форм можно объяснить тем, что константы скорости превращения таутомерных изомеров у них очень малы и нитрооксимное равновесие сдвинуто сильно к оксимной форме.

Как известно, на равновесие и скорость гомогенных химических процессов сильно влияет природа растворителя, который влияет как на энергию активации процесса, так и на предэкспоненциальный множитель скоростной константы. Если  $K_a$  обозначим константу скорости процесса, который дает электроактивную форму, обуславливающую

первую волну, а  $K_b$  — константу скорости обратного процесса, то отношение высоты первой волны  $i_1$  к высоте второй волны  $i_2$  (для быстро устанавливающихся равновесий) можно выразить следующим образом [12]

$$\frac{i_1}{i_2} = \frac{0,81 \sqrt{K_b (K+1)} t}{K},$$

где  $K = K_a/K_b$ , а  $t$  — период капания в секунду.

Как видно из вышеуказанного уравнения, отношение  $i_1/i_2$  зависит как от констант скоростей процессов изомеризации, так и от констант равновесия. Обе эти константы, однако, существенно зависят и от природы растворителя. Выбор растворителя отразится на отношении  $i_1/i_2$ . Зависимость отношения  $i_1/i_2$  от растворителя может приниматься как критерий наличия процессов, предшествующих истинной электродной реакции. Более подробное рассмотрение вопроса о влиянии растворителя на кинетику электродных процессов с предшествующей реакцией выходит за рамки настоящей работы.

### Выводы

1. Исследование полярографических свойств геометрических изомеров бензальдоксима и его четырех производных позволяет сделать вывод, что формы с низкой т. пл.,  $\alpha$ -формы, дают две, а с более высокой т. пл.,  $\beta$ -формы, — одну волну. Так как принято, что  $\alpha$ -формы имеют синконфигурацию, а  $\beta$ -антиконфигурацию, то достигнутые результаты дают возможность формулировать следующее правило: альдоксими, которые дают на полярограмме две волны, имеют синконфигурацию, а оксими, дающие одну волну, — антиконфигурацию. Ввиду того что это правило основывается на качественных различиях свойств оксимов, его можно применить и к оксимам, которые известны только в одной стереоформе.

2. Показано, что возможно количественное определение  $\alpha$ - и  $\beta$ -форм в смеси.

Высший медицинский институт  
София, Болгария

Поступила  
25.II.1957

### ЛИТЕРАТУРА

1. G. Wittig, Stereochemie, Leipzig, 1933, стр. 189—194; С. Голдшмит, Стереохимия, Ленинград — Москва, 1940, стр. 162.
2. G. Wittig, [1], стр. 194.
3. A. Palm, H. Werbin, Canad. J. Chem., **31**, 1004, 1953.
4. Н. Тютюлков, С. Будуров, Докл. Болг. АН **6**, № 3, 5, 1953.
5. Reiser, Dissertation, Praha, 1951.
6. Н. Тютюлков, С. Будуров, Изв. Хим. ин-т Болг. АН, **3**, 361, 1953.
7. A. Hantsch, A. Werner, Ber. Dtsch. chem. Ges., **23**, 11, 1243, 1890.
8. W. Hieber, F. Leutert, Ber. Dtsch. chem. Ges., **60**, 2296, 2310, 1927, 62, 1839, 1929.
9. L. Brady, J. Chem. Soc., London, 109, 659, 1916.
10. K. Auwers, Ber. Dtsch. chem. Ges., **57**, 446, 1924.
11. S. Califano, W. Lütteke, Z. phys. Chem., Neue Folge (Frankfurt), **6**, 83, 1956.
12. Е. Бudevски, Изв. Болг. АН Сер. физ., **3**, 43, 1952.

### THE POLAROGRAPHY OF GEOMETRICAL SYN- AND ANTIISOMERS OF OXIMES. I

N. Tyutyulkov (Sofia)

#### Summary

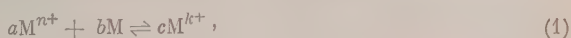
In the present work an investigation has been made into the behavior of geometrical syn and antiisomers of benzaldoximes and its four derivatives. It has been shown that the low melting  $\alpha$  forms yield two and the high melting  $\beta$  forms a single polarographic wave. This qualitative difference in the behavior of syn and anti forms allows one to formulate an empirical rule on the basis of which the configuration of oximes known only in a single form, to be determined.

It has been shown possible for both forms in their mixture to be determined quantitatively.

# ИССЛЕДОВАНИЕ КАТОДНЫХ ПРОЦЕССОВ ПРИ ЭЛЕКТРОЛИЗЕ ЧИСТЫХ РАСПЛАВЛЕННЫХ ХЛОРИДОВ КАЛЬЦИЯ, НАТРИЯ И КАЛИЯ

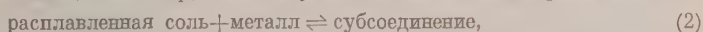
Л. Суский

Во многих работах, посвященных ионной структуре расплавленных солей, различные авторы указывали на возможность существования в них ионов неполного окисления [1—8]. Предполагалась, что концентрации этих ионов в сравнении с концентрацией ионов полного окисления небольшая и что они характеризуются небольшой устойчивостью. В ряду других гипотез было выдвинуто предположение о том, что в расплавленном  $\text{CaCl}_2$  существует субсоединение  $\text{CaCl}$  (значит и ион  $\text{Ca}^+$  [4—4]), что подобные субсоединения существуют в хлоридах других металлов щелочных земель (ионы  $\text{Ba}^+$  и  $\text{Sr}^+$  [1—4]), что существуют субфториды  $\text{AlF}$  и  $\text{Na}_2\text{F}$  (ионы  $\text{Al}^+$  и  $\text{Na}_2^+$ ) в расплавленной криолитной ванне [5—7]. Были обнаружены также соединения  $\text{BiCl}$  и  $\text{BiBr}$  в расплавленных системах  $\text{Bi} - \text{BiCl}_3$  и  $\text{Bi} - \text{BiBr}_3$  [8]. Большинство исследователей связывает существование ионов неполного окисления с появлением в расплавленной соли металла, возникающего, например, вследствие электролиза этой соли. Предполагаемое состояние равновесия описывалось уравнением



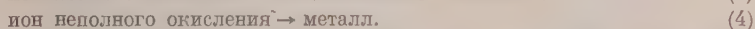
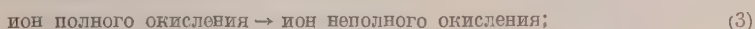
в котором  $n > k$ .

Согласно этим представлениям начало электролиза якобы сопровождается растворением выделенного металла в расплаве, причем вследствие химической реакции получается ион неполного окисления [5]. В течение электролиза такое состояние якобы продолжает существовать до тех пор, пока не установится состояние равновесия:

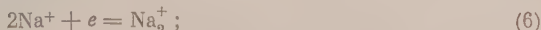


после чего катод приобретает обратимый потенциал, соответствующий процессу выделения металла из расплава.

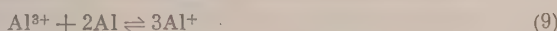
Некоторые авторы допускают также возможность двухступенного восстановления иона металла по схеме:



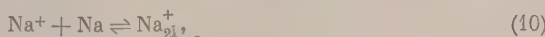
Таким образом объясняет Л. Н. Антипин существование четырех перегибов на кривой катодной поляризации в расплавленном криолите [7]. Он утверждает, что выделение обоих металлов — алюминия и натрия является процессом двухступенным и соответствует четырем следующим электродным реакциям:



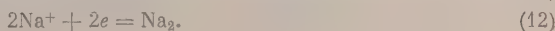
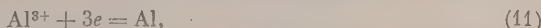
Этим реакциям соответствуют четыре перегиба на кривых катодной поляризации. Эти точки перегиба наблюдаются, однако, только тогда, когда ванна не насыщена металлом. В противоположном случае вследствие установления состояния равновесия:



и



два перегиба на поляризационных кривых для каждого металла сходятся в одной точке, причем можно наблюдать только две площадки, соответствующие суммарным реакциям

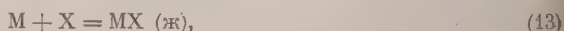




Независимо от того, который из этих двух механизмов мы будем считать правильным, невозможно не связывать вопроса, существуют ли ионы неполного окисления, с вопросом, растворяется ли металл в расплавленной соли.

Широко распространенная и господствующая до последнего времени теория Лоренца о коллоидном характере такого раствора (пирозоль) была вследствие криоскопических исследований серьезно подвергнута сомнению, по крайней мере, по отношению к щелочноземельным металлам и их галогенопроизводным. С этой точки зрения были исследованы системы  $\text{Ca} - \text{CaCl}_2$ ,  $\text{Ba} - \text{BaCl}_2$ ,  $\text{Sr} - \text{SrCl}_2$  [3,4]. Исследования показали, что металл растворяется в расплавленной соли, причем получается истинный раствор, проявляющий характерные особенности, связанные с атомным раздроблением металла в растворителе. Кубичиотти и сотрудники при помощи криоскопических методов исследования не смогли, однако, доказать, реагирует ли растворенный металл с солью (при этом получают ионы неполного окисления), или остается он в растворе в атомном или молекулярном раздроблении.

Таким образом характер растворов металлов в расплавленных солях и вопрос, образуются ли ионы неполного окисления, до сих пор не выяснены, хотя эта проблема является особенно актуальной и важной для изучения ряда электрометаллургических процессов, протекающих в расплавленных солях. Результаты измерений, полученные многими авторами, исследовавшими потенциал разложения в этих солях, а прежде всего в галогенидах легких металлов, оказывались значительно ниже предвиденных теорией, т. е. подсчетами изменения химического потенциала в случае реакции:



протекающей при данной температуре [2]. Этот деполаризационный эффект, так часто встречаемый при электролизе расплавленных солей, является особенно значительным в случае хлоридов щелочноземельных металлов, а особенно в случае  $\text{CaCl}_2$ . Камби и Дэвото [9], а потом Дэвото и Джени [1], исследовавшие потенциалы разложения этого соединения, нашли, что получающиеся результаты связаны со значительной ошибкой, возникающей вследствие деполаризации, и не сходятся с данными, рассчитанными термодинамически. Дэвото и Джени указали на возможность существования субсоединения  $\text{CaCl}$ , считая его причиной этой деполаризации. С аналогичным явлением можно встретиться в случае других галогенидов щелочноземельных металлов. Принятая ими методика измерений не представляла, однако, возможности обнаружить на катоде две возможные стадии разряджения ионов  $\text{Ca}^{2+}$  (или других двухвалентных ионов). Поэтому существование субсоединений и ионов неполного окисления было доказано только гипотетически и качественно.

Значительная растворимость металла в ванне и отчетливый эффект катодной деполаризации наблюдались также при электролизе галогенидов щелочных металлов, прежде всего хлоридов натрия и калия [9—11]. Выдвинутое рядом авторов [5] и экспериментально обоснованное Л. Н. Антипиным [7] предположение о существовании иона  $\text{Na}_2^+$  в расплавленном  $\text{NaF}$  могло бы найти здесь применение и нуждается в экспериментальной проверке.

В литературе можно встретить много теоретических и экспериментальных значений потенциалов разложения расплавленных солей  $\text{CaCl}_2$ ,  $\text{NaCl}$  и  $\text{KCl}$ . Эти значения собраны в таблицу. Они не говорят, однако ничего о существовании ионов неполного окисления и о механизме электродных процессов, протекающих при электролизе этих солей.

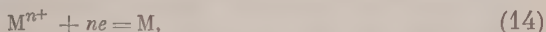
Электродвижущая сила элементов типа  $\text{M}(\text{MCl})\text{Cl}_2$  согласно измерениям или подсчетам различных авторов при  $800^\circ \text{C}$

э. д. с., V			Автор
$\text{CaCl}_2$	$\text{NaCl}$	$\text{KCl}$	
3,32	3,22	—	[12]
3,24	3,18	3,37	[9]
—	3,25	—	[9]
—	3,24	3,37	[10]
—	3,06	—	[13]
—	2,62	2,80	[9]
—	—	3,23	[2]
—	—	3,29	[14]

Настоящая работа содержит результаты измерений, имеющих целью проверить, существуют ли в расплавленных ваннах чистых солей  $\text{CaCl}_2$ ,  $\text{NaCl}$ ,  $\text{KCl}$  ионы неполного окисления, и изучить механизм катодных процессов, протекающих во время электролиза этих солей.

### Экспериментальная часть

Для определения потенциала разложения (или катодного потенциала разложения), отвечающего отдельным этапам суммарной реакции:



отребовались электроды, имеющие небольшую поверхность (микроэлектроды), при помощи которых можно получить предельные токи отдельных этапов электродной реакции и перейти к последующим этапам точно так же, как поступают при полярографических исследованиях. Поэтому следовало изучить ход зависимости  $I-E_K$  ( $I$  — плотность тока,  $E_K$  — потенциал катода), даже при очень малых плотностях тока применяя свежий электрод, не покрытый еще продуктами электролиза.

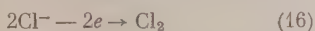
Ясно, что такая методика не гарантирует полного насыщения микроэлектрода выделяющимся во время измерения металлом, и поэтому в формуле обратимого потенциала в чистой соли:

$$E = E_0 + \frac{RT}{nF} \ln \frac{1}{a_M}, \quad (15)$$

где  $E_0$  — нормальный потенциал,  $a_M$  — активность металла на электроде, выражение  $a_M$  может принимать значения меньше единицы. В связи с этим нельзя достичь обратимого потенциала, отвечающего суммарной реакции.

Электродвижущая сила поляризации измерялась при разных плотностях тока по коммутаторному методу. Применялся всегда свежий железный микроэлектрод, не покрытый продуктами электролиза. Измерения проводились как в электролитах, не подвергнутых предварительному электролизу (значит, в электролитах, не содержащих растворенного металла), так и в электролитах, которые путем предварительного электролиза в разной степени насыщались металлом.

В сравнении с поверхностью микроэлектрода поверхность анода была очень большой; поэтому плотность анодного тока была очень малой. Благодаря применению такого анода можно было полагать, что он не поляризуется и что единственный анодный процесс



происходит при постоянном потенциале, равном обратимому потенциалу хлорного электрода при данной температуре (справедливость этого предположения была проверена косвенным путем в следующей работе [15]). Благодаря этому кривая, представляющая зависимость  $E=f(i)$ , эквивалентна кривой катодной поляризации  $E_K=f(i)$ , причем поляризационные потенциалы катода измеряются по отношению к хлорному электроду. Некоторыми исследователями этот электрод был признан электродом сравнения [16, 17], а его потенциал был принят равным нулю при любой температуре.

Кроме указанных выше исследований, измерялась также э.д.с. обратного элемента  $Ca(t)(CaCl_2(ж))Cl_2$  и  $Na(ж)(NaCl(ж))Cl_2$  следующим образом: электроды насыщались продуктами электролиза при разных плотностях тока и измерялись э.д.с. получающегося из них элемента после выключения тока, производящего электролиз («метод отключения» — его применимость была доказана в других работах [18—20]). Для проверки точности этого метода применялся также кальциевый или натриевый электрод, полученный путем введения кальция или натрия в соответствующую ванну.

В качестве электролизеров применялся прибор из стекла «Супремекс». Внешний вид его изображен на рис. 1.

Лоренц и Винцер [21] доказали, что такое стекло может применяться при 800° С при исследовании хлоридов. Анодное и катодное пространства отделены друг от друга

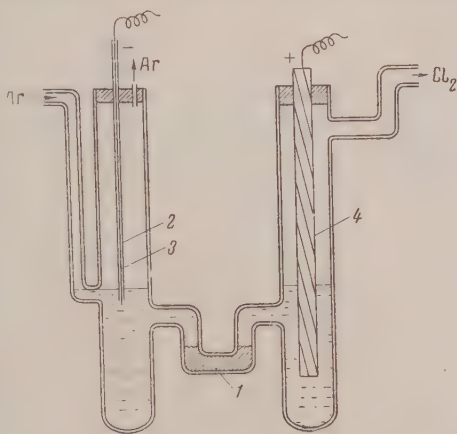


Рис. 1. Схема электролизера: 1 — диафрагма из пористого стекла; 2 — защитная керамическая трубка; 3 — железный микроэлектрод; 4 — угольный анод

пористыми стеклянными диафрагмами, чтобы устранить возможность диффузии и рекомбинации анодных и катодных продуктов [20]. В качестве анодов применялись стержни из спектрально чистого угля, катодом служила железная проволока диаметром в 1 мм и длиной открытой части в 10 мм. Остальная часть проволоки была изолирована от расплавленной ванны керамической защитной трубкой. Катодное пространство наполнялось аргоном, чтобы устранить возможность окисления катодного продукта на поверхности соли.

Электролизер вставлялся в электрическую печь сопротивления. Температура печи поддерживалась на постоянном уровне с точностью  $\pm 5^\circ$  и измерялась термопарой Pt — PtRh, находящейся на наружной стенке электролизера.

Электродвижущая сила поляризации измерялась при помощи механического коммутатора типа Дроссбах [22] и Грубе [23] и компенсационной схемы, содержащей электронный нулевой прибор, позволяющий измерять напряжение с точностью  $\pm 5$  мВ. Благодаря применению механического коммутатора можно было измерять э. д. с. поляризации примерно в  $10^{-4}$  сек. после отключения поляризующего тока. Согласно исследованиям Дроссбаха [24], величины э. д. с., измеренные после короткого промежутка времени, можно считать отвечающими с достаточной точностью разности потенциалов обоих электродов в течение электролиза.

При исследованиях применялись реактивы чистые для анализа.

Результаты измерений. Катодная поляризация при электролизе  $\text{CaCl}_2$ . Рис. 2 представляет результаты измерений э. д. с. обратимого элемента  $\text{Ca}(т)$  (электролит)  $\text{Cl}_2$ , проведенных методом насыщения электродов продуктами электролиза при



Рис. 2. Э. д. с. элемента  $\text{Ca}(т)$  [электролит]  $\text{Cl}_2$  по методу отключения при разных плотностях тока

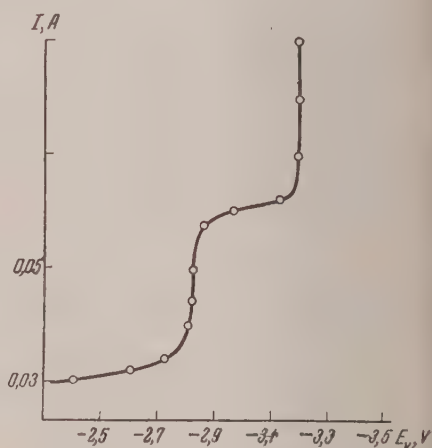


Рис. 3. Кривые поляризации железного микроэлектрода в расплавленном  $\text{CaCl}_2$  после предварительного электролиза (ванна содержит растворенный металл)

разных плотностях тока, и измерения э. д. с. этого элемента после отключения тока. На кривой отчетливо видны две площадки, из которых ни одна не отвечает значению э. д. с. элемента  $\text{Ca}(т)$  ( $\text{CaCl}_2(ж)$ )  $\text{Cl}_2$ .

Электродвижущая сила такого элемента, согласно термодинамическим подсчетам, проведенным Фихтем [12] на основе данных Келлея [25, 26], равняется 3,32 V. Обе площадки на кривых, получаемых в результате измерений, можно обнаружить при потенциалах, меньших этой величины. Первая площадка отвечает потенциалу  $2,78 \pm 0,02$  V и довольно хорошо воспроизводится в ряде измерений. Потенциал, отвечающий второй площадке, колеблется в интервале  $\pm 0,1$  V, а его среднее зна-



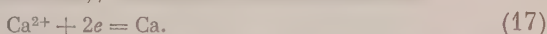
ение равняется 3,10 V. Катод покрывается металлическим кальцием уже при первом потенциале.

При измерениях поляризационного потенциала катода, не покрытого кальцием в ванне, не содержащей растворенного металла, проведенных коммутаторным методом, разброс полученных результатов довольно большой, а на кривых зависимости потенциала катода от плотности тока характерные остановки отсутствуют. Потенциалы быстро растут, достигая значений, расположенных в интервале — 3,2,—3,5 V, т. е. значений, приближающихся к потенциалу обратимого электрода  $\text{Ca}/\text{Ca}^{2+}$ .

В результате измерений потенциала катода, не покрытого кальцием в ванне, подвергнутой предварительному электролизу и поэтому содержащей растворенный кальций, были получены поляризационные кривые, которые изображены на рис. 3. На кривой видны две отчетливые площадки, из которых первая очень хорошо отвечает значениям, получаемым «методом отключения», а вторая расположена около — 3,2 V, приближаясь к значению обратимого потенциала.

На основе этих результатов можно сделать следующие выводы.

Коммутаторные исследования показывают, что электродным процессом, определяющим потенциал катода в течение электролиза (в условиях, когда катод не насыщен металлом), является восстановление:



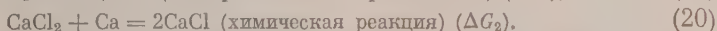
Доказательством этого может служить отсутствие изгиба в области — 2,80 V на поляризационных кривых, полученных в случае электролита, не содержащего растворенного металла.

Если бы первый этап восстановления протекал по схеме



то на полученных в этих условиях кривых должна наблюдаться остановка, отвечающая этому этапу процесса.

Выделенный в результате катодного процесса металл растворяется в расплавленной соли, вступая с ней в химическую реакцию, причем образуется ион неполного окисления, вероятно  $\text{Ca}^+$  (согласно предположениям некоторых авторов [1,2]). Об этом свидетельствует отчетливо и многократно наблюдаемое значение 2,78 V, которое получается в результате измерения э. д. с. элемента  $\text{Ca}(\text{электролит})\text{Cl}_2$ . При этой величине потенциала можно визуально наблюдать, как микрокатод покрывается кальцием. Получающееся при этих измерениях значение э. д. с., вероятно, эквивалентно разности изменений термодинамического потенциала для двух реакций:



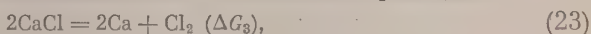
По-видимому, является э. д. с. элемента, существование которого предвидел Дроссбах [2]:



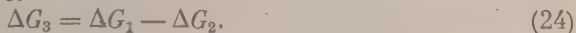
Однако кажется, что здесь, скорее, имеет место образование элемента



Коммутаторные исследования, проведенные в электролите, содержащем растворенный металл, показали, что ион  $\text{Ca}^+$ , который образуется вследствие реакции металла с электролитом, может восстанавливаться при катоде. Потенциал, при котором это восстановление имеет место, отвечает изменению термодинамического потенциала реакции:



причем имеется равенство:





Этому потенциалу отвечает первая остановка на поляризационных кривых — 2,78 В (рис. 3).

Реакция (23) определяет потенциал катода только при небольших плотностях тока. Этот участок поляризационной кривой, отвечающий реакции, довольно хорошо описывается уравнением диффузной поляризации (рис. 4)

$$E = \text{const} + \frac{RT}{nF} \ln \frac{i}{i_d - i}, \quad (25)$$

где  $i_d$  — предельный ток ионов  $\text{Ca}^+$ .

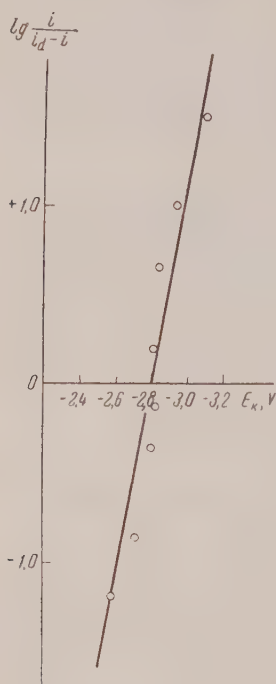


Рис. 4

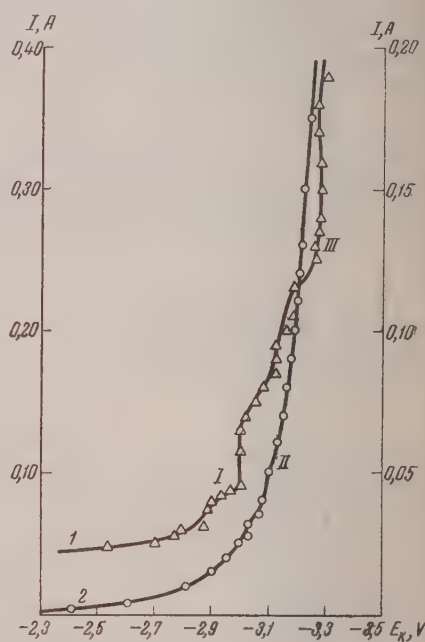


Рис. 5

Рис. 4. Зависимость  $E_K = f\left(\lg \frac{i}{i_d - i}\right)$  для первой остановки на поляризационной кривой, снятой для хлорида кальция, содержащего растворенный кальций

Рис. 5. Поляризационные кривые железного микроэлектрода в NaCl: 1 — электролит, не содержащий растворенного натрия, ось ординат справа; 2 — электролит, подвергнутый предварительному электролизу (30 мин., ток 0,15 А), ось ординат слева

Применимость этого уравнения становится понятной, если учесть, что в  $\text{CaCl}_2$  — небольшая концентрация ионов  $\text{Ca}^+$ .

Коэффициент  $n$  в уравнении (25) найден по диаграмме рис. 4, равняется 1,16, что указывает на приблизительно одноэлектронный характер электрохимической реакции на этом участке поляризационной кривой и подтверждает, что ход реакции описывается уравнением (23).

После превышения предельного тока этой реакции кальций начинает выделяться согласно уравнению (17). Значения потенциала, при котором этот процесс имеет место, отклоняются от равновесных значений чаще всего в сторону более положительных значений. Трудно определить точно причины и описать механизм этих отклонений.

Таким образом при электролизе расплавленного  $\text{CaCl}_2$  кальций может осаждаться только в результате двух электродных реакций (17) и (22) (второй путь возможен только при некотором насыщении электролита

эталлом). Экспериментальные данные не указывают, однако, на возможность образования ионов  $\text{Ca}^+$  путем электрохимического восстановления согласно уравнению (18), т. е. по схеме, предлагаемой Л. Н. Антипиным для восстановления ионов  $\text{Al}^{3+}$  в расплавленной криолитной ванне [7]. Рядясь на результаты, описанные в настоящей работе, можно полагать, что ионы неполного окисления могут образоваться в расплавленном  $\text{aCl}_2$  только путем химической реакции металла с расплавом.

Это обстоятельство можно приписать исключительно медленности реакции образования иона  $\text{Ca}^+$ . Образование этого иона вследствие электродной реакции было бы тогда невозможным с точки зрения кинетических представлений. Примененная в этой работе методика измерений не дает возможности получить данные по кинетике образования ионов  $\text{Ca}^+$ . Единственным доказательством, говорящим против возможности электродной реакции (18), является отсутствие соответствующей остановки на поляризационных кривых, полученных в случае электролитов, не подвергавшихся предварительному электролизу.

Против изложенных выше предположений говорит факт, что согласно визуальным наблюдениям катодная часть расплава, насыщенная металлом, не проходит через диафрагму, хорошо проницаемую для чистой расплавленной соли. Это наблюдение поддерживает предположение о коллоидном характере металлического тумана. Этот факт нельзя иначе примирить с гипотезой об образовании иона  $\text{Ca}^+$ , как только принимая, что в системе устанавливается состояние равновесия:



Учитывая степень пористости диафрагмы, не проницаемой для металлического тумана, невозможно, однако, судить о величине предполагаемых частиц, так как коллоид может коагулировать в порах диафрагмы, вследствие чего ее проницаемость может значительно уменьшиться.

**Катодная поляризация при электролизе расплавленных  $\text{NaCl}$  и  $\text{KCl}$ .** В результате измерений э. д. с. элемента  $\text{Na(ж)} | \text{NaCl(ж)} | \text{Cl}_2$ , проведенных по методу «отключения» при  $800^\circ\text{C}$ , получается хорошо воспроизводимое значение  $3,21 \pm 0,01\text{ V}$ , которое не зависит от плотности тока, которым проводился электролиз, хотя бы даже эта плотность изменялась в широком диапазоне. Это же самое значение получается в случае элемента, составленного путем введения в расплавленную ванну металлического натрия и хлорного электрода.

Получаемое в результате измерений значение хорошо согласуется с теоретическими вычислениями, проведенными по данным Фихте [12] (3,22 V) (см. таблицу).

На рис. 5 (кривая 1) изображены результаты коммутаторных измерений поляризационного потенциала катода в  $\text{NaCl}$ , не содержащим растворенного металла. На кривой видны три изгиба, отвечающие трем электродным процессам при потенциалах  $-2,87, -3,00$  и  $-3,27\text{ V}$ . Последнюю остановку можно легко объяснить основным электродным процессом:



так как на это указывает значение потенциала, которое почти точно равняется равновесному потенциалу выделения натрия.

Для выяснения характера второго изгиба (потенциал  $-3,00\text{ V}$ ) можно использовать некоторые замечания Фихте [12]. По его мнению, при  $800^\circ$  упругость насыщенного пара натрия уже настолько велика (т. кип. натрия  $-914^\circ\text{C}$ ), что часть металла может выделяться электролитически в виде пара. Равновесный потенциал выделения натрия в виде пара немного отрицательнее потенциала выделения жидкого натрия, однако при очень небольшой упругости его пара [ $a_{\text{M}} < 1$ ] в уравнении (15)] этот потенциал может передвинуться в сторону более положительных значений.

Выделению натрия в виде пара может способствовать перегрев электролита в приэлектродном слое (в результате джоулевой теплоты) выше чем  $800^{\circ}\text{C}$ . Таким образом потенциал выделения —  $3,00\text{ V}$  можно приписывать выделению натрия в виде пара, а потенциал —  $3,27\text{ V}$  выделению жидкого натрия на микрокатоде. Нужно, однако, подчеркнуть гипотетический характер предположения о том, что изгиб при потенциале —  $3,00\text{ V}$  является следствием выделения парообразного натрия. Это предположение является только попыткой объяснить природу данного изгиба.



Рис. 6

Рис. 6. Поляризационные кривые железного микроэлектрода в KCl: 1 — электролит, не содержащий растворенного калия; 2 — электролит подвергнут электролизу (5 мин., ток  $0,10\text{ A}$ )

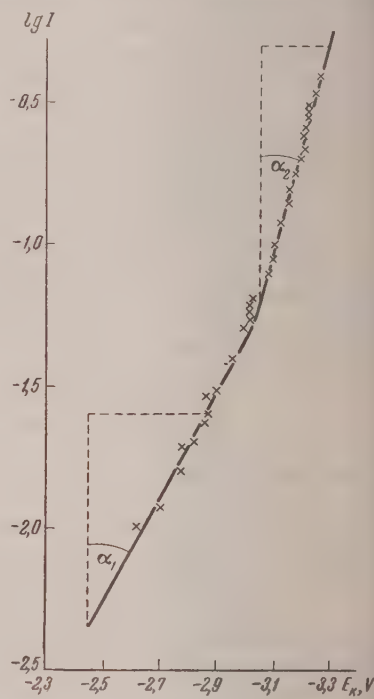
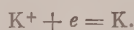


Рис. 7

Рис. 7. Зависимость  $E_K = f(\lg I)$  для поляризационной кривой из рис. 5

Кривая 2 на рис. 5 изображает поляризацию катода, не покрытого предварительно продуктом электролиза и погруженного в ванну, насыщенную натрием в результате предварительного электролиза. На этой кривой исчезают остановки потенциала и трудно определить точку, которая отвечала бы достижению потенциала разложения соли.

На рис. 6 изображены кривые катодной поляризации, полученные при исследовании расплавленного KCl. На них видны два изгиба. Кривая 2 показывает поляризацию в ванне, содержащей очень малое количество растворенного металла. Первая остановка, если сравнить ее со значением  $I'$  (кривая 1), передвинулась в направлении более отрицательных потенциалов. Значения потенциалов для остановок  $II$  и  $II'$  на обеих кривых не отличаются практически друг от друга и, по-видимому, отвечают основному катодному процессу



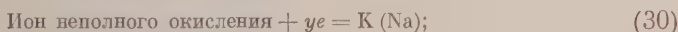
(28)

Значение  $-3,23\text{ V}$  довольно значительно отличается от цитированного в литературе равновесного потенциала для этой реакции (см. таблицу).

Это, однако, понятно, так как при  $800^{\circ}\text{C}$  калий выделяется в виде пара т. кип.  $770^{\circ}\text{C}$ ). Для получения значений равновесного потенциала для этой реакции следовало бы вести электролиз до тех пор, пока активность пара калия на электроде не достигнет значения 1.

На основании вышеописанных результатов можно сделать следующие выводы.

Кривая катодной поляризации в расплавленных NaCl и KCl указывает на двуступенчатость электродного процесса. Возможны следующие электродные реакции:



Наличие первой остановки на поляризационных кривых в ванне, не содержащей растворенного металла, свидетельствует о возможности электродного процесса (29). При потенциале, отвечающем второй остановке на кривых (или третьей остановки в случае NaCl), могут происходить остальные два процесса (30) и (31).

Разность катодных потенциалов, отвечающих этим двум реакциям, уменьшается по мере насыщения ванны металлом и достигает нуля в момент, когда установится состояние равновесия:



Разность изменений химического потенциала для обеих реакций (29) и (30) становится тогда равной нулю.

Вышеописанные наблюдения согласуются в точности с данными Л. Н. Антипина, полученными при электролизе NaF [7].

Большие трудности представляет выяснение природы иона неполного окисления, появляющегося во время электролиза. На основании предположений, высказанных раньше другими авторами, предусматривающими возможность образования соединения типа  $\text{Na}_2\text{F}$  или  $\text{Na}_2\text{Cl}$ , Л. Н. Антипин принимает, что ион  $\text{Na}_2^+$  появляется вследствие электродной реакции (6) или вследствие химической реакции



Единственным доказательством, данным Л. Н. Антипиным, является обсуждение поляризационной кривой (полученной в расплавленном NaF, насыщенном натрием), описываемой следующим уравнением

$$E = \text{const} + \frac{RT}{nF} \ln i. \quad (34)$$

Для первого участка кривой Л. Н. Антипина значение  $n$  равняется приблизительно 0,5.

Снятая нами поляризационная кривая 2 рис. 5 (NaCl насыщен натрием) описывается этим уравнением (см. рис. 7), причем значение  $n$  для ее первого участка равняется 0,4, а для второго 0,98. Согласно интерпретации Л. Н. Антипина это доказывало бы возможность образования ионов  $\text{Na}_2^+$  в расплавленных хлоридах. После насыщения прикатодного пространства ионами  $\text{Na}_2^+$  могло бы начинаться их катодное разряжение по уравнению (8), а этому разряжению могло бы сопутствовать увеличение потенциала.

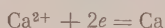
Автор выражает глубокую благодарность проф. М. Смяловскому за интерес к выполненной работе и за многочисленные ценные примечания.



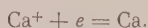
## Выводы

1. На основании исследований обратимых э. д. с. элементов и поляризационных кривых в расплавленных чистых солях  $\text{CaCl}_2$ ,  $\text{NaCl}$  и  $\text{KCl}$  констатирована возможность образования в них ионов неполного окисления, принимающих участие в катодных реакциях.

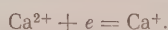
2. Обнаружены следующие электродные процессы, происходящие при электролизе расплавленного  $\text{CaCl}_2$ :



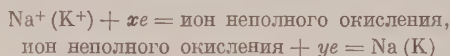
и



Ион  $\text{Ca}^+$  образуется вследствие реакции расплавленной соли с растворенным в ней металлическим кальцием. Не подтверждена возможность электродной реакции



3. Доказано, что при электролизе  $\text{NaCl}$  и  $\text{KCl}$  происходят два электродных процесса в условиях, когда расплав не насыщен металлом. На основании поляризационных кривых можно полагать, что этими процессами являются следующие катодные реакции:



Разность потенциалов, при которых протекают эти реакции, становится равной нулю, когда установлено равновесие



Применив метод анализа поляризационных кривых, разработанный для случая электролиза расплавленного  $\text{NaF}$ , можно прийти к заключению, что ионами неполного окисления в расплавленных  $\text{NaCl}$  и  $\text{KCl}$  являются ионы  $\text{Na}_2^+$  и  $\text{K}_2^+$ . На основании изгибов на поляризационных кривых можно сделать вывод, что натрий может выделяться в фазе пара и жидкости при двух разных потенциалах. Выделению паробразного натрия способствует, по всей вероятности, перегрев электролита в прикатодном слое проходящим в цепи током.

Горно-металлургическая Академия  
Краков, Польша

Поступила  
27.II.1957

## ЛИТЕРАТУРА

1. G. Devoto, G. Jeny, Gazz. chim. ital., **61**, 305, 1931.
2. P. Drossbach, Elektrochemie geschmolzener Salze, Berlin, 1938.
3. D. D. Cubicciotti, C. D. Thurmond, J. Amer. Chem. Soc., **71**, 2149, 1949.
4. E. D. Eastman, D. D. Cubicciotti, C. D. Thurmond, Natl. Nuclear Energy Ser., Div. IV, **19** B. Chem. and Met. of Misc. Materials, G-42, 1950.
5. В. А. Пазухин, Усп. химии, **21**, 313, 1952.
6. J. P. McGeer, J. Chem. Educ., **29**, 534, 1952.
7. Л. Н. Антипин, Ж. физ. химии, **29**, 1668, 1955.
8. Г. Г. Уразов, М. А. Соколова, Изв. Сектора физ.-хим. анализа ИОНХ АН СССР, **24**, 151, 1954.
9. L. Cambi, G. Devoto, Gazz. chim. ital., **57**, 836, 1927.
10. B. Neuman, H. Richter, Z. Elektrochem., **31**, 296, 1925.
11. R. C. Kirk, W. E. Bradt, Trans. Electrochem. Soc., **69**, 14, 1936; **70**, 10, 1936.
12. R. Fichte, Die thermodynamische Eigenschaften der Metallchloride, Berlin, 1953.
13. И. П. Твердовский, В. С. Молчанов, Ж. физ. химии, **9**, 239, 1937.
14. Х. Л. Стрелец, А. Ю. Таиц, Б. С. Гуляпичкий, Металлургия магния, ГНТИ, Москва, 1950.
15. Л. Суский, Ж. физ. химии, (принята для печати в. № 8, 1958).

16. Б. П. Артамонов, ГИПХ, Сборник работ по электрохимии расплавленных солей, вып. 33, 1940.
17. С. И. Ремпель и И. Н. Озеряная, Ж. физ. химии, 25, 1181, 1951.
18. Б. Ф. Марков, Ю. К. Делимарский и И. П. Панченко, Ж. физ. химии, 28, 1987, 1954.
19. Б. Ф. Марков, Ю. К. Делимарский и И. П. Панченко, Ж. физ. химии, 29, 51, 1955.
20. Л. Суский, Ж. физ. химии, 30, 1855, 1956.
21. R. Lorenz, R. Winzer, Z. anorgan. u. allgem. Chem., 181, 193, 1929.
22. P. Drossbach, Z. Elektrochem., 40, 606, 1934.
23. G. Grube, P. Hantelman, Z. Elektrochem., 48, 399, 1942.
24. P. Drossbach, Z. Elektrochem., 57, 548, 1953.
25. K. K. Kelley, Bull. Bur. Min., 383, 1935.
26. K. K. Kelley, Bull. Bur. Min., 393, 1936.

## STUDIES OF THE CATHODIC PROCESS DURING THE ELECTROLYSIS OF THE PURE MOLTEN CHLORIDES OF CALCIUM, SODIUM AND POTASSIUM

*L. Suski (Krakow)*

### Summary

The aim of this study was to test the hypothesis of the formation of subcompounds in molten salts. The subcompounds are formed as the result of reaction between the metal and its molten salt. In the light of this the polarization curves of a ferrous microelectrode immersed in the pure, molten calcium, sodium and potassium chlorides have been studied.

Curves obtained from salts containing no dissolved metal (not subjected to electrolysis before) have been compared with those from salts containing metal dissolved during previous electrolysis.

The emf's of the cells  $\text{Cs}_{(s)}/\text{CaCl}_2/\text{Cl}_2$  and  $\text{Na}_1/\text{NaCl}/\text{Cl}_2$  have also been measured. The results obtained showed that in molten  $\text{CaCl}_2$   $\text{Ca}^+$  ions are being formed. This is in agreement with recently published results of experiments with a cryolite bath (7).

From the polarization curves it follows that at this temperature some quantities of sodium are evolved in the gaseous phase.

# МЕТОДЫ И ТЕХНИКА ФИЗИКО-ХИМИЧЕСКОГО ИССЛЕДОВАНИЯ

## ПОРОМЕР НИЗКОГО ДАВЛЕНИЯ

М. М. Дубинин, А. И. Сарахов и Г. А. Рябиков

За последнее время для исследования структуры высокодисперсных и пористых тел стал широко применяться метод вдавливания ртути [1, 2]. Однако большинство исследователей вынуждены работать на поромерах, в которых минимальным является атмосферное давление (в поромерах с горизонтальным расположенным дилатометром) или атмосферное плюс высота столба ртути в дилатометре над адсорбентом (в поромерах с вертикально расположенным дилатометром), т. е.  $1,2 \div 1,4$  атм. Следовательно, этот метод позволяет исследовать поры радиусом от  $5 \mu$  и меньше, и все поры большего радиуса, составляющие во многих сорбентах, катализаторах и пористых телах до 50% от общего объема пор, остаются неисследованными, хотя они, как известно, играют

существенную роль в таких физико-химических процессах, как сорбция и катализ. Известно, что такие крупные поры играют роль транспортных каналов к более мелким порам и в них могут находиться активные добавки.

В связи с этим С. А. Семенов [3] был разработан и построен поромер низкого давления, позволяющий производить исследования пористости сорбентов с размерами пор от  $100 \mu$  и меньше. Однако этот прибор имеет ряд недостатков, а именно: прибор и работа на нем сложны, для исследования требуется около десяти граммов сорбента и, самое главное, исследование пористости сорбентов на поромерах высокого и низкого давления ведется на различных навесках образца, что иногда приводит к невозможности сопоставления полученных данных вследствие неоднородности сорбента.

Учитывая эти недостатки, нами был построен более простой прибор, который позволяет производить

исследование пористости при давлениях от 5 до  $1000 \text{ мм рт. ст.}$ , т. е. в диапазоне радиусов от 5 до  $100 \mu$ . В основу прибора (рис. 1) положено устройство для запечатывания ртутью дилатометров поромера высокого давления, описанное в работах [1, 2], подвергнутое некоторым изменениям. Дилатометр 1 с навеской исследуемого вещества помещается в стеклянный сосуд 2 с прищипованной головкой. Запаянный конец дилатометра упирается в дно сосуда через железный упор 4, а в открытый конец капилляра входит на  $1\text{--}2 \text{ мм}$  кончик оттянутой трубки 3, вляющей в головку сосуда. Для компенсации колебаний в дтине различных дилатометров упор 4 сделан раздвижным. Трубка 3 через кран 5 и вакуумную резиновую трубку соединяется с напорным резервуаром 6, содержащим очищенную ртуть. Сосуд 2 укрепляется на штiffe 7, соединенном с вакуумной установкой. Этот же штiff позволяет вращать сосуд 2 в вертикальной плоскости.

Некоторому изменению подверглась также конструкция дилатометра. Для упрощения монтажа и создания постоянного натяжения измерительной проволоки дилатометра (платиновая проволока диаметром  $25\text{--}100 \mu$ ) введена пружина из нихромовой проволоки (рис. 2). С этой целью между измерительным капилляром и ампулой для сорбента вляяна промежуточная трубка со стеклянным крючком для закрепления пружины. (Ампула припаявается по линии  $a-a$  после натягивания проволоки дилатометра.) Для предотвращения всплывания адсорбента в ртуть и попадания его в измерительный капилляр ампула одетена от измерительной части стеклянной перегородкой с  $5\text{--}10$ -ю отверстиями диаметром  $0,2\text{--}0,5 \text{ мм}$ . Весь прибор помещен в воздушный

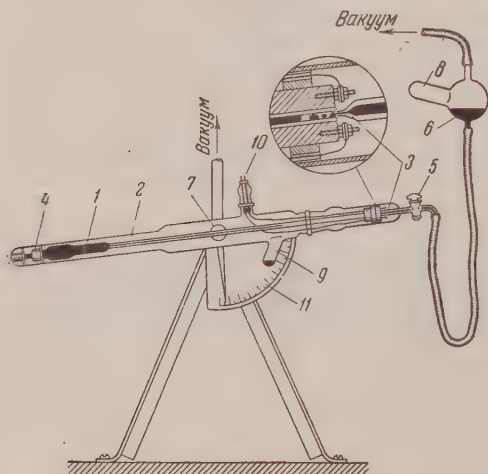


Рис. 1. Поромер низкого давления



термостат, в котором поддерживается та же температура, при которой термостатируется бомба поромера высокого давления (обычно 25°).

Техника работы с поромером низкого давления состоит в следующем. Дилатометр с последующим веществом помещают в сосуд 2 (рис. 1). Измерительную проволоку через запаянные контакты 10 присоединяют к мосту Уитстона, используемому также и для поромера высокого давления. Сосуд 6 опускают вниз и поворачивают так, чтобы вся ртуть из сосуда и резиновой трубки собралась в отростке 8. Сосуд 2 поворачивают так, чтобы открытый конец дилатометра оказался несколько ниже запаянного, и на левый конец прибора надвигают трубчатую электрическую печь. После этого производят эвакуирование прибора и дилатометра с прогревом исследуемого вещества до 100—450°C в зависимости от природы последнего. Отросток 9 служит для предотвращения попадания ртути в горячую часть прибора во время прогрева сорбента. По достижении вакуума порядка  $10^{-4}$ — $10^{-5}$  мм рт. ст. сосуд 6 поднимают вверх (положение, указанное на рисунке) и после заполнения ртутью соединительных трубок выключают и отодвигают печь и после охлаждения прибора приступают к заполнению дилатометра ртутью. Для этого прибор устанавливают с наклоном 5—10° так, как это показано на рисунке (открытый конец дилатометра несколько выше запаянного) и создают с помощью крана 5 медленный ток ртути. Ртуть по капилляру стекает в ампулу дилатометра и постепенно заполняет последний до требуемого уровня.

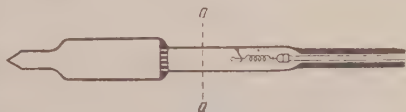


Рис. 2. Дилатометр

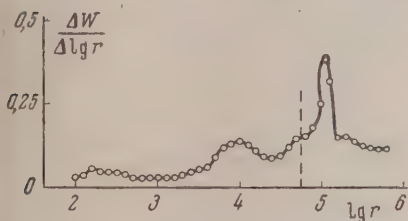


Рис. 3. Распределение объема пор по размерам для активного угля с развитыми крупными микропорами

воздуха вплоть до атмосферного. Таким образом ртуть до давления 1 ата плюс высота столба ртути в дилатометре. Затем дилатометр осторожно вынимают из прибора, переносят в поромер высокого давления и продолжают исследование обычным образом. При переносе дилатометра из поромера низкого давления в поромер высокого следует проявлять крайнюю осторожность, так как при случайных толчках ртуть может необратимо вдавиться в поры исследуемого вещества и первые две—три точки, полученные на поромере высокого давления, окажутся завывшенными.

Существенной особенностью предлагаемого прибора является то, что исследование пористости ведется в широком интервале давлений от 30—50 мм рт. ст. и выше в одном и том же дилатометре и с одной и той же навеской исследуемого вещества.

Следует иметь в виду, что объем ртути, вдавленной в сорбент на поромере низкого давления, складывается из объема ртути, проникшей в поры исследуемого вещества и объема ртути, проникающей между частицами исследуемого вещества и частицами и стенками ампулы. В связи с этим для получения «чистой» пористости необходимо проводить специальные опыты на модельных веществах, т. е. веществах с такой же природой поверхности, с таким же размером и формой зерен, что и исследуемое вещество, но непористых. Данные, полученные для вдавливания ртути в зазоры между зернами таких модельных образцов, следует вычитать из полученного суммарного объема. Величина этой поправки, достигающей 80—90% от общего объема вдавленной ртути на поромере низкого давления, уменьшается с ростом давления и для обычных сорбентов с размером зерен 1—3 мм становится практически постоянной при давлениях выше 500—600 мм рт. ст. В качестве примера исследования пористости высокодисперсных тел методом вдавливания ртути приводим программу, полученную для активного угля с развитой крупной микропористостью (рис. 3). Вертикальной пунктирной линией отмечена граница раздела кривых, полученных на описанном поромере низкого давления и поромере высокого давления типа ПА-4.

В заключение выражаем благодарность В. В. Серпинскому за ценные советы по улучшению конструкции прибора.



## ЛИТЕРАТУРА

1. Н. М. Камакин, Методы исследования структуры высокодисперсных и пористых тел, Изд-во АН СССР, Москва, 1953, стр. 47.
2. Т. Г. Плаченков, В. А. Александров, Г. М. Белоцерковский, там же, Изд-во АН СССР, Москва, 1953, стр. 59..
3. С. А. Семенова, Методы исследования структуры высокодисперсных и пористых тел, Изд-во АН СССР, Москва, 1957, стр. (в печати).

## A LOW PRESSURE POREMETER

*M. M. Dubinin, A. I. Sarakhov and G. A. Ryabikov (Moscow)*

## Summary

A simple low pressure poremeter has been devised that allows measurements of the porosity of sorbents by the mercury pressing in method in the same dilatometer and with the same weight of sorbent specimen as in the high pressure apparatus.

The meter permits determination of the porosity of sorbents with pores from 5 microns and higher on samples of about 1 g.

A detailed description of the apparatus and of the procedure for its application is given.

## ДИСКУССИЯ

ОТВЕТ НА СТАТЬЮ В. Ю. УРБАХА «СУЩЕСТВУЕТ ЛИ  
ОГРАНИЧЕННАЯ ВЗАИМНАЯ РАСТВОРИМОСТЬ ГАЗОВ?»

И. Р. Кричевский и Д. С. Циклис

В. Ю. Урбах может найти ответ на возникший у него вопрос в статьях Камерлинг Оннеса и Кеэзома [1]. Они еще в 1907 г. предсказали два своеобразных типа фазовых равновесий и дали подробную теорию этих равновесий. Им же принадлежит и название этого явления, равновесие газ — газ. Авторы неоднократно указывали, что они видят свою заслугу лишь в экспериментальном подтверждении равновесия газ — газ, предсказанного Камерлинг Оннесом и Кеэзомом.

Теоретическое рассмотрение картины равновесия газ — газ можно найти не только в оригинальных статьях Камерлинг Оннеса и Кеэзома. Оно дано с достаточной полнотой и убедительностью в известной книге ван-дер-Ваальса и Констамма [2]. Поэтому авторы считают, что они могут ограничиться кратким (по возможности) ответом на возникший у В. Ю. Урбаха вопрос. Краткость ответа уместна тем более, что не только сами возражения, выдвинутые В. Ю. Урбахом, но и опровержения этих возражений давно изложены в литературе.

Основной аргумент В. Ю. Урбаха против существования равновесия газ — газ связан с предположением о возможности продолжения кривой равновесия жидкость — газ за критическую точку. Такое предположение впервые высказал Бателли в 1892 г. и уже тогда было ясно, что оно является неправильным. В этом можно убедиться, если прочесть несколько страниц из работы А. Г. Столетова [3].

Известный в настоящее время экспериментальный материал показывает, что при пересечении предполагаемого продолжения кривой равновесия жидкость — пар не происходит ни скачка объемов, ни скачка теплосодержания. Поэтому продолжение кривой, на котором настаивает В. Ю. Урбах, никак не может характеризовать фазовые равновесия первого рода.

Указания В. Ю. Урбаха на то, что:

...«1) Выше этой кривой можно наблюдать характерный для жидкости полосатый спектр комбинационного рассеяния и

2) кривая зависимости угла рассеяния интенсивности рассеянных рентгеновских лучей имеет максимум, отражающий наличие «ближнего порядка», для давлений ниже кривой  $KS$  такого максимума нет.», понятны в свете принципа непрерывности, который не допускает внезапных изменений свойств. Этот же принцип непрерывности, как известно, требует окончания фазовых равновесий в критической точке.

В 1934 г. А. Эйкен [4], поняв, что продолжение кривой равновесия жидкость — газ (если такое продолжение возможно) не может относиться к фазовым равновесиям первого рода, предположил, что оно характеризует фазовые переходы третьего рода. При этом он совершил насилие над экспериментальными фактами, приняв, что вместо максимума на кривых теплоемкости  $C_p - P$  и  $C_p - T$  существует резкий перелом.

Помимо противоречия с экспериментальными фактами, которые не показывают наличия никаких переломов на этих кривых, опровержением предположения Эйкена является работа Л. Д. Ландау [5] по теории фазовых переходов. В этой работе Л. Д. Ландау показал, что рассуждения о фазовых переходах, вышших, чем II рода, являются беспредметными.

В 1954 г. А. Е. Шейндлин [6] допустил, что продолжение кривой фазовых равновесий представляет собой фазовые превращения II рода. Но для этого ему также пришлось совершить насилие над экспериментальными данными и принять, что вместо подъема кривой  $C_p$ , резкого вблизи критической точки, наблюдается скачок теплоемкости.

А. М. Розен [7] показал, почему неправильное предположение А. Е. Шейндлина приближенно согласуется с экспериментальными данными. А. М. Розен также показал, что максимумы на кривых  $C_p - T$  и  $C_p - P$  не совпадают между собой. Поэтому нет возможности однозначно провести продолжение кривой равновесия жидкость — пар.

В нереальности продолжения кривой можно убедиться также, если подумать о том, как эта кривая должна закончиться.

Продолжение кривой проводится по максимумам на кривых  $C_p - T$ . В этом смысле В. Ю. Урбах говорит: ...«кривая может быть совершенно определенно прослежена экспериментальным путем».

Но при повышении температуры максимум становится все более пологим и, наконец, исчезает. Таким образом исчезает и внешний признак, по которому можно продлить кривую.

Из теории фазовых равновесий известно, что кривая фазовых равновесий не может внезапно оборваться. Она может пересечься с кривой другого фазового равновесия или продолжиться кривой фазовых превращений второго рода. Экспериментальные данные не допускают ни одной из этих возможностей.

Таким образом, нет никаких научных данных, свидетельствующих о том, что продолжение кривой равновесия жидкость — пар за критическую точку соответствует какой-либо физической реальности.

Но если бы даже продолжение кривой за критическую точку являлось равновесием жидкость — газ, то и тогда это обстоятельство не могло бы служить опровержением существования особого равновесия газ — газ.

Дело, конечно, в том, что равновесие газ — газ, критические точки которого изображены кривой  $DK'L$  на рис. 1 или кривой на рис. 2 статьи В. Ю. Урбаха, не имеют никакого отношения к кривой  $KS$  на тех же рисунках. Тот факт, что в одной и той же области температур, но при разных давлениях проходят две кривые фазовых равновесий, вовсе не означает, что оба фазовых равновесия принадлежат к одному и тому же типу. Известно, например, что в той области температур, где проходит реальная (а не воображаемая) кривая равновесия жидкость — пар, может проходить кривая равновесия жидкость — жидкость. Тогда, по В. Ю. Урбаху, оба равновесия нужно было бы причислить к одному и тому же типу.

Вопрос о том, как правильно назвать тип равновесия, предсказанного Камерлинг Оннесом и Кеезом [1] и экспериментально подтвержденного авторами, обсуждался в литературе задолго до того, как этот вопрос возник у В. Ю. Урбаха. Спор шел о том, называть ли это равновесие равновесием газ — газ или жидкость — жидкость. Почему спор шел вокруг этих двух равновесий, можно понять, если взглянуть, например, на рис. 121 книги Фогеля [8]. Но никто не ставил вопроса о принадлежности равновесия газ — газ к равновесию жидкость — газ из-за явной несостоятельности такого предположения.

Ван-дер-Ваальс и Констант [2], — их-то, по-видимому, нельзя заподозрить в незнании теории фазовых равновесий и ее тонких сторон, — приводят доводы, по которым этот тип равновесий является равновесием газ — газ. В заключение они пишут [2]: «Отсюда следует, что (как заметили Камерлинг Оннес и Кеезом) в этом случае при строгом соблюдении терминологии придется говорить о равновесии двух газовых фаз. Действительно, нет никакого основания называть жидкостью одну из двух фаз на совершенно замкнутой складке, и поэтому здесь надо было бы говорить о равновесии газ — газ при всех температурах, превышающих критическую температуру второго компонента» ([2] стр. 303). В. Ю. Урбах утверждает также, что поверхностное натяжение является не признаком, а причиной равновесия газ — газ. Вопрос этот не связан с фазово-теоретическим разбором существования равновесия газ — газ, но тем не менее на нем следует остановиться.

Авторы являются приверженцами теории критических явлений, развитой Гиббсом и А. Г. Столетовым. Сила этой теории состоит в том, что, ничего не зная о свойствах критической фазы и предположив только, что она существует, можно по поведению системы в двухфазной области предсказать поведение системы в критической области.

Так, например, Гиббс предсказал, что у однокомпонентного вещества в критической точке  $\lim C_p \rightarrow \infty$ . Это предсказание Гиббса получило экспериментальное подтверждение. Гиббс же предсказал, что химический потенциал компонента двойной, о раствора в критической фазе не зависит от состава этого раствора. Спустя 30 лет Д. П. Коновалов экспериментально подтвердил это предсказание [9].

Теория Гиббса — Столетова строится без учета влияния поверхностных явлений на фазовые равновесия, и совпадение требований теории с экспериментальными данными должно свидетельствовать о том, что поверхностные явления играют подчиненную роль в термодинамике критических явлений.

К такому же выводу пришли И. Р. Кричевский и Н. Е. Хазанова [10] при обсуждении скачков теплоемкости и коэффициента термического расширения при переходе системы из однофазной области в двухфазную. Уравнения, выведенные для скачков этими авторами без учета поверхностных явлений, также согласуются с экспериментальными данными.

Снова приходится делать вывод о второстепенной, подчиненной роли поверхностных явлений в критических явлениях.

Если В. Ю. Урбах утверждает противное, то он должен вместо теории Гиббса — Столетова создать новую теорию, которая позволила бы по картине поверхностных явлений в двухфазной области предсказать термодинамические свойства критической фазы.

Пока этого не сделано, утверждение о решающей роли поверхностных явлений в термодинамике критических явлений лишено научной убедительности и разделяет судьбу другого предположения о возможности продолжения кривой равновесия жидкость — газ за критическую точку.

## ЛИТЕРАТУРА

1. H. Kamerlingh Onnes, W. H. Keesom, Proc. Sect. Sci. Roy. Acad., Amsterdam, 9, 786, 1907; 10, 231, 1907.
  2. И. Д. ван-дер-Ваальс и Ф. Констамм, Курс термостатики, часть II, ОНТИ, 1936.
  3. А. Г. Столетов, Собрание сочинений, т. 1, ГИТТЛ, 1939.
  4. A. Eucken, Z. techn. Phys., 15, 530, 1934.
  5. А. Е. Шейндлин, Теплоэнергетика, № 1, № 11, 1954.
  6. Л. Д. Ландау, Е. М. Лифшиц, Статистическая физика, ГИТТЛ, 1951.
  7. А. М. Розен, Докл. АН СССР, 99, 133, 1954.
  8. A. Vogel, Die Heterogenen Gleichgewichte, Leipzig, 1937.
  9. Д. П. Коновалов, Abh. d. Phys., 4, 10, 360, 1903; ЖРФ-ХО, ч. хим., 16, 11, 1884.
  10. И. Р. Кричевский и Н. Е. Хазанова, Ж. физ. химии, 29, 1087, 1955.
-



## ПИСЬМА В РЕДАКЦИЮ

КОЛИЧЕСТВЕННЫЙ АНАЛИЗ СОДЕРЖАНИЯ  $\text{CH}_2$ - И  $\text{CH}_3$ -ГРУПП В УГЛЕВОДОРОДАХ ПО ИНФРАКРАСНЫМ СПЕКТРАМ

Е. И. Покровский

В настоящее время разработана методика анализа соотношения числа  $\text{CH}_2$ -групп к числу  $\text{CH}_3$ -групп [1—4], позволяющая определять одну  $\text{CH}_3$ -группу на 15—200 групп  $\text{CH}_2$ . Предложенные методики страдают рядом недостатков, к основным из которых следует отнести то, что анализ производится в растворе, обычно в  $\text{CCl}_4$ , в котором некоторые вещества плохо растворяются (например полиэтилен), и при анализе по полосам поглощения 891, 1378 и  $2957 \text{ см}^{-1}$  не учитывается положение соседних полос поглощения  $\text{CH}_2$ -групп или двойных связей  $\text{C}=\text{C}$ . В методике, предложенной Т. И. Тарутиной [4] для обогрешенной области спектра, анализ производится путем учета очень слабой асимметрии полосы поглощения  $\text{CH}_2$ -групп за счет наложения на нее двух полос поглощения  $\text{CH}_3$ -групп.

В данной работе описывается методика количественного определения как числа  $\text{CH}_2$ - и  $\text{CH}_3$ -групп в растворе и жидком состоянии, так и их соотношения ( $\text{CH}_2/\text{CH}_3$ ) в пленках.

Спектры поглощения снимались по точкам на спектрометре ИКС-11 с призмой  $\text{LiF}$ . Толщина кювет для жидкостей несколько микрон, а для растворов 0,0411 см. Концентрация исследуемых образцов в  $\text{CCl}_4$  0,01—0,02 моль/л.

Для анализа были использованы полосы поглощения  $\text{CH}_2$ -групп у  $2924 \text{ см}^{-1}$  и  $\text{CH}_3$ -групп у  $2957 \text{ см}^{-1}$ . В качестве эталонного вещества был использован *n*-гексадекан (рис. 1). Так как эти полосы поглощения взаимно перекрываются, то это перекрытие было тщательно учтено [5]. Сначала был построен контур полосы поглощения  $\text{CH}_2$ -групп у  $2924 \text{ см}^{-1}$  по дисперсионной формуле для коэффициента поглощения  $k$  по его величине в максимуме  $k_{\text{макс}}^{(\text{CH}_2)}$  и полуширине  $\Delta\nu_{1/2}$  (рис. 2). По разности между вычисленными и наблюдавшимися  $k$  был определен контур полосы поглощения  $\text{CH}_3$ -групп с  $k_{\text{макс}}^{(\text{CH}_3)}$  у  $2957 \text{ см}^{-1}$ . После этого, путем учета перекрытия полос поглощения, было исправлено значение  $k_{\text{макс}}^{(\text{CH}_2)}$  полосы поглощения  $\text{CH}_2$ -групп и вновь, по дисперсионной формуле, построен контур полосы поглощения  $\text{CH}_2$ -групп. Следует отметить, что контур поглощения  $\text{CH}_3$ -групп, после более точного определения контура полосы поглощения  $\text{CH}_2$ -групп, не изменился. Контуров полос поглощения  $\text{CH}_3$ - и  $\text{CH}_2$ -групп и их наложение друг на друга представлены на рис. 3. Для растворов в  $\text{CCl}_4$  и жидкого состояния для анализа были использованы следующие значения  $k$  в л·моль $^{-1}$  см $^{-1}$ :

Группа	2924 см $^{-1}$	2957 см $^{-1}$
$\text{CH}_2$	154	25,7
$\text{CH}_3$	21,3	232

Отношение  $k_{\text{макс}}^{(\text{CH}_2)}$   $\text{CH}_2$ -групп к  $k_{\text{макс}}^{(\text{CH}_3)}$   $\text{CH}_3$ -групп равно  $0,66 \pm 0,01$ . Количество  $\text{CH}_2$ - и  $\text{CH}_3$ -групп определялось путем измерения оптической плотности  $D = \ln \frac{I_0}{I} = kcd$  у 2924 и  $2957 \text{ см}^{-1}$  и сводилось к решению системы из двух уравнений с двумя неизвестными.

После того как в ряде растворов полимеров (полиэтилен, полипропилен) было определено содержание  $\text{CH}_2$ - и  $\text{CH}_3$ -групп, были сняты спектры поглощения пленок этих же самых веществ или, для низкомолекулярных образцов и эталонного *n*-гексадекана, слоя толщиной в несколько  $\mu$ . По измеренным значениям оптических плотностей  $D$  и определенным в растворах концентрациям  $c$  было найдено, что соотношение  $k_{\text{макс}}^{(\text{CH}_2)}/k_{\text{макс}}^{(\text{CH}_3)}$ , так же как и в растворах, составляет  $0,66 \pm 0,01$ . Абсолютное опреде-

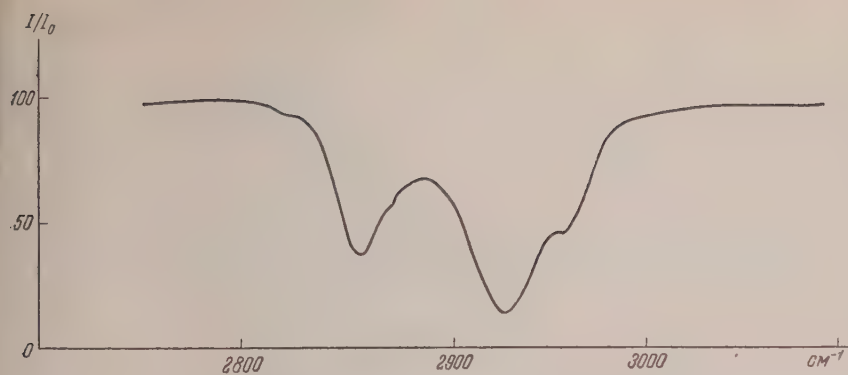


Рис. 1. Спектр жидкого *n*-гексадекана

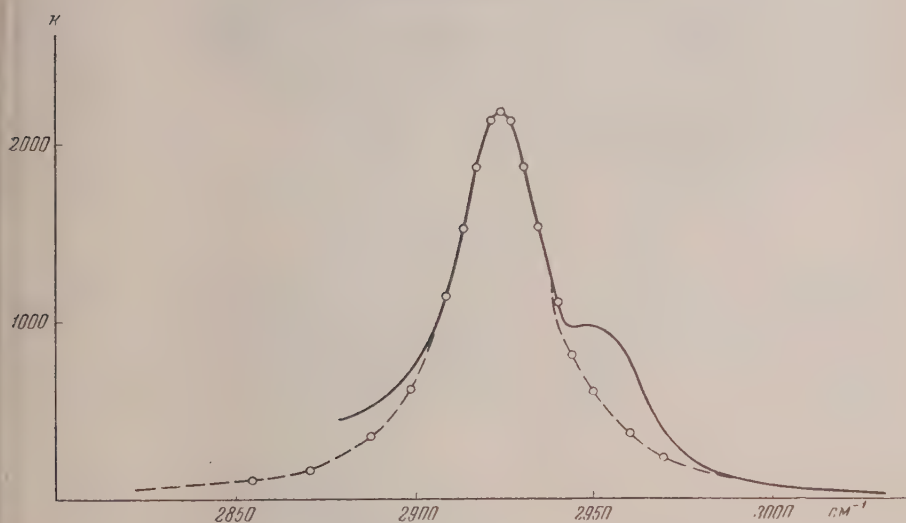


Рис. 2. Зависимость  $k$  от  $\nu$  *n*-гексадекана

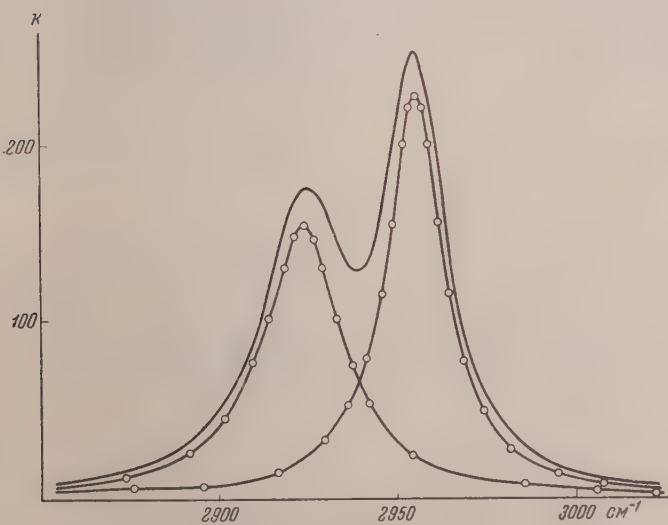


Рис. 3. Перекрывание полос поглощения  $\text{CH}_2$ - и  $\text{CH}_3$ -групп

ление  $k_{\text{макс}}$  в жидкостях сильно затруднено из-за ничтожной толщины слоя, а в пленках практически невозможно ввиду трудностей определения толщины  $d$ . Разработанная методика была использована для исследования разветвленности различных образцов полиэтилена и определения числа  $\text{CH}_3$ - и  $\text{CH}_2$ -групп или их соотношения ( $\text{CH}_3/\text{CH}_2$ ) в полиизобутилене, полипропилене и сополимерах этилена с изобутиленом. В исследованном образце полиизобутилена было найдено, что концентрация  $\text{CH}_2$ -групп составляла  $0,079 \text{ моль/л}$ ,  $\text{CH}_3=0,139 \text{ моль/л}$  и число  $\text{CH}_3$ -групп на одну  $\text{CH}_2$ -группу 1,76. Взятая навеска была  $0,213 \text{ моль/л}$ , что хорошо соответствует полученному результату  $0,139 + 0,079 = 0,218 \text{ моль/л}$ . В полипропилене при концентрации  $0,362 \text{ моль/л}$  было найдено, что концентрация  $\text{CH}_3$ -групп, так же как и  $\text{CH}_2$ -групп, составляла  $0,177 \text{ моль/л}$ , т. е. суммарная концентрация  $0,177 + 0,177 = 0,354 \text{ моль/л}$  и практически совпадала со взятой концентрацией. Для различных сополимеров, полученных путем сополимеризации изобутилена с этиленом, взятых при различных концентрациях, соотношение  $\text{CH}_3/\text{CH}_2$ -групп составляло 132, 100, 80, 31 и 21%. Воспроизводимость результатов анализа при исследовании образцов как в растворе и в жидкостях, так и в пленках составляла 1–2%. Контрольные опыты, проведенные для  $n$ -тетрадекана, показали, что соотношение числа  $\text{CH}_3/\text{CH}_2$ -групп, определенное спектроскопически, составляет 1/5,9 (фактически 1/6,0), т. е. точность анализа была 1,5%. Считаю своим долгом поблагодарить Б. А. Кренцеля за предоставленные для исследования образцы полипропилена и сополимеров изобутилена с этиленом и Н. П. Николаева за образцы полипропилена и полиизобутилена.

Академия наук СССР  
Институт высокомолекулярных  
соединений  
Ленинград

Поступила  
6.II.1957

#### ЛИТЕРАТУРА

1. L. H. Cross, R. B. Richards, H. A. Willis, Disc. Faraday. Soc., № 9, 235, 1950.
2. F. M. Rugg, J. J. Smith, L. H. Wartman, J. Polymer Sci., 11, 1, 1953.
3. E. Bouillo, C. Mussa, Gazz. Chim. ital., 84, 152, 1954.
4. Л. И. Тарутина, Ж. физ. химии, 29, 975, 1955.
5. Е. И. Покровский, М. В. Волькенштейн, Докл. АН СССР, 95, 301, 1954.

ИЗБИРАТЕЛЬНОЕ РАСТВОРЕНИЕ В СПЛАВАХ ВИСМУТА  
С ПЛАТИНОЙ

Н. Н. Журавлев

Для выделения кристаллов интерметаллического соединения  $\text{Bi}_2\text{Pt}$  из гетерогенного сплава, состоящего из кристаллов  $\text{Bi}_2\text{Pt}$  и висмута, использовалась различная химическая устойчивость этих фаз в электролите. Электролитом служила разбавленная азотная кислота. При повышенных концентрациях электролита наблюдаются растворение не только кристаллов висмута, но и висмута из соединения. Обогащение платиной кристаллов  $\text{Bi}_2\text{Pt}$  при их выделении из сплава наблюдалось еще Ресслером [1]. Увеличение концентрации кислоты или повышение температуры позволяют растворить почти весь висмут из этого соединения. В осадке остается высокодисперсная платина.

Нами из сплава выделялись кристаллы  $\beta$   $\text{Bi}_2\text{Pt}$ , которые кристаллизуются в гексагональной сингонии в виде тонких пластинок, обладающих идеальным оптическим отражением. После растворения висмута из соединения дисперсная платина остается в осадке в виде тонких матовых изогнутых пластинок. С такого осадка на излучении  $\text{K}_\alpha\text{-Cu}$  в камере  $\text{PKY-114}$  была получена порошковая рентгенограмма, на которой имелось несколько сильно размытых линий. Расчет и индифференцирование показывают совпадение с рентгенограммой платины. По эффекту расширения линий на порошковой рентгенограмме приблизительно определены размеры кристаллов платины, которые равны 75—90 Å. Дисперсность измерилась для линии [111]. Величина кристаллов платины такого же порядка, как и никелевого скелетного катализатора, полученного избирательным растворением из соединения  $\text{Ni}_2\text{Al}_3$  [2,3]. При избирательном растворении висмута из соединения  $\text{Bi}_2\text{Pt}$  происходит разрушение решетки интерметаллического соединения, и при полном удалении атомов висмута атомы платины перестраиваются в кубическую решетку платины. Это отмечено в работах Л. М. Кефели [4, 5] на ряде сплавов  $\text{Ni-Al}$ ,  $\text{Cu-Zn}$ ,  $\text{Mg-Al}$  для интерметаллических соединений и для твердых растворов, причем для некоторых случаев при избирательном растворении наблюдалось образование промежуточных фаз.

Следует отметить, что избирательным растворением висмута из  $\text{Bi}_2\text{Pt}$  может быть получен платиновый скелетный катализатор.

При выделении монокристаллов интерметаллических соединений из двухфазного сплава путем растворения одной из фаз следует обращать внимание на возможную избирательную растворимость. При наличии последней можно получить поверхностный слой соединения, объединенный одной из составляющих, а это может привести к трудностям при рентгеноструктурном исследовании или к ошибочным результатам.

Пользуясь случаем выразить благодарность проф. Г. С. Жданову за ценные советы и указания при выполнении настоящей работы.

Московский государственный  
университет им. М. В. Ломоносова

Поступила  
27.II.1957

## ЛИТЕРАТУРА

1. F. Roessler, Z. anorg. allg. Chem. Bd. 9, s. 68/69, 1895.
2. Л. М. Кефели и Н. Г. Севастьянов, Докл. АН СССР, 83, 866, 1952.
3. Л. М. Кефели и С. Л. Лельчук, Докл. АН СССР, 84, 285, 1952.
4. Л. М. Кефели, Докл. АН СССР, 105, 1010, 1955.
5. Л. М. Кефели, Автореферат докторской диссертации «Исследование структурных превращений интерметаллических соединений и твердых растворов при избирательном растворении в электролитах», Физ.-хим. ин-т им. Л. Я. Карпова, 1956.



## О ВЛИЯНИИ ФЛУКТУАЦИЙ НА ДИЭЛЕКТРИЧЕСКУЮ ПРОНИЦАЕМОСТЬ ОДНОРОДНЫХ СИСТЕМ

М. И. Шахпаронов

В статье, носящей характер предварительного сообщения, мы приведем некоторые соображения по вопросу о влиянии флуктуаций на диэлектрическую проницаемость однородных систем (газов, жидкостей, растворов и т. п.).

Флуктуации, обусловленные тепловым движением, как известно, можно представить в виде суперпозиции гармонических колебаний соответствующего параметра [1]. Если в однородной среде в трех взаимно перпендикулярных направлениях пробегают гармонические тепловые возмущения, то в этой среде имеют место периодические изменения локальной диэлектрической проницаемости  $\epsilon_{\text{л}}$ . Отклонения в элементе объема  $V$  локальной диэлектрической проницаемости от среднего значения  $\epsilon'$  изменяют макроскопическую диэлектрическую проницаемость  $\epsilon^*$  системы.

Математическая трактовка этого случая аналогична трактовке дисперсной системы, состоящей из двух диэлектриков  $\epsilon_A$  и  $\epsilon_B$  с объемным коэффициентом заполнения равным  $1/2$ . Следовательно [2],

$$\epsilon^* = \epsilon' - \frac{1}{3\epsilon'} (\Delta\epsilon)^2 + \dots \quad (1)$$

где  $\Delta\epsilon = \epsilon_{\text{л}} - \epsilon'$ .

Усредняя по всем возможным тепловым возмущениям получим:

$$\overline{\epsilon^*} = \epsilon = \epsilon' - \frac{1}{3\epsilon'} \overline{(\Delta\epsilon)^2}. \quad (2)$$

Здесь  $\epsilon$  — средняя макроскопическая диэлектрическая проницаемость среды, определяемая экспериментально.  $\epsilon'$  — макроскопическая диэлектрическая проницаемость среды в отсутствие возмущений;  $\epsilon'$  может быть вычислена, например, при помощи уравнений, выведенных Онзагером [3]. В растворах  $\epsilon' \approx \sum \varphi_i \epsilon_i$ ,  $\overline{(\Delta\epsilon)^2}$  — средний квадрат флуктуаций диэлектрической проницаемости  $\varphi_i$  — объемные доли.

Если ограничиться учетом флуктуаций плотности и концентрации, то, согласно [4] имеем

$$\overline{(\Delta\epsilon)^2} = \frac{kTx}{V} \left( \rho \frac{\partial \epsilon'}{\partial \rho} \right)_{T, c}^2 + \frac{1}{NV \rho_0} \sum_{i, k=1}^v C_i C_k \frac{\partial^2 \epsilon'}{\partial \rho^2} \left( \frac{\partial \epsilon'}{\partial C_i} \right)_{T, P, C_j} \left( \frac{\partial \epsilon'}{\partial C_k} \right)_{T, P, C_j}. \quad (3)$$

Для двухкомпонентного раствора из (2) и (3) следует:

$$(\epsilon' - \epsilon) = \frac{kTx}{3\epsilon'V} \left( \frac{\partial \epsilon'}{\partial \rho} \right)_{T, c}^2 + \frac{kTx_1^2}{3\epsilon'N_1} \frac{(\partial \epsilon'/\partial x_2)^2}{\left( \frac{\partial \mu_2}{\partial x_2} \right)_{T, P}}. \quad (4)$$

где  $x = -\frac{1}{V} \frac{\partial V}{\partial p}$ ;  $x_1$  и  $x_2$  — концентрации компонентов 1 и 2 в молярных дробях,  $\mu_2$  — химический потенциал компонента 2.

Первый член в правой части формулы (4) учитывает влияние флуктуаций плотности, а второй член учитывает влияние флуктуаций концентрации. Из формулы (4) следует, что диэлектрическая проницаемость жидкостей вблизи критической точки, где  $(\partial V/\partial p)_{T, c}$  велико, должна заметно уменьшаться. Еще более значительное снижение диэлектрической проницаемости следует ожидать вблизи области критического расслаивания в растворах, содержащих полярные и неполярные компоненты. В этом случае  $\partial \mu_2/\partial x_2$  мало, а  $\partial \epsilon'/\partial x_2$  может сохранять относительно большие значения.

Таким образом, флуктуации концентрации вызывают отрицательные отклонения  $\epsilon$  от аддитивности. Можно полагать, что отрицательные отклонения  $\epsilon$  от аддитивности, наблюдающиеся в растворах полярных веществ в неполярных растворителях, обусловлены в значительной мере влиянием флуктуаций концентрации. Этот вывод согла-

ется с результатами исследования релеевского рассеяния света такими растворами [5, 6].

Формула (4) теряет силу в критической области, где необходим учет следующих членов ряда (1) или же иной способ расчета. Тем не менее, ввиду указанного влияния флуктуаций на макроскопическую диэлектрическую проницаемость, представляется маловероятным вывод о существовании в критической области максимумов диэлектрической проницаемости.

В известной мере аналогичные выводы могут быть проведены для магнитной проницаемости и проводимости однородных систем.

Московский государственный  
университет им. М.В. Ломоносова

Поступила  
22.IV.1957

#### ЛИТЕРАТУРА

1. A. Einstein, Ann. phys., **33**, 1275, 1910.
2. W. F. Brown, J. Chem. Phys., **23**, 1514, 1955.
3. L. Onsager, J. Amer. Chem. Soc., **58**, 1486, 1936.
4. J. G. Kirkwood, R. J. Goldberg, J. Chem. phys., **18**, 54, 1950.
5. А. А. Брандт и М. И. Шаптаронов, Вестн. Моск. ун-та, № 9, 45, 1954.
6. М. И. Шаптаронов, Ж. неорган. химии, **1**, 1194, 1956.

# ЭЛЕКТРИЧЕСКИЙ МЕТОД ОПРЕДЕЛЕНИЯ ВНУТРЕННИХ НАПРЯЖЕНИЙ В ГАЛЬВАНИЧЕСКИХ ПОКРЫТИЯХ

Г. К. Потапов и А. Т. Санжаровский

Внутренние напряжения являются одной из основных характеристик, определяющих качество гальванического покрытия. Для практики весьма важно знать величину, знак внутренних напряжений в осадке.

В настоящее время наиболее распространенным методом определения внутренних напряжений в гальванических покрытиях является метод гибкого катода [4].

Для определения напряжений этим методом в процессе электролиза замеряется отклонение нижнего конца катодной пластинки при осаждении металла с одной ее стороны.

Величина напряжений подсчитывается по формуле, предложенной Стони:

$$\sigma = \frac{1}{3} E \frac{\Delta^2 h}{\Delta t l^2}, \quad (1)$$

где  $\sigma$  — внутренние напряжения,  $\text{кг/см}^2$ ;  $E$  — модуль нормальной упругости подкладки,  $\text{кг/см}^2$ ;  $t$  — толщина катодной пластины,  $\text{см}$ ;  $h$  — отклонение нижнего конца катода,  $\text{см}$ ;  $l$  — длина рабочей части катода,  $\text{см}$ ;  $\Delta t$  — толщина осадка,  $\text{см}$ .

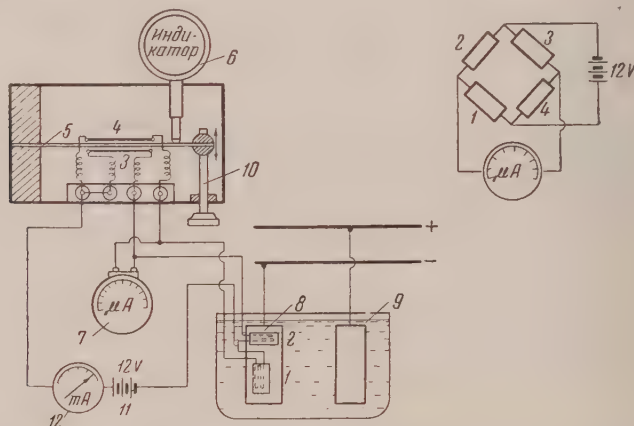


Рис. 1. Схема установки для электрического метода определения внутренних напряжений в гальванических покрытиях: 1 — рабочий датчик; 2 — датчик температурной компенсации; 3 и 4 — датчики балансировки моста; 5 — балансирующая балочка; 6 — индикатор; 7 — гальванометр; 8 — катодная пластина; 9 — ванна электролитическая; 10 — регулирующий винт; 11 — аккумулятор; 12 — милливольтметр

Для более точных определений отклонение конца катодной пластины иногда замеряется при помощи микроскопа. При этом методе определения требуется специальная электролитическая ячейка, электролит должен быть прозрачным, иметь малое газовыделение на катоде и температуру 20—25° С.

Формула (1) справедлива при условии, что  $\Delta t$  весьма мало по отношению к  $t$ , а  $h$  к  $l$ . Толщина катодной пластины берется 100—200  $\mu$ , а поэтому внутренние напряжения в осадке толщиной больше 10—15  $\mu$  измерить не представляется возможным.

Предлагаемый нами метод определения внутренних напряжений в гальванических покрытиях позволяет определить величину и знак внутренних напряжений с

высокой степенью точностей в любых ваннах по размеру, в горячих и холодных, прозрачных и непрозрачных электролитах.

Устройство прибора. Предлагаемая схема (рис. 1) представляет следующее: четыре проволочных датчика сопротивления собраны в мостовую схему (правый верхний угол рисунка).

Проволочный датчик сопротивления представляет собой проволочку диаметром 25—30 м, изготовленную чаще всего из константана и прикрепленную к полоске тонкой бумаги плоскими петлями. К концам проволочного датчика прикрепляются проводники измерительной аппаратуры.

Датчик наклеивается на исследуемую поверхность. Деформация поверхности передается проволочке датчика и вызывает изменение его омического сопротивления. Эти изменения и служат мерой деформации катодной пластины. Более подробно об устрой-

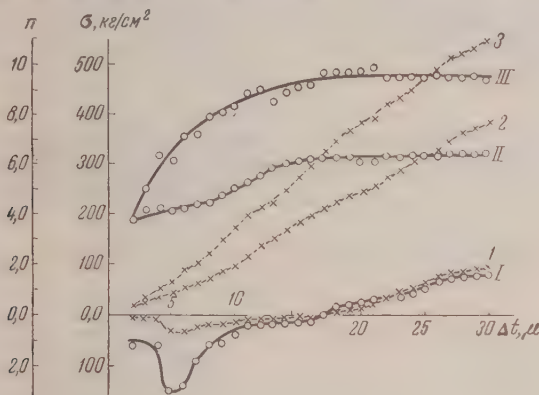


Рис. 2. Кривые изменения внутренних напряжений от толщины осадка марганца, I — ванна:  $\text{MnSO}_4 \cdot 4\text{H}_2\text{O}$  — 175 г/л,  $(\text{NH}_4)_2\text{SO}_4$  — 100 г/л,  $\text{SO}_2$  — 0,3 г/л,  $t = 20^\circ \text{C}$ ,  $\text{pH} = 3,0$ ,  $D_k = 25 \text{ A} / \partial \text{m}^2$ ; II — ванна:  $\text{MnSO}_4 \cdot 4\text{H}_2\text{O}$  — 175 г/л,  $(\text{NH}_4)_2\text{SO}_4$  — 100 г/л,  $\text{SO}_2$  — 0,3 г/л,  $t = 20^\circ \text{C}$ ,  $\text{pH} = 4,2$ ,  $D_k = 25 \text{ A} / \partial \text{m}^2$ ; III — ванна:  $\text{MnSO}_4 \cdot 4\text{H}_2\text{O}$  — 175 г/л,  $(\text{NH}_4)_2\text{SO}_4$  — 100 г/л,  $t = 20^\circ \text{C}$ ,  $\text{pH} = 4,2$ ,  $D_k = 25 \text{ A} / \partial \text{m}^2$ . 1, 2 и 3 — кривые токов в измерительной диагонали моста; n — число делений шкалы гальванометра

стве и применении датчиков сопротивления см. в [1—3]. Датчик I — рабочий — наклеивается на катодную пластину 8 в плоскости ее деформации. Датчик 2 является температурным компенсатором и наклеивается на катодную пластину перпендикулярно датчику I, чтобы он не деформировался, или лучше датчик 2 наклеить на отдельную пластину того же материала, что и катод, и опустить ее в электролит.

Датчики 3 и 4 наклеиваются на балочку 5, укрепленную в специальном корпусе для балансировки моста. Мост питается от 6- или 12-вольтовой аккумуляторной батареи 11.

Ток питания определяется миллиамперметром 12. Катодная пластина со стороны наклеенных датчиков изолируется и завешивается в электролитическую ванну.

Осаждающийся металл, вследствие наличия в нем внутренних напряжений, вызывает изгиб пластины. Датчик I, воспринимая деформации катодной пластины, изменяет свое омическое сопротивление; последнее вызывает разбаланс моста. Ток разбаланса определяется гальванометром 7 или может записываться при помощи ленточного осциллографа. По току в измерительной диагонали определяется относительное изменение сопротивления датчика  $\Delta R/R$ .

Рассмотрим уравнение тока в измерительной диагонали моста: [7]

$$I_r = I_{\text{п.м.}} \frac{R_1 R_4 - R_2 R_3}{R_2 (R_1 + R_2 + R_3 + R_4) (R_1 + R_3) (R_2 + R_4)}, \quad (2)$$

где  $I_r$  — ток в диагонали;  $I_{\text{п.м.}}$  — ток питания моста,  $R_2$  — сопротивление гальванометра;  $R_1$  — в результате деформации датчика изменяется на  $\Delta R$ . Учитывая, что в данном случае  $R_1 = R_2 = R_3 = R_4 = R$  и пренебрегая  $\Delta R$  в знаменателе, как величиной весьма малой по отношению к  $R$ , найдем, что

$$\frac{\Delta R}{R} = \frac{4 I_r (R_2 + R)}{I_{\text{п.м.}} R}. \quad (3)$$



Проволочные датчики сопротивления характеризуются коэффициентом тензочувствительности

$$K = \frac{\Delta R / R}{\Delta l / l}, \quad (4)$$

где  $\Delta l / l = \epsilon$  — относительное удлинение катодной пластины на поверхности. Из уравнений (3) и (4) найдем

$$\epsilon = \frac{4I_{\Gamma}(R_2 + R)}{KI_{\text{п. м.}}R}. \quad (5)$$

Зная  $\epsilon$ , определим напряжение в осадке. Имеем случай чистого изгиба пластины [5, 6]. Если использовать уравнение:

$$\rho = \frac{EI_{\text{и}}}{M}, \quad (6)$$

где  $\rho$  — радиус кривизны пластины,  $I_{\text{и}}$  — момент инерции относительно нейтральной оси;  $M$  — изгибающий момент, и сделать соответствующие преобразования, то найдем, что напряжение в осадке

$$\sigma = \frac{1}{3} E \frac{t}{\Delta t} \epsilon. \quad (7)$$

Если в уравнение (7) подставить значение  $\epsilon$  из уравнения (5), то получим основную расчетную формулу

$$\sigma = \frac{4}{3K} E \frac{t}{\Delta t} \frac{I_{\Gamma}(R_2 + R)}{I_{\text{п. м.}}R}. \quad (8)$$

Для конкретной схемы все величины, кроме  $I_{\Gamma}$  и  $\Delta t$ , будут постоянными, поэтому формулу (8) можно представить в виде

$$\sigma = A \frac{I_{\Gamma}}{\Delta t}. \quad (9)$$

Рис. 53. Кривые изменения внутренних напряжений от толщины осадка Ni-P (никель-фосфор): I — ванна:  $\text{NiSO}_4 \cdot 7\text{H}_2\text{O}$  — 200 г/л,  $\text{NiCl}_2 \cdot \text{H}_2\text{O}$  — 50 г/л;  $\text{H}_3\text{PO}_4$  — 50 г/л,  $\text{NaH}_2\text{PO}_2 \cdot \text{H}_2\text{O} \cdot 6$  г/л,  $T = 75^\circ\text{C}$ ,  $\text{pH} = 1,5$ ,  $D_k = 22 \text{ A} / \partial \text{м}^2$ ; II — ванна: то же, только  $\text{NaH}_2\text{PO}_2 \cdot \text{H}_2\text{O}$  — 9 г/л. 1—2 — кривые токов в измерительной диагонали моста

Предлагаемая схема была применена для определения внутренних напряжений в марганцевых гальванических покрытиях и в осадках сплава никель-фосфор.

#### Характеристика применявшихся схем

Параметры	При определении $\sigma$ в осадках	
	марганца	никель-фосфор
Сопротивление датчиков	202,9 $\Omega$	200 $\Omega$
Толщина катодной пластины	0,2 мм	0,6 мм
Гальванометр: сопротивление	169 $\Omega$	148 $\Omega$
цена деления	$7,4 \cdot 10^{-8} \text{ A}$	$0,46 \cdot 10^{-6} \text{ A}$
Ток питания моста	30 мА	48 мА
Коэффициент тензочувствительности датчиков	2	2
$E$ катодной пластины	$2 \cdot 10^6 \text{ кг/см}^2$	$2 \cdot 10^6 \text{ кг/см}^2$

Результаты опытов приведены в виде графиков на рис. 2 и 3.

## ЛИТЕРАТУРА

1. Н. П. Раевский, Методы экспериментального исследования механических параметров машин, Изд-во АН СССР, 1952.
  2. Н. И. Пригоровский и др., Проволочные датчики, сб. «Измерение напряжений и усилий в деталях машин», под редакцией Н. И. Пригоровского, машиз, 1955.
  3. А. М. Турчин, Электрические измерения неэлектрических величин, Госэнергоиздат, М., 1954.
  4. А. М. Ваграмян и З. А. Соловьева, Методы исследования процессов электроосаждения металлов, Изд-во АН СССР, М., 1955.
  5. Н. М. Беляев, Сопротивление материалов, Гостехиздат, М., 1954.
  6. С. П. Тимошенко, Пластинки и оболочки, Гостехиздат, 1948.
  7. К. Б. Карандеев, Мостовые методы измерения, Гостехиздат, УССР, 1953.
-

# К ОПРЕДЕЛЕНИЮ КОЭФФИЦИЕНТОВ ДИФфуЗИИ В РАСПЛАВЛЕННЫХ ОКИСЛАХ

Ю. П. Никитин, О. А. Есин и Е. С. Воронцов

Определение коэффициентов диффузии в жидкостях, особенно при высоких температурах, сильно затруднено конвекционным переносом. Для получения надежных данных необходимо применение нескольких независимых методов, основывающихся на принципиально различных закономерностях. Большое значение коэффициентов диффузии в расплавленных окислах для металлургии, силикатной промышленности и геохимии побудило нас проверить измерения двумя способами — при помощи радиоактивных индикаторов [1] и путем поляризации электродов переменным током [2, 3].

На поверхность расплава  $\text{CaO-Al}_2\text{O}_3\text{-SiO}_2$ , находящегося в узком канале из окиси алюминия при  $1500^\circ\text{C}$ , наносился непостоянный источник диффузии, меченный изотопом  $\text{Fe}^{59}$ . По прошествии определенного времени, при котором изотоп не достигал дна канала, опыт прекращался. Установившийся градиент концентрации определялся измерением интенсивности излучения в ряде точек. Для расчета коэффициента диффузии  $D$  использовалось уравнение

$$D = \frac{x_2^2 - x_1^2}{4t \ln c_1/c_2}, \quad (1)$$

в котором  $t$  — время опыта, а  $c_1$  и  $c_2$  — концентрации изотопа на расстояниях  $x_1$  и  $x_2$  от зеркала расплава.

Наряду с этим в шлаках той же системы изучалась поляризация переменным током различных частот  $\omega$  жидких электродов из ферросплавов. При этом определялись так называемые омическое и емкостное сопротивления электродов [2].

Первое складывается из сопротивления электролита  $R_{\text{эл}}$ , сопротивления реакции  $R_{\text{реакц}}$  и сопротивления диффузии  $R_{\text{диф}}$ . Откладывая по оси ординат общее омическое сопротивление электрода, а по оси абсцисс —  $\omega^{-1/2}$ , можно графически найти  $R_{\text{диф}}$ , так как только оно зависит от частоты применяемого тока  $\omega$  [2]. Величина  $R_{\text{диф}}$  связана с коэффициентом диффузии  $D$  и концентрацией потенциалопределяющих ионов  $c$  в электролите соотношением:

$$R_{\text{диф}} = \frac{RT}{n^2 F^2} \frac{1}{c} \sqrt{\frac{2}{D\omega}}. \quad (2)$$

В нем  $R$  — газовая постоянная,  $T$  — абсолютная температура,  $F$  — константа Фарадея, а  $n$  — заряд иона. При помощи уравнения (2) рассчитывались значения  $D$  для ионов железа. Результаты, полученные обоими методами, представлены в таблице.

Величины коэффициентов диффузии ионов железа  
в расплавах  $\text{CaO-Al}_2\text{O}_3\text{-SiO}_2$ , определенные двумя  
методами

Состав шлага	$t, ^\circ\text{C}$	$D, \text{см}^2 \text{сек}^{-1}$	
		определенный при помощи изотопов	по $R_{\text{диф}}$
30% CaO, 15% $\text{Al}_2\text{O}_3$ 54% $\text{SiO}_2$ , 0,6—0,8% FeO	1500		2,4—3,1·10 <sup>-6</sup>
43% CaO, 21% $\text{Al}_2\text{O}_3$ 35% $\text{SiO}_2$ и примеси	1500	2,1—5,0·10 <sup>-6</sup>	

Близость полученных величин говорит о том, что оба применяющихся метода в выбранных условиях дают достаточно надежное значение коэффициента диффузии.

Уральский Политехнический  
институт им. С. М. Кирова  
Свердловск

Поступила  
6.V.1957

## ЛИТЕРАТУРА

1. И. С. Куликов и И. А. Попов, Применение радиоактивных изотопов в металлургии, Металлургиздат, Москва, 1956, стр. 141.
2. Б. В. Эршлер, Ж. физ. химии, 22, 683, 1948.
3. Б. В. Эршлер и К. И. Розенталь, Труды совещания по электрохимии, Изд-во АН СССР, Москва, 1953, стр. 446—450.

# ПОПЫТКА ОЦЕНКИ ПЕРВОЙ КОНСТАНТЫ ГИДРОЛИЗА ДЛЯ ИОНА Pa(V)

В. А. Михайлов

Первую константу гидролиза многовалентных катионов  $K_h^*$  обычно связывают с величиной ионного потенциала  $z/r_i$ . Однако при применении кристаллохимических ионных радиусов  $r_i$  единой зависимости  $pK_h$  от ионного потенциала не наблюдается (рис. 1). Скорее можно считать, что для каждого значения  $z$  точки укладываются на отдельные отрезки прямых.

А. Ф. Капустинский, С. И. Дракин и Б. М. Якушевский [1] ввели систему радиусов катионов в водном растворе  $r_{aq}$ , превышающих кристаллохимические радиусы по

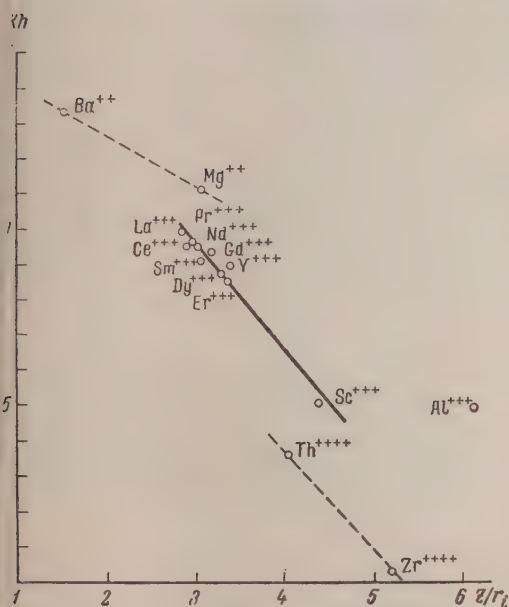


Рис. 1

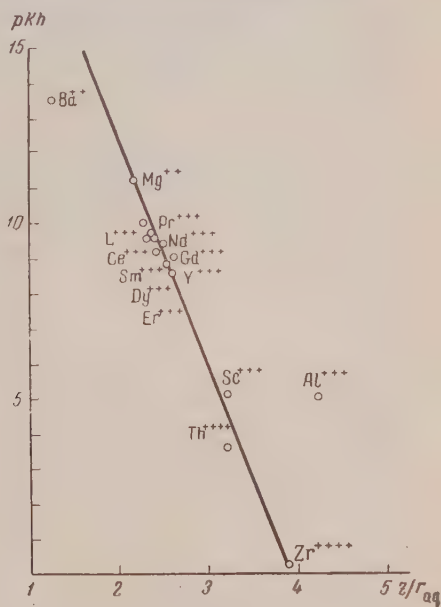


Рис. 2

Гольдшмидту на  $0,28\text{\AA}$ . Ими было показано, что ионный потенциал  $z/r_{aq}$  является простой и достаточно универсальной электростатической характеристикой гидратированных ионов. Косвенным подтверждением правильности этой системы радиусов ионов в водном растворе является совпадение вычисленных с их помощью значений энергии гидратации катионов, с электронной оболочкой благородного газа с экспериментальными [2].

Поскольку кристаллохимический радиус иона Pa(V) по Гольдшмидту неизвестен, нами использовались кристаллохимические радиусы по Захариазену, взятые, как и экспериментальные значения  $pK_h$ , из [3] (стр. 257, 627). Для перехода к  $r_{aq}$  кристаллохимические радиусы по Захариазену необходимо увеличить на  $0,26\text{\AA}$ . Как видно из рис. 2, при применении полученных таким образом радиусов ионов в водном растворе все имеющиеся значения  $pK_h$  для ионов с конфигурацией инертного газа (за исключением  $\text{Ba}^{2+}$  и  $\text{Al}^{3+}$  \*) с погрешностью, не превышающей одной единицы  $pK_h$ , уклады-

\* Аллюминий, по-видимому, даже при малых концентрациях образует в водном растворе многоядерные ионы типа  $\text{Al}_6(\text{OH})_{15}^{3+}$  [4].



ваются на одну прямую, описываемую уравнением

$$pK_h = 25,0 - 6,4 \frac{z}{r_{aq}}$$

(коэффициенты найдены методом наименьших квадратов).

Радиус иона  $\text{Pa(V)}$  по Захариазену равен  $0,90 \text{ \AA}$  ( $r_{aq} = 1,16 \text{ \AA}$ ). Расчет по приведенному выше уравнению дает для первой константы гидролиза  $pK_h = -3 \pm 1$ , т. е.  $K_h = 10^{3 \pm 1}$ . Такое высокое значение константы гидролиза хорошо согласуется с имеющимися качественными данными о гидролизе ионов  $\text{Pa(V)}$ .

Необходимо отметить, что кристаллохимические радиусы по Захариазену noticeably отличаются от радиусов по Гольдшмидту и при применении последних также имеет место единая линейная зависимость  $pK_h$  от  $z/r_{aq}$ .

Химико-технологический институт  
им. Д. И. Менделеева  
Москва

Поступила  
29.V.1957

#### ЛИТЕРАТУРА

1. А. Ф. Капустинский, С. М. Дракин и Б. М. Якушевский, Ж. физ. химии, **27**, 433, 1953.
2. В. А. Михайлов и С. И. Дракин, Ж. физ. химии, **29**, 2133, 1955.
3. Актиниды, Под ред. Г. Сиборга и Дж. Каца, ИИЛ, М., 1955.
4. G. Biedermann, Recueil trav. chim., **75**, 716, 1956.

О ВЛИЯНИИ ЕМКОСТИ СУЛЬФОСТИРОЛЬНЫХ КАТИОНОВ  
НА ИОНООБМЕННОЕ РАВНОВЕСИЕЕ. П. Чернева, А. Б. Паников, С. Р. Барабанов  
и Н. Н. Туницкий

Вопрос о влиянии емкости ионитов на их селективность в достаточной степени не изучен. В статье Баумана (см. [1]) указывается, что простые теоретические соображения заставляют предполагать, что избирательность поглощения двухвалентных ионов, по сравнению с одновалентными, должна возрастать с увеличением обменной емкости ионита. Это предположение, однако, не было проверено. В работе [2] были изучены коэффициенты селективности для обмена ряда ионов на  $\text{NH}_4^+$  на растворимых полистиролсульфонислотах и полиакриловых смолах с различными емкостями. В работе Бойда [3] изучены селективности в зависимости от степени десульфирования катионита даукс-50. При этом было найдено, что при увеличении степени десульфирования селективность смолы к натрию падает, а к серебру растет. Однако десульфирование могло приводить не только к изменению структуры, но и к изменению химического состава катионита.

Учитывая недостатки метода десульфирования для изучения селективности, нами были синтезированы сильнокислотные сульфостирольные катиониты с различным содержанием сульфогрупп и межкислотных связей по методу прямого сульфирования, разработанного под руководством одного из авторов данной работы. На образцах с разной емкостью были изучены равновесия  $\text{Na} - \text{H}$ ,  $\text{Rb} - \text{H}$  и  $\text{Ca} - \text{H}$ . Во всех случаях использовались 0,1 *N* растворы. Селективность обмена характеризовалась нами коэффициентом селективности  $k$ , определяемым соотношением

$$k = \frac{N_{\text{M}} n_{\text{H}}}{n_{\text{M}} N_{\text{H}}}, \quad (1)$$

где  $N$  и  $n$  — эквивалентные доли ионов в смоле и соответственно в растворе, индекс  $\text{H}$  указывает на водородные ионы,  $\text{M}$  — на ионы металлов ( $\text{Na}$ ,  $\text{Rb}$  и  $\text{Ca}$ ). Для обмена между одновалентными ионами, как известно,  $k$  постоянно, если допустить, что отношения коэффициентов активности ионов в смоле и растворе являются константами [4]. В действительности из-за неточности этого предположения  $k$  несколько зависит от состава смолы или раствора. Обмен ионов разной валентности, например  $\text{Ca}$  и  $\text{H}$ , описывается уравнением [1, 4]:

$$k = \frac{N_{\text{Ca}}^{1/2}}{n_{\text{Ca}}^{1/2}} \frac{n_{\text{H}}}{N_{\text{H}}} \sqrt{\frac{c_{\text{p}}}{c_{\text{c}}}}, \quad (2)$$

где  $k$  постоянно, если допустима замена активностей на концентрации,  $c_{\text{p}}$  — общая концентрация раствора,  $c_{\text{c}}$  — концентрация сульфогрупп в ионите. Исследование равновесия  $\text{Na} - \text{H}$  с двумя образцами смол с приблизительным содержанием дивинилбензола около 9% и емкостью первого образца, равной 1,34 мг-экв/г и второго 4,87 мг-экв/г, показало, что коэффициенты селективности  $k$ , вычисленные по уравнению (1), практически не зависят от состава смолы или раствора. Величина  $k$  близка к единице, при этом для смолы с малой емкостью  $k$  несколько ниже (приблизительно на 20%), чем для смолы с высокой емкостью. Исследование равновесия  $\text{Rb} - \text{H}$  на тех же смолах показало, что в области от 62% до 80%  $\text{Rb}$  для смолы с емкостью 4,87 мг-экв/г среднее значение  $k \approx 2,5$ , для смолы с емкостью 1,34 мг-экв/г  $k \approx 2,1$ , т. е. несколько ниже. Представляется поэтому вероятным, что селективность смол с малой емкостью для  $\text{Rb}$ , так же как и для  $\text{Na}$ , несколько ниже, чем для высокемких смол.

Значение  $k$ , вычисленное для обмена  $\text{Ca} - \text{H}$ , оказывается значительно больше и сильно возрастает с понижением содержания  $\text{Ca}$  в смоле. Однако в этом случае ионообменное равновесие в действительности описывается уравнением (2), которое указывает на влияние емкости на селективность. При исследовании равновесия  $\text{Ca} - \text{H}$  на смолах, содержащих приблизительно 2% дивинилбензола, было найдено среднее

значение  $k \sqrt{\frac{c_{\text{p}}}{c_{\text{c}}}} = 4$  для смолы с емкостью 1,98 мг-экв/г и  $k \sqrt{\frac{c_{\text{p}}}{c_{\text{c}}}} = 8$  для смолы с емкостью, равной 4,94 мг-экв/г (для эквивалентной доли  $\text{Ca}$  от 0,80 до 0,95). Таким обра-

зом, величина  $k$  возрастает с повышением емкости смолы, что находится в качественном согласии с уравнением (2). Для смолы с содержанием дивинилбензола приблизительно 7% в области эквивалентных долей Са в смоле от 0,5 до 0,95 было найдено, что для высокоемкой смолы (4,70 мг-экв/г) величина  $k\sqrt{\frac{c_c}{c_p}}$  близка к 11, для смолы со средней емкостью (2,0 мг-экв/г)  $k\sqrt{\frac{c_c}{c_p}} \approx 7$ , для смолы с емкостью (0,18 мг-экв/г) отмечается дальнейшее значительное падение этой величины. Величина  $k\sqrt{\frac{c_c}{c_p}}$  для каждого сорта смолы несколько растет с повышением эквивалентной доли Са в смоле. При исследовании равновесия Са — Н на смоле с высоким содержанием дивинилбензола (порядка 16%) было найдено, что величина  $k\sqrt{\frac{c_c}{c_p}}$  также значительно увеличивается при изменении емкости смолы от 2,08 до 4,76 мг-экв/г в области эквивалентных долей от 0,5 до 0,95.

Физико-химический  
институт им. Л. Я. Карпова  
Москва

Поступила  
9.X.1957

#### ЛИТЕРАТУРА

1. Ion Exchange, edited by F. C. Nachod. N. Y., Ионный обмен, ИИЛ., М., 1951.
2. K. Hutschneker a. H. Deuel, Helv. Chim. Acta, 39, 1038, 1956.
3. G. F. Boyd, B. A. Soldano a. O. D. Bonner, J. Phys. Chim., 60, 530, 1956.
4. Б. П. Никольский, Сб. Хроматография, Изд-во ЛГУ, 1956, стр. 5.

## К СТАТИСТИЧЕСКОЙ ТЕОРИИ КОНДЕНСИРОВАННЫХ СИСТЕМ

Л. А. Потт

В работе [1] была показана возможность введения новой статистической схемы изучения конденсированных систем, свободной от необходимости привлечения искусственных модельных представлений обобщенной теории свободного объема (см. [2]).

В отличие от ранее известных в литературе частичных функций распределения, дающих вероятности конфигураций различных групп молекул и относящихся непосредственно к конфигурационному пространству всей системы [3], в работе [1] введена система частичных функций распределения, учитывающих условные вероятности: определенная конфигурация произвольной группы молекул в одной ячейке сопровождается определенным набором конфигураций в других ячейках.

Разделим весь объем  $V$  гомогенной однокомпонентной системы на  $N$  равных ячеек ( $N$  — число молекул системы). Тогда выражение

$$F_{sk}(q^1, \dots, q^s) dq^1 \dots dq^s$$

определяет вероятность того, что положения произвольной группы  $s$  молекул лежат соответственно в бесконечно малых объемах  $dq^1, \dots, dq^s$  около точек  $q^1, \dots, q^s$ , находящихся, в свою очередь, в одной из ячеек, и при условии, что остальные  $N-s$  молекул распределены таким образом, что в любой другой ячейке можно встретить не больше  $k$  частиц.

Исходя далее из конфигурационной части общего гиббсовского распределения для всей системы, получены интегро-дифференциальные уравнения, которым подчиняются указанные функции распределения.

В частности, определяющие уравнения для функций  $F_{11}$ ,  $F_{12}$  и  $F_{22}$  имеют следующий вид:

$$\frac{\partial F_{11}(q)}{\partial q^\alpha} + \frac{1}{\theta} \int_{V-v_1} \frac{\partial \Phi(|q-q'|)}{\partial q^\alpha} F_{11}^{(1)}(q, q') dq' = 0; \quad (1)$$

$$\begin{aligned} \frac{\partial F_{12}(q^1)}{\partial q^{1\alpha}} + \frac{1}{\theta} \int_{V-v_1} \frac{\partial \Phi(|q^1-q^2|)}{\partial q^{1\alpha}} F_{12}^{(1)}(q^1, q^2) dq^2 + \\ + \frac{1}{\theta} \int_{V-v_1} \int_{V-v_1} \frac{\partial \Phi(|q^1-q^2|)}{\partial q^{1\alpha}} F_{22}^{(1)}(q^1, q^2, q^3) dq^2 dq^3 = 0; \end{aligned} \quad (2)$$

$$\begin{aligned} \frac{\partial F_{22}(q^1, q^2)}{\partial q^{1\alpha}} + \frac{1}{\theta} \frac{\partial \Phi(|q^1-q^2|)}{\partial q^{1\alpha}} F_{22}(q^1, q^2) + \frac{1}{\theta} \int_{V-v_1} \frac{\partial \Phi(|q^1-q^3|)}{\partial q^{1\alpha}} F_{12}^{(2)}(q^1, q^2, q^3) dq^3 + \\ + \frac{1}{\theta} \int_{V-v_1} \int_{V-v_1} \frac{\partial \Phi(|q^1-q^3|)}{\partial q^{1\alpha}} F_{22}^{(2)}(q^1, q^2, q^3, q^4) dq^3 dq^4 = 0, \end{aligned} \quad (3)$$

где  $v_1$  — молекулярный объем, равный объему ячейки,  $\Phi(|q^1-q^2|)$  — потенциальная энергия взаимодействия пары молекул, координаты которых  $q^{1\alpha}$  и  $q^{2\alpha}$  ( $\alpha = 1, 2, 3$ ),  $0 = kT$ . Выражение  $F_{sk}^{(p)}(q^1, \dots, q^{s+p}) dq^1 \dots dq^{s+p}$  (в частности  $F_{12}^{(1)}(q^1, q^2) dq^1 dq^2$ ,  $F_{22}^{(2)}(q^1, \dots, q^4) dq^1 \dots dq^4$  и т. д.) означает вероятность того, что в произвольном молекулярном объеме  $v_i$ , за исключением избранного  $v_1$ , в котором около координат  $q^1 \dots q^p$  находится  $p$  произвольных частиц, будет  $s$  молекул около координат  $q^{p+1}, \dots, q^{p+s}$ , а распределение остальных частиц учитывается так же, как функцией  $F_{sk}(q^{p+1}, \dots, q^{p+s})$ . Функции  $F_{sk}^{(p)}$  можно аппроксимировать через функции  $F_{sk}$ .

Полученные интегро-дифференциальные уравнения могут быть преобразованы к виду, удобному для приближенных вычислений.



Пусть  $v_0$  — некоторый фиксированный объем, меньший молекулярного объема  $v$  (для наглядности допустим, что  $v = v_0$  соответствует случаю плотной упаковки частиц). Тогда двойной интеграл, входящий, например, в уравнение (3), можно представить:

$$\begin{aligned} & \int_{V-v_1} \int_{V-v_1} \frac{\partial \Phi(|q^1 - q^3|)}{\partial q^{1\alpha}} F_{22}^{(2)}(q^1, \dots, q^4) dq^3 dq^4 = \\ & = (v - v_0) \int_{V-v_1} \frac{\partial \Phi(|q^1 - q^3|)}{\partial q^{1\alpha}} dq^3 \frac{1}{v - v_0} \int_{\sum_{i=2}^N v_i} F_{22}^{(2)}(q^1, \dots, q^4) dq^4 = \\ & = (v - v_0) \int_{V-v_1} \frac{\partial \Phi(|q^1 - q^3|)}{\partial q^{1\alpha}} \bar{F}_{22}^{(1)}(q^1, q^2, q^3) dq^3; \end{aligned}$$

$\bar{F}_{22}^{(2)}$  означает усреднение функции распределения  $F_{22}^{(2)}$  по координате  $q^4$  в объеме  $v_i - v_0$ .

С учетом произведенных усреднений определяющие уравнения для искомых функций распределения  $F_{12}$  и  $F_{22}$  можно записать:

$$\begin{aligned} & \frac{\partial F_{12}(q)}{\partial q^\alpha} + \frac{1}{\theta} \int_{V-v_1} \frac{\partial \Phi(|q - q'|)}{\partial q^\alpha} F_{12}^{(1)}(q, q') dq' + \\ & + \frac{v - v_0}{\theta} \int_{V-v_1} \frac{\partial \Phi(|q - q'|)}{\partial q^\alpha} \bar{F}_{22}^{(1)}(q, q') dq' = 0; \end{aligned} \quad (4)$$

$$\begin{aligned} & \frac{\partial F_{22}(q^1, q^2)}{\partial q^{1\alpha}} + \frac{1}{\theta} \frac{\partial \Phi(|q^1 - q^2|)}{\partial q^{1\alpha}} F_{22}(q^1, q^2) + \frac{1}{\theta} \int_{V-v_1} \frac{\partial \Phi(|q^1 - q^3|)}{\partial q^{1\alpha}} F_{12}^{(2)}(q^1, q^2, q^3) dq^3 + \\ & + \frac{v - v_0}{\theta} \int_{V-v_1} \frac{\partial \Phi(|q^1 - q^3|)}{\partial q^{1\alpha}} \bar{F}_{22}^{(2)}(q^1, q^2, q^3) dq^3 = 0. \end{aligned} \quad (5)$$

В общем виде для функции  $F_{ss}$  имеем уравнение

$$\begin{aligned} & \frac{\partial F_{ss}(q^1, \dots, q^s)}{\partial q^{1\alpha}} + \frac{1}{\theta} \frac{\partial U_s}{\partial q^{1\alpha}} F_{ss}(q^1, \dots, q^s) + \\ & + \frac{1}{\theta} \int_{V-v_1} \frac{\partial \Phi(|q^1 - q^{s+1}|)}{\partial q^{1\alpha}} F_{1s}^{(s)}(q^1, \dots, q^{s+1}) dq^{s+1} + \dots \\ & + \frac{(v - v_0)^{s-1}}{\theta} \int_{V-v_1} \frac{\partial \Phi(|q^1 - q^{s+1}|)}{\partial q^{1\alpha}} \bar{F}_{ss}^{(s)}(q^1, \dots, q^{s+1}) dq^{s+1} = 0. \end{aligned} \quad (6)$$

Для конденсированных систем, в частности для сильно сжатого газа (при высоких и сверхвысоких давлениях),  $v - v_0$  можно принять за малый параметр в разложении искомых функций распределения.

Пусть

$$F_{sk} = F_{sk(0)} + (v - v_0) F_{sk(1)} + (v - v_0)^2 F_{sk(2)} + \dots \quad (7)$$

Очевидно, что  $F_{sk(0)} = 0$ , ибо при  $v \rightarrow v_0$  в одной ячейке заведомо нельзя встретить две или более частиц (и только  $F_{1k(0)} \neq 0$ ). Так как входящие в полученные уравнения (4) — (6) интегралы зависят от параметра  $v - v_0$ , то последние, являющиеся функциями от молекулярного объема, также разлагаются в ряды по малому параметру  $v - v_0$ .

Подставив принятые разложения в уравнения (4), (5) и приравняв к нулю члены при одинаковых степенях  $v - v_0$ , получим системы уравнений для функций распределения гомогенной однокомпонентной системы. В частности, для двойной функции система уравнений приобретает следующий вид:

$$\begin{aligned} & \frac{\partial F_{22(1)}(q^1, q^2)}{\partial q^{1\alpha}} + \frac{1}{\theta} \frac{\partial \Phi(|q^1 - q^2|)}{\partial q^{1\alpha}} F_{22(1)} + \frac{1}{\theta} \int_{V-v_0} \frac{\partial \Phi(|q^1 - q^3|)}{\partial q^{1\alpha}} F_{12(0)}^{(2)}(q^1, q^2, q^3) dq^3 = 0; \\ & \frac{\partial F_{22(2)}(q^1, q^2)}{\partial q^{1\alpha}} + \frac{1}{\theta} \frac{\partial \Phi(|q^1 - q^2|)}{\partial q^{1\alpha}} F_{22(2)} + \frac{1}{\theta} \int_{V-v_0} \frac{\partial \Phi(|q^1 - q^3|)}{\partial q^{1\alpha}} F_{12(1)}^{(2)}(q^1, q^2, q^3) dq^3 + \\ & + \frac{1}{\theta} \int_{V-v_0} \frac{\partial \Phi(|q^1 - q^3|)}{\partial q^{1\alpha}} \bar{F}_{22(1)}^{(2)}(q^1, q^2, q^3) dq^3 = 0. \end{aligned} \quad (8)$$

Для решения системы (8) необходимо знание функции  $F_{12}$ . Для этого рассмотрим уравнение (4). Разлагая функции  $F$  и входящие в уравнение интегралы в ряд по степеням  $v - v_0$  и подставляя затем указанные разложения в уравнение (4), получим для нулевого приближения  $F_{12(0)}$  уравнение:

$$\frac{\partial F_{12(0)}(q)}{\partial q^\alpha} + \frac{1}{\theta} \int_{v-v_0} \frac{\partial \Phi(|q-q'|)}{\partial q^\alpha} F_{12(0)}^{(1)}(q, q') dq' = 0. \quad (9)$$

Уравнение (9) по виду совпадает с уравнением для одинарной функции (1). Это означает, что в основном приближении  $F_{12}$  определяется равномерным распределением по объему  $V$  молекул системы, когда в каждой ячейке можно встретить не больше одной частицы, т. е.  $F_{12(0)} = F_{11}$ . Для решения уравнения (9) функцию  $F_{12(0)}^{(1)}$  аппроксимируем, как и функцию  $F_{11}$  [1]. При знании  $F_{12(i)}$  отыскание последовательных приближений двойной функции (аналогично и для других функций) сводится к решению дифференциальных уравнений.

Чтобы получить выражение конфигурационного интеграла

$$Q_N = \int_V \dots \int_V \exp \left\{ -\frac{U_N}{\theta} \right\} dq_1 \dots dq_N,$$

где

$$U_N = \sum_{1 \leq i < j \leq N} \Phi(|q_i - q_j|)$$

потенциальная энергия системы,  $q_1, \dots, q_N$  в отличие от  $q^1, \dots, q^N$  — координаты фиксированных молекул, необходимо последовательно отыскивать функции  $F_{sk}$ .

Рассмотрим следующую сумму:

$$\begin{aligned} F_{0k} + \int_{v_1} F_{1k}(q) dq + \frac{1}{2} \int_{v_1} \int_{v_1} F_{2k}(q^1, q^2) dq^1 dq^2 + \dots \\ + \frac{1}{k!} \int_{v_1} \dots \int_{v_1} F_{kk}(q', \dots, q^k) dq^1 \dots dq^k. \end{aligned} \quad (10)$$

Число членов в сумме (10) значительно меньше  $N$ , так как значение  $k$  — члена суммы достаточно быстро убывает с ростом номера  $k$ . Действительно, вероятность встретить в молекулярном объеме  $v$   $k$  частиц, где  $k$  достаточно большое число, становится чрезвычайно малой величиной.

Введенные функции распределения  $F_{sk}$  нормируются так, что указанная сумма (10) равна единице. Это следует из того, что последняя равна

$$\int_V \dots \int_V D_N(q_1, \dots, q_N) dq_1 \dots dq_N = 1 \quad (11)$$

Согласно определениям [1]

$$\begin{aligned} F_{sk}(q^1, \dots, q^s) = N! \sum_{p_1=0}^C \sum_{p_2=0}^{[N-s/k]} \dots \sum_{p_{k-1}=0}^{[N-s/2]} \frac{1}{(k!)^{p_1} [(k-1)!]^{p_2} \dots} \\ \int_{v_i} \dots (k) \int_{v_i} \dots \int_{v_j} \dots (k) \int_{v_j} \dots \int_{v_\xi} D_N dq_{s+1} \dots dq_N \\ i \neq j \neq \dots \neq \xi \quad i, j, \dots = 2, 3, \dots, N \\ p_1 k + p_2 (k-1) + \dots = N-s, \end{aligned} \quad (12)$$

— число интегрирований с одинаковыми пределами,  $p_1$  — число  $k$  — кратных интегрирований (при разных пределах),  $C$  — число членов суммы, означающее возможное число физически различных размещений частиц в  $N-1$  ячейках так, чтобы в  $p_1$  ячейках было по  $k$  частиц, в  $p_2$  ячейках по  $k-1$  частиц и т. д.

$$C = C_{N-1}^{p_1(k-1)+p_2(k-2)+\dots+s-1}.$$

Подставим интегралы (12) в сумму (10). Тогда получим выражение:

$$N! \sum_{p_1=0}^C \sum_{p_{k-1}=0}^{[N/k]} \dots \sum_{p_{k-1}=0}^{[N/2]} \frac{1}{(k!)^{p_1} \dots} \int_{v_i} \dots (k) \int_{v_i} \dots \int_{v_j} \dots (k) \int_{v_j} \dots \int_{v_e} \dots (k-1) \int_{v_e} \dots \int_{v_\xi} \dots (k-1) \int_{v_\xi} \dots \int_{v_s} D_N dq_1 \dots dq_N. \quad (13)$$

Из последней суммы видно, что каждая частица одна, а также в комбинациях с двумя, тремя  $(k-1)$  частицами поживает в объеме  $v$ , а это значит, что указанная сумма равна интегралу (11).

Функции распределения  $F_{sk}$  определялись путем интегрирования функции  $D_N$ . Каждая функция  $F_{sk}$ , входящая в сумму (10), содержит множителем конфигурационный интеграл  $Q_N^{-1}$ , так как  $D_N = Q_N^{-1} \exp \{-U_N / \theta\}$ . Тогда  $Q_N$  вычисляем как нормирующий множитель в сумме (10).

Так, например, при сверхвысоких давлениях газа, если учитывать только одинарную функцию распределения

$$F_{11} = F_{11(0)} + (v - v_0) F_{11(1)} + \dots$$

и полагая  $F_{sk} = 0$  при  $s, k > 1$  конфигурационный интеграл будет равен

$$Q_N = \int_v F_{11}(q) dq = \int_v F_{11(0)} dq + (v - v_0) \int_v F_{11(1)} dq + \dots \quad (14)$$

### Выводы

1. Ранее полученные интегро-дифференциальные уравнения, определяющие частичные статистические функции распределения для молекул конденсированных систем, допускают выделение малого параметра.

2. Отыскание искомых функций распределения возможно в виде разложений по малому параметру.

3. Показано, что по известным частичным функциям распределения можно вычислить конфигурационный интеграл системы.

Белорусский лесотехнический  
институт  
Минск

Поступила  
14.X.1957

### ЛИТЕРАТУРА

1. Л. А. Ротт, Ж. физ. химии, **31**, 1468, 1957.
2. J. de Воег, Proc. Roy. Soc., **A1120**, 4, 1952.
3. Н. Н. Боголюбов, Проблемы динамической теории в статистической физике, Гостехиздат, 1946.

## О МЕТОДИКЕ РАСЧЕТА КОНСТАНТ ЛОГАРИФМИЧЕСКОГО ЗАКОНА СКОРОСТИ ОКИСЛЕНИЯ СПЛАВОВ

Р. Ф. Мочарнюк и В. А. Лавренко

Экспериментальные кривые коррозии — время обычно описываются одним из следующих уравнений:

$$y = k_1 t + k_2; \quad (1)$$

$$y^2 = k_1 t + k_2; \quad (2)$$

$$y = k_1 \ln(k_2 t + k_3); \quad (3)$$

$$y = k_1 [1 - e^{-k_2(t-k_3)}], \quad (4)$$

где  $y$  — прирост веса, отнесенный к единице площади образца,  $t$  — время окисления,  $k_1$ ,  $k_2$  и  $k_3$  — константы скорости окисления.

Обычно при высоких температурах при окислении металлов и сплавов кинетические кривые соответствуют уравнениям (1) и (2). Применимость уравнений (1) — (3) для характеристики кинетики окисления была обсуждена в работах [1, 2].

Уравнение (4) применяется реже, например, при определенных условиях для железа и цинка [3] и, в особенности, для алюминия и его сплавов [4].

При более низких температурах кривые окисления металлов и сплавов чаще всего следуют уравнению (3).

В этом случае при обработке экспериментальных данных возникает трудность в определении констант  $k_1$ ,  $k_2$  и  $k_3$  уравнения

$$y = k_1 \ln(k_2 t + k_3).$$

Тамман и Костер [5], представив логарифмический закон скорости в виде

$$t = a(e^{by} - 1),$$

где  $a$  — константа, не зависящая от температуры,  $b$  — константа, зависящая от температуры, предложили приближенный метод расчета констант уравнения.

Обработывая экспериментальные данные, некоторые авторы, например [6], представляют логарифмический закон в виде

$$t = \beta(e^{W/\alpha} - 1)$$

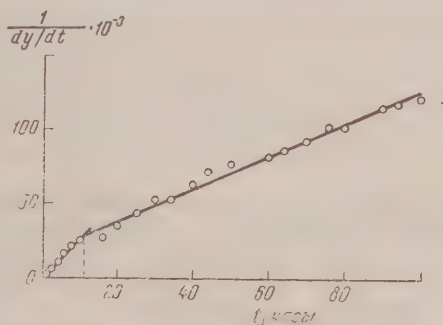
( $W$  — прирост веса), не давая, однако, методики расчета констант  $\alpha$  и  $\beta$ .

Только Чэмпсон и Уайт [7] дали так называемый прямой метод расчета констант  $k_1$ ,  $k_2$  и  $k_3$  уравнения (3), который находится в более удовлетворительном согласии с экспериментальными данными, чем ранее, или же предложенный метод при  $k_3 = 1$  [7].

Новая методика Чэмпсона и Уайта полезна для количественной характеристики случаев окисления, следующих логарифмическому закону скорости. Однако, как можно видеть из литературных данных, эта методика до сих пор не нашла должного применения.

Представив логарифмическую формулу (3) в виде

$$\frac{dt}{dy} = \frac{t}{k_1} + \frac{k_3}{k_1 k_2}$$



Зависимость величины обратной скорости окисления сплава от времени



и далее

$$\frac{1}{dy/dt} = At + B,$$

где

$$A = 1/k_1 \text{ и } B = k_3/k_1k_2,$$

можно определить константы уравнения (3) построением графической зависимости

$$\frac{1}{dy/dt} - t; \quad k_1 = \frac{1}{A}.$$

Поскольку  $k_2 = \frac{Ak_3}{B}$ ,

$$\lg k_3 = \frac{yA}{2,303} - \lg \left( \frac{A}{B} t + 1 \right). \quad (5)$$

Эта методика расчета констант логарифмического закона скорости была успешно использована нами при анализе кривых коррозии — время для окисления железо-медного (30% Cu) сплава при температурах 300 и 400°С.

Окисление образцов было проведено одним из авторов по обычной методике непрерывного взвешивания.

Из построения графика  $\frac{1}{dy/dt} - t$  для 400°С (рисунок) находим

$$A = \operatorname{tg} \alpha = 1,02 \cdot 10^3; \quad B = 17,0 \cdot 10^3.$$

Из уравнения (5)  $k_3 = 0,444$  и  $k_2 = 0,0265$  (1/час)  $k_1 = 0,98 \cdot 10^{-3}$  (г/см<sup>2</sup>). Уравнение (3) для 400°С принимает вид

$$y = 0,98 \cdot 10^{-3} \ln (0,0265 t + 0,444).$$

Аналогичным путем для окисления железо-медного сплава при 300°С было получено логарифмическое уравнение вида

$$y = 0,281 \cdot 10^{-3} \ln (0,0176 t + 0,445).$$

Показано применение наиболее приемлемого метода расчета констант уравнения  $y = k_1 \ln (k_2 t + k_3)$  логарифмического закона скорости коррозии.

На основании рассмотренной методики получены кинетические уравнения окисления железо-медного сплава при температурах 300 и 400°С.

Академия наук УССР  
Институт металлокерамики  
спецсплавов  
Киев

Поступила  
27.IX.1957

#### ЛИТЕРАТУРА

1. H. A. Miley, Trans. Electrochem. Soc., **81**, 391, 1942.
2. U. R. Evans, Electrochem. Preprint, Soc., No. **91**—5, 73, 1947.
3. G. D. Bengough, A. R. Lee and F. Wormwell, Proc. Roy. Soc., A **134**, 308, 1931.
4. F. A. Champion, Trans. Faraday Soc., **41**, 593, 1945.
5. G. Tamman und W. Köster, Z. anorgan. und allgem. Chem., **123**, 196, 1922.
6. E. Gulbransen and K. Andrew, J. Metals., **1**, 741, 1949.
7. F. A. Champion and M. Whyte, J. Inst. Metals, **75**, 737, 1949.

# СЕНСИБИЛИЗАЦИЯ ФОТООКИСЛЕНИЯ БЕНЗАЛЬДЕГИДА ПРОИЗВОДНЫМИ АКРИДИНА

В. А. Никитин и А. В. Карякин

В развитие предыдущей работы [1] нами были проведены опыты по сенсibilизации фотоокисления бензальдегида к видимому свету производными акридина. Через охлажденные до  $-50^{\circ}\text{C}$  растворы бензальдегида в ацетоне (1:10 по объему), с добавками производных акридина или антрахинона (5 мг на 10 см<sup>3</sup>) или без них, барботировался в течение 7 часов сухой кислород с одновременным освещением  $\lambda = 435,9$  мμ. Поглощение растворов до и после опытов измерялось на инфракрасном спектрометре ИКС-11 в области 650—900 см<sup>-1</sup>.

Сенсибилизирующее действие различных производных акридина оценивалось величиной

$$\sigma = \frac{\alpha}{\alpha_0},$$

где  $\alpha = D_{709}/D_{754}$  ( $D_{709}$ ,  $D_{754}$  — оптические плотности инфракрасных полос поглощения бензойной кислоты (709 см<sup>-1</sup>) и бензальдегида (754 см<sup>-1</sup>);  $\alpha$  и  $\alpha_0$  соответствуют опытам по фотоокислению бензальдегида в присутствии сенсибилизатора и без него). Результаты опытов и подсчетов величин  $\alpha$  сведены в таблицу. В этой же таблице в двух

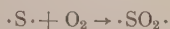
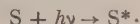
Результаты опытов по сенсibilизации фотоокисления бензальдегида производными акридина и антрахинона

Сенсибилизатор	$\sigma$	Наличие сенсибилизации	Наличие тушения флуоресценции кислородом для данного сенсибилизатора	$\Delta E$ , ккал
Без сенсибилизатора	1	—	—	—
1-Аминоакридин	0,3	нет*	нет	—
$\alpha$ -Аминоантрахинон	0,5	нет*	»	—
2-Аминоакридин	0,8	»	»	—
9-Аминоакридин	0,8	»	тушится	58
$\beta$ -Аминоантрахинон	1,6	сенсибилизирует	тушится	59
3,6-Диаминоакридин	1,7	»	»	52
Антрахинон	1,9	»	»	71
3-Аминоакридин	2,3	»	»	57

\* Здесь наблюдались значения  $\sigma$ , меньшие чем в опытах без сенсибилизатора (где  $\sigma = 1$ ). Погрешность определения  $\sigma$  в среднем составляет 20%, поэтому в случае 1-аминоакридина и  $\alpha$ -аминоантрахинона отличия  $\sigma$  от единицы превышают ошибки опыта, что заставляет нас предположить, что здесь имеет место ингибиторное действие этих производных на реакцию окисления бензальдегида. Нужно также заметить, что именно в этих двух случаях наблюдалось значительное потемнение растворов в ходе опытов.

последних столбцах даны сведения о наличии тушения флуоресценции для производных акридина и антрахинона [2] и значения  $\Delta E$ , соответствующие энергии, которая может быть передана сенсибилизатором бензальдегиду. Оценки  $\Delta E$  мы производили следующим образом.

В работе [1] для механизма сенсибилизации была предложена схема (S — сенсибилизатор, А — бензальдегид):



Последний этап этой схемы есть передача энергии возбуждения  $\Delta E$  от бирадикала  $\cdot\text{SO}_2\cdot$  на молекулу бензальдегида с переводом последней в бирадикал  $\cdot\text{A}\cdot$ , развивающий цепную реакцию. Эту энергию можно считать приблизительно равной энергии, освобождающейся при переходе  $\cdot\text{SO}_2\cdot \rightarrow \text{SO}_2$  с метастабильного триплетного  $^3E$  на основной уровень  $^1E^*$ . Из спектров поглощения и флуоресценции производных акридина и антрахинона можно найти положения синглетного возбужденного уровня  $^1E^*$ ; с другой стороны, известно, что уровень  $^3E$  в этом классе соединений лежит на  $\approx 0,2$  eV ниже, чем  $^1E^*$  [3]. Следовательно,  $\Delta E = ^1E^* - 0,2$  eV.

Из рассмотрения таблицы с учетом данных, полученных в работе [1], следует, что:

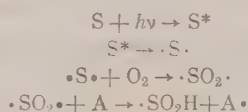
1) сенситизирующее действие обнаруживают только те производные, флуоресценция которых тушится кислородом. Наличие тушения, таким образом, является первым необходимым условием возможности сенситизации фотохимического окисления.

2) Это первое условие необходимо, но недостаточно, так как возможны случаи, когда тушение наблюдается, а сенситизирующее действие отсутствует (9-аминоакридин).

3) Сенситизация может осуществляться и в том случае, когда запаса энергии возбуждения сенситизатора недостаточно для перевода молекулы бензальдегида в бирадикальное состояние. Действительно, 3-аминоантрахинон, 3,6-диаминоакридин и 3-аминоакридин могут передать не более 50—60 ккал, а триплетный уровень бензальдегида лежит на высоте  $\approx 70$  ккал [4].

4) При наличии достаточного запаса энергии  $\Delta E$  наблюдается наиболее сильное сенситизирующее действие (например, антрахинон хотя и слабо поглощает  $\lambda = 435,9$  мμ, но обладает сильным сенситизирующим действием).

Таким образом, приведенная схема соответствует наиболее вероятному механизму, что реализуется при выполнении двух условий: флуоресценция  $S$  тушится кислородом и бирадикал  $\cdot\text{S}\cdot$  обладает достаточным запасом энергии для перевода  $\text{A}$  в метастабильное состояние  $\cdot\text{A}\cdot$ . Если второе условие не выполнено, то сенситизация фотоокисления может осуществляться другим путем, например — дегидрированием бензальдегида, как это предполагал А. Н. Теренин [5]:



Здесь цепную реакцию развивают радикалы  $\cdot\text{A}\cdot$ .

Авторы выражают глубокую признательность академику А. Н. Теренину, под руководством которого выполнялась эта работа.

Поступила  
10.XI.1957

#### ЛИТЕРАТУРА

1. А. В. Карякин и А. В. Шабля, Докл. АН СССР, 112, 688, 1957.
2. А. В. Карякин, Изв. АН СССР, сер. физ., 15, 556, 1951.
3. А. В. Карякин, А. Н. Теренин, Я. И. Калениченко, Докл. АН СССР, 67, 395, 1949; А. В. Карякин и А. Н. Теренин, Изв. АН СССР, сер. физ., 13, 19, 1949.
4. В. Л. Ермолаев, Оптика и спектроскопия, 1, 523, 1956.
5. А. Н. Теренин, О природе фотохимического акта при сенситизированном окислении кислородом и распаде гидроперекисей, Сб. «Вопросы хим. кинетики, катализа и реакционной способности», Изд-во АН СССР, М., 1955.

## ОБ ИЗМЕНЕНИИ КОНЦЕНТРАЦИИ $\text{Fe}^{2+}$ ПРИ ОБЛУЧЕНИИ РАСТВОРОВ В $4N \text{H}_2\text{SO}_4$

### 3. Спурны

При исследовании влияния концентрации  $\text{H}_2\text{SO}_4$  на окисление двухвалентного железа под действием излучения М. А. Проскурнин и соавторы [1] нашли, что в присутствии кислорода и в  $4N \text{H}_2\text{SO}_4$  начальный выход  $G_{\text{Fe}^{2+}} = 63$  (атомов на 100 eV поглощенной энергии излучения), в то время как  $G_{\text{Fe}^{3+}} = 16$ . Эту значительную разницу между количеством образовавшегося  $\text{Fe}^{3+}$  и исчезнувшего  $\text{Fe}^{2+}$  авторы объясняют образованием комплекса  $\text{Fe}^{2+}\cdot\text{O}\cdot$ , открытого Джорджем [2] в кислых растворах двухвалентного железа, насыщенных кислородом.

Авторы [1] облучали  $1\cdot 10^{-2} M$  растворы соли Мора  $\gamma$ -лучами  $\text{Co}^{60}$ . Двухвалентное железо они определяли перманганатометрическим методом, трехвалентное — спектрофотометрическим. Одинаковые результаты они получали при облучении тех же растворов ультрафиолетовыми лучами [3].

Во многих лабораториях не удалось воспроизвести их результатов по различным причинам. Дискуссия о существовании этого явления до сих пор еще не закончена [4]. Актуальный характер этой проблемы побудил нас к попытке измерить начальные выходы  $G_{\text{Fe}^{3+}}$  и  $G_{\text{Fe}^{2+}}$  при облучении одинаковых растворов  $\gamma$ -лучами  $\text{Ra}^{226}$  и рентгеновскими лучами.

В качестве ионизирующих источников мы использовали радий-мезоториевый препарат, имевший при фокусном расстоянии 15 см мощность дозы 1,8 р/мин, и рентгеновскую установку «MAXIMAR» на 200 kV, с фильтром 1 мм Al и  $\frac{1}{2}$  мм Cu, имевшую при токе в 12 mA и фокусном расстоянии 40 см мощность дозы 50 р/мин. (Мощность дозы источника мы измеряли химическим дозиметром.) Мы облучали растворы 20—40 мл  $1\cdot 10^{-2} M$  соли Мора в  $4N \text{H}_2\text{SO}_4$  (приготовленной из трижды дистиллированной воды и серной кислоты марки LACHEMA, ч. д. а.). Уменьшение концентрации  $\text{Fe}^{2+}$  мы измеряли перманганатометрически с визуальным наблюдением, возрастание  $\text{Fe}^{3+}$  определялось спектрофотометрически при 480 мμ в окрашенном растворе после добавления 15%-ного раствора роданида калия.

При этих условиях мы определили увеличение концентрации  $\text{Fe}^{3+}$  и уменьшение концентрации  $\text{Fe}^{2+}$  в области доз от 0 до  $5\cdot 10^3$  р. Результаты измерений приведены на рисунке.

Как видно на рисунке, концентрация  $\text{Fe}^{3+}$  возрастала пропорционально дозе излучения. Тангенс угла наклона прямой соответствует выходу  $G_{\text{Fe}^{3+}} = 20$  (градировка при помощи ионизированного дозиметра) [5]. Содержание двухвалентного железа в облученном растворе падало нелинейным образом с начальным выходом  $G_{\text{Fe}^{2+}} = 85$ , т. е. примерно в 4 раза больше. При повышении дозы выход уменьшается и в области около  $5\cdot 10^3$  р становится равным  $G_{\text{Fe}^{3+}}$ .

После основательного продувания раствора током азота, т. е. после удаления кислорода, выход был  $G_{\text{Fe}^{2+}} = G_{\text{Fe}^{3+}} = 9$ . Из всего сказанного видно, что описываемое явление хорошо измеримо только при самых низких дозах (0—2.000 р), так что при опытах с облучением интенсивными источниками оно может легко ускользнуть от внимания. М. А. Проскурнин с сотрудниками нашел данное явление при использовании  $\gamma$ -лучей  $\text{Co}^{60}$  также только в этой области доз.

Таким образом было доказано существование явления, найденного М. А. Проскурниным с соавторами [1]. Установлено, что это явление не зависит от вида ионизирующих излучений и исчезает при удалении кислорода из раствора.

За анализ облученных растворов считаю своим долгом поблагодарить т. Ирижи Грушка.

Чехословацкая Академия наук  
Институт ядерной физики  
Прага

Поступила  
10. XI. 1957



## ЛИТЕРАТУРА

1. М. А. Проскурнин, В. Д. Орехов, А. И. Чернова, Сборник работ по радиационной химии, Изд-во АН СССР, Москва, 1955, стр. 79.
2. P. George, J. Chem. Soc., 4349, 1954.
3. В. Д. Орехов, А. И. Чернова и М. А. Проскурнин, Ж. физ. химии, **30**, 673, 1957.
4. А. И. Чернова, В. Д. Орехов, М. А. Проскурнин, Тезисы докладов I Всесоюзного совещания по радиационной химии, Изд-во АН СССР, Москва, 1957, стр. 13.
5. Z. Spurný, Taterná energie, **12**, 401, 1957.

ОСОБЕННОСТИ АДсорбЦИИ ФЕНОЛА ИЗ РАСТВОРОВ  
В ГЕПТАНЕ СИЛИКАГЕЛЕМ

В. Ф. Киселев и К. Г. Красильников

Исследование адсорбции фенола из водных растворов непористой канальной сажки сферон-6, выполненное нами [1], показало, что начальная область изотермы адсорбции, которая с этой целью изучалась наиболее подробно, имеет ступенчатый характер. Проведение детальных измерений теплот адсорбции в этой области позволило обнаружить новое явление — наличие резких изменений интегральной теплоты адсорбции с концентрацией, носящих характер острых максимумов и минимумов, примерно при тех же концентрациях, при которых на изотерме наблюдались ступеньки. Ступенчатые изотермы адсорбции, неоднократно описанные в литературе,

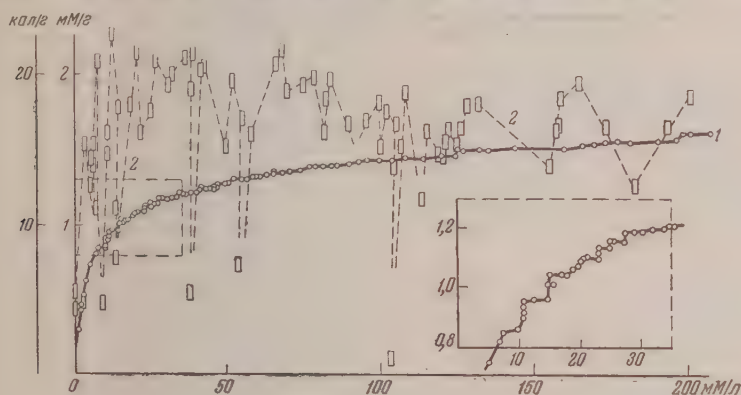


Рис. 1. Изотерма адсорбции (1) и изотерма теплот адсорбции (2) фенола из растворов в гептане на силикагеле КСК-1. Отдельно изображен участок изотермы адсорбции в крупном масштабе. Размеры всех точек соответствуют максимальной ошибке измерений

не получили до сих пор однозначного объяснения (на ступенчатый характер изотермы адсорбции фенола из водных растворов на угле указывалось в работе [2]). Представляло интерес провести параллельное исследование изотермы адсорбции фенола из растворов в гептане и теплот смачивания этими растворами на одном и том же образце силикагеля, поскольку ранее одним из авторов этой работы было показано [3, 4], что на изотерме адсорбции в этом случае наблюдаются ступеньки. Использование силикагеля имело то преимущество, что позволяло легко контролировать возможное влияние на исследуемые явления такого важного фактора, как изменение химической природы поверхности адсорбента.

В настоящей работе использовался крупнопористый силикагель КСК-1 с удельной поверхностью  $275 \text{ м}^2/\text{г}$  и содержанием структурной воды при стандартной обработке  $4,78 \text{ м}^2/\text{м}^2$  [5]. Методика измерения теплот смачивания была та же, что и в [5]. Необходимо отметить, что весьма существенной деталью при исследовании ступенчатых изотерм адсорбции в работах [1, 4], а также изотермы, изображенной на рис. 1, являлась проводившаяся в этих случаях точная калибровка интерферометра с учетом сбросов [6, 7]. Полученные результаты представлены на рис. 1, из которого видно, что изотерма адсорбции в начальной области носит ступенчатый характер, а на изотерме теплот адсорбции наблюдается резкое изменение теплот с ростом концентрации раствора. Как и в работе [1], мы не ставили себе задачу нахождения всех максимальных и минимальных величин теплот, что при существующей методике, когда каждая точка на кривой представляет результат отдельного калориметрического опыта, было затруднительно.

Имеющиеся в настоящее время данные не позволяют еще предложить обоснованную интерпретацию обнаруженных в этой работе и в работе [1] особенностей адсорбции фенола. Можно лишь утверждать, что ступеньки на изотермах адсорбции и резкие изменения теплот смачивания не связаны с влиянием пор и с природой растворителя. По-видимому, эти явления, обнаруженные нами впервые для фенола, носят более общий характер и, как показываю предварительные опыты, имеют место для других органических молекул. По всей вероятности, наблюдаемые нами явления отражают весьма сложный процесс постепенного заполнения молекулами адсорбирующего вещества неоднородной по своим свойствам поверхности адсорбента. Определенную роль

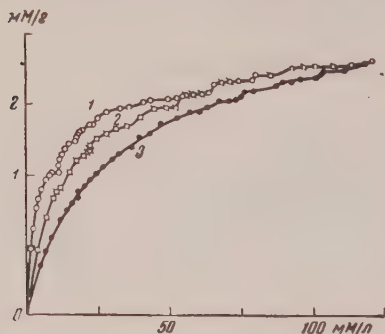


Рис. 2. Начальные участки изотерм адсорбции фенола из растворов в гептане: 1 — на образце силикагеля *E*, прокаленного при 300° (содержание структурной воды  $\text{H}_2\text{O}$  6,6  $\mu\text{M}/\text{м}^2$ ); 2 — образце *E* — 600°, гидратированном в воде ( $\text{H}_2\text{O}$  — 4,9  $\mu\text{M}/\text{м}^2$ ), и 3 — 600° ( $\text{H}_2\text{O}$  2,9  $\mu\text{M}/\text{м}^2$ ). Размеры точек соответствуют ошибке измерений

при этом играет возможная переориентация, а также различный характер взаимодействия адсорбированных молекул и составляющих их групп с адсорбционными центрами на поверхности. Такими центрами в случае частично дегидратированного силикагеля являются поверхностные ОН-группы, число которых в результате термической обработки силикагеля уменьшается и поверхность последнего становится более однородной [5]. При детальном исследовании влияния дегидратации поверхности силикагеля на адсорбцию им фенола из раствора в гептане [4], одним из авторов настоящей работы было замечено, что по мере дегидратации образца, ступеньки на изотерме сглаживаются и затем исчезают (рис. 2). Таким образом, изменение химической природы поверхности, вызванное различной обработкой одного и того же образца силикагеля, может привести как к появлению ступенек на изотерме, так и к их исчезновению; то же, по-видимому, относится и к углеродным адсорбентам, в частности к саже. Аналогичные [1] измерения адсорбции фенола из водных растворов были недавно проведены в работе [8].

Авторы этой работы, сравнивая свои данные с полученными нами [1], делают вывод, что ступеньки на изотерме адсорбции не выходят за пределы возможных ошибок измерений. Что касается данных [8], то прежде всего малое число экспериментальных точек в начальной части изотермы вообще не позволяет обнаружить ступенчатый характер изотермы в этой области. Кроме того, как указывалось выше, наличие или отсутствие ступенек на изотерме связано с особенностями химической природы поверхности, возможное влияние которой авторами [8] не учитывалось. Большое число экспериментальных точек, полученное нами, и тщательный анализ ошибок измерений дают нам основание утверждать, что ступеньки на изотермах адсорбции, так же как минимумы и максимумы на изотермах теплот, не могут быть вызваны ошибками опытов.

Для обоснованного объяснения обнаруженного нами нового явления — максимумов и минимумов на изотерме теплот смачивания, а также для установления связи их со ступеньками на изотерме адсорбции, необходимы еще дополнительные исследования.

Московский государственный университет им. М. В. Ломоносова

Поступила  
11.XII.1957

## ЛИТЕРАТУРА

1. В. Ф. Киселев, К. Г. Красильников, Докл. АН СССР, 86, 111, 1952.
2. R. G. Chaplin, J. Phys. Chem., 26, 909, 1932.
3. К. Г. Красильников, А. В. Киселев, Докл. АН СССР, 63, 693, 1948.
4. А. В. Киселев, К. Г. Красильников, Л. Н. Соболева, Докл. АН СССР, 94, 85, 1954.
5. М. М. Егоров, К. Г. Красильников, Е. А. Сысоев, Докл. АН СССР, 108, 103, 1956.
6. А. И. Бродский и Н. С. Филиппова, Ж. физ. химии, 5, 625, 1934.
7. А. И. Бродский, Заводск. лаборатория, 8, 1282, 1939.
8. А. В. Киселев и И. В. Шикалова, Ж. физ. химии, 30, 94, 1956.

## ХРОНИКА

## СОВЕЩАНИЕ ПО ТЕРМОДИНАМИКЕ И СТРОЕНИЮ РАСТВОРОВ

27—30 января 1958 г. на химическом факультете МГУ состоялось Совещание по термодинамике и строению растворов, организованное Отделением химических наук АН СССР и химическим факультетом МГУ.

На Совещании были заслушаны и обсуждены 70 докладов и сообщений, в которых были изложены результаты исследований проблем термодинамики и строения растворов, выполненных за последние годы физиками, химиками и теплоэнергетиками. В Совещании приняло участие более 600 научных работников Москвы, Ленинграда, Киева, Минска, Харькова, Свердловска и многих других городов СССР. В работе Совещания приняли участие ученые социалистических стран: от Венгерской Народной Республики проф. Ш. Лендесли и д-р Э. Берес, от Германской Демократической Республики проф. Г. Фалькенхаген и д-р Г. Кельбг, от Польской Народной Республики проф. С. Минц и доктор К. Земборак.

Работа Совещания проходила на пленарных заседаниях и в четырех секциях. Были заслушаны на пленарных заседаниях 15 докладов; на заседаниях общей секции 10 докладов; на заседаниях секции термодинамики растворов электролитов 19 докладов; на заседаниях секции термодинамики растворов неэлектролитов 12 докладов и на заседаниях секции строения растворов 14 докладов.

**Пленарные заседания.** Совещание открылось пленарным заседанием, на котором после вступительного слова председателя Оргкомитета Я. И. Герасимова были заслушаны доклады, содержавшие обзор исследований по ряду основных проблем термодинамики и строения растворов.

В докладе Н. А. Измайлова (Харьков) «Влияние растворителя на электролитическую диссоциацию» было указано, что в зависимости от растворителя одно и то же вещество может быть неэлектролитом и сильным или слабым электролитом. Деление электролитов на слабые и сильные имеет смысл только по отношению к определенному растворителю. Далее была рассмотрена общая схема диссоциации любых электролитов и показано, что процесс диссоциации проходит несколько последовательных стадий. Выведено общее уравнение, характеризующее зависимость силы любого электролита от свойств растворителя, и рассмотрены причины различия в действии растворителей на силу кислот, оснований и солей. Теоретические положения доклада находят подтверждение в результате обширных экспериментальных исследований, проведенных Н. А. Измайловым и его сотрудниками.

В докладе М. И. Шапорова (Москва) «Современные проблемы термодинамической теории растворов неэлектролитов» изложил результат исследований, выполненных в последние годы по ряду проблем теории растворов. При помощи метода Боголюбова разработаны теоретические основы последовательного расчета свойств разведенных и, в ряде случаев, концентрированных растворов неэлектролитов на основании данных о свойствах молекул компонентов. Развита приближенная методика статистического расчета термодинамических свойств растворов. Построена приближенная теория растворимости, установлено существование фазовых переходов второго рода в растворах и дано теоретическое обоснование этих явлений, установлено правило подобия в термодинамических свойствах разведенных растворов и дано строгое теоретическое обоснование этого правила. Введено представление о флуктуационной структуре растворов, которая характеризуется функцией распределения флуктуаций плотности, концентрации, ориентации и средней статистической величины флуктуаций. Показано, что флуктуации оказывают значительное влияние на свойства многих растворов. Развита теория диэлектрической проницаемости растворов, учитывающая влияние флуктуаций концентрации. Введено представление о микроструктуре звука в эмульсиях и растворах, обладающих микрогетерогенной структурой.

В докладе А. Е. Глаубермана (Львов) «О современном состоянии и некоторых важнейших проблемах молекулярной теории растворов электролитов» критически рассмотрен ряд направлений, развиваемых в современной статистической теории растворов электролитов. Обсуждены работы, в которых развита своеобразная статистика, учитывающая собственные размеры частиц. Рассмотрены работы, основанные на применении метода групповых интегралов Майера. Недостатком теории Майера являются ее громоздкость и отсутствие строгого обоснования применимости предельных законов. Рассмотрены результаты статистических исследований свойств раство-



ров электролитов, основанные на методе Н. Н. Боголюбова (Н. Н. Боголюбов, А. Е. Глауберман, И. Р. Юхновский и др.).

Обсужден метод производящих функционалов с фиктивными внешними полями (Н. Н. Боголюбов, А. Е. Глауберман, И. П. Базаров). Дан анализ проблем, возникающих в связи с суперпозиционной аппроксимацией. Рассмотрена методика коллективных переменных в задаче о вычислении статистического интеграла и определения корреляционных функций для системы взаимодействующих классических заряженных частиц и дальнейшее развитие этой методики в применении к многокомпонентным растворам электролитов (И. Р. Юхновский).

В конце доклада А. Е. Глауберман высказал ряд соображений по проблеме учета короткодействующих сил в теории растворов электролитов, а также по вопросу о путях дальнейшего развития статистической теории растворов электролитов.

В докладе О. Я. Самойлова (Москва) «Исследование ближней упорядоченности в жидкостях и растворах» дан обзор ряда закономерностей, которым подчиняется ближняя упорядоченность в чистых жидкостях и растворах. Так, при плавлении типичных металлов наблюдается уменьшение числа атомов в области ближней координации. При переходе к элементам четвертой и пятой групп периодической системы элементов Д. И. Менделеева уменьшение числа атомов в области ближней координации сменяется его увеличением. Рассмотрено влияние трансляционного движения на молекулярное строение жидкостей. Обсуждены результаты исследований структуры водных растворов электролитов, указывающие на существование переходной области, когда в растворе существуют области ближней упорядоченности воды и области ближней упорядоченности кристаллогидрата. По мнению О. Я. Самойлова, структура растворов в основном определяется короткодействующими силами.

На пленарном заседании 28 января в докладе Я. И. Герасимова (Москва) «О некоторых важнейших вопросах развития термодинамических исследований в СССР» от имени Комиссии по химической термодинамике при ОХН АН СССР был изложен ряд соображений о мероприятиях, необходимых для развития научной работы в области химической термодинамики.

В докладе А. Ф. Капустинского (Москва) «Гидратация ионов, ее механизм и структура ионных гидратов» было показано, что водные ионные радиусы отличаются от кристаллохимических радиусов постоянным инкрементом  $+0,28 \text{ \AA}$  для катионов и  $-0,28 \text{ \AA}$  для анионов. Предложено объяснение этой закономерности. В разведенных растворах координационное число молекул воды, окружающих ионы, как правило, равно четырем. Предполагается, что четыре пары электронов от четырех ионов кислорода (четыре молекулы воды) оттягиваются при гидратации катионом и образуют вокруг катиона оболочку толщиной  $0,28 \text{ \AA}$ . При гидратации анионов происходит потеря анионом четырех пар электронов вследствие образования водородных связей с молекулами воды, что отвечает уменьшению размера аниона на  $0,28 \text{ \AA}$ .

В докладе К. П. Мищенко (Ленинград) «Термодинамические свойства воды в растворах электролитов» изложены результаты исследования интегральных теплот растворения, теплосодержаний и давлений паров воды ряда растворов электролитов в широком интервале концентраций при температурах от  $-6$  до  $+75^\circ \text{C}$ . Введено представление о границе полной сольватации. В области границы полной сольватации термодинамические свойства водных растворов электролитов резко изменяются, что связано с изменением строения растворов. Изучено влияние ионов на строение растворов в зависимости от температуры. При низких температурах ионы, как правило, разрушают структуру воды, а при высоких температурах, когда первичная структура воды уже достаточно разрушена термическим движением, доминирует организующее действие процесса образования ионного сольвата.

В докладе А. З. Голик (Киев) «Вязкость и структура растворов неэлектролитов» приведены результаты исследований структуры, вязкости, плотности, теплот испарения, сжимаемости растворов, компоненты которых обладают сходным строением. Вещества, обладающие одинаковой вязкостью, имеют одинаковую ближнюю упорядоченность и сжимаемость. Кривые температурной зависимости вязкости и теплот испарения веществ, обладающих сходным строением и одинаковым типом межмолекулярных сил, лежат тем выше, а кривые сжимаемости тем ниже, чем больше критическая температура данного чистого вещества или раствора.

Результаты расчетов изменения энтропии, энтальпии и свободной энтальпии при реакциях ассоциации ионов в растворах были изложены в докладе К. Б. Яцмирского (Иваново) «Изменение термодинамических функций при реакциях ассоциации ионов в растворах».

На пленарном заседании 29 января в докладе В. М. Чулановского (Ленинград) «Спектральные методы изучения растворов» показано, что данные об изменении волнового числа и интенсивности полосы поглощения простой группы атомов чистого вещества при его переходе в раствор позволяют различать два типа связи между молекулами, ненасыщенный (связь каждой молекулы со многими) или насыщенный. В соответствии с этим растворы неэлектролитов можно подразделить на четыре группы: а) оба компонента имеют ненасыщенные связи как в чистом виде, так и в растворе; б) в чистом виде компоненты имеют ненасыщенные связи, а в растворе образуют смешанные ассоциации насыщенного типа; в) в чистых компонентах имеют место насыщенные ассоциации, в растворах они разрушаются с образованием нена-

щенных связей; г) в растворах происходит образование насыщенных смешанных ассоциаций за счет разрушения насыщенных ассоциаций в чистых компонентах. Указаны условия образования водородной связи и рассмотрены получающиеся при этом типы межмолекулярной связи. При соответствующей активации образование ассоциаций насыщенного типа может повести к химической реакции.

В докладе В. Л. Левшина, Е. Г. Барановой, Л. Д. Деркачевой, Л. В. Левшина (Москва) «Исследование ассоциаций в концентрированных растворах красителей по спектрам абсорбции и люминесценции» изложены результаты определения степени ассоциации красителей в различных растворах по спектрам поглощения. Рассмотрено влияние температуры на спектры абсорбции, люминесценции, выход свечения концентрированных растворов и использование этих явлений для изучения ассоциации растворов.

Дополнительные данные об ассоциации тиазиновых и акридиновых красителей получены на основании исследования спектров поглощения растворов этих красителей. Были приведены в сообщении Х. Л. Арван.

Б. С. Непорент (Ленинград) выступил с докладом «Влияние растворителя на спектры сложных ароматических веществ».

В докладе М. Ф. Вукс (Ленинград) «Анизотропное рассеяние света и его применение для изучения растворов» показано, что в ряде случаев интенсивность анизотропного рассеяния аддитивно складывается из анизотропного рассеяния от молекул растворителя и растворенного вещества. По данным об анизотропном рассеянии в растворах предлагается определять анизотропию поляризуемости молекул. По уширению линии рассеяния были определены времена ориентационной релаксации молекул в ряде чистых жидкостей и растворов. В растворах время релаксации, как правило, значительно меньше, чем в чистых жидкостях. Расчеты показывают, что время релаксации в ряде случаев, по-видимому, мало зависит от вязкости растворителя.

На заключительном пленарном заседании 30 января в докладе Б. П. Никольского (Ленинград) «Диссоциации кислот и комплексных соединений и методы ее исследования» рассмотрена глубокая аналогия между процессами диссоциации кислот и комплексных соединений, которая позволяет рассматривать оба процесса с единой точки зрения и распространить методы, применяемые для исследования одного из этих процессов, на исследование другого процесса. Особое внимание должно быть обращено на 1) метод исследования диссоциации комплексных соединений по данным о зависимости э. д. с. от концентрации аддента в гальваническом элементе, содержащем комплексобразователей в двух состояниях окисления; 2) метод одновременного применения катионитов и анионитов.

В докладе М. А. Стыриковича (Москва) «Исследования растворимости слабодетергных соединений в водном паре высокого давления» были изложены результаты обширных исследований растворимости борной и кремниевых кислот, гидратов окиси калия, натрия и кальция, хлоридов и сульфатов лития, натрия, калия и кальция при температурах от насыщения до 650—700° и давлениях от 10 до 30 *атм*. Для ряда систем построены диаграммы фазовых равновесий, охватывающие как докритические, так и закритические растворы. При высоких температурах обнаружены и исследованы явления гидролиза в твердой фазе у таких солей, которые при обычных условиях не склонны к гидролизу.

Общая секция. На первом заседании этой секции 28 января обсуждались преимущественно проблемы исследования критических явлений в растворах. В докладе И. Р. Кричевского и Н. Е. Хазановой (Москва) «Критические явления в двойных жидких растворах» дан обзор исследований критических явлений в растворах и изложены результаты исследований авторов, согласующиеся с основными положениями классической теории этих явлений, развитой Гиббсом и Столетовым. В докладе В. Ф. Ноздрева (Москва) «Исследование критического состояния индивидуальных веществ и их смесей ультразвуковыми методами» изложен обзор результатов исследования скорости распространения, адиабатической сжимаемости и поглощения ультразвуковых волн в критической области жидкость — пар и в критической области расслаивания бинарных смесей. В докладе Г. М. Бартепьева и А. А. Ремизовой (Москва) «О типах фазовых переходов в простейших системах и их классификация» дан физический анализ различных видов фазовых переходов первого и второго рода в одно- и многокомпонентных системах. Затем состоялась дискуссия, в которой кроме докладчиков приняли участие В. П. Скрипов (Свердловск), А. З. Голик (Киев), Я. В. Егупов (Нальчик), Н. Е. Хазанова (Москва) и А. В. Баронель (Москва).

На последующих заседаниях общей секции были заслушаны доклады по другим проблемам термодинамики и строения растворов. Ю. И. Соловьев (Москва) в докладе «К истории развития основных направлений учения о растворах» сообщил ряд исторических фактов, существенных для правильного понимания путей развития химической теории растворов в XIX и начале XX в. В докладе А. В. Сторонкина и А. Г. Морачевского (Ленинград) «О применимости законов Коновалова и Вревского к тройным растворам» показано, что первый закон Коновалова и второй закон Вревского применимы к многокомпонентным системам с некоторыми ограничениями. В докладе А. В. Сторонкина и М. М. Шулц (Ленинград) «О зависимости термодинамических свойств насыщенных и близких к насыщению трой-



ных растворов от состава» рассмотрена связь между формой изотерм растворимости и изменениями химических потенциалов компонентов при фазовых превращениях. Выведены термодинамические соотношения, позволяющие предсказывать направление изменений химических потенциалов при движении по изотерме растворимости любых тройных систем. В докладе И. Т. Срывалина и О. А. Есина (Свердловск) «О системах со знакопеременными отклонениями от растворов» предложены полумпирические уравнения для избыточной свободной энтальпии раствора и коэффициентов активности компонентов и рассмотрено применение этих уравнений для описания ряда металлургических расплавов.

В докладе Б. Б. Кудрявцева (Москва) «Применение ультразвуковых измерений при изучении растворов» дан обзор результатов теоретических и экспериментальных исследований ультразвуковых свойств растворов неэлектролитов и электролитов.

В докладе Д. С. Циклиса (Москва) «Растворы неэлектролитов при сверхвысоких давлениях» сопоставлены свойства газовых и жидких растворов. Обсуждены явления расслаивания в газовых смесях. В докладе Г. Д. Ефремовой (Москва) «Растворимость газов в жидкостях под давлением» проведен термодинамический анализ зависимости растворимости газов в жидкостях от давления. Показано, что термодинамически правильным уравнением для разбавленных растворов неэлектролитов является уравнение Кричевского — Ильинской.

Секция термодинамики растворов электролитов. Ряд докладов был посвящен проблемам статистической теории растворов электролитов.

В докладе Г. Фалькенхагена и Г. Кельбга (ГДР) «Замечания к теории проводимости сильных растворов электролитов» был приведен обзор результатов исследований по теории проводимости, выполненных авторами за последние годы. В докладе Г. Кельбга (ГДР) «Статистическая механика растворов электролитов. Проводимость» изложен вывод формулы для молярной проводимости сильных электролитов при использовании экспоненциального выражения для энергии отталкивательных сил, действующих между ионами.

В докладе И. Р. Юхновского (Львов) «Термодинамические функции и функции распределения систем заряженных частиц» развита теория системы заряженных частиц на основе сочетания комбинаторики Майера при рассмотрении короткодействующих сил между ионами и метода Боголюбова при рассмотрении кулоновских сил.

В докладе С. В. Тябликова и В. В. Толмачева (Москва) «К классической теории сильных электролитов» было предложено статистическое обоснование поправки Бьеррума на ассоциацию ионов в растворах электролитов.

В докладе Г. И. Микულიна (Верхнее) «Эффект диэлектрического насыщения растворителя в электростатической теории растворов» предложена теория, учитывающая уменьшение диэлектрической проницаемости растворителя вблизи от ионов.

В докладе В. А. Кожеурова (Челябинск) «К термодинамике ионных растворов с произвольным числом анионов» изложены результаты расчета химических потенциалов компонентов ионных растворов на основе методов, применяемых в теории регулярных растворов.

Несколько докладов было посвящено проблемам сольватации и ассоциации ионов в растворах. В докладе А. М. Сухотина (Ленинград) «Об ассоциации ионов в растворах» изложен обзор ряда исследований автора по теории неводных растворов электролитов. Результаты исследования электропроводности растворов в смесях бутилового спирта с гексаном приведены в докладе Е. М. Рыжкова и А. М. Сухотина «Электролитическое исследование неводных растворов HCl».

В докладе А. М. Сухотина и Л. Д. Щерба «Изучение сольватации ионов в растворах при помощи инфракрасных спектров поглощения» приведены результаты изучения инфракрасных спектров воды, растворенной в ацетонитриле при добавлении в раствор соли. В докладе Н. А. Измайлова, В. А. Кремер, Л. М. Кудиной и Е. В. Титова (Харьков) «Исследование взаимодействия кислот с растворителями оптическими методами» показано на основе сочетания криоскопических измерений и данных о спектрах комбинационного рассеяния, поглощения и флуоресценции, что молекулы кислот образуют комплексы с молекулами растворителя на основе водородной связи.

В. П. Васильев (Иваново) в докладе «К вопросу диссоциации аквокомплексов» изложил результаты полиграфических измерений, позволяющих определить состав и устойчивость серии аквокомплексов кадмия в водно-спиртовых растворах.

На секции были представлены доклады по ряду других проблем термодинамики растворов электролитов.

Ш. Лендзел (Венгрия) в докладе «Исследование парциальной плотности растворителя в водных растворах электролитов» показал, что парциальная плотность растворителя в растворах электролитов линейно зависит от концентрации. На основе этой зависимости были получены выводы о строении концентрированных растворов электролитов.

К. П. Мищенко и А. М. Пономарева (Ленинград) в докладе «Парциальные молярные энтропии в системах уксусная кислота — вода и муравьиная

кислота — вода и строение этих растворов» привели результаты расчетов неидеальной части парциальных молярных энтропий компонентов указанных систем для ряда температур.

В докладе Е. Н. Васенко, А. П. Чернявской и Н. В. Черной (Киев) «Инфракрасные спектры и некоторые термодинамические свойства растворов электролитов в формамиде» показано, что экстремальная зависимость коэффициента активности бромистого калия от концентрации его в формамиде может быть объяснена изменением структуры раствора.

В докладе В. В. Александрова и Е. Ф. Ивановой (Харьков) «Термодинамические свойства неводных растворов электролитов» показано, что свободная энергия ионов при переходе от бесконечно разбавленного раствора в воде в такой же раствор в спиртах возрастает. Рассмотрена природа минимумов на кривых зависимости коэффициента активности электролита от концентрации в спиртовых и спирто-водных растворах.

В докладе С. А. Щукарева, Л. С. Лилич, В. Н. Тимофеева (Ленинград) «Об изменении изобарического потенциала при растворении солей в воде» приведены результаты расчета свободной энтальпии галогенидов щелочных и щелочно-земельных металлов и других солей, а также энтропии растворения. Авторы предлагают новую классификацию растворов.

В докладе Е. И. Ахумова и Е. В. Пылковой (Ленинград) «Растворимость и пересыщение в системе сульфат натрия — вода при высоких температурах» экспериментальные данные о растворимости и пересыщении в системе сульфат натрия — вода сопоставлены с теоретическими представлениями авторов о пересыщенных растворах.

В докладе Г. И. Микулина (Верхнее) «Термодинамическая интерпретация гидратной теории растворов электролитов» предложен способ расчета избыточной свободной энтальпии растворов.

В докладе С. И. Дракина и В. А. Михайлова (Москва) «Расчет энтропий и теплот гидратации ионов» были приведены результаты расчета энтропий и теплот гидратации 34 ионов по методу, разработанному авторами.

Секция термодинамики растворов неэлектролитов. Проблемы статистической теории растворов неэлектролитов рассматривались в нескольких докладах.

И. З. Фишер и В. С. Кузмич (Минск) в докладе «К молекулярной теории растворимости» предложили статистическую теорию растворимости, основанную на изучении коррелятивных функций распределения молекул системы. Выводы теории для модели твердых шаров хорошо согласуются с опытными данными по ограниченной растворимости газов при высоких давлениях. В докладе В. П. Скрипова (Свердловск) «Флуктуация энергии в растворах и их связь с теплоемкостью» показано, что рост флуктуаций концентрации сопровождается увеличением теплоемкости раствора. В докладе В. В. Ватолло (Москва) «Применение вариационного метода для расчета функции распределения молекул в жидкости» предложен способ вывода соотношений теории жидкостей, развитой Ричардсоном на основе вариационного метода.

В докладе Н. А. Ватолина и О. А. Есина (Свердловск) «Применение теории регулярных растворов к жидким сплавам железа» предложена качественная трактовка термодинамических свойств двойных и тройных жидких углеродистых сплавов на основе выводов теории регулярных растворов.

Доклад Г. Л. Старобинец и В. Ф. Тикавого (Минск) «О зависимости между диэлектрическими и термодинамическими свойствами бинарных смесей нелярных и неполярных веществ» был посвящен термодинамическому анализу свойств трисильных систем: каучукоподобный высокополимер — неполярный компонент (бензол, четыреххлористый углерод) — полярный компонент (низшие спирты жирного ряда). Предложен способ расчета степени ассоциации молекул компонентов в таких системах. В докладе Г. Л. Старобинец и Н. Г. Арико (Минск) «Термодинамические свойства и структура растворов высокомолекулярных парафиновых углеводородов в бензоле» приведены результаты измерений давления пара бензола над бинарными растворами бензол — смесь нормальных углеводородов. Гексагональная структура жидких высокомолекулярных парафинов приобретает еще большую устойчивость в бензольном растворе благодаря сольватации гексагональных групп молекулами бензола.

В докладе М. Ф. Лантратора и А. Ф. Алабышева (Ленинград) «Термодинамические свойства калия в жидких металлических растворах со свинцом, висмутом и таллием» приведены результаты термодинамических расчетов систем калий — таллий, калий — свинец и калий — висмут на основании измерений электродвижущих сил концентрационных цепей при температурах в интервале 400—600°С.

В докладе В. В. Свентославского и К. П. Зембока (Польша) «О переходе бинарных гетероазеотропов в гомоазеотропы и гомоазеотропы» изложены результаты систематического исследования азеотропизма в серии ацетонитрил — *n*-парафины и метиловый спирт — *n*-парафины, позволяющие проследить постепенный переход гомоазеотропов в гетероазеотропы и далее в гетероазеотропы.

Доклад А. Е. Луцкого и Е. М. Обуховой (Харьков) «Ассоциация и концентрационная зависимость физических свойств бинарных смесей» содержал ре-



зультаты исследования плотности, вязкости и диэлектрической проницаемости неводных растворов неэлектролитов.

Доклад М. И. Усанович (Алма-Ата) «Об идеальных растворах» был посвящен анализу термодинамических свойств идеальных и неидеальных растворов на основе представлений об образовании молекулярных соединений в растворах и химическом равновесии между молекулами предполагаемых соединений и молекулами исходных компонентов.

В докладе А. С. Баркан (Минск) «О влиянии дополнительных компонентов на растворимость веществ в смешанных средах» изложены результаты выполненных автором обширных экспериментальных исследований влияния третьего (дополнительного) компонента на растворимость солей в воде.

В докладе Л. В. Паншиной (Москва) «Исследование тонкой структуры рассеяния света в растворах неэлектролитов» была описана методика измерений тонкой структуры рассеяния света в растворах и приведены некоторые результаты исследования растворов метилового спирта — бензол, метиловый спирт — четыреххлористый углерод — хлороформ — ацетон.

Секция строения растворов. В докладе С. Минц (Польша) «Взаимодействие протона с молекулами растворителя» приведены результаты измерений вязкости молекул воды и спиртов при различных концентрациях ионов водорода. На основании этих данных произведена оценка энергии взаимодействия протона с молекулами растворителя в водных и спиртовых растворах.

В докладе Л. В. Лёвшина (Москва) «Влияние ионизации и ассоциации на оптические свойства сложных органических молекул» рассмотрены процессы ионизации молекул акридинового ряда, происходящие при увеличении концентрации раствора.

Э. Е. Вайнштейн и И. И. Антипова-Каратаева (Москва) представили доклад на тему «Исследования состояния ионов меди в водных и спиртовых растворах по спектрам поглощения». На основании данных об интенсивности, форме и положении полос поглощения иона меди в широком интервале концентраций авторы находят, что молекулы спирта оказывают большое возмущающее действие на оболочку иона меди. Анализ формы полос поглощения двухвалентного иона меди в водных и спиртовых растворах приводит к выводу об их мультиплетной структуре. В докладе И. И. Антиповой-Каратаевой (Москва) «Исследование влияния ближнего окружения на состояние иона хрома по спектрам поглощения растворов и кристаллов квиншита» показано, что определяющее влияние на спектры поглощения ионов трехвалентного хрома имеет ближайшее окружение иона, а не состояние всего растворителя в целом.

В. В. Зелинский, Б. П. Колобков и И. И. Резникова (Ленинград) в докладе «Связь между электронными спектрами поглощения и излучения растворов органических веществ и химической природой растворителя» на основании полученных ими экспериментальных данных приходит к выводу, что действие растворителя на спектры растворенных веществ зависит от химической природы растворителя и, вероятно, обуславливается величиной локальных зарядов на отдельных атомах в молекулах растворителя.

В докладе М. М. Белого (Киев) «Спектральные методы исследования комплексов в растворах» предлагаются новые методы исследования состава, концентрации, константы равновесия и спектра поглощения комплексов растворенного вещества в разведенных растворах.

Г. М. Бартенев (Москва) в докладе «О строении и механизме кристаллизации жидкой эвтектики» приходит к выводу, что жидкая эвтектика состоит из микрообластей с концентрациями, соответствующими твердым растворам компонент и размытыми границами между ними. Линейные размеры этих микрообластей составляют не 25—50 Å.

В докладе А. З. Голлик (Киев) «Вязкость и строение растворов электролитов» изложены результаты исследований связи между строением спиртов, а также спиртовых растворов хлористого лития и йодистого калия и физическими свойствами этих жидкостей (вязкость, плотность, электропроводность, критическая температура и др.).

В докладе Г. П. Рошиной (Киев) «Молекулярное рассеяние света в растворах неэлектролитов» были рассмотрены результаты обширных исследований рассеяния света в различного типа растворах с целью изучения флуктуаций, развивающихся в растворах, и уточнения природы самого эффекта рассеяния света.

В докладе Н. Г. Шленкиной (Тула) «Проверка теории молекулярного рассеяния света бинарными растворами на основании расчетов и теоретического анализа, проведенных совместно с М. И. Шахпароновым, показано, что современная теория рассеяния света в растворах не приводит к количественному совпадению с опытом и нуждается в дальнейшем уточнении.

В докладе М. И. Шахпаронова (Москва) «Поляризация и строение растворов» были развиты основы термодинамики поляризуемости полярных растворов и приведены выводы теории диэлектрической проницаемости растворов с учетом влияния флуктуаций.

В докладе А. М. Саржевского, А. Н. Севченко (Минск) «Люминесцентный метод определения объема сольватных оболочек молекул в растворах»

предложен метод определения объемов сольватных оболочек, основанный на соотношении Левшина — Перрена, связывающем поляризацию люминесценции с длиной возбужденного состояния, вязкостью и объемом люминесцирующей молекулы. Найдены молекулярные объемы ряда производных фталимида в различных растворителях и их смесях, а также молекулярные объемы некоторых красителей в хлорофилла.

После докладов на каждом пленарном и секционном заседаниях происходило плодотворное обсуждение, в котором активное участие принимали физики, физико-химики, представители технических наук, зарубежные гости — участники Совещания. Работа Совещания проходила интенсивно и под знаком творческого взаимодействия различных направлений в теории растворов, объединения и сплочения ученых разных специальностей, работающих в этой области. Совещание внесло большой вклад в дело укрепления и развития исследований по термодинамике и строению растворов в социалистических странах.

Совещание приняло резолюцию, текст которой публикуется ниже.

*М. И. Шахпаров*

## РЕШЕНИЕ [СОВЕЩАНИЯ ПО ТЕРМОДИНАМИКЕ И СТРОЕНИЮ РАСТВОРОВ

Москва, 27—30 января 1958 г.

1. Совещание отмечает успехи в развитии ряда важнейших проблем термодинамики и строения растворов, достигнутые на протяжении последних 10—15 лет в работах советских ученых.

1. Разработаны теоретические основы метода последовательного расчета свойств растворов на основании данных о свойствах молекул компонентов.

2. Развита новая приближенная методика статистического расчета термодинамических свойств растворов. Даны приближенные решения ряда важных проблем и найдены новые закономерности (теория растворимости, правило подобия, теория ионных расплавов).

3. Успешно развиваются теоретические и экспериментальные исследования по термодинамике многокомпонентных систем, по фазовым равновесиям при высоких давлениях, по теории кислот и оснований, по ионному обмену, по комплексообразованию и сольватации в растворах электролитов, по физико-химическим основам перегонки и ректификации, изучается связь равновесных и неравновесных свойств растворов с их структурой.

4. Особенно следует отметить разработку и успешное применение разнообразных физических и физико-химических методов исследования растворов, в том числе новых для этой области (спектральные методы, рентгенография растворов, рассеяние света, люминесценция, электрические свойства, дилато- и калориметрический методы, измерения вязкости). Полученные указанными и другими методами данные привели к интересным результатам, многие из которых успешно трактуются с точки зрения представления о флуктуационной структуре растворов.

5. Развивающееся сотрудничество физиков, химиков и представителей технических наук разных специальностей и лабораторий разных профилей в исследованиях по теории растворов является необходимым условием успешного решения проблем теории растворов. Объединенная работа ученых разных специальностей в научных совещаниях, посвященных отдельным научным проблемам, весьма плодотворна. Примером успешной совместной работы физиков, химиков и специалистов технических дисциплин является данное совещание по термодинамике и строению растворов.

6. Совещание приветствует активное участие в его работе ученых-специалистов по теории растворов — из Венгерской Народной Республики, Германской Демократической Республики и Польской Народной Республики и выражает уверенность, что научные связи советских ученых с учеными стран народной демократии и других стран будут крепнуть, и будет планомерно развиваться совместная работа ученых разных стран в области физики и химии растворов.

II. Следует отметить, что при наличии успехов в работах советских ученых по термодинамике и строению растворов эта область в Советском Союзе до сих пор недостаточно разрабатывается, число и масштаб работы специальных лабораторий, а во многих случаях и оборудование этих лабораторий недостаточны для интенсивной и продуктивной разработки важнейших проблем физико-химии растворов.

1. Недостаточен повседневный контакт между отдельными исследователями и лабораториями, который обеспечил бы координацию и совместное планирование научной работы.

2. Не применяется или же слабо используется ряд перспективных современных экспериментальных методов исследования, например: нейтронография, парамагнитный резонанс, метод меченых атомов.

3. Не развиваются термодинамические исследования при высоких и низких температурах.

4. Недостаточно по объему и не координируется работа по планомерному изучению точных термодинамических характеристик растворов.



5. Масштаб теоретических исследований недостаточен, и экспериментальные данные зачастую не обобщаются и не используются для развития теории.

6. Мало издается справочников и монографий по термодинамике и по теории растворов как оригинальных — советских авторов, — так и переводов.

7. Номенклатура в области учения о растворах не разрабатывается и не унифицируется.

8. Метрологическая работа в области термометрии и калориметрии находится на очень низком уровне.

9. Высшие учебные заведения почти не выпускают специалистов по химической термодинамике и по физико-химии растворов.

III. Для дальнейшего планомерного и интенсивного развития научных исследований по термодинамике и строению растворов и их приложений к научно-хозяйственным задачам Совещание считает необходимым проведение следующих мероприятий:

1. Расширение и материальное укрепление специальных лабораторий по термодинамике и строению растворов, в том числе:

Лаборатория химии и термодинамики расплавленных сред и лаборатория растворов (ИОНХ АН — Москва).

Лаборатория физико-химии металлургических процессов и шлаков (УПИ — Свердловск).

Лаборатория исследования неводных растворов (ХГУ — Харьков).

Лаборатории химической термодинамики, физической химии растворов и термхимии (МГУ — Москва).

Лаборатория термодинамики и строения растворов электролитов и ионных расплавов (ЛТИ — Ленинград).

Лаборатория химии и термодинамики комплексных соединений (ИХТИ — гор. Иваново).

Лаборатория кафедры неорганической химии (Менделеевский ХТИ — Москва).

Лаборатория высоких температур (Сельхозинститут — Харьков).

Лаборатория кафедры молекулярной физики (КГУ — Киев).

Лаборатория внутрикотловых процессов (ЭНИН АН — Москва).

Лаборатория кафедры котельных установок и химии (МЭМ — Москва).

Лаборатория термических свойств веществ при низких температурах (НИИФТРИ — Комитет мер и стандартов — Москва).

Лаборатория высоких давлений (ГИАП — Москва).

Лаборатории кафедр физической химии, спектроскопии и теории растворов (ЛГУ — Ленинград).

2. Организация научных исследований по термодинамике и строению растворов в Академии наук СССР и КазССР.

3. Организация научных исследований по следующим проблемам:

Термические свойства веществ при температурах выше 2000° С;

термодинамика свободных радикалов в растворах;

термодинамика необратимых процессов;

термодинамика высокополимеров и их растворов;

термодинамика сложных органических электролитов.

4. Усиление исследований по термодинамике природных водных растворов в геологических и геохимических научных учреждениях.

5. Усиление исследований по термодинамике металлических сплавов и металлургических процессов в научных учреждениях по металлургии и металлосведению.

6. Исследования различных свойств отдельных важных бинарных и многокомпонентных систем, планомерно проводимые несколькими специализированными лабораториями по тщательно координированным планам.

7. Расширение исследований по термодинамическим свойствам индивидуальных химических соединений, необходимых для экспериментального изучения растворов и теоретических расчетов.

8. Организация производства химических препаратов высокой чистоты по заказам лабораторий.

9. Систематическая публикация обзорных статей по проблемам физико-химии растворов.

10. Организация подготовки и издания больших советских справочников по физико-химическим свойствам индивидуальных химических соединений и растворов.

11. Усиление подготовки молодых работников в области химической термодинамики и физико-химии растворов путем организации соответствующих специализаций и аспирантуры в тех высших учебных заведениях, где для этого имеются благоприятные условия.

12. Организация метрологических работ высокого класса в области термометрии и калориметрии.

IV. Совещание считает желательным проведение в ближайшие годы следующих тематических совещаний (симпозиумов) по отдельным проблемам термодинамики и строения растворов и просит нижеуказанных товарищей взять на себя инициативу по организации этих совещаний:

1. Статистическая физика растворов электролитов — во Львове (проф. А. Е. Глауберман).
2. Межмолекулярное взаимодействие в растворах — в Ленинграде (проф. В. М. Чулановский, проф. К. П. Мищенко и чл.-корр. АН СССР Б. П. Никольский).
3. Физическая химия солевых расплавов и шлаков — в Свердловске (проф. О. А. Есин).
4. Критические явления и флуктуационная структура растворов — в Москве (проф. И. Р. Кричевский и проф. М. И. Шахпаронов).
5. Строение и физические свойства жидкостей и растворов — в Киеве (проф. А. З. Голик).

6. Растворимость — в Алма-Ата (проф. М. И. Усанович).

Необходимо привлечение к участию в этих совещаниях физиков и химиков различных специальностей и представителей различных разделов технических наук.

Желательна организация при одном из научных центров по металлургии и металлловедению совещания по термодинамике твердых и жидких металлических сплавов с привлечением к участию в этом совещании физиков и химиков различных специальностей и представителей технических наук. Желательна организация совещания по физике и химии твердых солевых растворов.

V. Совещание обращает внимание Отделения химических наук АН СССР на отсутствие проблемы жидкого состояния и растворов в списке важнейших проблем АН СССР и считает это неправильным.

VI. Совещание просит Президиум АН СССР принять решительные меры к улучшению публикации результатов научных исследований в Советском Союзе. В настоящее время научные работы печатаются через 1—2 года после их выполнения. Необходимо в ближайшее время увеличить число научных журналов, а также увеличить объем и периодичность имеющихся журналов.

VII. Совещание призывает советских ученых, изучающих растворы, координировать свои работы, концентрируя усилия для разрешения основных и актуальных научных проблем учения о растворах, а также укреплять связи с хозяйственными организациями для оказания всемерной и быстрой помощи народному хозяйству во всех возникающих научно-технических проблемах, связанных с применением растворов.

Принято единогласно на пленарном заседании Совещания 30 января 1958 г.

Председатель оргкомитета Совещания *Я. И. Герасимов*



# СОДЕРЖАНИЕ

Л. В. Кармилова, А. Б. Налбандян и Н. Н. Семенов. Исследование кинетики горения водорода с кислородом над нижним пределом самовоспламенения . . . . .	1193
Г. А. Богданов и Г. Л. Петрова. Аномальный случай катализа в жидкой фазе. II . . . . .	1205
Н. С. Федорова. Рентгеноструктурное исследование гальванических железо-никелевых сплавов . . . . .	1211
Н. Н. Кавтарадзе. Зависимость адсорбционных свойств металлов по отношению к водороду от их положения в периодической системе элементов Д. И. Менделеева . . . . .	1214
И. В. Березин, Н. Ф. Казанская и Г. Б. Мелузова. Метод количественного анализа циклогексана и циклогексанола в продуктах окисления циклогексана по спектрам поглощения в инфракрасной области . . . . .	1218
В. М. Татевский. Закономерности в строении и физико-химических свойствах алканов . . . . .	1226
Г. Д. Ефремова и Р. Ф. Ковпакова. Фазовые равновесия в системах, содержащих этилен и тетрахлоралканы . . . . .	1231
Ю. П. Соловьицын. Фотосорбция кислорода на силикателе и кристаллическом кварце . . . . .	1241
И. К. Барамбойм. Температурная зависимость скорости механической деструкции высокополимеров . . . . .	1248
В. А. Щербинин и Г. А. Богданов. Дополнительные материалы к теории совместного действия катализаторов в растворе. II . . . . .	1252
В. Г. Плюснин и А. П. Лысенко. Закономерности замещения водородных атомов в бензольном ядре алкильными группами. IV . . . . .	1262
С. Т. Бouden. Теплота испарения, поверхностное натяжение и ортобарические плотности систем жидкость — пар . . . . .	1265
Е. Т. Денисов. Об участии солевых катализаторов в реакции продолжения цепи при жидкофазном окислении углеводородов . . . . .	1269
Н. М. Селиванова. О некоторых термодинамических свойствах селената таллия . . . . .	1277
Б. П. Никольский и В. В. Пальчевский. Потенциометрический метод исследования органических обратимых окислительно-восстановительных систем . . . . .	1280
Н. П. Гнусин. Определение распределения тока в электролите и на электродах методом сдвоенного зонда . . . . .	1292
С. В. Васильев и М. С. Селивохина. Кинетика электрического окисления азота в автоколебательном разряде . . . . .	1299
С. В. Горбачев и С. Ф. Белевский. Поляризация при катодном восстановлении нитросоединений в связи с проблемой соотношения между электрохимическими и фотохимическими процессами . . . . .	1304
С. А. Павлова и И. И. Твердохлебова. Об изопиестическом методе определения среднего молекулярного веса . . . . .	1313
З. А. Сидицына и Х. С. Багдасарьян. Определение констант скоростей элементарных реакций полимеризации метилакрилата . . . . .	1319
В. С. Нешпор и Г. В. Самсонов. Новые бориды редкоземельных металлов . . . . .	1328
Б. Ф. Марков и А. М. Тарасенко. О температурной зависимости электропроводности бинарных солевых расплавов в связи с фазовыми диаграммами . . . . .	1333
К. И. Розенталь и В. И. Веселовский. Процесс электрохимического окисления солей четырехвалентного урана на Pt-электроде . . . . .	1341
Ю. К. Делимарский и А. В. Городынский. Уравнение полярографических кривых электроосаждения металлов на твердых электродах . . . . .	1348
В. Н. Кострюков, О. П. Саморуков и П. Г. Стрелков. Термодинамическое исследование при низких температурах. VII . . . . .	1354
А. А. Тагери и В. А. Каргин. Термодинамическое исследование системы полимер — гидрированный мономер. II . . . . .	1362
Д. С. Циклис. Фазовые равновесия в системе ацетальдегид — вода — метан при высоких давлениях . . . . .	1367
В. И. Мусихин и О. А. Есин. Изучение свойств расплавленных титанатов методом электродвижущих сил . . . . .	1372
А. И. Опе и П. А. Баоцкая. Влияние диффундирующего атомарного водорода на перенапряжение водорода $\eta$ на железе и нанесенных на его гальванических осадках в растворе щелочи и кислоты . . . . .	1379
И. Тютюлков. Полярография геометрических син- и антиизомеров оксимов I . . . . .	1389
Л. Суский. Исследование катодных процессов при электролизе чистых расплавленных хлоридов кальция, натрия и калия . . . . .	1393
Методы и техника физико-химического исследования . . . . .	
М. М. Дубинин, А. И. Сарахов и Г. А. Рябиков. Поромер низкого давления . . . . .	1404

## Дискуссия

- И. Р. Кричевский и Д. С. Циклис. Ответ на статью В. Ю. Урбаха «Существует ли ограниченная взаимная растворимость газов?» . . . . . 1407

## Письма в редакцию

- Е. И. Покровский. Количественный анализ содержания  $\text{CH}_2$ - и  $\text{CH}_3$ -групп в углеводородах по инфракрасным спектрам . . . . . 1410
- Н. Н. Журавлев. Избирательное растворение в сплавах висмута с платиной . . . . . 1413
- М. И. Шахпаронов. О влиянии флуктуаций на диэлектрическую проницаемость однородных систем . . . . . 1414
- Г. К. Потапов и А. Т. Санжаровский. Электрический метод определения внутренних напряжений в гальванических покрытиях . . . . . 1416
- Ю. П. Никитин, О. А. Есин и Е. С. Воронцов. К определению коэффициентов диффузии в расплавленных окислах . . . . . 1420
- В. А. Михайлов. Попытка оценки первой константы гидролиза для иона  $\text{Pa(V)}$  . . . . . 1421
- Е. П. Чернева, А. Б. Пашков, С. Р. Барабанов и Н. Н. Туницкий. О влиянии емкости сульфостирольных катионов на ионообменное равновесие . . . . . 1423
- Л. А. Ротт. К статистической теории конденсированных систем . . . . . 1425
- Р. Ф. Мочарнюк и В. А. Лавренко. О методике расчета констант логарифмического закона скорости окисления сплавов . . . . . 1429
- В. А. Никитин и А. В. Карякин. Сенсибилизация фотоокисления бензальдегида производными акридина . . . . . 1431
- З. Спурны. Об изменении концентрации  $\text{Fe}^{2+}$  при облучении растворов в  $4N \text{ H}_2\text{SO}_4$  . . . . . 1433
- В. Ф. Киселев и К. Г. Красильников. Особенности адсорбции фенола из растворов в гептане силикагелем . . . . . 1435

## Хроника

- М. И. Шахпаронов. Совещание по термодинамике и строению растворов . . . . . 1437
- Решение совещания по термодинамике и строению растворов . . . . . 1443

## CONTENTS

- A. V. Karmilova, A. L. Nalbandyan and N. N. Semenov. A Study of the Burning of Hydrogen with Oxygen above the Lower Self-Ignition Limit . . . . . 1193
- G. A. Bogdanov and G. L. Petrova. An Anomalous Case of Catalysis in the Liquid Phase. II . . . . . 1205
- N. S. Fedorova. A Roentgen Ray Analysis of Galvanic Iron-Nickel Alloys . . . . . 1211
- N. N. Kaftaradze. The Hydrogen Adsorption Properties of Metals in Relation to Their Position in the Mendeleev Periodic System . . . . . 1214
- I. V. Berezin, N. F. Kazanskaya, G. B. Meluzova. The Quantitative Analysis of Cyclohexanone and Cyclohexanol in the Oxidation Products of Cyclohexane by Means of the Infra-Red Absorption Spectra . . . . . 1218
- V. M. Tatevskii. Regularities in the Structure and Physico-chemical Properties of Alkanes . . . . . 1226
- G. D. Efremova and P. F. Kovpakova. Phase Equilibria in Systems Containing Ethylene and Tetrachloroalkanes . . . . . 1231
- Yu. P. Solonitsyn. The Photosorption of Oxygen on Silica Gel and Crystalline Quartz . . . . . 1241
- N. K. Baramboim. The Temperature Dependence of the Mechanical Break-down Rate of High Polymers . . . . . 1248
- V. A. Scherbinin and G. A. Bogdanov. Further Material on the Theory of the Joint Action of Catalysts in Solution. II. The Kinetics of the Catalytic Decomposition of Hydrogen Peroxide by the Joint Action of Strontium and Molybdenum Salts . . . . . 1252
- V. G. Plusnin and A. P. Ly sen k o. Correlations in the Alkyl Substitution of Hydrogen in the Benzene Ring. IV. The Ratio between the Constants of the Heats of Formation of Butylbenzenes and the Equations for the Composition of the Products of Benzene Alkylation by *n*-Butylene in the Presence of Hydrogen Fluoride . . . . . 1262
- S. T. Bowden. Heat of Vaporization, Surface Tension and Orthobaric Densities of Liquid-Vapour Systems . . . . . 1265
- E. T. Denisov. On the Participation of Salt Catalysts in the Propagation Reaction of Liquid Phase Hydrocarbon Oxidation . . . . . 1269



N. M. Selivanova. Some Thermodynamic Properties of Thallium Salts	1277
B. P. Nikol'skii and V. V. Pal'chevskii. The Potentiometric Method of Studying Reversible Organic Redox Systems	1280
N. P. Gnusin. Determination of the Current Distribution in an Electrolyte and on the Electrodes by the Double Probe Method	1292
S. S. Vasil'ev and M. S. Selivokhina. The Kinetics of Nitrogen Oxidation in the Autooscillating Discharge	1299
S. V. Gorbachev, S. F. Belevskii. Polarization during Cathodic Reduction in the Light of the Problem of the Relationship between Electrochemical and Photochemical Processes	1304
S. A. Pavlova, I. I. Tverdokhlebova. The Isopiestic Method of Determining Mean Molecular Weights	1313
Z. A. Sinitsyna and Kh. S. Bagdasaryan. Determination of the Rate Constants of the Elementary Reactions of Methacrylate Polymerization	1319
V. S. Neshpor, G. V. Samsonov. New Borides of the Rare Earth Metals	1328
B. F. Markov and A. M. Tarasenko. On the Temperature Dependence of the Electroconductivity of Binary Salt Melts in Connection with the Phase Diagrams	1333
K. I. Rosental', V. I. Veselovskii. The Electrochemical Oxidation of Quadrivalent Uranium Salts on a Platinum Electrode	1341
Yu. K. Delimarskii, A. B. Gorodyskii. The Equation for the Polarographic Curves of the Electrodeposition of Metals on Solid Electrodes	1348
V. N. Kostryukov, O. P. Samorukov and P. G. Strelkov. Thermodynamic Studies at Low Temperatures	1354
A. A. Tager and V. A. Kargin. A Thermodynamic Study of the System Polymer — Hydrogenated Monomer	1362
D. S. Tsiklis. Phase Equilibria in the System Acetaldehyde — Water — Methane	1367
V. I. Musikhin and O. A. Esin. A Study of the Properties of Molten Titanates by the EMF Method	1372
A. I. Oshe and I. A. Bagotskaya. The Effect of Atomic Hydrogen Passing through a Membrane on the Hydrogen Overvoltage on Iron and Its Galvanic Coatings in Acid and Alkali Solution	1379
N. Tyutyulkov. The Polarography of Geometrical Syn- and Antisomers of Oximes. I	1389
L. Suski. Studies of the Cathodic Process during the Electrolysis of the Pure Molten Chlorides of Calcium, Sodium and Potassium	1393
<b>Experimental Methods and Techniques</b>	
M. M. Dubinin, A. I. Sarakhov, G. A. Ryabikov. A Low Pressure Poremeter	1404
<b>Discussion</b>	
I. P. Krichevskii and D. S. Tsiklis. A Reply to the Paper by V. Yu. Urbach. «Is There a Finite Mutual Solubility of Gases?»	1407
<b>Communications to the Editor</b>	
E. J. Pokrovskii. Infra-Red Quantitative Analysis of CH <sub>2</sub> and CH <sub>3</sub> Groups in Hydrocarbons	1410
I. N. Zhuravlev. Selective Solubility in Bismuth-Platinum Alloys	1413
M. I. Shakhparonov. The Effect of Fluctuations on the Dielectrical Constants of Homogeneous Systems	1414
G. K. Potapov and A. T. Sanzharovskii. An Electrical Method of Determining Internal Stress in Galvanic Coatings	1416
Yu. P. Nikitin, O. A. Esin and E. S. Vorontsov. On the Determination of Diffusion Coefficients in Molten Oxides	1420
V. A. Mikhailov. An Attempt to Evaluate the First Hydrolysis Constant for Pa.	1421
E. P. Cherneva, A. B. Pashkov, S. R. Barabanov and N. N. Tunitskii. On the Effect of the Capacity of Sulfostyrene Cations on Exchange Equilibrium	1423
L. A. Rott. On the Statistical Theory for Condensed Systems	1425
R. F. Mocharnyuk and V. A. Lavrenko. On the Method of Determining the Constants of the Logarithmic Equation for the Rate of Alloy Oxidation	1429
V. A. Nikitin and A. V. Karyakin. Sensibilization of the Photooxidation of Benzaldehyde by Acridine Derivatives	1431
Zdenek Spurny. The Change in Fe <sup>2+</sup> in Irradiated 4N H <sub>2</sub> SO <sub>4</sub> Solutions	1433
V. F. Kiselev, K. G. Krasil'shchikov. The Specificities of Phenol Adsorption by Silica Gel from Heptane Solutions	1435
<b>Miscellany</b>	
The Conference on the Thermodynamics and Structure of Solutions. The Decisions of the Conference on the Thermodynamics and Structure of Solutions.	1437

Статьи, направляемые в Журнал физической химии, должны удовлетворять следующим требованиям:

1. Статьи должны быть изложены в наиболее сжатой форме, совместимой с ясностью изложения, и тщательно отредактированы в рукописи.

2. Статьи, излагающие результаты работ, проведенных в учреждениях, должны обязательно иметь направление учреждения.

В конце статьи автором должно быть указано название научного учреждения, в котором произведена работа.

3. Статья обязательно должна быть подписана автором, причем инициалы и фамилия автора должны быть четко повторены на машинке. К статье должны быть приложены адрес автора, место его работы, № телефона для переговоров.

4. Статьи присылаются в редакцию в двух экземплярах, четко переписанные на машинке без помарок и вставок, на одной стороне листа, через два интервала, с оставлением с левой стороны листа поля в 4 см. Страницы рукописи должны быть пронумерованы по порядку, без литерных наращений (т. е. 7, 8, 9 и т. д., а не 7, 7а, 8, 9, 9а, 9б и т. д.).

5. Формулы и буквенные обозначения величин должны быть вписаны четко и ясно от руки. Особенное внимание следует обращать на тщательное изображение индексов и показателей степеней. Показатели и другие надстрочные значки отмечаются скобкой  $\circ$ , а подстрочные скобкой  $\circ$ .

Необходимо делать ясное различие между заглавными и строчными буквами, для чего заглавные буквы подчеркнуть снизу двумя черточками (например,  $\bar{O}$  а строчные двумя черточками сверху (например,  $\bar{o}$ ), 0 (нуль) оставлять без подчеркивания. Это особенно относится к таким буквам, как  $s$  и  $C$ ,  $k$  и  $K$ ,  $p$  и  $P$ ,  $u$  и  $U$ ,  $s$  и  $S$ ,  $z$  и  $Z$ ,  $v$  и  $V$ ,  $w$  и  $W$ . Греческие буквы нужно обводить красным карандашом.

6. Рисунки должны быть выполнены на белой бумаге или на кальке, тушью. Подписи и обозначения на рисунках должны быть сделаны карандашом. В тексте обязательно указать место для рисунков, вынося номер рисунка на поле. На обороте каждого рисунка должны быть поставлены фамилия автора, заглавие статьи, страница, к которой относится рисунок. Подписи к рисункам и фотографиям должны быть собраны на отдельном листе, прилагаемом к рукописи.

7. Следует избегать повторения одних и тех же данных в таблицах, графиках и тексте статьи.

8. Места, предназначенные к набору петитом, должны быть отмечены вертикальной чертой на полях.

9. Ссылки на литературу должны быть собраны в конце в виде списка и заключать инициалы и фамилию автора в подлиннике, название журнала, том (подчеркнуть снизу), страницу и год, а для книг: инициалы и фамилию автора, точное название книги, наименование издательства, место и год издания.

В тексте ссылки на литературу обозначаются порядковой цифрой в квадратных скобках. Категорически не допускаются ссылки на не опубликованные работы (кроме диссертации). Иностранные фамилии и термины даются в тексте в русской транскрипции, а в перечне литературы — в оригинальной транскрипции.

10. Не следует употреблять сокращенных слов кроме общепринятых (т. е., т. п. и т. д.).

Надлежит придерживаться следующих сокращений: килограмм —  $кг$ ; грамм —  $г$ ; грамм-молекула —  $г-моль$ ; миллиграммолекула —  $мг-моль$ ; метр —  $м$ , дециметр —  $дм$ ; сантиметр —  $см$ ; миллиметр —  $мм$ ; литр —  $л$ ; миллилитр —  $мл$ ; квадратный сантиметр —  $см^2$ ; кубический сантиметр —  $см^3$ ; орто-, мета-, пара-, —  $o$ -  $m$ - и  $p$ -; нормальный —  $N$ , децинормальный —  $0,1 N$ ; молярный —  $M$ ; температура кипения —  $t. кип.$ , температура плавления —  $t. пл.$

11. Статью обязательно заканчивать формулировкой выводов. Выводы должны содержать не оглавление разделов работы, а краткое изложение ее итогов; кроме выводов представлять резюме на английском языке, можно писать по-русски; в этом случае перевод будет выполнен редакцией.

12. В случае представления двух или более статей одновременно необходимо указать желательный порядок их помещения.

13. Статьи, не отвечающие перечисленным требованиям, возвращаются авторам для переделки.

14. В присылаемой корректуре исправляются только типографские ошибки, никакие изменения и добавления не допускаются.

15. В случае направления автору статьи для согласования внесенных редакцией изменений сохраняется первоначальная дата поступления статьи в редакцию, но при возвращении статьи автору для серьезной переработки и исправления датой представления считается дата принятия редакцией к публикации.

16. Редакция высылает автору бесплатно 50 отдельных оттисков статьи.

Несоблюдение перечисленных условий задерживает печатание статьи.

Непринятые рукописи авторам не возвращаются.

Технический редактор *П. А. Колгурина*

Т-06687 Подписано к печати 3. VII. 1958 Печ. л. 21,6 + 2 вкл. Уч. изд. л. 24,6  
Формат бумаги 70 × 108<sup>1</sup>/<sub>16</sub>. Бум. л. 8 Зак. 439. Тираж 3575 экз.

2-я типография Издательства Академии наук СССР. Москва, Шубинский пер., 10



